



**ATLAS GÉOCHIMIQUE des
SÉDIMENTS DE RUISSEAU
LA GRANDE RIVIÈRE**

DPV-455

G.H. Cockburn, 1977

AVERTISSEMENT

L'équipe de numérisation tient à informer le lecteur qu'il y a des erreurs dans la pagination. Le document est donc complet.

ATLAS GEOCHIMIQUE
DES
SEDIMENTS DE RUISSEAU

Région de

LA GRANDE RIVIERE

G.H. Cockburn, 1977

avec la collaboration de
G. Sergerie, A. Marquis, et
tout le personnel de la division de la Géochimie.

DPV-455



PREFACE

Le présent format de publication a été conçu dans le but de fournir un outil de prospection géochimique à la fois pratique et flexible pour les géochimistes et géologues qui oeuvrent dans la province du Québec. Il se présente en deux volets distincts. Le premier (pages 1 à 25) comprend une description sommaire de la région et des méthodes de travail utilisées tandis que le second (pages 27 à 501) comprend l'atlas proprement dit. Pour faciliter son utilisation, les cartes géochimiques de l'atlas ont été insérées dans l'ordre de la séquence numérique des feuillets du Système national de Relevé topographique (de 33 F/6 à 33 G/14), chaque feuillet étant repris autant de fois qu'il est nécessaire pour y faire apparaître les données pour les éléments U, Cu, Zn, Pb, Ni, Co, Mn, V, Cr, Ba, Li, Mo, Cs, Sn et Ag ainsi que les "aires annotées", c'est-à-dire les endroits où des vérifications par rééchantillonnage ou réanalyse ou les deux ont été effectués suite à la découverte de groupements d'échantillons à teneurs élevées en un ou plusieurs éléments.

Pour le lecteur qui désire consulter les données brutes du projet - résultats d'analyses, tests de log-normalité, caractéristiques des échantillons et des sites de prélèvement, ainsi que les cartes de localisation - celles-ci sont disponibles sur microfiches (DP-450). Les résultats d'analyse et les cartes de localisation (1:50 000) sont également disponibles en lithographie (DPV-456). Toutes les données numériques sont également disponible sur ruban magnétique.

Il est à espérer que le présent format de publication saura plaire à la majorité des usagers et qu'on voudra bien nous faire part de moyens susceptibles d'améliorer les futures publications de l'information géochimique couvrant de grands territoires.

G.H. Cockburn
Chef de la division de Géochimie

SOMMAIRE

Partie 1 - Présentation		Partie 2 - Cartes géochimiques et aires annotées	
INTRODUCTION	1	33 F/6 (INDEX)	27
REMERCIEMENTS	1	URANIUM	29
ENVIRONNEMENT	2	CUIVRE	31
CADRE GEOLOGIQUE	5	ZINC	33
TRAVAUX ANTERIEURS	5	PLOMB	35
GEOLOGIE GENERALE	5	NICKEL	37
GEOLOGIE DU QUATERNAIRE	5	COBALT	39
GEOLOGIE ECONOMIQUE ET MINERALISATIONS	6	MANGANESE	41
GEOPHYSIQUE	9	VANADIUM	43
GEOCHIMIE	17	CHROME	45
ECHANTILLONNAGE	17	BARIUM	47
PREPARATION DES ECHANTILLONS	17	LITHIUM	49
ANALYSES	19	MOLYBDENE	51
CONTROLE DE LA QUALITE	19	CESIUM	53
TRAITEMENT DES DONNEES	20	ETAIN	55
OBSERVATIONS ET CONCLUSIONS	24	ARGENT (1973)	57
BIBLIOGRAPHIE	25	33 F/7 (INDEX)	59
FIGURES:		URANIUM	61
1- Localisation de la région échantillonnée	1	CUIVRE	63
2- La Grande Rivière, au site de LG-3	3	ZINC	65
3- Forêt de la Baie James	3	PLOMB	67
4- Drainage perturbé	4	NICKEL	69
5- Envahissement d'un lac par les sphaignes	4	COBALT	71
6- Moraines de Geer au sud du lac Janhandashi ...	6	MANGANESE	73
7- Géologie du Quaternaire	7	VANADIUM	75
8- Localisation des minéralisations métalliques et des aires annotées	15	CHROME	77
9- Modes de déplacement utilisés lors du levé ...	17	BARIUM	79
10- Prélèvement d'un échantillon de sédiment de ruisseau	18	LITHIUM	81
11- Séchage initial des échantillons	18	MOLYBDENE	83
12- Séchage final des échantillons	18	CESIUM	85
13- Précision de la méthode d'analyse	21	ETAIN	87
TABLEAU		ARGENT (1973)	89
1- Bibliographie annotée sur la minéralisation métallique	10	33 F/9 (INDEX)	91
		URANIUM	93
		CUIVRE	95
		ZINC	97
		PLOMB	99
		NICKEL	101
		COBALT	103
		MANGANESE	105
		VANADIUM	107
		CHROME	109
		BARIUM	111
		LITHIUM	113
		MOLYBDENE	115

CESIUM	117	AIRE ANNOTEE	217
ETAIN	119	TABLEAU 6 -RESULTATS D'ANALYSE DE L'AIRE ANNOTEE	219
ARGENT (1973)	121	33 F/12 (INDEX)	221
ARGENT (1974)	123	URANIUM	223
AIRE ANNOTEE I (E et W)	125	CUIVRE	225
TABLEAU 2 -RESULTATS D'ANALYSE DE L'AIRE I .	127	ZINC	227
AIRE ANNOTEE II	135	PLOMB	229
TABLEAU 3 -RESULTATS D'ANALYSE DE L'AIRE II	137	NICKEL	231
33 F/10 (INDEX)	143	COBALT	233
URANIUM	145	MANGANESE	235
CUIVRE	147	VANADIUM	237
ZINC	149	CHROME	239
PLOMB	151	BARIUM	241
NICKEL	153	LITHIUM	243
COBALT	155	MOLYBDENE	245
MANGANESE	157	CESIUM	247
VANADIUM	159	ETAIN	249
CHROME	161	ARGENT (1973)	251
BARIUM	163	33 G/5 (INDEX)	253
LITHIUM	165	URANIUM	255
MOLYBDENE	167	CUIVRE	257
CESIUM	169	ZINC	259
ETAIN	171	PLOMB	261
ARGENT (1973)	173	NICKEL	263
AIRE ANNOTEE I	175	COBALT	265
TABLEAU 4 -RESULTATS D'ANALYSE DE L'AIRE I .	177	MANGANESE	267
AIRE ANNOTEE II	179	VANADIUM	269
TABLEAU 5 -RESULTATS D'ANALYSE DE L'AIRE II	181	CHROME	271
33 F/11 (INDEX)	185	BARIUM	273
URANIUM	187	LITHIUM	275
CUIVRE	189	MOLYBDENE	277
ZINC	191	CESIUM	279
PLOMB	193	ETAIN	281
NICKEL	195	ARGENT (1974)	283
COBALT	197	AIRE ANNOTEE	285
MANGANESE	199	TABLEAU 7 -RESULTATS D'ANALYSE DE L'AIRE	
VANADIUM	201	ANNOTE E	287
CHROME	203	33 G/6 (INDEX)	289
BARIUM	205	URANIUM	291
LITHIUM	207	CUIVRE	293
MOLYBDENE	209	ZINC	295
CESIUM	211	PLOMB	297
ETAIN	213	NICKEL	299
ARGENT (1973)	215	COBALT	301
		MANGANESE	303
		VANADIUM	305
		CHROME	307

BARIUM	309
LITHIUM	311
MOLYBDENE	313
CESIUM	315
ETAÏN	317
ARGENT (1974)	319
33 G/7 (INDEX)	321
URANIUM	323
CUIVRE	325
ZINC	327
PLOMB	329
NICKEL	331
COBALT	333
MANGANESE	335
VANADIUM	337
CHROME	339
BARIUM	341
LITHIUM	343
MOLYBDENE	345
CESIUM	347
ETAÏN	349
ARGENT (1974)	351
33 G/10 (INDEX)	353
URANIUM	355
CUIVRE	357
ZINC	359
PLOMB	361
NICKEL	363
COBALT	365
MANGANESE	367
VANADIUM	369
CHROME	371
BARIUM	373
LITHIUM	375
MOLYBDENE	377
CESIUM	379
ETAÏN	381
ARGENT (1974)	383
33 G/11 (INDEX)	385
URANIUM	387
CUIVRE	389
ZINC	391
PLOMB	393
NICKEL	395
COBALT	397
MANGANESE	399
VANADIUM	401
CHROME	403

BARIUM	405
LITHIUM	407
MOLYBDENE	409
CESIUM	411
ETAÏN	413
ARGENT (1974)	415
AIRES ANNOTEES I ET II	417
TABLEAU 8 - RESULTATS D'ANALYSE DES AIRES I ET II ..	419
AIRES URANIFERES	423
33 G/12 (INDEX)	425
URANIUM	427
CUIVRE	429
ZINC	431
PLOMB	433
NICKEL	435
COBALT	437
MANGANESE	439
VANADIUM	441
CHROME	443
BARIUM	445
LITHIUM	447
MOLYBDENE	449
CESIUM	451
ETAÏN	453
ARGENT (1974)	455
AIRE ANNOTEE I	457
TABLEAU 9 -RESULTATS D'ANALYSE DE L'AIRES	
ANNOTEES I	459
AIRE URANIFERE	469
33 G/14 (INDEX)	471
URANIUM	473
CUIVRE	475
ZINC	477
PLOMB	479
NICKEL	481
COBALT	483
MANGANESE	485
VANADIUM	487
CHROME	489
BARIUM	491
LITHIUM	493
MOLYBDENE	495
CESIUM	497
ETAÏN	499
ARGENT (1974)	501

INTRODUCTION

En juillet 1971, le gouvernement du Québec créait la Société de Développement de la Baie James et lui confiait le mandat de mettre en valeur les ressources naturelles du territoire de la Baie James (figure 1). En décembre de la même année, la Société d'Energie de la Baie James, filiale de la première et financée en entier par l'Hydro-Québec était mise sur pied dans le but d'exploiter le potentiel hydroélectrique offert par les grandes rivières du territoire, telles l'Harricana, la Nottaway, la Broadback, la Rupert, la Eastmain, l'Opinica et La Grande Rivière.

Dans le cadre de la campagne visant à délimiter le potentiel minier des aires vouées à l'inondation en amont des barrages prévus par la S.E.B.J., la division de la Géochimie fut chargée, entre 1973 et 1975, d'effectuer une campagne d'inventaires géochimiques dans les zones géologiques favorables à la prospection minière.

La région considérée dans le présent rapport correspond au premier bassin choisi pour l'implantation de centrales hydroélectriques, soit celui de La Grande Rivière. Quelques 11 750 échantillons de sédiments de ruisseau y furent prélevés.

REMERCIEMENTS

Il y a lieu de remercier en premier tous les étudiants d'université qui ont contribué au projet. Ce

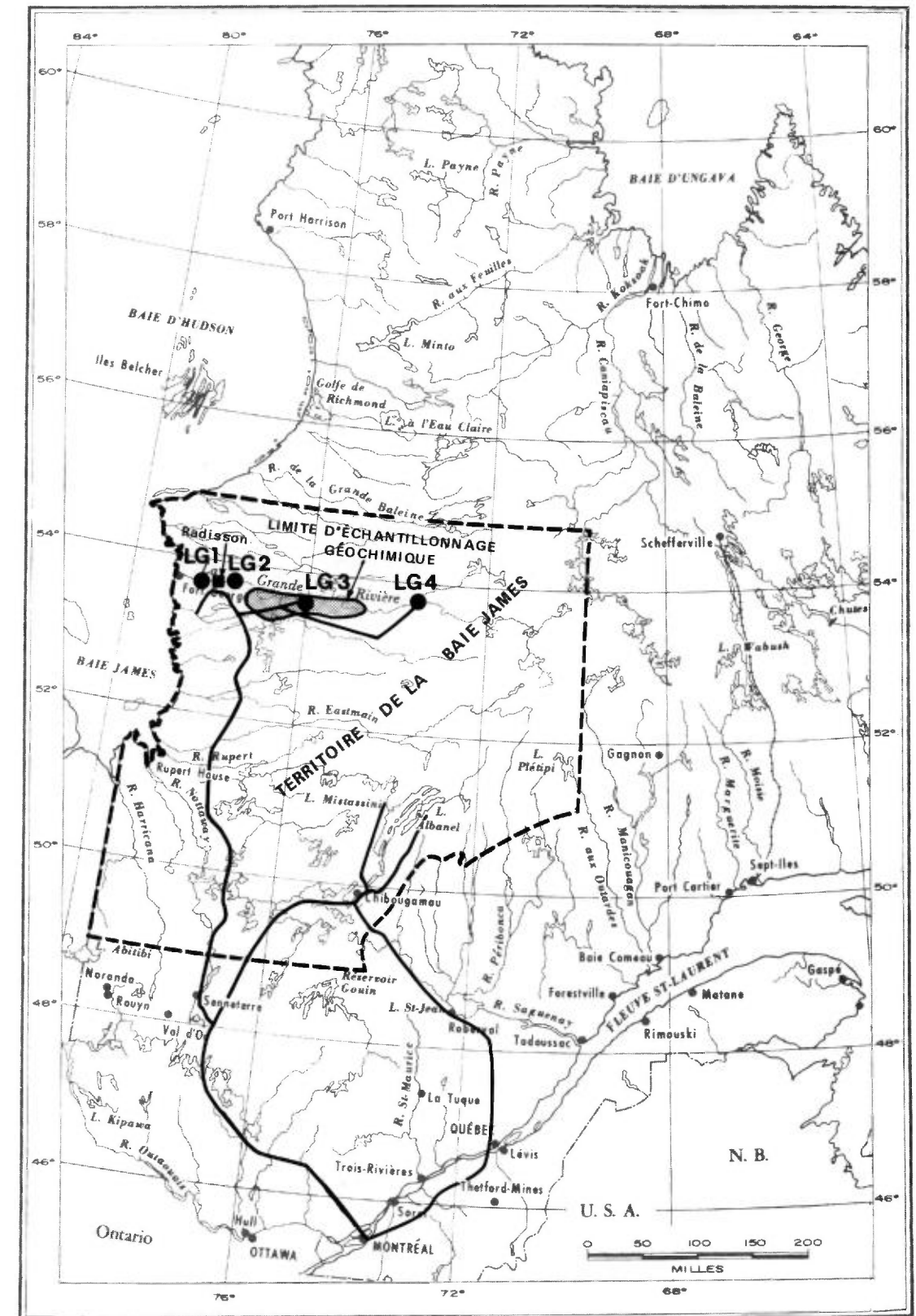


Figure 1

n'est que par leur détermination, dans des conditions de travail souvent difficiles, que ce projet a pu être réalisé. Ils ont contribué à tous les niveaux: planification, échantillonnage, tamisage, analyses, vérifications, traitement de données et rédaction de rapport.

On doit ensuite noter la collaboration des géologues Gilbert Sergerie et Robert Tremblay et du technicien Alain Marquis. Le premier a dirigé l'équipe d'inventaire et de vérification de terrain de 1974 et le second, l'équipe de vérification de terrain de 1975. Quant au troisième, il s'est acquitté de la partie technique des opérations durant les inventaires de 1973 et 1974.

L'auteur remercie en plus tout le personnel de la division de la Géochimie pour l'effort fourni à toutes les étapes du projet.

Un remerciement sincère s'adresse à Jean Guimond et son équipe du Centre de Recherche minérale qui ont effectué plus de 180 000 dosages en conservant un contrôle de qualité exceptionnel. Côté informatique, les cartes de l'atlas n'auraient pu être réalisées sans la collaboration de Yves Beauchemin, Régis Dumont et Jean-Louis Pelletier.

Finalement, l'envergure du projet ne nous permettant pas de citer les noms individuels, nous adressons un merci collectif à tous ceux, plus d'une centaine,

qui ont aidé à la réalisation du travail sur le terrain: hommes de canoë, cuisiniers, pilotes, opérateurs de radio, cartographes, étudiants et autres.

ENVIRONNEMENT

Le bassin de La Grande Rivière, à 1000 km au nord de Montréal, draine une superficie de 97 400 km² entre la fosse du Labrador et la baie James. Sur presque toute sa longueur La Grande est majestueuse, avec plusieurs chûtes, rapides et cascades imposantes (figure 2). En réalité, La Grande est un fleuve, considérant que son débit peut dépasser deux à trois fois le débit moyen du Saint-Laurent pendant les périodes de crues. Pour capter cette énergie libre, la Société d'Energie de la Baie James a élaboré un schéma d'aménagement qui prévoit la construction de quatre centrales. LG-2 sera complétée en 1980 et devrait fournir de l'énergie hydro-électrique dès juillet 1982. Elle sera suivie de la mise en production de LG-3 en mai 1984, LG-4 en février 1985 et LG-1 en avril de la même année. L'aménagement du bassin de La Grande Rivière prévoit l'inondation totale d'environ 3500 km² dont 1095 km² en amont de la centrale LG-2 et 950 km² en amont de la centrale LG-3. Le territoire qui a fait l'objet de l'inventaire géochimique, et qui sera submergé en grande partie, couvre environ 5850 km² sur une bande irrégulière 20 à 48 km de large et 187 km de long. Il s'étend sur la rive sud du bassin de La Grande entre la centrale LG-2 et un point à 74 km à l'est de la centrale LG-3, soit entre les latitudes 53°00' à 53°50' et les longitudes 77°40' et 74°50'. Il fait partie de la zone climatique de la taïga. La température annuelle moyenne est de -2°C et la précipitation



FIGURE 2 - La Grande Rivière, près de l'emplacement de l'éventuelle centrale hydroélectrique LG-3. Juillet 1973*.

moyenne est de 59 cm, dont plus de la moitié provient de la fonte des neiges. La période de dégel est relativement courte, avec dégelage des lacs au début de juin et réapparition de la neige à la mi-septembre. En juillet, même si la température atteint 25°C le jour, il n'est pas rare d'enregistrer une gelée durant la nuit.

La végétation consiste presque uniquement en épinette noire avec quelques mélèzes, cyprès, bouleaux et trembles ici et là. Généralement, sauf dans les vallées protégées, les arbres sont rabougris par le froid, distancés les uns des autres et forment des forêts peu denses et irrégulières avec des lichens ou graminées au sol (figure 3).

Durant l'été 1973 environ 30% de la région a été la proie des flammes. Les feux de forêt, en dehors de ceux provoqués par l'homme, font partie d'un cycle

* Toutes les photographies sont de l'auteur à moins d'indication contraire.

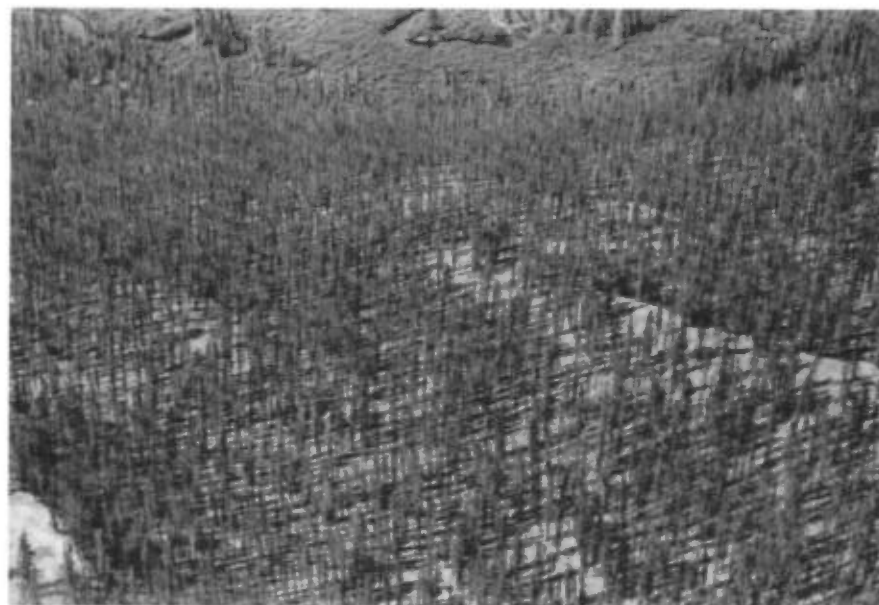


FIGURE 3 - Une forêt de la baie James, notable par l'espacement des espèces et le tapis de lichen au sol.

naturel car on trouve des morceaux de bois carbonisés un peu partout dans le sol des forêts.

Les lacs et ruisseaux sont nombreux mais leur distribution est variable. Dans les régions accidentées, le système de drainage est nettement défini par des centaines de petits lacs et ruisseaux tandis que dans les régions relativement planes, d'immenses marécages, souvent en échelon, dominant le paysage avec un système de drainage irrégulier et difficile à définir (figure 4). On observe un peu partout sur le territoire de petits lacs à différents stades de résorption et de disparition complète suite au développement des sphaignes en bordure (figure 5). Bon nombre de dépressions ainsi recouvertes forment des étendues de toundra.

Deux tributaires principaux rejoignent La Grande Rivière à l'intérieur de l'aire échantillonnée:

la Kanaaupscow qui coule du nord-est et la Sakami qui provient d'un immense lac du même nom au sud.

L'élévation maximale, 475 m au dessus du niveau de la mer, se trouve dans les collines Doureau dans l'extrémité nord-est de la région (SNRT 33 G/11), tandis que l'élévation minimale est en aval de LG-2. La Grande Rivière entre dans le territoire échantillonné à une élévation de 216 mètres et en ressort 126 mètres plus bas, à 90 mètres au-dessus du niveau de la mer. Elle n'est évidemment pas navigable.

Lors du relevé, l'accès au territoire a été assuré par hydravions, de types Beaver, Norseman, Canso et CL-215, à partir de Matagami ou Chibougamau. Depuis, une piste d'atterrissage bituminée a été construite à LG-2 et un service aérien régulier est assuré par les réactés de deux sociétés aériennes commerciales à partir de Québec et de Montréal. Une route existe maintenant entre Fort George et LG-3 et on prévoit que LG-4 sera accessible par voiture en 1977. Une ville nouvelle, Radisson, a été érigée près du site LG-2. Il est à noter que l'accès au territoire de la Baie James est strictement contrôlé par la Municipalité de la Baie James.



FIGURE 4 - Marécages en chapelet; exemple d'un drainage perturbée.



FIGURE 5 - Stage avancé d'envahissement d'un petit lac par le développement intensif des sphaignes en bordure.

CADRE GEOLOGIQUE

TRAVAUX ANTERIEURS

La première carte géologique de la région fut dressée par K.E. Eade (1957, 1966), de la Commission géologique du Canada, à une échelle de 1:1 000 000 suite à un inventaire régional par hélicoptère. Ce premier travail fut suivi par des travaux plus détaillés dans la région du Lac Sakami et du Lac Janjandashi (antérieurement Lac Long) par P.J. Mills (1972, 1973a, 1973b) pour le compte du Ministère des richesses naturelles.

Les travaux d'aménagement du bassin de La Grande Rivière ont amené le ministère des Richesses naturelles à mettre sur pied en 1973 une campagne systématique de cartographie régionale pour couvrir toute la région à une échelle de 1:100 000. Cette campagne a produit une série de rapports et de cartes géologiques préliminaires (Sharma, 1973, 1974, 1975 et 1976) et un rapport final (Sharma, en préparation). La géologie simplifiée accompagnant les cartes géochimiques de l'atlas est extraite en majeure partie de ces travaux.

GEOLOGIE GENERALE

La région de La Grande Rivière est formée en majeure partie de roches d'âge Archéen et appartient à la province du Supérieur du Bouclier canadien.

A première vue, la géologie de la région échantillonnée ressemble à n'importe quelle autre région de roches vertes archéennes. Elle est caractérisée par des séquences volcaniques intimement reliées et interstratifiées avec des séquences sédimentaires lesquelles forment, ensemble ou séparément, des bandes onduleuses de quelques kilomètres de large orientées est-ouest dans une véritable mer de plutons granitiques, de migmatites et de vastes étendues de gneiss variés. Comme ailleurs dans le Supérieur, les pendages sont systématiquement quasi verticaux et les zones de cisaillement et de faille sont nombreuses. Typiquement, les roches ont subi un métamorphisme dynamothermal régional durant l'orogénèse kénoréenne et ont atteint le faciès schiste vert supérieur et même amphibolite inférieur en marge des contacts intrusifs.

Par contre, en net contraste avec l'Archéen, le centre de la région renferme un énorme bloc d'effondrement tectonique formé de roches sédimentaires clastiques, essentiellement non-déformées, d'âge protérozoïque. Cette unité est généralement connue sous le nom de formation de Sakami.

GEOLOGIE DU QUATERNAIRE

La physiographie de la région de La Grande Rivière doit son caractère principalement à l'action de la dernière période de glaciation qui a perturbé complètement le système de drainage et la topographie. Elle est marquée par des milliers de marécages, d'étangs, de ruisseaux, de rivières et de lacs de

toutes dimensions interrompus d'une part par une multitude de dépôts glaciaires, fluvioglaciaires, lacustres, fluviaux et marins, et d'autre part par l'érosion sélective des structures géologiques en place par les glaciers.

La direction du transport glaciaire indiquée par les stries et l'orientation des moraines de Geers (figures 6 et 7) est principalement ouest à sud-ouest. L'importance de cette dispersion glaciaire, qui n'est pas connue avec certitude, est probablement très variable et complexe. La géochimie des dépôts meubles, incluant celle des sédiments de ruisseaux, peut servir à la connaissance de la lithologie sous-jacente et avoisinante.



FIGURE 6 - Moraines de Geer, orientées nord-sud, à quelques kilomètres au sud du lac Janjandashi (antérieurement lac Long).

Afin d'aider à l'interprétation des cartes géochimiques, la carte des dépôts meubles de la région est

reproduite sur la figure 7. Cette carte est basée sur un relevé effectué par la Commission géologique du Canada (Lee *et al.*, 1957).

On notera la limite de l'envahissement marin, qui se situe entre 245 à 275 mètres d'altitude.

GEOLOGIE ECONOMIQUE ET MINERALISATIONS

Plusieurs sociétés minières ont effectué des travaux dans la région. Leur intérêt s'est porté sur les formations de fer, telles l'important dépôt du Lac Ducan ou sur des indices de sulphures dans les bandes de roches vertes. Celles-ci sont en général un environnement propice à des minéralisations économiques, quelquesfois fort importantes, en sulfures massifs. Une revue détaillée des différents types de dépôts qu'on peut trouver dans les bandes de roches vertes et une discussion complète sur leur origine et développement a récemment été publiée par Boyle (1975) et Baragar et McGlynn (1976).

En plus des roches vertes, la formation de Sakami a suscité un certain intérêt suite à l'établissement de parallèles géologiques avec les conglomérats uranifères de l'Huronien de l'Ontario.

On notera que le potentiel économique des autres unités géologiques—pegmatites, granites et diabases—est encore inconnu même si, a priori, ces unités semblent moins prometteuses.

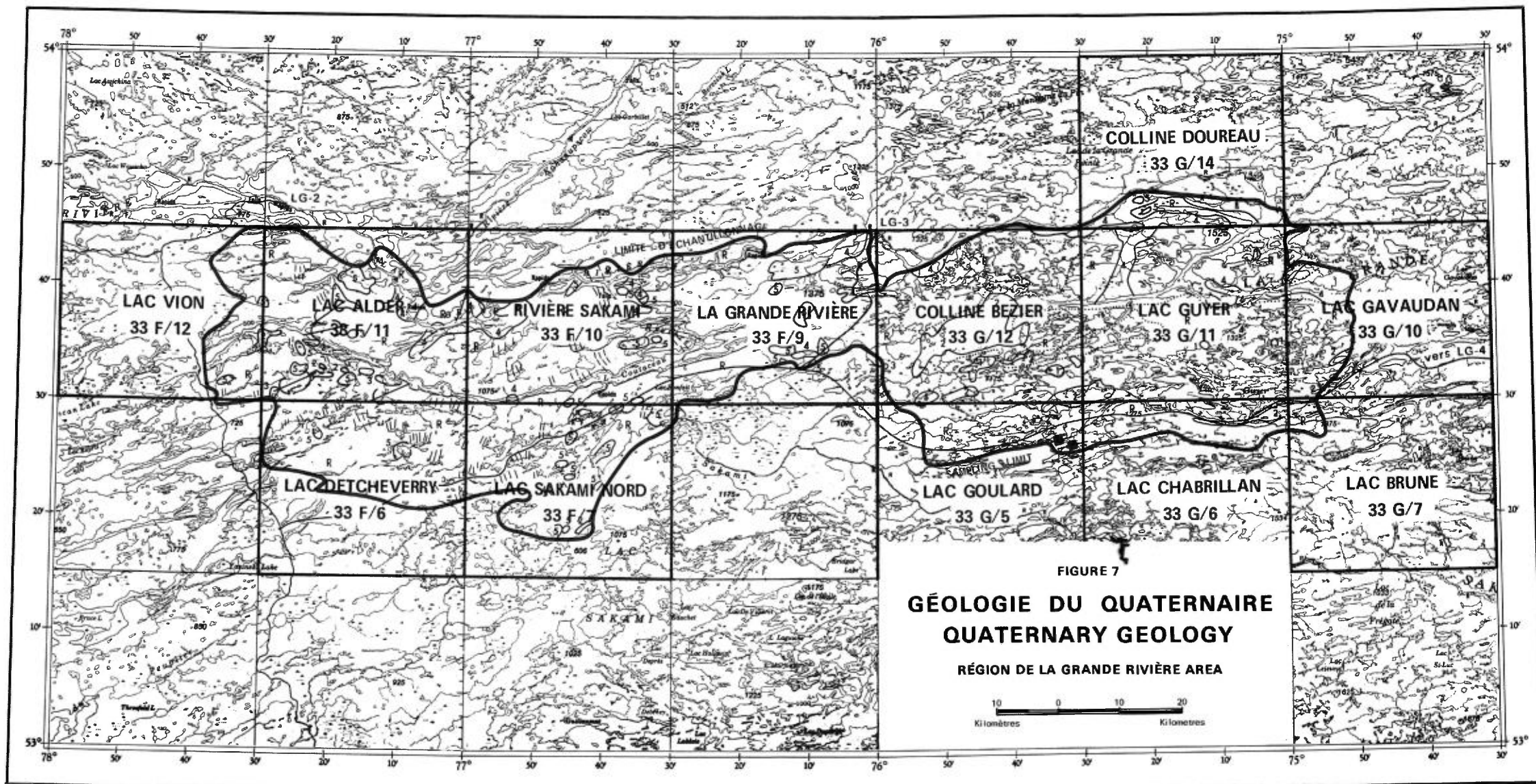


FIGURE 7
GÉOLOGIE DU QUATERNAIRE
QUATERNARY GEOLOGY
 RÉGION DE LA GRANDE RIVIÈRE AREA

Principaux marécages, et terrain de silt et d'argile

Terrasses alluviales; comprenant un peu de 2 et de 3: surtout du sable

Terrasses marines et crêtes de plage; comprenant un peu de 2 et de 4: surtout du sable et des blocs

Dépôts fluvioglaciaires: comprenant des eskers, plaines alluviales pro-glaciaire alvéolées, des kames, et des étendues de sable associées avec des dépôts de drainage fluvioglaciaire: gravier et sable

- 5 Principal bogs, and areas of silt and clay
- 4 Alluvial flats; includes some 2 and 3; mainly sand
- 3 Marine flats and beach ridges, includes some 2 and 4; mainly sand and boulders
- 2 Glaciofluvial features: includes eskers, pitted outwash, kames, and areas of sand associated with glacial drainage: gravel, sand

LÉGENDE

Régions morainiques en buttes et dépressions irrégulières et régions de crêtes: till, sable

Roche de fond et drift non différencié

SIGNES CONVENTIONNELS

Contact géologique (approximatif)

Stries glaciaires: (a) direction connue, (b) direction inconnue

Drumlins

- 1 Morainic area of irregular hummocks and ridges: till, boulders, sand
 - R Undivided bedrock and formless-drift
- SYMBOLS**
- Geologic boundary (approximate)
- Glacial striae: (a) direction known, (b) direction unknown
- Drumlins

Moraines de Geer

Limite de l'envahissement marin

Adaptation de:

SERVICE DES GITES MINÉRAUX
 Division de la Géochimie

Cette compilation accompagne le rapport DP-455

- De Geer moraines
 - Limit of marine transgression
 - Adaptation by:
 - MINERAL DEPOSITS SERVICE**
 Geochemistry Division
- This compilation accompanies Report DP-455

Une bibliographie annotée a été dressée sur la minéralisation métallique de la région de La Grande Rivière (voir tableau 1). Elle fait état de plus de 100 indices de minéralisations métallifères rapportés par des sociétés minières ou cités dans des publications du ministère. Chacun des indices est indiqué sur une carte et porte un numéro correspondant à celui donné dans la bibliographie (figure 8). Les aires annotées décrites dans l'atlas sont reportées sur cette carte pour fin de comparaison. Il en ressort que peu de minéralisations sont encore connues à l'intérieur des aires annotées.

GEOPHYSIQUE

La région échantillonnée est couverte par un levé aéromagnétique effectué conjointement par le ministère des Richesses naturelles du Québec et le ministère de l'Énergie, des Mines et Ressources du Canada entre 1969 et 1971. Les cartes couvrant notre territoire sont indiquées ci-contre. L'échelle de publication est de 1 mille au pouce.

Cartes aéromagnétiques

Coupure NTS	No Carte
33F/12	5600
33F/11	5616
33F/6	5617
33F/10	5632
33F/7	5633
33F/9	5648
33G/12	5664
33G/5	5665
33G/14	5679
33G/11	5680
33G/6	5681
33G/10	5696
33G/7	5697

TABLEAU 1 - BIBLIOGRAPHIE ANNOTEE SUR LA MINERALISATION METALLIQUE
DANS LA REGION DE LA GRANDE RIVIERE

(dans l'ordre de numérotation des minéralisations sur la figure 8)

Py - Pyrite	Cu - Cuivre	Ag - Argent	DP - Rapports de la direction de la Géologie déposés au fichier ouvert
Po - Pyrrhotine	Zn - Zinc	Fe - Fer	
Mag - Magnésite	Pb - Plomb	Au - Or	
Asp - Arsénopyrite	Ni - Nickel	U - Uranium	
			GM - Rapports de compagnies minières déposés au fichier ouvert.

1 - Canton 3212 Py Sharma, K. - DP 221, 1973	6 - Canton 3213 Py Duncan Range - GM-7692, 1959 GM-26810, 1971 Pyrite dans des andésites et dacites	11 - Canton 3215 Fe Sharma, K. - DP 221, 1973
2 - Canton 3212 Py Sharma, K. - DP 221, 1973	7 - Canton 3214 Fe Sharma, K. - DP 221, 1973	12 - Canton 3215 Cu Vanguard Expl. -GM-11686,1958 2% de cuivre dans un échantillon de roche volcanique.
3 - Canton 3213 Fe Sharma, K. - DP 221, 1973	8 - Canton 3214 Fe Granbois Mines - GM-11680, 1961 Duncan Range - GM-26810, 1971 Formation de fer sédimentaire (magné- tite) dans des laves basiques.	13 - Canton 3215 Fe Sharma, K., - DP 221, 1973
4 - Canton 3213 Cu, Pb, Zn, Fe-Py, Po Duncan Range - GM-28563, 1958 Iron Mines Ltd. GM-26810, 1971 La minéralisation consiste en chal- copyrite, galène, sphalérite, pyr- rhotine et pyrite dans des fractures recoupant des formations de fer.	9 - Canton 3214 Cu Granbois Mines-GM-11680, 1961 Plusieurs petites minéralisations de cuivre dans une roche volcanique ba- sique.	14 - Canton 3215 Fe Sharma, K., - DP 221, 1973
5a - Canton 3213 Fe Duncan Range - GM-7692, 1959 GM-9756, 1960 885 000 tonnes titrant 35% magné- tite encaissé dans des métagrauwackes et méta-andésites.	10 - Canton 3214 Cu, Zn-Py, Po Duncan Range- GM-12680, 1962 Canadian Dyno-GM-13338, 1961 Pyrrhotine, chalcopryrite, pyrite et blende dans un cisaillement dans des roches volcaniques (tufs, laves et brèches). Teneur en Cu généralement >1%.	15 - Canton 3213 Fe Duncan Range - GM-7692, 1959 GM-26810, 1971 Fer sédimentaire (magnétite); 520 000 tonnes/pied vertical; la formation est encaissée par une syénite ferrugineuse.
5b - Canton 3213 Cu, Pb-Py Duncan Range - GM-7692, 1959 GM-26810, 1971 Chalcopryrite, pyrite, galène dans des veines de quartz recoupant des andésites et dacites.		16 - Canton 3213 Fe Duncan Range - GM-7692, 1959 GM-9756, 1960 Fer sédimentaire (magnétite). Teneur estimée de 30 à 35% Fe sur 108 000 tonnes/pied vertical. Encaissé dans des métagrauwackes.

- 17 - Canton 3213 Fe
Duncan Range - GM-7692, 1959
GM-9756, 1960
Fer sédimentaire (magnétite). Teneur estimée de 30 à 35% Fe sur 108 000 tonnes/pied vertical. Encaissé dans des méta-grauwackes.
- 18 - Canton 3213 ----
Duncan Range - GM-7692, 1958
GM-26810, 1971
Bande de schiste à séricite fortement minéralisée encaissée dans un grau-wacke chertoux.
- 19 - Canton 3212 Cu, Po
Sharma, K., - DP 221, 1973
- 20 - Canton 3112 Cu, Zn, Pb, Ag-Py
Sharma, K., - DP 221, 1973
Cu, Zn, Pb, Ag et pyrite dans un grau-wacke.
- 21 - Canton 3112 Py
Duncan Range - GM-11895, 1961
GM-26810, 1971
Dépôt de pyrite de 2 milles de long par 1 mille de large dans un grau-wacke.
- 22 - Cantons 3112 et 3212 Fe
Duncan Range - GM-7692, 1959
GM-9756, 1960
Dépôt de fer sédimentaire (magnétite) d'une teneur de 26 à 35% Fe sur 600 à 700 millions de tonnes.
- 23a - Canton 3213 Fe
Duncan Range - GM-7692, 1959
GM-9756, 1960
Dépôt de fer sédimentaire (magnétite) à teneur de 37.5% Fe sur 70 millions de tonnes/pied vertical associé à un grau-wacke.
- 23b - Canton 3213 Cu-Py
Duncan Range - GM-7692, 1959
GM-26810, 1971
Pyrite et chalcoppyrite à faible teneur dans un dyke de gabbro amphibolitisé.
- 24 - Canton 3114 Fe
Sharma, K., - DP 221, 1973
- 25 - Canton 3114 Py
Sharma, K., - DP 221, 1973
- 26 - Canton 3114 Py
Sharma, K., - DP 221, 1973
- 27 - Canton 3113 Py
Sharma, K., - DP 221, 1973
- 28 - Canton 3114 Fe
Sharma, K., - DP 221, 1973
- 29 - Canton 3114 Fe
Sharma, K., - DP 221, 1973
- 30 - Canton 3114 Fe
Sharma, K., - DP 221, 1973
- 31 - Canton 3114
Main Expl. - GM-10200, 1959
ration Co. Ltd. GM-10509, 1960
En lentilles dans des veines quartzifères se trouvant près d'un culot de périclase recoupant une quartzite pure.
- 32 - Canton 3114 Py
Sharma, K., - DP-221, 1973
- 33 - Canton 3114 Cu, Ni, Ag
Main Expl. - GM-10200, 1959
GM-10509, 1960
Minéralisation en cuivre et nickel dans une roche verte altérée. Les dimensions sont de 700 pieds par 200 pieds. Les teneurs se situent entre 0.25 et 0.41% de cuivre, 0.10% et 18% de nickel, 0.04 et 0.14 oz d'argent On note 4.06% de soufre.
- 34 - Canton 3014 et 3114 Cu, Ni, Ag, Pb-Po, Py
Main Expl. - GM-10200, 1959
GM-10509, 1960
Minéralisation de chalcoppyrite, pyrrhotine, galène, pyrite et cuivre natif dans des veines de quartz coupant une roche verte. 4.5% de cuivre sur 6 pieds.
- 35 - Canton 3113 Cu, Zn, Pb-Py
Main Expl. - GM-10200, 1959
GM-10509, 1960
Chalcoppyrite, blende, galène et pyrite dans des veines de quartz recoupant roche verte altérée. Un peu de fer est aussi présent.
- 36 - Canton 3113 Fe
Main Expl. - GM-10200, 1959
GM-10509, 1960
Prolongement des dépôts de fer du lac Duncan. Teneur de 40% Fe dans des quartzites impures et conglomérat chertoux.

TABLEAU 1 - (Suite)

<p>37 - Canton 3013 Fe Sharma, K., - DP 221, 1973</p>	<p>41 - Canton 3013 Cu,Pb,Zn,Au-Py Main Exploration Co Ltd. 1959</p>	<p>46a - Canton 3016 Zn-Py,Po,Mag Zulapa Min.- GM-18241, 1966</p>
<p>38 - Canton 3014 Zn,Pb,Ag,Au Main Expl. - GM-10200, 1959 GM-10509, 1960</p>	<p>Duvan Copper Co Ltd. Northern Exploration, 1962</p>	<p>GM-16839, 1965</p>
<p>Minéralisation en sphalérite et galène accompagnée d'un peu d'or et d'argent, présente surtout dans une veine de quartz de 2 pieds de largeur recoupant une quartzite elle-même minéralisée. Les teneurs se situent entre 2 et 6% Zn, 0.55 et 1.7% Pb, 0.6 et 2 oz Ag et 0.03 et 0.05 oz Au à la tonne.</p>	<p>Pembec Min. 1965 Exploratech, GM-12124, 1973 GM-29292, 1973 GM-11973, 1973</p>	<p>Minéralisation en magnétite, pyrrhotine, pyrite et sphalérite associée à une zone de cisaillement dans des roches méta-sédimentaires (quartzite et amphibolite...)</p>
<p>39 - Canton 3014 Main Expl. GM-10200, 1959 GM-10509, 1960</p>	<p>42 - Canton 3012 Cu,Ni-Po Main Expl. - GM-10200, 1959 GM-10509, 1960</p>	<p>46b - Canton 3016 Fe Zulapa Min. -GM-17060, 1965 St-Mary's Expl. GM-341, 1966</p>
<p>Faible minéralisation en Cu associée avec de la pyrite dans une quartzite et une formation de fer. On rapporte une teneur de 0.02% de Cu.</p>	<p>Minéralisation en Cu-Ni (pyrrhotine massive) avec des teneurs de 2.62% Cu et 0.13% Ni.</p>	<p>Formation de fer sédimentaire (magnétite) encaissée dans des roches volcaniques - greenstone - et sédimentaires.</p>
<p>40 - Canton 3013 Cu,Ag,Fe-Py,Po Main Expl. -GM-10200, 1959 GM-10509, 1960</p>	<p>43 - Canton 2912 Fe Sharma, K., - DP 221, 1973</p>	<p>47 - Canton 3016 U Canadian Nickel - GM-10200, 1959 GM-10509, 1960</p>
<p>Minéralisation en pyrite, chalcoppyrite et pyrrhotine, accompagnée d'un peu d'argent, dans une brèche quartzreuse et dans une quartzite gneissique, toutes deux un peu à l'est d'une formation de fer. La teneur en argent s'élève à 2.29 oz/tonne sur une distance de 4 pieds.</p>	<p>44 - Canton 2913 Main Expl. - GM-10200, 1959 GM-10509, 1960</p>	<p>Minéralisation en uraninite; cf. no 45.</p>
	<p>Sulfures et formation de fer.</p>	<p>48 - Canton 3016 Py Sharma, K., - DP 221, 1973</p>
	<p>45 - Canton 3016 U Canadian Nickel - GM-10200, 1959 GM-10509, 1960</p>	<p>49 - Canton 3218 Fe Sharma, K., - DP 275, 1974</p>
	<p>Minéralisation d'uraninite dans des quartzites et des conglomérats méta-sédimentaires du Lac Sakami. La teneur peut atteindre jusqu'à 0.5% mais elle varie généralement entre 0 et 0.1%.</p>	<p>50 - Canton 3219 Sharma, K., - DP 275, 1974</p>
		<p>51 - Canton 3319 Fe Sharma, K., - DP 275, 1974</p>

- 52 - Canton 3219 Fe
Sharma, K., - DP 275, 1974
Formation de fer sédimentaire (magnétite) du lac Anuradha. Des teneurs de 39 à 47% de Fe_2O_3 et 16.6% FeO sont rapportées.
- 53 - Canton 3212 Fe
Sharma, K.- DP 275, 1974
- 54 - Canton 3220 Cu,Ag-Py, Asp
Tyrone Mines - GM-11040, 1959-60
Minéralisation en pyrite et arsénopyrite dans une zone de cisaillement dans une quartzite. Du cuivre et de l'argent ont été rapportés.
- 55 - Canton 3220 Fe,Cu-Py,Po,Mag
Tyrone Mines - GM-11040, 1960
GM-10515, 1959
Formation de fer sédimentaire (magnétite) intercalée dans des roches métasédimentaires. La teneur est estimée à 35% de fer sur 2 milles par 1000 pieds. Un peu de chalcopryrite, pyrite et pyrrhotine est dissiminée dans la formation et surtout dans la roche méta-sédimentaire encaissante, dans une zone de cisaillement.
- 56 - Canton 3220 Cu,Mo,Au,Ag-Po,Py
Tyrone Mines - GM-10515, 1959
Minéralisation en pyrite, chalcopryrite, pyrrhotine, cuivre natif et molybdène accompagnée d'un peu d'or et d'argent. La minéralisation se trouve dans des veines de quartz recoupant des andésites à coussinets.
- 57 - Canton 3220 Py
Duncan Range - GM-7692, 1959
GM-26810, 1971
Minéralisation importante de pyrite dans des andésites et dacites.
- 58 - Canton 3220 Cu,Ag-Py,Po
Tyrone Mines - GM-11040, 1960
Minéralisation en pyrite, pyrrhotine et chalcopryrite (un peu d'argent) dans des gneiss sédimentaires et des schistes.
- 59 - Canton 3220 Cu,Ag-Py,Po
Tyrone Mines - GM-11040, 1960
Minéralisation en pyrite, pyrrhotine et chalcopryrite (trace d'argent) dans une zone de cisaillement dans des quartzites, conglomérats et/ou grauwackes.
- 60 - Canton 3320 Fe
Sharma, K., - DP 275, 1974
- 61 - Canton 3320 Fe
Sharma, D., - DP 275, 1974
- 62 - Canton 3320 Fe
Sharma, K., - DP 275, 1974
Formation de fer (lac Shaclesa). Les teneurs rapportées sont de l'ordre de 33.15% Fe_2O_3 et 13.5% FeO.
- 63 - Canton 3320 Fe
Sharma, K., - DP 275, 1974
Formation de fer (lac Aldess). Les teneurs rapportées sont de l'ordre de 29.67% Fe_2O_3 et 12.22% FeO.
- 64 - Canton 3420 Fe
Sharma, K., - DP 275, 1974
Minéralisation de fer (lac Don).
- 65 - Canton 3420 Fe
Sharma, K., - DP 275, 1974
Minéralisation de fer (lac Don).
- 66 - Canton 3420 Fe
Sharma, K., - DP 275, 1974
Minéralisation de fer (lac Don).
- 67 - Canton 3420 Fe
Sharma, K., - DP 275, 1974
Minéralisation de fer (lac Don). Les teneurs rapportées sont de l'ordre de 29.54% Fe_2O_3 et 14.02% FeO.
- 68 - Canton 3421 Fe
Sharma, K., - DP 275, 1974
- 69 - Canton 3421 Fe
Sharma, K., - DP 275, 1974
- 70 - Canton 3421 Fe
Sharma, K., - DP 275, 1974
- 71 - Canton 3121 Fe
Sharma, K., - DP 275, 1974
Dépôt de fer (rivière Lionel).
- 72 - Canton 3221 Fe
Sharma, K., - DP 275, 1974
- 73 - Canton 3221 Fe
Sharma, K., - DP 275, 1974

TABLEAU 1 (Suite)

74 - Canton 3222 Fe Sharma, K., - DP 311, 1975	83 - Canton 3222 Cu,Ni-Py Tyrone Mines - GM-10515, 1959	93 - Canton 3224 Cu Sharma, K., - DP 311, 1975
75 - Canton 3222 Fe Sharma, K., - DP 311, 1975	Minéralisation en Cu-Ni associée avec de la pyrite dans des roches volcaniques et sédimentaires.	94 - Canton 3224 Py Sharma, K., - DP 311, 1975
76 - Canton 3222 Fe,Cu Sharma, K., - DP 311, 1975 Fer et cuivre sur deux affleurements différents.	84 - Canton 3122 Fe Sharma, K., - DP 311, 1975	95 - Canton 3124 Fe Sharma, K., - DP 311, 1975
77 - Canton 3222 Py Sharma, K., - DP 311, 1975	85 - Canton 3122 Py Sharma, K., - DP 311, 1975	96 - Canton 3225 Py Sharma, K., - DP 311, 1975
78 - Canton 3222 Fe Sharma, K., - DP 311, 1975	86 - Canton 3123 Fe, Sharma, K., - DP 311, 1975	97 - Canton 3225 Cu Sharma, K., - DP 311, 1975
79 - Canton 3222 Fe Sharma, K., - DP 311, 1975	87 - Canton 3223 Fe,Py Sharma, K., - DP 311, 1975	98 - Canton 3225 Py Sharma, K., - DP 311, 1975
80 - Canton 3222 Py Sharma, K., - DP 311, 1975	88 - Canton 3123 Po Sharma, K., - DP 311, 1975	99 - Canton 3225 Fe,Py Sharma, K., - DP 311, 1975
81 - Canton 3223 Ag,Au Tyrone Mines - GM-10515, 1959 Minéralisation en Ag et Au dans des roches volcaniques et/ou sédimentaires.	89 - Canton 3123 Po Sharma, K., - DP 311, 1975	100 - Canton 3225 Py Sharma, K., - DP 311, 1975
82 - Canton 3223 Zn,Pb-Py Tyrone Mines - GM-10515, 1959 Minéralisation en pyrite, galène et sphalérite dans des fractures ou disséminée dans des roches volcaniques et sédimentaires.	90 - Canton 3224 Zn,Pb-Py Tyrone Mines - GM-10515, 1959 Minéralisation en pyrite, galène et sphalérite dans des roches volcaniques et sédimentaires.	101 - Canton 3225 Py Sharma, K., - DP 311, 1975
	91 - Canton 3124 Py Sharma, K., - DP 311, 1975	102 - Canton 3225 Py Sharma, K., - DP 311, 1975
	92 - Canton 3224 Fe Sharma, K., - DP 311, 1975	103 - Canton 3225 Py Sharma, K., - DP 311, 1975

Quelques autres minéralisations ont été décelées lors de la vérification des anomalies. Elles sont décrites dans les aires annotées.

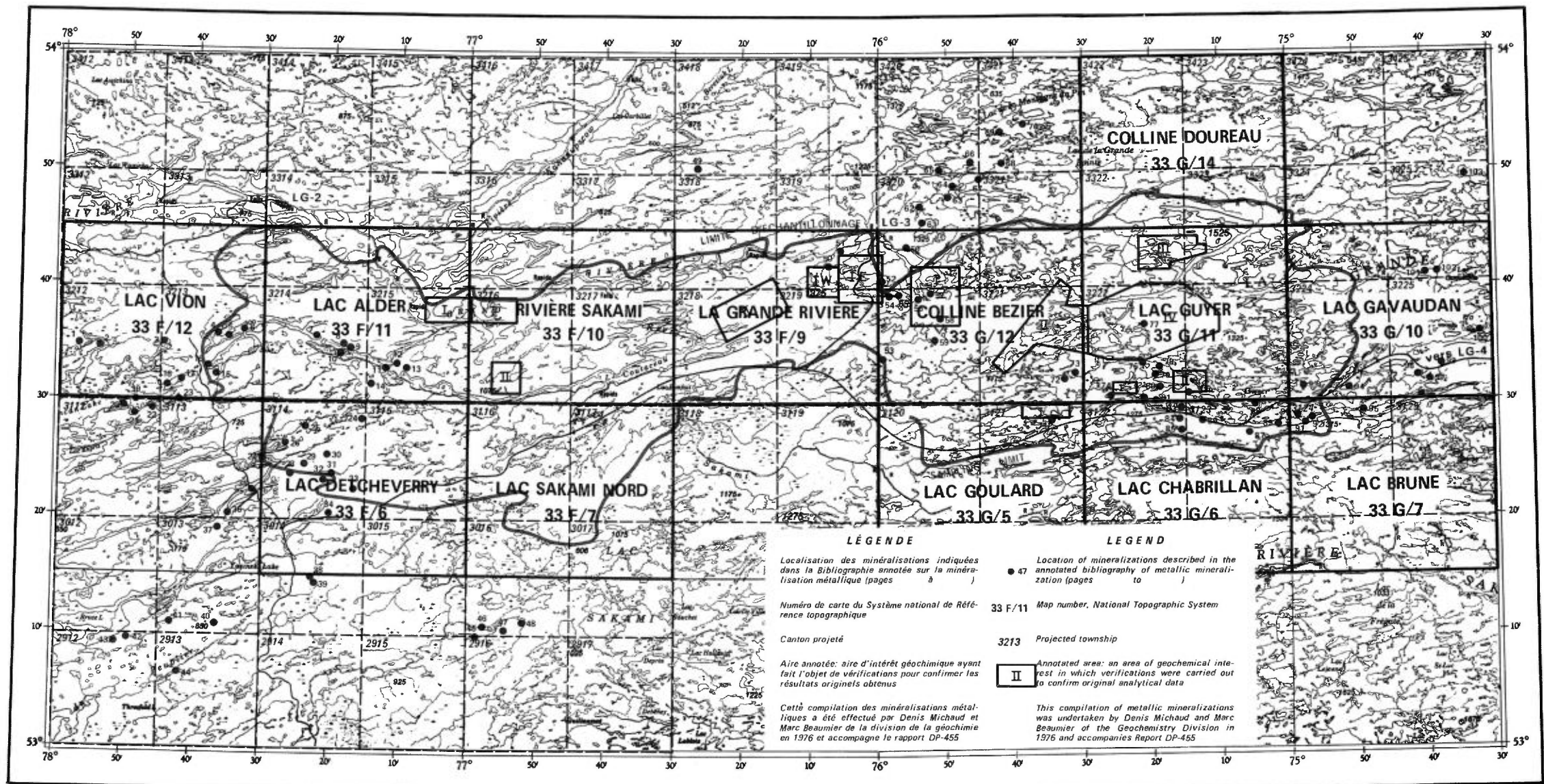


FIGURE 8

CARTE DE LOCALISATION DES MINÉRALISATIONS MÉTALLIQUES ET DES AIRES ANNOTÉES
 LOCATION MAP OF METALLIC MINERALIZATIONS AND ANNOTATED AREAS

RÉGION DE LA GRANDE RIVIÈRE AREA





GEOCHIMIE

ECHANTILLONNAGE

Le prélèvement des sédiments de ruisseau a été effectué selon une procédure utilisée depuis plusieurs années par la division de la Géochimie.

Premièrement, au centre de la région, on établit un camp de base et, à partir de celui-ci, on déploie des équipes de prélèvement (2 personnes ou plus) qu'on installe dans des camps volants pour une durée de 3 à 7 jours. Les déplacements à l'intérieur du territoire se font par hydravion, canoë, hélicoptère ou à pied (figure 9).



FIGURE 9 - Divers modes de déplacement utilisés lors du levé géochimique.

En principe, les sites d'échantillonnage sont marqués sur photographie aérienne pour assurer un espacement d'environ 500 mètres entre chaque échantillon; lorsqu'il y a embranchement d'un ruisseau, on échantillonne l'affluent à 50 mètres en amont du point de confluence. Le préposé à l'échantillonnage choisit le site offrant une granulométrie silteuse et contenant un minimum de matière organique.

La technique de prélèvement requiert un sac de papier poreux et un sac de polythène. Le préposé à l'échantillonnage insère la main dans le sac de polythène, qui lui sert de gant, et remplit le sac de papier (figure 10). Une fois rempli, le sac de papier est fermé et placé dans le sac de polythène, après retournement de ce dernier pour que la surface qui est entrée en contact avec l'échantillon devienne la nouvelle surface intérieure de l'emballage. Cette technique réduit la possibilité de contamination par transfert d'un échantillon à l'autre lors du cheminement et évite que les mains du préposé à l'échantillonnage soient en contact direct avec l'échantillon.

PREPARATION DES ECHANTILLONS

A son retour d'un cheminement le préposé à l'échantillonnage déchire l'emballage de polythène et accroche les sacs d'échantillons sur des supports extérieurs (figure 11). Exposé à l'air libre et au soleil, le sac de papier poreux et son contenu sèchent pendant quelques jours avant d'être expédiés au laboratoire de tamisage. Sur réception, ce laboratoire les soumet à un séchage final dans un four à gaz de grande capacité. (figure 12).



FIGURE 10 - Un préposé à l'échantillonnage procède au prélèvement d'un échantillon de sédiment de ruisseau.

L'échantillon séché est ensuite tamisé par rotovibration dans des récipients en aluminium et acier inoxydable recouverts de Teflon S. La toile du tamis en nylon a une maille de "86 mesh" et des ouvertures de 177 X 177 microns. La fraction fine obtenue est versée dans des fioles de plastique pré-numérotées et expédiée au laboratoire d'analyse.

La préparation des échantillons a été effectuée à Duparquet en 1973 et à Chibougamau en 1974.

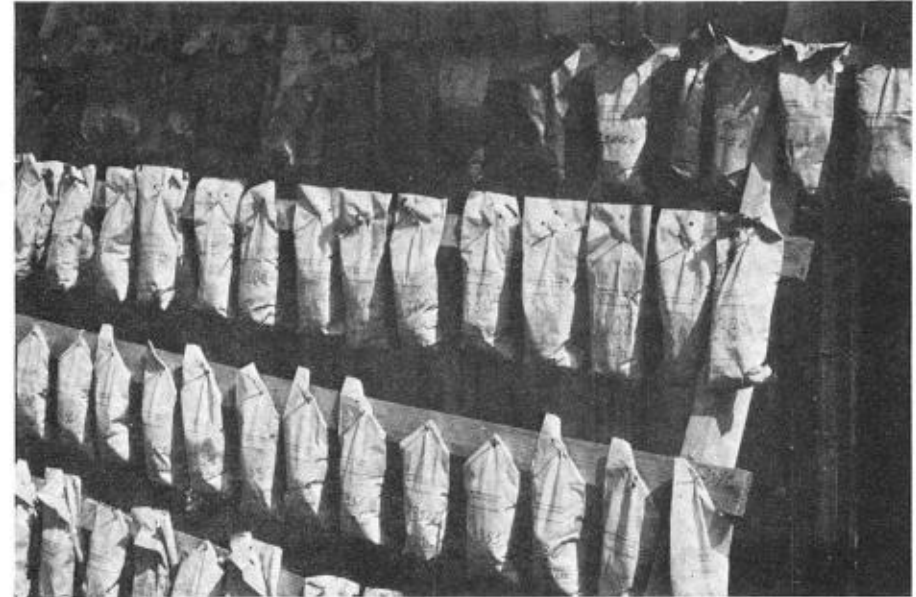


FIGURE 11 - Séchage initial des échantillons sur des supports extérieurs. (Photo R.L. Tremblay).



FIGURE 12 - Four à gaz en aluminium pour le séchage final des échantillons. (Photo J.P. Lalonde).

ANALYSES

Tous les échantillons furent analysés dans les laboratoires de la division des Sédiments du Centre de Recherche minérale du ministère pour les 15 éléments suivants: uranium, cuivre, zinc, plomb, nickel, cobalt, manganèse, vanadium, chrome, barium, lithium, molybdène, césium, étain et argent. Le dosage de tous les éléments, à l'exception de l'uranium, fut effectué par spectrophotométrie d'absorption atomique. La mise en solution pour le cuivre, zinc, plomb, nickel, cobalt, manganèse, barium, lithium et argent fut effectuée par une attaque à l'acide nitrique concentré et chaud; pour le vanadium, chrome, molybdène et césium, par l'acide chlorhydrique; et pour l'étain, par l'acide ascorbique. L'uranium a été dosé par une méthode de chromatographie sur papier (Plamondon, 1968).

Les méthodes d'analyses sont décrites en détail dans deux publications intitulées *Méthodes d'analyses de sédiments de ruisseaux et des eaux souterraines*. La première de ces publications (Pichette, Guimont et Bouchard, 1974) couvre les méthodes utilisées par le laboratoire en 1973, tandis que la deuxième (Pichette et Guimont, 1975) couvre les méthodes en vigueur durant 1974. Généralement, les mêmes méthodes ont été suivies pendant les deux années du projet sauf pour l'argent, auquel une correction pour le bruit de fond a été ajoutée en 1974. L'effet de cette correction est particulièrement marqué et les courbes de distribution ne sont pas directement comparables d'une année à l'autre. On les considère alors séparément, chaque année ayant ses propres statistiques et ses propres cartes géochimiques (pages 121 et 123).

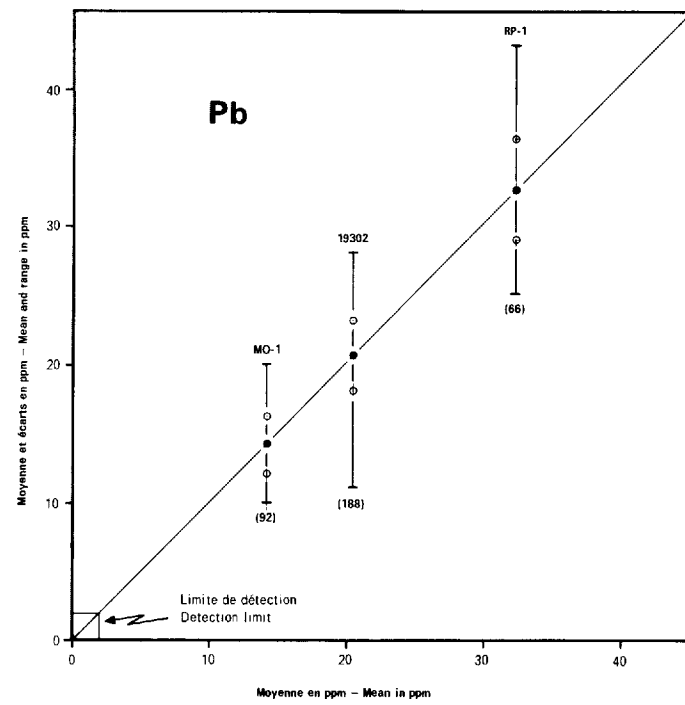
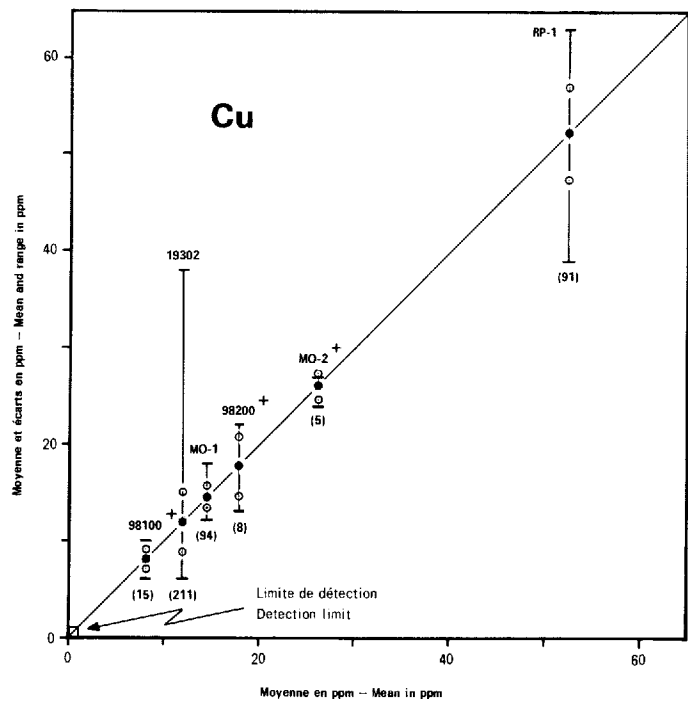
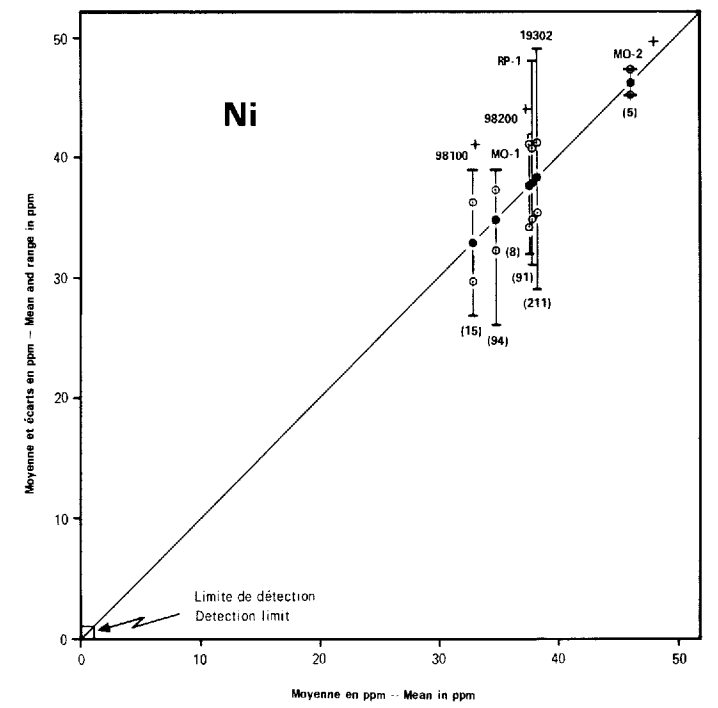
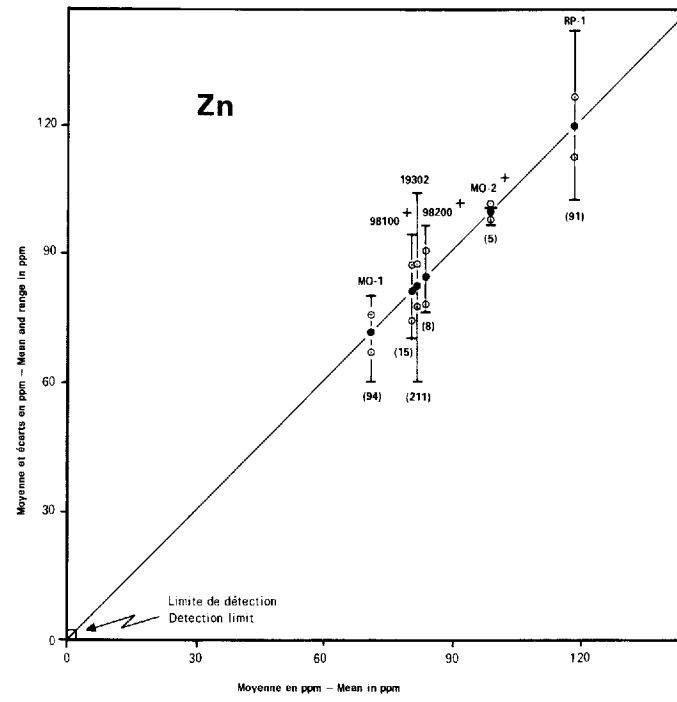
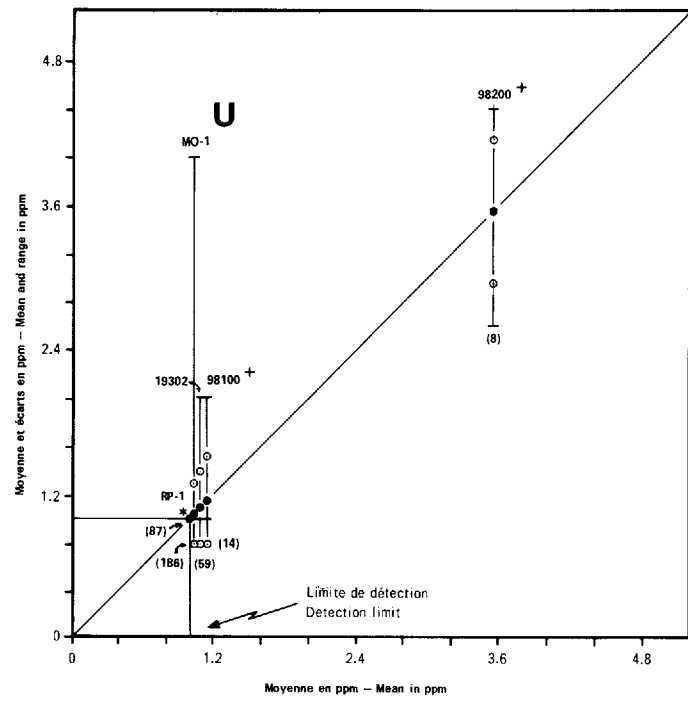
Une correction pour le bruit de fond a aussi été effectuée pour le plomb en 1975. Elle affecte l'analyse des échantillons de la campagne de vérification figurant dans les aires annotées.

On notera que le laboratoire procède par calcination de 1 g de l'échantillon à 550°C avant l'analyse et que certains échantillons ont de fortes proportions de matière organique (jusqu'à 60%).

CONTROLE DE LA QUALITE

La confiance qu'on peut accorder à un résultat d'analyse varie selon l'élément analysé, sa concentration, la précision de la méthode d'analyse, la nature de l'échantillon et les facteurs humains qui interviennent aux étapes de prélèvement et de préparation des échantillons. L'effet cumulatif de toutes ces variables est difficilement évaluable; par contre, l'établissement d'un contrôle de qualité serré à tous les niveaux - vérification de terrain, prélèvement de nouveaux échantillons et emploi régulier d'échantillons standards - permet de s'assurer que les résultats obtenus sont fiables.

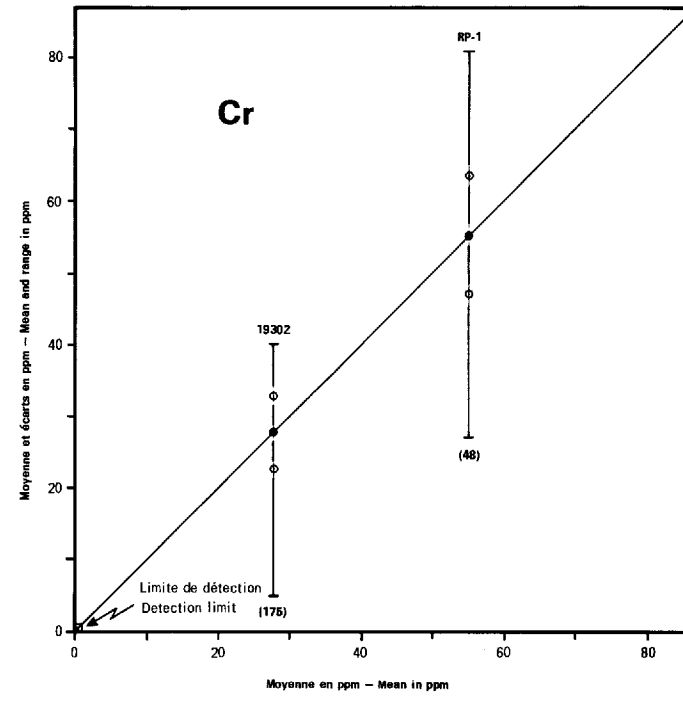
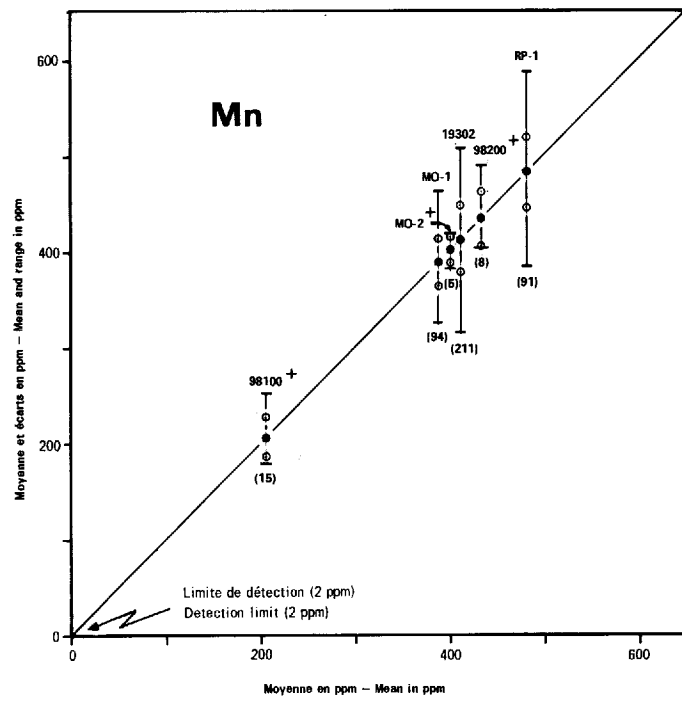
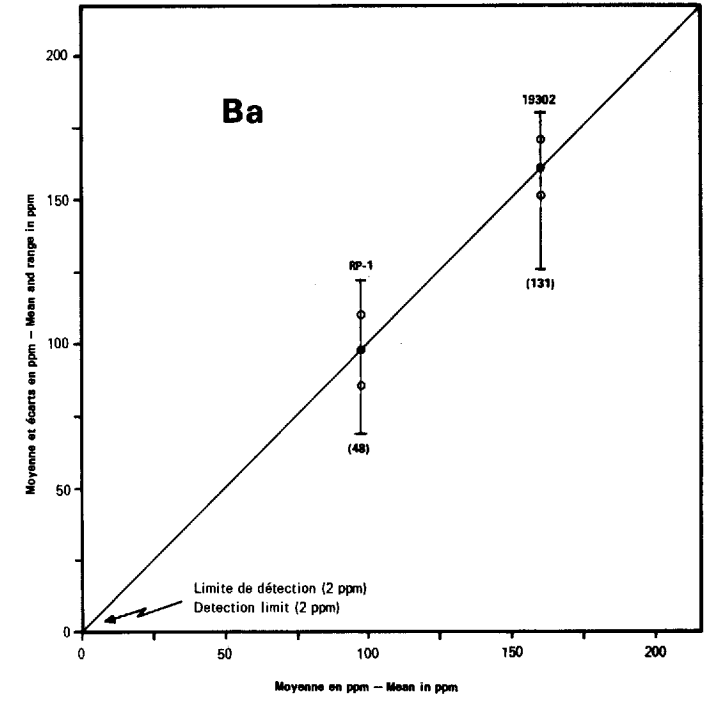
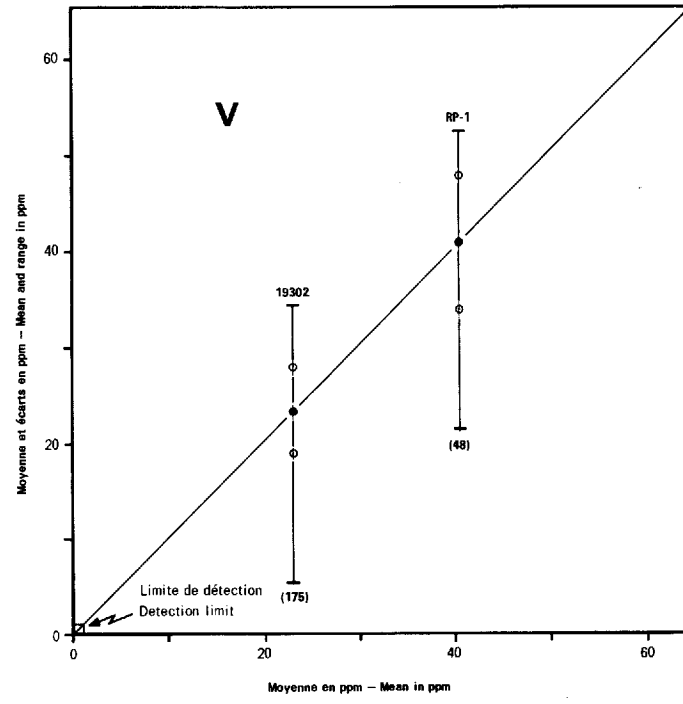
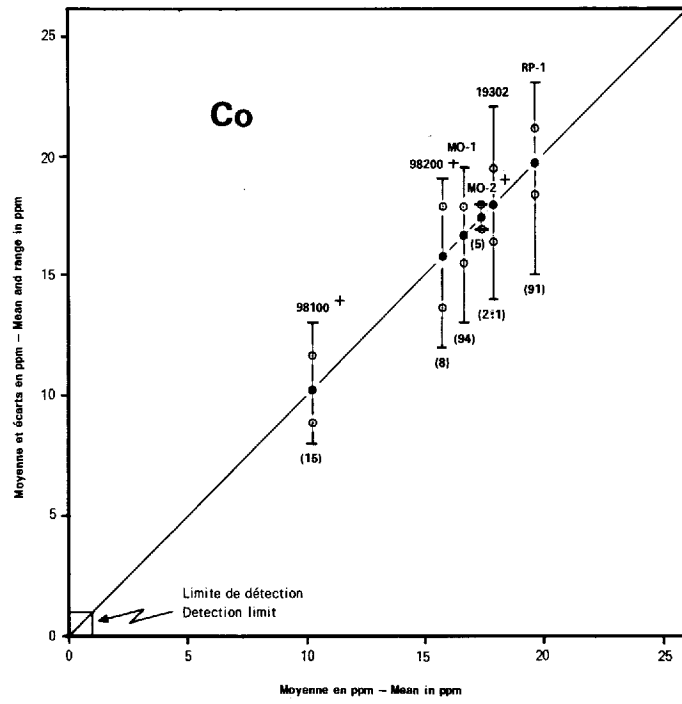
La division de la Géochimie a instauré tous les contrôles possibles pour s'assurer de la qualité de ces résultats et réduire à un minimum les sources de contamination et d'erreurs possibles.



LÉGENDE
LEGEND

- MB 1 Standard
- Valeur maximale
Maximum value
- Écart-type
Standard deviation
- Moyenne
Average
- Écart-type
Standard deviation
- Valeur minimale
Minimum value
- (10) Nombre de déterminations
Number of determinations

FIGURE 13
PRÉCISION DE LA MÉTHODE D'ANALYSE
ANALYTICAL PRECISION



- LÉGENDE**
LEGEND
- MB 1 Standard
 - Valeur maximale
Maximum value
 - Écart-type
Standard deviation
 - Moyenne
Average
 - Écart-type
Standard deviation
 - Valeur minimale
Minimum value
 - (10) Nombre de déterminations
Number of determinations

FIGURE 13

PRÉCISION DE LA MÉTHODE D'ANALYSE
ANALYTICAL PRECISION

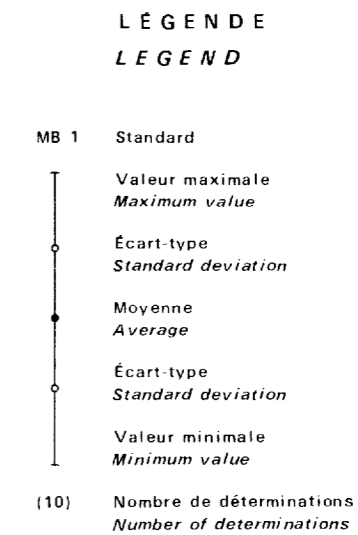
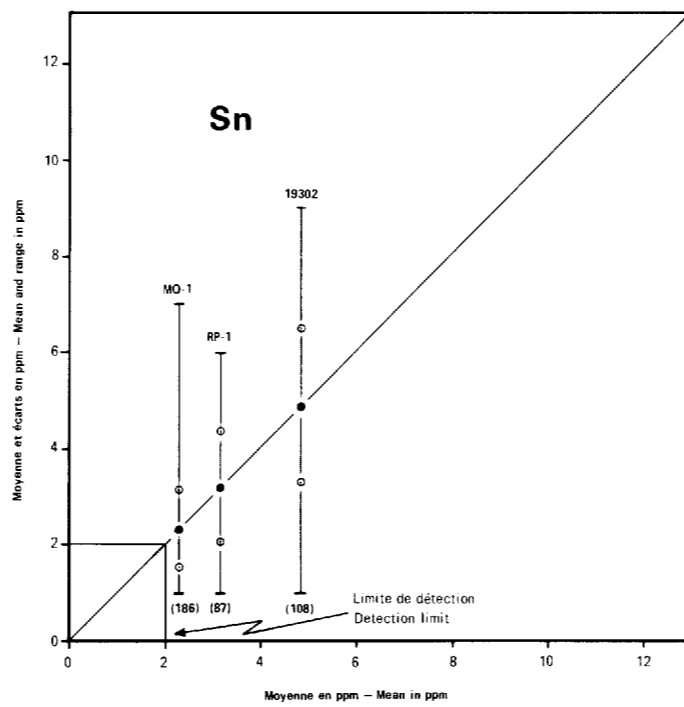
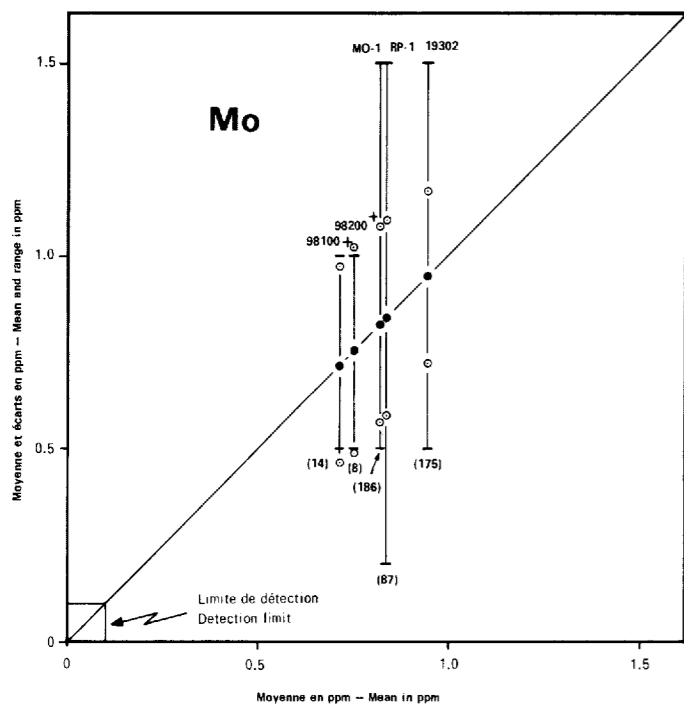
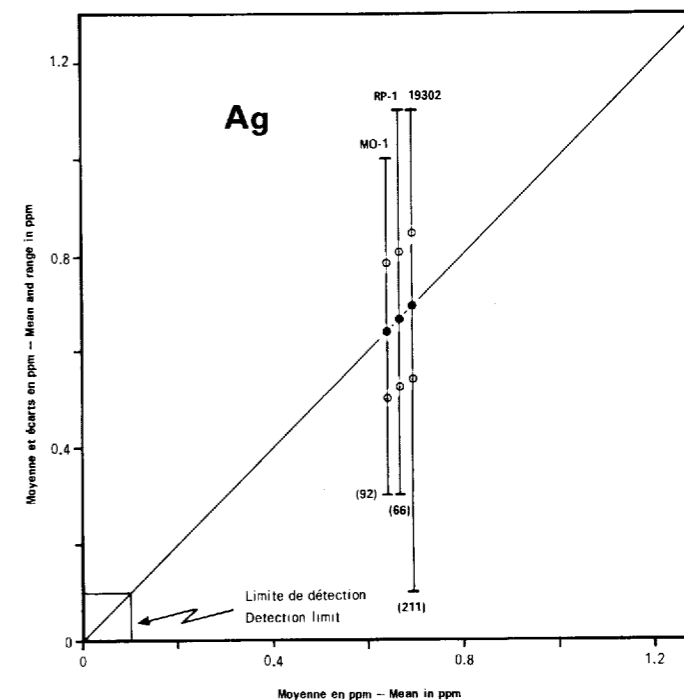
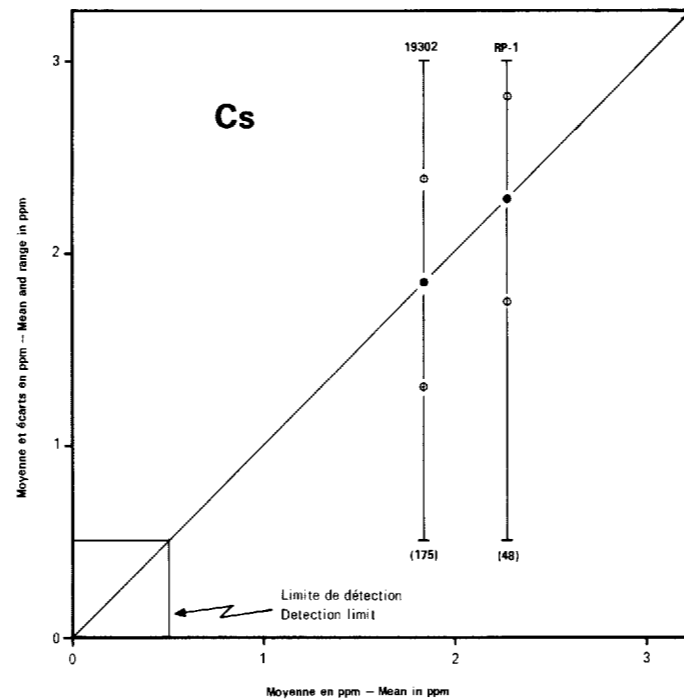
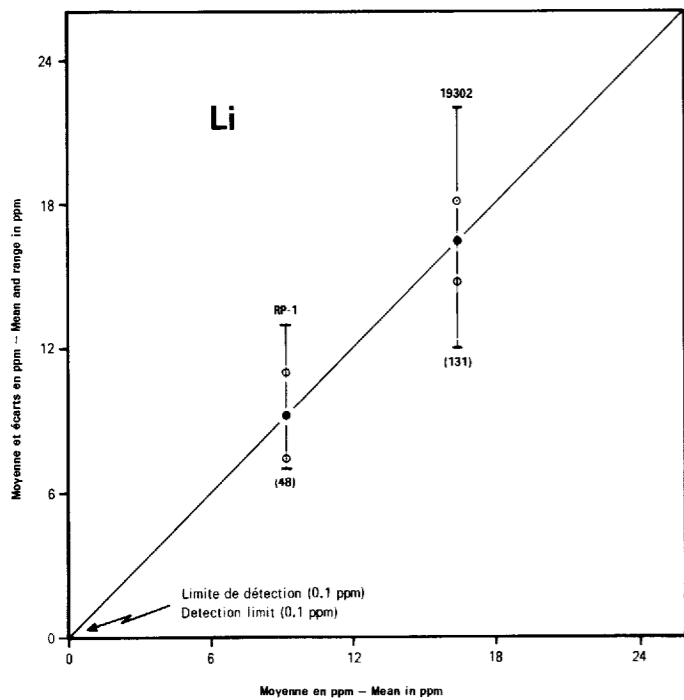


FIGURE 13

PRÉCISION DE LA MÉTHODE D'ANALYSE
ANALYTICAL PRECISION

d'une évaluation sommaire de la courbe de distribution de l'élément sur l'ensemble du territoire, et s'étale entre une classe inférieure qui contient 67% des échantillons (symbole .) et une classe supérieure comprenant 2% des échantillons (+), en passant par des classes de 18% (⊕), 9% (●) et 4% (●). Pour accentuer les plus hautes teneurs la classe supérieure est subdivisée en un nombre variable de sous-classes indiquées par des chiffres superposés au symbole. Ces sous-classes sont établies en doublant géométriquement la teneur minimale de la classe supérieure jusqu'à ce que toutes les teneurs soient réparties en sous-classes. Par exemple, l'intervalle de teneurs de la classe supérieure pour le cuivre couvre l'intervalle de 49 à 4700 ppm. En doublant géométriquement la teneur de la limite minimale de la classe, et en arrondissant légèrement le résultat, on obtient 100, 200, 400, 800, 1600, 3200 et 6400, ce qui fournit sept sous-classes numérotées 1 à 7. En général, lorsque la plupart des dosages sont près de la limite de détection de la méthode analytique et que la courbe de distribution est par conséquent mal définie sur son ensemble (Ag e.g.), on obtient peu de sous-classes. Lorsque la courbe de distribution est relativement complète, avec peu de valeurs à la limite de détection, le nombre de sous-classes est plus élevé (Cu, e.g.).

La mise en carte comme telle fut effectuée par le truchement d'un programme mécanographique (CALODA) suivi de l'application manuelle et sélective de symboles par transfert à sec pour les classes supérieures. Cette combinaison de mécanographie, de finition manuelle à quelques étapes précises et de réduction d'échelle à 1:125,000 s'est avéré efficace, économique et rapide.

OBSERVATIONS ET CONCLUSIONS

L'investigation systématique des éléments traces dans les sédiments de ruisseau de la région de La Grande Rivière a permis de dégager un certain nombre d'aires anormales pour un ou plusieurs éléments. Chacune de ces aires a fait l'objet de vérification ultérieure par ré-analyse des échantillons ou par nouveaux prélèvements d'échantillons. On trouvera une description complète de chaque aire anotée, accompagnée d'observations et de commentaires appropriés, sur chaque feuillet de l'atlas qui en contient.

Certaines observations d'ordre général importantes sont à souligner:

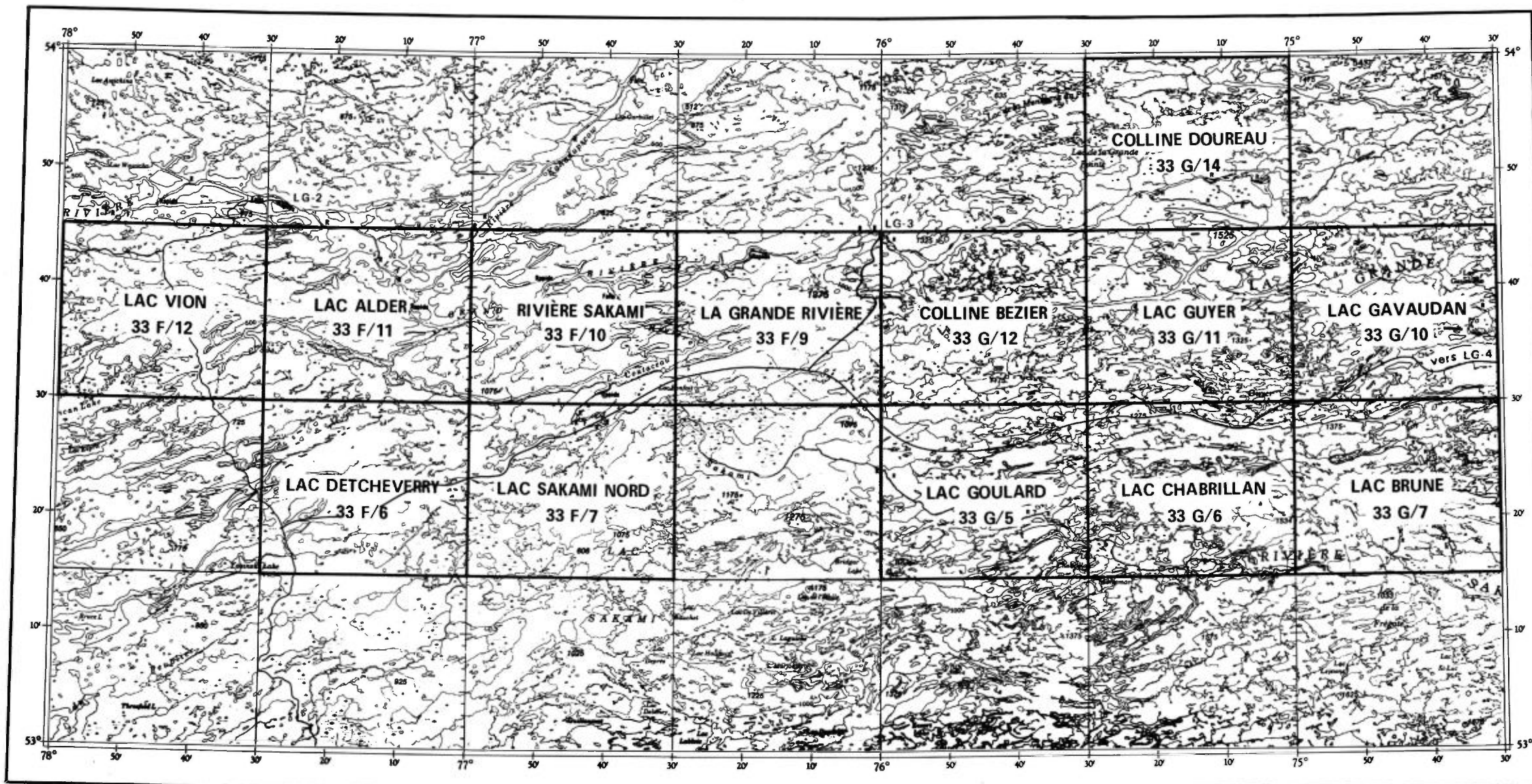
- . la région est une province uranifère à teneurs extrêmement élevées.
- . les bandes de roches vertes sont clairement délimitées par l'association constante des métaux de base qu'elles contiennent et,
- . parmi les vastes étendues monotone de quartz-diorite, on distingue des bandes lithochimiques multi-éléments parallèles à la structure régionale.

Le fait essentiel découlant de cette étude est l'efficacité de la méthode d'échantillonnage pour discerner non seulement des concentrations anormales en uranium mais pour la plupart des autres éléments analysés. Compte tenu du phénomène de dispersion glaciaire, fluviale et fluvioglaciaire et, par conséquent, de la dilution des valeurs, il est probable que les résultats obtenus sont attribuables à des concentrations

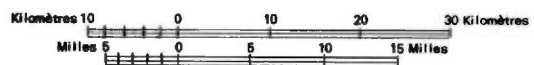
réelles. Le problème ultérieur est donc d'en expliquer l'existence en tentant de remonter aux sources. On doit donc envisager d'entreprendre des recherches de terrain plus détaillées par différentes techniques, sans exclure la prospection au marteau.

BIBLIOGRAPHIE

- BARAGAR, W.R.A. - McGLYNN, J.C.
1976 *Early archean basement in the Canadian Shield: a review of the evidence*; Geological Survey of Canada; paper 76-14.
- BOYLE, R.W.
1976 *Mineralization processes in Archean greenstone and sedimentary belts*; Geological Survey of Canada; paper 75-15.
- COCKBURN, G.H.
1975 "BADGEQ" *A computer based geochemical Information system*; Canadian Mining Journal; Volume 96, April 1975, pages 88-89.
1977 *Données brutes de l'échantillonnage des sédiments de ruisseau de la région de La Grande Rivière: 1) résultats d'analyses, 2) tests de log-normalité, 3) caractéristiques des échantillons et, 4) cartes de localisation des échantillons*; ministère des Richesses naturelles, Québec; 1 à 4 sur microfiches (DP-456); 1 et 4 en lithographie (DPV-456).
- COCKBURN, G.H. - SERGERIE, G.
1975 *L'uranium dans les sédiments de ruisseau-Région du Lac Sakami-La Grande Rivière*; ministère des Richesses naturelles, Québec; DP-307.
- EADE, K.E.
1966 *Fort George River and Kaniopiskau River (west half) map areas, New Québec*; Geological Survey of Canada; Memoir 339.
- LEE, H.A. - EADE, K.E. - HEYWOOD, W.W.
1957 *Surficial Geology of Sakami Lake*; Geological Survey of Canada; Map 52-159.
- MILLS, J.P.
1972 *Geology of the Sakami Lake Area, New Québec Territory*; ministère des Richesses naturelles, Québec; DP-100.
1973 *Geology of the Long Lake Map Area New Québec, Québec*; ministère des Richesses naturelles, Québec; DP-141.
1973 *Geology of the Sakami Lake (North) Area, Nouveau Québec*; ministère des Richesses naturelles, Québec; DP-148.
- PICHETTE, M. - GUIMONT, J. - BOUCHARD, A.
1974 *Méthodes d'analyse des sédiments de ruisseau, 1973-74*; ministère des Richesses naturelles, Québec; S-153.
- PICHETTE, M. - GUIMONT, J.
1975 *Méthodes d'analyse des sédiments de ruisseau et des eaux souterraines, 1974-75*; ministère des Richesses naturelles, Québec; S-153.
- PLAMONDON, J.
1968 *Rapid determination of uranium in geochemical samples by paper chromatography*; Economic Geology; volume 63, pages 76-79.
- SHARMA, K.N.M.
1973 *La Grande Rivière Area, New Québec Territory*; ministère des Richesses naturelles, Québec; DP-221.
1974 *La Grande Rivière Area, New Québec Territory*; ministère des Richesses naturelles, Québec; DP-275.
1975 *La Grande Rivière Area, New Québec Territory*; ministère des Richesses naturelles, Québec; DP-311, (rapport final subséquent aux rapports DP-221 et DP-275).
1976 *La Grande Rivière Area, New Québec Territory*; ministère des Richesses naturelles, Québec; DP-345 (rapport préliminaire des travaux de 1975).



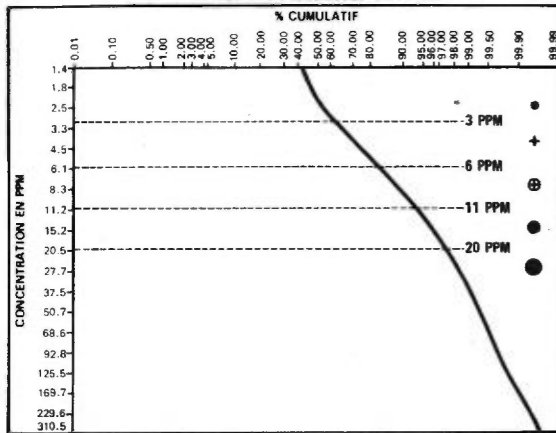
**INDEX DES CARTES GÉOCHIMIQUES
RÉGION DE LA GRANDE RIVIÈRE**



LÉGENDE

GÉOCHIMIE

COURBE DES FRÉQUENCES CUMULÉES



LA CLASSE SUPÉRIEURE EST SUBDIVISÉE GÉOMÉTRIQUEMENT

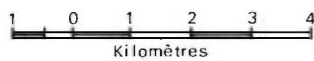
- ① 21 - 40 ② 41 - 80 ③ 81 - 160 ④ 161 - 320 ⑤ 321 - 640 ⑥ 641 - 1280
- ⑦ 1281 - 2560 ⑧ 2561 - 5120 PPM

LITHOLOGIE SIMPLIFIÉE

- 14 Sable et gravier
- S "Sandstone" FM-Sakami
- 13 Dyke de diabase
- 12 Dyke de pegmatite
- 11 Granite
- 10 Quartz-diorite
- 9 Migmatite
- 8 Granite migmatitique
- 7 Formation de fer
- 6 Roche métasédimentaire
- 5 Tuf rhyolitique
- 4 Lave intermédiaire
- 3 Roche ultrabasique
- 2A Amphibolite
- 2 Lave basique
- 1 Gneiss non différencié

Contact ———
Faille - - - - -

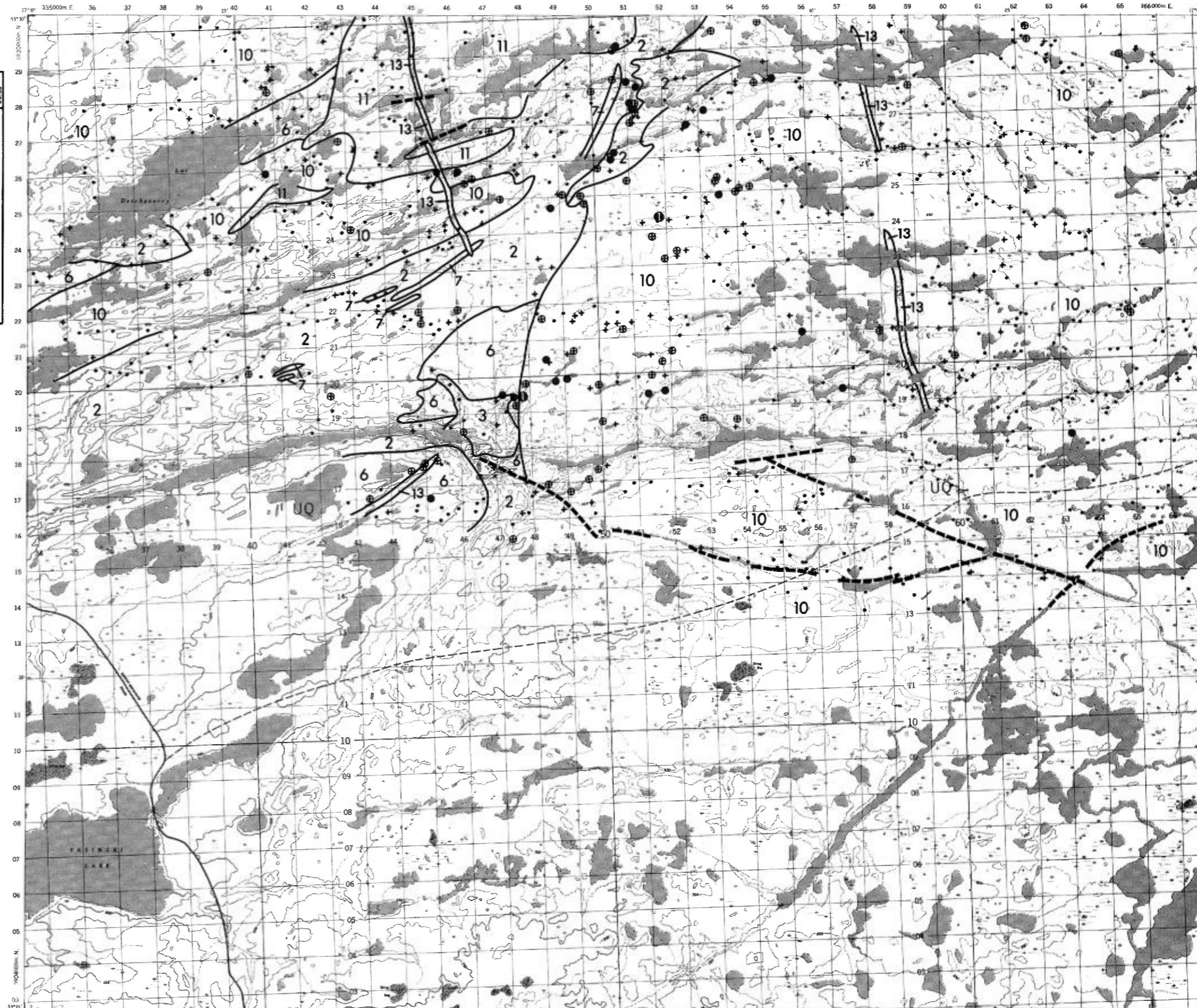
ÉCHELLE 1:125,000



SERVICE DES GÎTES MINÉRAUX

DIVISION DE LA GÉOCHIMIE
G.H. COCKBURN

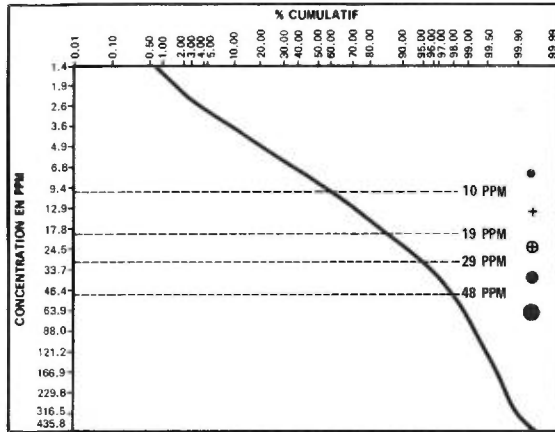
Carte géochimique No 1827



LÉGENDE

GÉOCHIMIE

COURBE DES FRÉQUENCES CUMULÉES



LA CLASSE SUPÉRIEURE EST SUBDIVISÉE GÉOMÉTRIQUEMENT

- ① 49 - 100
- ② 101 - 200
- ③ 201 - 400
- ④ 401 - 800
- ⑤ 801 - 1600
- ⑥ 1601 - 3200
- ⑦ 3201 - 6400 PPM

LITHOLOGIE SIMPLIFIÉE

- 14 Sable et gravier
- S "Sandstone" FM-Sakami
- 13 Dyke de diabase
- 12 Dyke de pegmatite
- 11 Granite
- 10 Quartz-diorite
- 9 Migmatite
- 8 Granite migmatitique
- 7 Formation de fer
- 6 Roche métasédimentaire
- 5 Tuf rhyolitique
- 4 Lave intermédiaire
- 3 Roche ultrabasique
- 2A Amphibolite
- 2 Lave basique
- 1 Gneiss non différencié

- Contact ———
- Faïlle - - - - -

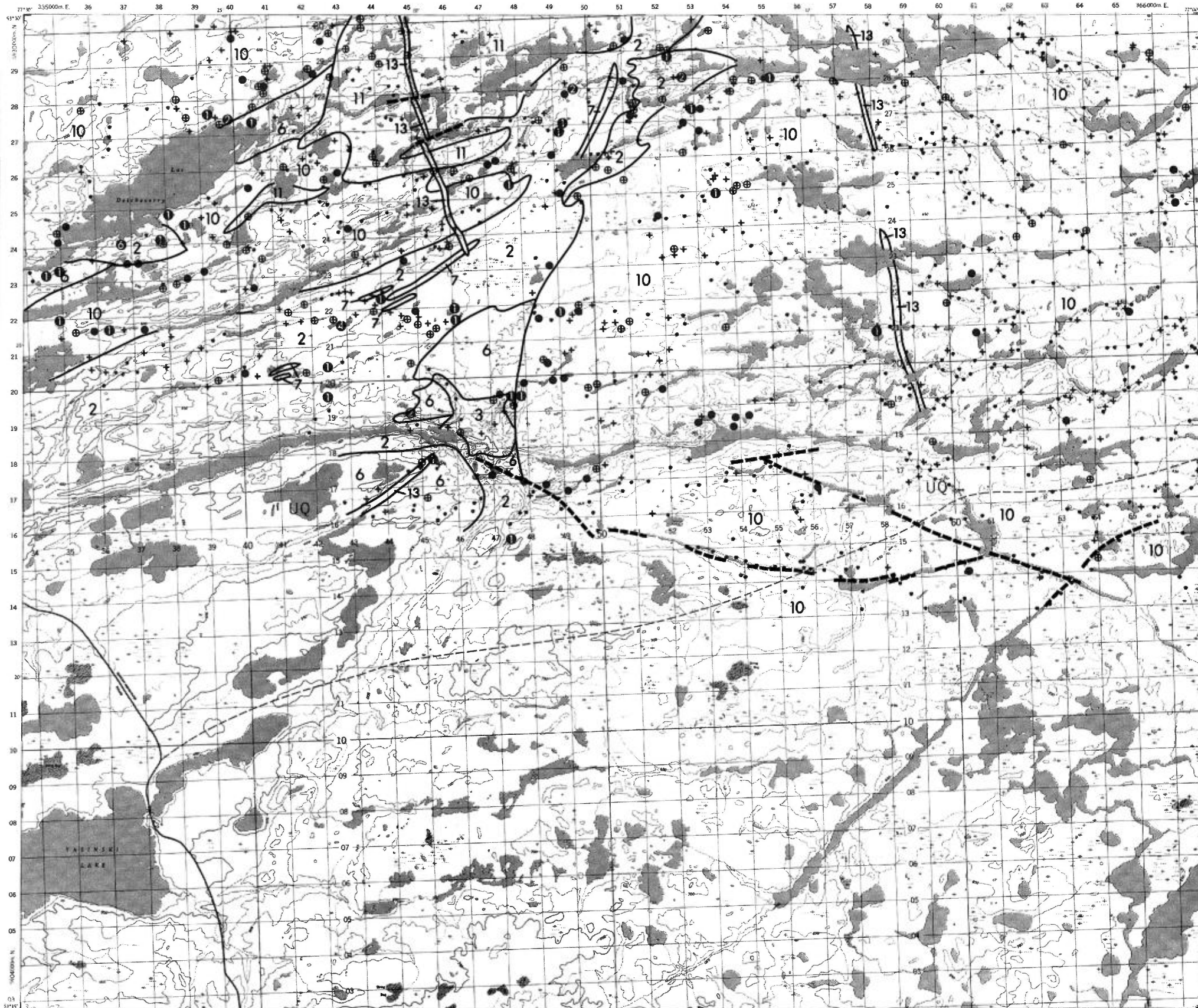
ÉCHELLE 1:125,000



SERVICE DES GÎTES MINÉRAUX

DIVISION DE LA GÉOCHIMIE
G.H. COCKBURN

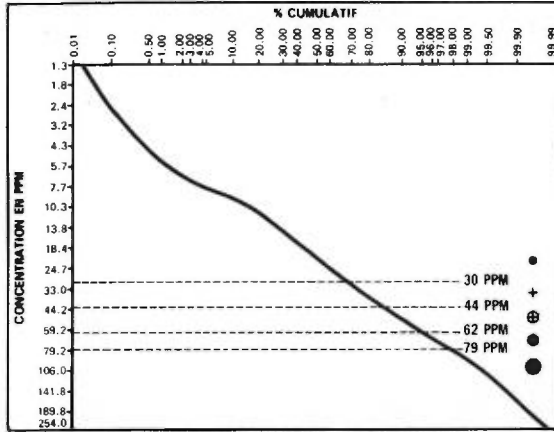
Carte géochimique No 1827



LÉGENDE

GÉOCHIMIE

COURBE DES FRÉQUENCES CUMULÉES



LA CLASSE SUPÉRIEURE EST SUBDIVISÉE GÉOMÉTRIQUEMENT

① 80 - 160 ② 161 - 320 ③ 321 - 640 PPM

LITHOLOGIE SIMPLIFIÉE

- 14 Sable et gravier
- S "Sandstone" FM-Sakami
- 13 Dyke de diabase
- 12 Dyke de pegmatite
- 11 Granite
- 10 Quartz-diorite
- 9 Migmatite
- 8 Granite migmatitique
- 7 Formation de fer
- 6 Roche métasédimentaire
- 5 Tuf rhyolitique
- 4 Lave intermédiaire
- 3 Roche ultrabasique
- 2A Amphibolite
- 2 Lave basique
- 1 Gneiss non différencié

Contact ———
Faille - - - - -

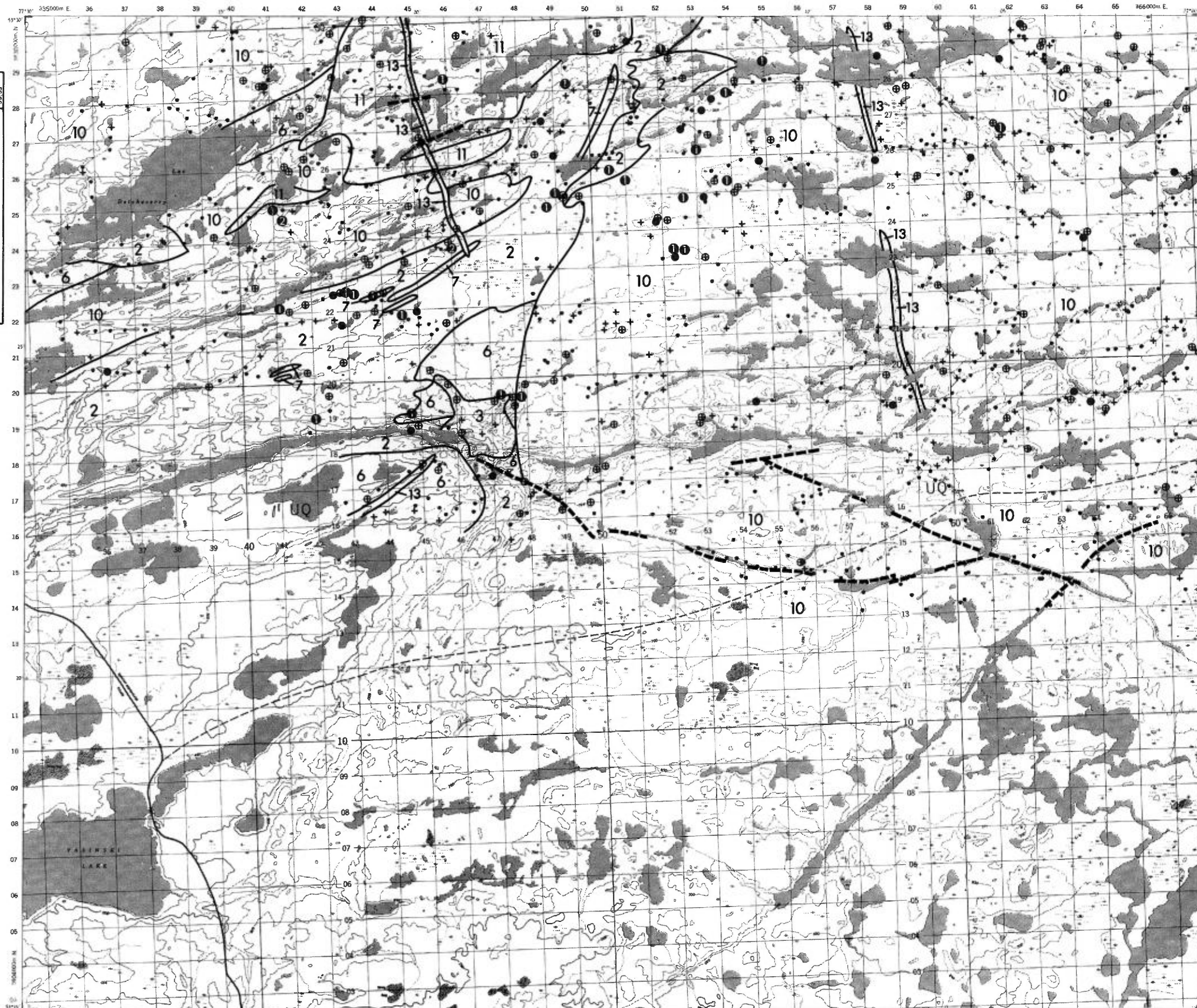
ÉCHELLE 1:125,000



SERVICE DES GÎTES MINÉRAUX

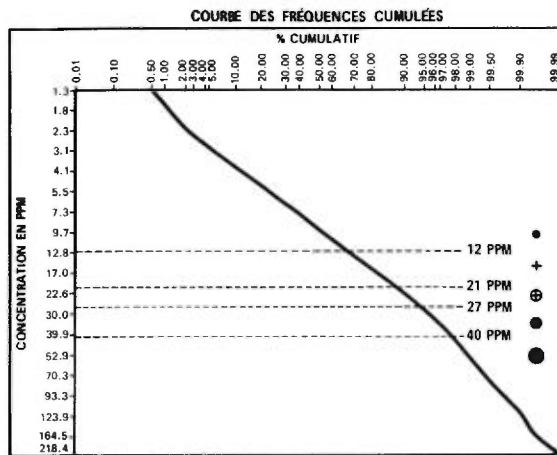
DIVISION DE LA GÉOCHIMIE
G.H. COCKBURN

Carte géochimique No 1827



LÉGENDE

GÉOCHIMIE

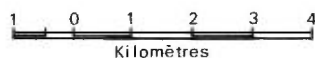


LITHOLOGIE SIMPLIFIÉE

- 14 Sable et gravier
- S "Sandstone" FM-Sakami
- 13 Dyke de diabase
- 12 Dyke de pegmatite
- 11 Granite
- 10 Quartz-diorite
- 9 Migmatite
- 8 Granite migmatitique
- 7 Formation de fer
- 6 Roche métasédimentaire
- 5 Tuf rhyolitique
- 4 Lave intermédiaire
- 3 Roche ultrabasique
- 2A Amphibolite
- 2 Lave basique
- 1 Gneiss non différencié

Contact ———
Faille - - - - -

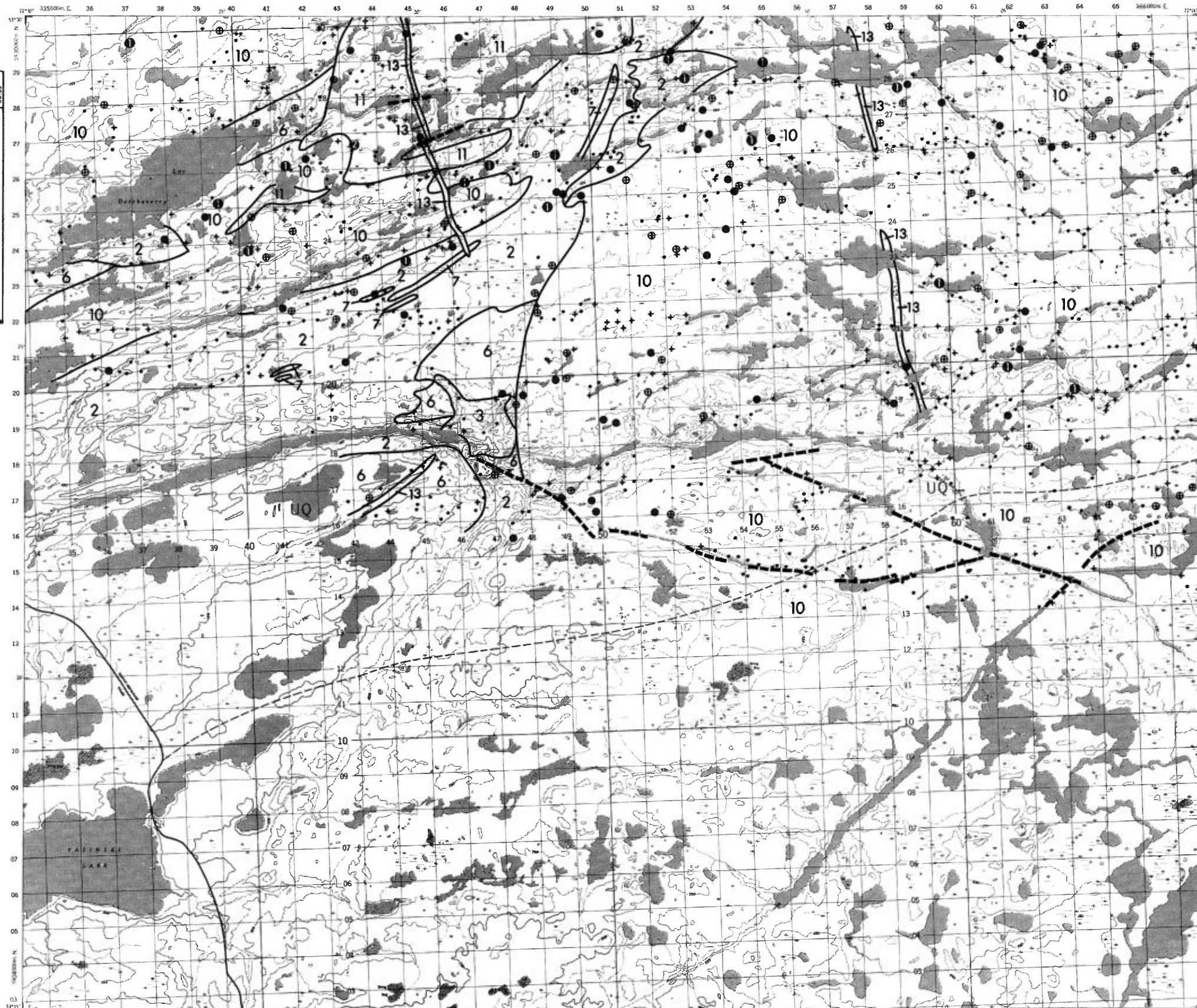
ÉCHELLE 1:125,000



SERVICE DES GÎTES MINÉRAUX

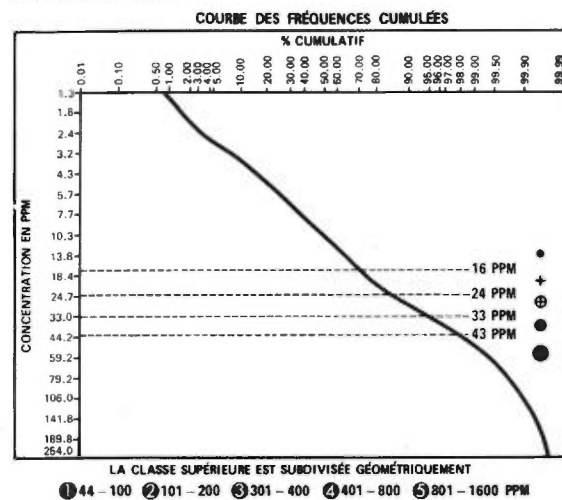
DIVISION DE LA GÉOCHIMIE
G.H. COCKBURN

Carte géochimique No 1827



LÉGENDE

GÉOCHIMIE



LITHOLOGIE SIMPLIFIÉE

- 14 Sable et gravier
- S "Sandstone" FM-Sakami
- 13 Dyke de diabase
- 12 Dyke de pegmatite
- 11 Granite
- 10 Quartz-diorite
- 9 Migmatite
- 8 Granite migmatitique
- 7 Formation de fer
- 6 Roche métasédimentaire
- 5 Tuf rhyolitique
- 4 Lave intermédiaire
- 3 Roche ultrabasique
- 2A Amphibolite
- 2 Lave basique
- 1 Gneiss non différencié

- Contact ———
- Faillle - - - - -

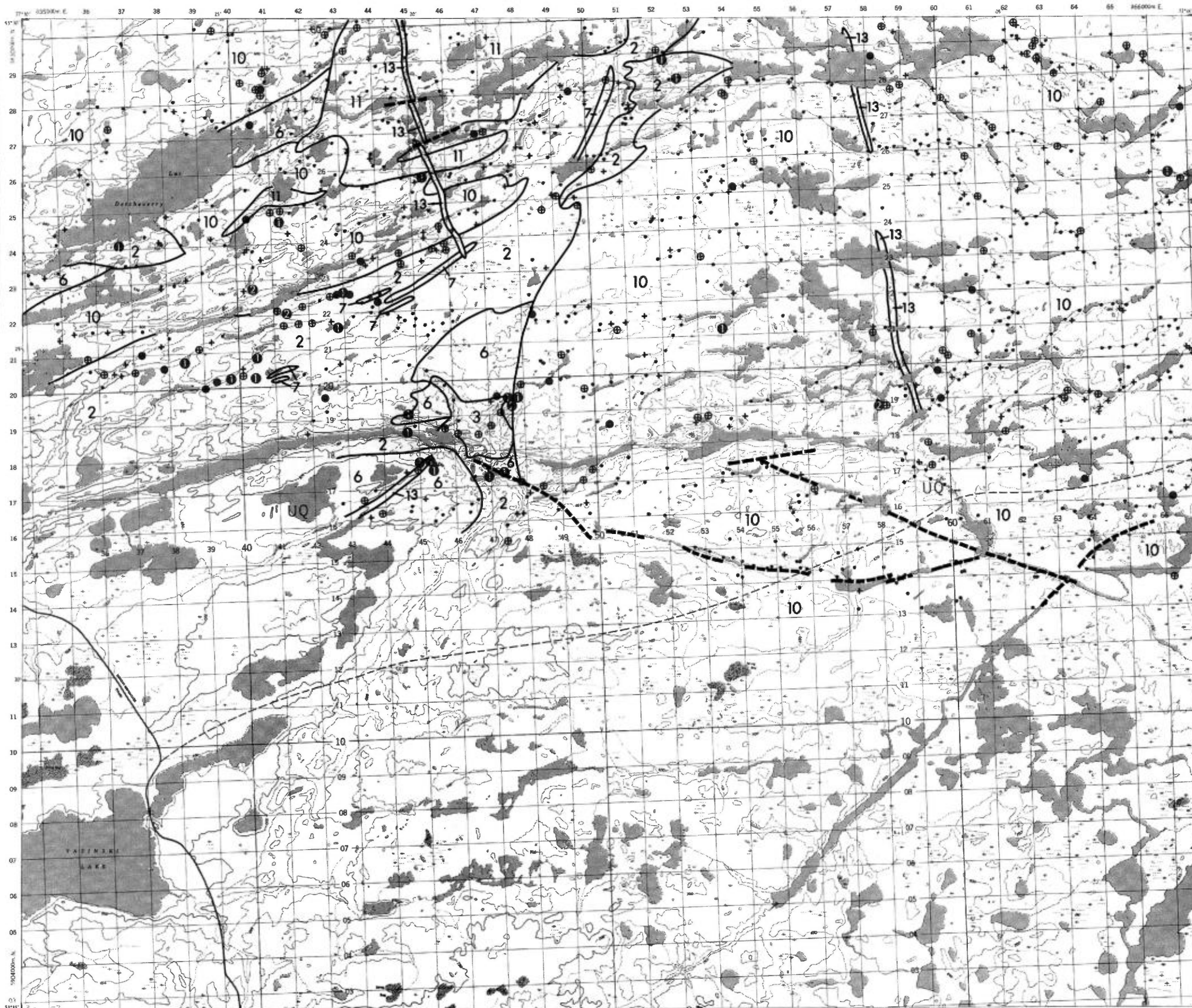
ÉCHELLE 1:125,000



SERVICE DES GÎTES MINÉRAUX

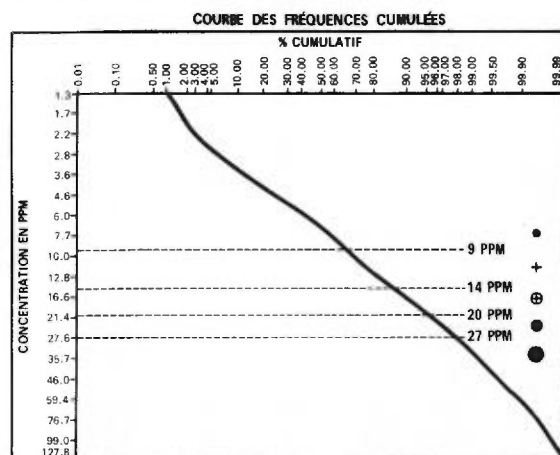
DIVISION DE LA GÉOCHIMIE
G.H. COCKBURN

Carte géochimique No 1827



LÉGENDE

GÉOCHIMIE



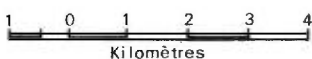
LA CLASSE SUPÉRIEURE EST SUBDIVISÉE GÉOMÉTRIQUEMENT
① 28 - 60 ② 61 - 120 ③ 121 - 240 PPM

LITHOLOGIE SIMPLIFIÉE

- 14 Sable et gravier
- S "Sandstone" FM-Sakami
- 13 Dyke de diabase
- 12 Dyke de pegmatite
- 11 Granite
- 10 Quartz-diorite
- 9 Migmatite
- 8 Granite migmatitique
- 7 Formation de fer
- 6 Roche métasédimentaire
- 5 Tuf rhyolitique
- 4 Lave intermédiaire
- 3 Roche ultrabasique
- 2A Amphibolite
- 2 Lave basique
- 1 Gneiss non différencié

Contact ———
Faille - - - - -

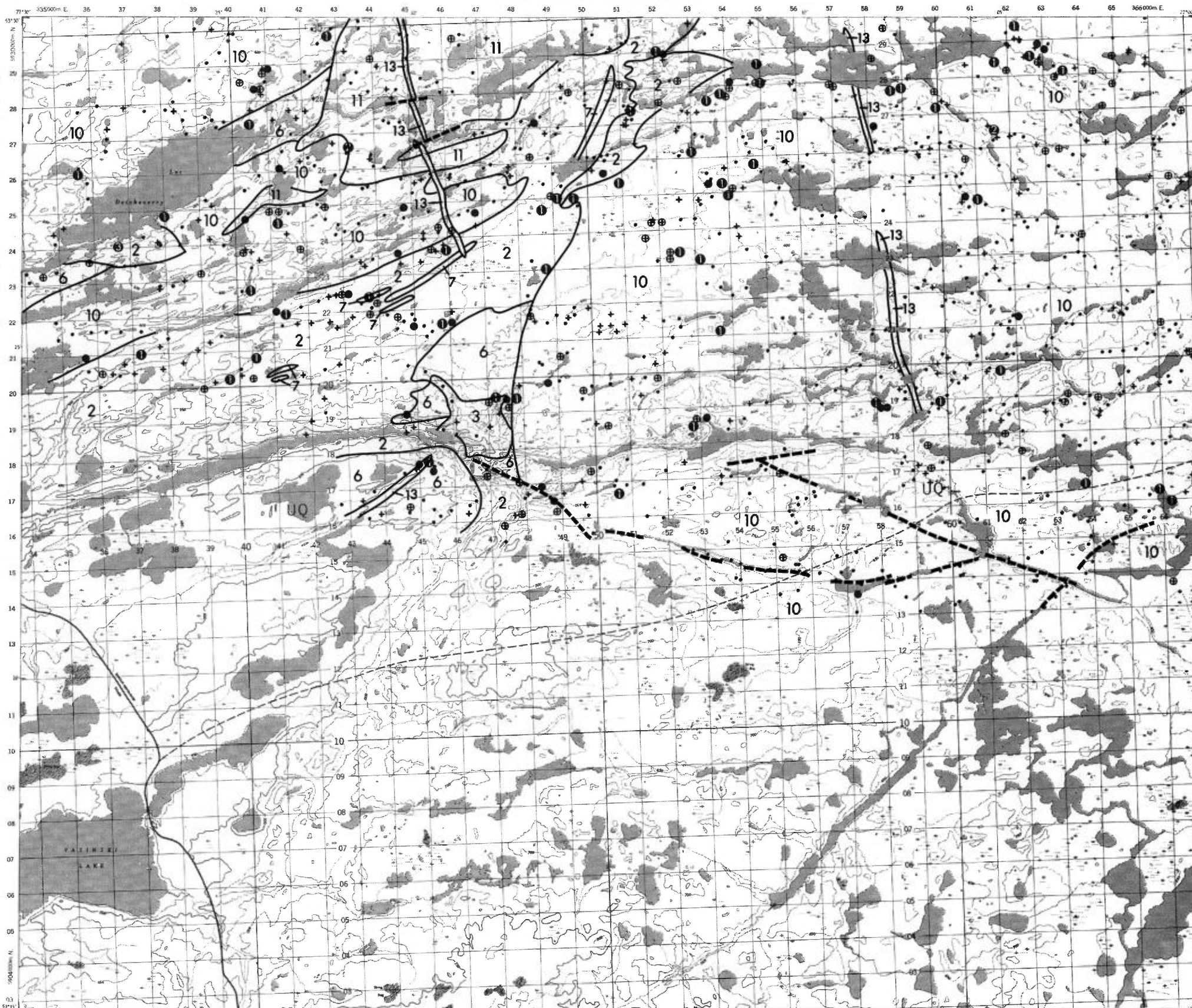
ÉCHELLE 1:125,000



SERVICE DES GÎTES MINÉRAUX

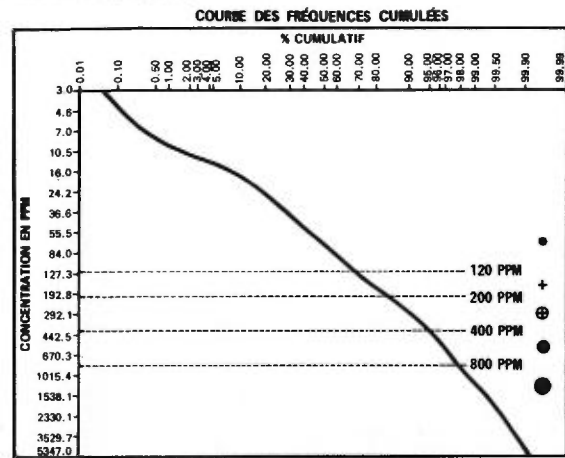
DIVISION DE LA GÉOCHIMIE
G.H. COCKBURN

Carte géochimique No 1827



LÉGENDE

GÉOCHIMIE

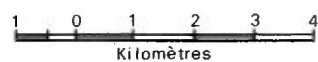


LITHOLOGIE SIMPLIFIÉE

- 14 Sable et gravier
- S "Sandstone" FM-Sakami
- 13 Dyke de diabase
- 12 Dyke de pegmatite
- 11 Granite
- 10 Quartz-diorite
- 9 Migmatite
- 8 Granite migmatitique
- 7 Formation de fer
- 6 Roche métasédimentaire
- 5 Tuf rhyolitique
- 4 Lave intermédiaire
- 3 Roche ultrabasique
- 2A Amphibolite
- 2 Lave basique
- 1 Gneiss non différencié

Contact ———
 Faille - - - - -

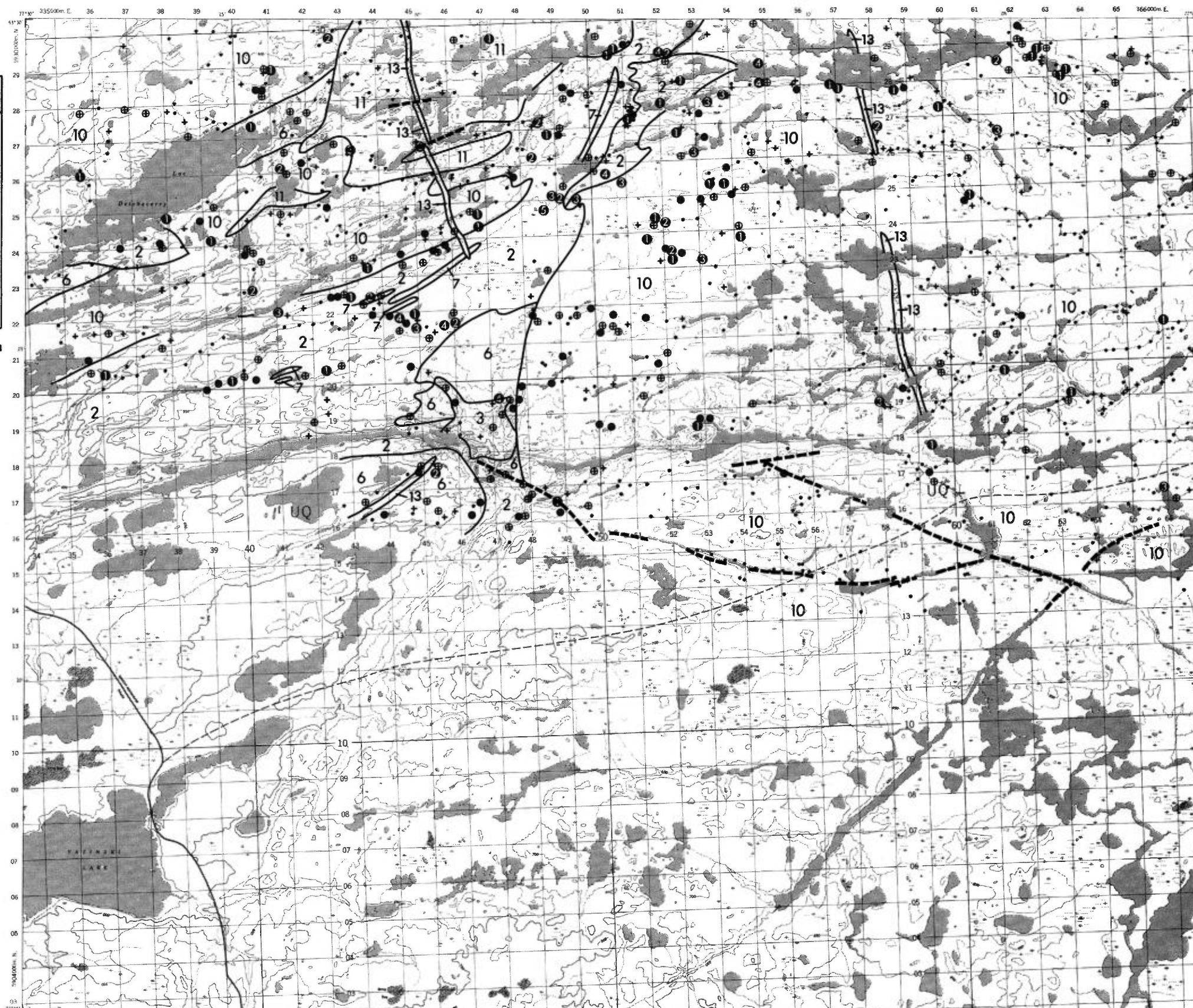
ÉCHELLE 1:125,000



SERVICE DES GÎTES MINÉRAUX

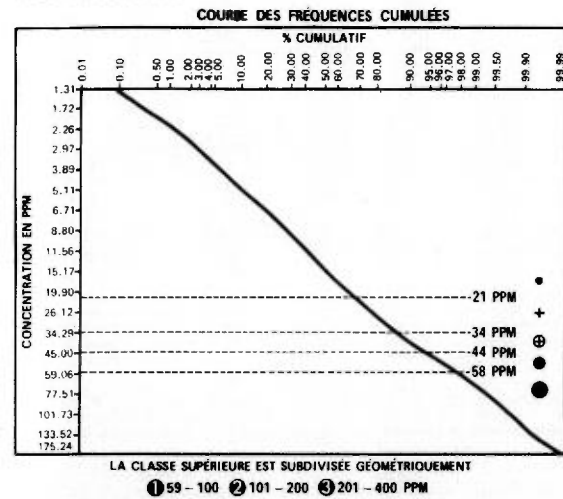
DIVISION DE LA GÉOCHIMIE
 G.H. COCKBURN

Carte géochimique No 1827



LÉGENDE

GÉOCHIMIE

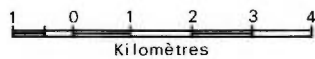


LITHOLOGIE SIMPLIFIÉE

- 14 Sable et gravier
- S "Sandstone" FM-Sakami
- 13 Dyke de diabase
- 12 Dyke de pegmatite
- 11 Granite
- 10 Quartz-diorite
- 9 Migmatite
- 8 Granite migmatitique
- 7 Formation de fer
- 6 Roche métasédimentaire
- 5 Tuf rhyolitique
- 4 Lave intermédiaire
- 3 Roche ultrabasiq
- 2A Amphibolite
- 2 Lave basique
- 1 Gneiss non différencié

Contact ———
Faille - - - - -

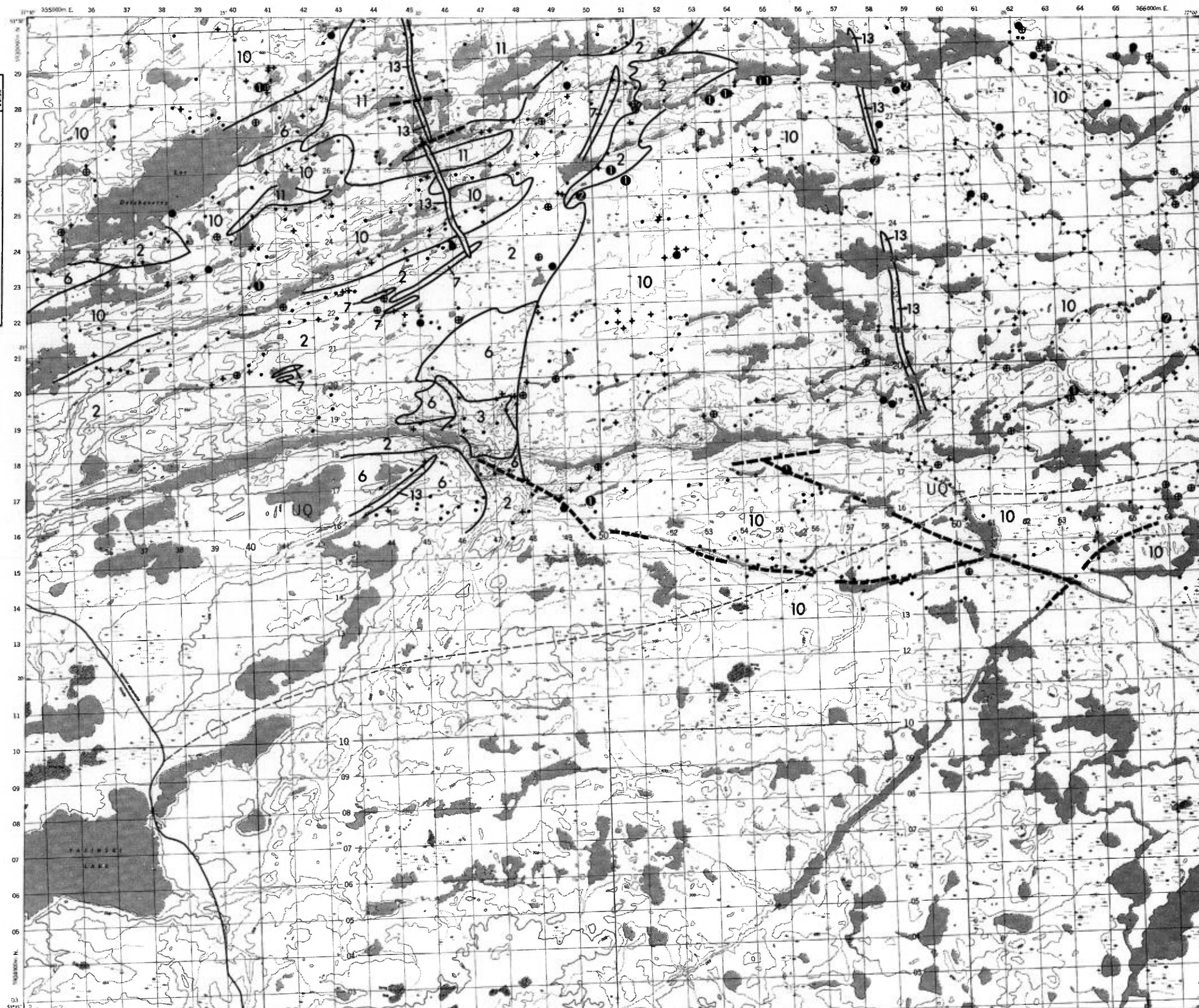
ÉCHELLE 1:125,000



SERVICE DES GÎTES MINÉRAUX

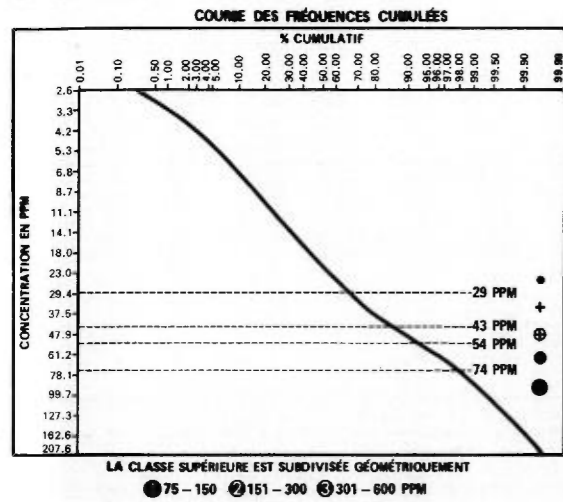
DIVISION DE LA GÉOCHIMIE
G.H. COCKBURN

Carte géochimique No 1827



LÉGENDE

GÉOCHIMIE



LITHOLOGIE SIMPLIFIÉE

- 14 Sable et gravier
- S "Sandstone" FM-Sakami
- 13 Dyke de diabase
- 12 Dyke de pegmatite
- 11 Granite
- 10 Quartz-diorite
- 9 Migmatite
- 8 Granite migmatitique
- 7 Formation de fer
- 6 Roche métasédimentaire
- 5 Tuf rhyolitique
- 4 Lave intermédiaire
- 3 Roche ultrabasique
- 2A Amphibolite
- 2 Lave basique
- 1 Gneiss non différencié

- Contact ———
- Faillle - - - - -

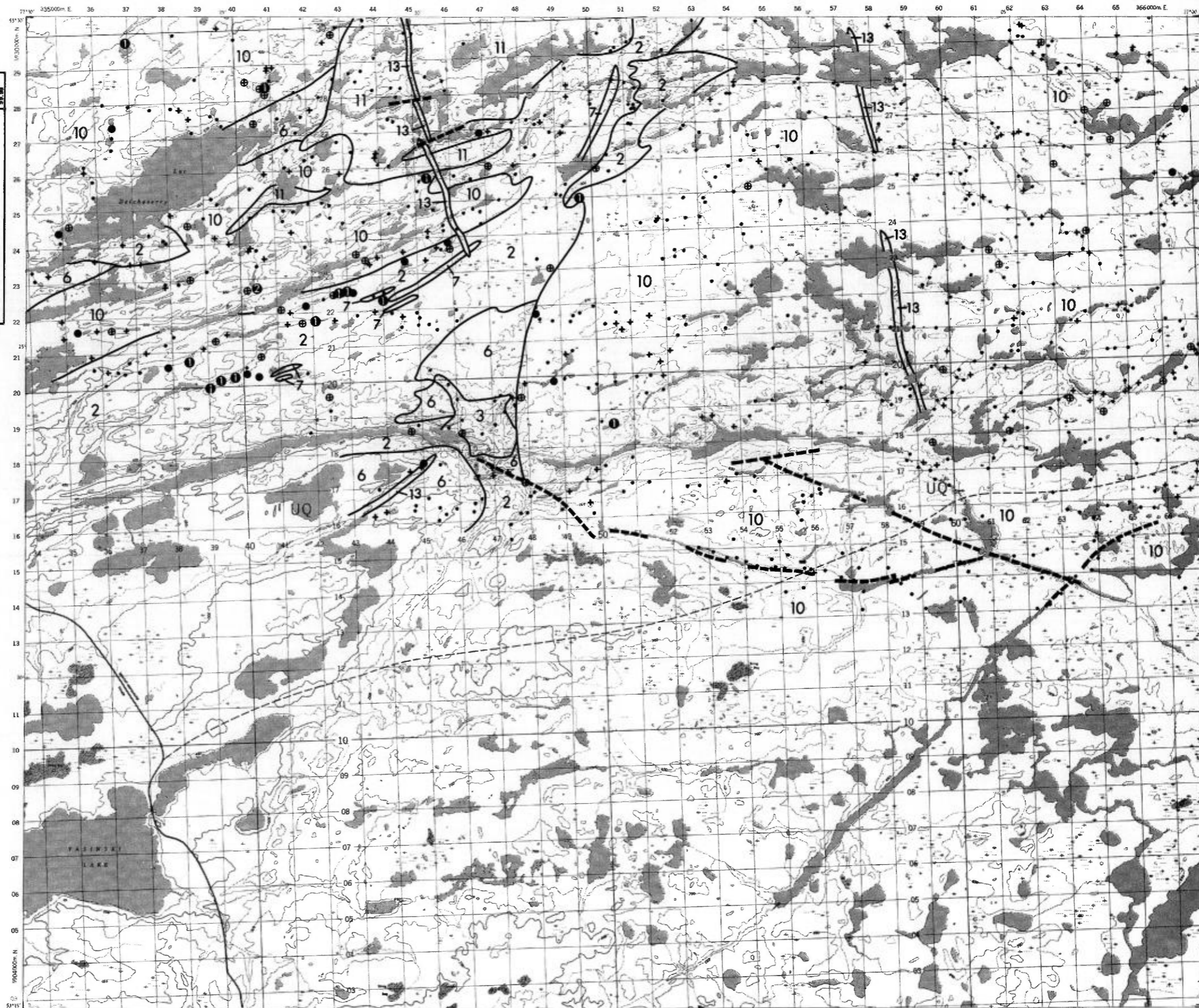
ÉCHELLE 1:125,000



SERVICE DES GÎTES MINÉRAUX

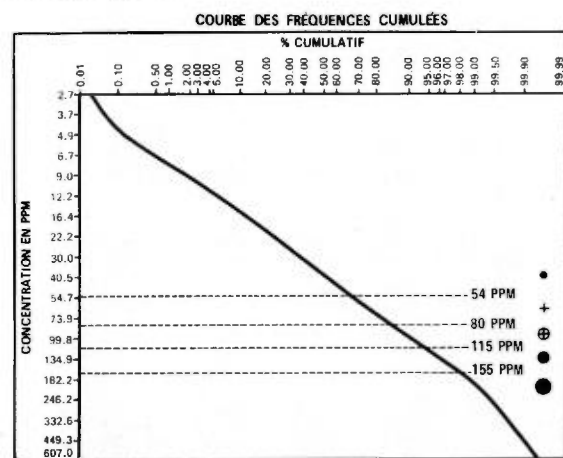
DIVISION DE LA GÉOCHIMIE
G.H. COCKBURN

Carte géochimique No 1827



LÉGENDE

GÉOCHIMIE



LITHOLOGIE SIMPLIFIÉE

- 14 Sable et gravier
- S "Sandstone" FM-Sakami
- 13 Dyke de diabase
- 12 Dyke de pegmatite
- 11 Granite
- 10 Quartz-diorite
- 9 Migmatite
- 8 Granite migmatitique
- 7 Formation de fer
- 6 Roche métasédimentaire
- 5 Tuf rhyolitique
- 4 Lave intermédiaire
- 3 Roche ultrabasique
- 2A Amphibolite
- 2 Lave basique
- 1 Gneiss non différencié

Contact ———
Faille - - - - -

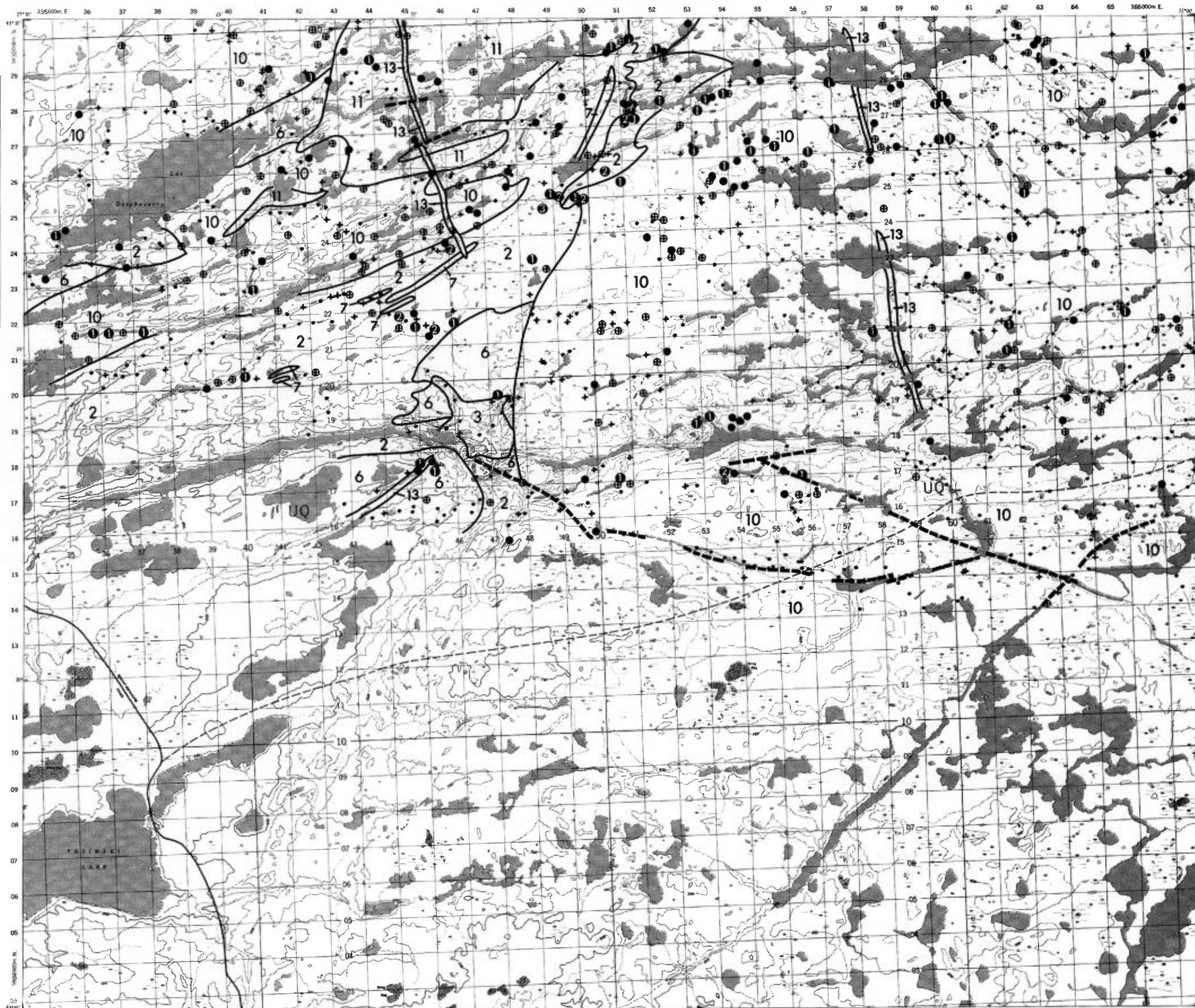
ÉCHELLE 1:125,000



SERVICE DES GÎTES MINÉRAUX

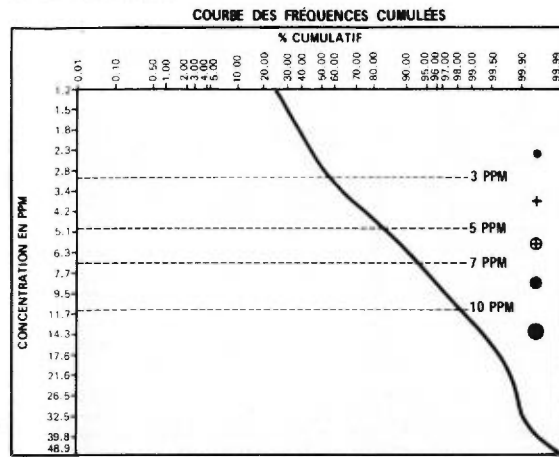
DIVISION DE LA GÉOCHIMIE
G.H. COCKBURN

Carte géochimique No 1827



LÉGENDE

GÉOCHIMIE



LA CLASSE SUPÉRIEURE EST SUBDIVISÉE GÉOMÉTRIQUEMENT
① 11 - 20 ② 21 - 40 ③ 41 - 80 PPM

LITHOLOGIE SIMPLIFIÉE

- 14 Sable et gravier
- S "Sandstone" FM-Sakami
- 13 Dyke de diabase
- 12 Dyke de pegmatite
- 11 Granite
- 10 Quartz-diorite
- 9 Migmatite
- 8 Granite migmatitique
- 7 Formation de fer
- 6 Roche métasédimentaire
- 5 Tuf rhyolitique
- 4 Lave intermédiaire
- 3 Roche ultrabasique
- 2A Amphibolite
- 2 Lave basique
- 1 Gneiss non différencié

Contact ———
Faille - - - - -

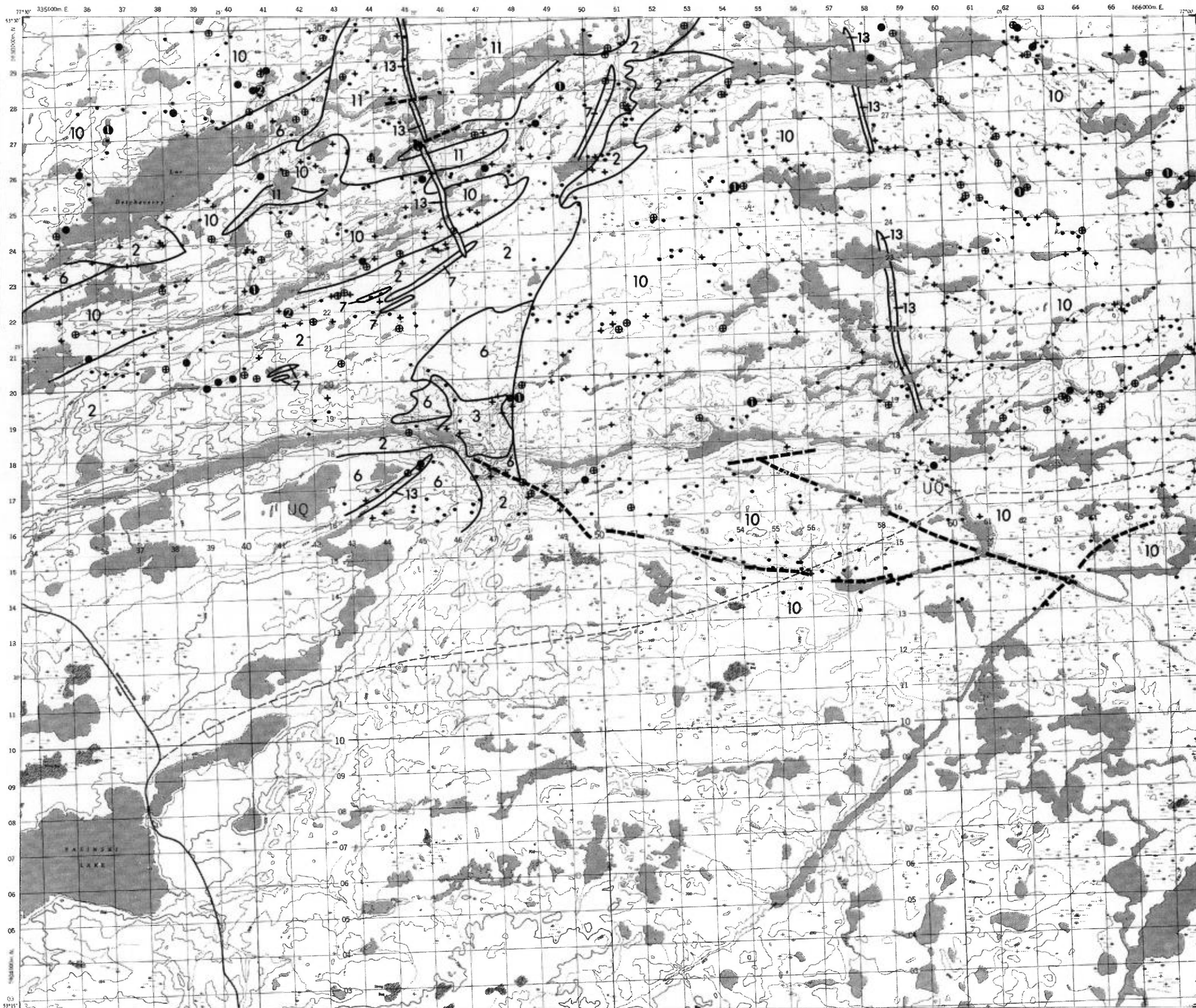
ÉCHELLE 1:125,000



SERVICE DES GÎTES MINÉRAUX

DIVISION DE LA GÉOCHIMIE
G.H. COCKBURN

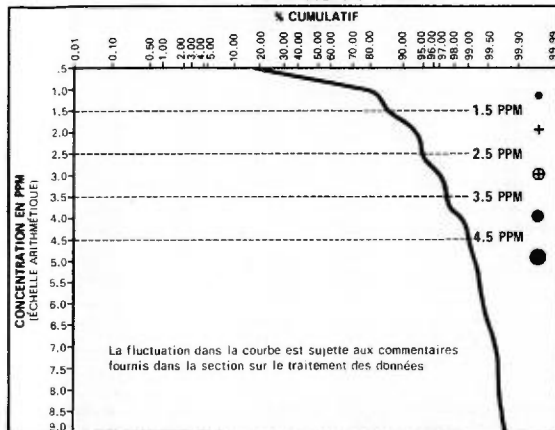
Carte géochimique No 1827



LÉGENDE

GÉOCHIMIE

COURBE DES FRÉQUENCES CUMULÉES



LA CLASSE SUPÉRIEURE EST SUBDIVISÉE GÉOMÉTRIQUEMENT

① 4.5 - 10.0 ② 10.5 - 20.0 ③ 20.5 - 40.0 ④ 40.5 - 80 PPM

LITHOLOGIE SIMPLIFIÉE

- 14 Sable et gravier
- S "Sandstone" FM-Sakami
- 13 Dyke de diabase
- 12 Dyke de pegmatite
- 11 Granite
- 10 Quartz-diorite
- 9 Migmatite
- 8 Granite migmatitique
- 7 Formation de fer
- 6 Roche métasédimentaire
- 5 Tuf rhyolitique
- 4 Lave intermédiaire
- 3 Roche ultrabasique
- 2A Amphibolite
- 2 Lave basique
- 1 Gneiss non différencié

Contact ———
Faille - - - - -

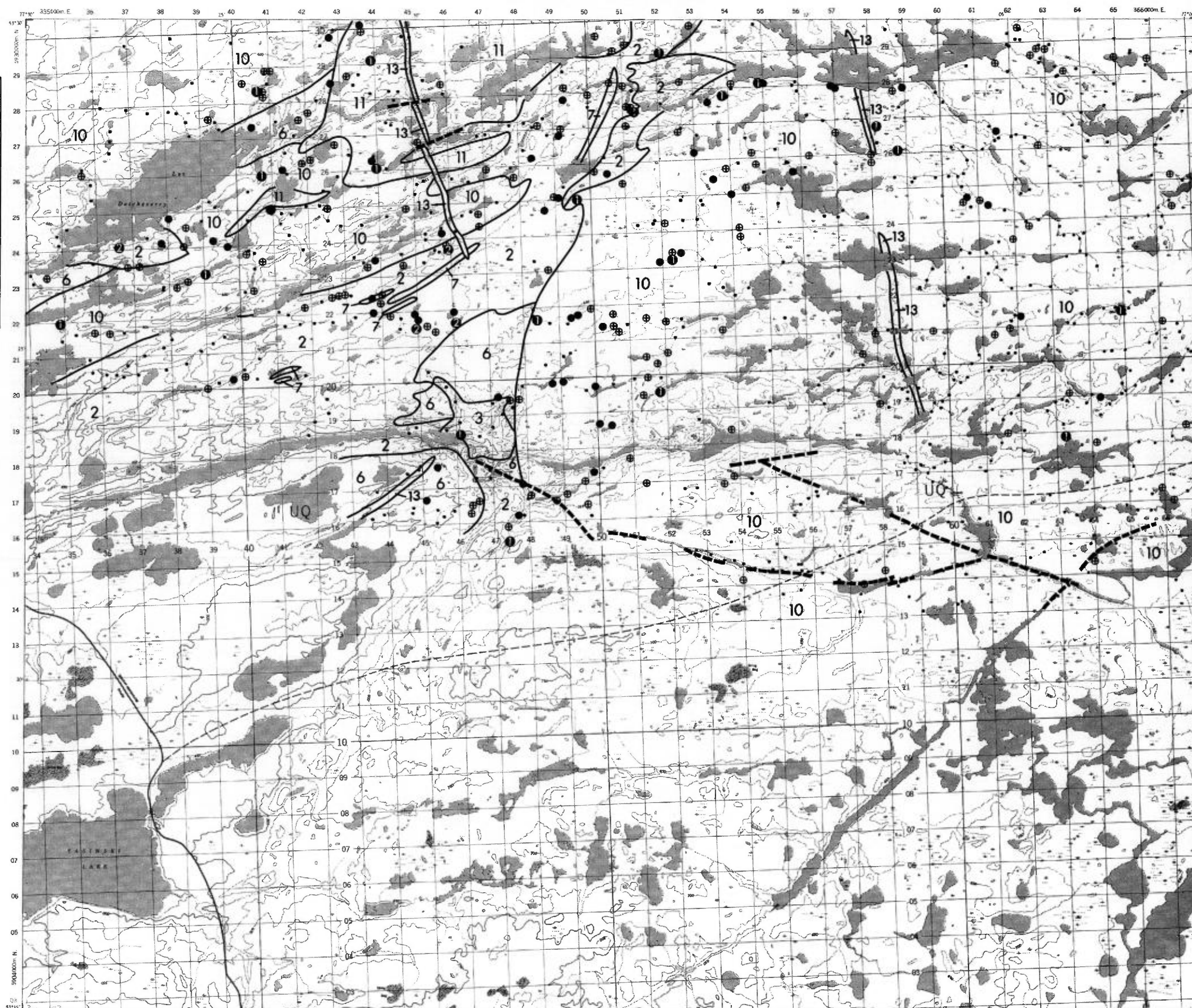
ÉCHELLE 1:125,000



SERVICE DES GÎTES MINÉRAUX

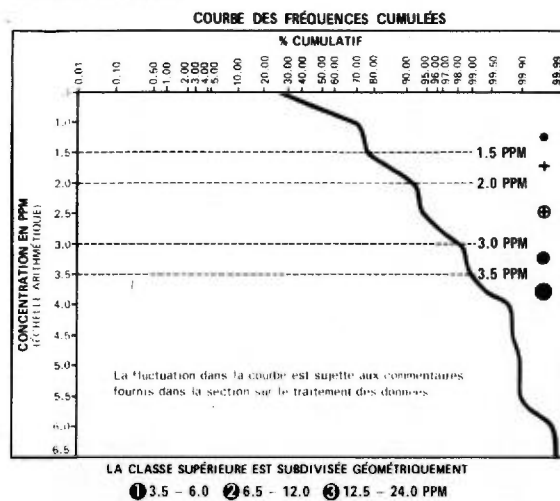
DIVISION DE LA GÉOCHIMIE
G.H. COCKBURN

Carte géochimique No 1827



LÉGENDE

GÉOCHIMIE



LITHOLOGIE SIMPLIFIÉE

- 14 Sable et gravier
- S "Sandstone" FM-Sakami
- 13 Dyke de diabase
- 12 Dyke de pegmatite
- 11 Granite
- 10 Quartz-diorite
- 9 Migmatite
- 8 Granite migmatitique
- 7 Formation de fer
- 6 Roche métasédimentaire
- 5 Tuf rhyolitique
- 4 Lave intermédiaire
- 3 Roche ultrabasique
- 2A Amphibolite
- 2 Lave basique
- 1 Gneiss non différencié

- Contact ———
- Faillle - - - - -

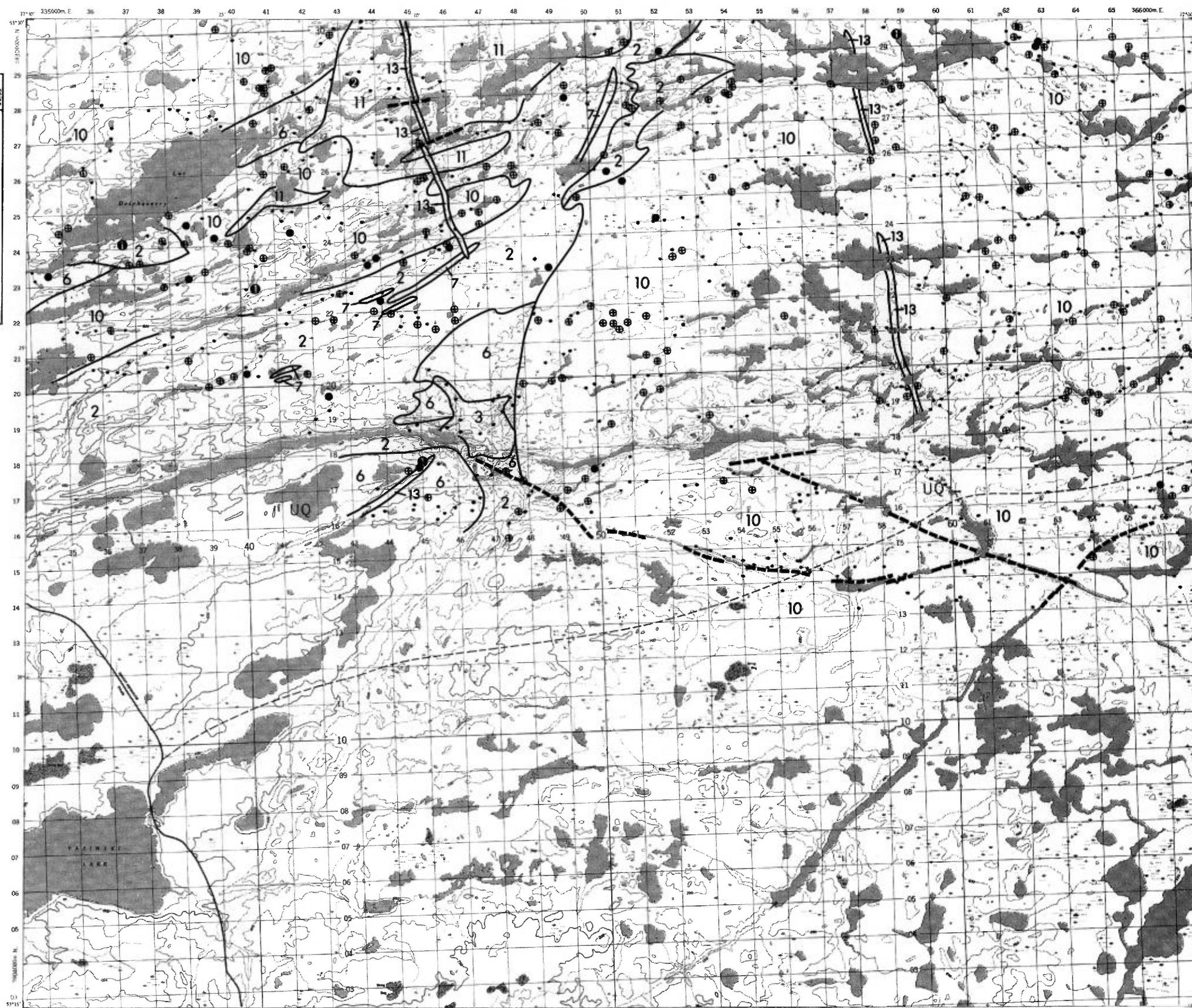
ÉCHELLE 1:125,000



SERVICE DES GÎTES MINÉRAUX

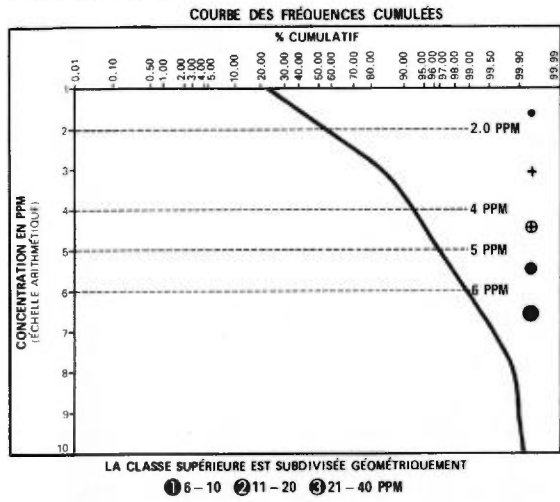
DIVISION DE LA GÉOCHIMIE
G.H. COCKBURN

Carte géochimique No 1827



LÉGENDE

GÉOCHIMIE



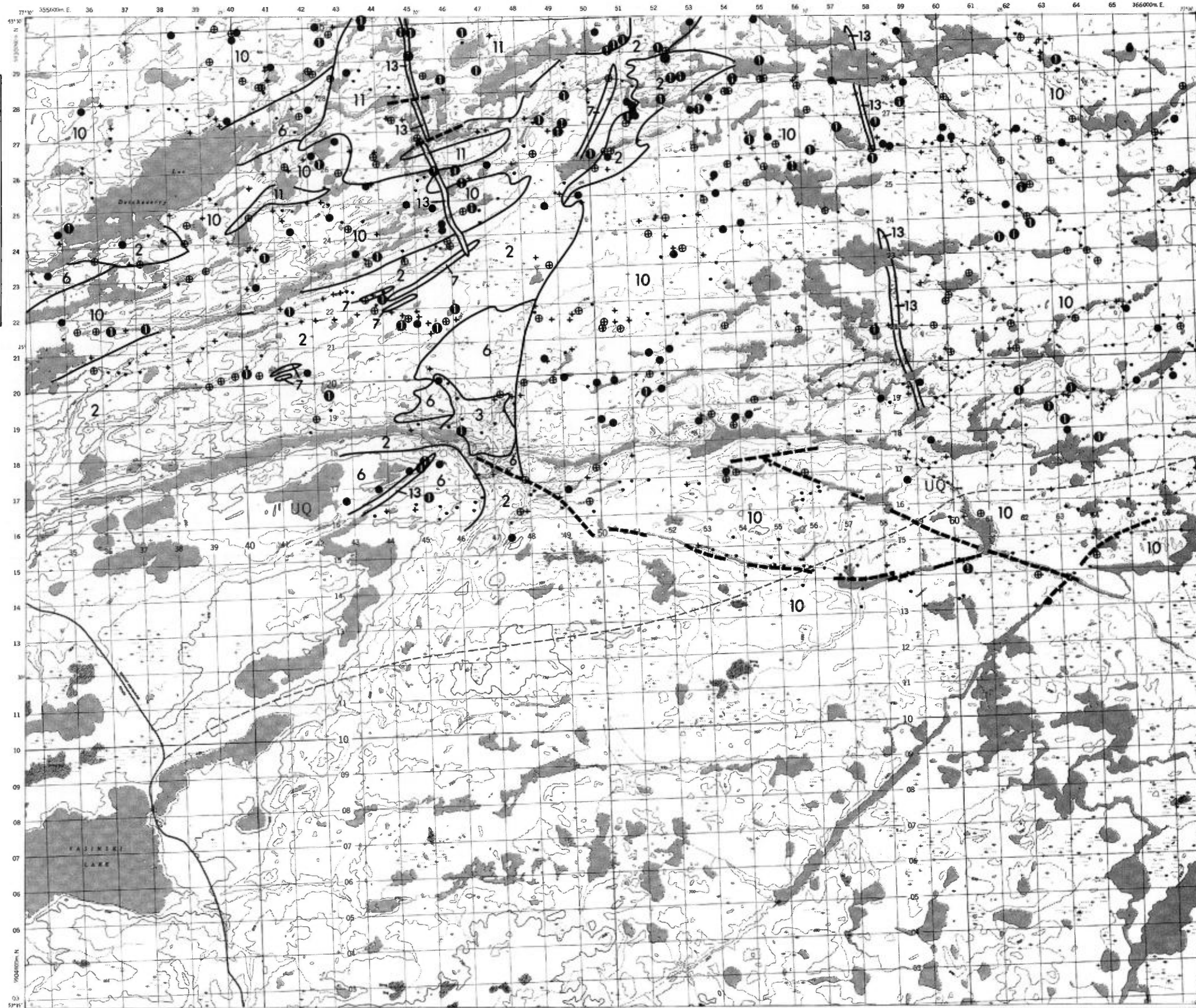
LITHOLOGIE SIMPLIFIÉE

- 14 Sable et gravier
- 5 "Sandstone" FM-Sakami
- 13 Dyke de diabase
- 12 Dyke de pegmatite
- 11 Granite
- 10 Quartz-diorite
- 9 Migmatite
- 8 Granite migmatitique
- 7 Formation de fer
- 6 Roche métasédimentaire
- 5 Tuf rhyolitique
- 4 Lave intermédiaire
- 3 Roche ultrabasique
- 2A Amphibolite
- 2 Lave basique
- 1 Gneiss non différencié

Contact ———
 Faille - - - - -



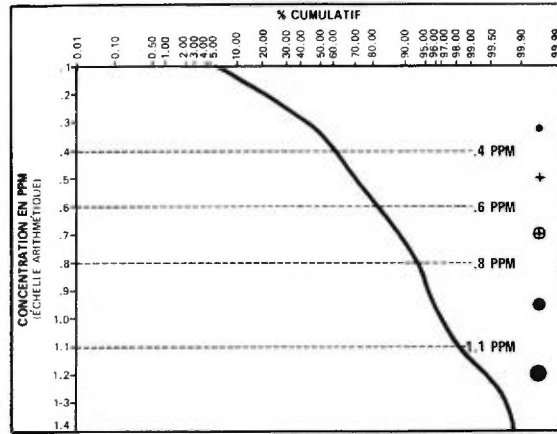
SERVICE DES GÎTES MINÉRAUX
 DIVISION DE LA GÉOCHIMIE
 G.H. COCKBURN
 Carte géochimique No 1827



LÉGENDE

GÉOCHIMIE

COURBE DES FRÉQUENCES CUMULÉES



LA CLASSE SUPÉRIEURE EST SUBDIVISÉE GÉOMÉTRIQUEMENT

① 1.2 - 2.2 PPM

LITHOLOGIE SIMPLIFIÉE

- 14 Sable et gravier
- S "Sandstone" FM-Sakami
- 13 Dyke de diabase
- 12 Dyke de pegmatite
- 11 Granite
- 10 Quartz-diorite
- 9 Migmatite
- 8 Granite migmatitique
- 7 Formation de fer
- 6 Roche métasédimentaire
- 5 Tuf rhyolitique
- 4 Lave intermédiaire
- 3 Roche ultrabasique
- 2A Amphibolite
- 2 Lave basique
- 1 Gneiss non différencié

Contact ———
Faille - - - - -

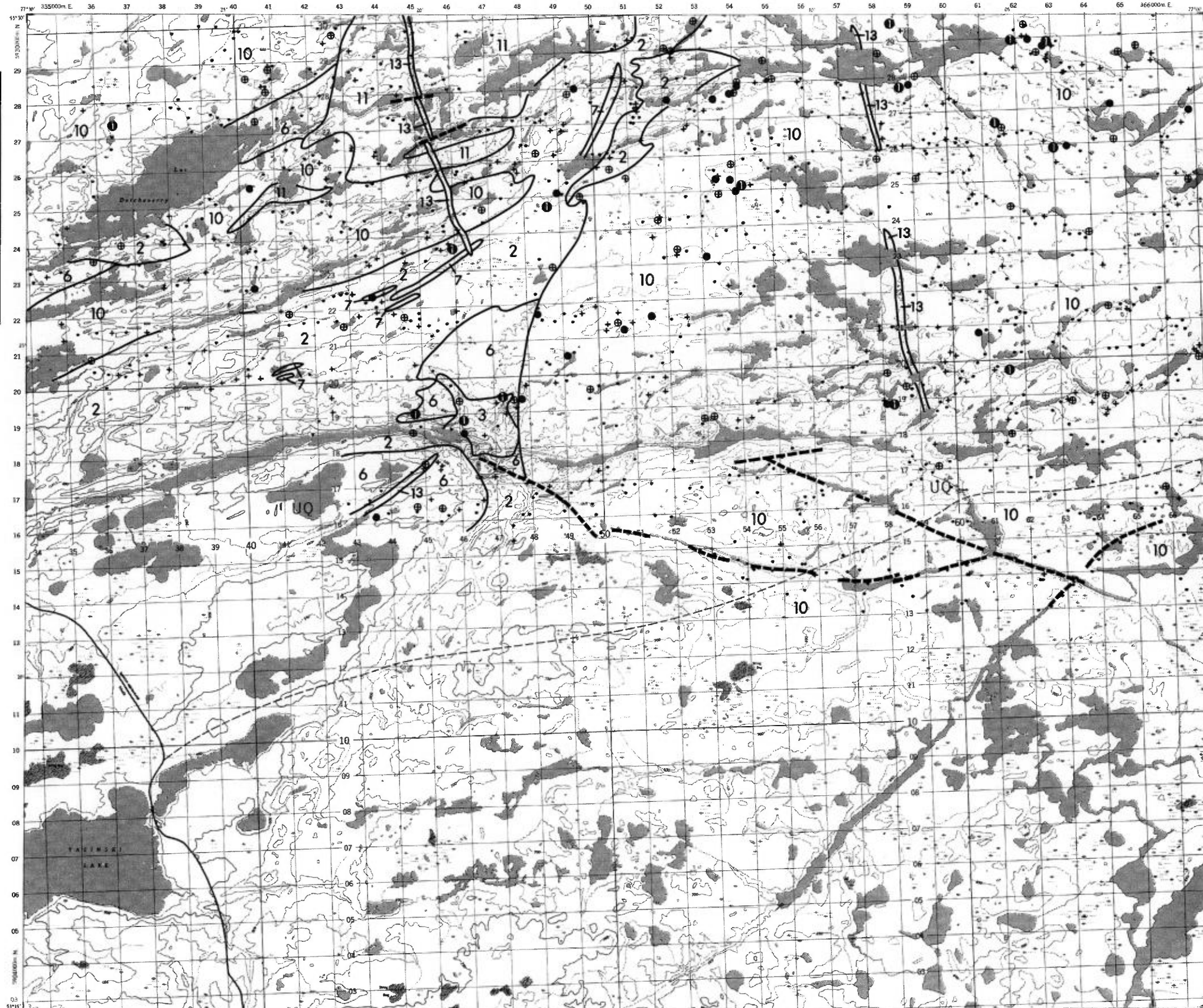
ÉCHELLE 1:125,000

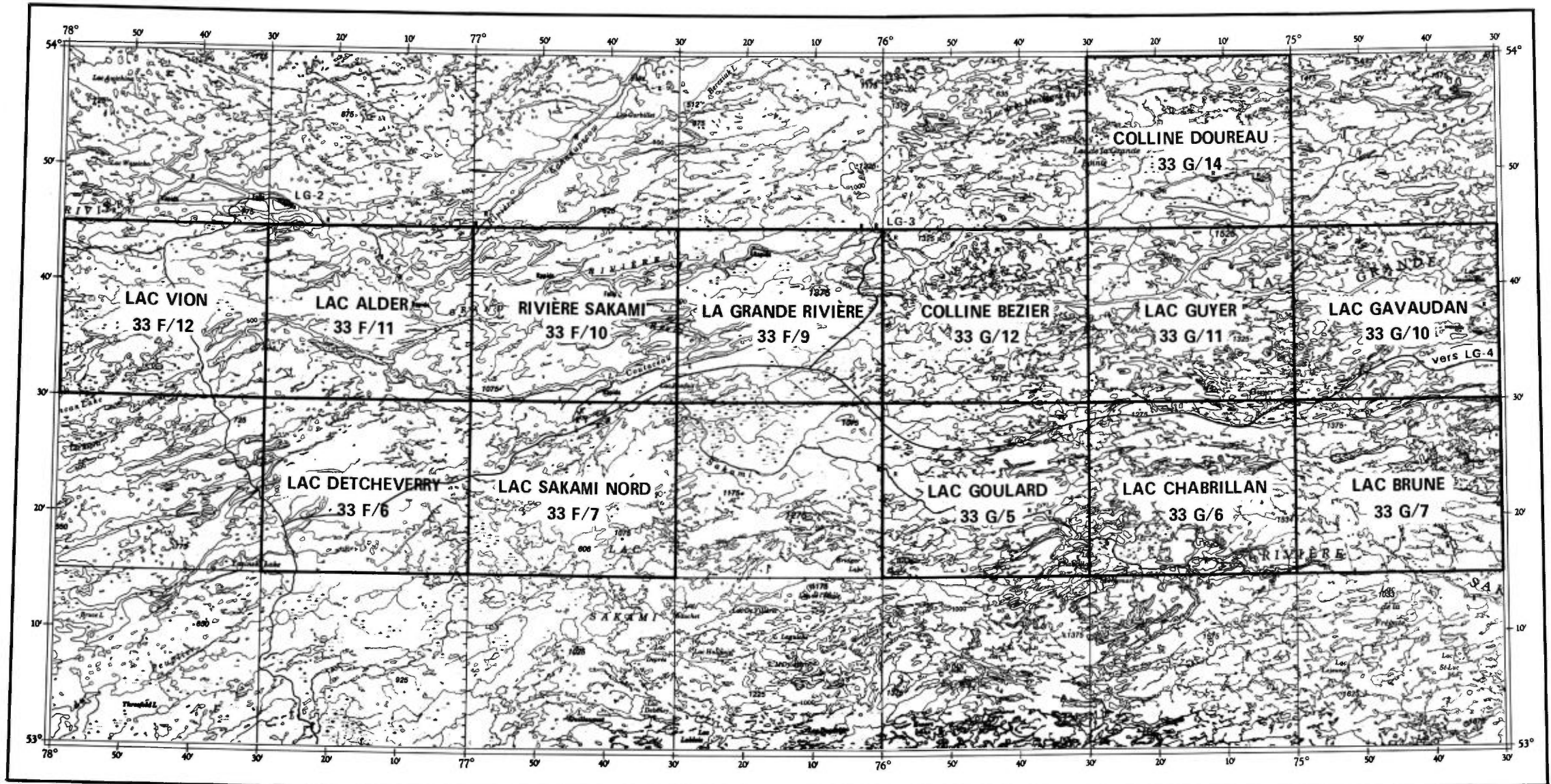


SERVICE DES GÎTES MINÉRAUX

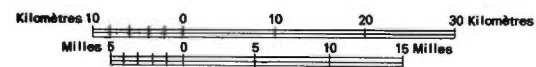
DIVISION DE LA GÉOCHIMIE
G.H. COCKBURN

Carte géochimique No 1827





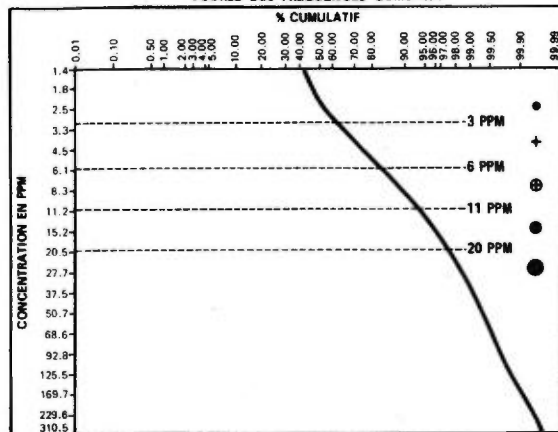
**INDEX DES CARTES GÉOCHIMIQUES
RÉGION DE LA GRANDE RIVIÈRE**



LÉGENDE

GÉOCHIMIE

COURBE DES FRÉQUENCES CUMULÉES



LA CLASSE SUPÉRIEURE EST SUBDIVISÉE GÉOMÉTRIQUEMENT

- ① 21 - 40 ② 41 - 80 ③ 81 - 160 ④ 161 - 320 ⑤ 321 - 640 ⑥ 641 - 1280
- ⑦ 1281 - 2560 ⑧ 2561 - 5120 PPM

LITHOLOGIE SIMPLIFIÉE

- 14 Sable et gravier
- S "Sandstone" FM-Sakami
- 13 Dyke de diabase
- 12 Dyke de pegmatite
- 11 Granite
- 10 Quartz-diorite
- 9 Migmatite
- 8 Granite migmatitique
- 7 Formation de fer
- 6 Roche métasédimentaire
- 5 Tuf rhyolitique
- 4 Lave intermédiaire
- 3 Roche ultrabasique
- 2A Amphibolite
- 2 Lave basique
- 1 Gneiss non différencié

- Contact ———
- Faille - - - - -

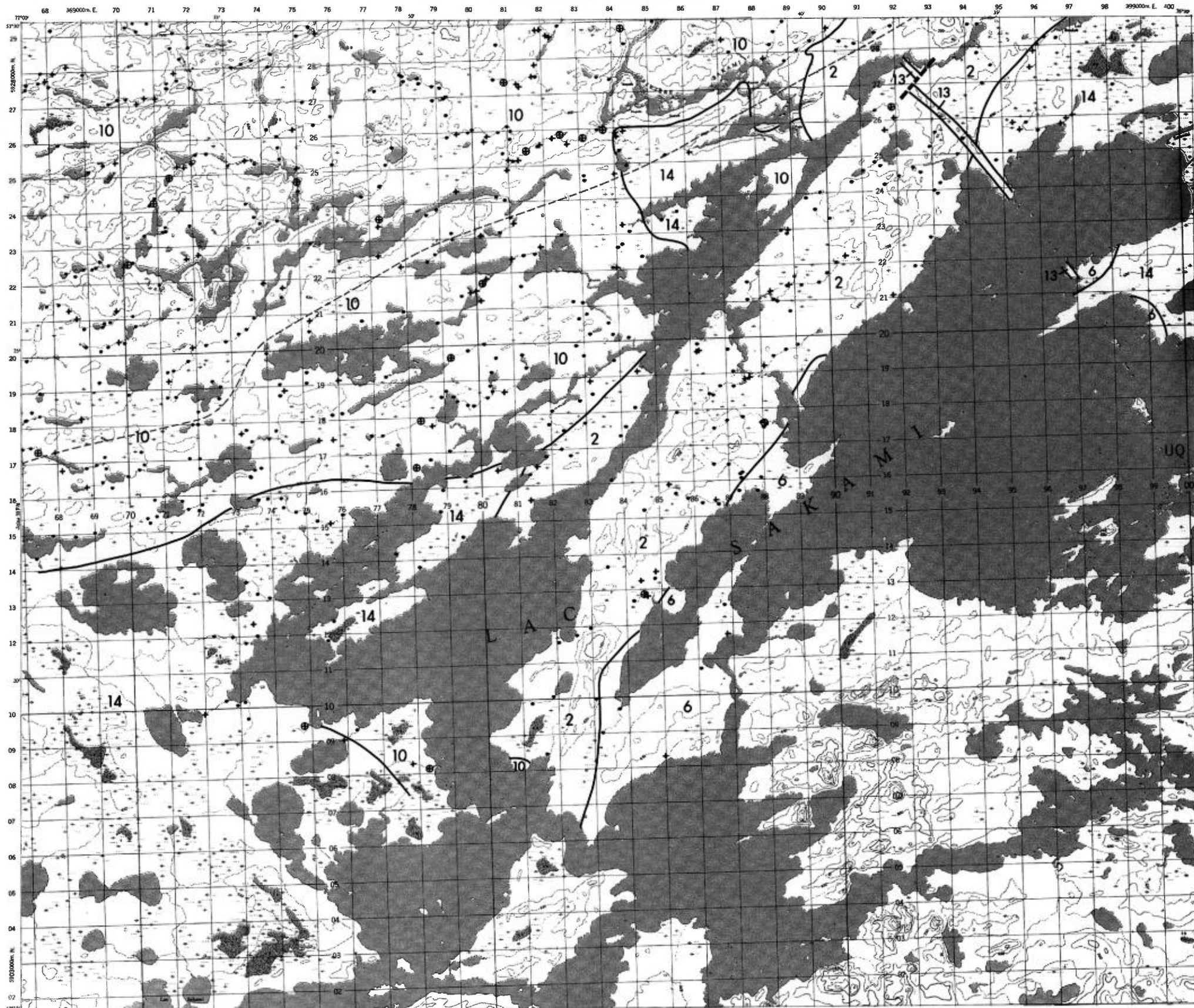
ÉCHELLE 1:125,000



SERVICE DES GÎTES MINÉRAUX

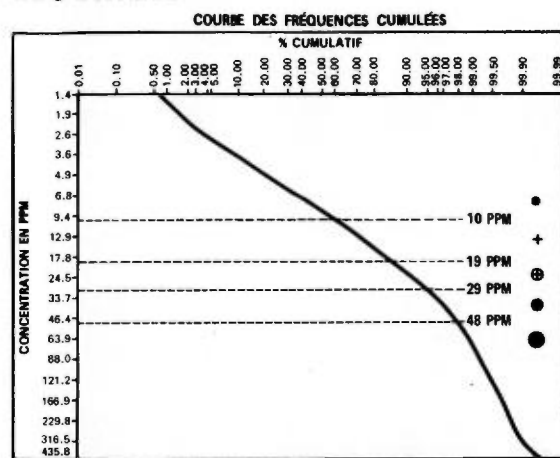
DIVISION DE LA GÉOCHIMIE
G.H. COCKBURN

Carte géochimique No 1828



LÉGENDE

GÉOCHIMIE



LA CLASSE SUPÉRIEURE EST SUBDIVISÉE GÉOMÉTRIQUEMENT

- ① 49 - 100
- ② 101 - 200
- ③ 201 - 400
- ④ 401 - 800
- ⑤ 801 - 1600
- ⑥ 1601 - 3200
- ⑦ 3201 - 6400 PPM

LITHOLOGIE SIMPLIFIÉE

- 14 Sable et gravier
- S "Sandstone" FM-Sakami
- 13 Dyke de diabase
- 12 Dyke de pegmatite
- 11 Granite
- 10 Quartz-diorite
- 9 Migmatite
- 8 Granite migmatitique
- 7 Formation de fer
- 6 Roche métasédimentaire
- 5 Tuf rhyolitique
- 4 Lave intermédiaire
- 3 Roche ultrabasique
- 2A Amphibolite
- 2 Lave basique
- 1 Gneiss non différencié

Contact ———
Faille - - - - -

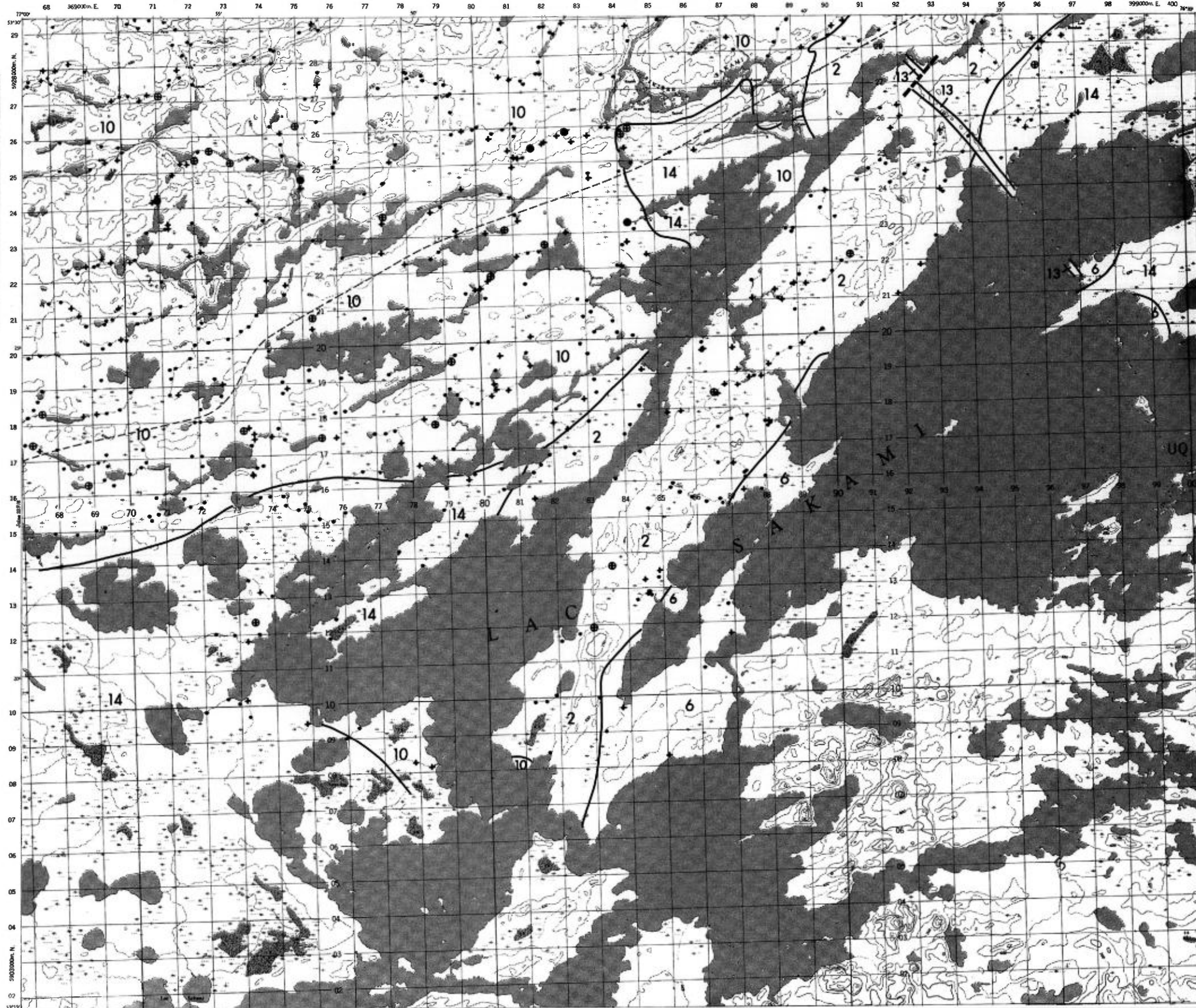
ÉCHELLE 1:125,000



SERVICE DES GÎTES MINÉRAUX

DIVISION DE LA GÉOCHIMIE
G.H. COCKBURN

Carte géochimique No 1828

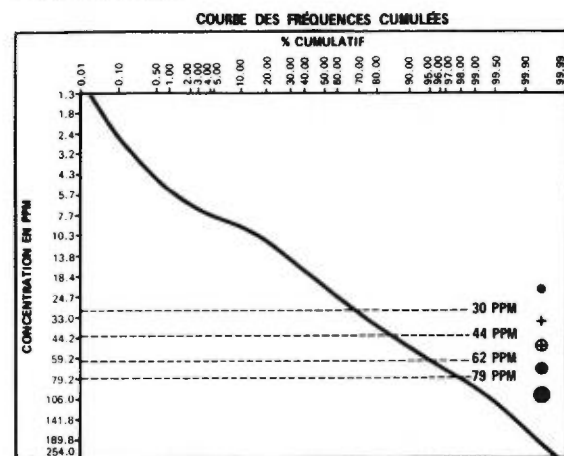


LAC SAKAMI NORD

RÉGION DE LA GRANDE RIVIÈRE

LÉGENDE

GÉOCHIMIE



LITHOLOGIE SIMPLIFIÉE

- 14 Sable et gravier
- S "Sandstone" FM-Sakami
- 13 Dyke de diabase
- 12 Dyke de pegmatite
- 11 Granite
- 10 Quartz-diorite
- 9 Migmatite
- 8 Granite migmatitique
- 7 Formation de fer
- 6 Roche métasédimentaire
- 5 Tuf rhyolitique
- 4 Lave intermédiaire
- 3 Roche ultrabasiq
- 2A Amphibolite
- 2 Lave basique
- 1 Gneiss non différencié

Contact ———
Faille - - - - -

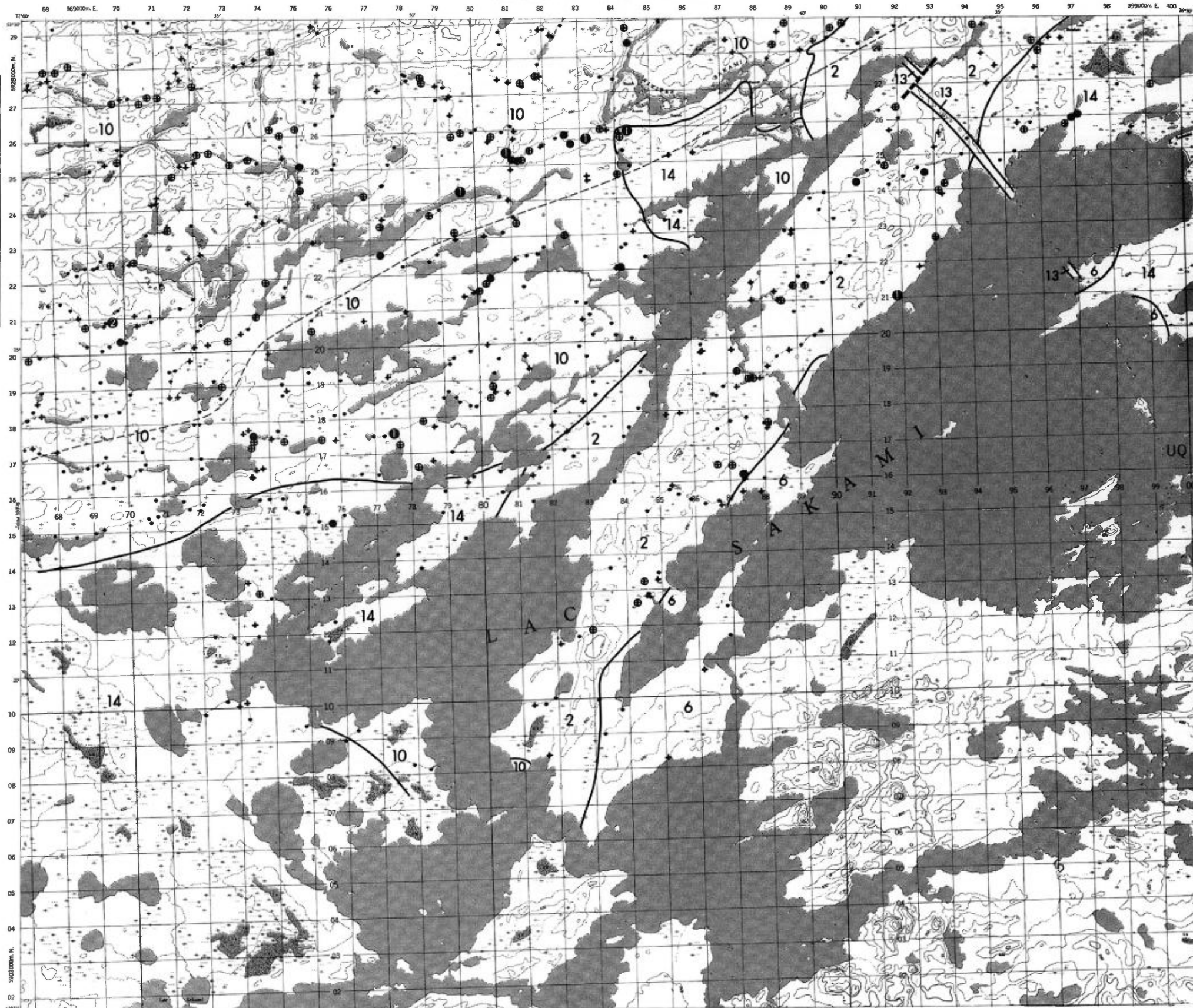
ÉCHELLE 1:125,000



SERVICE DES GÎTES MINÉRAUX

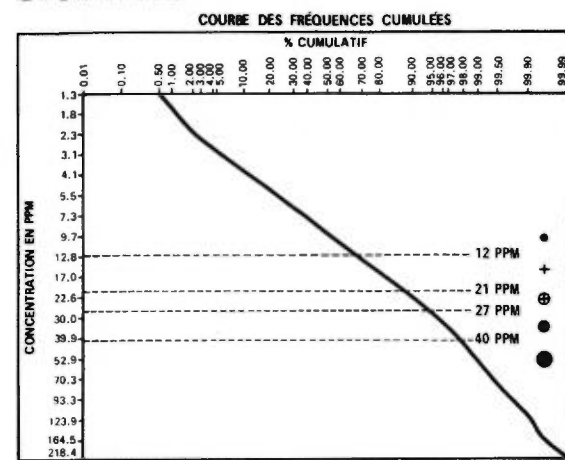
DIVISION DE LA GÉOCHIMIE
G.H. COCKBURN

Carte géochimique No 1828



LÉGENDE

GÉOCHIMIE



LITHOLOGIE SIMPLIFIÉE

- 14 Sable et gravier
- S "Sandstone" FM-Sakami
- 13 Dyke de diabase
- 12 Dyke de pegmatite
- 11 Granite
- 10 Quartz-diorite
- 9 Migmatite
- 8 Granite migmatitique
- 7 Formation de fer
- 6 Roche métasédimentaire
- 5 Tuf rhyolitique
- 4 Lave intermédiaire
- 3 Roche ultrabasique
- 2A Amphibolite
- 2 Lave basique
- 1 Gneiss non différencié

Contact ———
Faille - - - - -

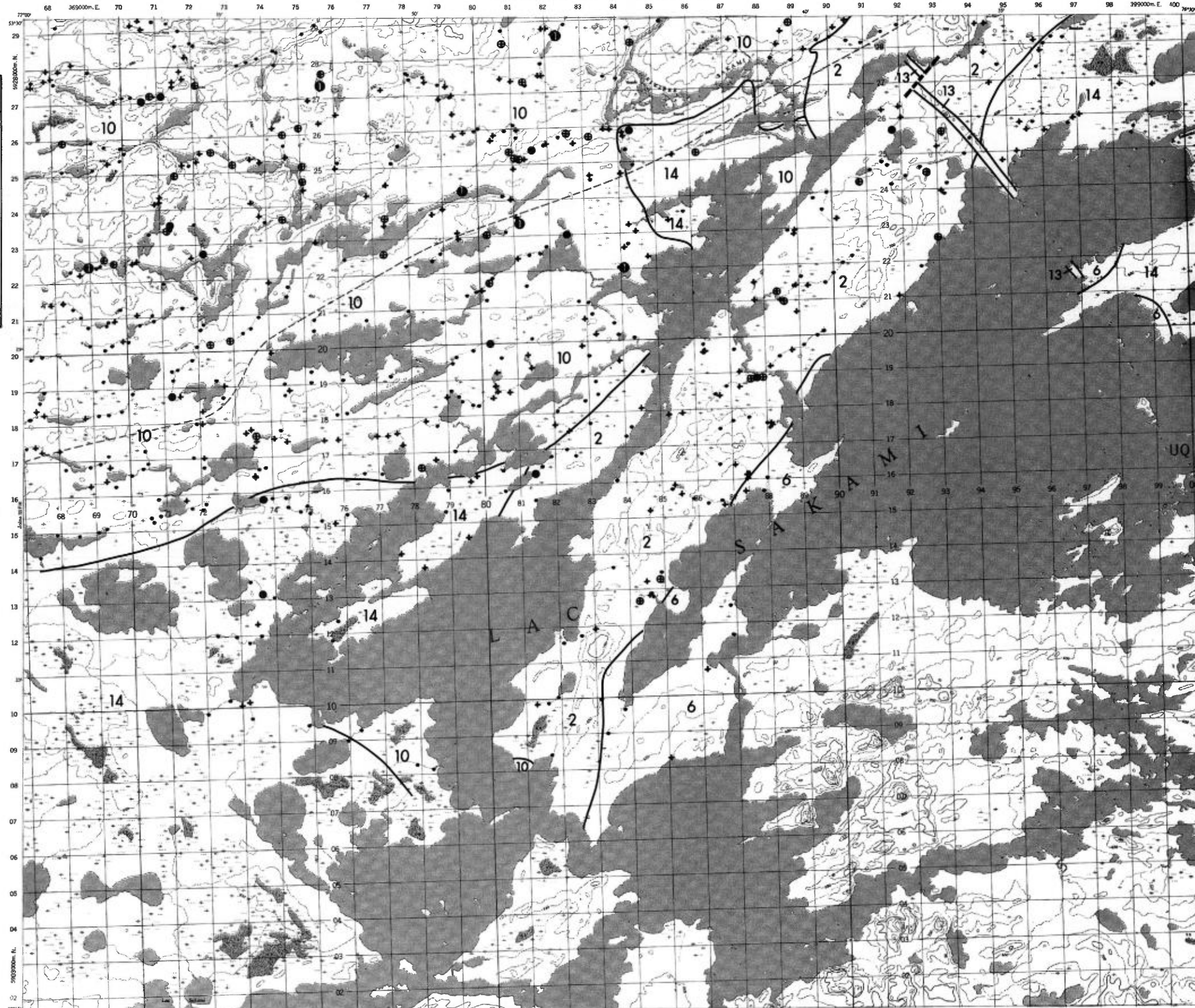
ÉCHELLE 1:125,000



SERVICE DES GÎTES MINÉRAUX

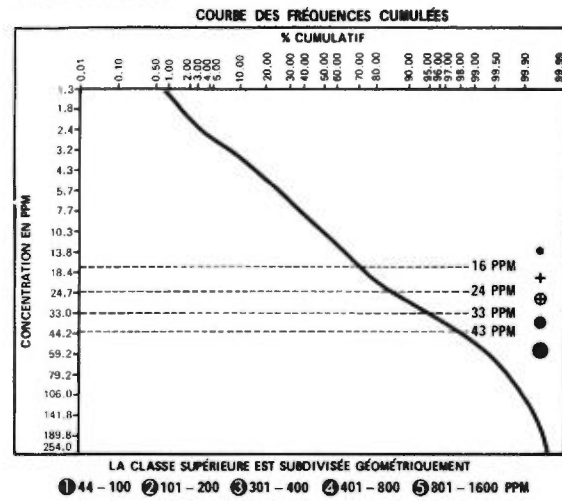
DIVISION DE LA GÉOCHIMIE
G.H. COCKBURN

Carte géochimique No 1828



LÉGENDE

GÉOCHIMIE

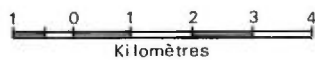


LITHOLOGIE SIMPLIFIÉE

- 14 Sable et gravier
- S "Sandstone" FM-Sakami
- 13 Dyke de diabase
- 12 Dyke de pegmatite
- 11 Granite
- 10 Quartz-diorite
- 9 Migmatite
- 8 Granite migmatitique
- 7 Formation de fer
- 6 Roche métasédimentaire
- 5 Tuf rhyolitique
- 4 Lave intermédiaire
- 3 Roche ultrabasiqque
- 2A Amphibolite
- 2 Lave basique
- 1 Gneiss non différencié

Contact ———
Faille - - - - -

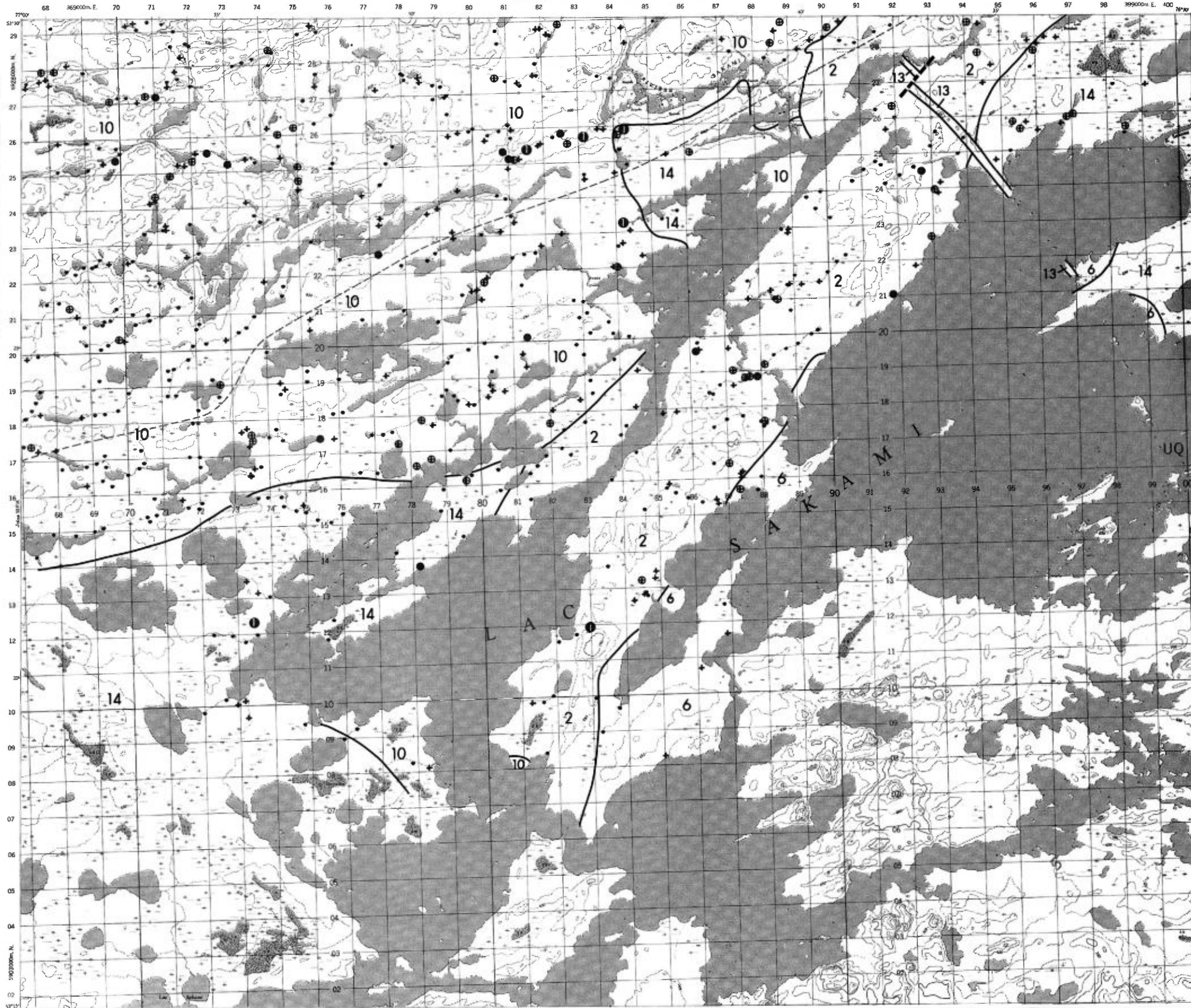
ÉCHELLE 1:125,000



SERVICE DES GÎTES MINÉRAUX

DIVISION DE LA GÉOCHIMIE
G.H. COCKBURN

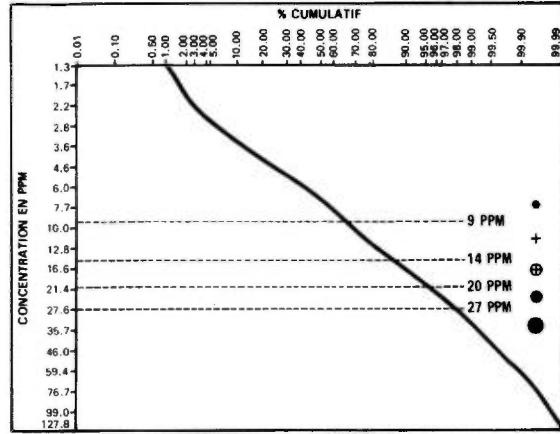
Carte géochimique No 1828



LÉGENDE

GÉOCHIMIE

COURBE DES FRÉQUENCES CUMULÉES



LA CLASSE SUPÉRIEURE EST SUBDIVISÉE GÉOMÉTRIQUEMENT

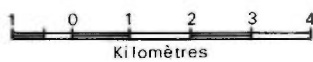
① 28 - 60 ② 61 - 120 ③ 121 - 240 PPM

LITHOLOGIE SIMPLIFIÉE

- 14 Sable et gravier
- S "Sandstone" FM-Sakami
- 13 Dyke de diabase
- 12 Dyke de pegmatite
- 11 Granite
- 10 Quartz-diorite
- 9 Migmatite
- 8 Granite migmatitique
- 7 Formation de fer
- 6 Roche métasédimentaire
- 5 Tuf rhyolitique
- 4 Lave intermédiaire
- 3 Roche ultrabasique
- 2A Amphibolite
- 2 Lave basique
- 1 Gneiss non différencié

Contact ———
Faille - - - - -

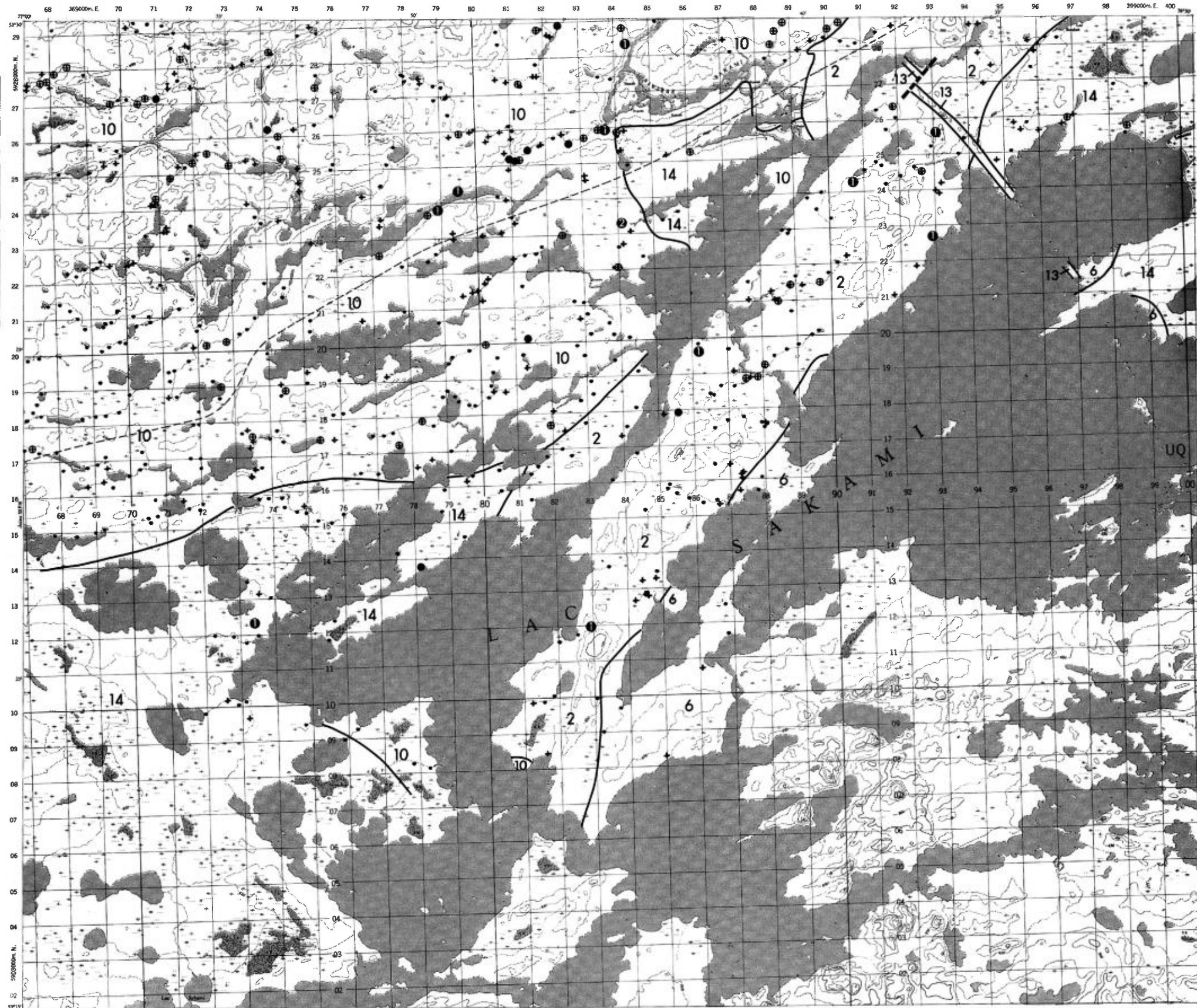
ÉCHELLE 1:125,000



SERVICE DES GÎTES MINÉRAUX

DIVISION DE LA GÉOCHIMIE
G.H. COCKBURN

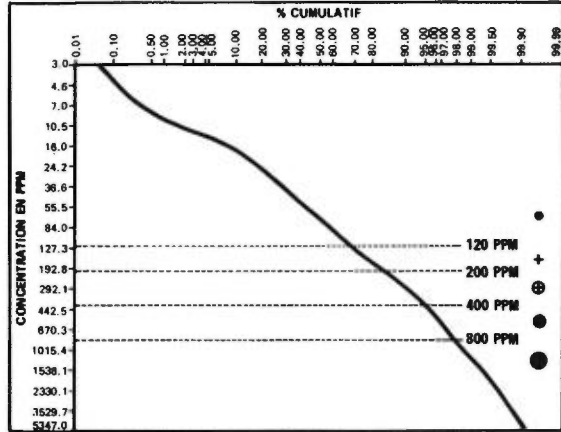
Carte géochimique No 1828



LÉGENDE

GÉOCHIMIE

COURBE DES FRÉQUENCES CUMULÉES



LA CLASSE SUPÉRIEURE EST SUBDIVISÉE GÉOMÉTRIQUEMENT

① 801 - 1600 ② 1601 - 3200 ③ 3201 - 6400 ④ 6401 - 12800 ⑤ 12801 - 25000 PPM

LITHOLOGIE SIMPLIFIÉE

- 14 Sable et gravier
- S "Sandstone" FM-Sakami
- 13 Dyke de diabase
- 12 Dyke de pegmatite
- 11 Granite
- 10 Quartz-diorite
- 9 Migmatite
- 8 Granite migmatitique
- 7 Formation de fer
- 6 Roche métasédimentaire
- 5 Tuf rhyolitique
- 4 Lave intermédiaire
- 3 Roche ultrabasique
- 2A Amphibolite
- 2 Lave basique
- 1 Gneiss non différencié

Contact ———
Faille - - - - -

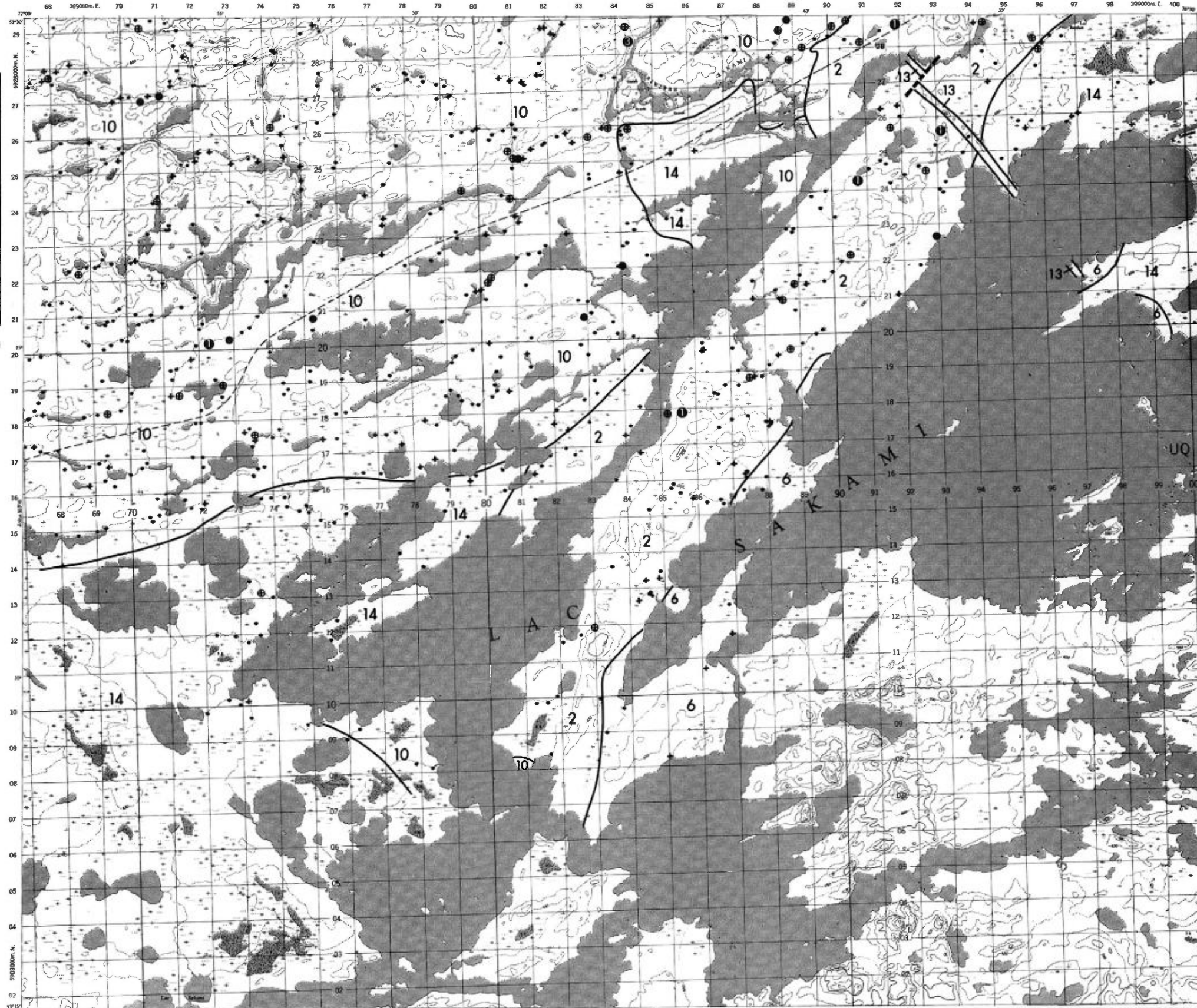
ÉCHELLE 1:125,000



SERVICE DES GÎTES MINÉRAUX

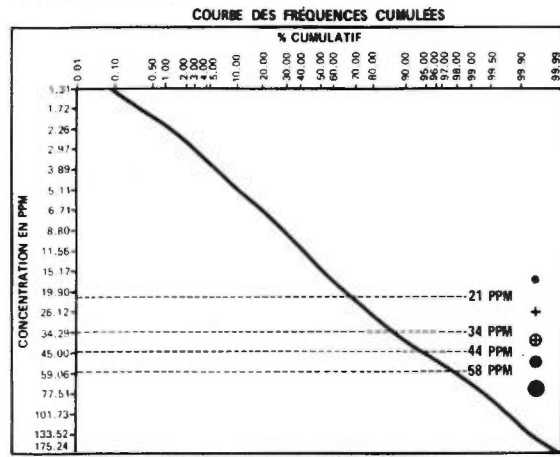
DIVISION DE LA GÉOCHIMIE
G.H. COCKBURN

Carte géochimique No 1828



LÉGENDE

GÉOCHIMIE



LITHOLOGIE SIMPLIFIÉE

- 14 Sable et gravier
- S "Sandstone" FM-Sakami
- 13 Dyke de diabase
- 12 Dyke de pegmatite
- 11 Granite
- 10 Quartz-diorite
- 9 Migmatite
- 8 Granite migmatitique
- 7 Formation de fer
- 6 Roche métasédimentaire
- 5 Tuf rhyolitique
- 4 Lave intermédiaire
- 3 Roche ultrabasique
- 2A Amphibolite
- 2 Lave basique
- 1 Gneiss non différencié

Contact ———
Faille - - - - -

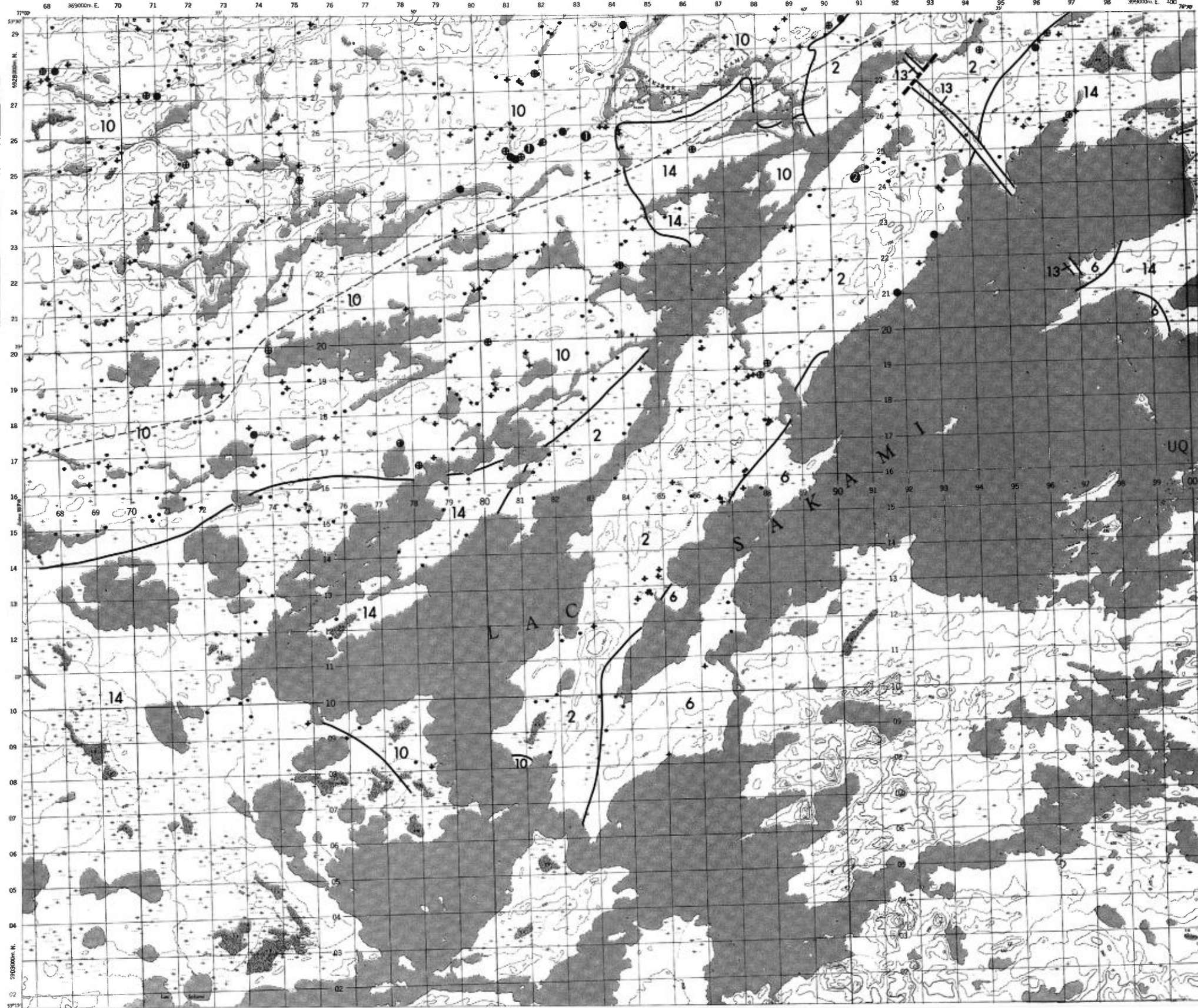
ÉCHELLE 1:125,000



SERVICE DES GÎTES MINÉRAUX

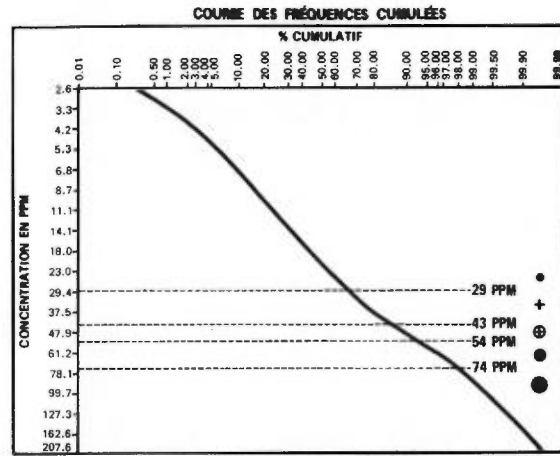
DIVISION DE LA GÉOCHIMIE
G.H. COCKBURN

Carte géochimique No 1828



LÉGENDE

GÉOCHIMIE



LITHOLOGIE SIMPLIFIÉE

- 14 Sabre et gravier
- S "Sandstone" FM-Sakami
- 13 Dyke de diabase
- 12 Dyke de pegmatite
- 11 Granite
- 10 Quartz-diorite
- 9 Migmatite
- 8 Granite migmatitique
- 7 Formation de fer
- 6 Roche métasédimentaire
- 5 Tuf rhyolitique
- 4 Lave intermédiaire
- 3 Roche ultrabasiqne
- 2A Amphibolite
- 2 Lave basique
- 1 Gneiss non différencié

Contact ———
Faille - - - - -

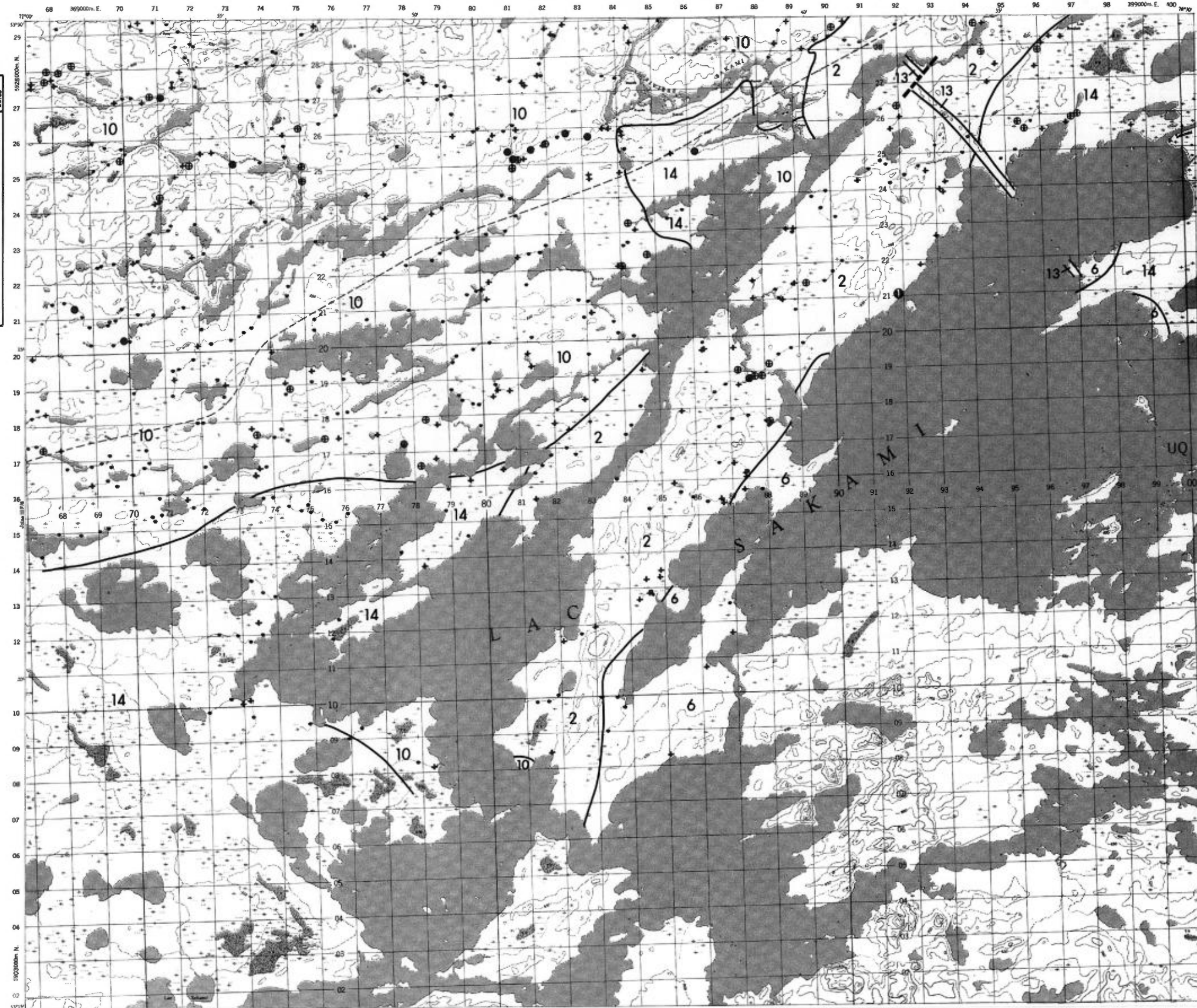
ÉCHELLE 1:125,000



SERVICE DES GÎTES MINÉRAUX

DIVISION DE LA GÉOCHIMIE
G.H. COCKBURN

Carte géochimique No 1828

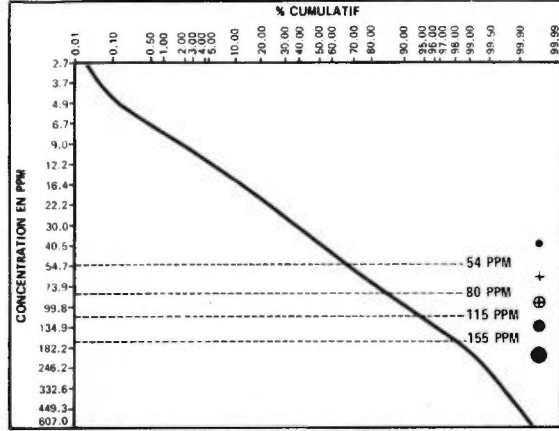


LAC SAKAMI NORD
RÉGION DE LA GRANDE RIVIÈRE

LÉGENDE

GÉOCHIMIE

COURBE DES FRÉQUENCES CUMULÉES



LA CLASSE SUPÉRIEURE EST SUBDIVISÉE GÉOMÉTRIQUEMENT

① 156 - 300 ② 301 - 600 ③ 601 - 1200 PPM

LITHOLOGIE SIMPLIFIÉE

- 14 Sable et gravier
- S "Sandstone" FM-Sakami
- 13 Dyke de diabase
- 12 Dyke de pegmatite
- 11 Granite
- 10 Quartz-diorite
- 9 Migmatite
- 8 Granite migmatitique
- 7 Formation de fer
- 6 Roche métasédimentaire
- 5 Tuf rhyolitique
- 4 Lave intermédiaire
- 3 Roche ultrabasique
- 2A Amphibolite
- 2 Lave basique
- 1 Gneiss non différencié

Contact ———
Faille - - - - -

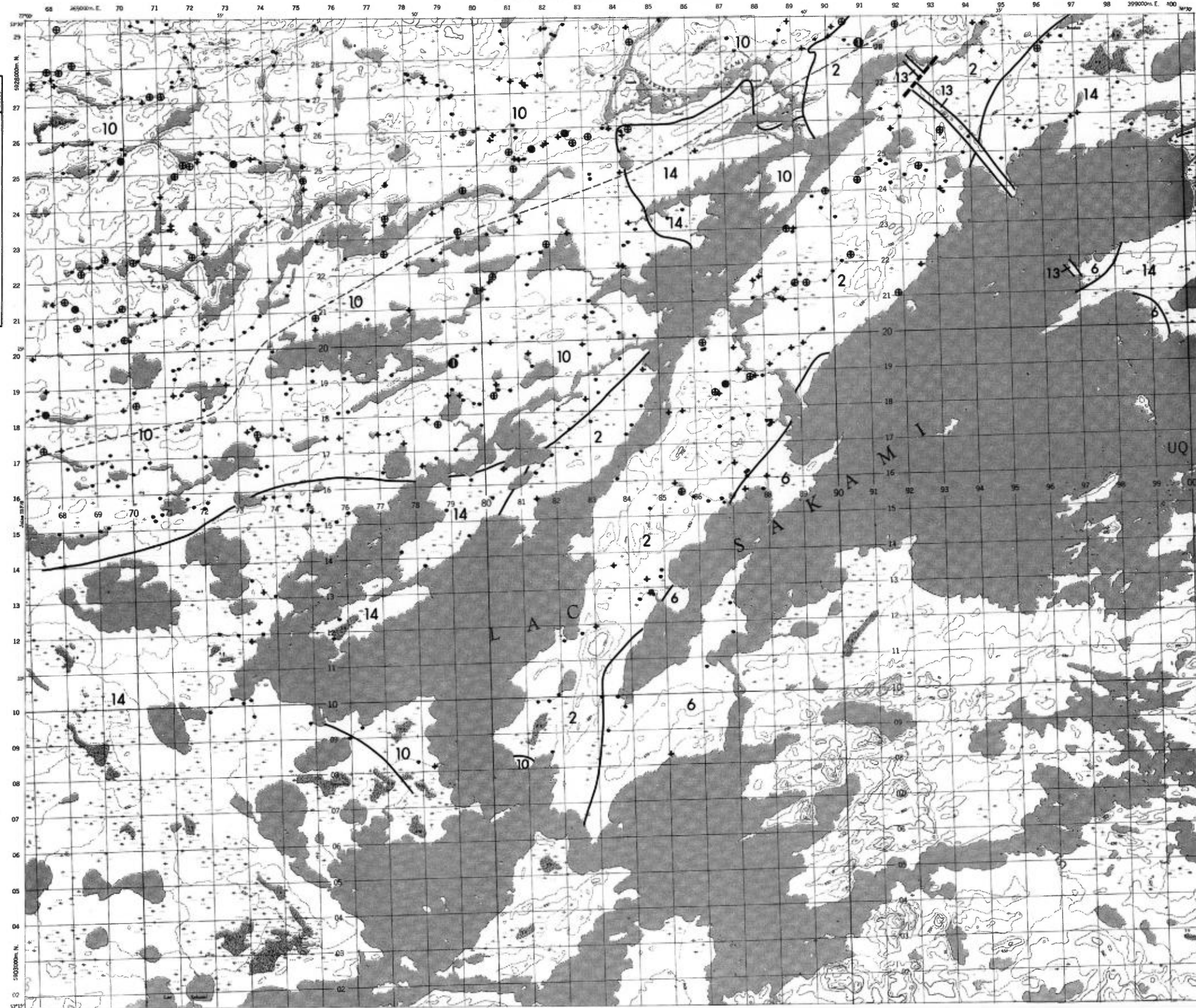
ÉCHELLE 1:125,000



SERVICE DES GÎTES MINÉRAUX

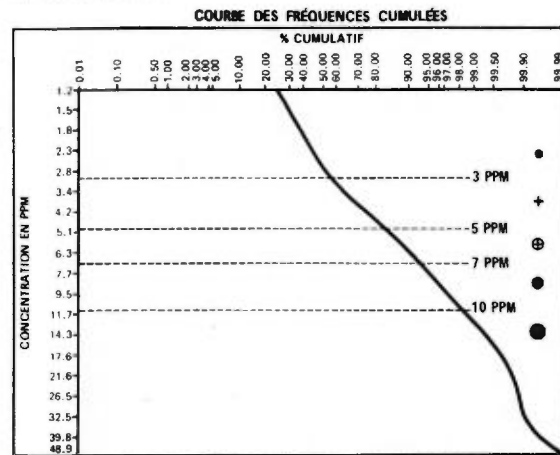
DIVISION DE LA GÉOCHIMIE
G.H. COCKBURN

Carte géochimique No 1828



LÉGENDE

GÉOCHIMIE



LITHOLOGIE SIMPLIFIÉE

- 14 Sable et gravier
- S "Sandstone" FM-Sakami
- 13 Dyke de diabase
- 12 Dyke de pegmatite
- 11 Granite
- 10 Quartz-diorite
- 9 Migmatite
- 8 Granite migmatitique
- 7 Formation de fer
- 6 Roche métasédimentaire
- 5 Tuf rhyolitique
- 4 Lave intermédiaire
- 3 Roche ultrabasique
- 2A Amphibolite
- 2 Lave basique
- 1 Gneiss non différencié

Contact ———
Faille - - - - -

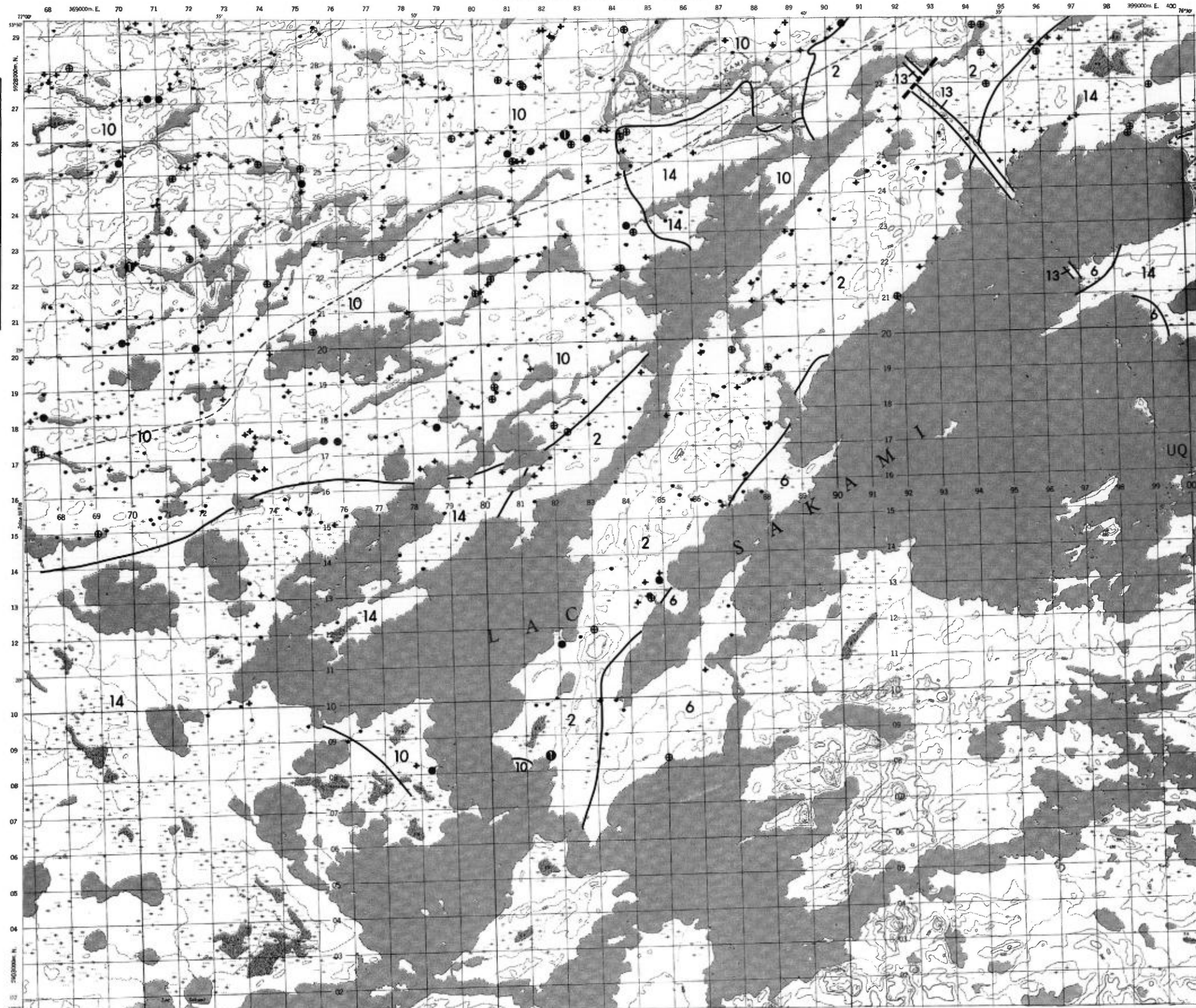
ÉCHELLE 1:125,000



SERVICE DES GÎTES MINÉRAUX

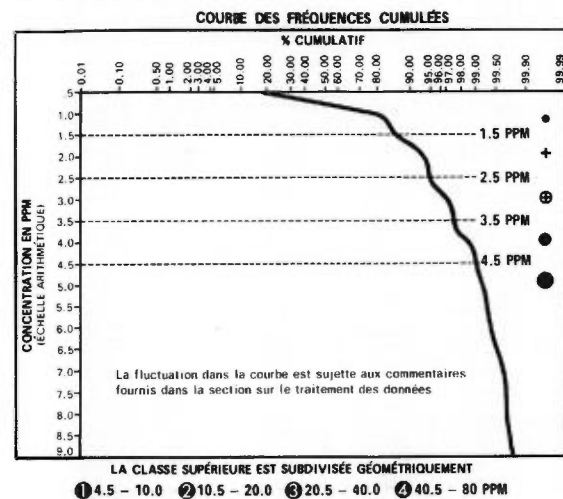
DIVISION DE LA GÉOCHIMIE
G.H. COCKBURN

Carte géochimique No 1828



LÉGENDE

GÉOCHIMIE



LITHOLOGIE SIMPLIFIÉE

- 14 Sable et gravier
- S "Sandstone" FM-Sakami
- 13 Dyke de diabase
- 12 Dyke de pegmatite
- 11 Granite
- 10 Quartz-diorite
- 9 Migmatite
- 8 Granite migmatitique
- 7 Formation de fer
- 6 Roche métasédimentaire
- 5 Tuf rhyolitique
- 4 Lave intermédiaire
- 3 Roche ultrabasique
- 2A Amphibolite
- 2 Lave basique
- 1 Gneiss non différencié

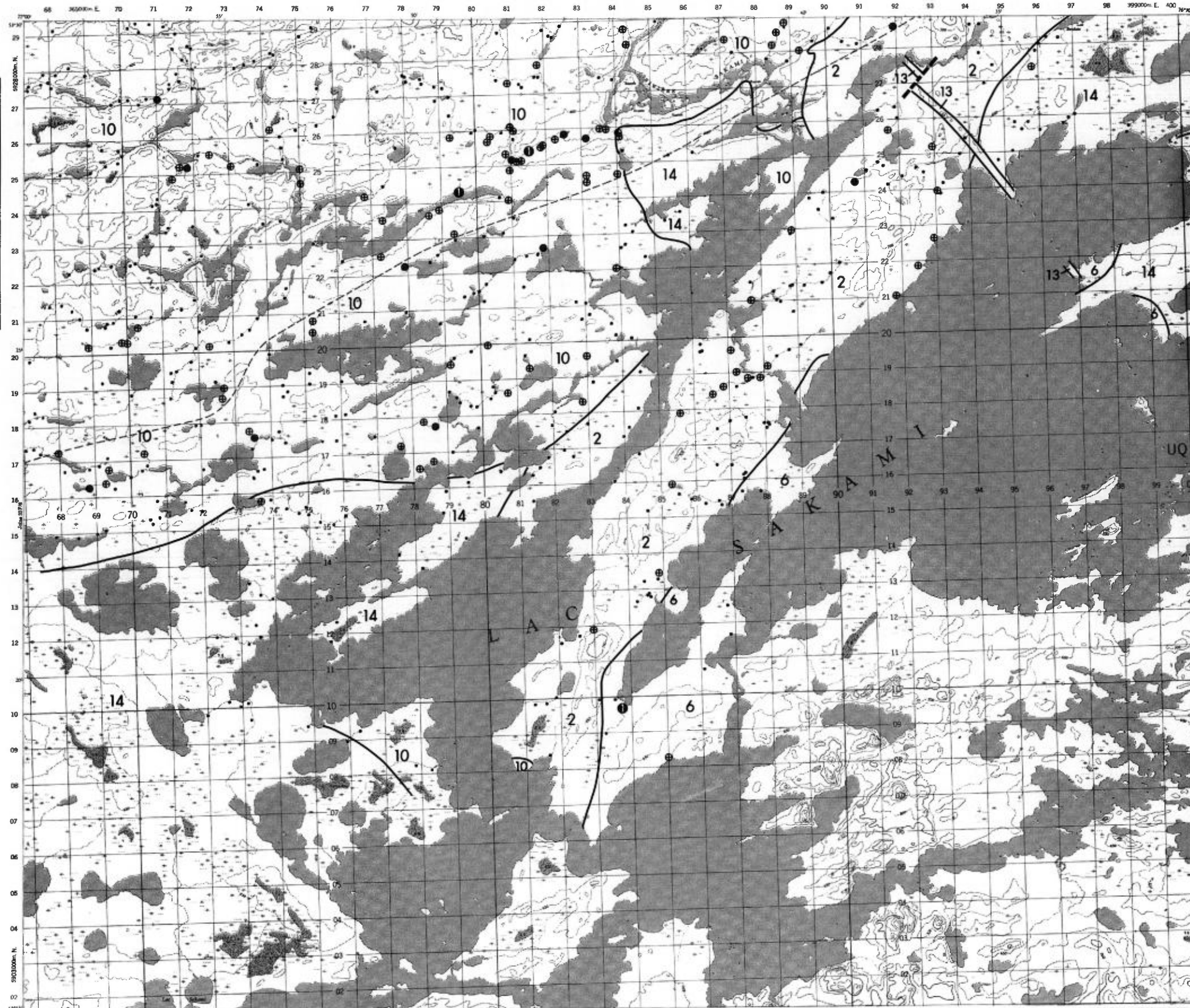
Contact ———
Faille - - - - -

ÉCHELLE 1:125,000



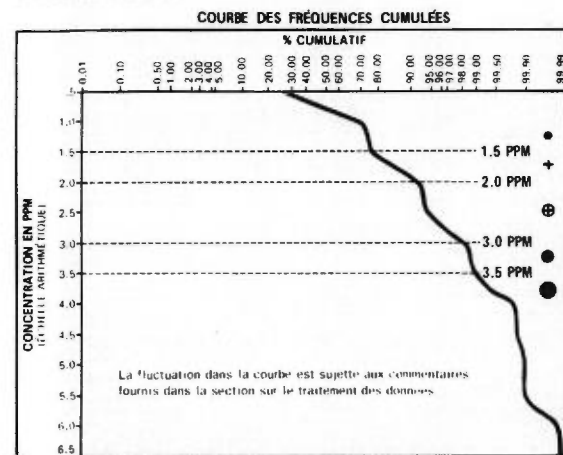
SERVICE DES GÎTES MINÉRAUX
DIVISION DE LA GÉOCHIMIE
G.H. COCKBURN

Carte géochimique No 1828



LÉGENDE

GÉOCHIMIE



LA CLASSE SUPÉRIEURE EST SUBDIVISÉE GÉOMÉTRIQUEMENT

① 3.5 - 6.0 ② 6.5 - 12.0 ③ 12.5 - 24.0 PPM

LITHOLOGIE SIMPLIFIÉE

- 14 Sable et gravier
- 5 "Sandstone" FM-Sakami
- 13 Dyke de diabase
- 12 Dyke de pegmatite
- 11 Granite
- 10 Quartz-diorite
- 9 Migmatite
- 8 Granite migmatitique
- 7 Formation de fer
- 6 Roche métasédimentaire
- 5 Tuf rhyolitique
- 4 Lave intermédiaire
- 3 Roche ultrabasique
- 2A Amphibolite
- 2 Lave basique
- 1 Gneiss non différencié

Contact ———
Faille - - - - -

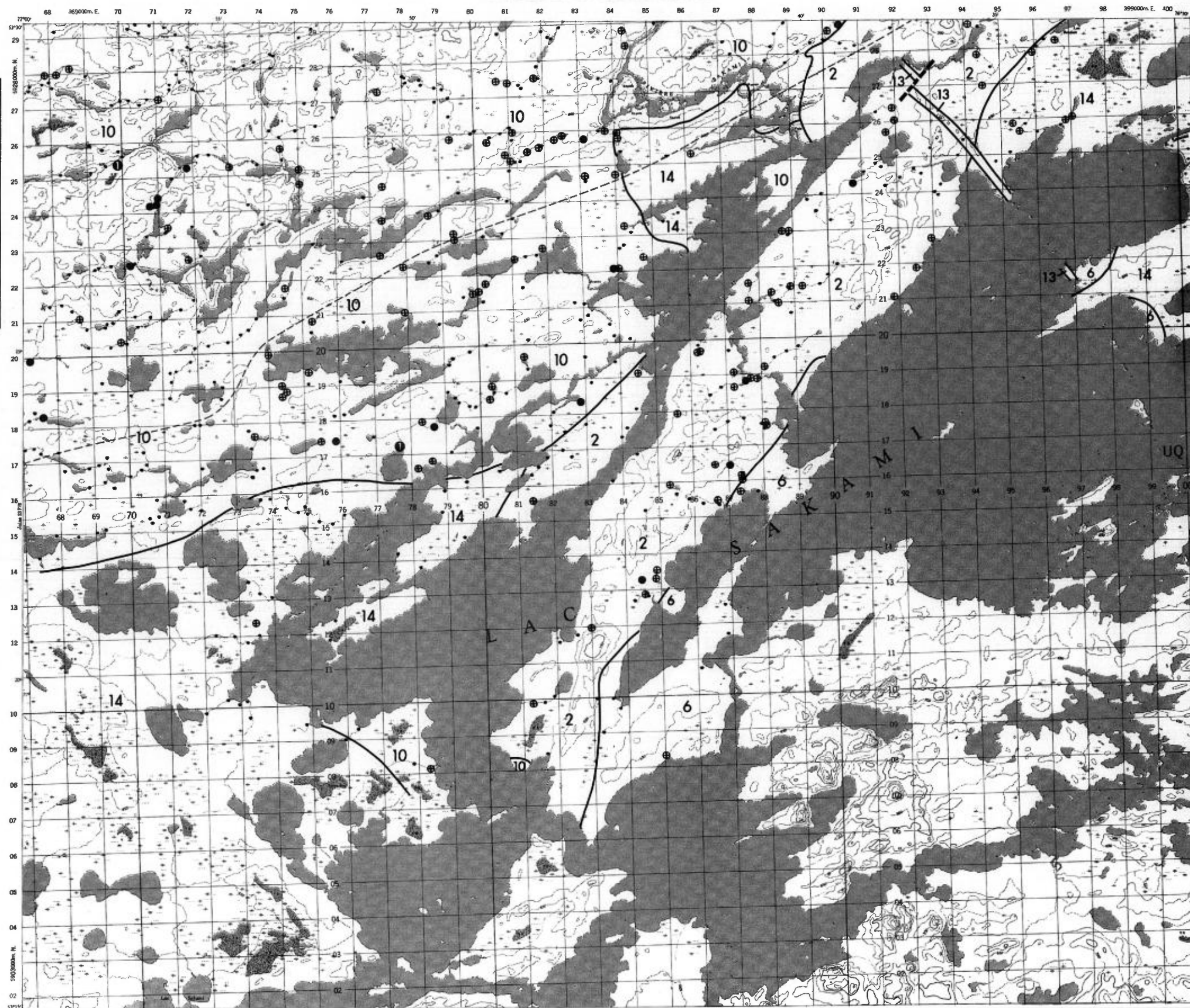
ÉCHELLE 1:125,000



SERVICE DES GÎTES MINÉRAUX

DIVISION DE LA GÉOCHIMIE
G.H. COCKBURN

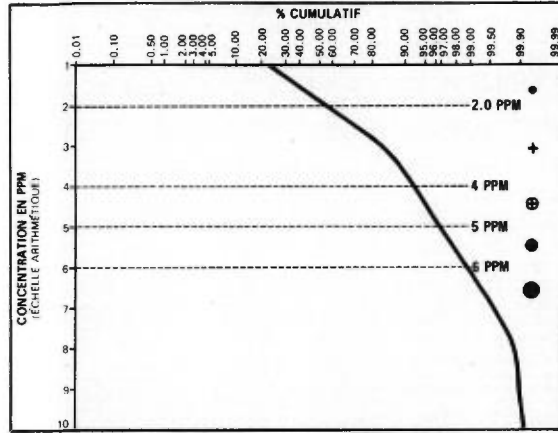
Carte géochimique No 1828



LÉGENDE

GÉOCHIMIE

COURBE DES FRÉQUENCES CUMULÉES



LA CLASSE SUPÉRIEURE EST SUBDIVISÉE GÉOMÉTRIQUEMENT
① 6 - 10 ② 11 - 20 ③ 21 - 40 PPM

LITHOLOGIE SIMPLIFIÉE

- 14 Sable et gravier
- S "Sandstone" FM-Sakami
- 13 Dyke de diabase
- 12 Dyke de pegmatite
- 11 Granite
- 10 Quartz-diorite
- 9 Migmatite
- 8 Granite migmatitique
- 7 Formation de fer
- 6 Roche métasédimentaire
- 5 Tuf rhyolitique
- 4 Lave intermédiaire
- 3 Roche ultrabasique
- 2A Amphibolite
- 2 Lave basique
- 1 Gneiss non différencié

Contact ———
Faille - - - - -

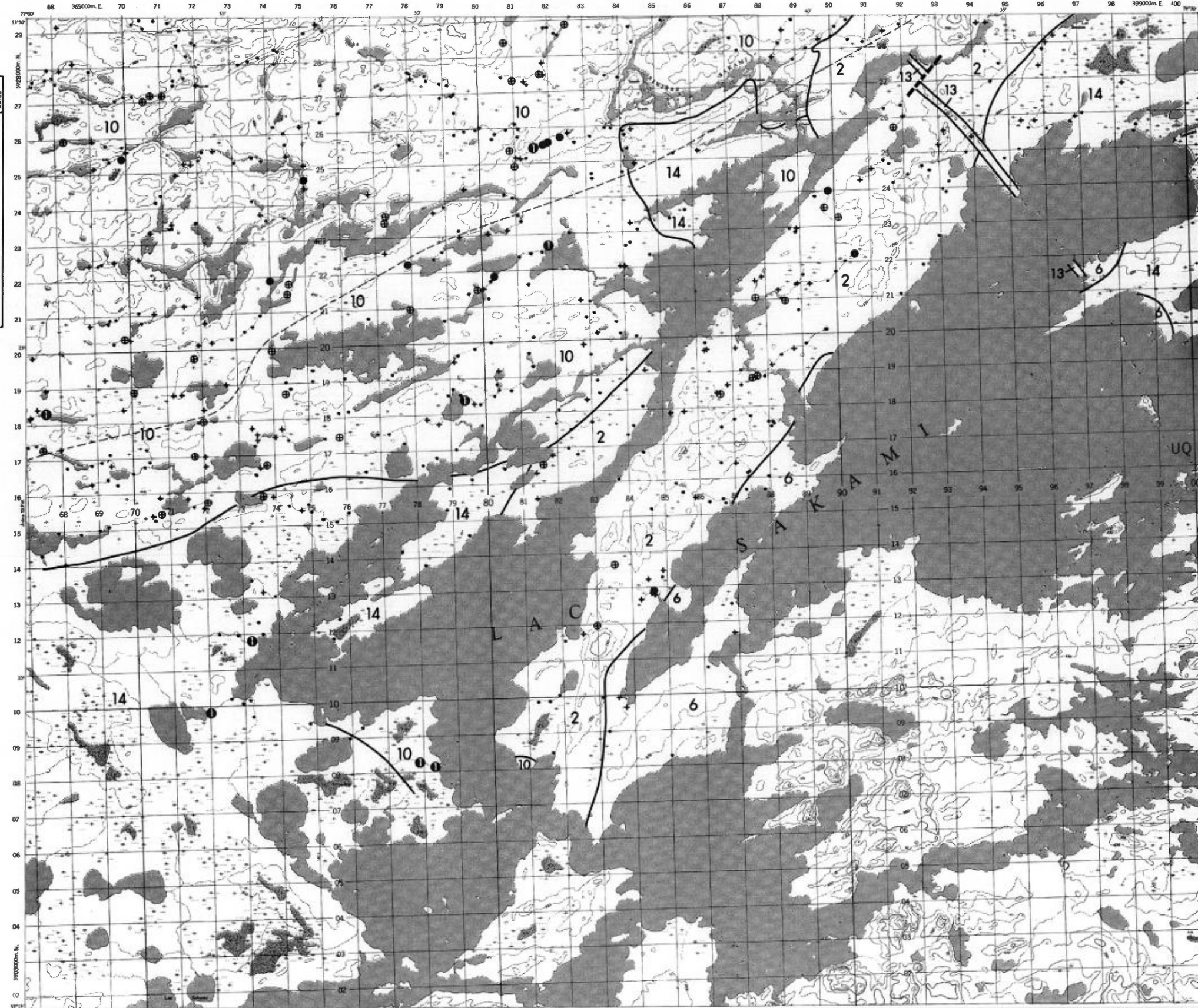
ÉCHELLE 1:125,000



SERVICE DES GÎTES MINÉRAUX

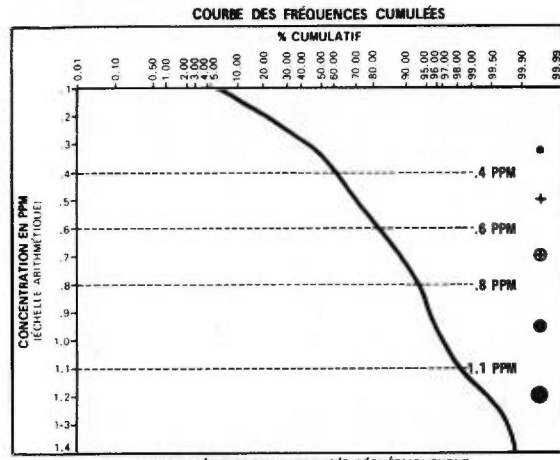
DIVISION DE LA GÉOCHIMIE
G.H. COCKBURN

Carte géochimique No 1828



LÉGENDE

GÉOCHIMIE

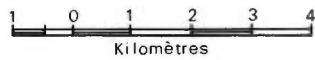


LITHOLOGIE SIMPLIFIÉE

- 14 Sable et gravier
- S "Sandstone" FM-Sakami
- 13 Dyke de diabase
- 12 Dyke de pegmatite
- 11 Granite
- 10 Quartz-diorite
- 9 Migmatite
- 8 Granite migmatitique
- 7 Formation de fer
- 6 Roche métasédimentaire
- 5 Tuf rhyolitique
- 4 Lave intermédiaire
- 3 Roche ultrabasique
- 2A Amphibolite
- 2 Lave basique
- 1 Gneiss non différencié

- Contact ———
- Faillle - - - - -

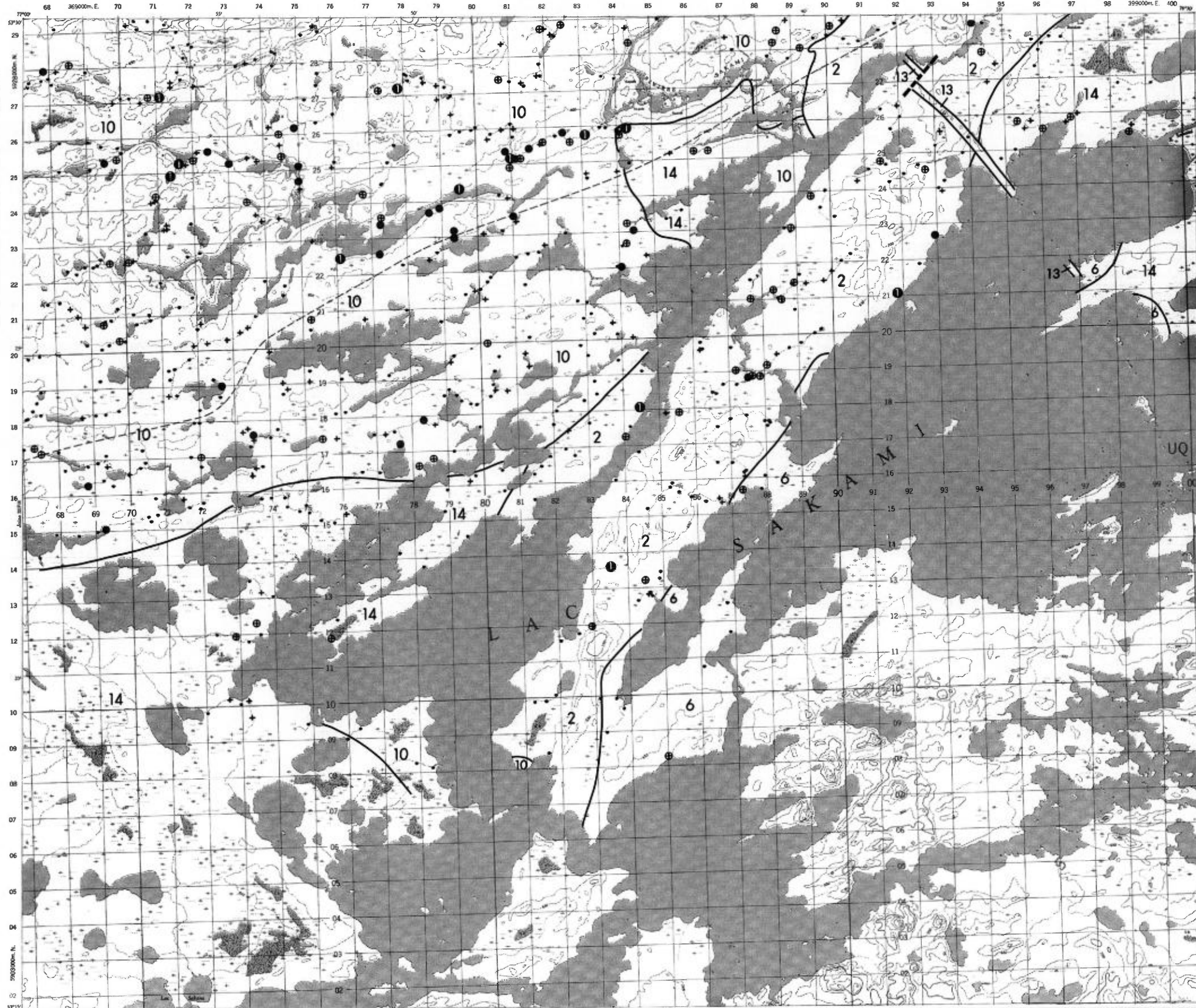
ÉCHELLE 1:125,000

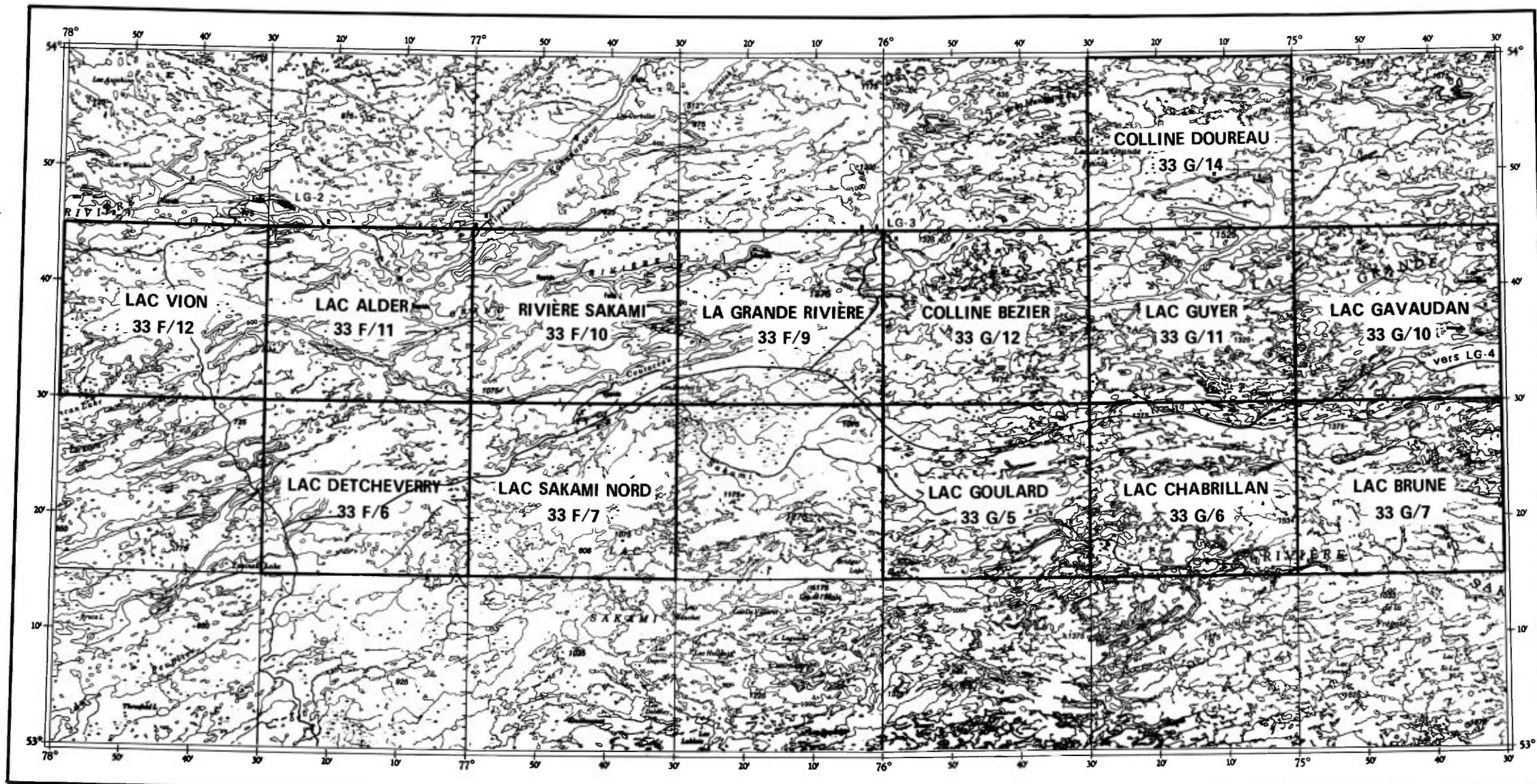


SERVICE DES GÎTES MINÉRAUX

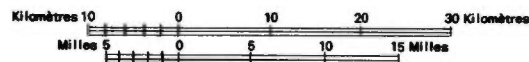
DIVISION DE LA GÉOCHIMIE
G.H. COCKBURN

Carte géochimique No 1828





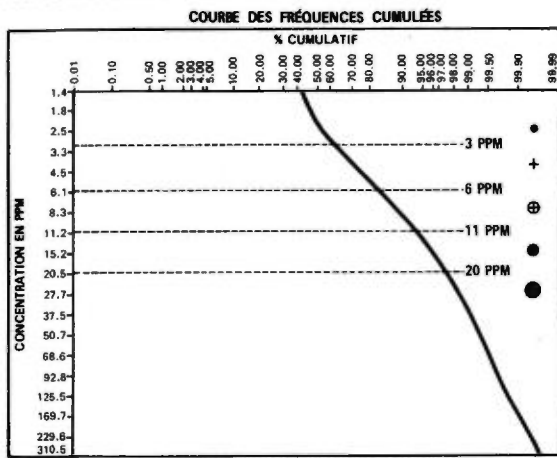
**INDEX DES CARTES GÉOCHIMIQUES
RÉGION DE LA GRANDE RIVIÈRE**



LA GRANDE RIVIÈRE
RÉGION DE LA GRANDE RIVIÈRE

LÉGENDE

GÉOCHIMIE



LA CLASSE SUPÉRIEURE EST SUBDIVISÉE GÉOMÉTRIQUEMENT

- ① 21 - 40 ② 41 - 80 ③ 81 - 160 ④ 161 - 320 ⑤ 321 - 640 ⑥ 641 - 1280
- ⑦ 1281 - 2560 ⑧ 2561 - 5120 PPM

LITHOLOGIE SIMPLIFIÉE

- 14 Sable et gravier
- S "Sandstone" FM-Sakami
- 13 Dyke de diabase
- 12 Dyke de pegmatite
- 11 Granite
- 10 Quartz-diorite
- 9 Migmatite
- 8 Granite migmatitique
- 7 Formation de fer
- 6 Roche métasédimentaire
- 5 Tuf rhyolitique
- 4 Lave intermédiaire
- 3 Roche ultrabasique
- 2A Amphibolite
- 2 Lave basique
- 1 Gneiss non différencié

- Contact ———
- Faillle - - - - -

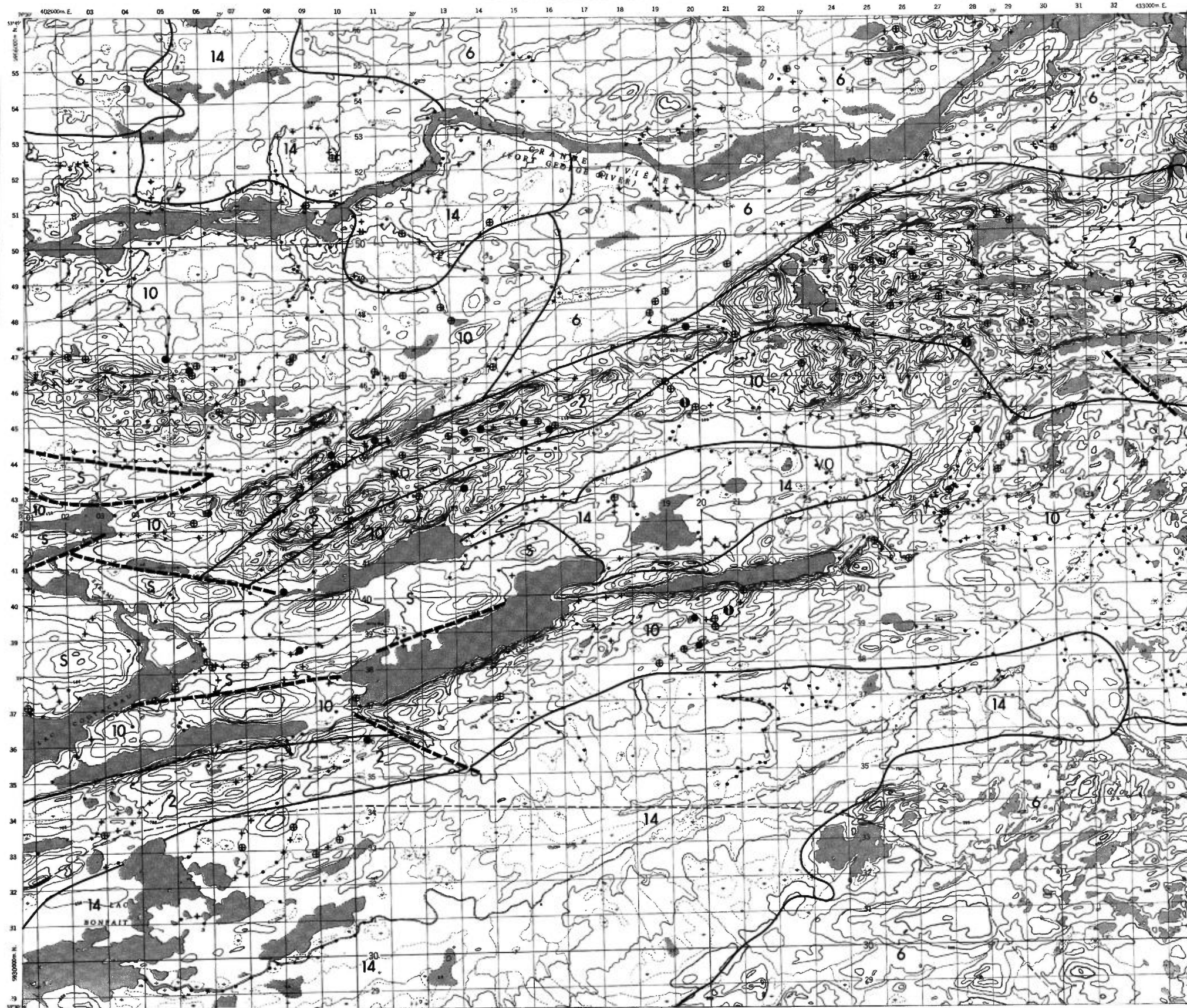
ÉCHELLE 1:125,000



SERVICE DES GÎTES MINÉRAUX

DIVISION DE LA GÉOCHIMIE
G.H. COCKBURN

Carte géochimique No 1823

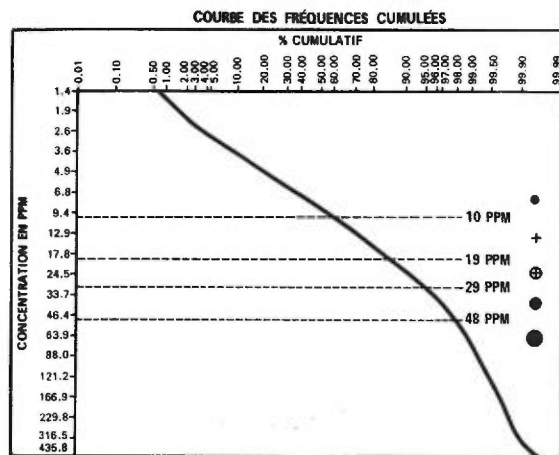




LA GRANDE RIVIÈRE
RÉGION DE LA GRANDE RIVIÈRE

LÉGENDE

GÉOCHIMIE



LA CLASSE SUPÉRIEURE EST SUBDIVISÉE GÉOMÉTRIQUEMENT

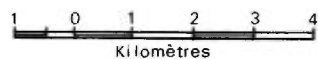
- ① 49 - 100
- ② 101 - 200
- ③ 201 - 400
- ④ 401 - 800
- ⑤ 801 - 1600
- ⑥ 1601 - 3200
- ⑦ 3201 - 6400 PPM

LITHOLOGIE SIMPLIFIÉE

- 14 Sable et gravier
- S "Sandstone" FM-Sakami
- 13 Dyke de diabase
- 12 Dyke de pegmatite
- 11 Granite
- 10 Quartz-diorite
- 9 Migmatite
- 8 Granite migmatitique
- 7 Formation de fer
- 6 Roche métasédimentaire
- 5 Tuf rhyolitique
- 4 Lave intermédiaire
- 3 Roche ultrabasique
- 2A Amphibolite
- 2 Lave basique
- 1 Gneiss non différencié

- Contact ———
- Faïlle - - - - -

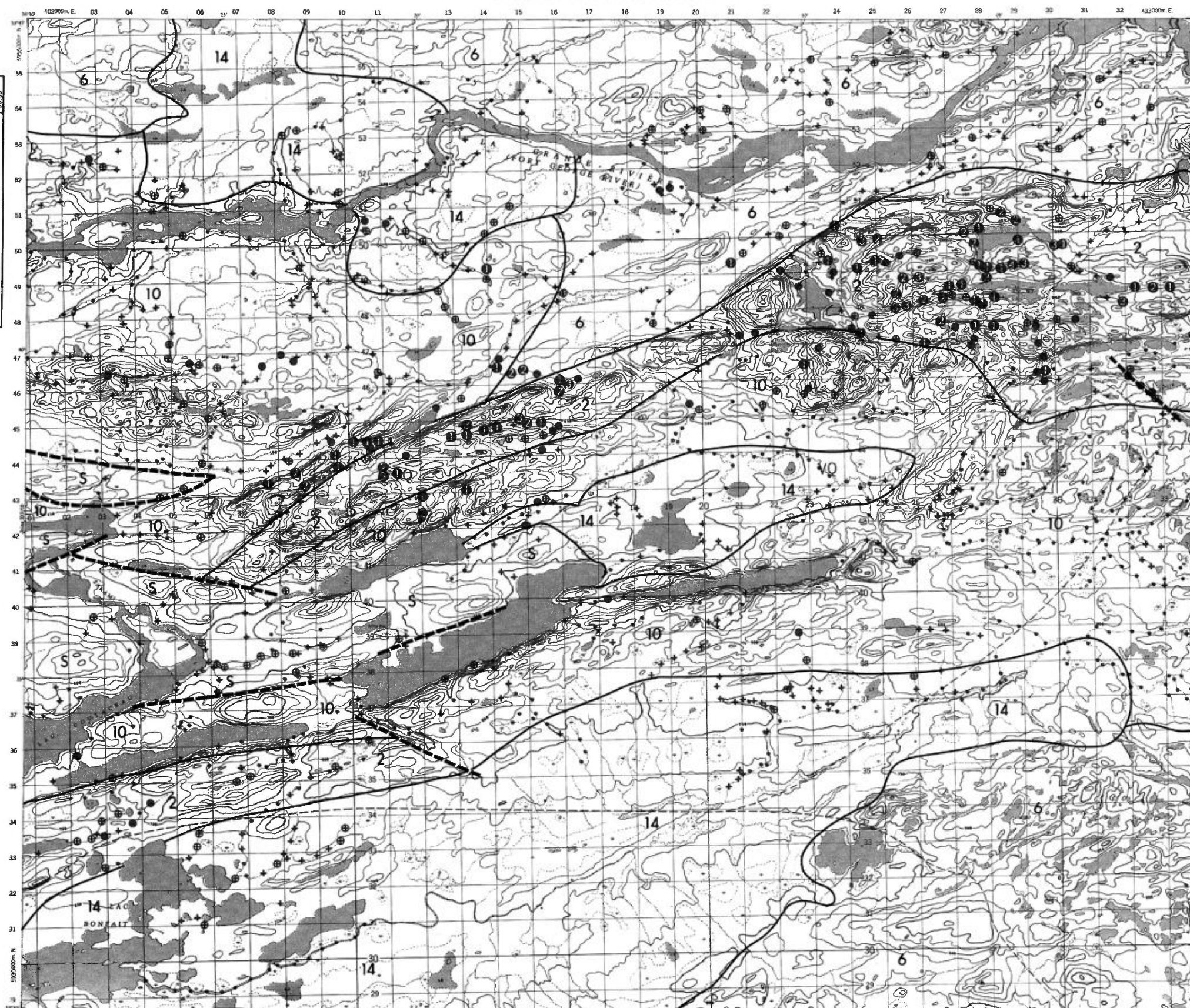
ÉCHELLE 1:125,000



SERVICE DES GÎTES MINÉRAUX

DIVISION DE LA GÉOCHIMIE
G.H. COCKBURN

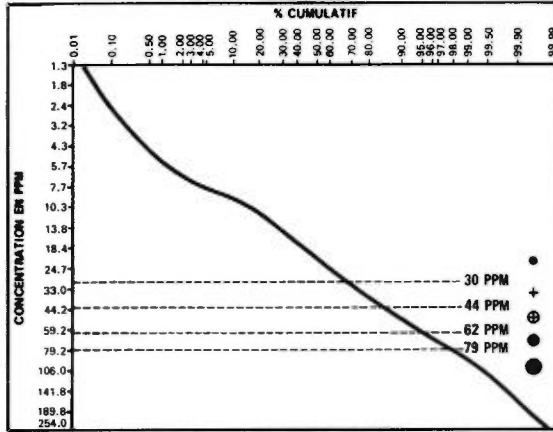
Carte géochimique No 1823



LÉGENDE

GÉOCHIMIE

COURBE DES FRÉQUENCES CUMULÉES



LA CLASSE SUPÉRIEURE EST SUBDIVISÉE GÉOMÉTRIQUEMENT
① 80 - 160 ② 161 - 320 ③ 321 - 640 PPM

LITHOLOGIE SIMPLIFIÉE

- 14 Sable et gravier
- S "Sandstone" FM-Sakami
- 13 Dyke de diabase
- 12 Dyke de pegmatite
- 11 Granite
- 10 Quartz-diorite
- 9 Migmatite
- 8 Granite migmatitique
- 7 Formation de fer
- 6 Roche métasédimentaire
- 5 Tuf rhyolitique
- 4 Lave intermédiaire
- 3 Roche ultrabasique
- 2A Amphibolite
- 2 Lave basique
- 1 Gneiss non différencié

Contact ———
Faille - - - - -

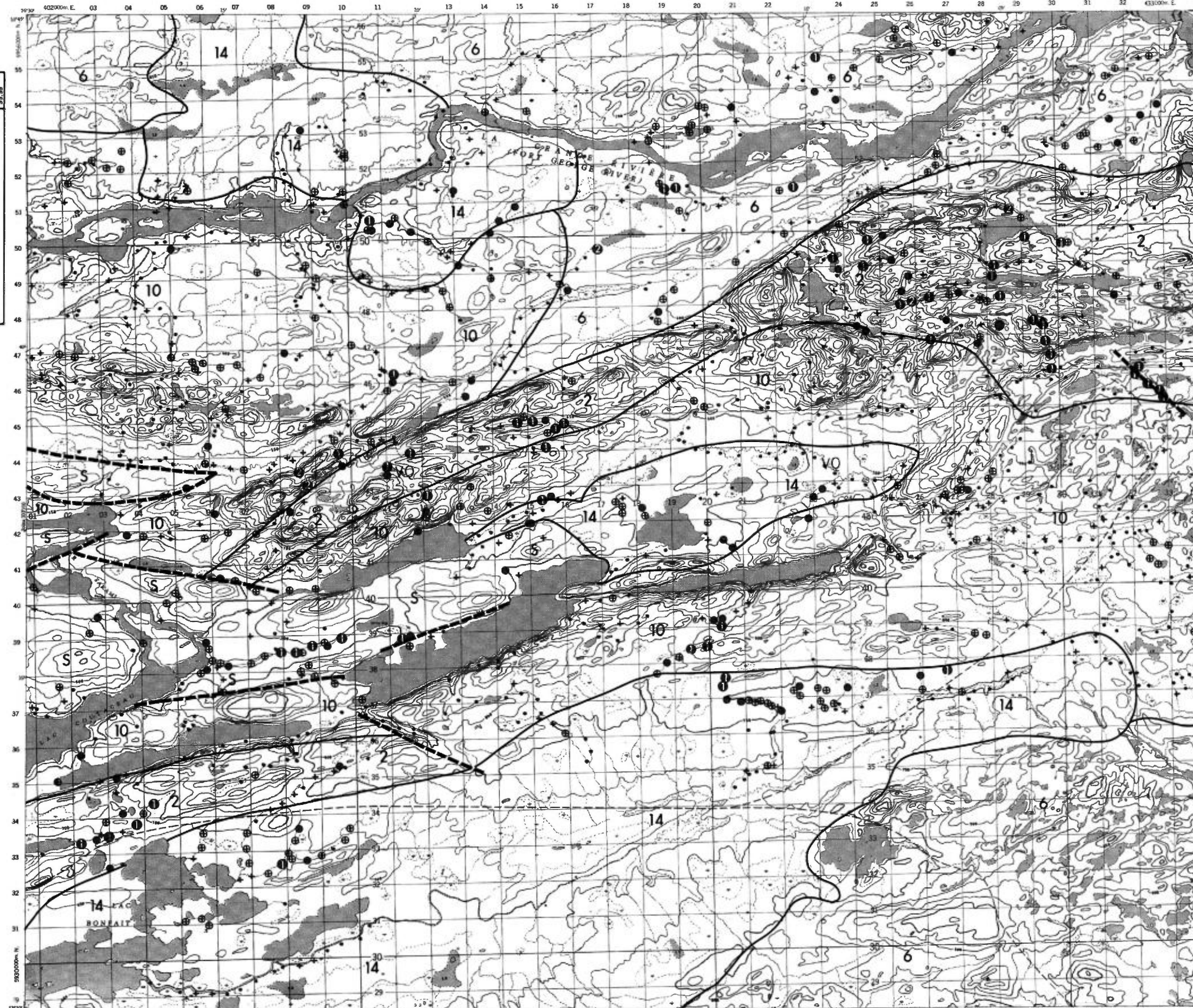
ÉCHELLE 1:125,000



SERVICE DES GÎTES MINÉRAUX

DIVISION DE LA GÉOCHIMIE
G.H. COCKBURN

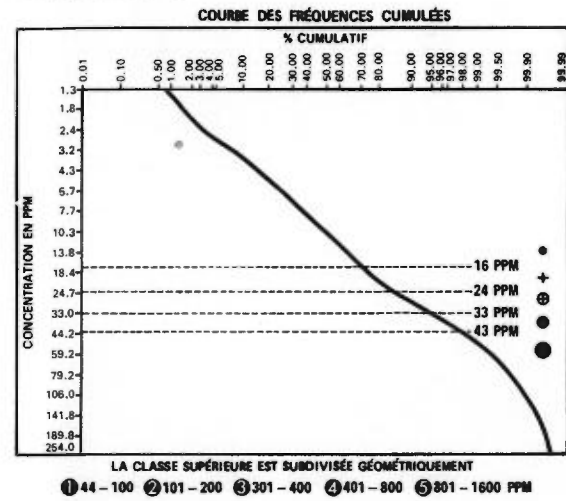
Carte géochimique No 1823



LA GRANDE RIVIÈRE
RÉGION DE LA GRANDE RIVIÈRE

LÉGENDE

GÉOCHIMIE



LITHOLOGIE SIMPLIFIÉE

- 14 Sable et gravier
- S "Sandstone" FM-Sakami
- 13 Dyke de diabase
- 12 Dyke de pegmatite
- 11 Granite
- 10 Quartz-diorite
- 9 Migmatite
- 8 Granite migmatitique
- 7 Formation de fer
- 6 Roche métasédimentaire
- 5 Tuf rhyolitique
- 4 Lave intermédiaire
- 3 Roche ultrabasique
- 2A Amphibolite
- 2 Lave basique
- 1 Gneiss non différencié

Contact ———
Faille - - - - -

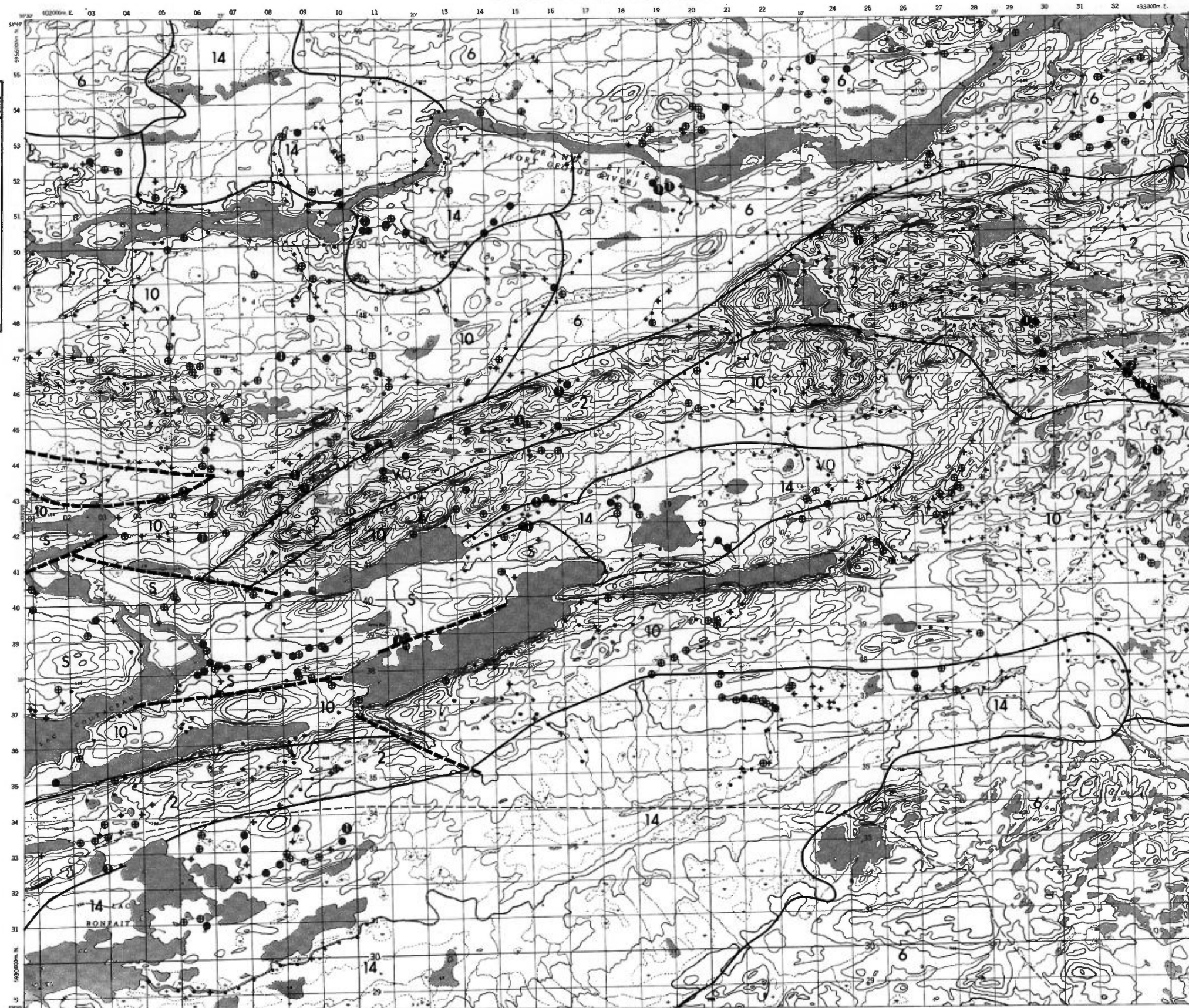
ÉCHELLE 1:125,000



SERVICE DES GÎTES MINÉRAUX

DIVISION DE LA GÉOCHIMIE
G.H. COCKBURN

Carte géochimique No 1823



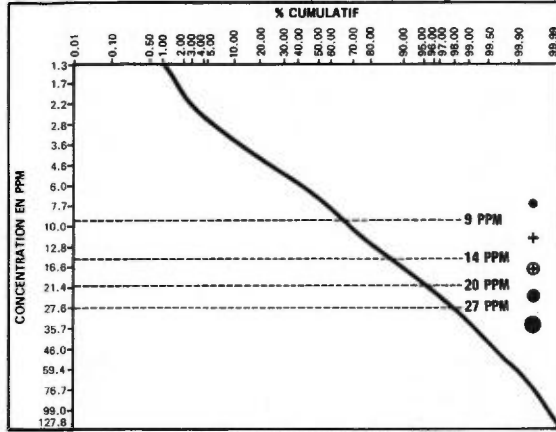
LA GRANDE RIVIÈRE

RÉGION DE LA GRANDE RIVIÈRE

LÉGENDE

GÉOCHIMIE

COURBE DES FRÉQUENCES CUMULÉES



LA CLASSE SUPÉRIEURE EST SUBDIVISÉE GÉOMÉTRIQUEMENT

① 28 - 60 ② 61 - 120 ③ 121 - 240 PPM

LITHOLOGIE SIMPLIFIÉE

- 14 Sable et gravier
- S "Sandstone" FM-Sakami
- 13 Dyke de diabase
- 12 Dyke de pegmatite
- 11 Granite
- 10 Quartz-diorite
- 9 Migmatite
- 8 Granite migmatitique
- 7 Formation de fer
- 6 Roche métasédimentaire
- 5 Tuf rhyolitique
- 4 Lave intermédiaire
- 3 Roche ultrabasique
- 2A Amphibolite
- 2 Lave basique
- 1 Gneiss non différencié

Contact ———
Faille - - - - -

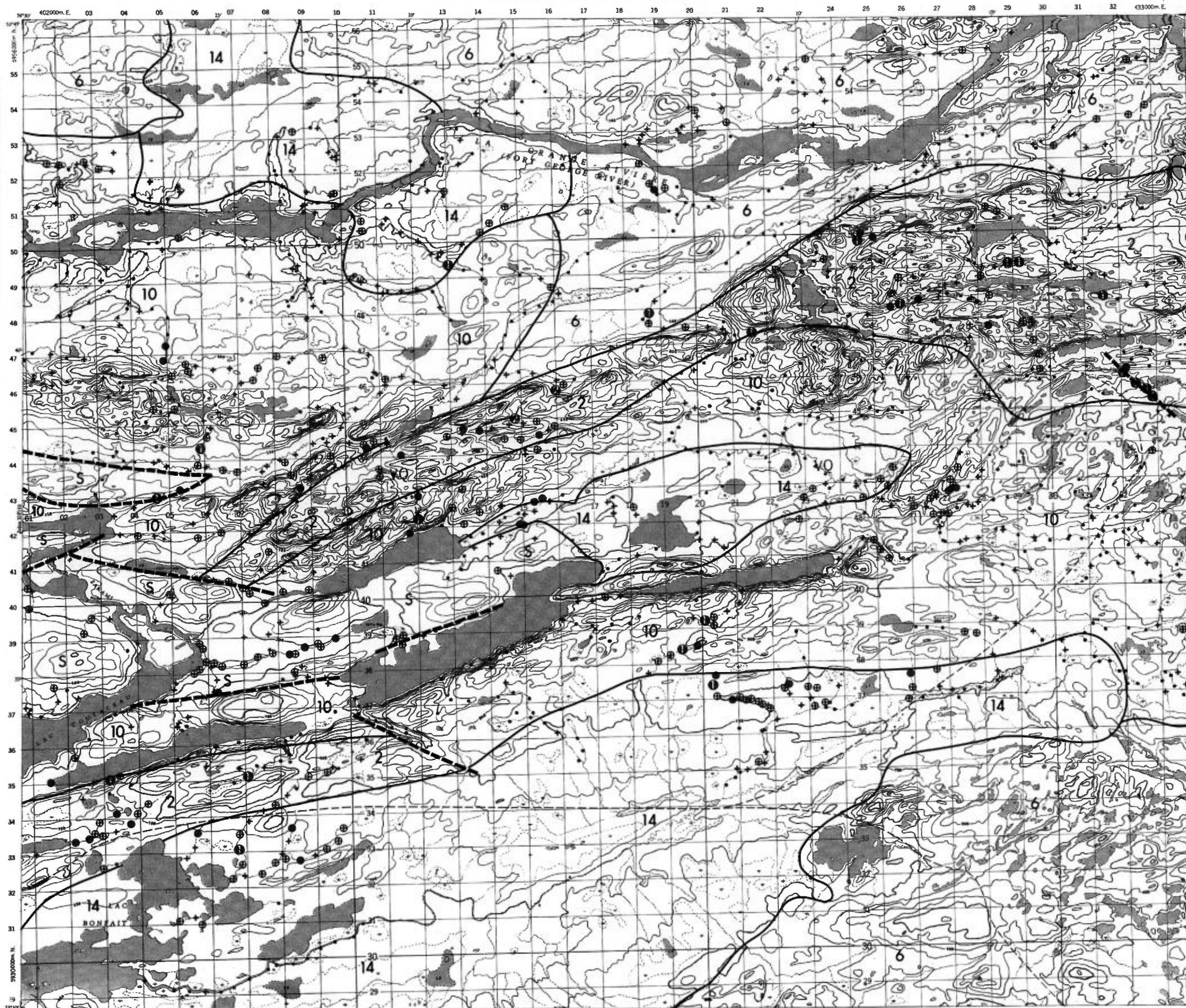
ÉCHELLE 1:125,000



SERVICE DES GÎTES MINÉRAUX

DIVISION DE LA GÉOCHIMIE
G.H. COCKBURN

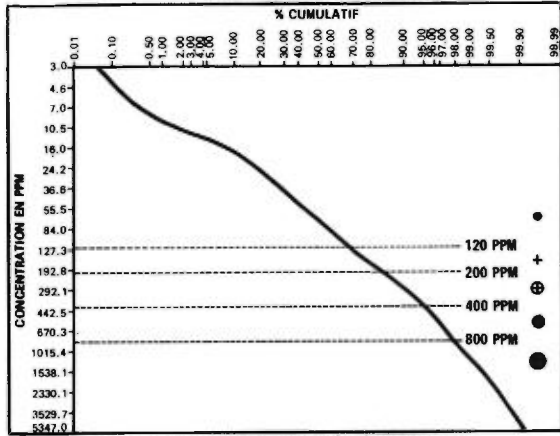
Carte géochimique No 1823



LÉGENDE

GÉOCHIMIE

COURBE DES FRÉQUENCES CUMULÉES



LA CLASSE SUPÉRIEURE EST SUBDIVISÉE GÉOMÉTRIQUEMENT

- ① 801 - 1600
- ② 1601 - 3200
- ③ 3201 - 6400
- ④ 6401 - 12800
- ⑤ 12801 - 25000 PPM

LITHOLOGIE SIMPLIFIÉE

- 14 Sable et gravier
- S "Sandstone" FM-Sakami
- 13 Dyke de diabase
- 12 Dyke de pegmatite
- 11 Granite
- 10 Quartz-diorite
- 9 Migmatite
- 8 Granite migmatitique
- 7 Formation de fer
- 6 Roche métasédimentaire
- 5 Tuf rhyolitique
- 4 Lave intermédiaire
- 3 Roche ultrabasique
- 2A Amphibolite
- 2 Lave basique
- 1 Gneiss non différencié

- Contact ———
- Faïlle - - - - -

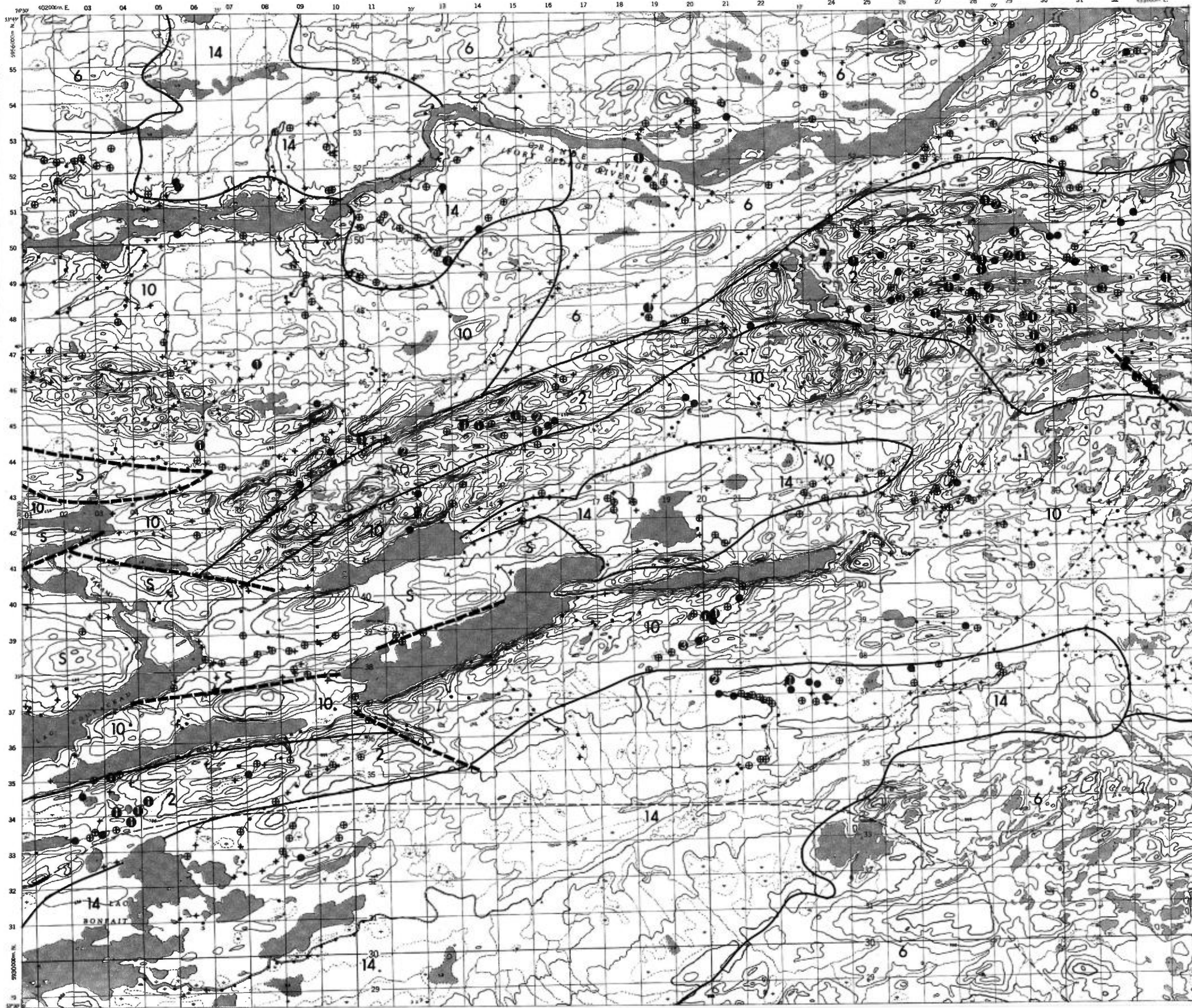
ÉCHELLE 1:125,000



SERVICE DES GÎTES MINÉRAUX

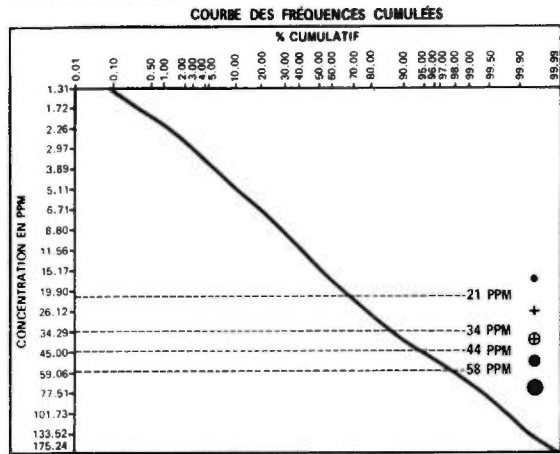
DIVISION DE LA GÉOCHIMIE
G.H. COCKBURN

Carte géochimique No 1823



LÉGENDE

GÉOCHIMIE



LITHOLOGIE SIMPLIFIÉE

- 14 Sable et gravier
- S "Sandstone" FM-Sakami
- 13 Dyke de diabase
- 12 Dyke de pegmatite
- 11 Granite
- 10 Quartz-diorite
- 9 Migmatite
- 8 Granite migmatitique
- 7 Formation de fer
- 6 Roche métasédimentaire
- 5 Tuf rhyolitique
- 4 Lave intermédiaire
- 3 Roche ultrabasique
- 2A Amphibolite
- 2 Lave basique
- 1 Gneiss non différencié

- Contact ———
- Faïlle - - - - -

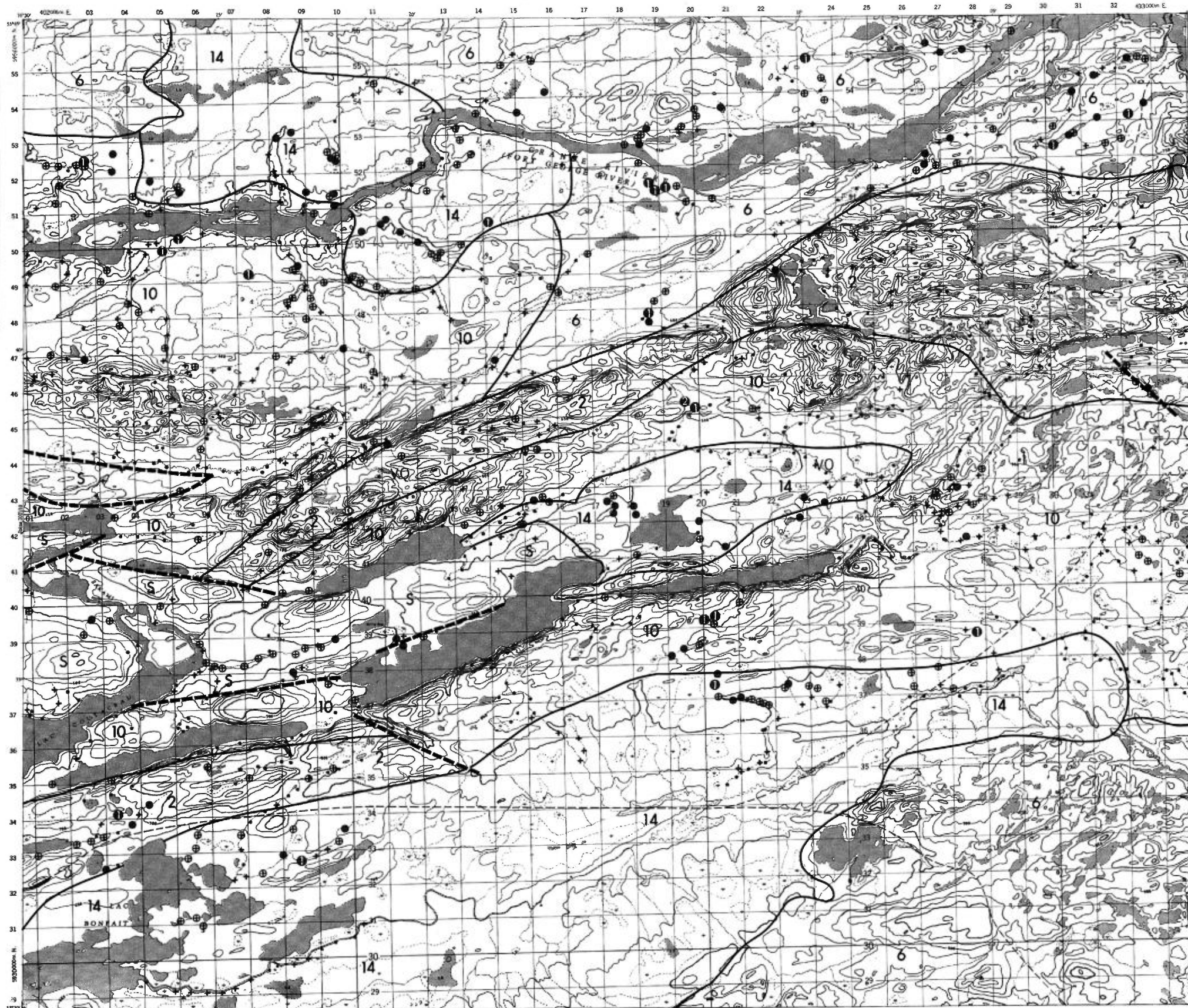
ÉCHELLE 1:125,000



SERVICE DES GÎTES MINÉRAUX

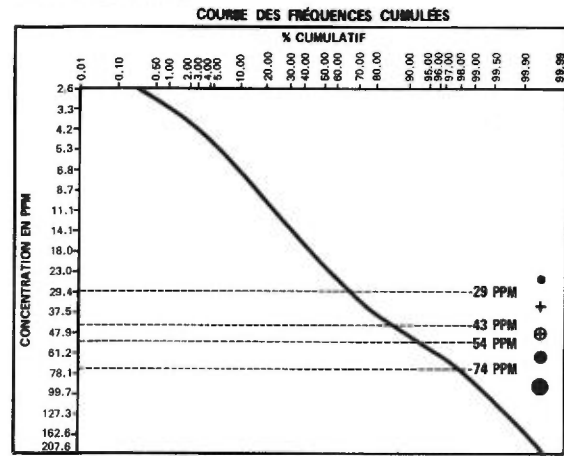
DIVISION DE LA GÉOCHIMIE
G.H. COCKBURN

Carte géochimique No 1823



LÉGENDE

GÉOCHIMIE



LITHOLOGIE SIMPLIFIÉE

- 14 Sable et gravier
- S "Sandstone" FM-Sakami
- 13 Dyke de diabase
- 12 Dyke de pegmatite
- 11 Granite
- 10 Quartz-diorite
- 9 Migmatite
- 8 Granite migmatitique
- 7 Formation de fer
- 6 Roche métasédimentaire
- 5 Tuf rhyolitique
- 4 Lave intermédiaire
- 3 Roche ultrabasique
- 2A Amphibolite
- 2 Lave basique
- 1 Gneiss non différencié

Contact ———
Faille - - - - -

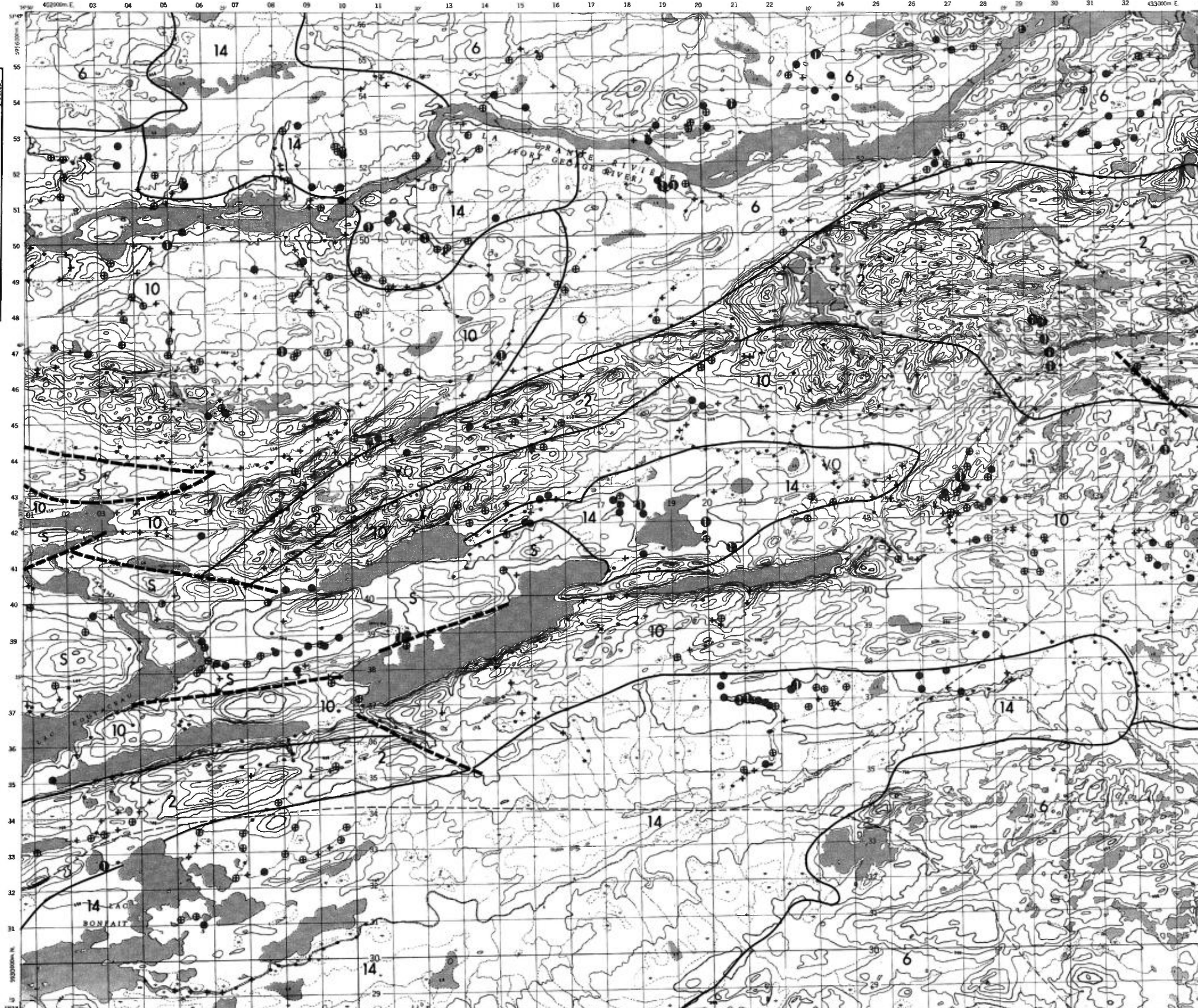
ÉCHELLE 1:125,000



SERVICE DES GÎTES MINÉRAUX

DIVISION DE LA GÉOCHIMIE
G.H. COCKBURN

Carte géochimique No 1823

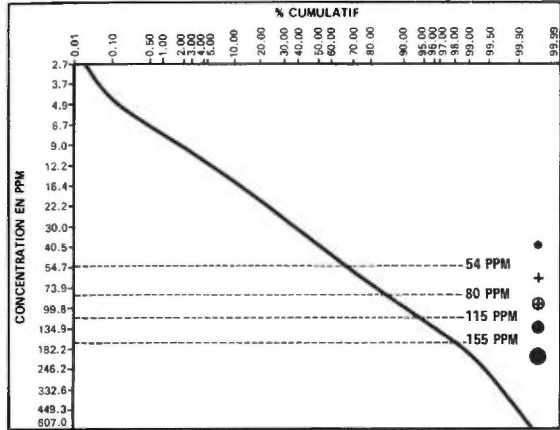


LA GRANDE RIVIÈRE
RÉGION DE LA GRANDE RIVIÈRE

LÉGENDE

GÉOCHIMIE

COURBE DES FRÉQUENCES CUMULÉES



LA CLASSE SUPÉRIEURE EST SUBDIVISÉE GÉOMÉTRIQUEMENT

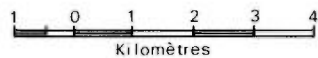
① 156 - 300 ② 301 - 600 ③ 601 - 1200 PPM

LITHOLOGIE SIMPLIFIÉE

- 14 Sable et gravier
- S "Sandstone" FM-Sakami
- 13 Dyke de diabase
- 12 Dyke de pegmatite
- 11 Granite
- 10 Quartz-diorite
- 9 Migmatite
- 8 Granite migmatitique
- 7 Formation de fer
- 6 Roche métasédimentaire
- 5 Tuf rhyolitique
- 4 Lave intermédiaire
- 3 Roche ultrabasique
- 2A Amphibolite
- 2 Lave basique
- 1 Gneiss non différencié

Contact ———
Faille - - - - -

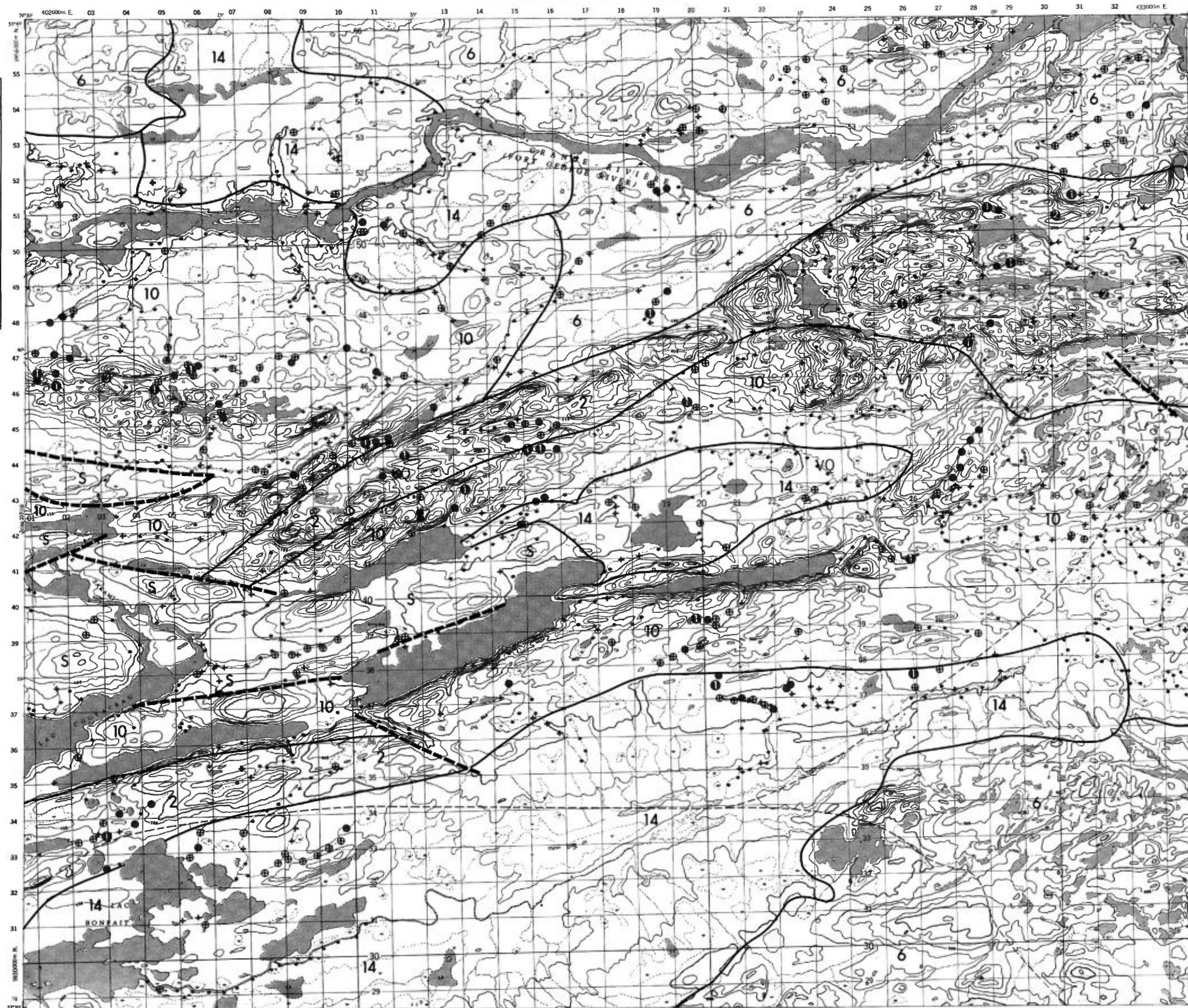
ÉCHELLE 1:125,000



SERVICE DES GÎTES MINÉRAUX

DIVISION DE LA GÉOCHIMIE
G.H. COCKBURN

Carte géochimique No 1823

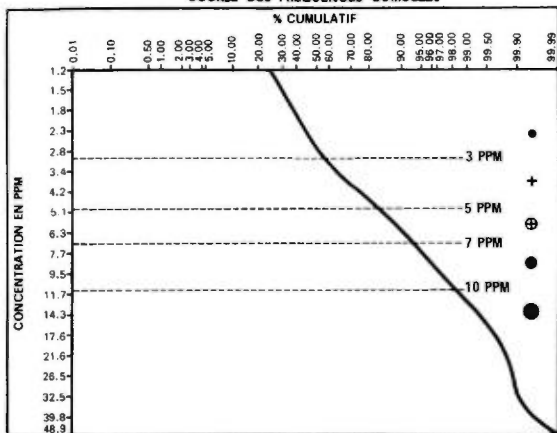


LA GRANDE RIVIÈRE
RÉGION DE LA GRANDE RIVIÈRE

LÉGENDE

GÉOCHIMIE

COURBE DES FRÉQUENCES CUMULÉES



LA CLASSE SUPÉRIEURE EST SUBDIVISÉE GÉOMÉTRIQUEMENT

① 11 - 20 ② 21 - 40 ③ 41 - 80 PPM

LITHOLOGIE SIMPLIFIÉE

- 14 Sable et gravier
- S "Sandstone" FM-Sakami
- 13 Dyke de diabase
- 12 Dyke de pegmatite
- 11 Granite
- 10 Quartz-diorite
- 9 Migmatite
- 8 Granite migmatitique
- 7 Formation de fer
- 6 Roche métasédimentaire
- 5 Tuf rhyolitique
- 4 Lave intermédiaire
- 3 Roche ultrabasique
- 2A Amphibolite
- 2 Lave basique
- 1 Gneiss non différencié

Contact ———
Faille - - - - -

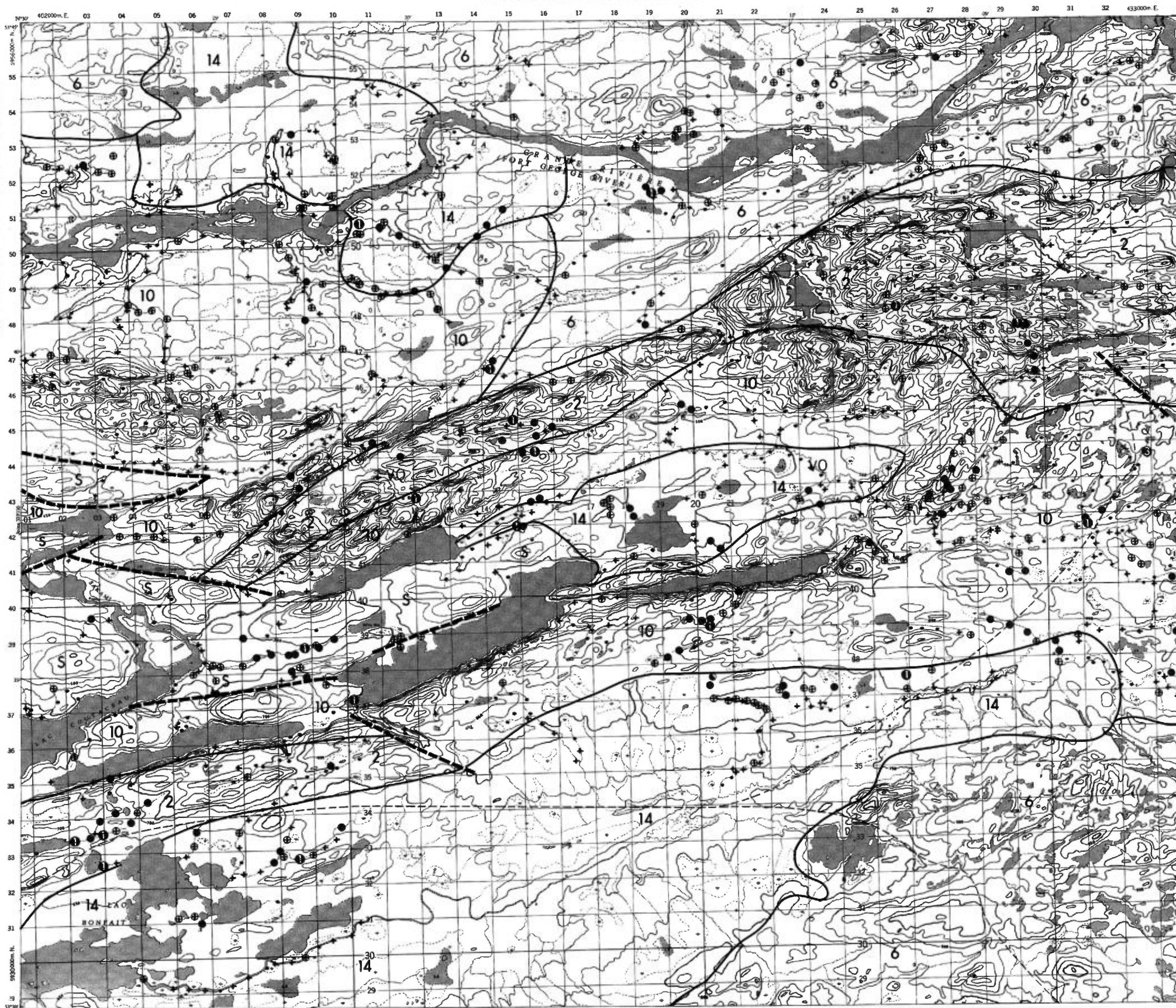
ÉCHELLE 1:125,000



SERVICE DES GÎTES MINÉRAUX

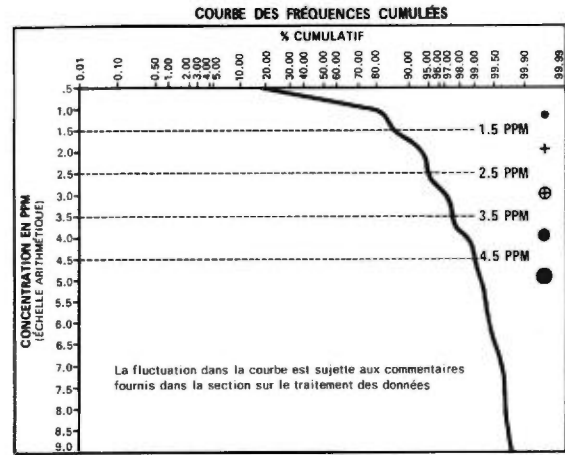
DIVISION DE LA GÉOCHIMIE
G.H. COCKBURN

Carte géochimique No 1823



LÉGENDE

GÉOCHIMIE



LA CLASSE SUPÉRIEURE EST SUBDIVISÉE GÉOMÉTRIQUEMENT
① 4.5 - 10.0 ② 10.5 - 20.0 ③ 20.5 - 40.0 ④ 40.5 - 80 PPM

LITHOLOGIE SIMPLIFIÉE

- 14 Sable et gravier
- S "Sandstone" FM-Sakami
- 13 Dyke de diabase
- 12 Dyke de pegmatite
- 11 Granite
- 10 Quartz-diorite
- 9 Migmatite
- 8 Granite migmatitique
- 7 Formation de fer
- 6 Roche métasédimentaire
- 5 Tuf rhyolitique
- 4 Lave intermédiaire
- 3 Roche ultrabasique
- 2A Amphibolite
- 2 Lave basique
- 1 Gneiss non différencié

Contact ———
Faille - - - - -

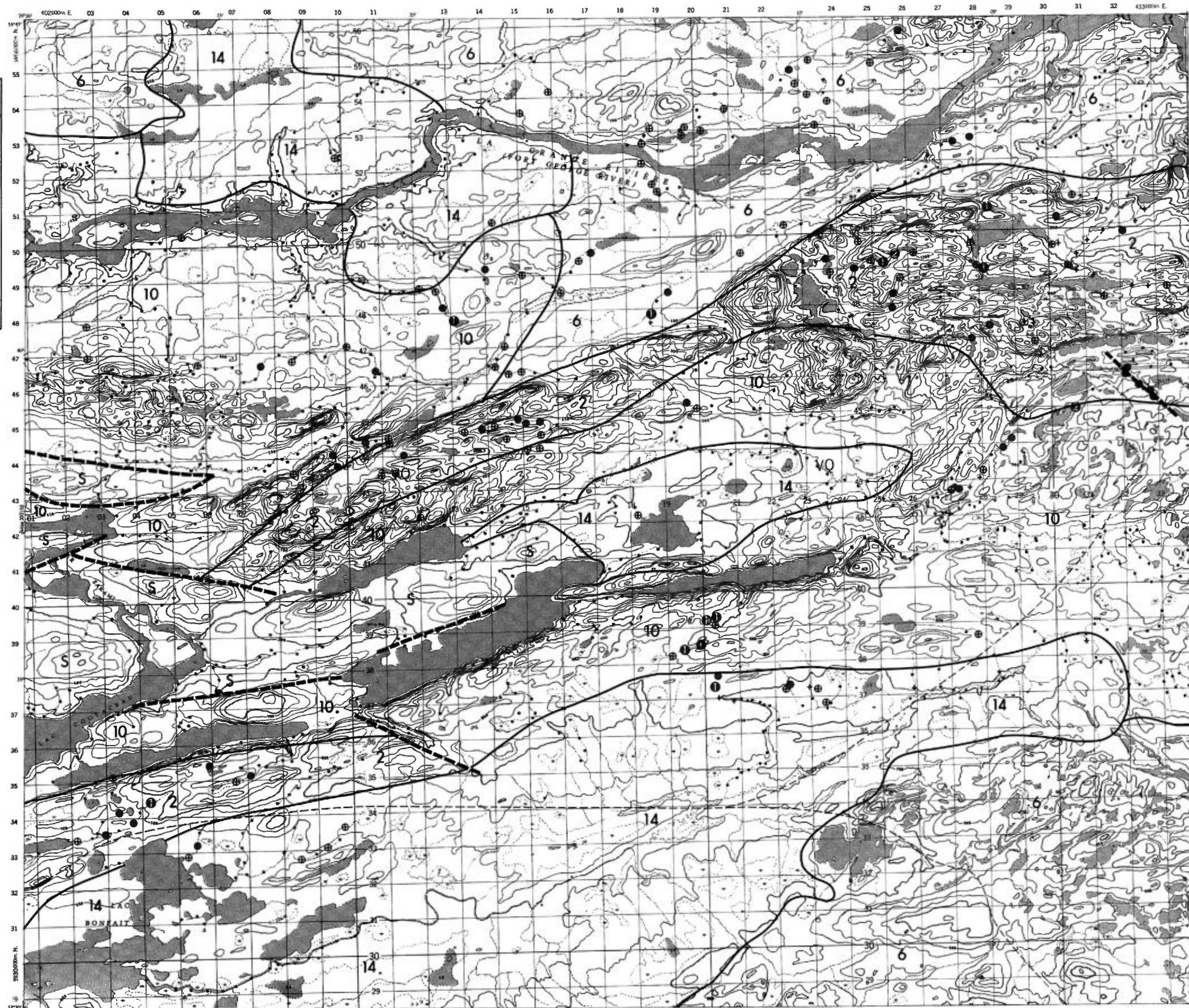
ÉCHELLE 1:125,000



SERVICE DES GÎTES MINÉRAUX

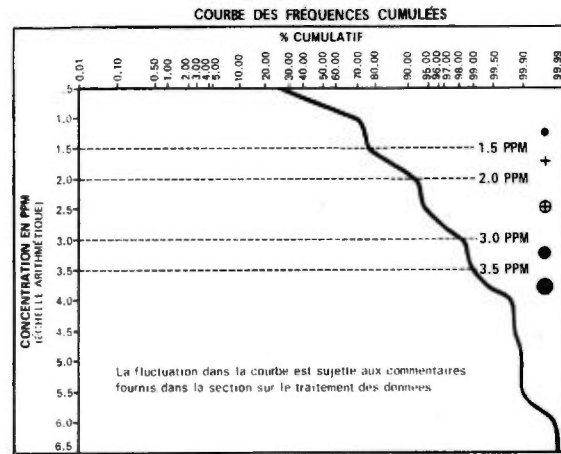
DIVISION DE LA GÉOCHIMIE
G.H. COCKBURN

Carte géochimique No 1823



LÉGENDE

GÉOCHIMIE



LA CLASSE SUPÉRIEURE EST SUBDIVISÉE GÉOMÉTRIQUEMENT

① 3.5 - 6.0 ② 6.5 - 12.0 ③ 12.5 - 24.0 PPM

LITHOLOGIE SIMPLIFIÉE

- 14 Sable et gravier
- S "Sandstone" FM-Sakami
- 13 Dyke de diabase
- 12 Dyke de pegmatite
- 11 Granite
- 10 Quartz-diorite
- 9 Migmatite
- 8 Granite migmatitique
- 7 Formation de fer
- 6 Roche métasédimentaire
- 5 Tuf rhyolitique
- 4 Lave intermédiaire
- 3 Roche ultrabasique
- 2A Amphibolite
- 2 Lave basique
- 1 Gneiss non différencié

Contact ———
Faille - - - - -

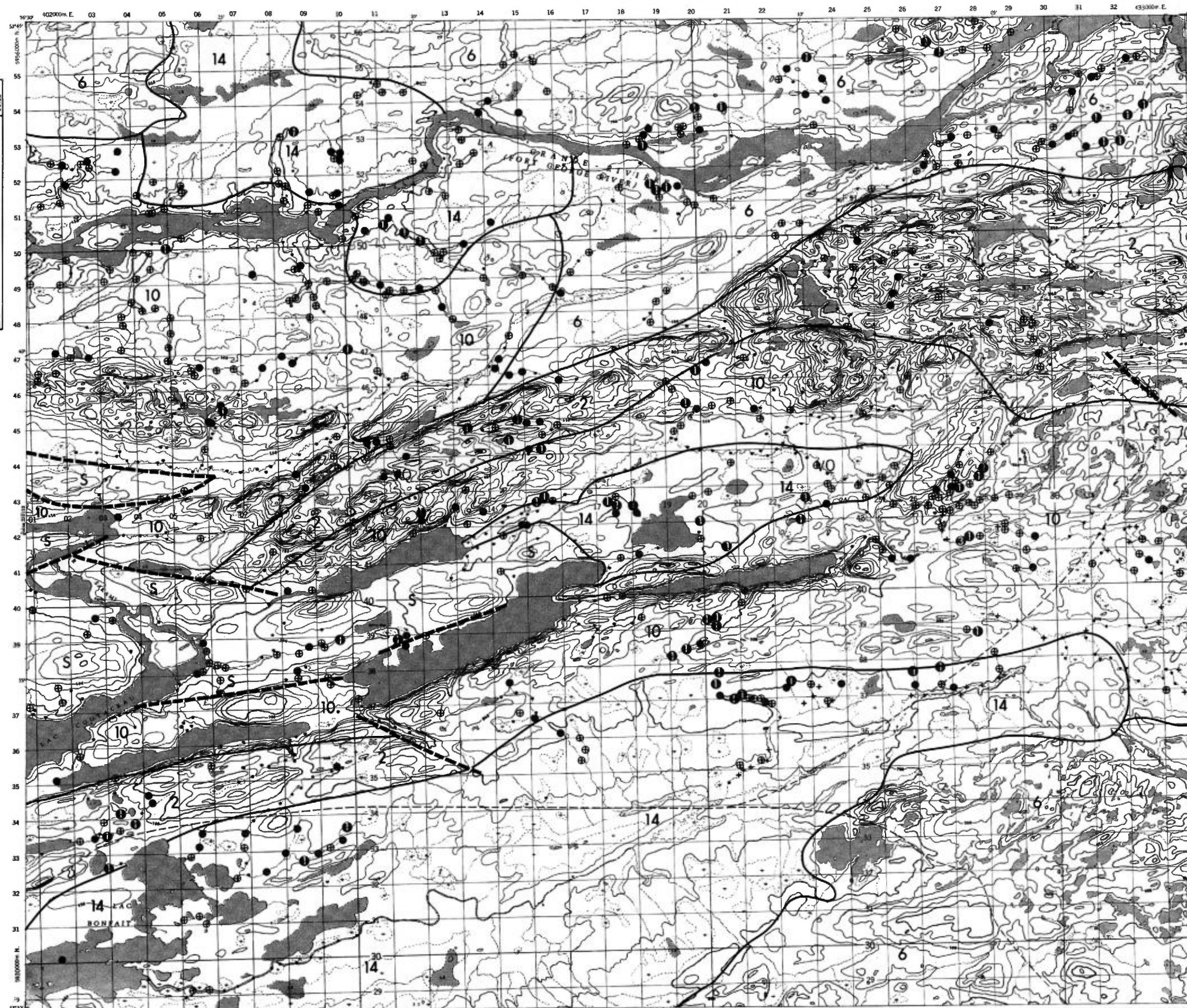
ÉCHELLE 1:125,000



SERVICE DES GÎTES MINÉRAUX

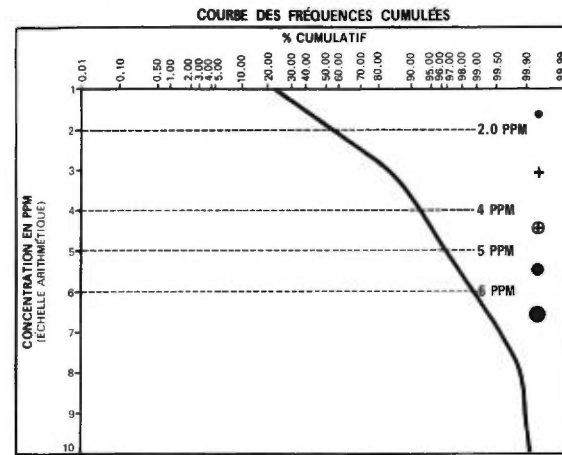
DIVISION DE LA GÉOCHIMIE
G.H. COCKBURN

Carte géochimique No 1823



LÉGENDE

GÉOCHIMIE

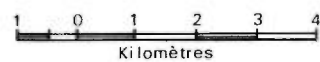


LITHOLOGIE SIMPLIFIÉE

- 14 Sable et gravier
- S "Sandstone" FM-Sakami
- 13 Dyke de diabase
- 12 Dyke de pegmatite
- 11 Granite
- 10 Quartz-diorite
- 9 Migmatite
- 8 Granite migmatitique
- 7 Formation de fer
- 6 Roche métasédimentaire
- 5 Tuf rhyolitique
- 4 Lave intermédiaire
- 3 Roche ultrabasique
- 2A Amphibolite
- 2 Lave basique
- 1 Gneiss non différencié

- Contact ———
- Faïlle - - - - -

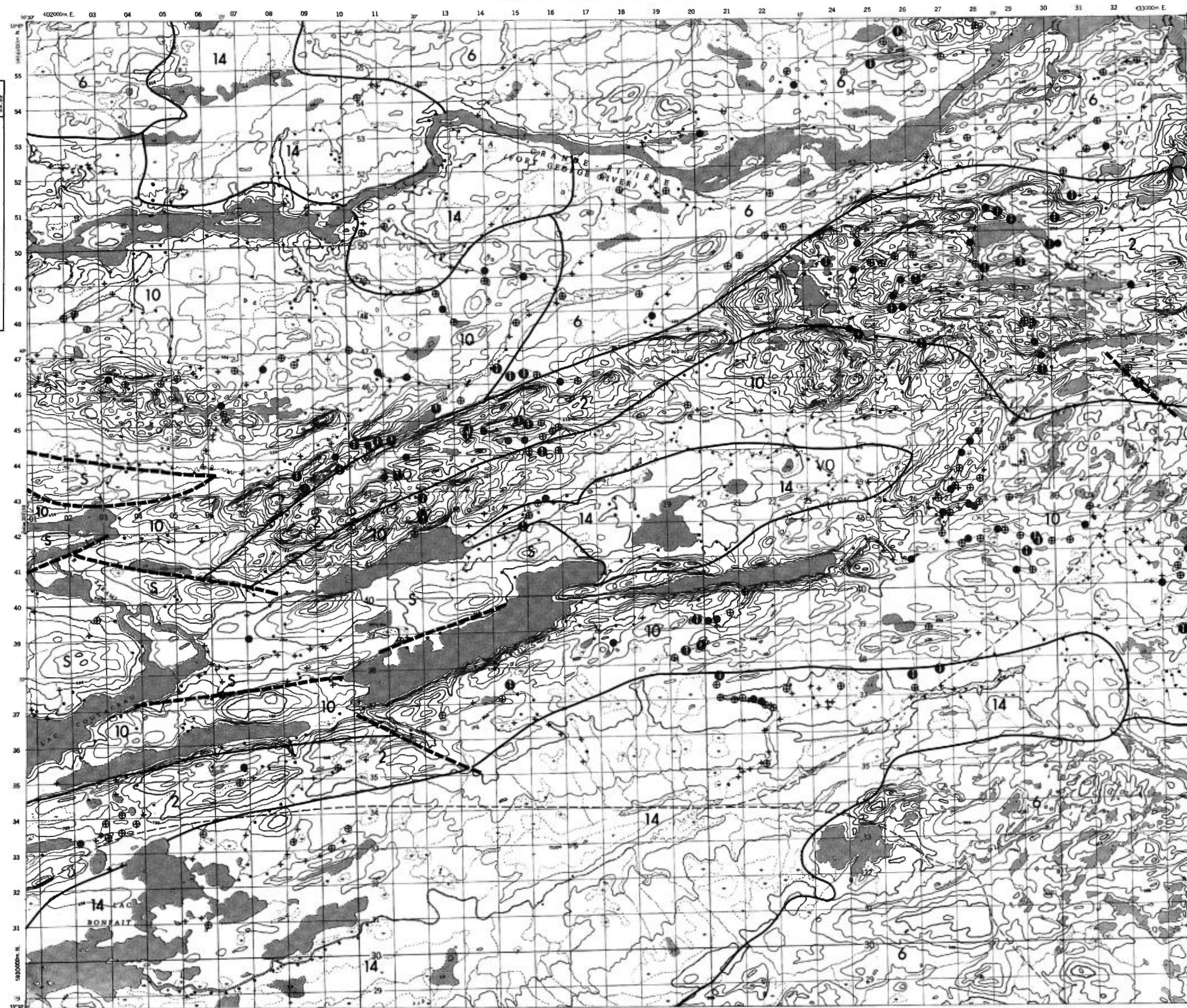
ÉCHELLE 1:125,000



SERVICE DES GÎTES MINÉRAUX

DIVISION DE LA GÉOCHIMIE
G.H. COCKBURN

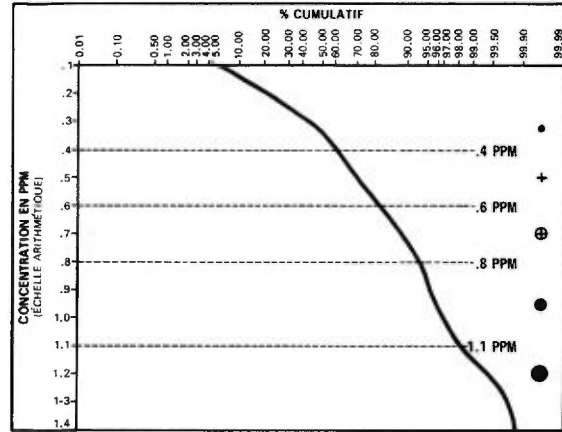
Carte géochimique No 1823



LÉGENDE

GÉOCHIMIE

COURBE DES FRÉQUENCES CUMULÉES



LA CLASSE SUPÉRIEURE EST SUBDIVISÉE GÉOMÉTRIQUEMENT

① 1.2 - 2.2 PPM

LITHOLOGIE SIMPLIFIÉE

- 14 Sable et gravier
- S "Sandstone" FM-Sakami
- 13 Dyke de diabase
- 12 Dyke de pegmatite
- 11 Granite
- 10 Quartz-diorite
- 9 Migmatite
- 8 Granite migmatitique
- 7 Formation de fer
- 6 Roche métasédimentaire
- 5 Tuf rhyolitique
- 4 Lave intermédiaire
- 3 Roche ultrabasique
- 2A Amphibolite
- 2 Lave basique
- 1 Gneiss non différencié

- Contact ———
- Faïlle - - - - -

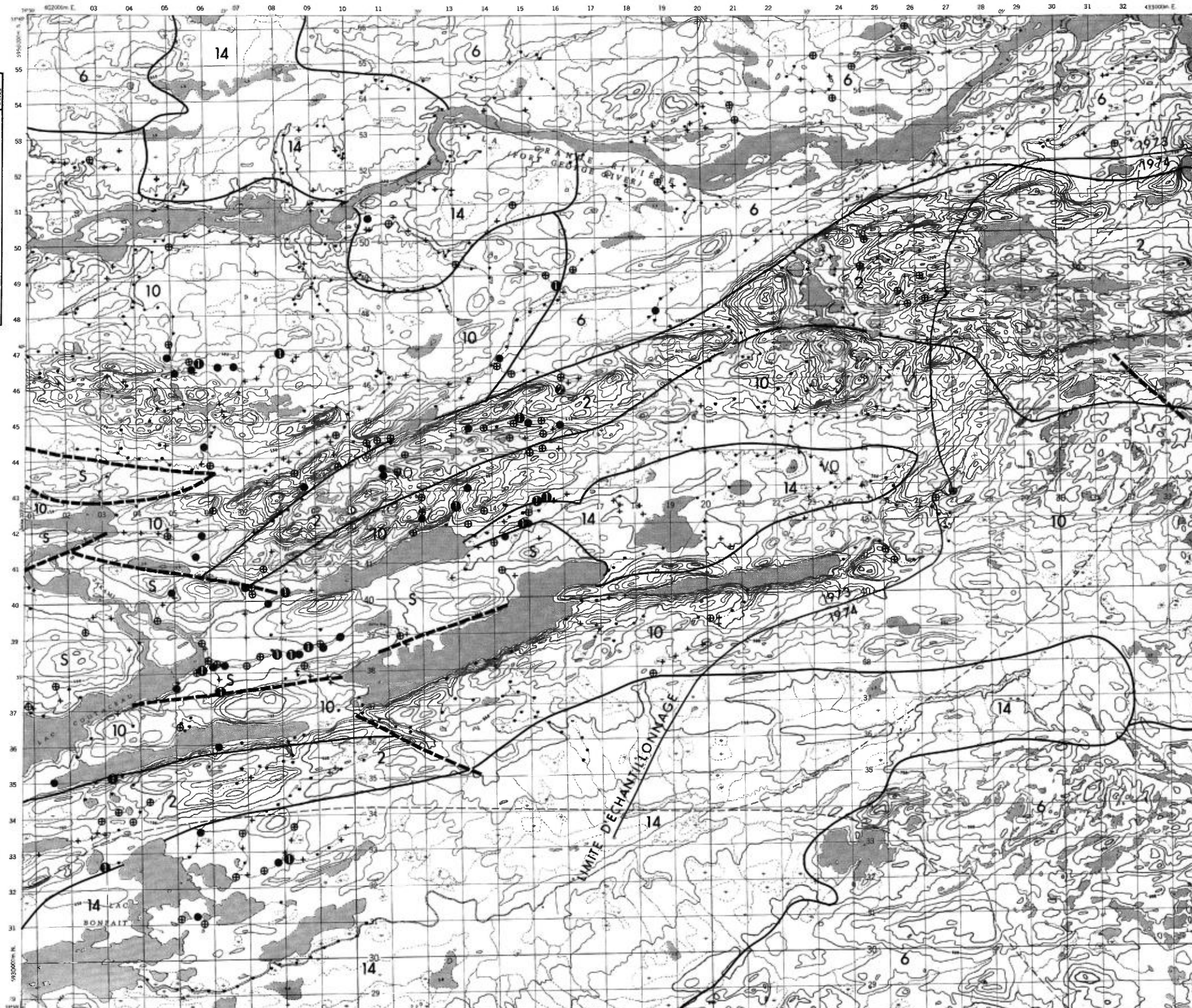
ÉCHELLE 1:125,000



SERVICE DES GÎTES MINÉRAUX

DIVISION DE LA GÉOCHIMIE
G.H. COCKBURN

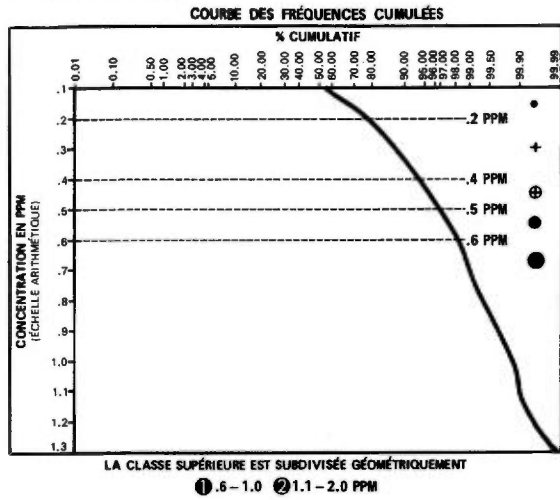
Carte géochimique No 1823



LA GRANDE RIVIÈRE
RÉGION DE LA GRANDE RIVIÈRE

LÉGENDE

GÉOCHIMIE

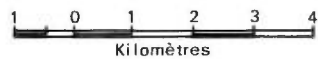


LITHOLOGIE SIMPLIFIÉE

- 14 Sable et gravier
- S "Sandstone" FM-Sakami
- 13 Dyke de diabase
- 12 Dyke de pegmatite
- 11 Granite
- 10 Quartz-diorite
- 9 Migmatite
- 8 Granite migmatitique
- 7 Formation de fer
- 6 Roche métasédimentaire
- 5 Tuf rhyolitique
- 4 Lave intermédiaire
- 3 Roche ultrabasique
- 2A Amphibolite
- 2 Lave basique
- 1 Gneiss non différencié

Contact ———
Faille - - - - -

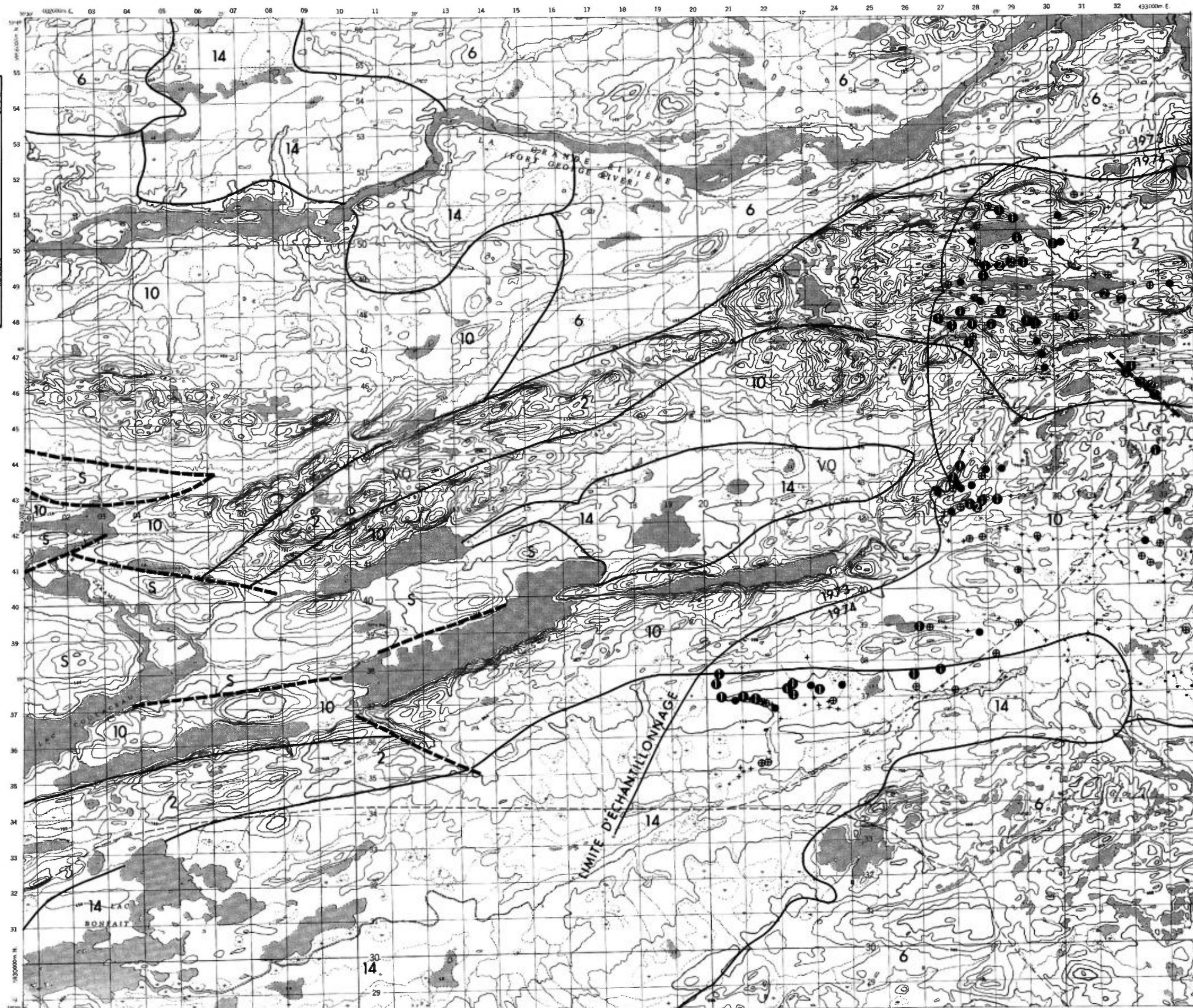
ÉCHELLE 1:125,000



SERVICE DES GÎTES MINÉRAUX

DIVISION DE LA GÉOCHIMIE
G.H. COCKBURN

Carte géochimique No 1823



	Cu	Zn	Pb	Ni	Co	Cr	V	Sn	Mo	U	Mn	Ag	Li	Ba	Cs	UTM ZONE 18	
	ppm	ppm	ppm	ppm	ppm	ppm	ppm	ppm	ppm	ppm	ppm	ppm	ppm	ppm	ppm	E	N
74-08921	98	118	20	20	11	25	20	6	4.5	5	1362	0.7	4	66	1.5	428150.4	5949028.6
75-03225	76	28	1*	7	5	28	18	2	1.5	4	266	0.1*	4	32	0.5	428150.4	5949028.6
74-10015	165	112	135	19	15	—	—	2	—	6	1486	0.7	3	58	—	428118.4	5948773.1
75-03226	107	178	185*	18	20	28	28	2	2	3	4700	0.1*	3	112	1.5	428027.0	5948953.1
75-03227	59	78	1*	16	10	28	22	2	4.5	4	1300	0.1*	4	64	1	428067.5	5949013.0
R:101 qtz diorite **	4	41	4*	25	50	34	50	<2	<2	<2	130	0.3*	12	500	—	428067.5	5949013.0
74-08935	100	42	9	12	11	—	—	—	—	5	718	1.1	1	116	—	428511.6	5949013.8
75-03228 (adjacent)	99	144	2*	22	20	41	32	2	6	7	1844	0.1*	2	106	2	428643.7	5949014.6
74-08936	240	102	11	16	11	29	17	6	2	4	448	0.8	4	80	1.5	430095.6	5949634.5
75-03230	295	150	1*	26	15	31	19	2	2.5	2	936	0.1*	4	76	1	430055.6	5949642.5
74-08937	95	58	8	12	10	18	12	5	1.5	2	406	0.5	4	56	1	430287.3	5949664.5
75-03231 (adjacent)	320	60	8*	28	20	20	15	2	1.5	3	1310	0.5*	1	140	1	430140.7	5949627.0
74-08930	67	106	35	14	13	—	—	—	—	2	1286	0.9	5	106	—	429065.5	5949812.8
75-03232	64	114	14*	18	13	34	25	2	2	2	954	0.2*	6	98	1.5	492069.4	5949803.7
74-12574	29	80	14	48	26	50	41	4	3.5	1	686	0.9	4	44	1.5	432181.6	5946122.5
75-03233	74	38	1*	28	9	37	18	2	1	4	180	0.1*	6	70	1	432224.3	5946121.9
R:105 amphibolite **	27	120	3*	49	72	88	310	<2	<2	<2	3130	<0.3*	7	130	—	432224.3	5946121.9
74-12575	31	80	14	44	28	50	41	4	3.5	1	708	1	3	48	2	432102.2	5945973.9
75-03234	25	64	130*	22	47	25	31	2	3.5	2	2664	0.3*	5	66	1.5	432078.4	5946022.5
75-03235	33	48	0.5*	22	56	47	78	2	20	1	2096	0.1*	6	64	1.5	432367.8	5945815.4
R: 106 tuff	35	35	6*	2	55	6	9	<2	<2	<2	400	<0.3*	4	310	—	432367.8	5945815.4
74-12590	42	108	16	75	30	68	55	3	4	1	756	1.1	3	50	1.5	432766.6	5945458.8
75-03236	24	24	6*	17	8	25	12	2	1.5	1	142	0.1*	5	70	1	432731.4	5945437.4
R:107 qtz diorite	3	20	9*	5	100	13	6	<2	<2	<2	120	<0.3*	15	620	—	432731.4	5945437.4
74-12592	29	96	17	58	32	48	41	3	3	1	1218	1	3	50	2	432857.6	5945295.6
75-03238	19	28	22*	14	16	24	16	2	2.5	12	346	0.1*	4	86	1	432785.7	5945306.7

** Roche contenant de la pyrite

TABLEAU 2 – RÉSULTATS D'ANALYSE DE L'AIRE ANNOTÉE I (33 F/9)

	Cu	Zn	Pb	Ni	Co	Cr	V	Sn	Mo	U	Mn	Ag	Li	Ba	Cs	UTM ZONE 18	
	ppm	ppm	ppm	ppm	ppm	ppm	ppm	ppm	ppm	ppm	ppm	ppm	ppm	ppm	ppm	E	N
74-12576	35	94	20	56	33	61	44	6	4	1	1410	1.1	3	68	2	432440.5	5945663.4
75-03239	24	68	116*	22	36	31	34	2	3.5	1	1900	0.1*	5	60	1.5	432462.0	5945634.4
R:108 volcanique	220	140	3*	94	53	130	160	<2	<2	<2	1255	0.3*	23	160	—	432462.0	5945634.4
74-12560	55	100	19	38	15	125	28	7	1	1	574	0.5	10	34	2.5	429740.4	5946127.6
75-03265	4	10	1*	6	2	9	4	2	0.5	1	38	0.1*	2	10	1	429718.8	5946111.8
74-12556	38	110	31	38	16	125	31	5	2	1	1060	0.5	10	62	2	429560.3	5946906.1
75-03266	32	54	5*	10	6	28	24	2	9.5	6	114	0.1*	2	44	2	429538.0	5946884.6
74-12555	45	122	33	42	18	125	31	4	1.5	1	1186	0.7	10	76	2.5	429524.2	5947434.5
75-03267	9	26	17*	7	4	10	6	2	1	1	120	0.1*	2	14	0.5	429496.3	5947451.1
R:123 volcanique	7	11	<1*	<1	82	9	<2	<2	<2	<2	25	0.3*	<1	<20	—	429496.3	5947451.1
74-12557	34	100	23	38	15	125	29	5	1.5	1	838	0.5	9	52	2	429725.9	5946524.8
75-03268	34	138	55*	15	26	24	26	2	7.5	6	1544	0.1*	3	74	1.5	429650.8	5946478.0
74-12561	30	12	22	6	6	—	—	—	—	1	40	0.2	1	28	—	429523.7	5946103.3
75-03269	37	92	20*	16	18	28	24	2	7	12	1022	0.1*	2	72	2	429544.0	5946208.1
74-10019	400	10	8	28	8	—	—	3	—	15	336	1.9	1	54	—	431973.7	5948036.8
75-03270	175	16	15*	10	4	—	—	—	—	6	236	0.1*	1	86	—	431690.3	5948159.5
R:124 volcanique **	79	70	<1*	110	42	110	198	<2	<2	<2	1120	0.5*	11	48	—	431690.3	5948159.5
75-03271	35	108	11*	10	14	33	43	2	8	4	2170	0.1*	3	110	2	432312.4	5948276.1
75-03272	68	56	3*	17	10	43	16	2	2.5	6	674	0.1*	6	94	1.5	433320.5	5948425.4
74-10017	75	56	9	14	12	24	14	2	2.5	5	814	0.5	6	86	1.5	433323.5	5948432.8
75-03273	85	70	10*	15	7	37	14	2	2	4	618	0.1*	5	94	1.5	432909.6	5948427.9
R:125 volcanique **	39	87	<1*	100	41	110	230	<2	<2	<2	1510	0.3*	12	38	—	432909.6	5948427.9
74-10016	150	52	9	15	11	30	16	1	1.5	5	110	0.4	6	68	1.5	432795.5	5948411.8
75-03274	7	8	2*	4	1	8	14	2	1	1	92	0.1*	1	30	0.5	432598.8	5948414.7
74-08950	76	36	8	16	8	28	12	5	1.5	8	74	0.2	6	36	1	432344.1	5948438.9
75-03275	140	42	1*	18	6	48	18	2	2	5	76	0.1*	6	58	1.5	432323.2	5948411.3
74-10018	12	64	18	17	57	12	6	1	2	1	5310	1.2	1	370	1.5	431532.8	5948154.3
75-03277	34	52	4*	10	6	22	13	2	2.5	4	1078	0.1*	4	122	1.5	431495.0	5948170.7
74-08948	26	12	9	12	6	32	6	8	4	1	188	0.5	1	390	1	430221.8	5950409.6
75-03310	37	12	1*	16	6	37	5	2	1	2	68	0.1*	1	344	1	429443.9	5950310.9

** roche contenant de la pyrite

TABLEAU 2 – suite

	Cu	Zn	Pb	Ni	Co	Cr	V	Sn	Mo	U	Mn	Ag	Li	Ba	Cs	UTM ZONE 18	
	ppm	ppm	ppm	ppm	ppm	ppm	ppm	ppm	ppm	ppm	ppm	ppm	ppm	ppm	ppm	E	N
74-08927	115	52	43	13	7	—	—	6	—	11	116	0.6	3	46	—	428969.9	5950367.9
75-03311	90	60	16*	14	6	33	12	2	2	6	230	0.1*	1	60	1	428967.5	5950365.6
74-08928	110	220	135	21	18	—	—	9	—	7	3180	0.6	6	136	—	428598.8	5950578.8
75-03312 (adjacent)	94	158	130*	17	14	27	22	2	3.5	6	4160	0.1*	3	124	1.5	428773.1	5950542.1
74-08924	66	16	9	12	7	—	—	3	—	5	46	0.4	1	32	—	427944.7	5950164.3
75-03313	9	18	1*	5	2	27	5	2	1	2	38	0.1*	1	18	1.5	427928.9	5950141.3
74-10002	85	40	20	10	12	—	—	—	—	—	550	0.4	3	24	—	427815.7	5948163.4
75-03343	27	32	1*	11	6	21	13	2	1	1	284	0.1*	4	16	0.5	427771.7	5948163.0
74-10003	78	52	28	10	12	—	—	—	—	5	232	0.5	2	24	—	427963.2	5948043.9
75-03344	22	30	6*	7	4	17	9	2	0.5	1	88	0.1*	3	20	0.5	427946.6	5948076.7
R:143 qtz diorite #	3	52	3*	50	53	83	47	<2	<2	<2	260	0.3*	12	620	—	427946.6	5948076.7
74-10007	200	64	12	16	14	—	—	—	—	—	1330	1	5	108	—	426779.5	5947548.3
75-03345	160	72	2*	16	11	40	22	2	1.5	2	1660	0.1*	5	140	2	426740.6	5947507.6
R:142 volcanique	120	85	6*	56	53	110	270	<2	<2	<2	1300	0.5*	18	100	—	426740.6	5947507.6
74-10012	64	120	27	22	27	32	24	2	3.5	8	828	0.6	6	124	3	428287.2	5947387.3
75-03346	47	80	21*	17	18	28	12	2	2.5	4	530	0.1*	5	66	1.5	428253.2	5947388.4
74-10001	64	88	77	15	15	—	—	—	—	2	2002	0.3	5	80	—	428319.6	5948220.3
75-03347	61	54	13*	19	10	34	30	2	1.5	1	1530	0.1*	9	36	1	428258.1	5948210.1
R:44 volcanique **	41	29	<1*	20	60	18	250	<2	<2	<2	1150	0.3*	7	62	—	428258.1	5948210.1

* : corrigé pour absorbance non-spécifique

— : non-analysé

Les échantillons de roches ont été analysés par absorption atomique

** roche contenant de la pyrite

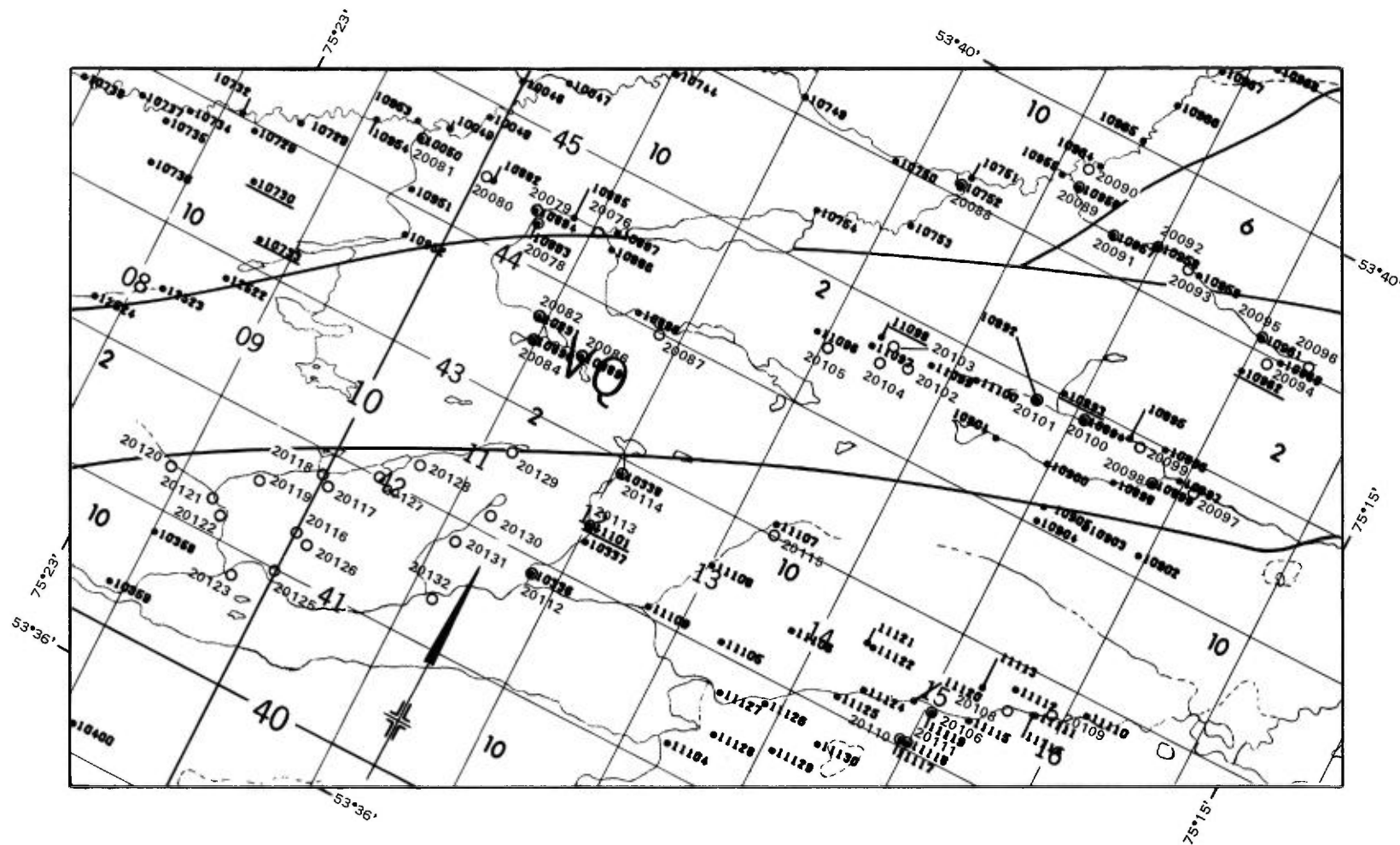
roche altérée

TABLEAU 2 – suite

	Cu	Zn	Pb	Ni	Co	Cr	V	Sn	Mo	U	Mn	Ag	Li	Ba	Cs	UTM ZONE 18	
	ppm	ppm	ppm	ppm	ppm	ppm	ppm	ppm	ppm	ppm	ppm	ppm	ppm	ppm	ppm	E	N
74-20034	30	56	15	13	13	—	—	7	—	3.0	142	0.4	—	—	—	424249.1	5947433.8
74-20035	22	32	5	18	11	—	—	6	—	2.0	108	0.2	—	—	—	424574.6	5947256.3
74-20068	71	80	42	16	16	—	—	10	—	6.0	818	0.8	—	—	—	426305.7	5946965.6
<u>73-12227</u>	46	10	7	11	5	15	7.0	1	1.0	6	18	0.3	1	28	1	423350.0	5946850.0
74-20069	200	8	5	7	2	—	—	5	—	3.0	22	0.2	—	—	—	423436.4	5946770.8
74-20071	93	10	7	10	2	—	—	2	—	5.0	20	0.2	—	—	—	422922.5	5946396.4
74-20073	16	12	4	15	3	—	—	2	—	2.0	46	0.1	—	—	—	422892.4	5945487.5
74-20075	2	12	3	4	2	—	—	1	—	1.0	28	0.1	—	—	—	423627.1	5948502.0
74-20203	265	66	10	30	31	37	50	6	22.5	9.0	1796	0.6	9	330	1.0	425627.7	5947888.3
74-20204	180	94	12	27	27	29	23	7	2.0	7.0	740	0.6	8	46	1.0	425547.7	5947954.1
74-20205	245	108	13	26	24	29	21	11	2.0	6.0	552	0.7	4	64	1.5	425570.1	5948380.9
74-20206	130	52	10	18	16	29	21	11	2.0	6.0	420	0.5	4	64	1.5	425682.5	5948721.8
74-20207	160	74	14	19	20	35	25	9	2.0	5.0	206	0.7	4	30	1.5	426114.8	5948784.8
74-20208	25	40	30	9	7	14	8	5	5.0	10.0	62	0.4	1	32	0.5	425686.4	5949440.0
74-20209	80	52	24	11	12	21	15	7	3.0	10.0	186	0.5	3	42	1.0	425268.4	5949236.3
74-20210	215	36	12	43	10	—	—	9	—	—	64	0.8	1	28	—	425026.0	5949915.8
74-20211	39	20	10	10	7	19	10	6	1.5	9.0	40	0.3	2	34	1.0	424932.2	5949288.5
74-20212	14	36	7	8	8	11	10	4	1.0	2.0	140	0.2	3	20	0.5	424147.3	5949026.6
74-20213	100	12	10	28	10	—	—	8	—	—	36	0.4	1.0	28	—	423661.9	5949355.6
74-20214	8	14	6	8	5	11	8	3	0.5	1.0	40	0.2	1.0	18	0.5	422753.6	5948577.1
73-12663	345	134	23	45	30	34	23	5	2.0	4.0	476	0.7	3.0	50	3.0	424609.0	5949821.0
<u>73-12663</u> <u>réanalyse</u>	320	134	24	45	25	—	—	—	—	—	474	0.8	4.0	—	—		

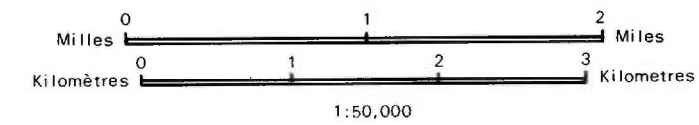
— : non analysé

TABLEAU 2 – suite



LÉGENDE LEGEND

- 12607 Prélèvement initial
Original sampling
- 03282 Prélèvement de vérification
Verification sampling
- 10031 Échantillon réanalysé
Reanalysed sample
- R140 Échantillon de roche
Rock sample
- Contact géologique
Geological contact
- - - Limite d'échantillonnage
Sampling limit
- - - - - Faille
Fault



LA GRANDE RIVIERE

33 F/9

Aire II

CU, ZN

(Pb, Co, Mn, Ba, Cs, Sn)

La deuxième aire annotée du feuillet 33 F/9, à une quinzaine de kilomètres au sud-ouest de la première, le long de la même bande volcanique, présente les mêmes caractéristiques géochimiques que la première. La teneur en Cu atteint un maximum de 4600 ppm et celle en Zn, 264 ppm tandis que les teneurs en Pb, Co, Mn, Ba, Cs et Sn sont élevées mais moins contrastantes.

Les résultats analytiques originaux de 1973 ont été confirmés d'une part par la réanalyse et d'autre part par le rééchantillonnage effectué par G. Sergerie en 1974 (tableau 3).

LA GRANDE RIVIERE

33 F/9

Area II

CU, ZN

(Pb, Co, Mn, Ba, Cs, Sn)

The second annotated area of sheet 33 F/9, located approximately 15 kilometers southwest of the first area and along the same volcanic belt, displays identical geochemical characteristics. Cu values reach a maximum of 4600 ppm, Zn 264 ppm, and the values for Pb, Co, Mn, Ba, Cs and Sn, though high, are less contrasting.

The original analytical results obtained in 1973 were confirmed partly by reanalysis and by a resampling program undertaken by G. Sergerie in 1974 (table 3).

	Cu	Zn	Pb	Ni	Co	Cr	V	Sn	Mo	U	Mn	Ag	Li	Ba	Cs	UTM ZONE 18	
	ppm	ppm	ppm	ppm	ppm	ppm	ppm	ppm	ppm	ppm	ppm	ppm	ppm	ppm	ppm	E	N
74-20076	35	58	7	21	12	—	—	5	—	4	354	—	—	—	—	410988.7	5944497.8
73-10883	34	27	8	32	21	36	15	3	1	1	180	0.4	3	40	1	410590.0	5944304.0
74-20078	35	42	8	18	13	—	—	5	—	5	292	—	—	—	—	410561.0	5944359.5
73-10884	70	60	17	22	18	48	20	5	4	4	1000	0.8	3	164	3	410530.0	5944390.0
74-20079	23	28	6	17	9	—	—	2	—	1	150	—	—	—	—	410536.4	5944445.0
74-20080	67	62	10	33	19	—	—	8	—	2	226	—	—	—	—	410054.4	5944477.8
73-10050	34	56	19	29	12	28	13	3	1	11	280	0.5	4	56	1	409477.0	5944473.0
74-20081	16	32	6	18	8	—	—	1	—	3	106	—	—	—	—	409451.7	5944471.0
73-10891	144	132	20	33	17	—	—	—	—	—	180	1.0	—	—	—	410931.0	5943669.0
74-20082	120	152	45	19	20	—	—	8	—	17	234	—	—	—	—	410898.9	5943679.6
73-10890	210	74	28	27	16	37	16	5	2	4	182	0.9	4	134	3	410965.0	5943488.0
74-20084	280	280	29	30	15	—	—	6	—	20	154	—	—	—	—	410993.5	5943528.5
73-10889	98	26	13	22	10	19	16	6	2	7	42	0.8	3	360	3	411362.0	5943540.0
74-20086	95	88	17	16	13	—	—	6	—	18	230	—	—	—	—	411285.0	5943540.0
74-20087	44	64	23	15	9	—	—	—	—	10	136	—	—	—	—	411784.9	5944051.5
73-10752	16	67	15	20	9	33	17	3	1	2	90	0.5	5	74	1	413395.0	5946073.0
74-20088	12	16	9	11	5	—	—	3	—	2	52	—	—	—	—	413347.9	5946082.1
73-10956	63	24	13	19	9	41	28	7	2	7	98	0.7	17	70	3	414222.0	5946478.0
74-20089	16	22	18	10	7	—	—	—	—	—	152	—	—	—	—	414183.9	5946494.3
74-20090	1	24	3	2	1	—	—	1	—	1	12	—	—	—	—	414164.7	5946670.3
74-20091	30	36	13	18	10	—	—	5	—	4	148	—	—	—	—	414549.4	5946286.5
73-10958	135	28	14	15	9	20	20	8	2	3	156	0.1	2	78	3	414983.0	5946346.0
74-20092	81	18	11	19	7	—	—	5	—	9	54	—	—	—	—	414951.4	5946334.5
74-20093	44	42	14	53	15	—	—	4	—	5	546	—	—	—	—	415237.7	5946332.9
74-20094	56	38	13	41	21	—	—	4	—	7	322	—	—	—	—	416084.6	5945981.8
73-10961	59	32	11	23	11	38	34	5	1	6	170	0.7	6	68	3	416025.0	5946086.0
74-20095	31	44	11	27	15	—	—	4	—	4	356	—	—	—	—	416055.0	5946082.3

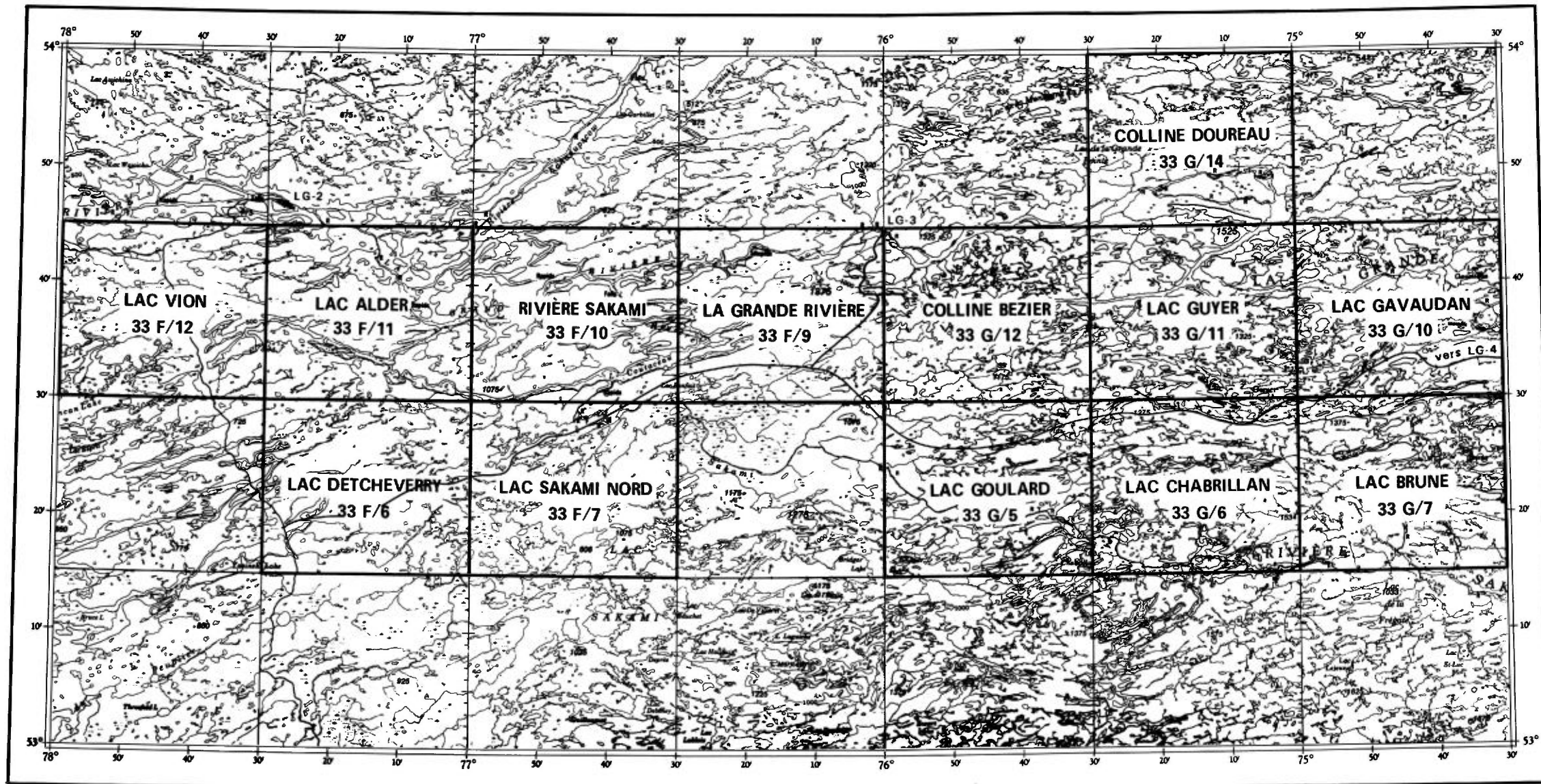
TABLEAU 3 – RÉSULTATS D'ANALYSE DE L'AIRE ANNOTÉE II (33 F/9)

	Cu	Zn	Pb	Ni	Co	Cr	V	Sn	Mo	U	Mn	Ag	Li	Ba	Cs	UTM ZONE 18	
	ppm	ppm	ppm	ppm	ppm	ppm	ppm	ppm	ppm	ppm	ppm	ppm	ppm	ppm	ppm	E	N
74-20096	35	30	9	17	11	—	—	4	—	2	458	—	—	—	—	416391.5	5946070.5
74-20097	24	40	10	21	13	—	—	4	—	4	552	—	—	—	—	416058.1	5944811.6
73-10898	25	48	28	22	27	41	31	4	2	4	960	0.8	8	110	2	415506.0	5944560.0
74-20098	19	38	12	24	15	—	—	5	—	7	366	—	—	—	—	415786.5	5944732.8
74-20099	25	60	10	15	10	—	—	5	—	3	660	—	—	—	—	415511.2	5944915.1
73-10894	160	102	17	26	13	29	19	6	3	14	216	0.9	4	108	3	415077.0	5944890.0
74-20100	47	90	12	20	13	31	20	6	2	8	1274	0.4	8	108	1.5	415084.1	5944882.3
73-10892	15	110	16	20	12	49	25	3	1	6	140	0.7	5	130	1.0	414680.0	5944963.0
74-20101	65	100	13	24	15	31	18	6	1	9	784	0.5	10	104	1.5	414647.1	5944874.6
74-20102	17	28	9	12	9	15	11	3	1	4	128	0.1	3	24	0.5	413601.3	5944654.3
74-20103	230	40	23	35	24	53	24	6	5	60	1506	0.9	5	82	1.5	413405.6	5944700.6
74-20104	40	28	10	15	15	20	11	5	2	8	382	0.4	4	50	0.5	413390.1	5944610.3
74-20105	33	70	23	25	41	38	37	7	12	20	2170	0.9	4	150	1.5	412962.9	5944557.3
73-11119	11	44	12	22	10	36	24	4	1	2	130	0.7	4	54	1	415056.0	5942330.0
74-20106	5	22	6	11	9	20	15	1	1	1	96	0.4	3	26	0.5	414949.9	5942381.8
73-11114	13	44	18	26	16	46	37	3	1	1	180	0.8	5	48	2	415767.0	5942675.0
74-20108	10	38	8	20	11	31	22	3	1	1	182	0.6	6	52	1	415549.2	5942669.8
74-20109	7	28	8	14	9	23	17	3	1	1	124	0.4	5	36	1	415586.1	5942768.6
73-11117	23	66	26	42	22	59	36	7	1	1	190	1.2	13	120	3	414933.0	5942035.0
74-20110	9	50	11	16	11	46	27	2	1	1	112	0.7	7	64	2.5	414958.5	5942105.5
73-11118	28	78	30	46	24	62	43	3	1	1	280	1.1	9	90	3	414988.0	5942034.0
74-20111	5	20	6	13	8	21	15	4	1	1	82	0.4	3	22	0.5	415028.6	5942059.9
73-10336	17	68	18	26	22	35	28	4	1	2	425	0.8	6	98	2	411785.0	5941870.0
74-20112	7	18	5	11	7	16	11	2	—	1	98	0.3	2	36	0.5	411793.0	5941861.6
73-11101	120	64	11	18	9	24	14	7	—	—	244	0.8	3	142	4	412015.0	5942405.0
74-20113	50	180	28	21	25	26	32	7	2	—	310	1.1	30	114	1.5	411982.6	5942563.8
74-20114	41	40	14	15	10	—	—	—	—	—	68	0.8	4	112	—	412054.9	5942914.9
74-20115	11	36	9	22	16	30	22	4	1	1	308	0.6	6	130	1	413316.5	5943093.8
74-20116	9	24	4	17	10	27	19	1	1	1	148	0.5	3	40	1	409962.1	5941359.3

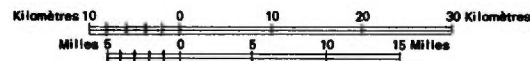
TABLEAU 3 – suite

	Cu	Zn	Pb	Ni	Co	Cr	V	Sn	Mo	U	Mn	Ag	Li	Ba	Cs	UTM ZONE 18	
	ppm	ppm	ppm	ppm	ppm	ppm	ppm	ppm	ppm	ppm	ppm	ppm	ppm	ppm	ppm	E	N
74-20117	13	40	10	24	13	40	17	4	1	9	120	0.6	6	74	1.5	410004.8	5941831.2
74-20118	19	18	21	11	6	—	—	2	—	7	34	0.4	1	32	—	409939.9	5941896.8
74-20119	9	32	11	20	11	34	19	1	1	4	114	0.5	5	66	1	409531.5	5941607.8
74-20120	8	26	8	17	11	30	20	3	1	2	112	0.4	3	50	1	408857.4	5941405.5
74-20121	8	28	8	18	9	31	19	1	1	2	104	0.4	3	56	1	409233.8	5941353.3
74-20122	8	26	7	17	10	30	21	2	1	1	124	0.4	3	58	1	409333.7	5941252.3
74-20123	5	16	5	9	8	18	14	1	—	1	108	0.2	2	20	0.5	409622.9	5940869.0
74-20125	2	12	4	6	5	9	5	1	—	1	46	0.4	1	18	0.5	409925.1	5941023.0
74-20126	6	26	9	17	9	25	15	2	—	1	98	0.7	3	44	1	410072.4	5941333.6
74-20127	14	30	17	13	8	—	—	4	—	—	98	0.5	3	54	—	410357.7	5942080.3
74-20128	40	30	15	20	22	29	20	8	12	35	458	0.6	6	72	1	410590.0	5942295.1
74-20129	36	28	14	20	19	32	19	6	12	35	402	0.6	6	74	1	511209.9	5942698.5
74-20130	18	24	6	13	6	—	—	—	—	—	46	0.3	2	50	—	411262.4	5942186.0
74-20131	7	24	8	14	9	23	16	2	—	2	128	0.4	3	19	1	411095.1	5941900.6
74-20132	5	16	6	4	8	14	10	2	—	1	66	0.1	2	20	1	411117.5	5941413.3
73-10730	140	212	18	74	15	44	29	7	2	6	356	0.8	9	120	3.0	408466.0	5943578.0
<u>73-10730</u> <u>réanalyse</u>	120	192	17	67	14	—	—	—	—	—	326	0.4	8	—	—		
73-10733	165	264	25	85	21	42	28	7	2	5	530	0.9	9	110	3.0	408714.0	5943205.0
<u>73-10733</u> <u>réanalyse</u>	160	248	24	82	20	—	—	—	—	—	508	0.6	9	—	—		
73-10893	380	48	25	62	70	40	38	7	3	2	820	1.5	12	80	5.0	414852.0	5945002.0
<u>73-10893</u> <u>réanalyse</u>	415	50	24	62	63	—	—	—	—	—	884	1.0	13	—	—		
73-10962	4700	14	15	68	91	—	—	—	—	—	256	2.3	—	—	—	415998.0	5945785.0
<u>73-10962</u> <u>réanalyse</u>	4600	12	12	68	87	—	—	—	—	—	274	1.7	1	—	—		
73-11098	380	36	22	38	23	65	30	7	—	—	1502	0.9	6	66	4.0	413379.0	5944743.0
<u>73-11098</u> <u>réanalyse</u>	370	32	24	36	25	—	—	—	—	—	1400	0.8	7	—	—		
73-11101	120	64	11	18	9	24	14	7	—	—	244	0.8	3	142	4.0	412015.0	5942405.0
<u>73-11101</u> <u>réanalyse</u>	112	62	13	16	10	—	—	—	—	—	220	0.8	3	—	—		

TABLEAU 3 – suite

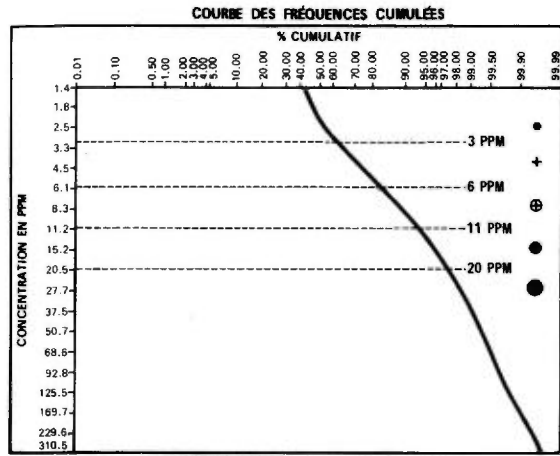


**INDEX DES CARTES GÉOCHIMIQUES
RÉGION DE LA GRANDE RIVIÈRE**



LÉGENDE

GÉOCHIMIE



LA CLASSE SUPÉRIEURE EST SUBDIVISÉE GÉOMÉTRIQUEMENT

- ① 21 - 40 ② 41 - 80 ③ 81 - 160 ④ 161 - 320 ⑤ 321 - 640 ⑥ 641 - 1280
⑦ 1281 - 2560 ⑧ 2561 - 5120 PPM

LITHOLOGIE SIMPLIFIÉE

- 14 Sable et gravier
- S "Sandstone" FM-Sakami
- 13 Dyke de diabase
- 12 Dyke de pegmatite
- 11 Granite
- 10 Quartz-diorite
- 9 Migmatite
- 8 Granite migmatitique
- 7 Formation de fer
- 6 Roche métasédimentaire
- 5 Tuf rhyolitique
- 4 Lave intermédiaire
- 3 Roche ultrabasique
- 2A Amphibolite
- 2 Lave basique
- 1 Gneiss non différencié

Contact ———
Faille - - - - -

ÉCHELLE 1:125,000



SERVICE DES GÎTES MINÉRAUX

DIVISION DE LA GÉOCHIMIE
G.H. COCKBURN

Carte géochimique No 1822

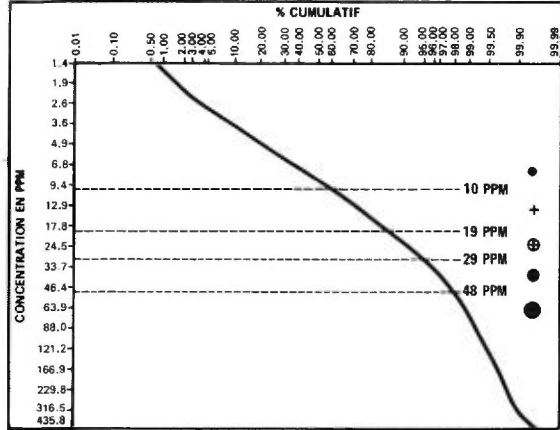


RIVIÈRE SAKAMI
RÉGION DE LA GRANDE RIVIÈRE

LÉGENDE

GÉOCHIMIE

COURBE DES FRÉQUENCES CUMULÉES



LA CLASSE SUPÉRIEURE EST SUBDIVISÉE GÉOMÉTRIQUEMENT

- ① 49 - 100 ② 101 - 200 ③ 201 - 400 ④ 401 - 800 ⑤ 801 - 1600 ⑥ 1601 - 3200
- ⑦ 3201 - 6400 PPM

LITHOLOGIE SIMPLIFIÉE

- 14 Sable et gravier
- S "Sandstone" FM-Sakami
- 13 Dyke de diabase
- 12 Dyke de pegmatite
- 11 Granite
- 10 Quartz-diorite
- 9 Migmatite
- 8 Granite migmatitique
- 7 Formation de fer
- 6 Roche métasédimentaire
- 5 Tuf rhyolitique
- 4 Lave intermédiaire
- 3 Roche ultrabasique
- 2A Amphibolite
- 2 Lave basique
- 1 Gneiss non différencié

- Contact ———
- Faïlle - - - - -

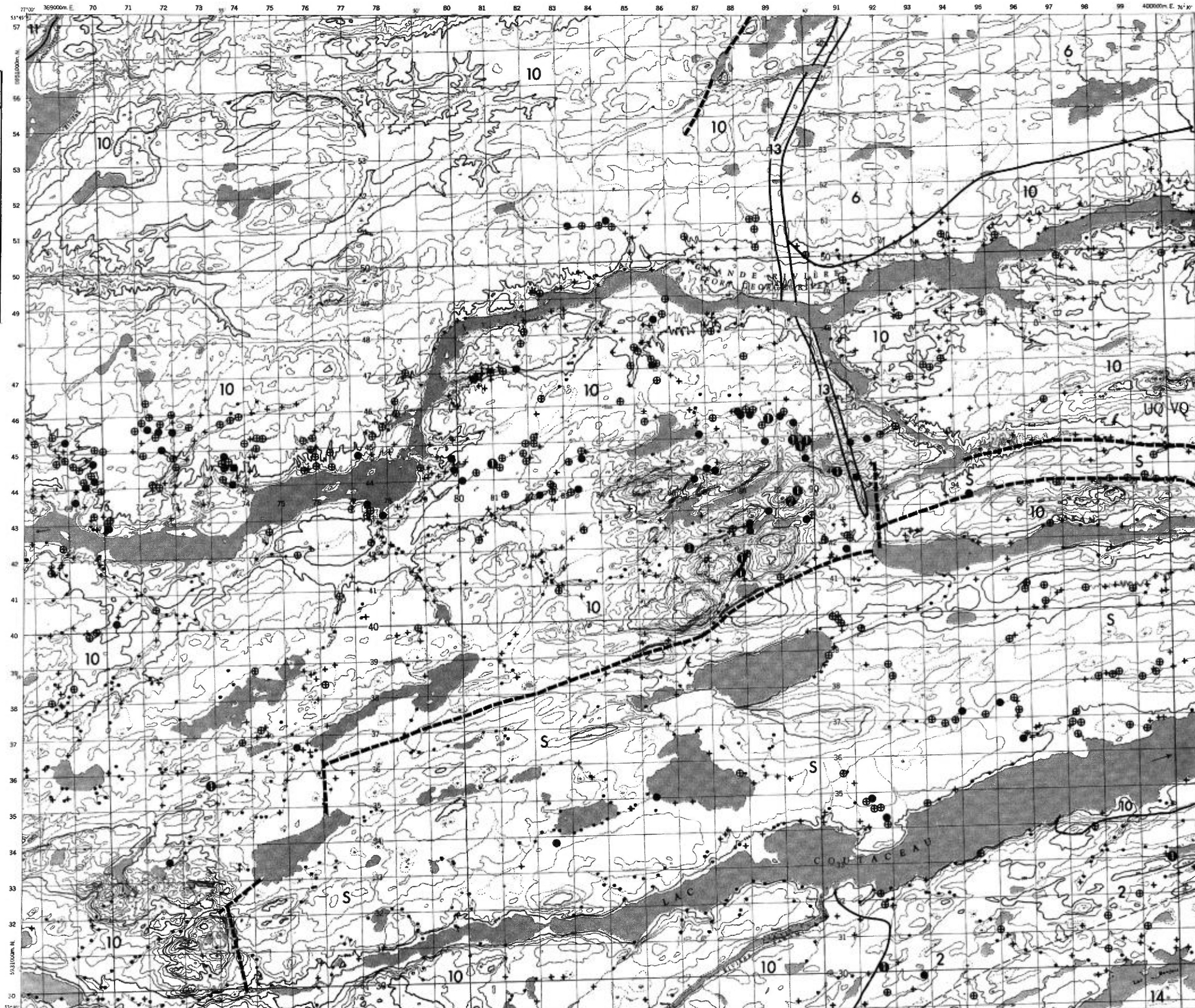
ÉCHELLE 1:125,000



SERVICE DES GÎTES MINÉRAUX

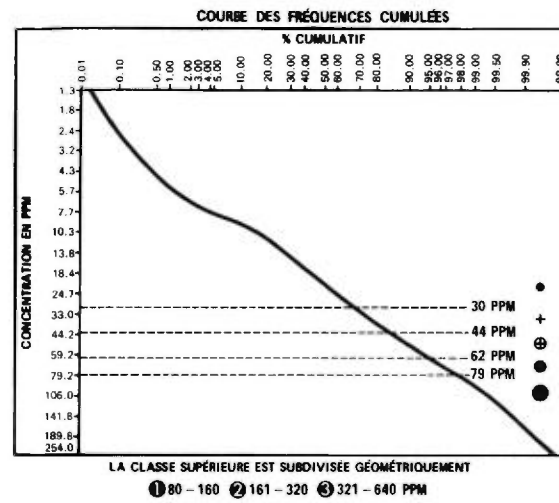
DIVISION DE LA GÉOCHIMIE
G.H. COCKBURN

Carte géochimique No 1822



LÉGENDE

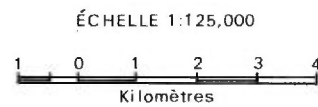
GÉOCHIMIE



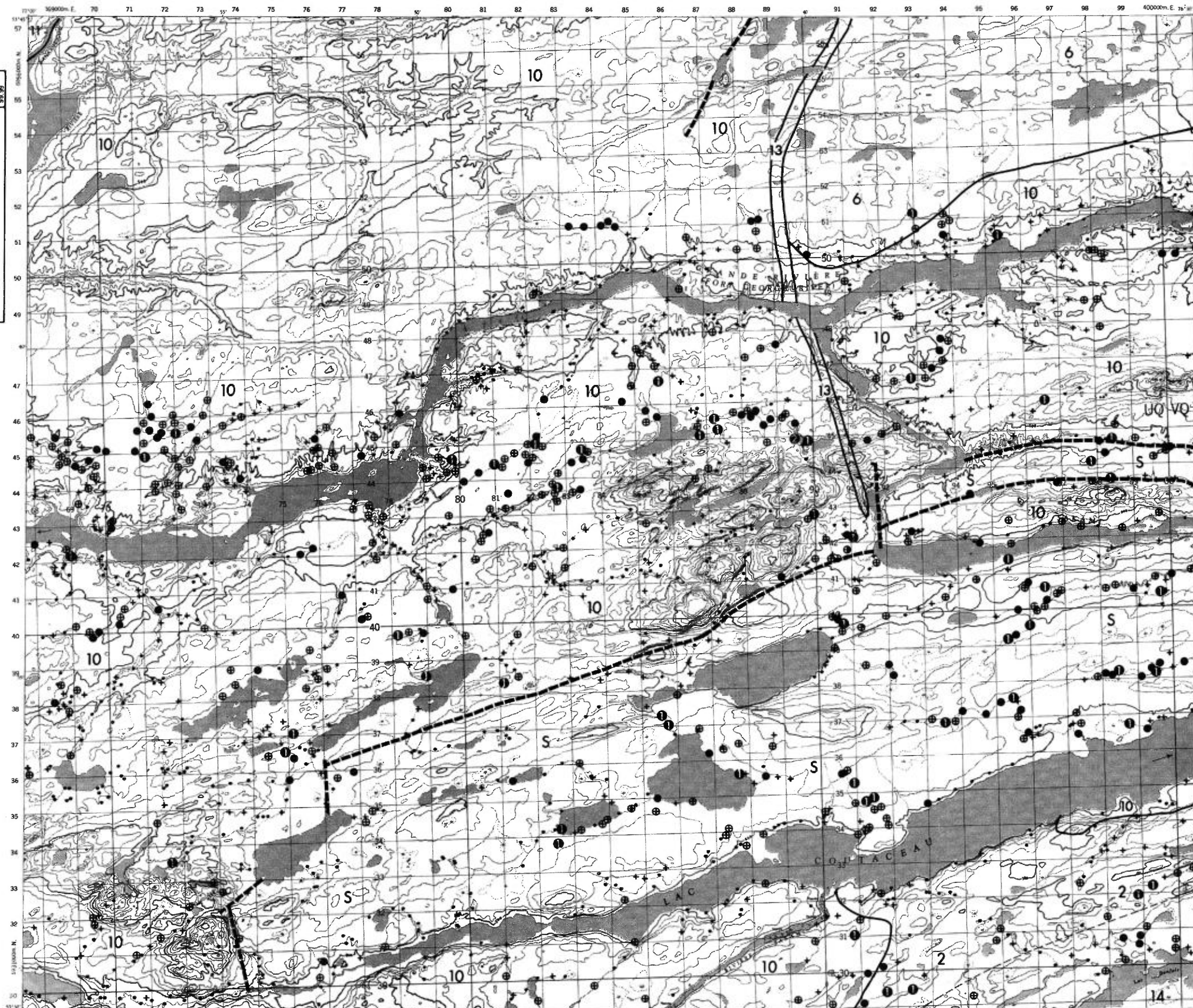
LITHOLOGIE SIMPLIFIÉE

- 14 Sable et gravier
- S "Sandstone" FM-Sakami
- 13 Dyke de diabase
- 12 Dyke de pegmatite
- 11 Granite
- 10 Quartz-diorite
- 9 Migmatite
- 8 Granite migmatitique
- 7 Formation de fer
- 6 Roche métasédimentaire
- 5 Tuf rhyolitique
- 4 Lave intermédiaire
- 3 Roche ultrabasique
- 2A Amphibolite
- 2 Lave basique
- 1 Gneiss non différencié

Contact ———
Faille - - - - -



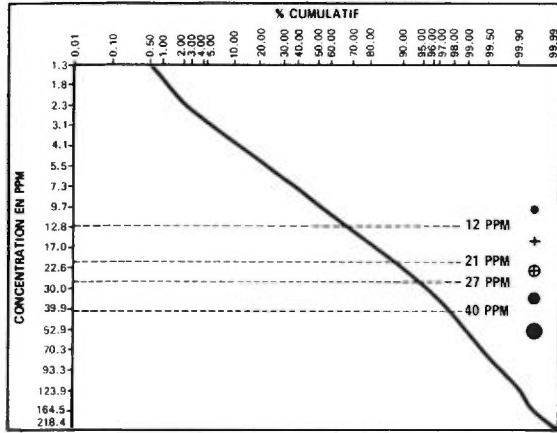
SERVICE DES GÎTES MINÉRAUX
DIVISION DE LA GÉOCHIMIE
G.H. COCKBURN
Carte géochimique No 1822



LÉGENDE

GÉOCHIMIE

COURBE DES FRÉQUENCES CUMULÉES



LA CLASSE SUPÉRIEURE EST SUBDIVISÉE GÉOMÉTRIQUEMENT

① 41-80 ② 81-160 ③ 161-320 PPM

LITHOLOGIE SIMPLIFIÉE

- 14 Sable et gravier
- S "Sandstone" FM-Sakami
- 13 Dyke de diabase
- 12 Dyke de pegmatite
- 11 Granite
- 10 Quartz-diorite
- 9 Migmatite
- 8 Granite migmatitique
- 7 Formation de fer
- 6 Roche métasédimentaire
- 5 Tuf rhyolitique
- 4 Lave intermédiaire
- 3 Roche ultrabasique
- 2A Amphibolite
- 2 Lave basique
- 1 Gneiss non différencié

Contact ———
Faille - - - - -

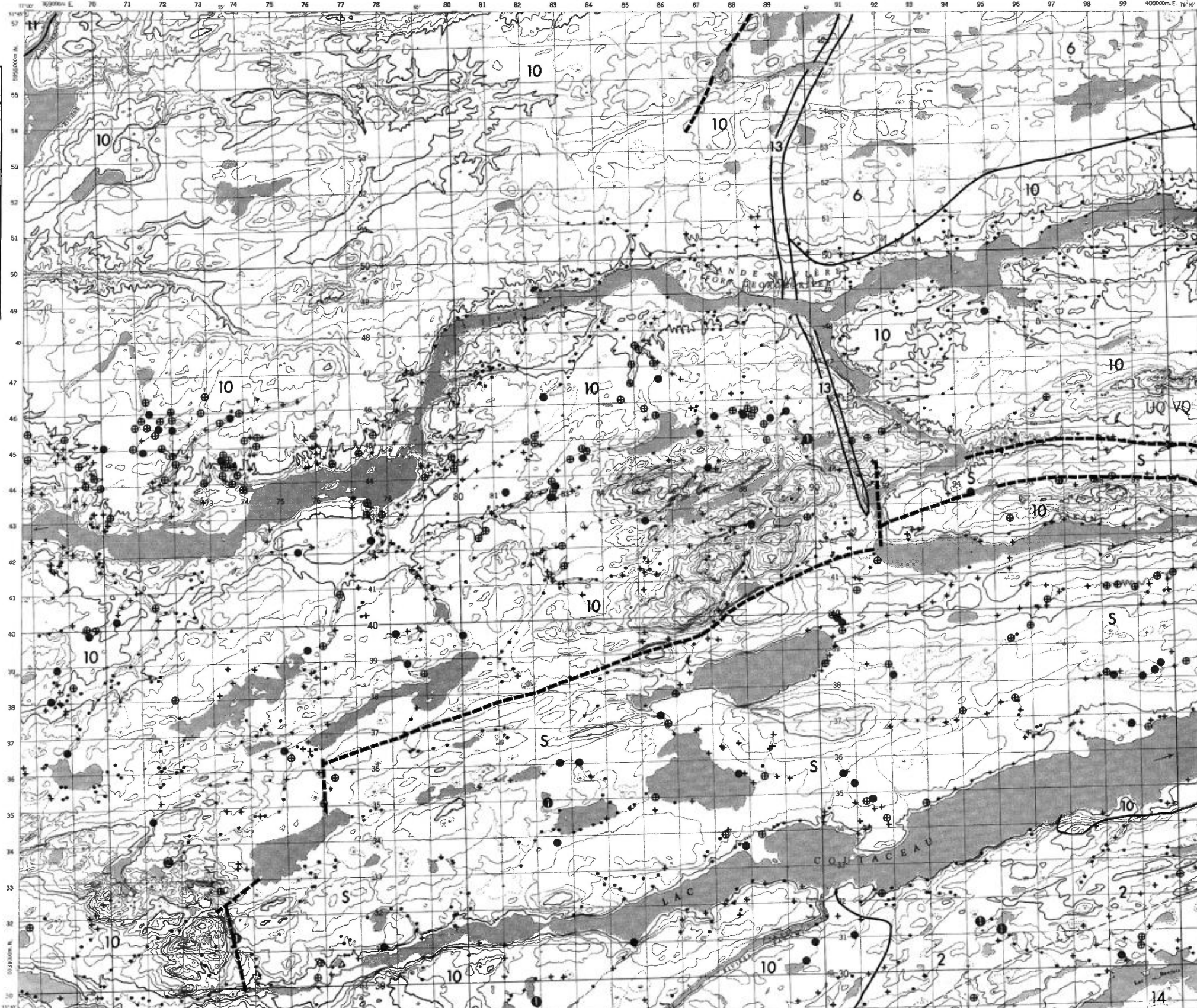
ÉCHELLE 1:125,000



SERVICE DES GÎTES MINÉRAUX

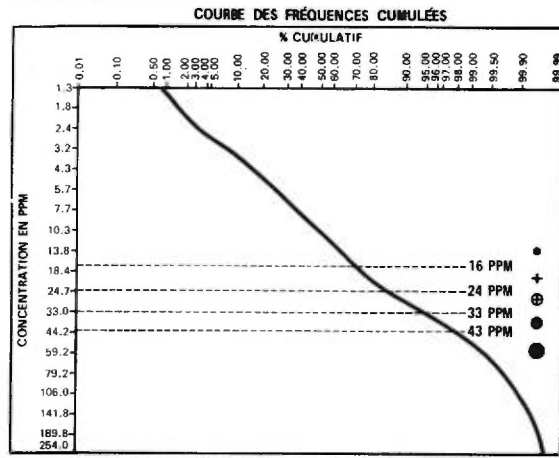
DIVISION DE LA GÉOCHIMIE
G.H. COCKBURN

Carte géochimique No 1822



LÉGENDE

GÉOCHIMIE



LA CLASSE SUPÉRIEURE EST SUBDIVISÉE GÉOMÉTRIQUEMENT
① 44 - 100 ② 101 - 200 ③ 301 - 400 ④ 401 - 800 ⑤ 801 - 1600 PPM

LITHOLOGIE SIMPLIFIÉE

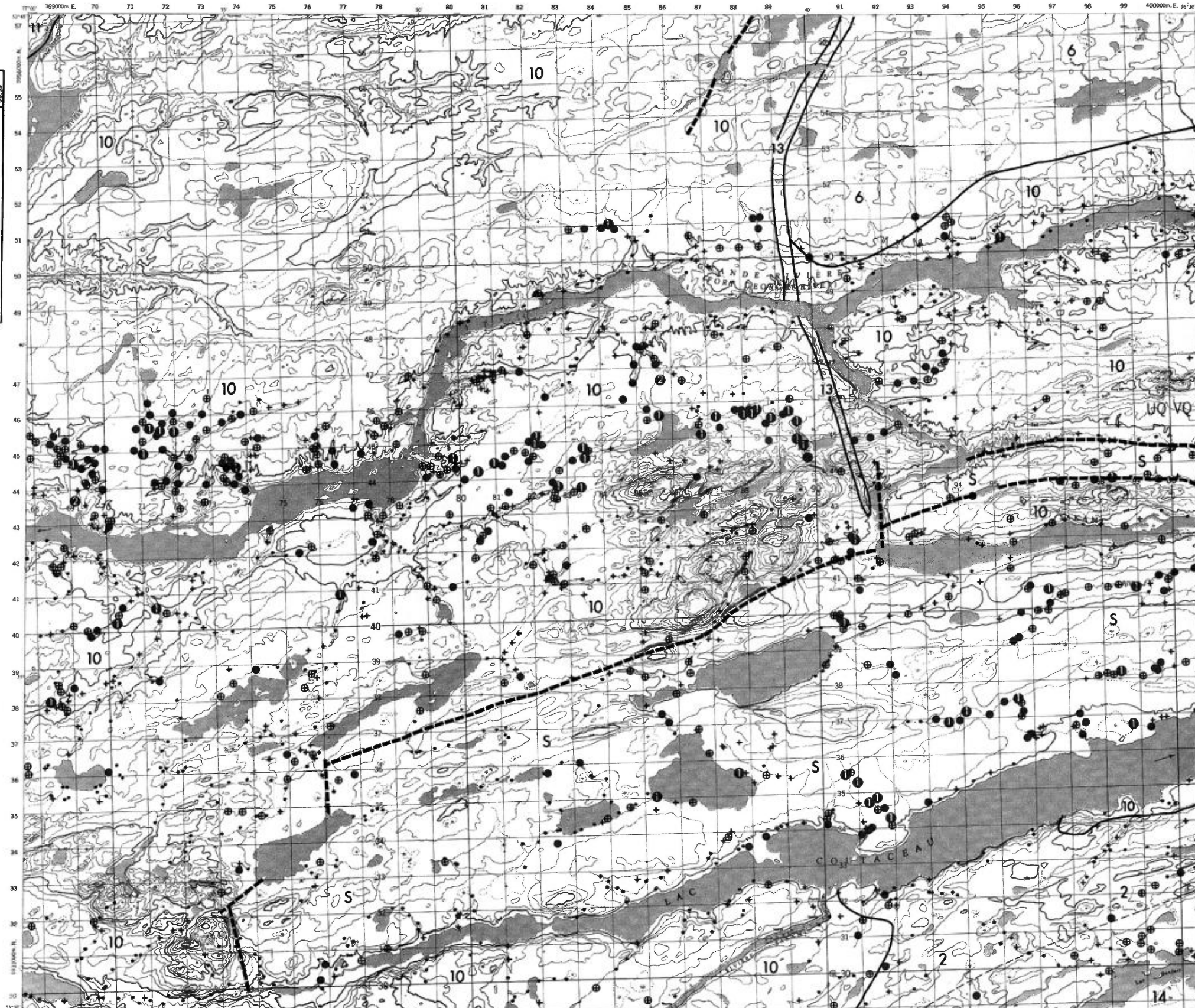
- 14 Sable et gravier
- S "Sandstone" FM-Sakami
- 13 Dyke de diabase
- 12 Dyke de pegmatite
- 11 Granite
- 10 Quartz-diorite
- 9 Migmatite
- 8 Granite migmatitique
- 7 Formation de fer
- 6 Roche métasédimentaire
- 5 Tuf rhyolitique
- 4 Lave intermédiaire
- 3 Roche ultrabasique
- 2A Amphibolite
- 2 Lave basique
- 1 Gneiss non différencié

Contact ———
Faille - - - - -

ÉCHELLE 1:125,000

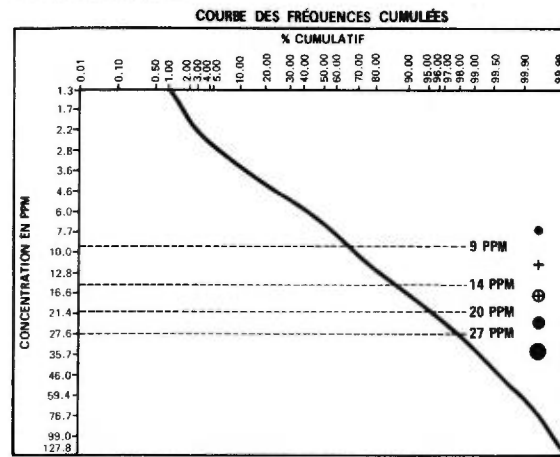


SERVICE DES GÎTES MINÉRAUX
DIVISION DE LA GÉOCHIMIE
G.H. COCKBURN
Carte géochimique No 1822



LÉGENDE

GÉOCHIMIE



LA CLASSE SUPÉRIEURE EST SUBDIVISÉE GÉOMÉTRIQUEMENT
 ① 28-80 ② 81-120 ③ 121-240 PPM

LITHOLOGIE SIMPLIFIÉE

- 14 Sable et gravier
- S "Sandstone" FM-Sakami
- 13 Dyke de diabase
- 12 Dyke de pegmatite
- 11 Granite
- 10 Quartz-diorite
- 9 Migmatite
- 8 Granite migmatitique
- 7 Formation de fer
- 6 Roche métasédimentaire
- 5 Tuf rhyolitique
- 4 Lave intermédiaire
- 3 Roche ultrabasique
- 2A Amphibolite
- 2 Lave basique
- 1 Gneiss non différencié

Contact ———
 Faille - - - - -

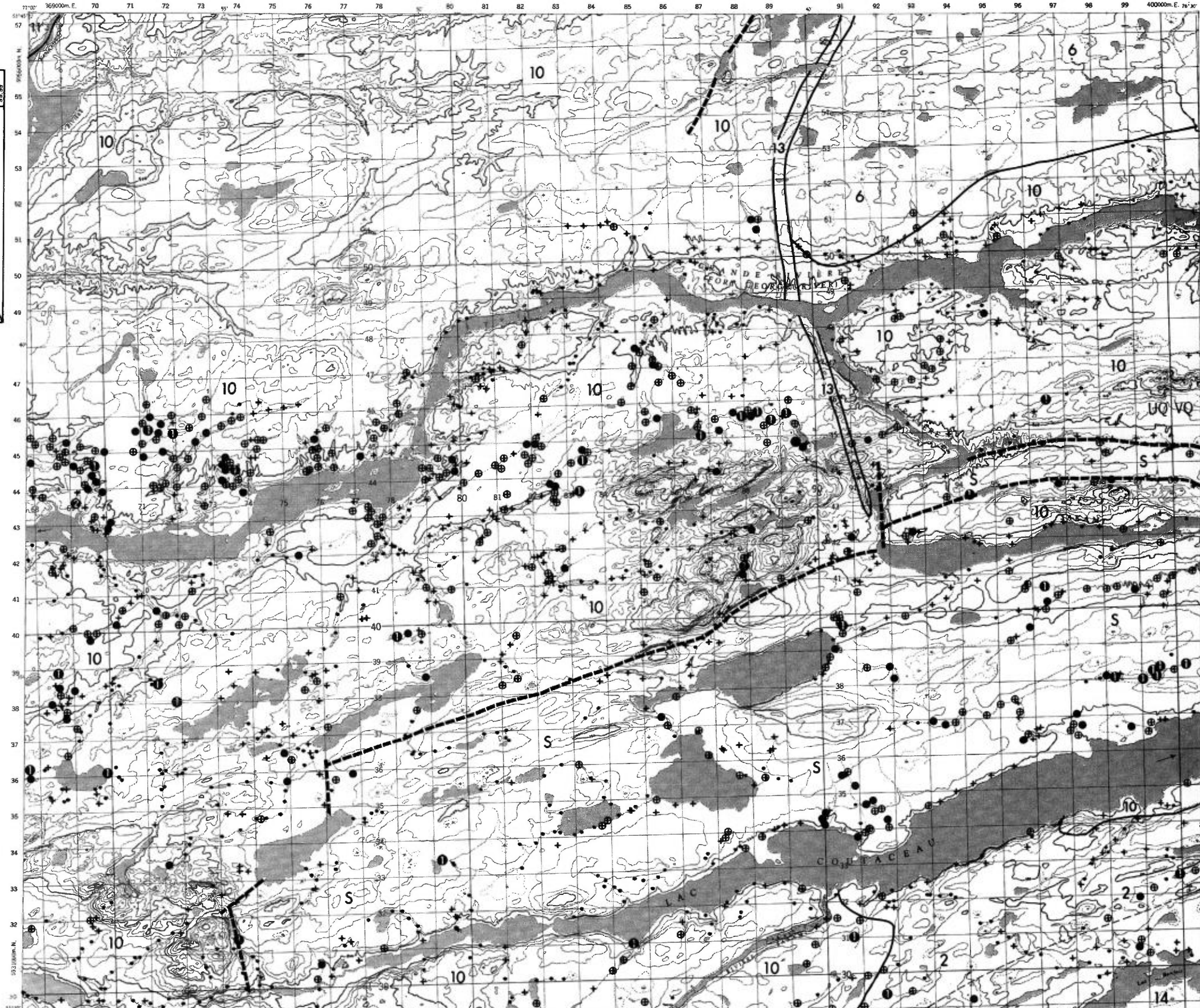
ÉCHELLE 1:125,000



SERVICE DES GÎTES MINÉRAUX

DIVISION DE LA GÉOCHIMIE
 G.H. COCKBURN

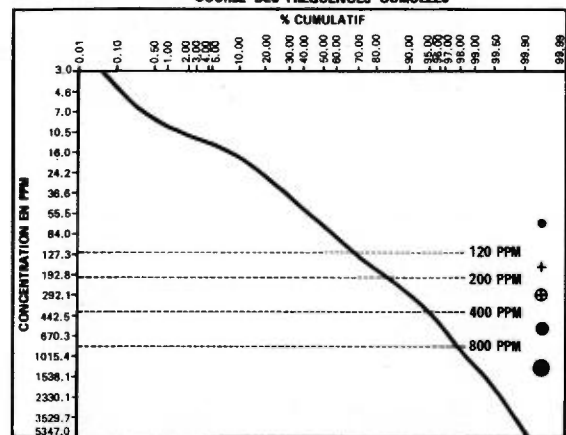
Carte géochimique No 1822



LÉGENDE

GÉOCHIMIE

COURBE DES FRÉQUENCES CUMULÉES



LA CLASSE SUPÉRIEURE EST SUBDIVISÉE GÉOMETRIQUEMENT

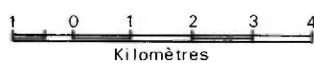
① 801 - 1600 ② 1601 - 3200 ③ 3201 - 6400 ④ 6401 - 12800 ⑤ 12801 - 25000 PPM

LITHOLOGIE SIMPLIFIÉE

- 14 Sable et gravier
- S "Sandstone" FM-Sakami
- 13 Dyke de diabase
- 12 Dyke de pegmatite
- 11 Granite
- 10 Quartz-diorite
- 9 Migmatite
- 8 Granite migmatitique
- 7 Formation de fer
- 6 Roche métasédimentaire
- 5 Tuf rhyolitique
- 4 Lave intermédiaire
- 3 Roche ultrabasique
- 2A Amphibolite
- 2 Lave basique
- 1 Gneiss non différencié

Contact ———
Faille - - - - -

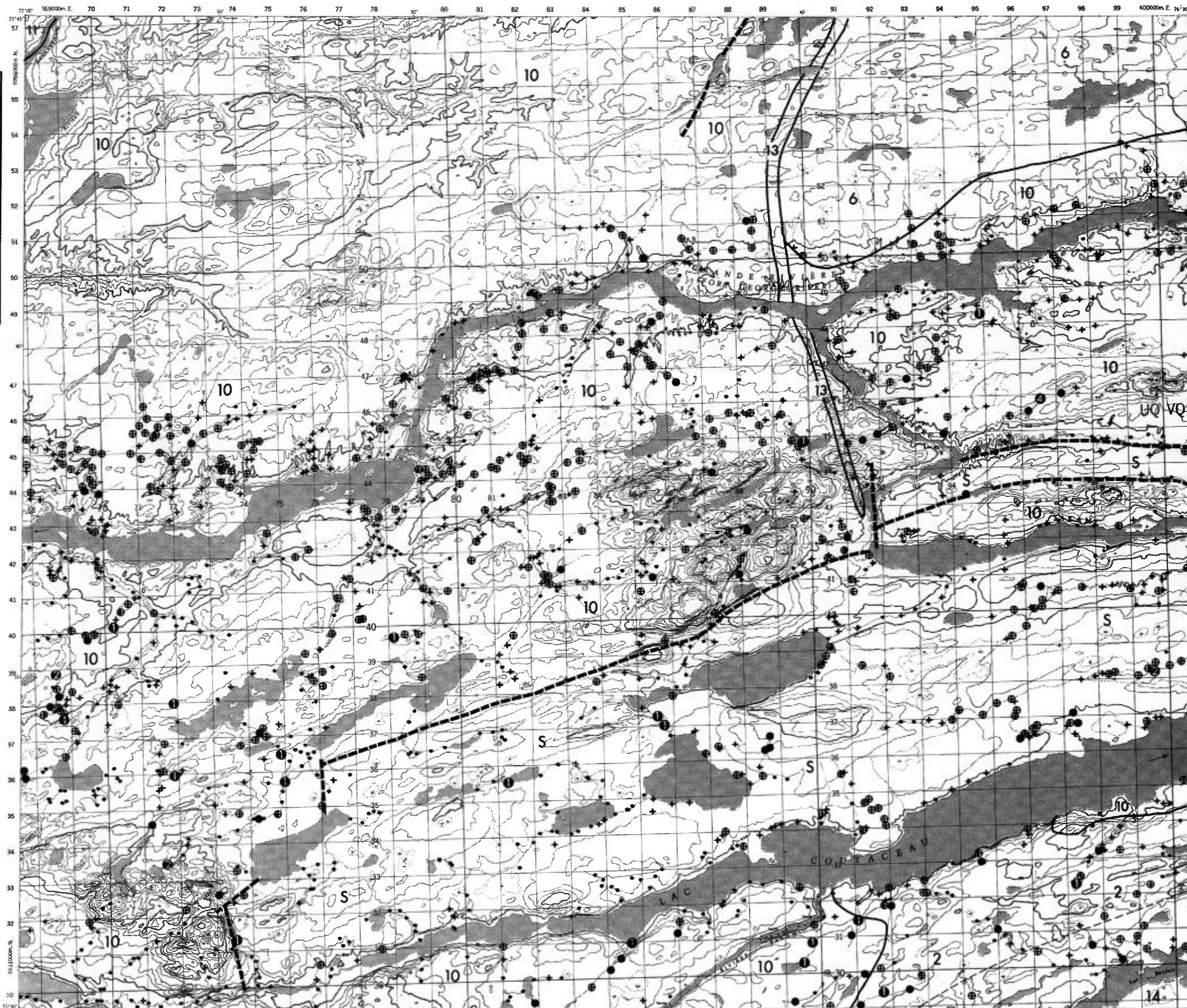
ÉCHELLE 1:125,000



SERVICE DES GÎTES MINÉRAUX

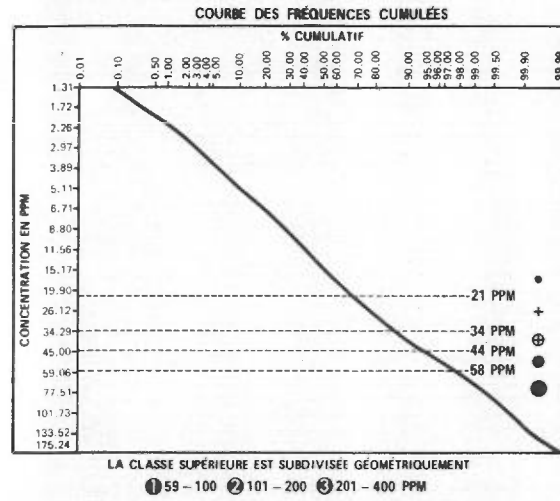
DIVISION DE LA GÉOCHIMIE
G.H. COCKBURN

Carte géochimique No 1822



LÉGENDE

GÉOCHIMIE

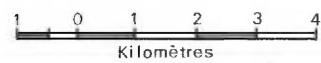


LITHOLOGIE SIMPLIFIÉE

- 14 Sable et gravier
- S "Sandstone" FM-Sakami
- 13 Dyke de diabase
- 12 Dyke de pegmatite
- 11 Granite
- 10 Quartz-diorite
- 9 Migmatite
- 8 Granite migmatitique
- 7 Formation de fer
- 6 Roche métasédimentaire
- 5 Tuf rhyolitique
- 4 Lave intermédiaire
- 3 Roche ultrabasique
- 2A Amphibolite
- 2 Lave basique
- 1 Gneiss non différencié

Contact ———
Faille - - - - -

ÉCHELLE 1:125,000



SERVICE DES GÎTES MINÉRAUX

DIVISION DE LA GÉOCHIMIE
G.H. COCKBURN

Carte géochimique No 1822

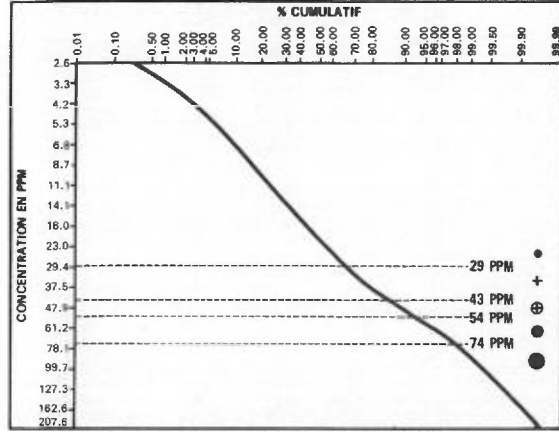


RIVIÈRE SAKAMI
RÉGION DE LA GRANDE RIVIÈRE

LÉGENDE

GÉOCHIMIE

COURBE DES FRÉQUENCES CUMULÉES



LA CLASSE SUPÉRIEURE EST SUBDIVISÉE GÉOMÉTRIQUEMENT
① 75 - 150 ② 151 - 300 ③ 301 - 600 PPM

LITHOLOGIE SIMPLIFIÉE

- 14 Sable et gravier
- S "Sandstone" FM-Sakami
- 13 Dyke de diabase
- 12 Dyke de pegmatite
- 11 Granite
- 10 Quartz-diorite
- 9 Migmatite
- 8 Granite migmatitique
- 7 Formation de fer
- 6 Roche métasédimentaire
- 5 Tuf rhyolitique
- 4 Lave intermédiaire
- 3 Roche ultrabasique
- 2A Amphibolite
- 2 Lave basique
- 1 Gneiss non différencié

Contact ———
Faille - - - - -

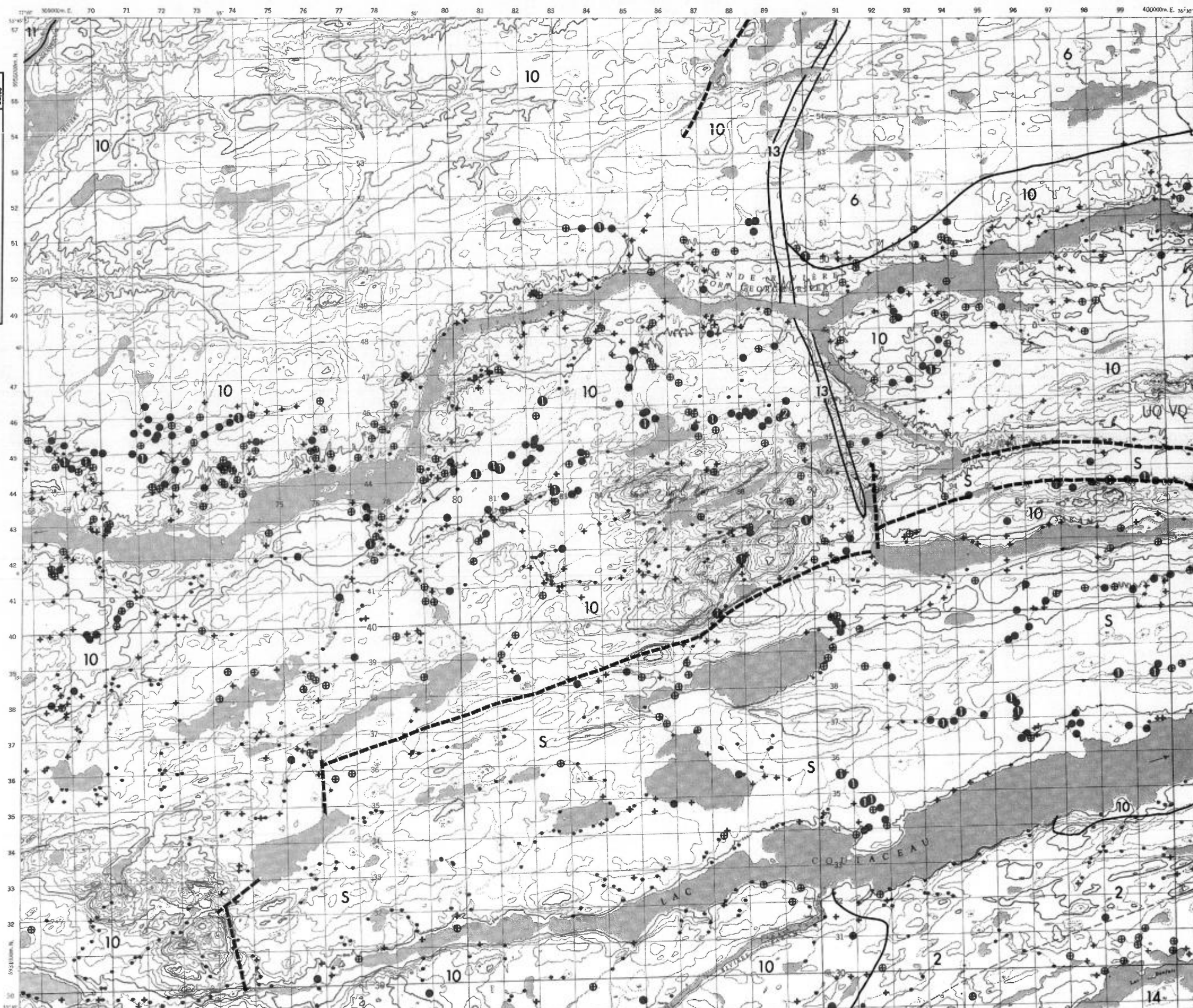
ÉCHELLE 1:125,000



SERVICE DES GÎTES MINÉRAUX

DIVISION DE LA GÉOCHIMIE
G.H. COCKBURN

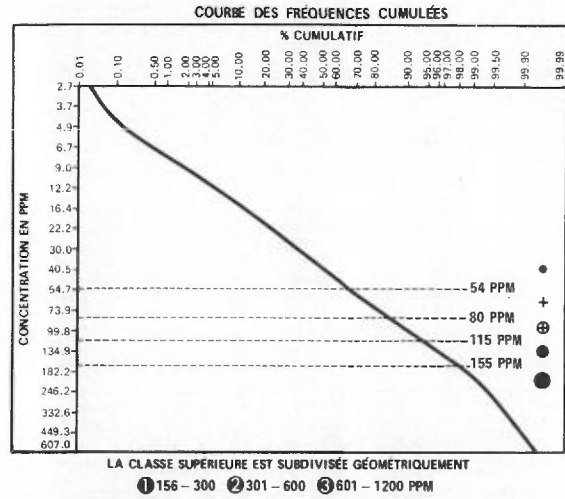
Carte géochimique No 1822



RIVIÈRE SAKAMI
RÉGION DE LA GRANDE RIVIÈRE

LÉGENDE

GÉOCHIMIE

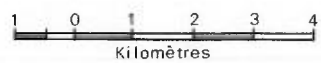


LITHOLOGIE SIMPLIFIÉE

- 14 Sable et gravier
- S "Sandstone" FM-Sakami
- 13 Dyke de diabase
- 12 Dyke de pegmatite
- 11 Granite
- 10 Quartz-diorite
- 9 Migmatite
- 8 Granite migmatitique
- 7 Formation de fer
- 6 Roche métasédimentaire
- 5 Tuf rhyolitique
- 4 Lave intermédiaire
- 3 Roche ultrabasique
- 2A Amphibolite
- 2 Lave basique
- 1 Gneiss non différencié

- Contact ———
- Faillle - - - - -

ÉCHELLE 1:125,000



SERVICE DES GÎTES MINÉRAUX

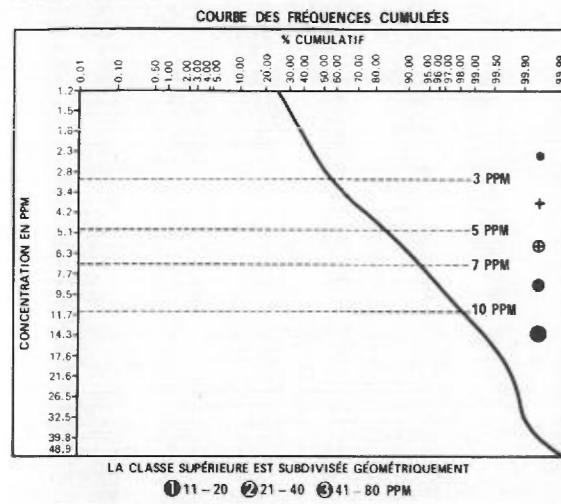
DIVISION DE LA GÉOCHIMIE
G.H. COCKBURN

Carte géochimique No 1822



LÉGENDE

GÉOCHIMIE



LITHOLOGIE SIMPLIFIÉE

- 14 Sable et gravier
- S "Sandstone" FM-Sakami
- 13 Dyke de diabase
- 12 Dyke de pegmatite
- 11 Granite
- 10 Quartz-diorite
- 9 Migmatite
- 8 Granite migmatitique
- 7 Formation de fer
- 6 Roche métasédimentaire
- 5 Tuf rhyolitique
- 4 Lave intermédiaire
- 3 Roche ultrabasique
- 2A Amphibolite
- 2 Lave basique
- 1 Gneiss non différencié

Contact ———
Faille - - - - -

ÉCHELLE 1:125,000

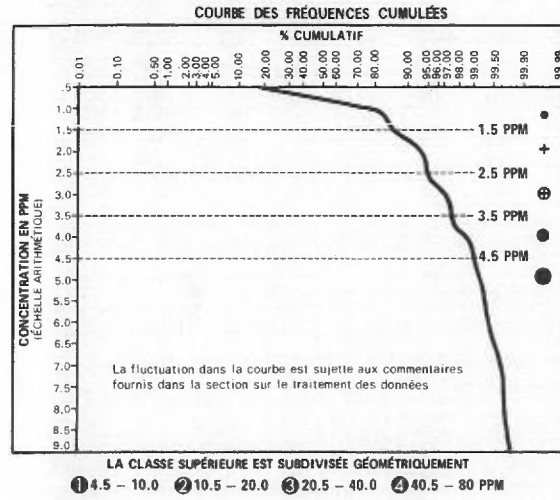


SERVICE DES GÎTES MINÉRAUX
DIVISION DE LA GÉOCHIMIE
G.H. COCKBURN
Carte géochimique No 1822



LÉGENDE

GÉOCHIMIE



LITHOLOGIE SIMPLIFIÉE

- 14 Sable et gravier
- S "Sandstone" FM-Sakami
- 13 Dyke de diabase
- 12 Dyke de pegmatite
- 11 Granite
- 10 Quartz-diorite
- 9 Migmatite
- 8 Granite migmatitique
- 7 Formation de fer
- 6 Roche métasédimentaire
- 5 Tuf rhyolitique
- 4 Lave intermédiaire
- 3 Roche ultrabasique
- 2A Amphibolite
- 2 Lave basique
- 1 Gneiss non différencié

Contact ———
 Faille - - - - -

ÉCHELLE 1:125,000



SERVICE DES GÎTES MINÉRAUX

DIVISION DE LA GÉOCHIMIE
 G.H. COCKBURN

Carte géochimique No 1822

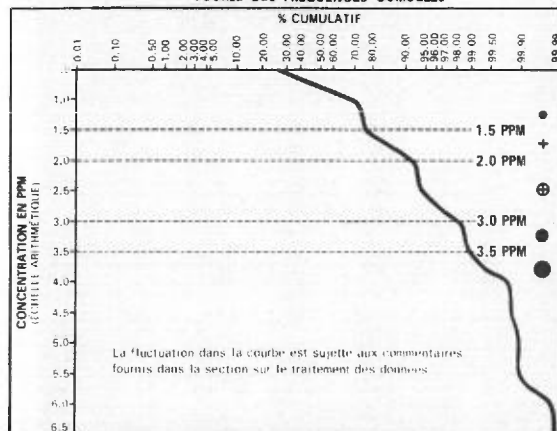


RIVIÈRE SAKAMI
RÉGION DE LA GRANDE RIVIÈRE

LÉGENDE

GÉOCHIMIE

COURBE DES FRÉQUENCES CUMULÉES

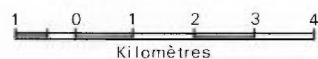


LITHOLOGIE SIMPLIFIÉE

- 14 Sable et gravier
- S "Sandstone" FM-Sakami
- 13 Dyke de diabase
- 12 Dyke de pegmatite
- 11 Granite
- 10 Quartz-diorite
- 9 Migmatite
- 8 Granite migmatitique
- 7 Formation de fer
- 6 Roche métasédimentaire
- 5 Tuf rhyolitique
- 4 Lave intermédiaire
- 3 Roche ultrabasique
- 2A Amphibolite
- 2 Lave basique
- 1 Gneiss non différencié

Contact ———
Faille - - - - -

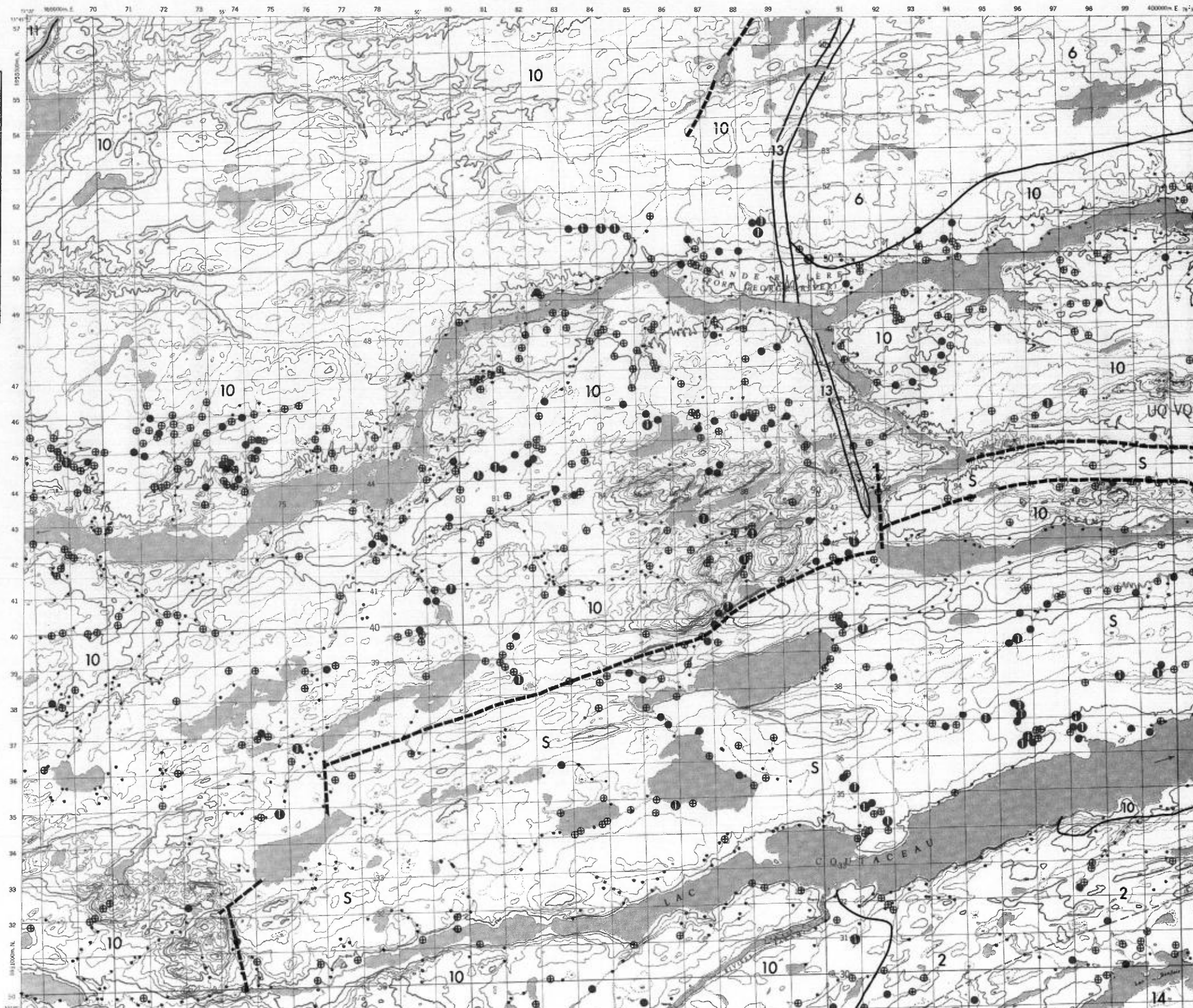
ÉCHELLE 1:125,000



SERVICE DES GÎTES MINÉRAUX

DIVISION DE LA GÉOCHIMIE
G.H. COCKBURN

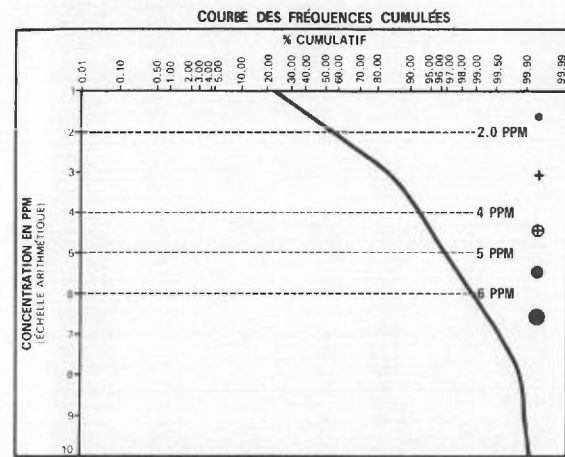
Carte géochimique No 1822





LÉGENDE

GÉOCHIMIE

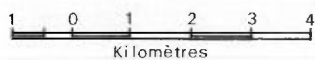


LITHOLOGIE SIMPLIFIÉE

- 14 Sable et gravier
- S "Sandstone" FM-Sakami
- 13 Dyke de diabase
- 12 Dyke de pegmatite
- 11 Granite
- 10 Quartz-diorite
- 9 Migmatite
- 8 Granite migmatitique
- 7 Formation de fer
- 6 Roche métasédimentaire
- 5 Tuf rhyolitique
- 4 Lave intermédiaire
- 3 Roche ultrabasique
- 2A Amphibolite
- 2 Lave basique
- 1 Gneiss non différencié

Contact ———
Faille - - - - -

ÉCHELLE 1:125,000



SERVICE DES GÎTES MINÉRAUX

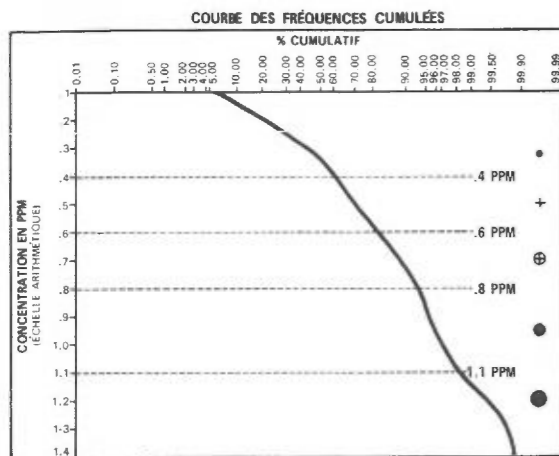
DIVISION DE LA GÉOCHIMIE
G.H. COCKBURN

Carte géochimique No 1822



LÉGENDE

GÉOCHIMIE

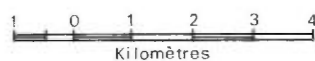


LITHOLOGIE SIMPLIFIÉE

- 14 Sable et gravier
- S "Sandstone" FM-Sakami
- 13 Dyke de diabase
- 12 Dyke de pegmatite
- 11 Granite
- 10 Quartz-diorite
- 9 Migmatite
- 8 Granite migmatitique
- 7 Formation de fer
- 6 Roche métasédimentaire
- 5 Tuf rhyolitique
- 4 Lave intermédiaire
- 3 Roche ultrabasique
- 2A Amphibolite
- 2 Lave basique
- 1 Gneiss non différencié

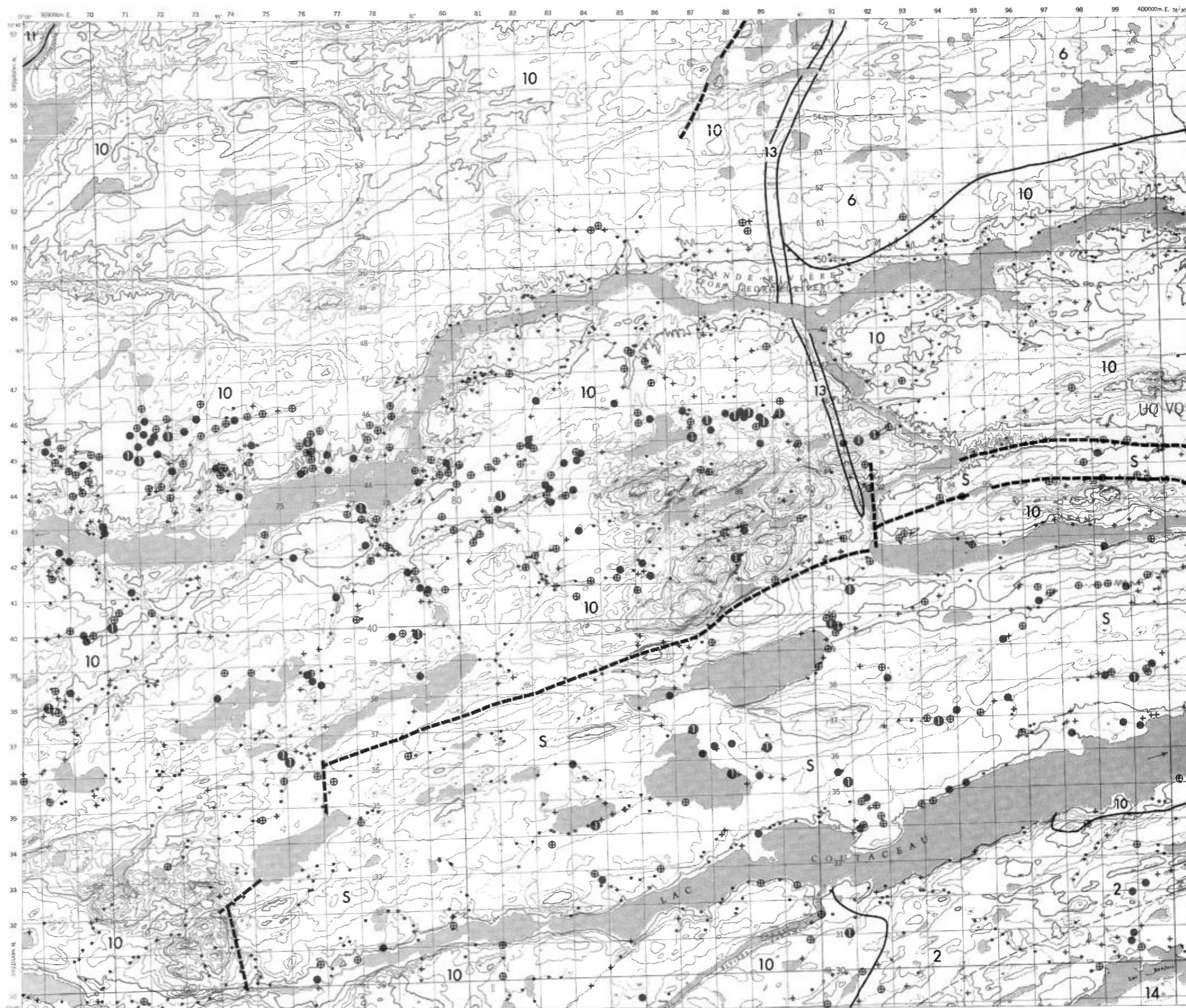
- Contact ———
- Faillle - - - - -

ÉCHELLE 1:125,000



SERVICE DES GÎTES MINÉRAUX
DIVISION DE LA GÉOCHIMIE
G.H. COCKBURN

Carte géochimique No 1822



	Cu	Zn	Pb	Ni	Co	Cr	V	Sn	Mo	U	Mn	Ag	Li	Ba	Cs	UTM ZONE 18	
	ppm	ppm	ppm	ppm	ppm	ppm	ppm	ppm	ppm	ppm	ppm	ppm	ppm	ppm	ppm	E	N
74-20000	6	16	2*	10	6	—	—	3.0	—	1.0	112	0.1	—	—	—	373902.4	5943752.8
74-20001	15	24	6*	17	11	—	—	5.0	—	1.0	196	0.2	—	—	—	373510.1	5943996.1
74-20002	20	46	9*	26	15	—	—	4.0	—	3.0	276	0.3	—	—	—	373319.5	5944130.0
74-20004	24	42	10*	26	18	—	—	4.0	—	4.0	336	0.4	—	—	—	373407.5	5944423.2
74-20005	19	44	9*	24	19	—	—	2.0	—	3.0	402	0.3	—	—	—	373482.2	5944405.0
74-20008	19	68	13*	35	37	—	—	5.0	—	2.0	670	0.5	—	—	—	373098.2	5945548.8
74-20009	11	42	7*	22	16	—	—	3.0	—	2.0	326	0.3	—	—	—	372662.3	5945361.0
74-20010	9	26	9*	14	12	—	—	2.0	—	1.0	344	0.2	—	—	—	372365.6	5944895.5
73-09985	20	62	22	40	18	67	46	2.0	1.0	2.0	190	0.9	4	54	2.0	372039.0	5944525.0
74-20011	14	56	11*	29	18	—	—	—	—	2.0	394	0.5	—	—	—	371997.4	5944523.6
73-09986	17	62	22	38	16	64	44	2.0	1.0	3.0	170	0.8	5	62	2.0	371722.0	5944092.0
74-20012	10	24	5*	15	10	—	—	3.0	—	1.0	194	0.3	—	—	—	371726.3	5944067.1
74-20013	22	44	12*	26	16	—	—	3.0	—	5.0	258	0.4	—	—	—	371715.9	5945003.8
73-09777	35	94	32	56	28	59	47	2.0	1.0	3.0	340	1.5	5	80	2.0	371976.0	5945479.0
74-20014	10	42	9*	21	16	—	—	4.0	—	1.0	276	0.4	—	—	—	371907.9	5945493.9
73-09769	22	60	22	36	22	56	47	2.0	2.0	3.0	210	0.7	5	80	2.0	371633.0	5945730.0
74-20015	8	44	10*	20	10	—	—	5.0	—	1.0	112	0.4	—	—	—	371663.9	5945791.2
74-20016	11	46	9*	22	12	—	—	3.0	—	1.0	158	0.4	—	—	—	371097.8	5945971.4
73-09339	17	32	7	21	11	37	28	3.0	1.0	2.0	208	0.4	3	40	2.0	369792.0	5942827.0
74-20017	16	28	8*	18	14	—	—	1.0	—	3.0	232	0.2	—	—	—	369774.6	5942801.8
73-09334	14	36	14	20	14	37	31	2.0	2.0	1.0	130	0.4	5	46	1.0	370016.0	5942723.0
74-20018	20	38	13*	22	21	—	—	2.0	—	4.0	404	0.4	—	—	—	369972.2	5942712.5
74-20019	18	66	12*	32	18	—	—	4.0	—	3.0	198	0.6	—	—	—	370897.0	5944923.0
74-20020	16	62	11*	30	17	—	—	4.0	—	3.0	262	0.5	—	—	—	371038.7	5945531.0
73-09776	32	72	14	20	14	64	50	2.0	1.0	—	250	1.0	6	116	2.0	371269.0	5945574.0
74-20021	16	66	13*	22	21	—	—	4.0	—	3.0	242	0.4	—	—	—	371182.8	5945605.3
74-20022	18	56	11*	30	15	—	—	—	—	—	240	0.5	—	—	—	371560.2	5945483.6
73-09767	24	72	24	38	18	59	49	1.0	1.0	1.0	220	1.0	5	102	2.0	371493.0	5945406.0
74-20023	14	58	10*	28	14	—	—	—	—	2.0	212	0.5	—	—	—	371470.9	5945396.8
74-20025	22	66	12*	34	19	—	—	3.0	—	3.0	350	0.5	—	—	—	369750.2	5944941.7

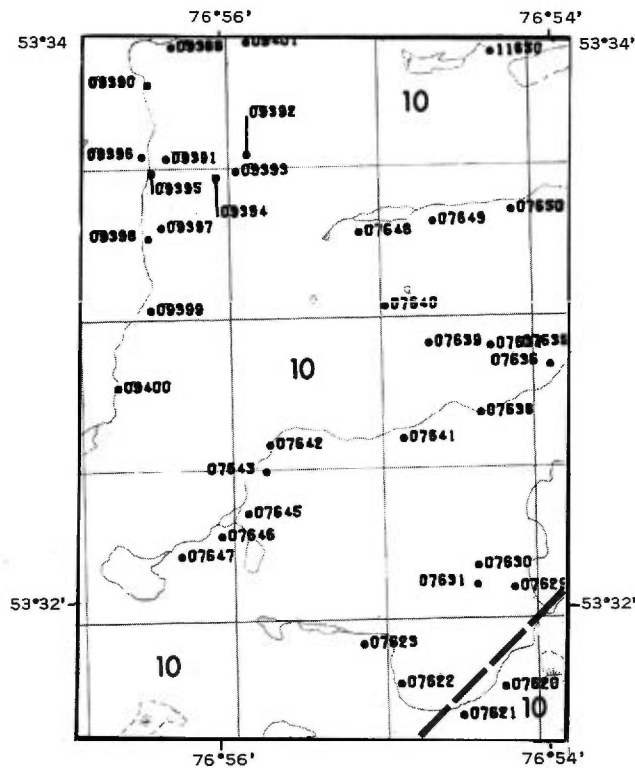
TABLEAU 4 – RÉSULTATS D'ANALYSE DE L'AIRE ANNOTÉE I (33 F/10)

	Cu	Zn	Pb	Ni	Co	Cr	V	Sn	Mo	U	Mn	Ag	Li	Ba	Cs	UTM ZONE 18	
	ppm	ppm	ppm	ppm	ppm	ppm	ppm	ppm	ppm	ppm	ppm	ppm	ppm	ppm	ppm	E	N
74-20026	20	62	12*	33	18	—	—	—	—	—	316	0.5	—	—	—	369453.6	5944949.3
74-20027	17	38	10*	21	13	—	—	2.0	—	4.0	258	0.2	—	—	—	369327.7	5944713.1
73-09832	25	79	—	47	21	62	52	3.0	1.0	4.0	280	0.8	6	80	2.0	369133.0	5944618.0
74-20028	22	64	14*	35	20	—	—	—	—	3.0	378	0.5	—	—	—	369093.2	5944642.5
74-20029	14	50	11*	27	14	—	—	2.0	—	2.0	190	0.6	—	—	—	369239.6	5944535.6
74-20030	22	34	10*	21	14	—	—	1.0	—	5.0	316	0.4	—	—	—	369334.6	5944048.3
74-20031	25	42	14*	26	21	—	—	1.0	—	6.0	438	0.5	—	—	—	369755.9	5943894.5
74-20032	26	28	7*	31	10	—	—	1.0	—	2.0	166	0.3	—	—	—	369149.7	5943608.3
73-09833	25	58	14	35	18	80	73	1.0	1.0	4.0	336	0.5	6	80	4.0	368903.0	5944767.0
74-20041	16	44	9*	23	12	—	—	2.0	—	3.0	198	0.2	—	—	—	368842.1	5944774.1
73-09348	12	32	18	25	14	64	57	1.0	3.0	6.0	370	0.8	10	74	1.0	368920.0	5945279.0
74-20042	26	34	13*	22	17	—	—	3.0	—	3.0	406	0.2	—	—	—	368870.3	5945316.5
74-20043	15	42	10*	22	13	—	—	4.0	—	2.0	238	0.1	—	—	—	368472.6	5945197.5
74-20044	21	40	10*	23	15	—	—	4.0	—	4.0	294	0.2	—	—	—	368464.6	5945364.0
74-20045	23	44	11*	26	15	—	—	4.0	—	4.0	308	0.3	—	—	—	368001.8	5945252.8

* : corrigé pour absorbance non-spécifique

— : non-analysé

TABLEAU 4 – suite



RIVIERE SAKAMI

33 F/10

Aire II

U

Ultérieurement à la publication des résultats d'analyses pour l'uranium (Cockburn et Sergerie, 1975) la Société de Développement de la Baie James confirmait la découverte de minéralisation uranifère en amont de cette anomalie géochimique (G. Dionne, comm. pers.). La S.D.B.J., dans une campagne conjointe avec Seru Nucléaire Canada Ltée et Eldorado Nuclear Ltd, avait localisé cette anomalie par géochimie de sédiment de fond de lac. L'indice minéralisé (pitchblende?) est localisé dans une zone fortement cisailée en bordure de la formation de Sakami (unité S).

Les résultats des analyses de vérification sont donnés au tableau 5.

LÉGENDE LEGEND

- 12607 Prélèvement initial
Original sampling
- 03282 Prélèvement de vérification
Verification sampling
- 10031 Échantillon réanalysé
Reanalysed sample
- R140 Échantillon de roche
Rock sample
- Contact géologique
Geological contact
- - - Limite d'échantillonnage
Sampling limit
- - - Faille
Fault

RIVIERE SAKAMI

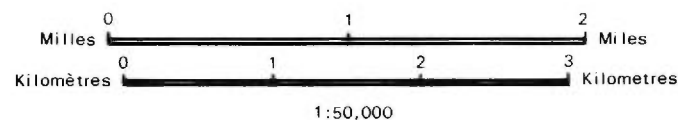
33 F/10

Area II

U

Following the publication of uranium analyses (Cockburn and Sergerie, 1975) the James Bay Development Corporation confirmed the discovery of uranium mineralization upstream from this geochemical anomaly (G. Dionne, pers. comm.). The J.B.D.C., in a joint venture with Séru Nucléaire Canada Ltee and Eldorado Nuclear Ltd. had located this anomaly by lake sediment geochemistry. The showing (pitchblende?) is located in a highly sheared zone along the contact with the Sakami formation (unit S).

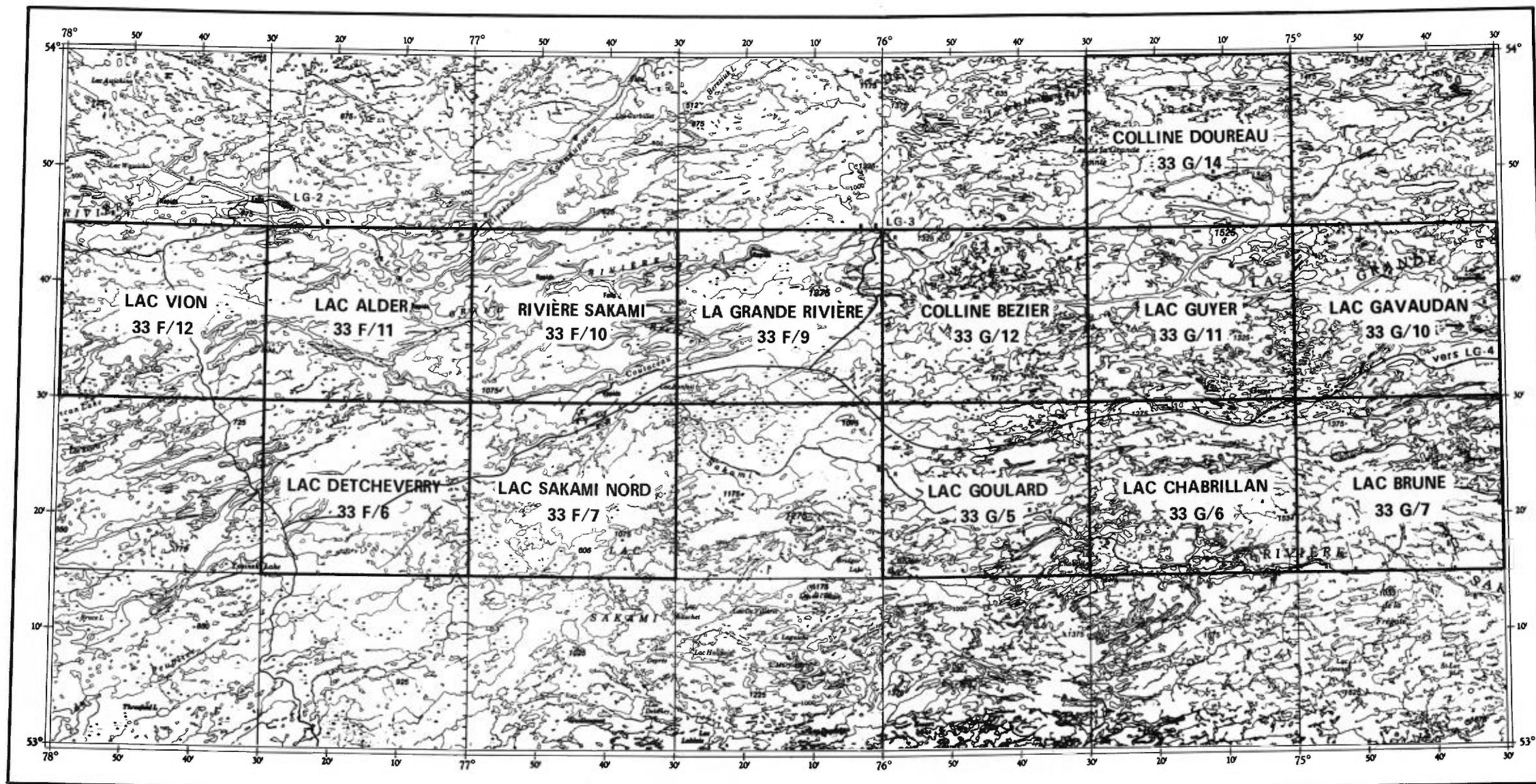
The results of the verification analyses are given in Table 5.



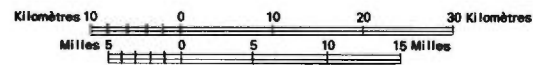
	Cu	Zn	Pb	Ni	Co	Cr	V	Sn	Mo	U	Mn	Ag	Li	Ba	Cs	UTM ZONE 18	
	ppm	ppm	ppm	ppm	ppm	ppm	ppm	ppm	ppm	ppm	ppm	ppm	ppm	ppm	ppm	E	N
73-07620	9	32	12	18	11	—	—	—	—	33	258	4	8	—	—	373754.0	5932566.0
73-07621	9	28	14	24	10	34	19	3	10	23	150	3	6	92	10	373475.0	5932379.0
73-07622	8	54	24	26	14	33	22	3	10	12	460	6	5	64	10	373066.0	5932595.0
73-07623	10	46	21	13	6	—	—	—	—	18	80	3	5	200	5	372824.0	5932860.0
73-07638	6	16	8	16	6	19	13	3	10	6	90	1	3	38	10	373622.0	5934381.0
73-09394	11	26	8	14	11	26	59	5	50	125	1144	4	—	—	20	371906.0	5935960.0
73-09398	5	26	11	9	7	16	12	3	10	55	178	3	2	40	10	371443.0	5935559.0
73-09399	12	32	21	12	7	24	16	5	10	140	164	3	6	86	20	371452.0	5935082.0
73-09400	12	46	39	12	10	—	—	—	—	150	534	4	4	—	—	371224.0	5934573.0

— : non-analysé

TABLEAU 5 – RÉSULTATS D'ANALYSE DE L'AIRE ANNOTÉE II (33 F/10)

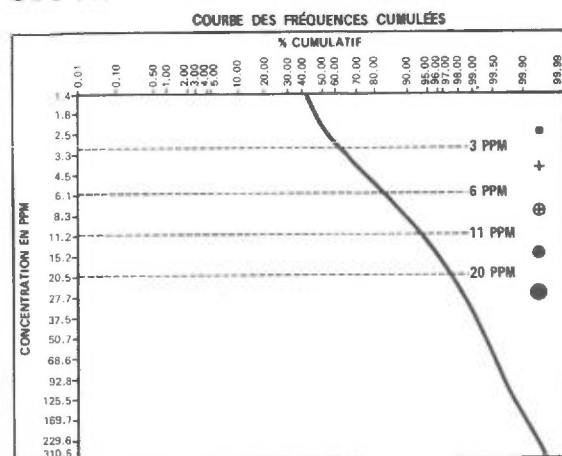


**INDEX DES CARTES GÉOCHIMIQUES
RÉGION DE LA GRANDE RIVIÈRE**



LÉGENDE

GÉOCHIMIE



LA CLASSE SUPÉRIEURE EST SUBDIVISÉE GÉOMÉTRIQUEMENT

① 21-40 ② 41-80 ③ 81-160 ④ 161-320 ⑤ 321-640 ⑥ 641-1280
⑦ 1281-2560 ⑧ 2561-5120 PPM

LITHOLOGIE SIMPLIFIÉE

- 14 Sable et gravier
- 5 "Sandstone" FM-Sakami
- 13 Dyke de diabase
- 12 Dyke de pegmatite
- 11 Granite
- 10 Quartz-diorite
- 9 Migmatite
- 8 Granite migmatitique
- 7 Formation de fer
- 6 Roche métasédimentaire
- 5 Tuf rhyolitique
- 4 Lave intermédiaire
- 3 Roche ultrabasique
- 2A Amphibolite
- 2 Lave basique
- 1 Gneiss non différencié

Contact ———
Faille - - - - -

ÉCHELLE 1:125,000



SERVICE DES GÎTES MINÉRAUX

DIVISION DE LA GÉOCHIMIE
G.H. COCKBURN

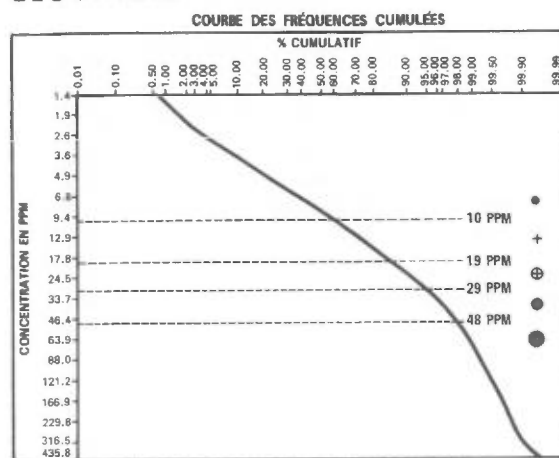
Carte géochimique No 1821



LAC ALDER
RÉGION DE LA GRANDE RIVIÈRE

LÉGENDE

GÉOCHIMIE



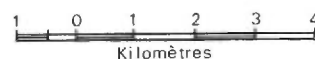
- ① 49 - 100
- ② 101 - 200
- ③ 201 - 400
- ④ 401 - 800
- ⑤ 801 - 1600
- ⑥ 1601 - 3200
- ⑦ 3201 - 6400 PPM

LITHOLOGIE SIMPLIFIÉE

- 14 Sable et gravier
- S "Sandstone" FM-Sakami
- 13 Dyke de diabase
- 12 Dyke de pegmatite
- 11 Granite
- 10 Quartz-diorite
- 9 Migmatite
- 8 Granite migmatitique
- 7 Formation de fer
- 6 Roche métasédimentaire
- 5 Tuf rhyolitique
- 4 Lave intermédiaire
- 3 Roche ultrabasique
- 2A Amphibolite
- 2 Lave basique
- 1 Gneiss non différencié

- Contact ———
- Faillle - - - - -

ÉCHELLE 1:125,000



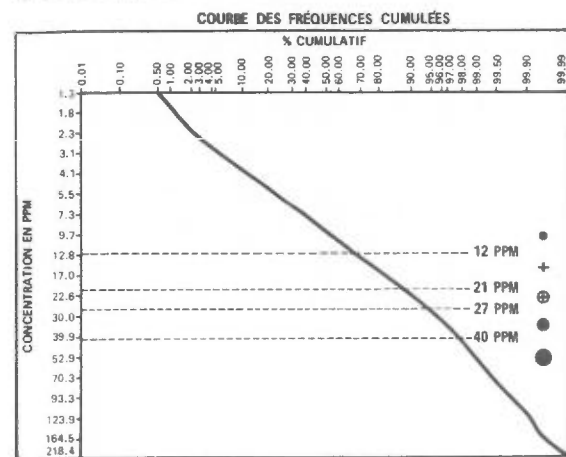
SERVICE DES GÎTES MINÉRAUX
DIVISION DE LA GÉOCHIMIE
G.H. COCKBURN

Carte géochimique No 1821



LÉGENDE

GÉOCHIMIE



LITHOLOGIE SIMPLIFIÉE

- 14 Sable et gravier
- S "Sandstone" FM-Sakami
- 13 Dyke de diabase
- 12 Dyke de pegmatite
- 11 Granite
- 10 Quartz-diorite
- 9 Migmatite
- 8 Granite migmatitique
- 7 Formation de fer
- 6 Roche métasédimentaire
- 5 Tuf rhyolitique
- 4 Lave intermédiaire
- 3 Roche ultrabasique
- 2A Amphibolite
- 2 Lave basique
- 1 Gneiss non différencié

Contact ———
Faille - - - - -

ÉCHELLE 1:125,000



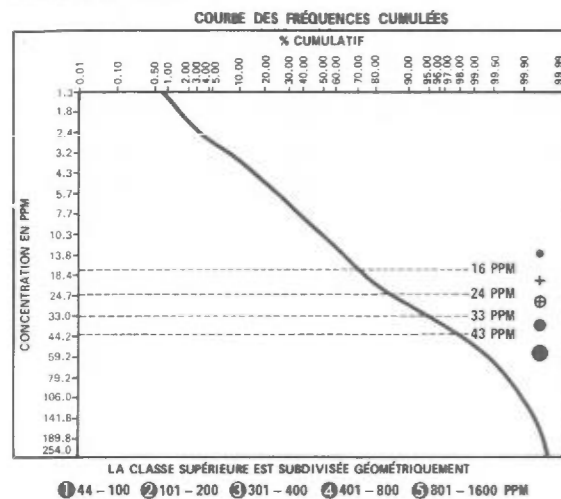
SERVICE DES GÎTES MINÉRAUX
DIVISION DE LA GÉOCHIMIE
G.H. COCKBURN

Carte géochimique No 1821



LÉGENDE

GÉOCHIMIE



LITHOLOGIE SIMPLIFIÉE

- 14 Sable et gravier
- S "Sandstone" FM-Sakami
- 13 Dyke de diabase
- 12 Dyke de pegmatite
- 11 Granite
- 10 Quartz-diorite
- 9 Migmatite
- 8 Granite migmatitique
- 7 Formation de fer
- 6 Roche métasédimentaire
- 5 Tuf rhyolitique
- 4 Lave intermédiaire
- 3 Roche ultrabasique
- 2A Amphibolite
- 2 Lave basique
- 1 Gneiss non différencié

Contact ———
Faille - - - - -

ÉCHELLE 1:125,000



SERVICE DES GÎTES MINÉRAUX
DIVISION DE LA GÉOCHIMIE
G.H. COCKBURN

Carte géochimique No 1821



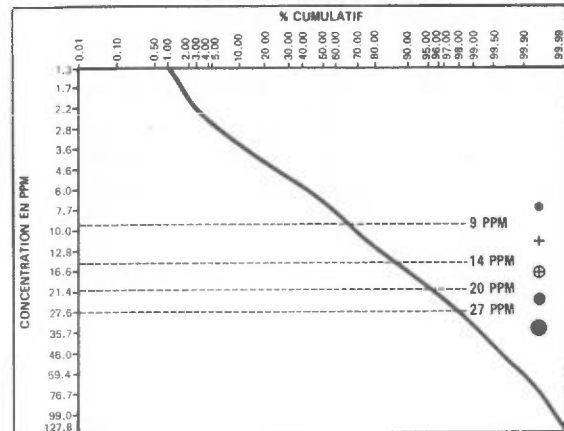
LAC ALDER

RÉGION DE LA GRANDE RIVIÈRE

LÉGENDE

GÉOCHIMIE

COURBE DES FRÉQUENCES CUMULÉES



LA CLASSE SUPÉRIEURE EST SUBDIVISÉE GÉOMÉTRIQUEMENT

① 28 - 60 ② 61 - 120 ③ 121 - 240 PPM

LITHOLOGIE SIMPLIFIÉE

- 14 Sable et gravier
- S "Sandstone" FM-Sakami
- 13 Dyke de diabase
- 12 Dyke de pegmatite
- 11 Granite
- 10 Quartz-diorite
- 9 Migmatite
- 8 Granite migmatitique
- 7 Formation de fer
- 6 Roche métasédimentaire
- 5 Tuf rhyolitique
- 4 Lave intermédiaire
- 3 Roche ultrabasique
- 2A Amphibolite
- 2 Lave basique
- 1 Gneiss non différencié

Contact ———
 Faille - - - - -

ÉCHELLE 1:125,000



SERVICE DES GÎTES MINÉRAUX
 DIVISION DE LA GÉOCHIMIE
 G.H. COCKBURN

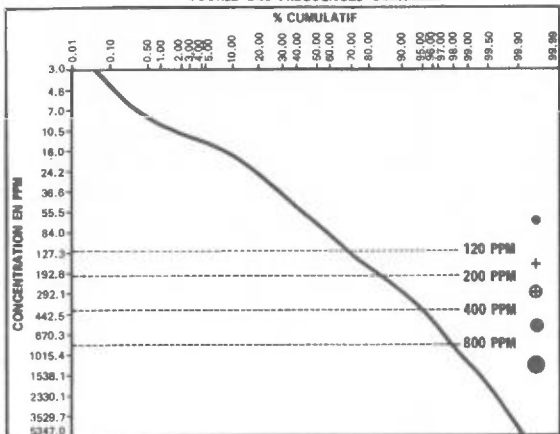
Carte géochimique No 1821



LÉGENDE

GÉOCHIMIE

COURBE DES FRÉQUENCES CUMULÉES



LA CLASSE SUPÉRIEURE EST SUBDIVISÉE GÉOMETRIQUEMENT

① 801 - 1600 ② 1601 - 3200 ③ 3201 - 6400 ④ 6401 - 12800 ⑤ 12801 - 25000 PPM

LITHOLOGIE SIMPLIFIÉE

- 14 Sable et gravier
- S "Sandstone" FM-Sakami
- 13 Dyke de diabase
- 12 Dyke de pegmatite
- 11 Granite
- 10 Quartz-diorite
- 9 Migmatite
- 8 Granite migmatitique
- 7 Formation de fer
- 6 Roche métasédimentaire
- 5 Tuf rhyolitique
- 4 Lave intermédiaire
- 3 Roche ultrabasique
- 2A Amphibolite
- 2 Lave basique
- 1 Gneiss non différencié

Contact ———
Faille - - - - -

ÉCHELLE 1:125,000



SERVICE DES GÎTES MINÉRAUX

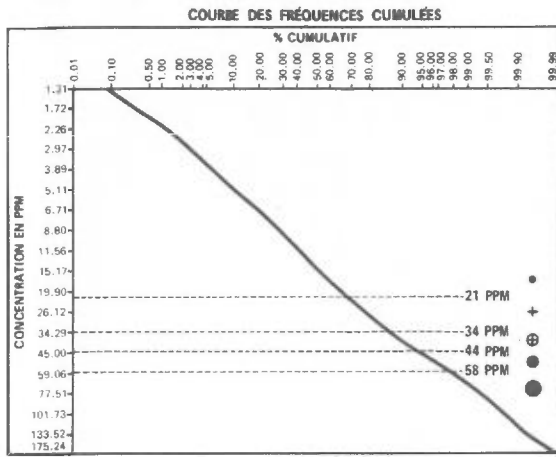
DIVISION DE LA GÉOCHIMIE
G.H. COCKBURN

Carte géochimique No 1821



LÉGENDE

GÉOCHIMIE



LITHOLOGIE SIMPLIFIÉE

- 14 Sable et gravier
- S "Sandstone" FM-Sakami
- 13 Dyke de diabase
- 12 Dyke de pegmatite
- 11 Granite
- 10 Quartz-diorite
- 9 Migmatite
- 8 Granite migmatitique
- 7 Formation de fer
- 6 Roche métasédimentaire
- 5 Tuf rhyolitique
- 4 Lave intermédiaire
- 3 Roche ultrabasique
- 2A Amphibolite
- 2 Lave basique
- 1 Gneiss non différencié

Contact ———
 Faille - - - - -

ÉCHELLE 1:125,000



SERVICE DES GÎTES MINÉRAUX

DIVISION DE LA GÉOCHIMIE
 G.H. COCKBURN

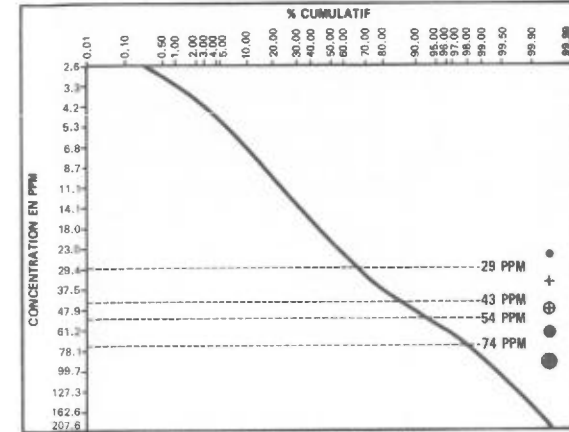
Carte géochimique No 1821



LÉGENDE

GÉOCHIMIE

COURBE DES FRÉQUENCES CUMULÉES



LA CLASSE SUPÉRIEURE EST SUBDIVISÉE GÉOMÉTRIQUEMENT

① 75 - 150 ② 151 - 300 ③ 301 - 600 PPM

LITHOLOGIE SIMPLIFIÉE

- 14 Sable et gravier
- S "Sandstone" FM-Sakami
- 13 Dyke de diabase
- 12 Dyke de pegmatite
- 11 Granite
- 10 Quartz-diorite
- 9 Migmatite
- 8 Granite migmatitique
- 7 Formation de fer
- 6 Roche métasédimentaire
- 5 Tuf rhyolitique
- 4 Lave intermédiaire
- 3 Roche ultrabasique
- 2A Amphibolite
- 2 Lave basique
- 1 Gneiss non différencié

Contact ———
Faille - - - - -

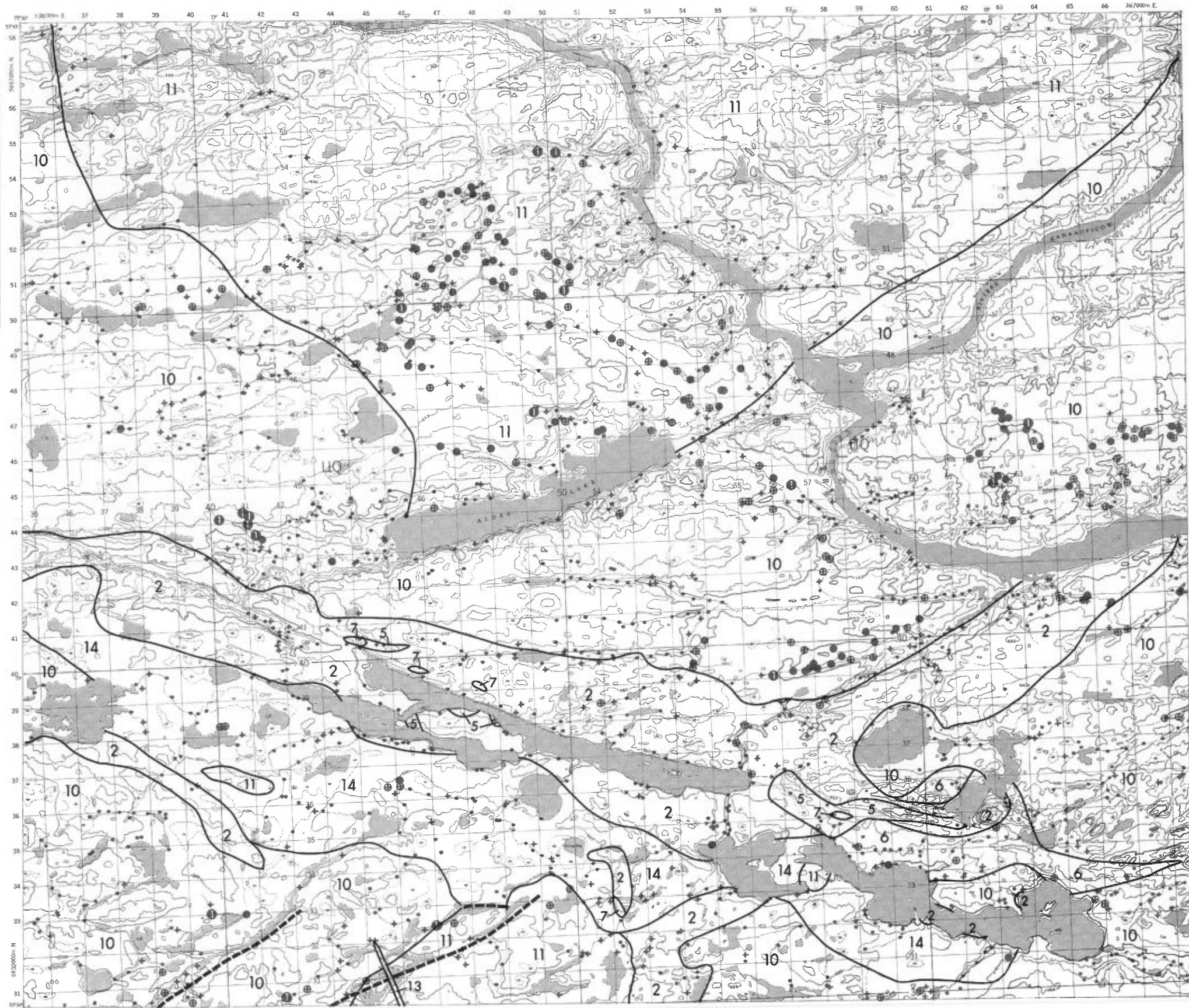
ÉCHELLE 1:125,000



SERVICE DES GÎTES MINÉRAUX

DIVISION DE LA GÉOCHIMIE
G.H. COCKBURN

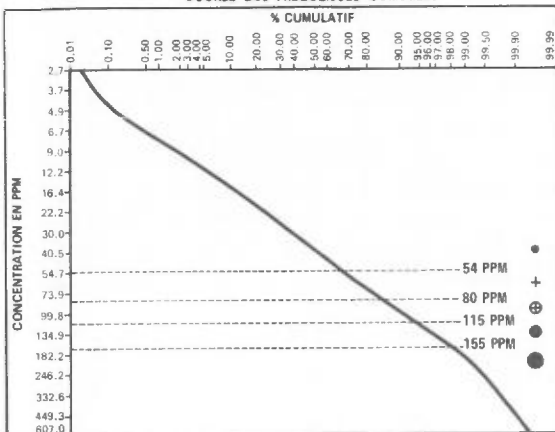
Carte géochimique No 1821



LÉGENDE

GÉOCHIMIE

COURBE DES FREQUENCES CUMULÉES



LA CLASSE SUPÉRIEURE EST SUBDIVISÉE GÉOMÉTRIQUEMENT

① 156 - 300 ② 301 - 600 ③ 601 - 1200 PPM

LITHOLOGIE SIMPLIFIÉE

- 14 Sable et gravier
- S "Sandstone" FM-Sakami
- 13 Dyke de diabase
- 12 Dyke de pegmatite
- 11 Granite
- 10 Quartz-diorite
- 9 Migmatite
- 8 Granite migmatitique
- 7 Formation de fer
- 6 Roche métasédimentaire
- 5 Tuf rhyolitique
- 4 Lave intermédiaire
- 3 Roche ultrabasique
- 2A Amphibolite
- 2 Lave basique
- 1 Gneiss non différencié

Contact ———
Faille - - - - -

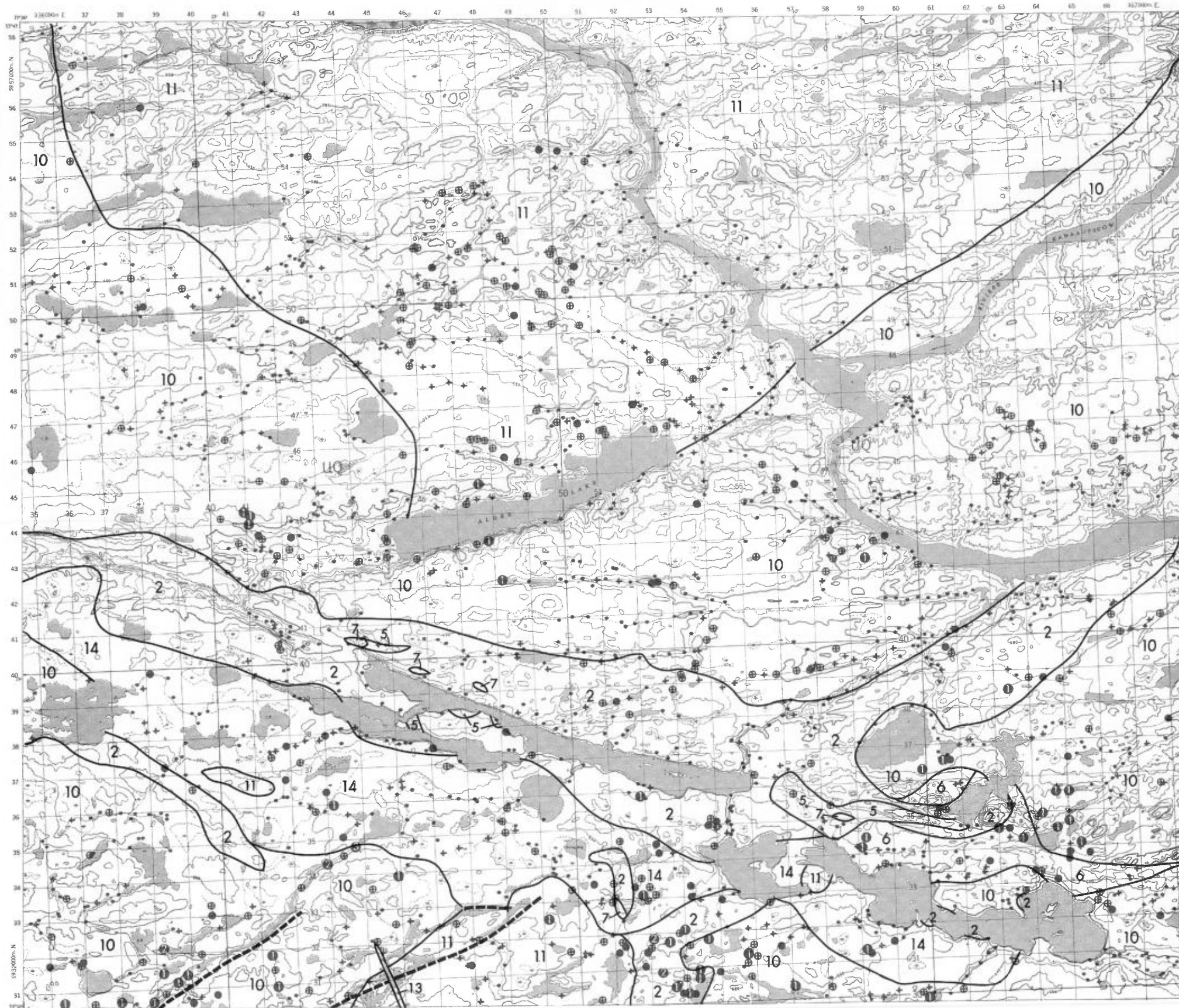
ÉCHELLE 1:125,000



SERVICE DES GÎTES MINÉRAUX

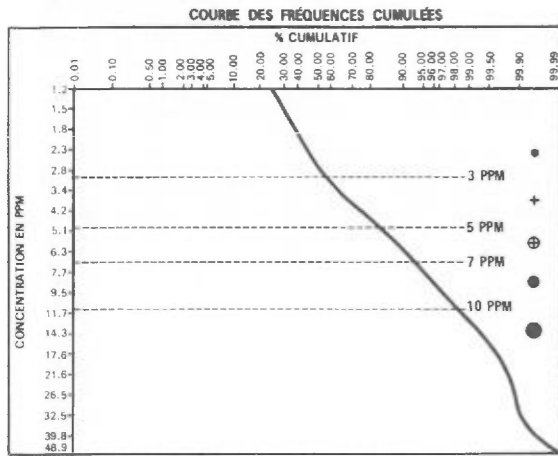
DIVISION DE LA GÉOCHIMIE
G.H. COCKBURN

Carte géochimique No 1821



LÉGENDE

GÉOCHIMIE

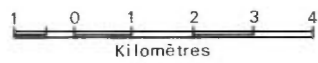


LITHOLOGIE SIMPLIFIÉE

- 14 Sable et gravier
- S "Sandstone" FM-Sakami
- 13 Dyke de diabase
- 12 Dyke de pegmatite
- 11 Granite
- 10 Quartz-diorite
- 9 Migmatite
- 8 Granite migmatitique
- 7 Formation de fer
- 6 Roche métasédimentaire
- 5 Tuf rhyolitique
- 4 Lave intermédiaire
- 3 Roche ultrabasique
- 2A Amphibolite
- 2 Lave basique
- 1 Gneiss non différencié

- Contact ———
- Faille - - - - -

ÉCHELLE 1:125,000



SERVICE DES GÎTES MINÉRAUX

DIVISION DE LA GÉOCHIMIE
G.H. COCKBURN

Carte géochimique No 1821

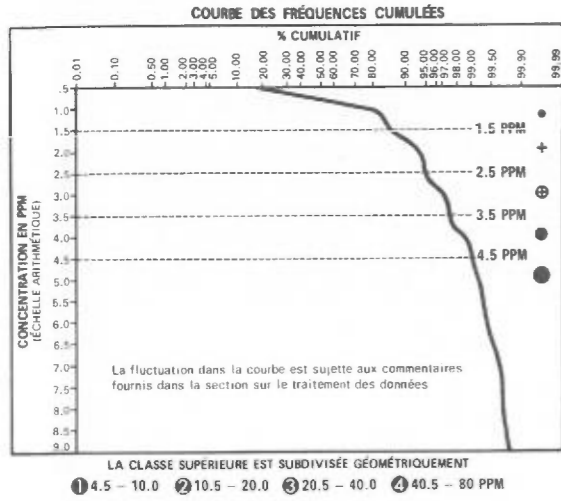


LAC ALDER

RÉGION DE LA GRANDE RIVIÈRE

LÉGENDE

GÉOCHIMIE



LITHOLOGIE SIMPLIFIÉE

- 14 Sable et gravier
- S "Sandstone" FM-Sakami
- 13 Dyke de diabase
- 12 Dyke de pegmatite
- 11 Granite
- 10 Quartz-diorite
- 9 Migmatite
- 8 Granite migmatitique
- 7 Formation de fer
- 6 Roche métasédimentaire
- 5 Tuf rhyolitique
- 4 Lave intermédiaire
- 3 Roche ultrabasique
- 2A Amphibolite
- 2 Lave basique
- 1 Gneiss non différencié

- Contact ———
- Faillle - - - - -

ÉCHELLE 1:125,000



SERVICE DES GÎTES MINÉRAUX

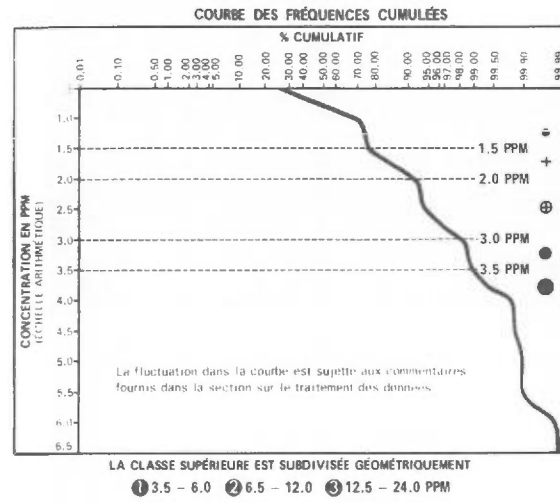
DIVISION DE LA GÉOCHIMIE
 G.H. COCKBURN

Carte géochimique No 1821



LÉGENDE

GÉOCHIMIE

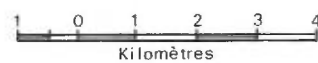


LITHOLOGIE SIMPLIFIÉE

- 14 Sable et gravier
- S "Sandstone" FM-Sakami
- 13 Dyke de diabase
- 12 Dyke de pegmatite
- 11 Granite
- 10 Quartz-diorite
- 9 Migmatite
- 8 Granite migmatitique
- 7 Formation de fer
- 6 Roche métasédimentaire
- 5 Tuf rhyolitique
- 4 Lave intermédiaire
- 3 Roche ultrabasique
- 2A Amphibolite
- 2 Lave basique
- 1 Gneiss non différencié

Contact ———
Faille - - - - -

ÉCHELLE 1:125,000



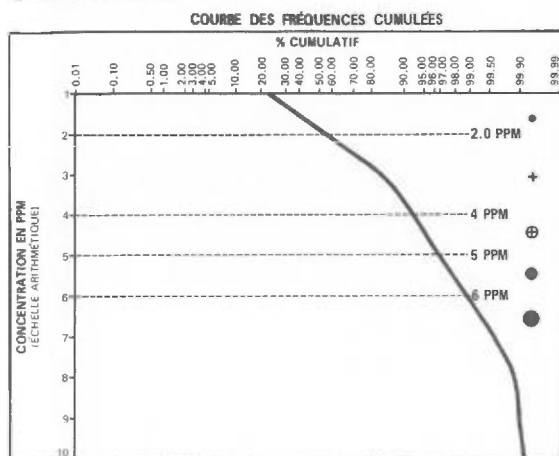
SERVICE DES GÎTES MINÉRAUX
DIVISION DE LA GÉOCHIMIE
G.H. COCKBURN

Carte géochimique No 1821



LÉGENDE

GÉOCHIMIE



LITHOLOGIE SIMPLIFIÉE

- 14 Sable et gravier
- S "Sandstone" FM-Sakami
- 13 Dyke de diabase
- 12 Dyke de pegmatite
- 11 Granite
- 10 Quartz-diorite
- 9 Migmatite
- 8 Granite migmatitique
- 7 Formation de fer
- 6 Roche métasédimentaire
- 5 Tuf rhyolitique
- 4 Lave intermédiaire
- 3 Roche ultrabasique
- 2A Amphibolite
- 2 Lave basique
- 1 Gneiss non différencié

- Contact —————
- Faïlle - - - - -

ÉCHELLE 1:125,000



SERVICE DES GÎTES MINÉRAUX

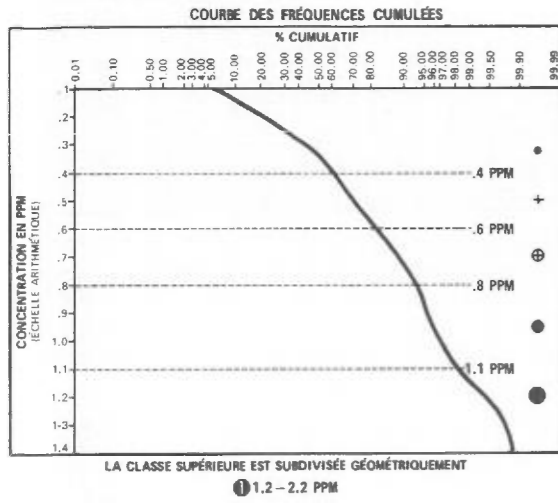
DIVISION DE LA GÉOCHIMIE
G.H. COCKBURN

Carte géochimique No 1821



LÉGENDE

GÉOCHIMIE



LITHOLOGIE SIMPLIFIÉE

- 14 Sable et gravier
- 8 "Sandstone" FM-Sakami
- 13 Dyke de diabase
- 12 Dyke de pegmatite
- 11 Granite
- 10 Quartz-diorite
- 9 Migmatite
- 8 Granite migmatitique
- 7 Formation de fer
- 6 Roche métasédimentaire
- 5 Tuf rhyolitique
- 4 Lave intermédiaire
- 3 Roche ultrabasique
- 2A Amphibolite
- 2 Lave basique
- 1 Gneiss non différencié

- Contact ———
- Faillle - - - - -

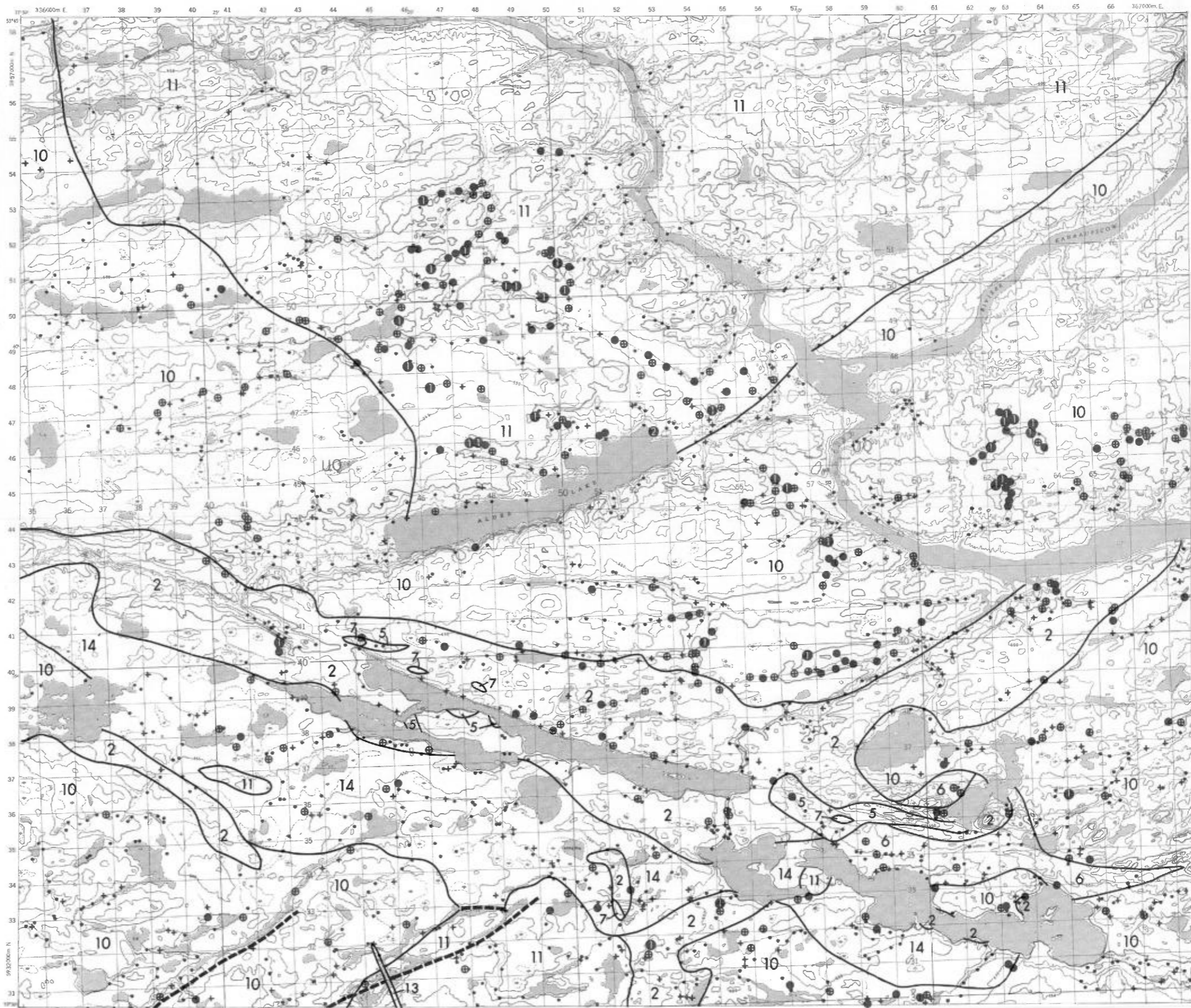
ÉCHELLE 1:125,000



SERVICE DES GÎTES MINÉRAUX

DIVISION DE LA GÉOCHIMIE
G.H. COCKBURN

Carte géochimique No 1821

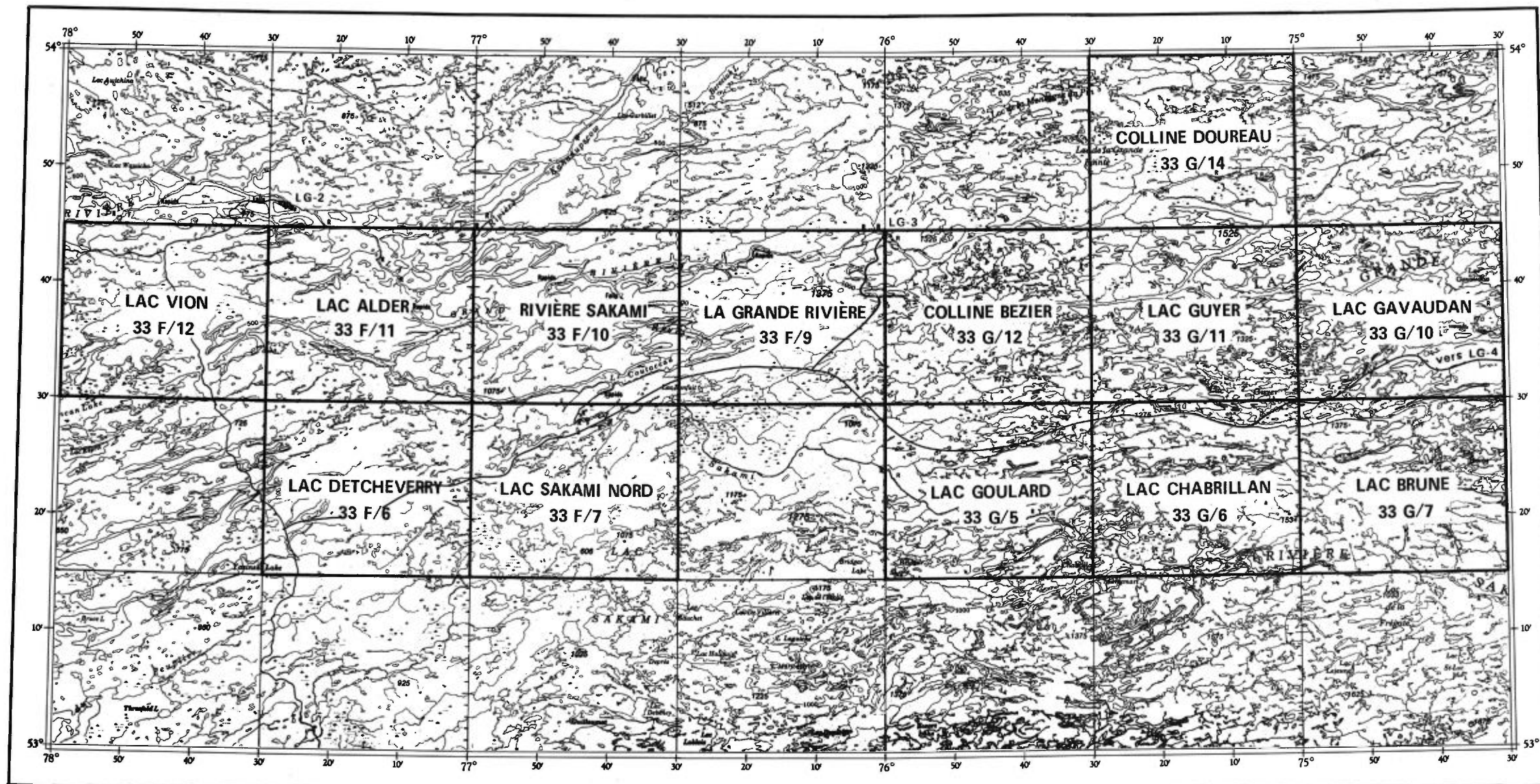


	Cu	Zn	Pb	Ni	Co	Cr	V	Sn	Mo	U	Mn	Ag	Li	Ba	Cs	UTM ZONE 18	
	ppm	ppm	ppm	ppm	ppm	ppm	ppm	ppm	ppm	ppm	ppm	ppm	ppm	ppm	ppm	E	N
73-09873	50	70	32	44	32	54	55	3.0	2.0	10	320	1.1	5	70	1.0	362639.0	5943857.0
74-20036	18	50	11*	27	17	—	—	3.0	—	4.0	280	0.3	—	—	—	362614.1	5943814.8
74-20037	17	54	10*	30	16	—	—	—	—	5.0	246	0.4	—	—	—	362621.1	5943955.6
74-20038	5	16	4*	9	6	—	—	2.0	—	1.0	64	0.2	—	—	—	362418.8	5944240.3
74-20039	4	10	2*	5	3	—	—	3.0	—	1.0	28	0.1	—	—	—	362490.3	5944309.8
74-20040	14	26	5*	15	10	—	—	2.0	—	3.0	162	0.2	—	—	—	362487.5	5945180.5
74-20047	27	52	15*	30	20	—	—	5.0	—	6.0	428	0.3	—	—	—	367690.5	5945449.2
74-20048	22	40	13*	24	19	—	—	4.0	—	5.0	470	0.2	—	—	—	367355.6	5945615.0
74-20049	9	32	8*	16	10	—	—	4.0	—	1.0	172	0.2	—	—	—	367551.0	5945904.1
74-20050	17	40	10*	22	13	—	—	4.0	—	3.0	248	0.3	—	—	—	367009.5	5946052.8
74-20051	15	46	10*	24	15	—	—	—	—	3.0	276	0.4	—	—	—	367044.2	5945659.7
73-09814	23	66	25	40	22	28	24	2.0	1.0	6.0	210	0.8	3.0	52	1.0	366573.0	5945619.0
74-20052	18	40	11*	23	13	—	—	3.0	—	3.0	264	0.3	—	—	—	366540.5	5945631.6
74-20053	27	58	16*	33	23	—	—	5.0	—	7.0	532	0.4	—	—	—	366054.2	5945412.0
74-20054	19	66	12*	35	17	—	—	—	—	2.0	270	0.5	—	—	—	366204.6	5945369.5
73-09007	27	56	23	34	22	41	39	3.0	1.0	4.0	280	0.8	8	62	1.0	365921.0	5944391.0
74-20055	13	26	9*	16	12	—	—	4.0	—	2.0	312	0.2	—	—	—	365909.2	5944412.4
74-20056	21	60	20*	32	18	—	—	—	—	3.0	324	0.5	—	—	—	361511.7	5944872.2
74-20057	20	76	13*	38	17	—	—	5.0	—	2.0	260	0.6	—	—	—	361866.9	5945073.5
73-09862	41	94	30	46	6	—	—	4.0	—	5.0	201	1.5	7	104	—	362155.0	5945723.5
74-20060	24	80	14*	38	16	—	—	2.0	—	4.0	232	0.6	—	—	—	362812.9	5945769.9
74-20061	21	80	14*	39	21	—	—	4.0	—	3.0	282	0.5	—	—	—	362881.6	5946000.4
73-09859	17	78	20	34	16	62	45	3.0	1.0	3.0	100	1.2	4	76	2.0	362621.0	5946238.0
74-20062	16	68	15*	33	15	—	—	4.0	—	3.0	208	0.5	—	—	—	362623.6	5946265.8
74-20063	26	56	18*	25	11	—	—	—	—	—	144	0.4	—	—	—	362898.6	5946136.0
74-20064	18	50	16*	22	11	—	—	4.0	—	2.0	142	0.4	—	—	—	363075.5	5946188.9
74-20065	24	80	13*	42	19	—	—	—	—	3.0	280	0.5	—	—	—	363252.0	5945854.2
74-20066	18	58	10*	30	14	—	—	3.0	—	3.0	200	0.5	—	—	—	363290.4	5945722.8
74-20067	41	66	12*	37	13	—	—	4.0	—	4.0	142	0.7	—	—	—	363609.3	5945139.5

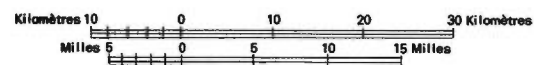
* : corrigé pour absorbance non-spécifique

— : non-analysé

TABLEAU 6 – RÉSULTATS D'ANALYSE DE L'AIRE ANNOTÉE (33 F/11)

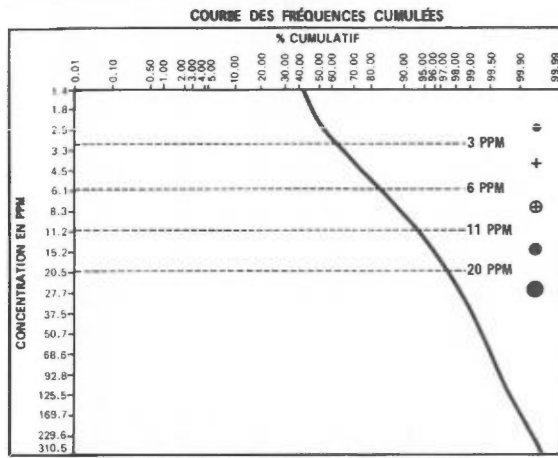


**INDEX DES CARTES GÉOCHIMIQUES
RÉGION DE LA GRANDE RIVIÈRE**



LÉGENDE

GÉOCHIMIE



LITHOLOGIE SIMPLIFIÉE

- 14 Sable et gravier
- S "Sandstone" FM-Sakami
- 13 Dyke de diabase
- 12 Dyke de pegmatite
- 11 Granite
- 10 Quartz-diorite
- 9 Migmatite
- 8 Granite migmatitique
- 7 Formation de fer
- 6 Roche métasédimentaire
- 5 Tuf rhyolitique
- 4 Lave intermédiaire
- 3 Roche ultrabasique
- 2A Amphibolite
- 2 Lave basique
- 1 Gneiss non différencié

Contact ———
Faille - - - - -

ÉCHELLE 1:125,000



SERVICE DES GÎTES MINÉRAUX

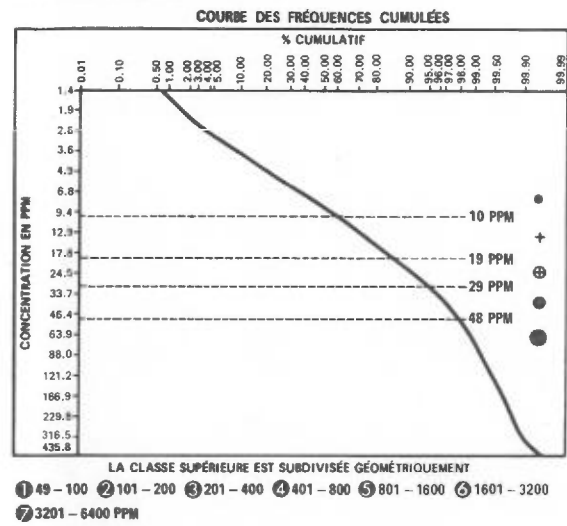
DIVISION DE LA GÉOCHIMIE
G.H. COCKBURN

Carte géochimique No 1820



LÉGENDE

GÉOCHIMIE

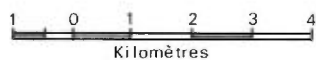


LITHOLOGIE SIMPLIFIÉE

- 14 Sable et gravier
- S "Sandstone" FM-Sakami
- 13 Dyke de diabase
- 12 Dyke de pegmatite
- 11 Granite
- 10 Quartz-diorite
- 9 Migmatite
- 8 Granite migmatitique
- 7 Formation de fer
- 6 Roche métasédimentaire
- 5 Tuf rhyolitique
- 4 Lave intermédiaire
- 3 Roche ultrabasique
- 2A Amphibolite
- 2 Lave basique
- 1 Gneiss non différencié

Contact ———
Faille - - - - -

ÉCHELLE 1:125,000



SERVICE DES GÎTES MINÉRAUX

DIVISION DE LA GÉOCHIMIE
G.H. COCKBURN

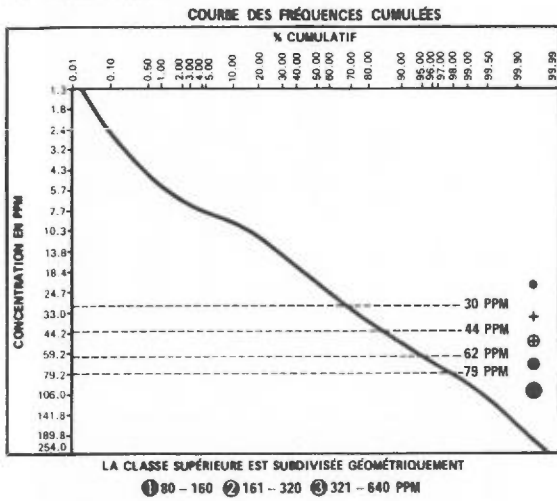
Carte géochimique No 1820



LAC VION
 RÉGION DE LA GRANDE RIVIÈRE

LÉGENDE

GÉOCHIMIE



LITHOLOGIE SIMPLIFIÉE

- 14 Sable et gravier
- S "Sandstone" FM-Sakami
- 13 Dyke de diabase
- 12 Dyke de pegmatite
- 11 Granite
- 10 Quartz-diorite
- 9 Migmatite
- 8 Granite migmatitique
- 7 Formation de fer
- 6 Roche métasédimentaire
- 5 Tuf rhyolitique
- 4 Lave intermédiaire
- 3 Roche ultrabasique
- 2A Amphibolite
- 2 Lave basique
- 1 Gneiss non différencié



Contact ———
 Faille - - - - -

ÉCHELLE 1:125,000



SERVICE DES GÎTES MINÉRAUX

DIVISION DE LA GÉOCHIMIE
 G.H. COCKBURN

Carte géochimique No 1820

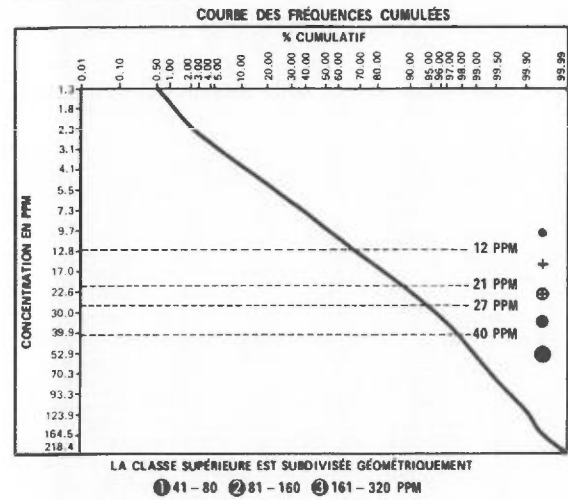


LAC VION

RÉGION DE LA GRANDE RIVIÈRE

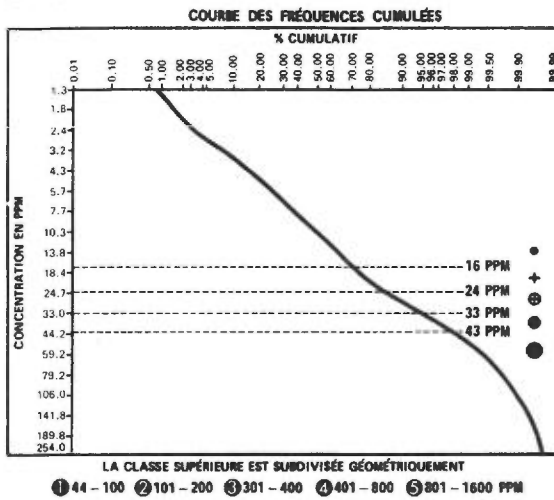
LÉGENDE

GÉOCHIMIE



LÉGENDE

GÉOCHIMIE



LITHOLOGIE SIMPLIFIÉE

- 14 Sable et gravier
- S "Sandstone" FM-Sakami
- 13 Dyke de diabase
- 12 Dyke de pegmatite
- 11 Granite
- 10 Quartz-diorite
- 9 Migmatite
- 8 Granite migmatitique
- 7 Formation de fer
- 6 Roche métasédimentaire
- 5 Tuf rhyolitique
- 4 Lave intermédiaire
- 3 Roche ultrabasique
- 2A Amphibolite
- 2 Lave basique
- 1 Gneiss non différencié

Contact ———
Faille - - - - -

ÉCHELLE 1:125,000



SERVICE DES GÎTES MINÉRAUX
DIVISION DE LA GÉOCHIMIE
G.H. COCKBURN

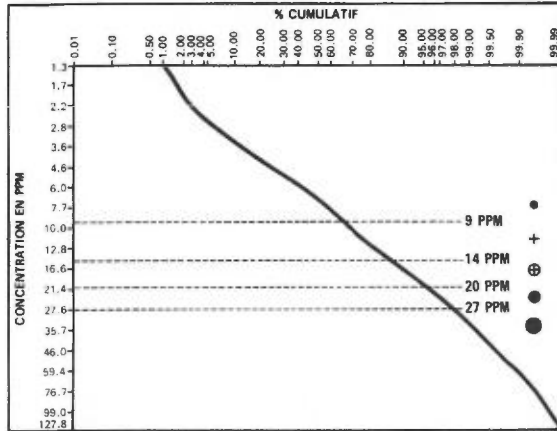
Carte géochimique No 1820



LÉGENDE

GÉOCHIMIE

COURBE DES FRÉQUENCES CUMULÉES



LA CLASSE SUPÉRIEURE EST SUBDIVISÉE GÉOMÉTRIQUEMENT

① 28 - 60 ② 61 - 120 ③ 121 - 240 PPM

LITHOLOGIE SIMPLIFIÉE

- 14 Sable et gravier
- S "Sandstone" FM-Sakami
- 13 Dyke de diabase
- 12 Dyke de pegmatite
- 11 Granite
- 10 Quartz-diorite
- 9 Migmatite
- 8 Granite migmatitique
- 7 Formation de fer
- 6 Roche métasédimentaire
- 5 Tuf rhyolitique
- 4 Lave intermédiaire
- 3 Roche ultrabasique
- 2A Amphibolite
- 2 Lave basique
- 1 Gneiss non différencié



Contact ———
Faille - - - - -

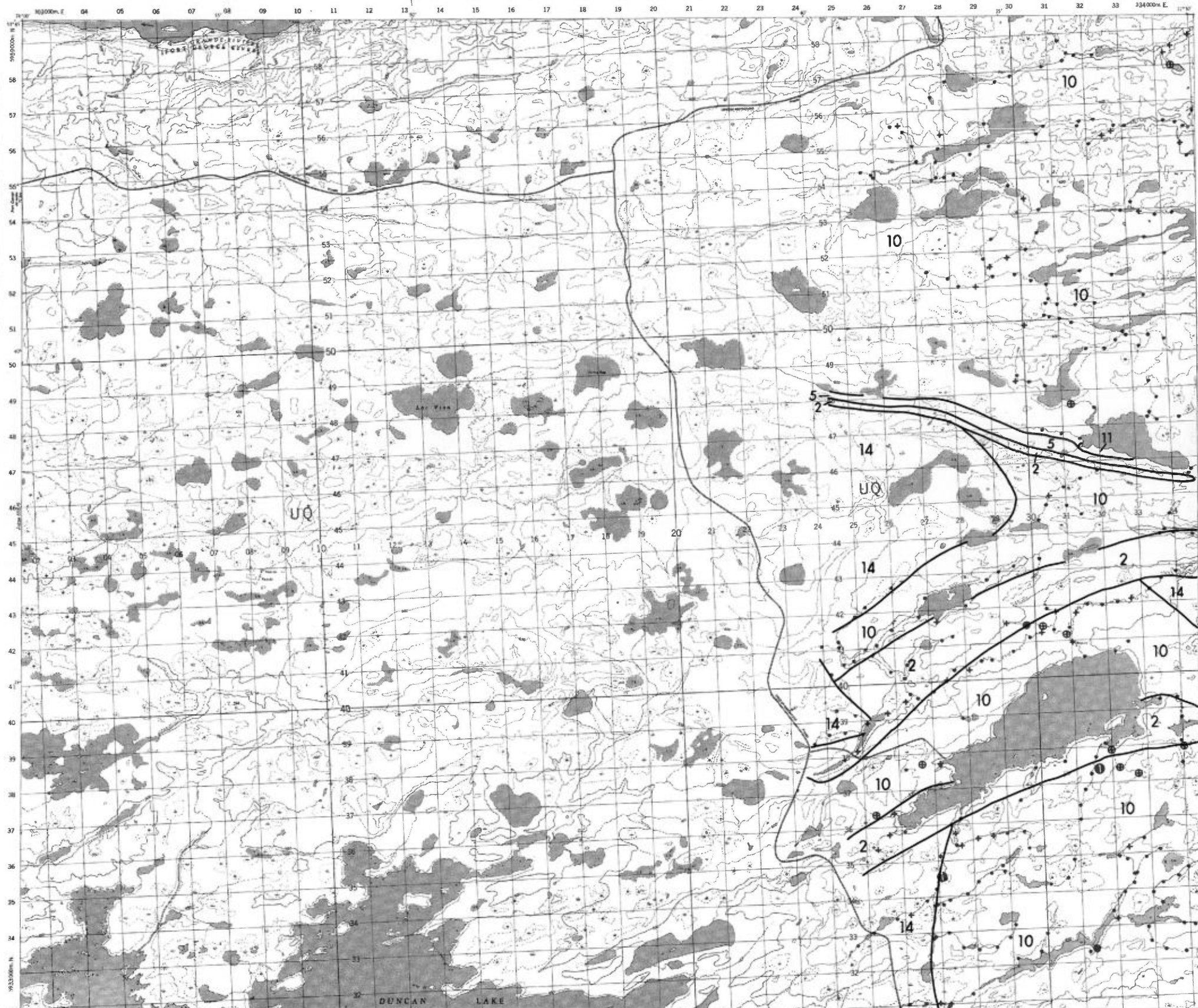
ÉCHELLE 1:125,000



SERVICE DES GÎTES MINÉRAUX

DIVISION DE LA GÉOCHIMIE
G.H. COCKBURN

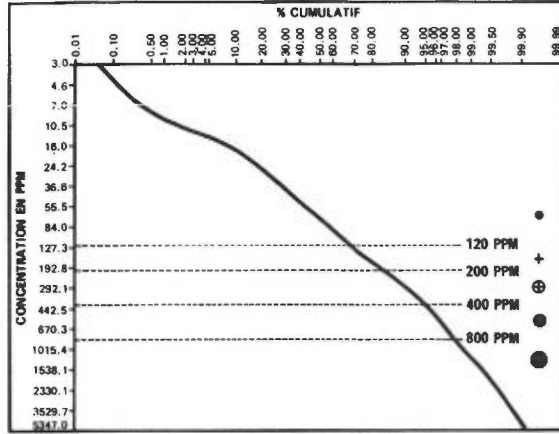
Carte géochimique No 1820



LÉGENDE

GÉOCHIMIE

COURBE DES FRÉQUENCES CUMULÉES



LA CLASSE SUPÉRIEURE EST SUBDIVISÉE GÉOMETRIQUEMENT

- 1 801 - 1600
- 2 1601 - 3200
- 3 3201 - 6400
- 4 6401 - 12800
- 5 12801 - 25000 PPM

LITHOLOGIE SIMPLIFIÉE

- 14 Sable et gravier
- S "Sandstone" FM-Sakami
- 13 Dyke de diabase
- 12 Dyke de pegmatite
- 11 Granite
- 10 Quartz-diorite
- 9 Migmatite
- 8 Granite migmatitique
- 7 Formation de fer
- 6 Roche métasédimentaire
- 5 Tuf rhyolitique
- 4 Lave intermédiaire
- 3 Roche ultrabasique
- 2A Amphibolite
- 2 Lave basique
- 1 Gneiss non différencié

Contact ———
Faille - - - - -

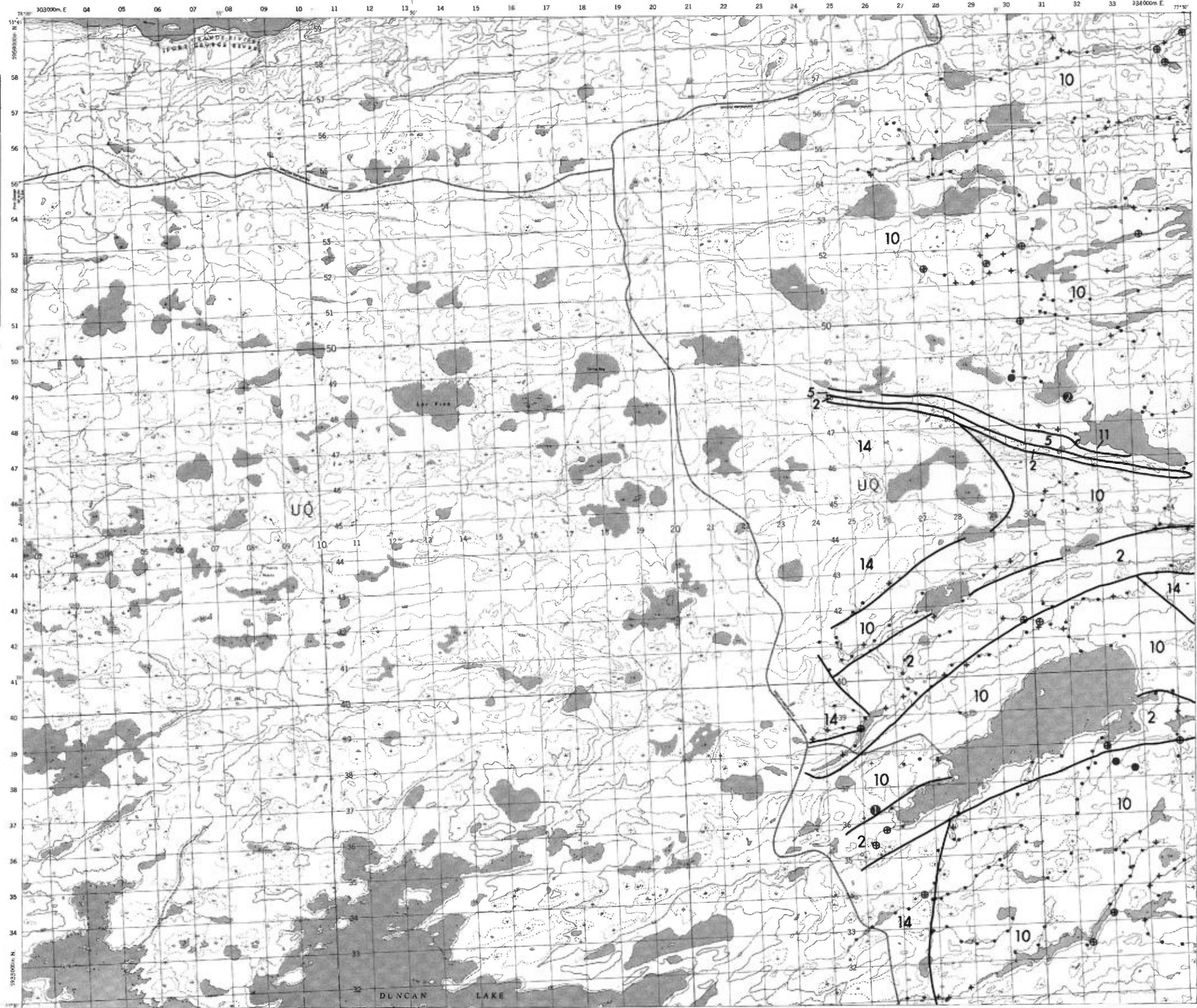
ÉCHELLE 1:125,000



SERVICE DES GÎTES MINÉRAUX

DIVISION DE LA GÉOCHIMIE
G.H. COCKBURN

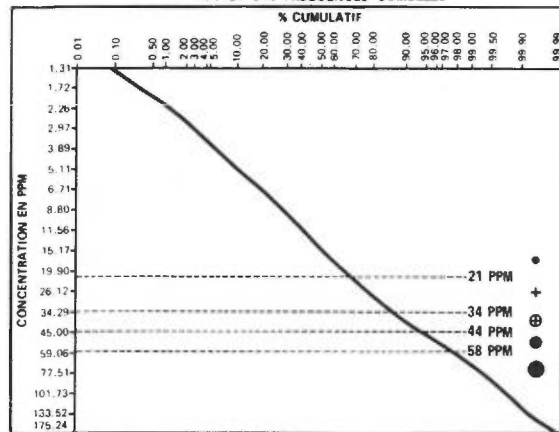
Carte géochimique No 1820



LÉGENDE

GÉOCHIMIE

COURBE DES FRÉQUENCES CUMULÉES



LA CLASSE SUPÉRIEURE EST SUBDIVISÉE GÉOMÉTRIQUEMENT

① 59 - 100 ② 101 - 200 ③ 201 - 400 PPM

LITHOLOGIE SIMPLIFIÉE

- 14 Sable et gravier
- S "Sandstone" FM-Sakami
- 13 Dyke de diabase
- 12 Dyke de pegmatite
- 11 Granite
- 10 Quartz-diorite
- 9 Migmatite
- 8 Granite migmatitique
- 7 Formation de fer
- 6 Roche métasédimentaire
- 5 Tuf rhyolitique
- 4 Lave intermédiaire
- 3 Roche ultrabasique
- 2A Amphibolite
- 2 Lave basique
- 1 Gneiss non différencié

Contact ———
Faille - - - - -

ÉCHELLE 1:125,000



SERVICE DES GÎTES MINÉRAUX

DIVISION DE LA GÉOCHIMIE
G.H. COCKBURN

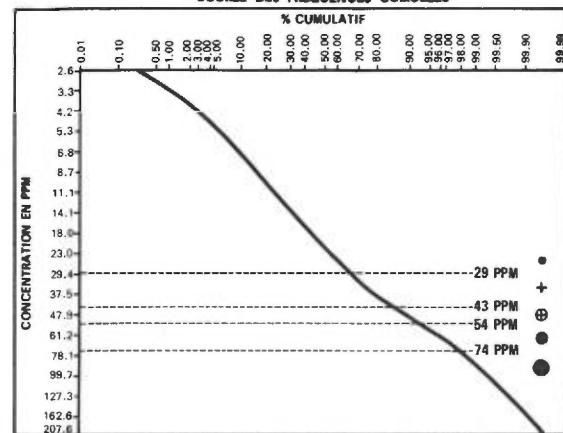
Carte géochimique No 1820



LÉGENDE

GÉOCHIMIE

COURSE DES FRÉQUENCES CUMULÉES



LA CLASSE SUPÉRIEURE EST SUBDIVISÉE GÉOMÉTRIQUEMENT

① 75 - 150 ② 151 - 300 ③ 301 - 600 PPM

LITHOLOGIE SIMPLIFIÉE

- 14 Sable et gravier
- S "Sandstone" FM-Sakami
- 13 Dyke de diabase
- 12 Dyke de pegmatite
- 11 Granite
- 10 Quartz-diorite
- 9 Migmatite
- 8 Granite migmatitique
- 7 Formation de fer
- 6 Roche métasédimentaire
- 5 Tuf rhyolitique
- 4 Lave intermédiaire
- 3 Roche ultrabasiq
- 2A Amphibolite
- 2 Lave basique
- 1 Gneiss non différencié

Contact ———
Faille - - - - -

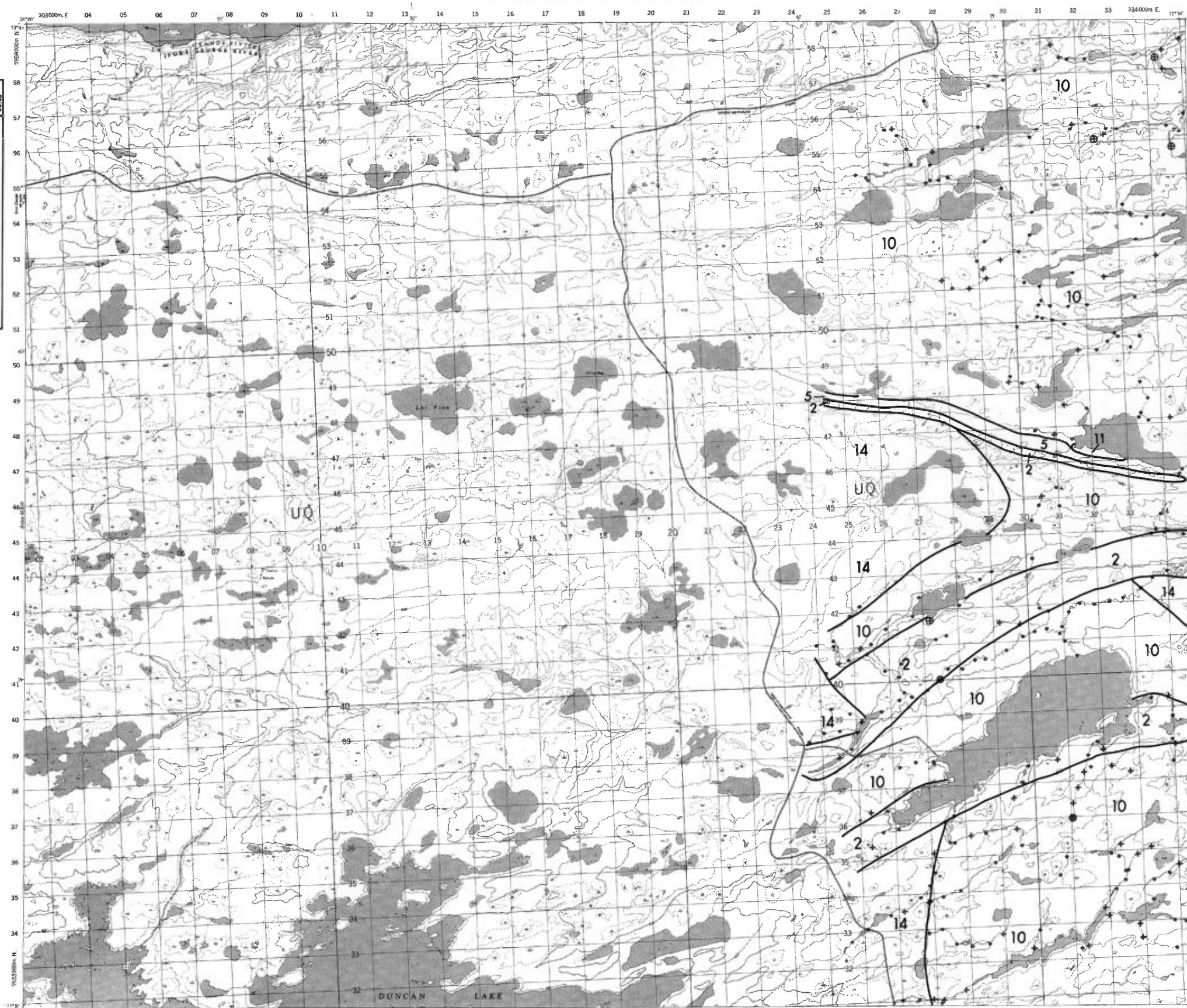
ÉCHELLE 1:125,000



SERVICE DES GÎTES MINÉRAUX

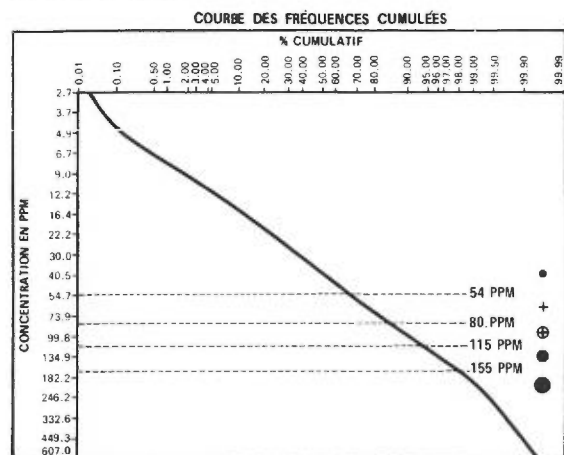
DIVISION DE LA GÉOCHIMIE
G.H. COCKBURN

Carte géochimique No 1820



LÉGENDE

GÉOCHIMIE



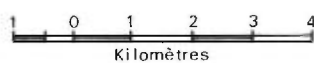
LITHOLOGIE SIMPLIFIÉE

- 14 Sable et gravier
- S "Sandstone" FM-Sakami
- 13 Dyke de diabase
- 12 Dyke de pegmatite
- 11 Granite
- 10 Quartz-diorite
- 9 Migmatite
- 8 Granite migmatitique
- 7 Formation de fer
- 6 Roche métasédimentaire
- 5 Tuf rhyolitique
- 4 Lave intermédiaire
- 3 Roche ultrabasique
- 2A Amphibolite
- 2 Lave basique
- 1 Gneiss non différencié



Contact ———
Faille - - - - -

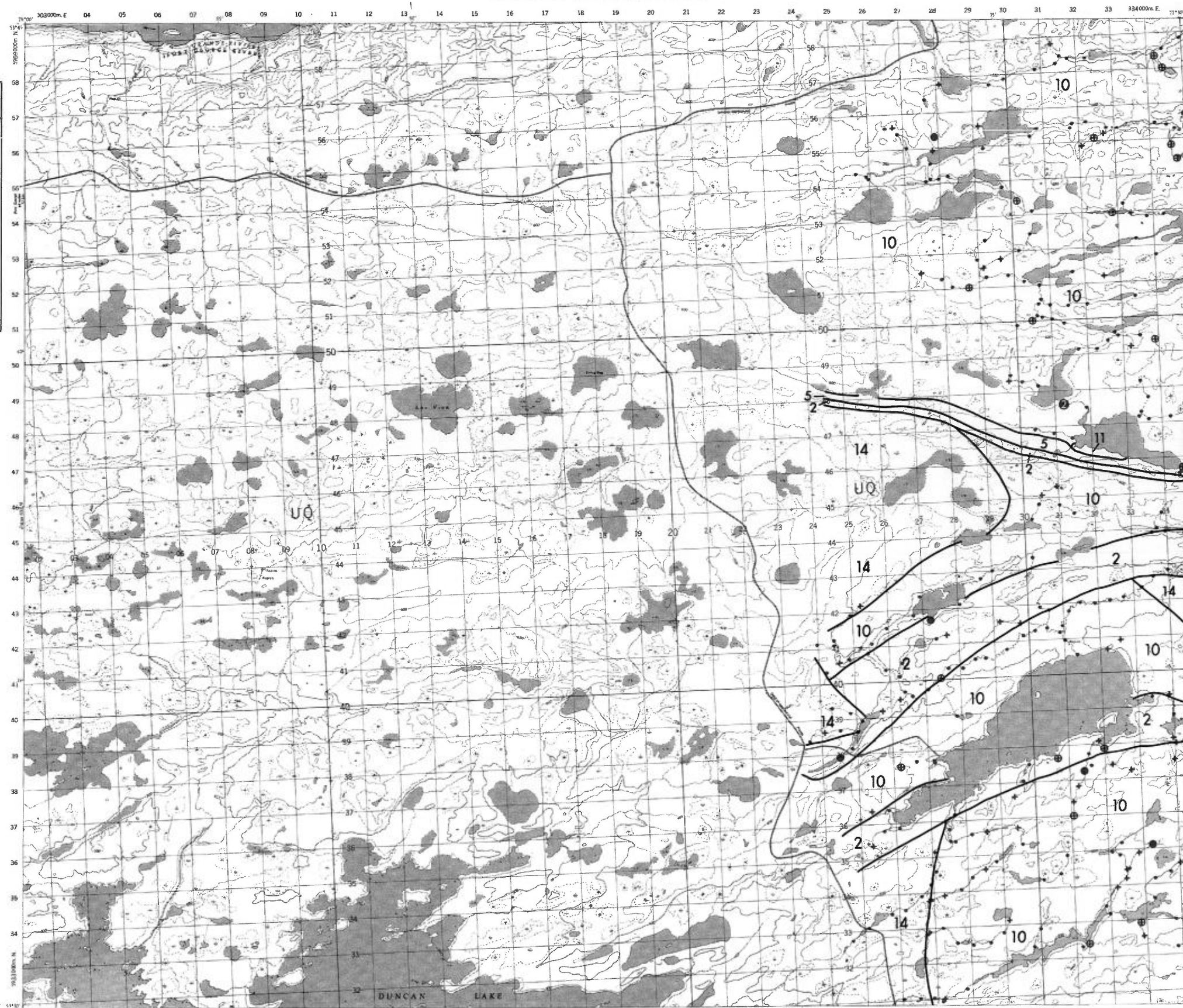
ÉCHELLE 1:125,000



SERVICE DES GÎTES MINÉRAUX

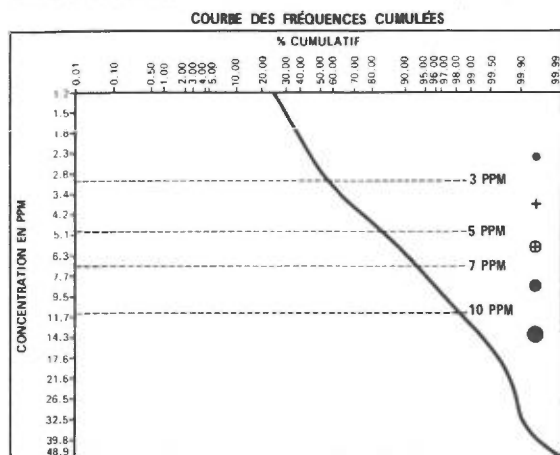
DIVISION DE LA GÉOCHIMIE
G.H. COCKBURN

Carte géochimique No 1820



LÉGENDE

GÉOCHIMIE

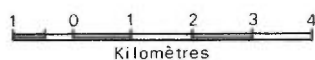


LITHOLOGIE SIMPLIFIÉE

- 14 Sable et gravier
- S "Sandstone" FM-Sakami
- 13 Dyke de diabase
- 12 Dyke de pegmatite
- 11 Granite
- 10 Quartz-diorite
- 9 Migmatite
- 8 Granite migmatitique
- 7 Formation de fer
- 6 Roche métasédimentaire
- 5 Tuf rhyolitique
- 4 Lave intermédiaire
- 3 Roche ultrabasique
- 2A Amphibolite
- 2 Lave basique
- 1 Gneiss non différencié

Contact ———
Faille - - - - -

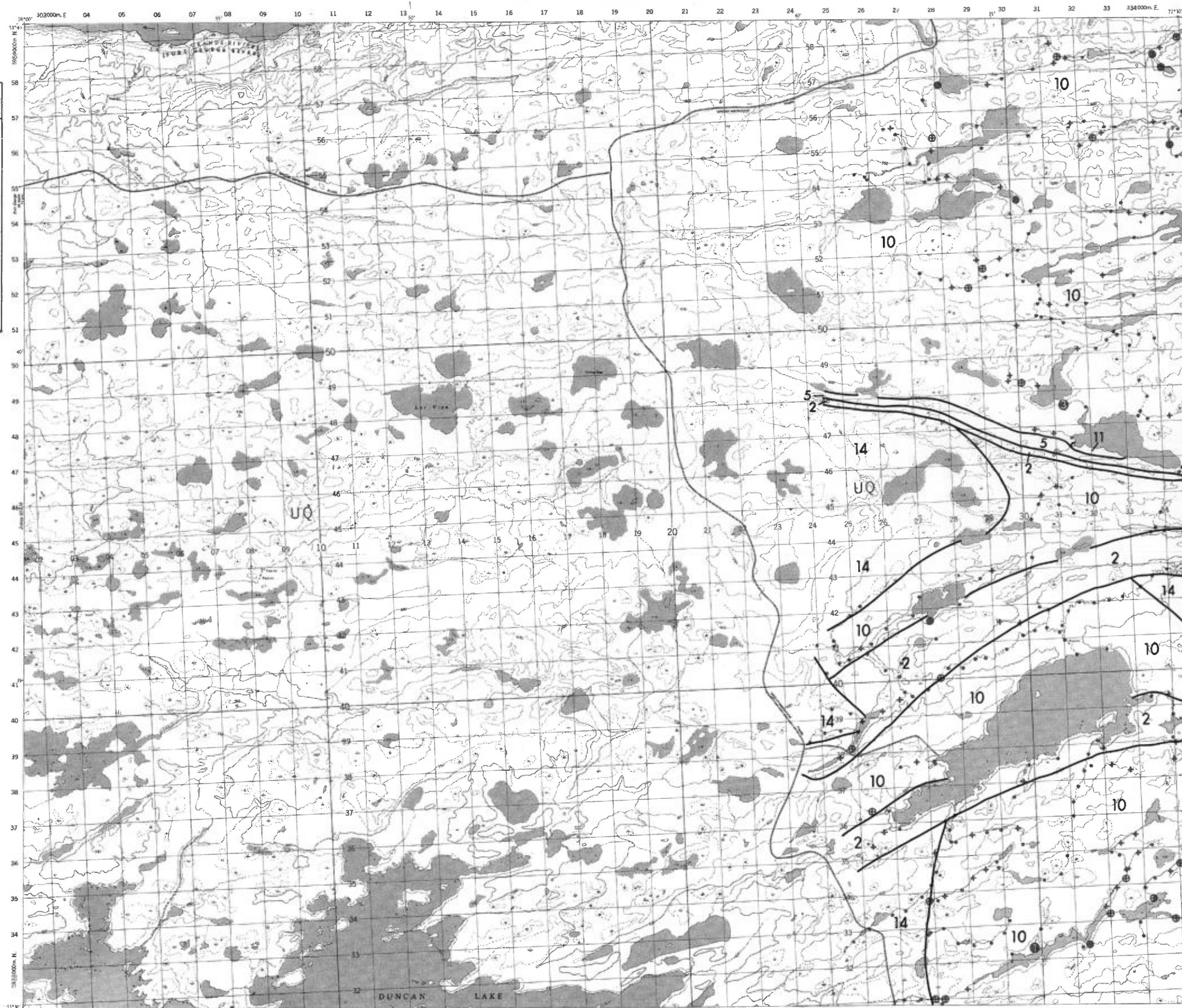
ÉCHELLE 1:125,000



SERVICE DES GÎTES MINÉRAUX

DIVISION DE LA GÉOCHIMIE
G.H. COCKBURN

Carte géochimique No 1820



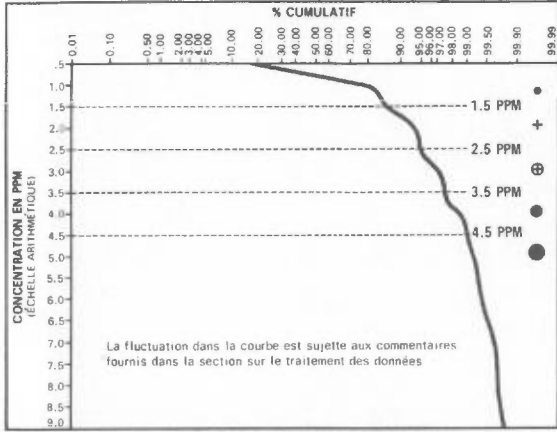
LAC VION

RÉGION DE LA GRANDE RIVIÈRE

LÉGENDE

GÉOCHIMIE

COURBE DES FRÉQUENCES CUMULÉES



LA CLASSE SUPÉRIEURE EST SUBDIVISÉE GÉOMÉTRIQUEMENT

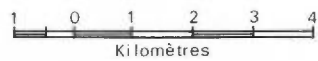
- ① 4.5 - 10.0 ② 10.5 - 20.0 ③ 20.5 - 40.0 ④ 40.5 - 80 PPM

LITHOLOGIE SIMPLIFIÉE

- 14 Sable et gravier
- S "Sandstone" FM-Sakami
- 13 Dyke de diabase
- 12 Dyke de pegmatite
- 11 Granite
- 10 Quartz-diorite
- 9 Migmatite
- 8 Granite migmatitique
- 7 Formation de fer
- 6 Roche métasédimentaire
- 5 Tuf rhyolitique
- 4 Lave intermédiaire
- 3 Roche ultrabasique
- 2A Amphibolite
- 2 Lave basique
- 1 Gneiss non différencié

- Contact ———
Faille - - - - -

ÉCHELLE 1:125,000



SERVICE DES GÎTES MINÉRAUX

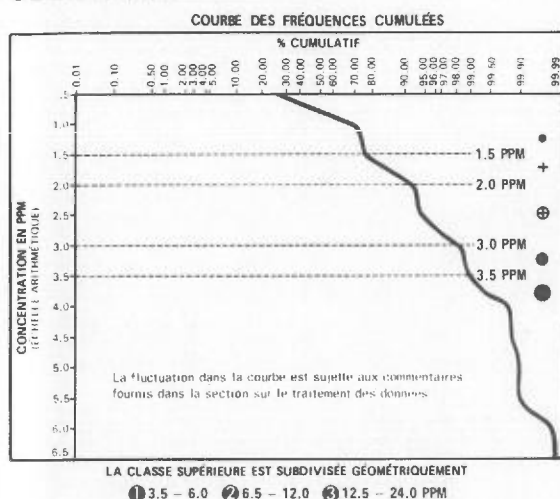
DIVISION DE LA GÉOCHIMIE
G.H. COCKBURN

Carte géochimique No 1820



LÉGENDE

GÉOCHIMIE

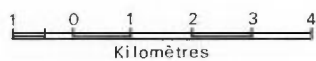


LITHOLOGIE SIMPLIFIÉE

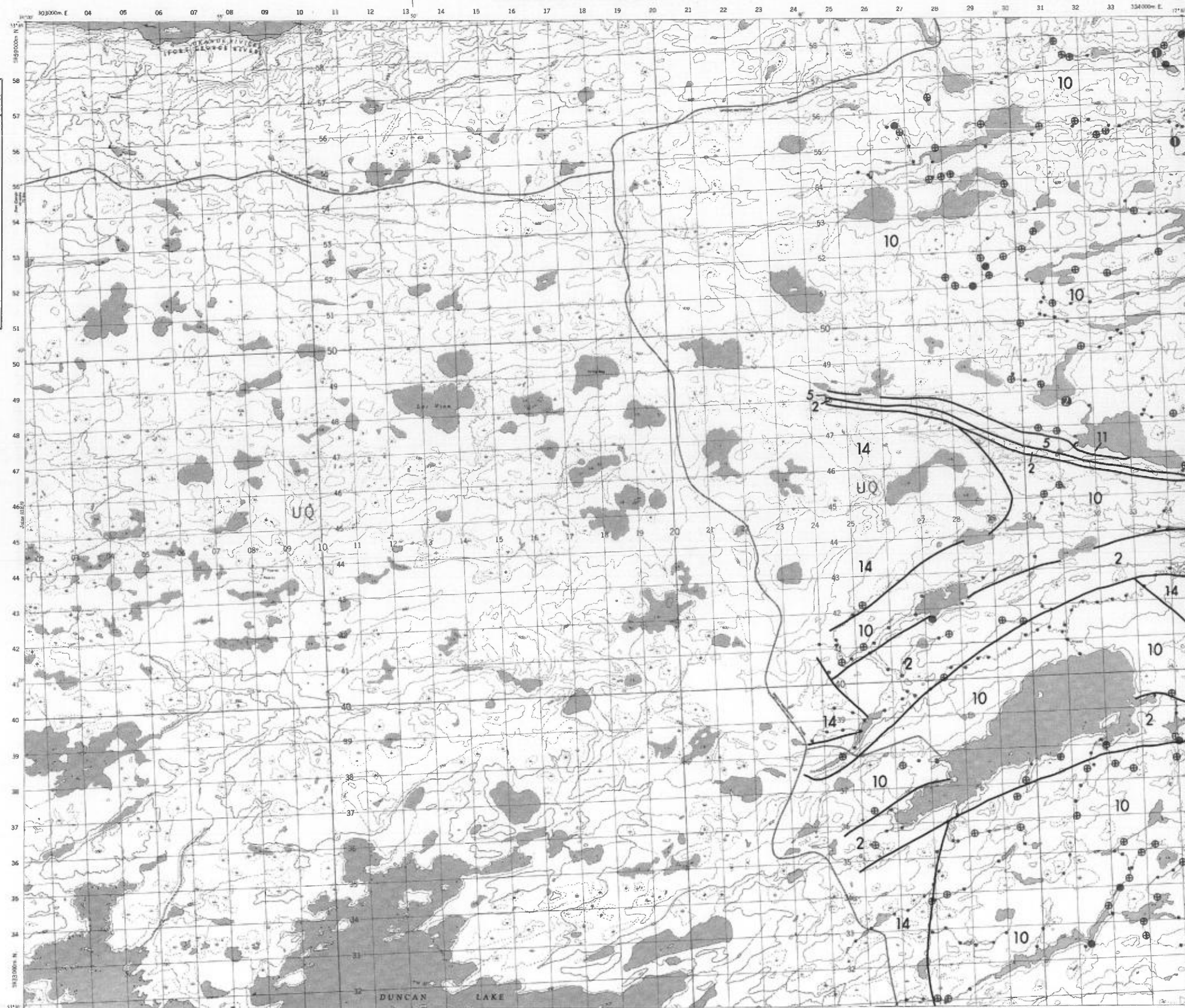
- 14 Sable et gravier
- S "Sandstone" FM-Sakami
- 13 Dyke de diabase
- 12 Dyke de pegmatite
- 11 Granite
- 10 Quartz-diorite
- 9 Migmatite
- 8 Granite migmatitique
- 7 Formation de fer
- 6 Roche métasédimentaire
- 5 Tuf rhyolitique
- 4 Lave intermédiaire
- 3 Roche ultrabasique
- 2A Amphibolite
- 2 Lave basique
- 1 Gneiss non différencié

Contact ———
Faille - - - - -

ÉCHELLE 1:125,000



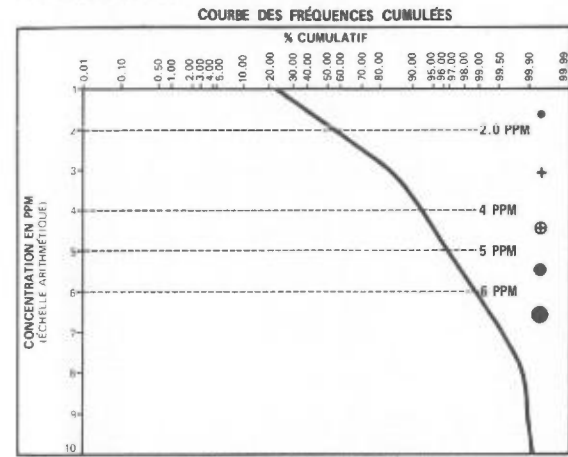
SERVICE DES GÎTES MINÉRAUX
DIVISION DE LA GÉOCHIMIE
G.H. COCKBURN
Carte géochimique No 1820



LAC VION
RÉGION DE LA GRANDE RIVIÈRE

LÉGENDE

GÉOCHIMIE



LA CLASSE SUPÉRIEURE EST SUBDIVISÉE GÉOMÉTRIQUEMENT
① 6-10 ② 11-20 ③ 21-40 PPM

LITHOLOGIE SIMPLIFIÉE

- 14 Sable et gravier
- S "Sandstone" FM-Sakami
- 13 Dyke de diabase
- 12 Dyke de pegmatite
- 11 Granite
- 10 Quartz-diorite
- 9 Migmatite
- 8 Granite migmatitique
- 7 Formation de fer
- 6 Roche métasédimentaire
- 5 Tuf rhyolitique
- 4 Lave intermédiaire
- 3 Roche ultrabasique
- 2A Amphibolite
- 2 Lave basique
- 1 Gneiss non différencié

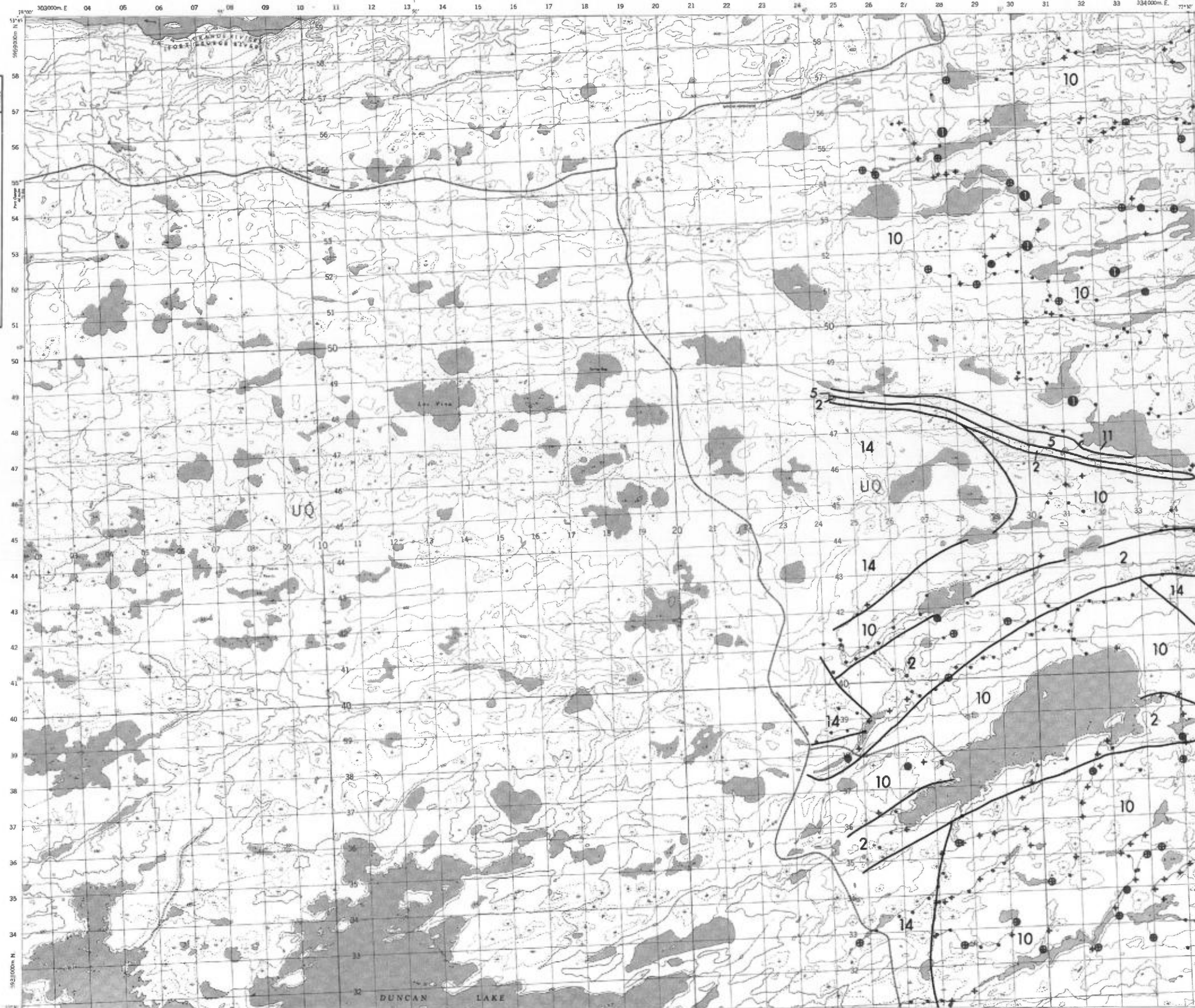
Contact ———
Faille - - - - -

ÉCHELLE 1:125,000



SERVICE DES GÎTES MINÉRAUX
DIVISION DE LA GÉOCHIMIE
G.H. COCKBURN

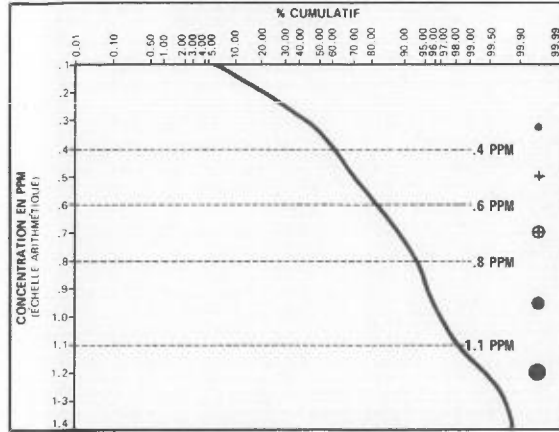
Carte géochimique No 1820



LÉGENDE

GÉOCHIMIE

COURBE DES FRÉQUENCES CUMULÉES



LA CLASSE SUPÉRIEURE EST SUBDIVISÉE GÉOMÉTRIQUEMENT
① 1.2 - 2.2 PPM

LITHOLOGIE SIMPLIFIÉE

- 14 Sable et gravier
- 5 "Sandstone" FM-Sakami
- 13 Dyke de diabase
- 12 Dyke de pegmatite
- 11 Granite
- 10 Quartz-diorite
- 9 Migmatite
- 8 Granite migmatitique
- 7 Formation de fer
- 6 Roche métasédimentaire
- 5 Tuf rhyolitique
- 4 Lave intermédiaire
- 3 Roche ultrabasique
- 2A Amphibolite
- 2 Lave basique
- 1 Gneiss non différencié

Contact ———
Faille - - - - -

ÉCHELLE 1:125,000

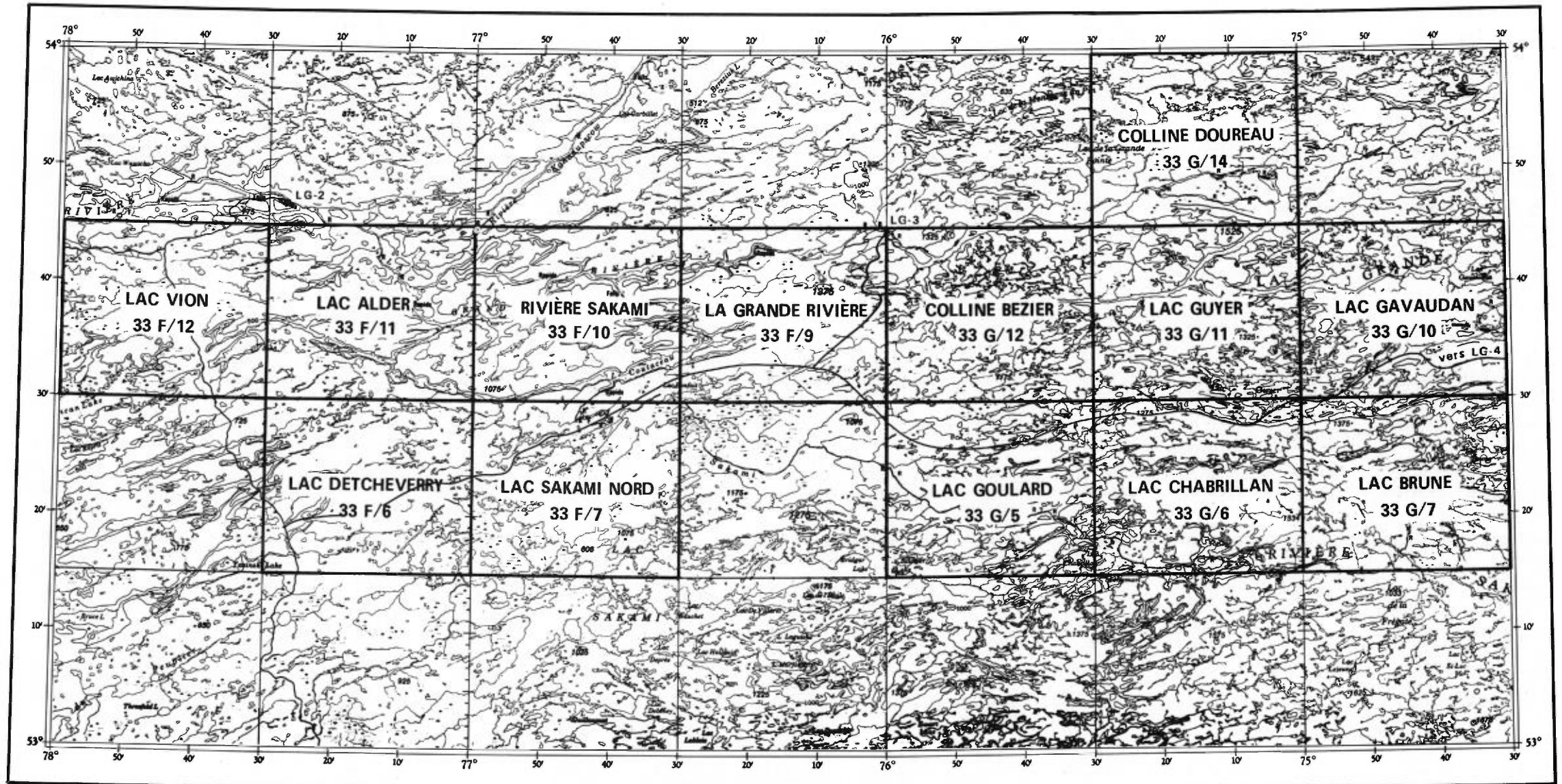


SERVICE DES GÎTES MINÉRAUX

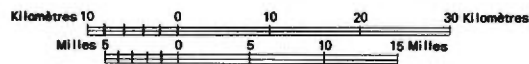
DIVISION DE LA GÉOCHIMIE
G.H. COCKBURN

Carte géochimique No 1820



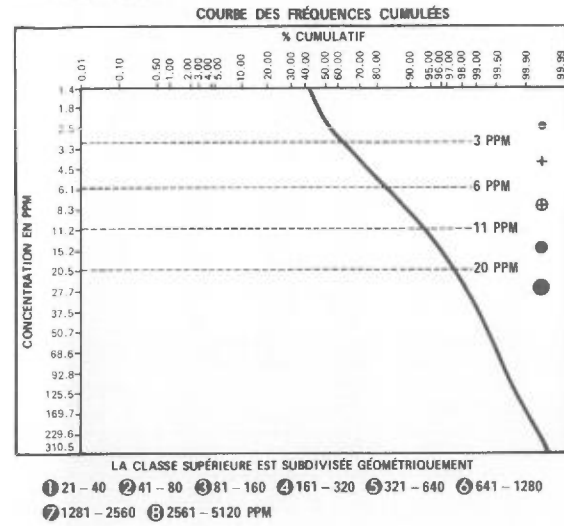


**INDEX DES CARTES GÉOCHIMIQUES
RÉGION DE LA GRANDE RIVIÈRE**



LÉGENDE

GÉOCHIMIE



LITHOLOGIE SIMPLIFIÉE

- 14 Sable et gravier
- S "Sandstone" FM-Sakami
- 13 Dyke de diabase
- 12 Dyke de pegmatite
- 11 Granite
- 10 Quartz-diorite
- 9 Migmatite
- 8 Granite migmatitique
- 7 Formation de fer
- 6 Roche métasédimentaire
- 5 Tuf rhyolitique
- 4 Lave intermédiaire
- 3 Roche ultrabasique
- 2A Amphibolite
- 2 Lave basique
- 1 Gneiss non différencié

Contact ———
 Faille - - - - -

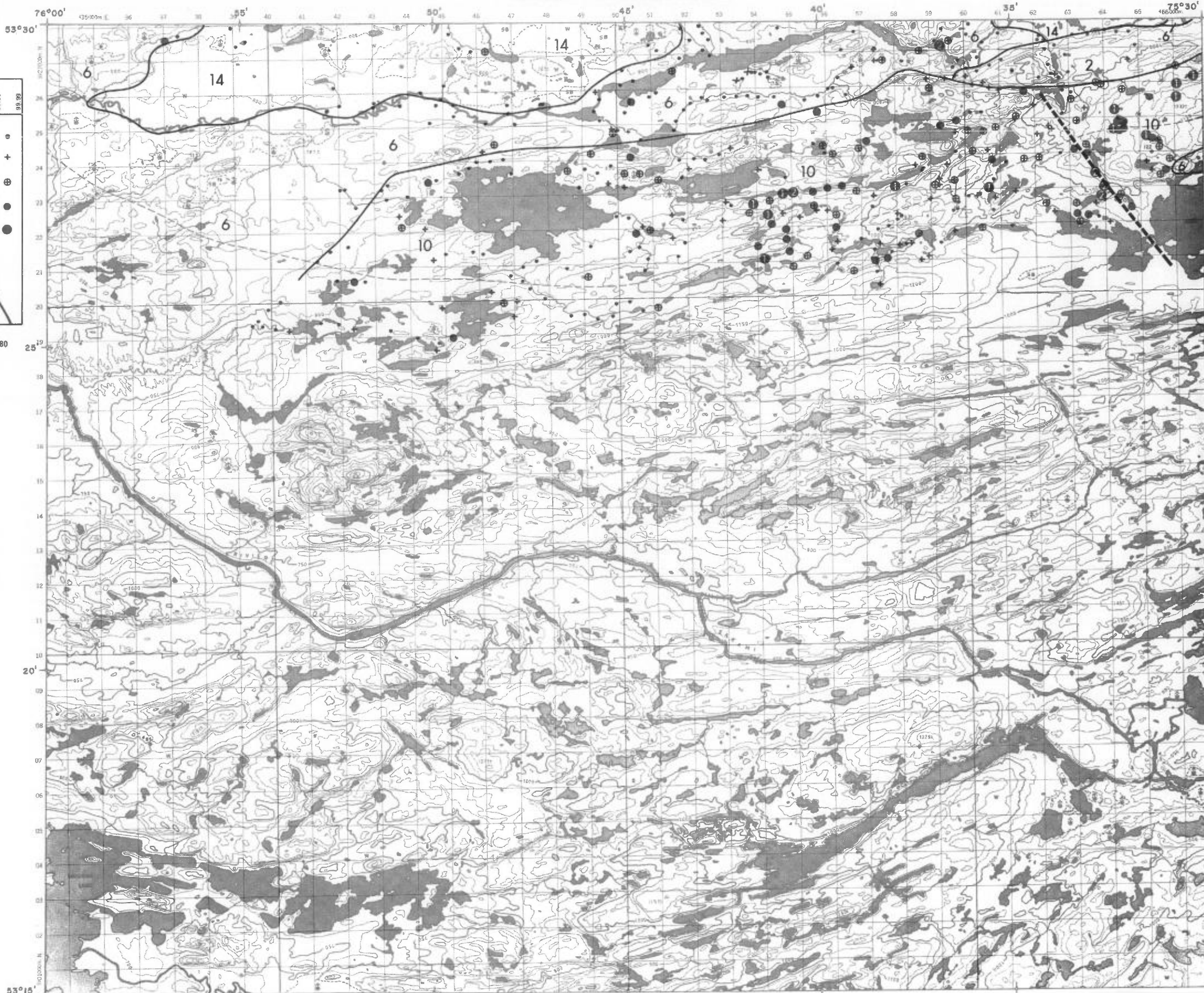
ÉCHELLE 1:125,000



SERVICE DES GÎTES MINÉRAUX

DIVISION DE LA GÉOCHIMIE
 G.H. COCKBURN

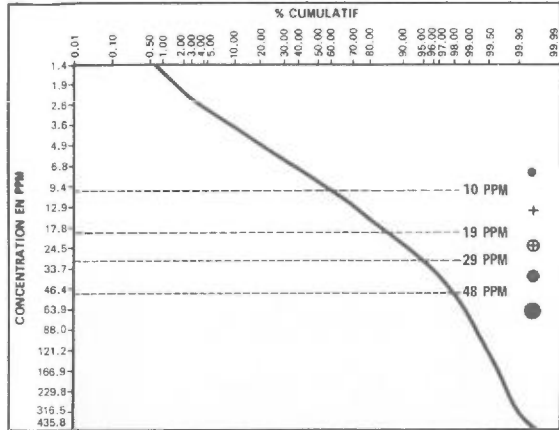
Carte géochimique No 1829



LÉGENDE

GÉOCHIMIE

COURBE DES FRÉQUENCES CUMULÉES



LA CLASSE SUPÉRIEURE EST SUBDIVISÉE GÉOMÉTRIQUEMENT

- ① 49 - 100
- ② 101 - 200
- ③ 201 - 400
- ④ 401 - 800
- ⑤ 801 - 1600
- ⑥ 1601 - 3200
- ⑦ 3201 - 6400 PPM

LITHOLOGIE SIMPLIFIÉE

- 14 Sable et gravier
- S "Sandstone" FM-Sakami
- 13 Dyke de diabase
- 12 Dyke de pegmatite
- 11 Granite
- 10 Quartz-diorite
- 9 Migmatite
- 8 Granite migmatitique
- 7 Formation de fer
- 6 Roche métasédimentaire
- 5 Tuf rhyolitique
- 4 Lave intermédiaire
- 3 Roche ultrabasiq
- 2A Amphibolite
- 2 Lave basique
- 1 Gneiss non différencié



Contact ———
Faille - - - - -

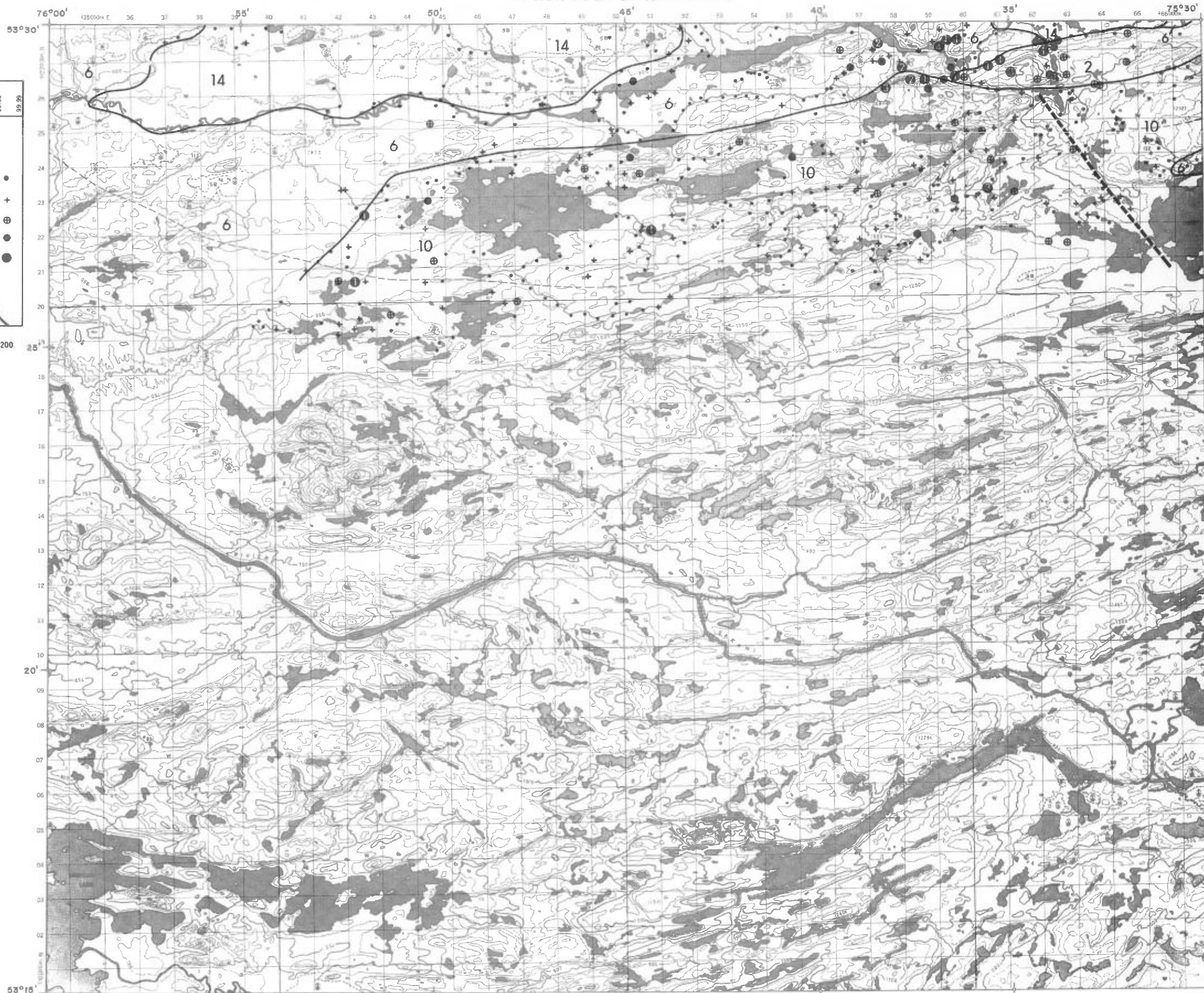
ÉCHELLE 1:125,000



SERVICE DES GÎTES MINÉRAUX

DIVISION DE LA GÉOCHIMIE
G.H. COCKBURN

Carte géochimique No 1829

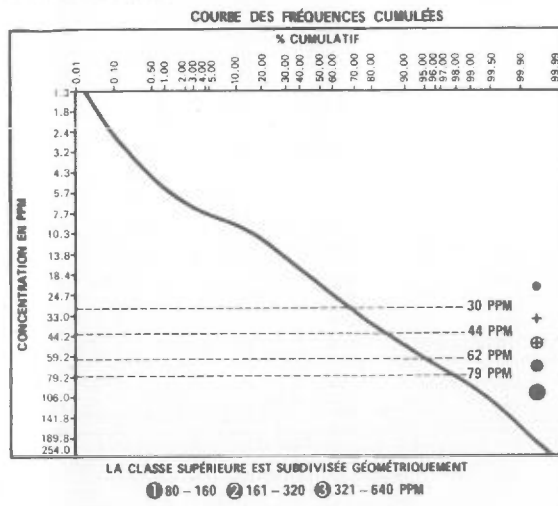


LAC GOULARD

RÉGION DE LA GRANDE RIVIÈRE

LÉGENDE

GÉOCHIMIE



LITHOLOGIE SIMPLIFIÉE

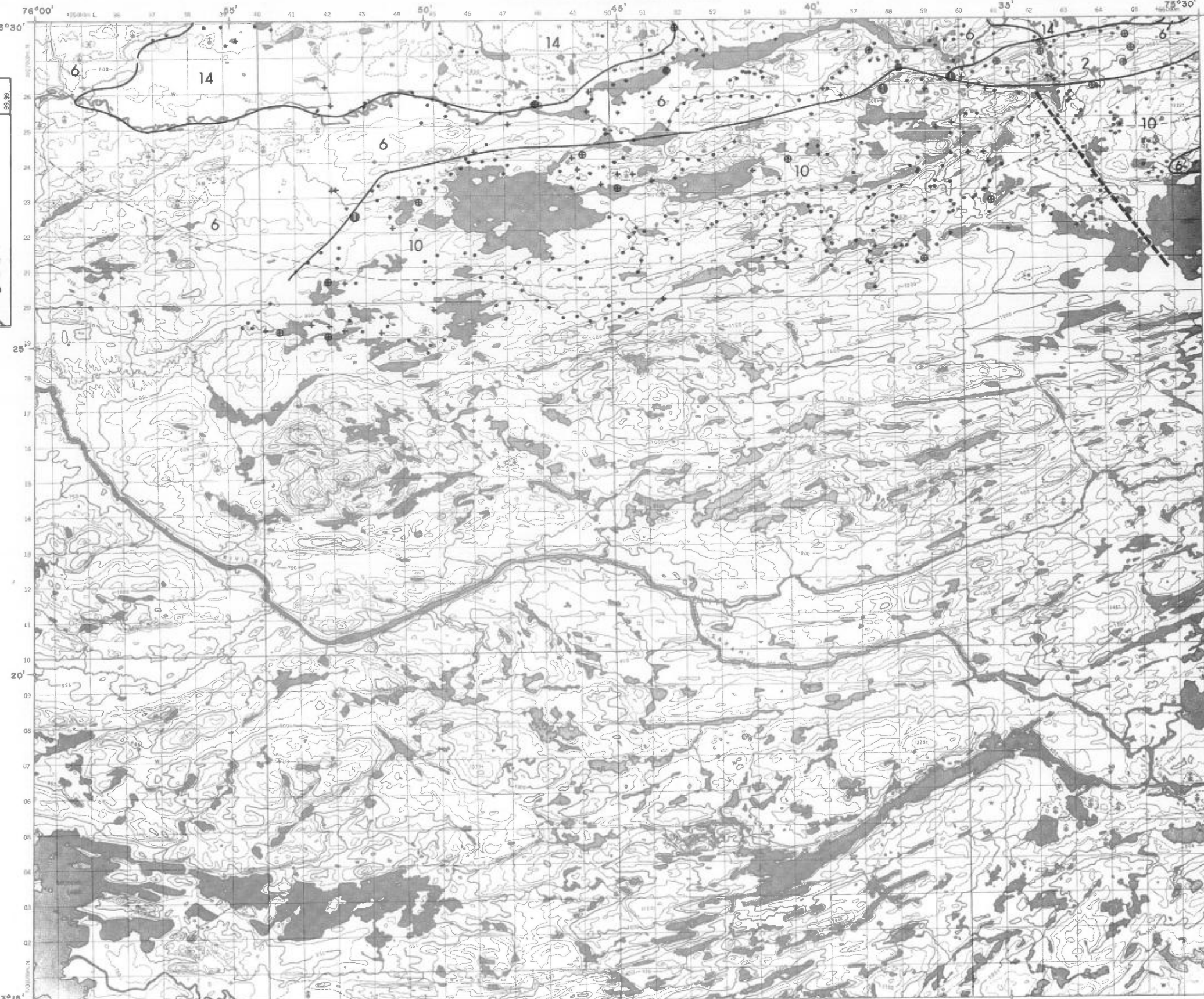
- 14 Sable et gravier
- S "Sandstone" FM-Sakami
- 13 Dyke de diabase
- 12 Dyke de pegmatite
- 11 Granite
- 10 Quartz-diorite
- 9 Migmatite
- 8 Granite migmatitique
- 7 Formation de fer
- 6 Roche métasédimentaire
- 5 Tuf rhyolitique
- 4 Lave intermédiaire
- 3 Roche ultrabasique
- 2A Amphibolite
- 2 Lave basique
- 1 Gneiss non différencié

- Contact ———
- Faïlle - - - - -

ÉCHELLE 1:125,000

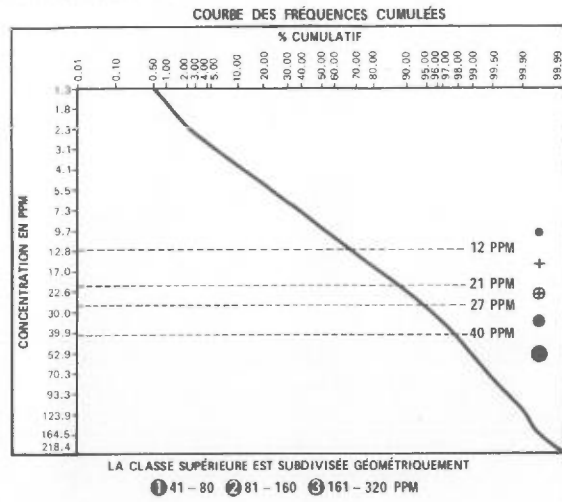


SERVICE DES GÎTES MINÉRAUX
 DIVISION DE LA GÉOCHIMIE
 G.H. COCKBURN
 Carte géochimique No 1829



LÉGENDE

GÉOCHIMIE



LITHOLOGIE SIMPLIFIÉE

- 14 Sable et gravier
- S "Sandstone" FM-Sakami
- 13 Dyke de diabase
- 12 Dyke de pegmatite
- 11 Granite
- 10 Quartz-diorite
- 9 Migmatite
- 8 Granite migmatitique
- 7 Formation de fer
- 6 Roche métasédimentaire
- 5 Tuf rhyolitique
- 4 Lave intermédiaire
- 3 Roche ultrabasiqque
- 2A Amphibolite
- 2 Lave basique
- 1 Gneiss non différencié

Contact ———
 Faille - - - - -

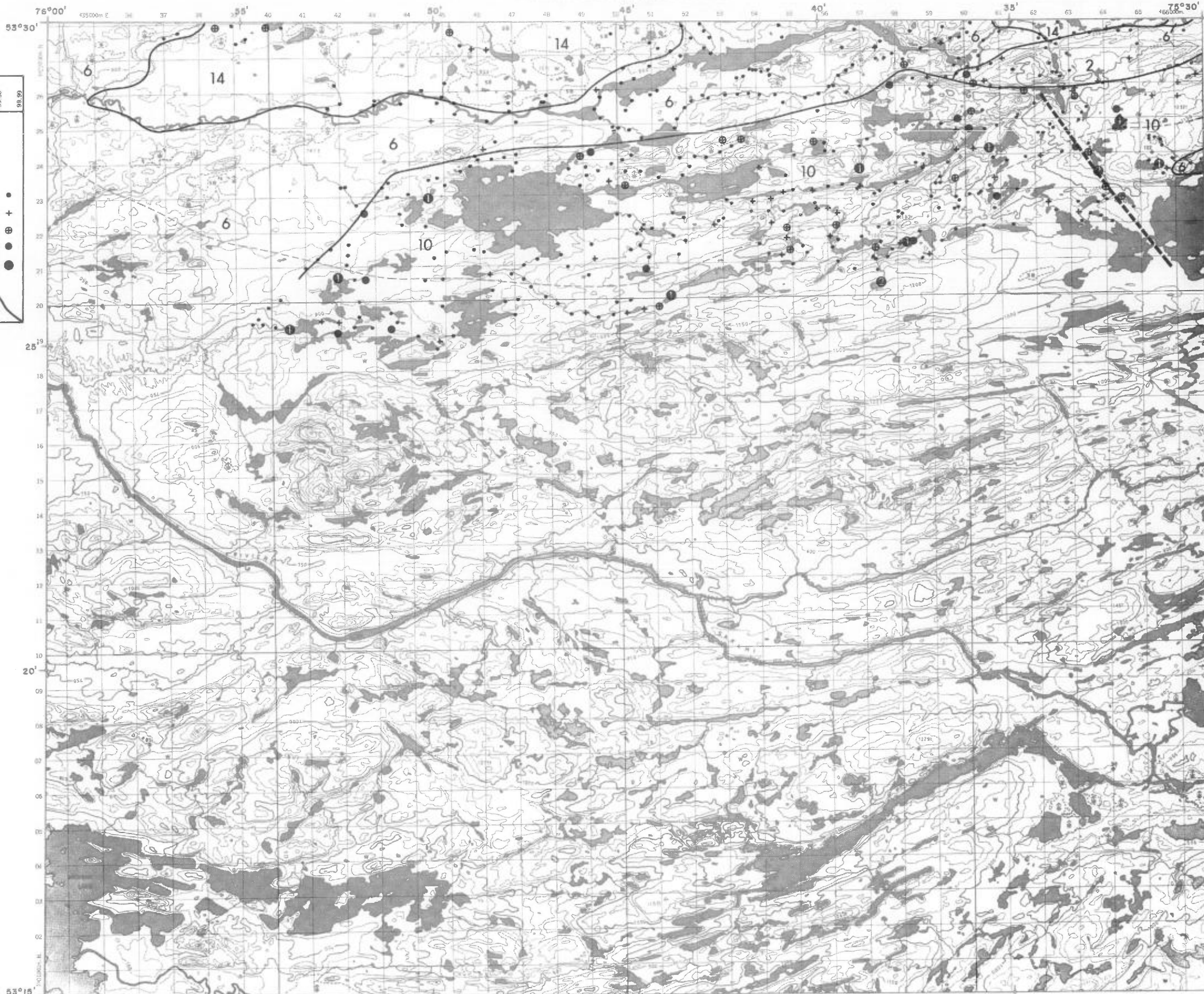
ÉCHELLE 1:125,000



SERVICE DES GÎTES MINÉRAUX

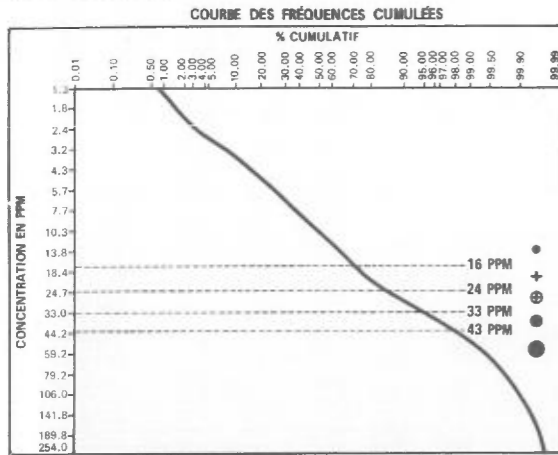
DIVISION DE LA GÉOCHIMIE
 G.H. COCKBURN

Carte géochimique No 1829



LÉGENDE

GÉOCHIMIE



LITHOLOGIE SIMPLIFIÉE

- 14 Sable et gravier
- S "Sandstone" FM-Sakami
- 13 Dyke de diabase
- 12 Dyke de pegmatite
- 11 Granite
- 10 Quartz-diorite
- 9 Migmatite
- 8 Granite migmatitique
- 7 Formation de fer
- 6 Roche métasédimentaire
- 5 Tuf rhyolitique
- 4 Lave intermédiaire
- 3 Roche ultrabasique
- 2A Amphibolite
- 2 Lave basique
- 1 Gneiss non différencié

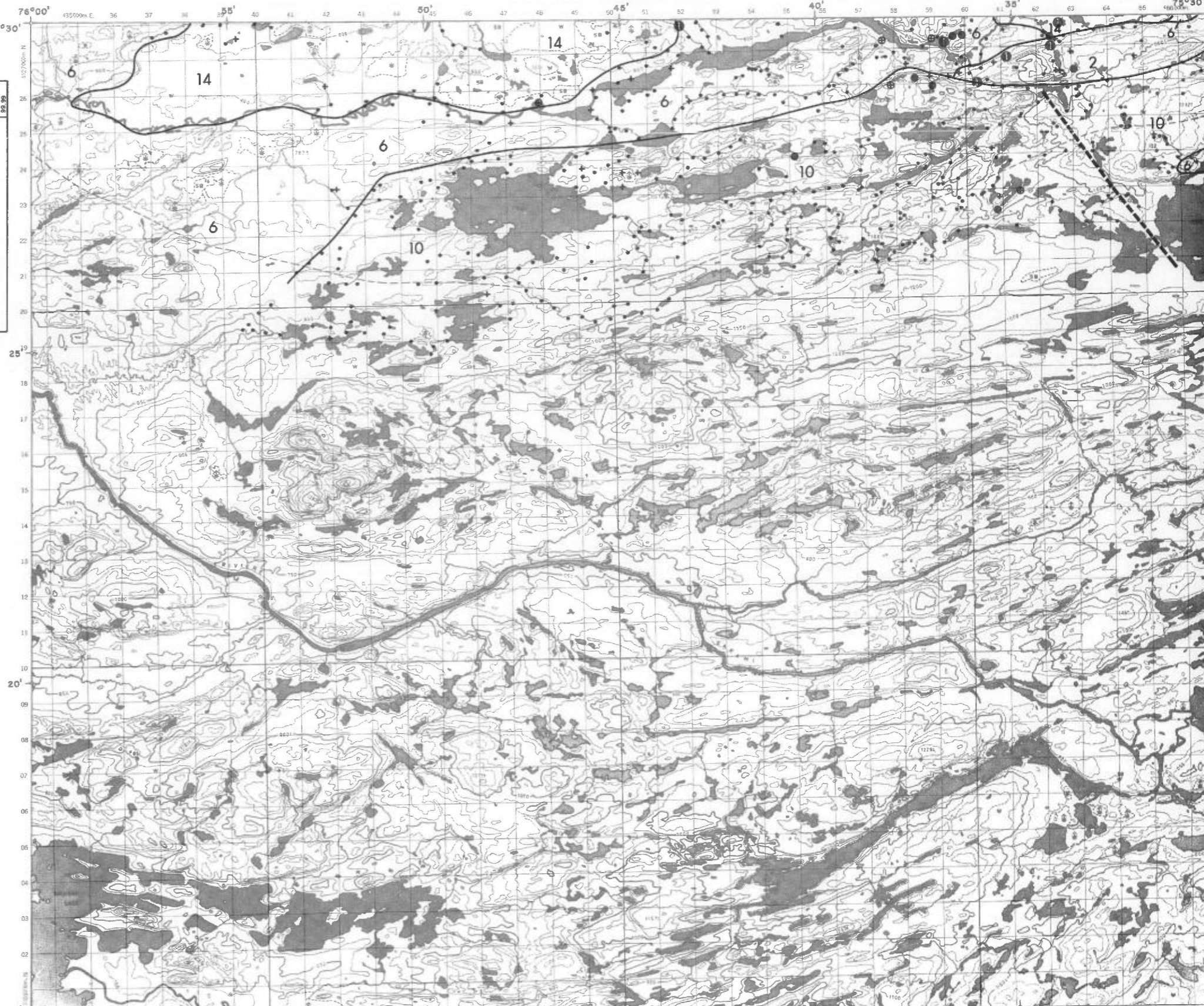
- Contact ———
- Faïlle - - - - -

ÉCHELLE 1:125,000



SERVICE DES GÎTES MINÉRAUX
 DIVISION DE LA GÉOCHIMIE
 G.H. COCKBURN

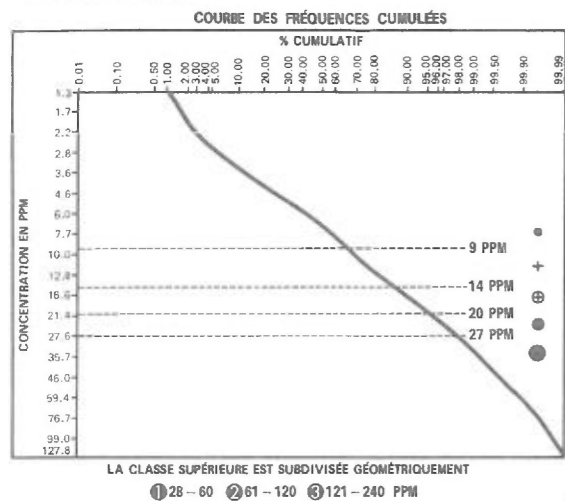
Carte géochimique No 1829





LÉGENDE

GÉOCHIMIE



LITHOLOGIE SIMPLIFIÉE

- 14 Sable et gravier
- S "Sandstone" FM-Sakami
- 13 Dyke de diabase
- 12 Dyke de pegmatite
- 11 Granite
- 10 Quartz-diorite
- 9 Migmatite
- 8 Granite migmatitique
- 7 Formation de fer
- 6 Roche métasédimentaire
- 5 Tuf rhyolitique
- 4 Lave intermédiaire
- 3 Roche ultrabasique
- 2A Amphibolite
- 2 Lave basique
- 1 Gneiss non différencié

- Contact ———
- Faïlle - - - - -

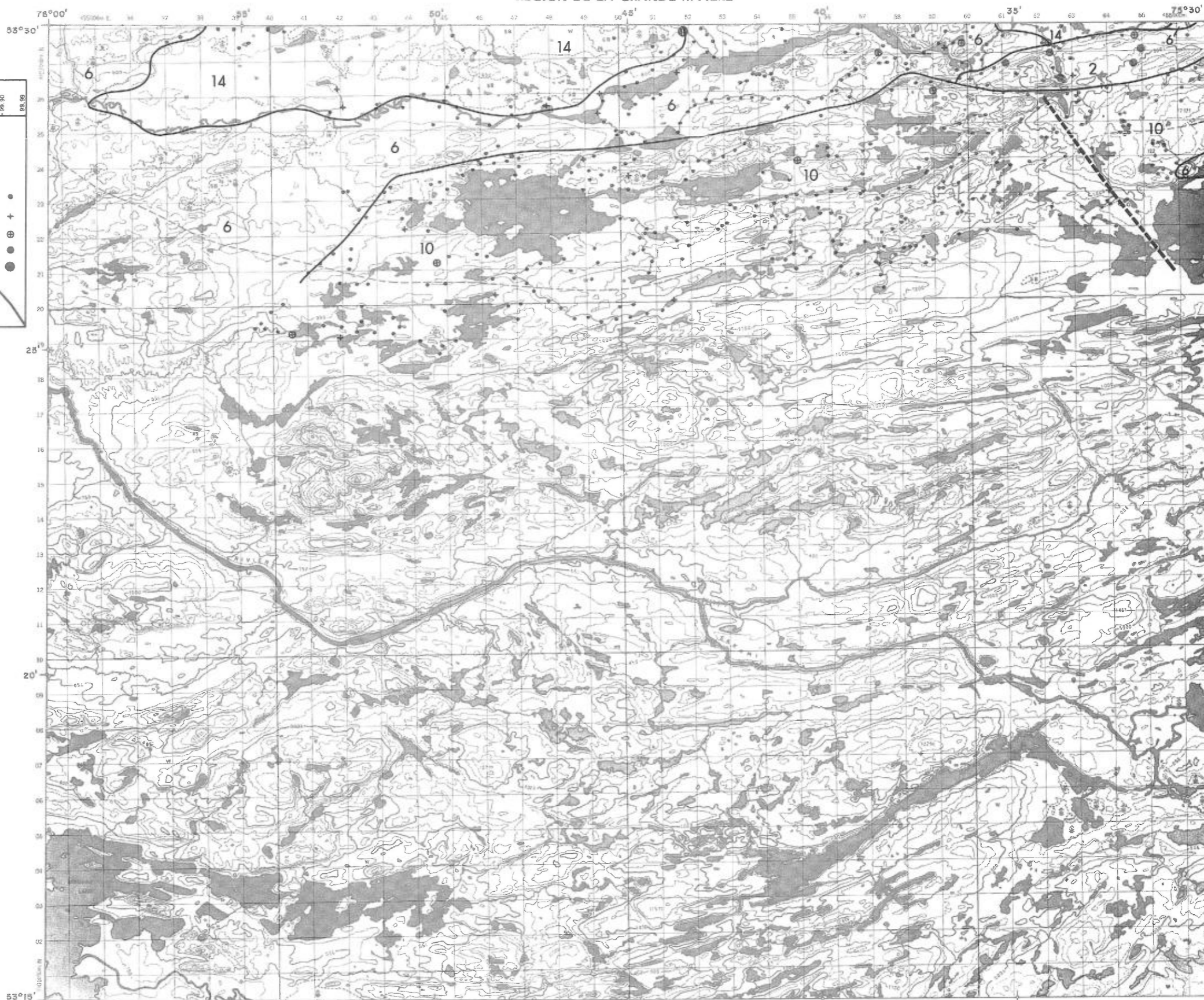
ÉCHELLE 1:125,000



SERVICE DES GÎTES MINÉRAUX

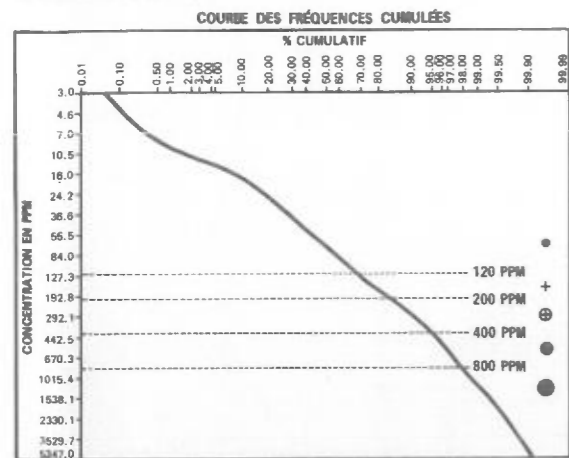
DIVISION DE LA GÉOCHIMIE
G.H. COCKBURN

Carte géochimique No 1829



LÉGENDE

GÉOCHIMIE



1 801 - 1600 2 1601 - 3200 3 3201 - 6400 4 6401 - 12800 5 12801 - 25000 PPM

LITHOLOGIE SIMPLIFIÉE

- 14 Sable et gravier
- S "Sandstone" FM-Sakami
- 13 Dyke de diabase
- 12 Dyke de pegmatite
- 11 Granite
- 10 Quartz-diorite
- 9 Migmatite
- 8 Granite migmatitique
- 7 Formation de fer
- 6 Roche métasédimentaire
- 5 Tuf rhyolitique
- 4 Lave intermédiaire
- 3 Roche ultrabasique
- 2A Amphibolite
- 2 Lave basique
- 1 Gneiss non différencié

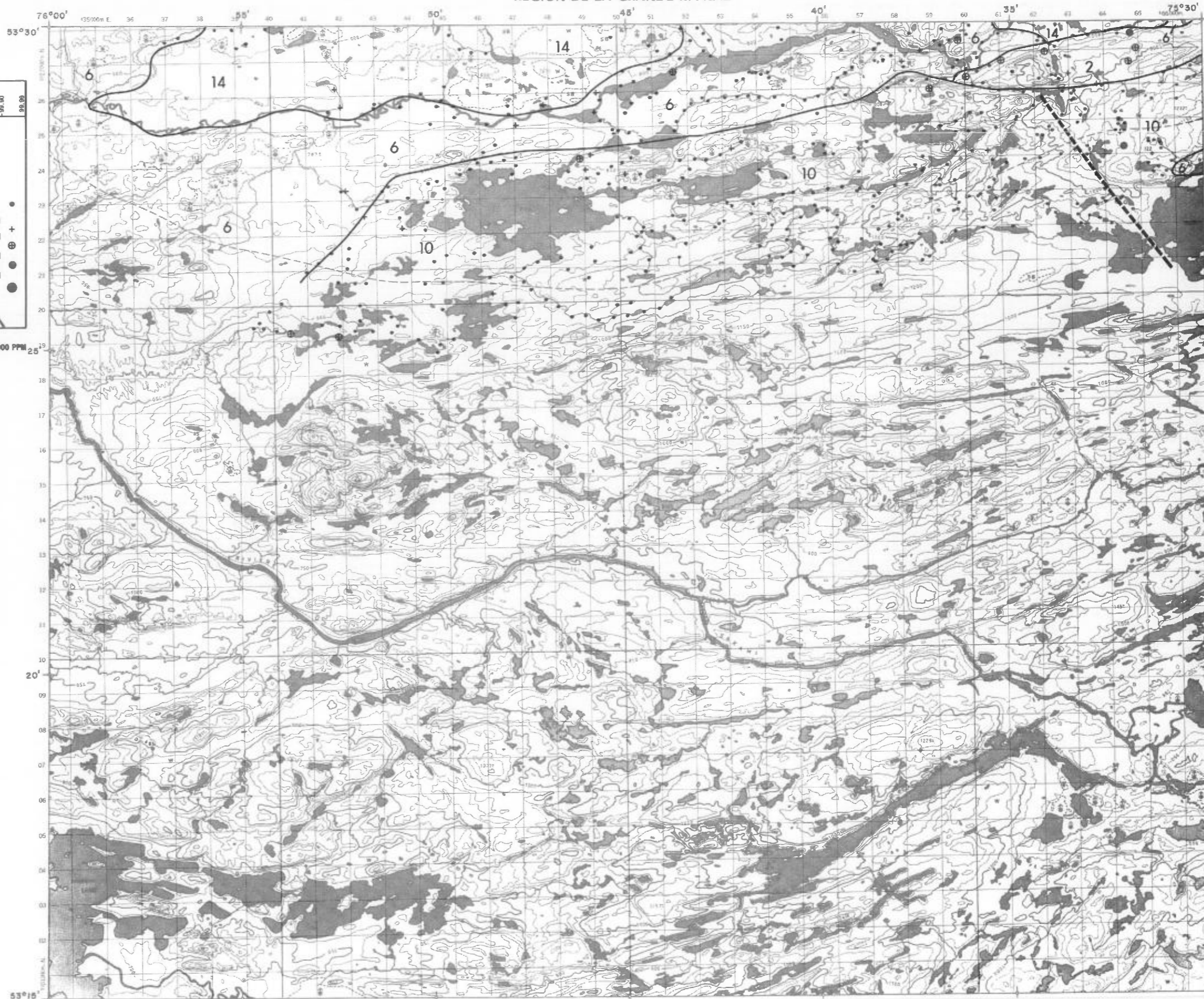
Contact ———
Faille - - - - -

ÉCHELLE 1:125,000



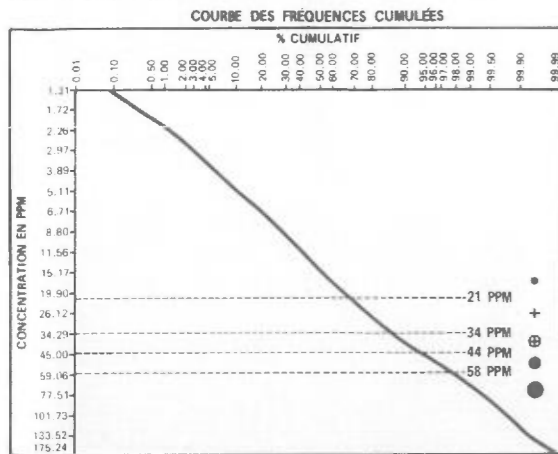
SERVICE DES GÎTES MINÉRAUX
DIVISION DE LA GÉOCHIMIE
G.H. COCKBURN

Carte géochimique No 1829



LÉGENDE

GÉOCHIMIE



LITHOLOGIE SIMPLIFIÉE

- 14 Sable et gravier
- S "Sandstone" FM-Sakami
- 13 Dyke de diabase
- 12 Dyke de pegmatite
- 11 Granite
- 10 Quartz-diorite
- 9 Migmatite
- 8 Granite migmatitique
- 7 Formation de fer
- 6 Roche métasédimentaire
- 5 Tuf rhyolitique
- 4 Lave intermédiaire
- 3 Roche ultrabasique
- 2A Amphibolite
- 2 Lave basique
- 1 Gneiss non différencié

Contact ———
Faille - - - - -

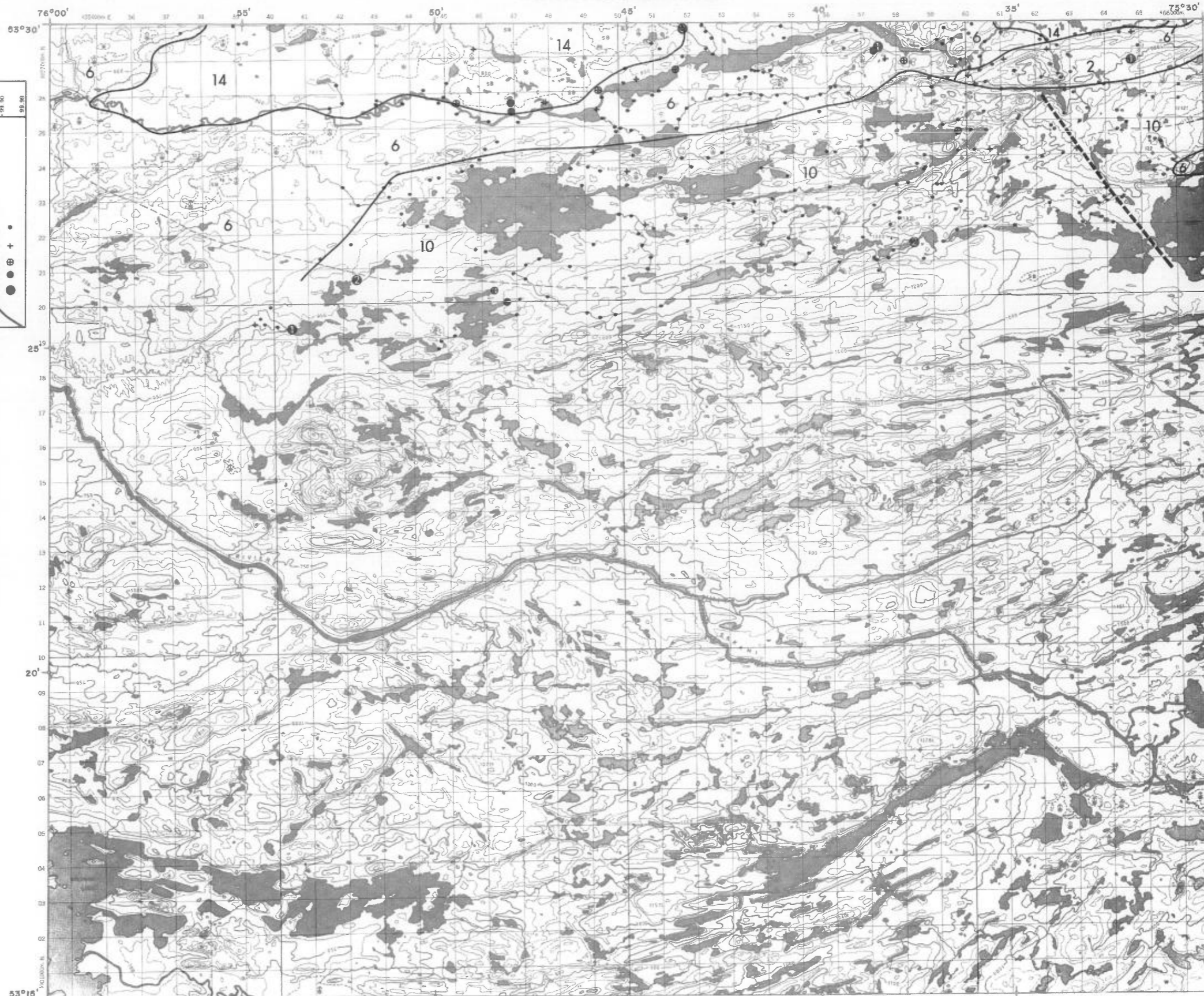
ÉCHELLE 1:125,000



SERVICE DES GÎTES MINÉRAUX

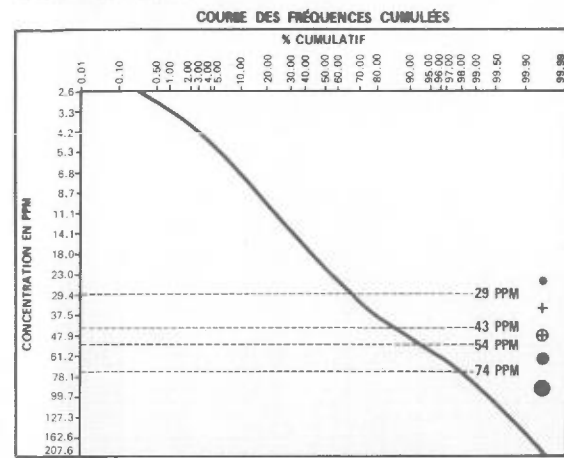
DIVISION DE LA GÉOCHIMIE
G.H. COCKBURN

Carte géochimique No 1829



LÉGENDE

GÉOCHIMIE



LITHOLOGIE SIMPLIFIÉE

- 14 Sable et gravier
- S "Sandstone" FM-Sakami
- 13 Dyke de diabase
- 12 Dyke de pegmatite
- 11 Granite
- 10 Quartz-diorite
- 9 Migmatite
- 8 Granite migmatitique
- 7 Formation de fer
- 6 Roche métasédimentaire
- 5 Tuf rhyolitique
- 4 Lave intermédiaire
- 3 Roche ultrabasique
- 2A Amphibolite
- 2 Lave basique
- 1 Gneiss non différencié

Contact ———
Faille - - - - -

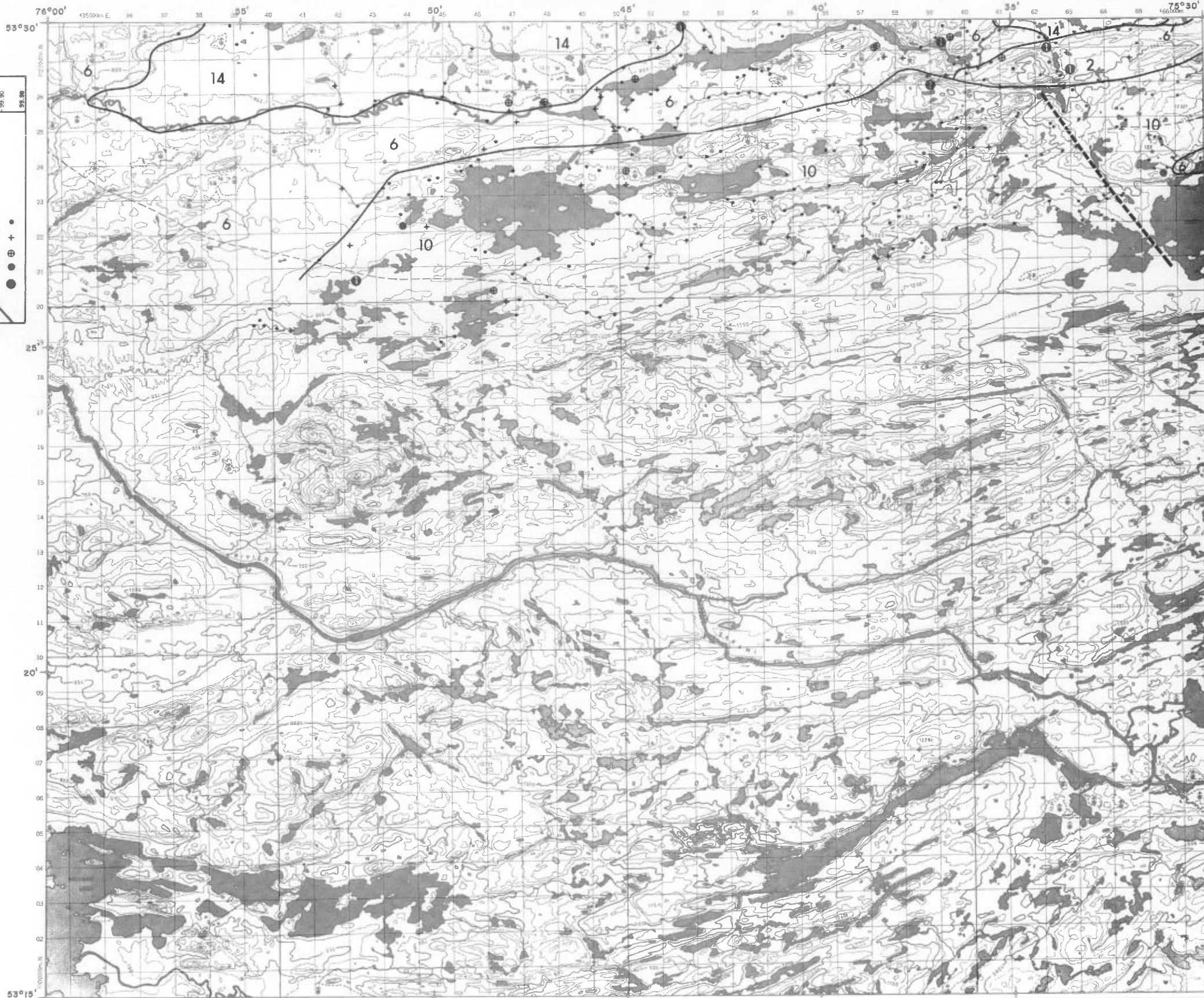
ÉCHELLE 1:125,000



SERVICE DES GÎTES MINÉRAUX

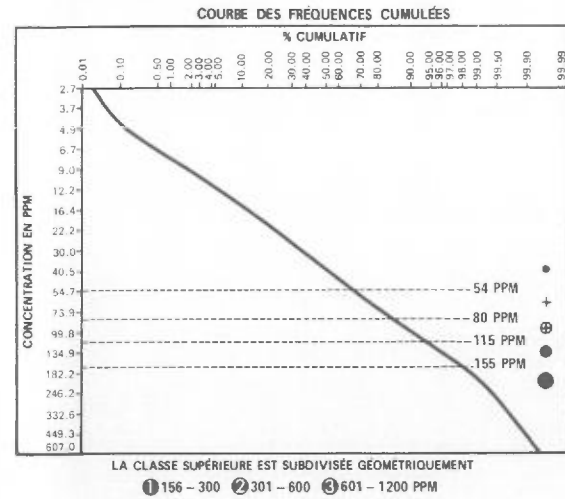
DIVISION DE LA GÉOCHIMIE
G.H. COCKBURN

Carte géochimique No 1829



LÉGENDE

GÉOCHIMIE



LITHOLOGIE SIMPLIFIÉE

- 14 Sable et gravier
- S "Sandstone" FM-Sakami
- 13 Dyke de diabase
- 12 Dyke de pegmatite
- 11 Granite
- 10 Quartz-diorite
- 9 Migmatite
- 8 Granite migmatitique
- 7 Formation de fer
- 6 Roche métasédimentaire
- 5 Tuf rhyolitique
- 4 Lave intermédiaire
- 3 Roche ultrabasique
- 2A Amphibolite
- 2 Lave basique
- 1 Gneiss non différencié

Contact ———
Faille - - - - -

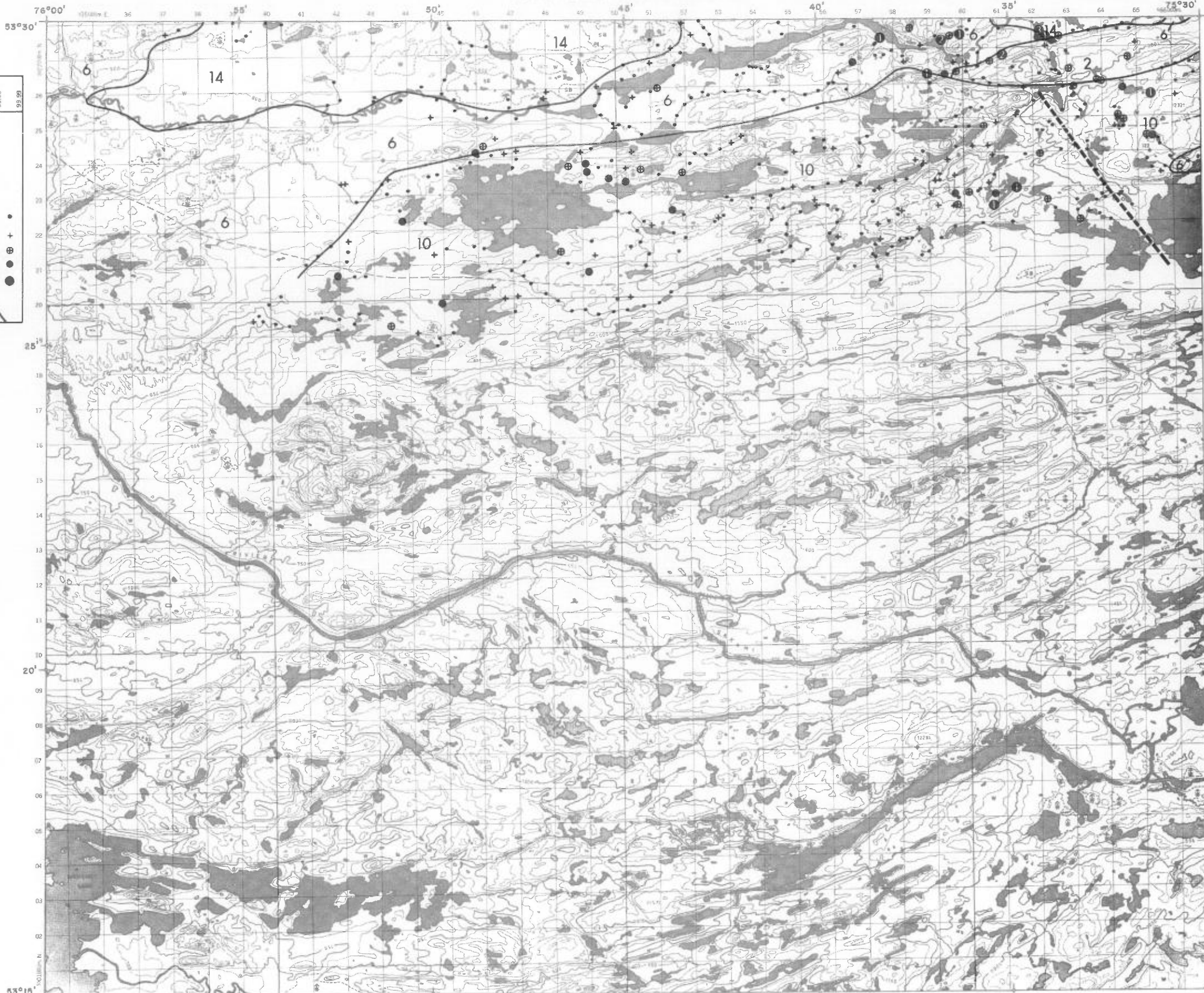
ÉCHELLE 1:125,000



SERVICE DES GÎTES MINÉRAUX

DIVISION DE LA GÉOCHIMIE
G.H. COCKBURN

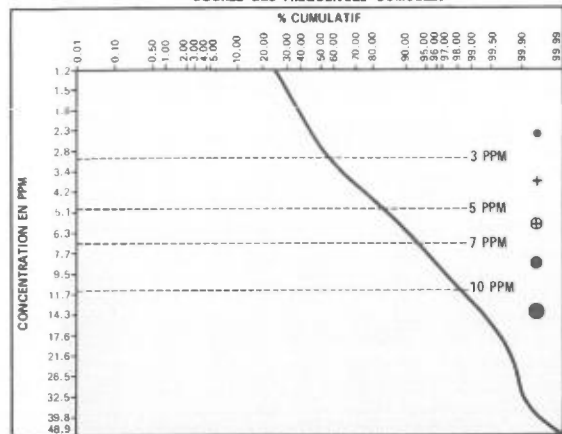
Carte géochimique No 1829



LÉGENDE

GÉOCHIMIE

COURBE DES FRÉQUENCES CUMULÉES



LA CLASSE SUPÉRIEURE EST SUBDIVISÉE GÉOMÉTRIQUEMENT

① 11 - 20 ② 21 - 40 ③ 41 - 80 PPM

LITHOLOGIE SIMPLIFIÉE

- 14 Sable et gravier
- S "Sandstone" FM-Sakami
- 13 Dyke de diabase
- 12 Dyke de pegmatite
- 11 Granite
- 10 Quartz-diorite
- 9 Migmatite
- 8 Granite migmatitique
- 7 Formation de fer
- 6 Roche métasédimentaire
- 5 Tuf rhyolitique
- 4 Lave intermédiaire
- 3 Roche ultrabasique
- 2A Amphibolite
- 2 Lave basique
- 1 Gneiss non différencié

Contact ———
Faille - - - - -

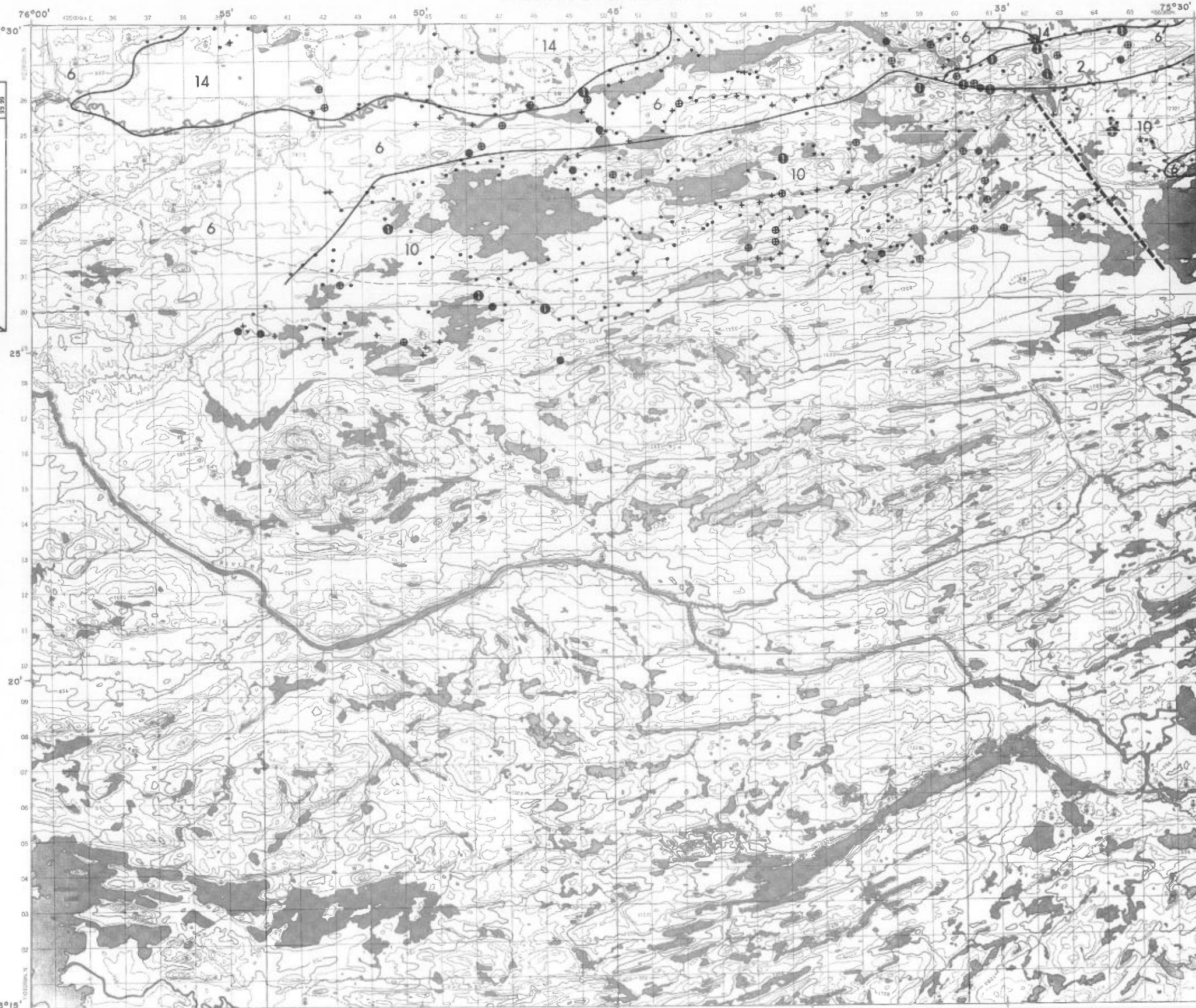
ÉCHELLE 1:125,000



SERVICE DES GÎTES MINÉRAUX

DIVISION DE LA GÉOCHIMIE
G.H. COCKBURN

Carte géochimique No 1829

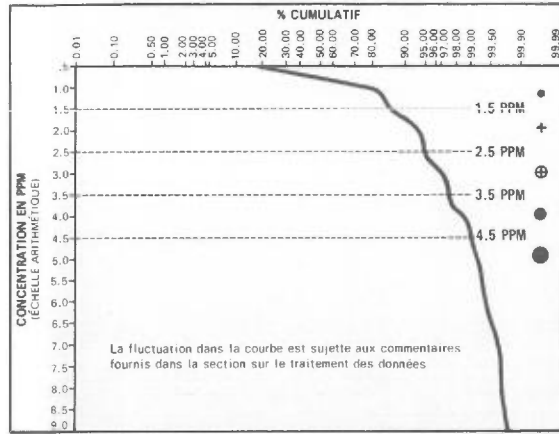


GÉOCHIMIE DES SÉDIMENTS DE RUISSEAU
LAC GOULARD
RÉGION DE LA GRANDE RIVIÈRE

LÉGENDE

GÉOCHIMIE

COURBE DES FRÉQUENCES CUMULÉES



LA CLASSE SUPÉRIEURE EST SUBDIVISÉE GÉOMÉTRIQUEMENT

① 4.5 - 10.0 ② 10.5 - 20.0 ③ 20.5 - 40.0 ④ 40.5 - 80 PPM

LITHOLOGIE SIMPLIFIÉE

- 14 Sable et gravier
- S "Sandstone" FM-Sakami
- 13 Dyke de diabase
- 12 Dyke de pegmatite
- 11 Granite
- 10 Quartz-diorite
- 9 Migmatite
- 8 Granite migmatitique
- 7 Formation de fer
- 6 Roche métasédimentaire
- 5 Tuf rhyolitique
- 4 Lave intermédiaire
- 3 Roche ultrabasique
- 2A Amphibolite
- 2 Lave basique
- 1 Gneiss non différencié

Contact ———
Faille - - - - -

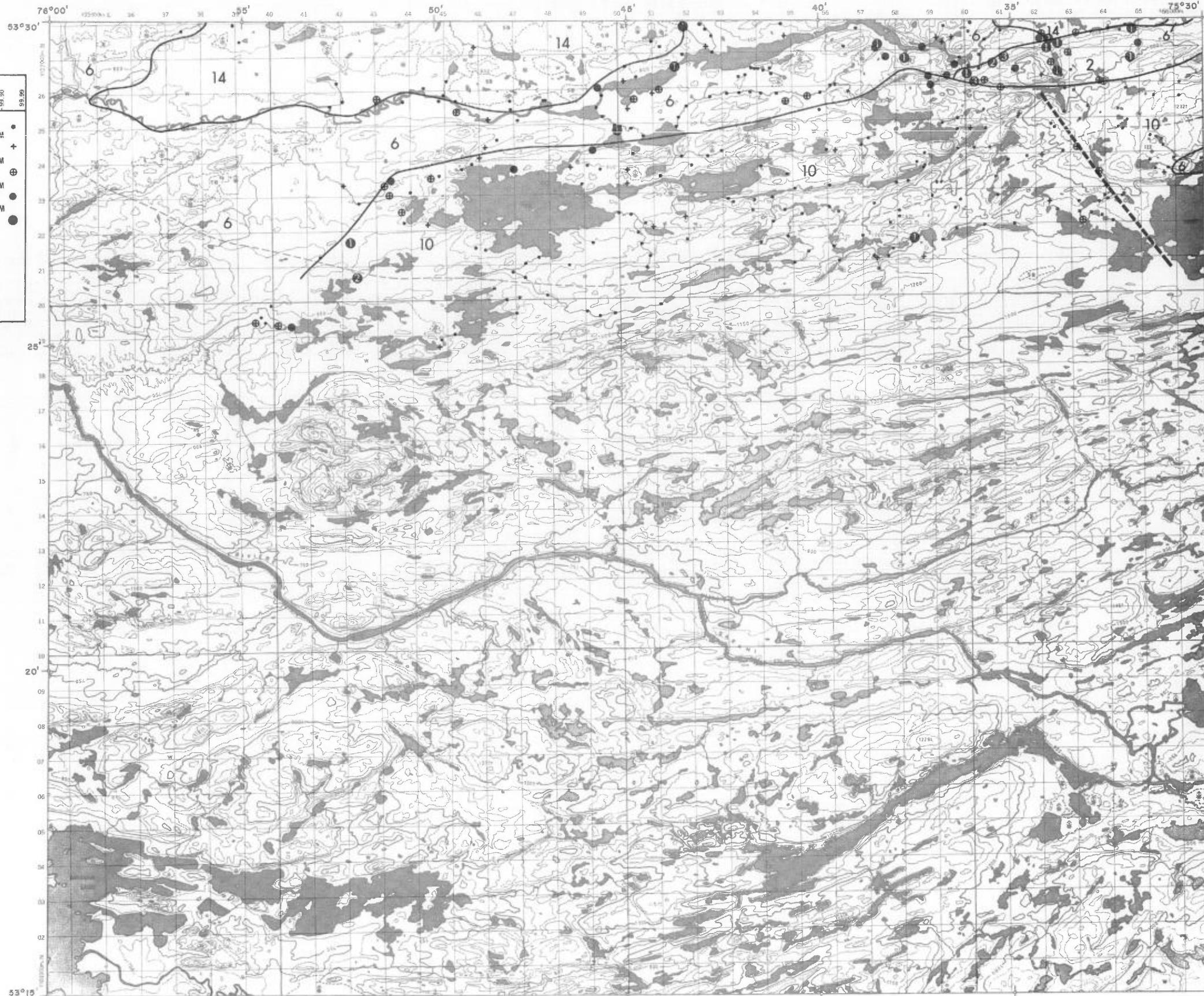
ÉCHELLE 1:125,000



SERVICE DES GÎTES MINÉRAUX

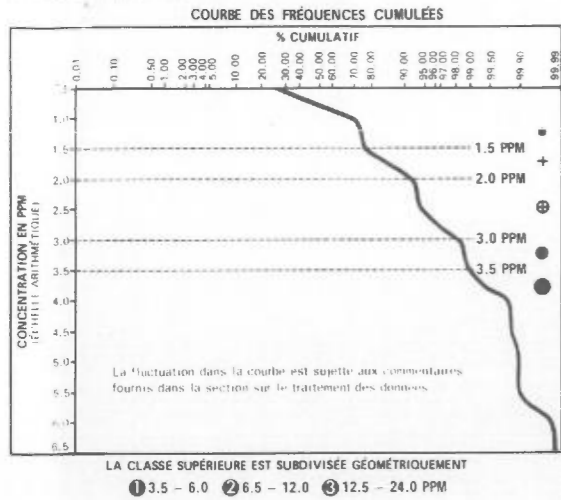
DIVISION DE LA GÉOCHIMIE
G.H. COCKBURN

Carte géochimique No 1829



LÉGENDE

GÉOCHIMIE



LITHOLOGIE SIMPLIFIÉE

- 14 Sable et gravier
- S "Sandstone" FM-Sakami
- 13 Dyke de diabase
- 12 Dyke de pegmatite
- 11 Granite
- 10 Quartz-diorite
- 9 Migmatite
- 8 Granite migmatitique
- 7 Formation de fer
- 6 Roche métasédimentaire
- 5 Tuf rhyolitique
- 4 Lave intermédiaire
- 3 Roche ultrabasique
- 2A Amphibolite
- 2 Lave basique
- 1 Gneiss non différencié

Contact ———
Faille - - - - -

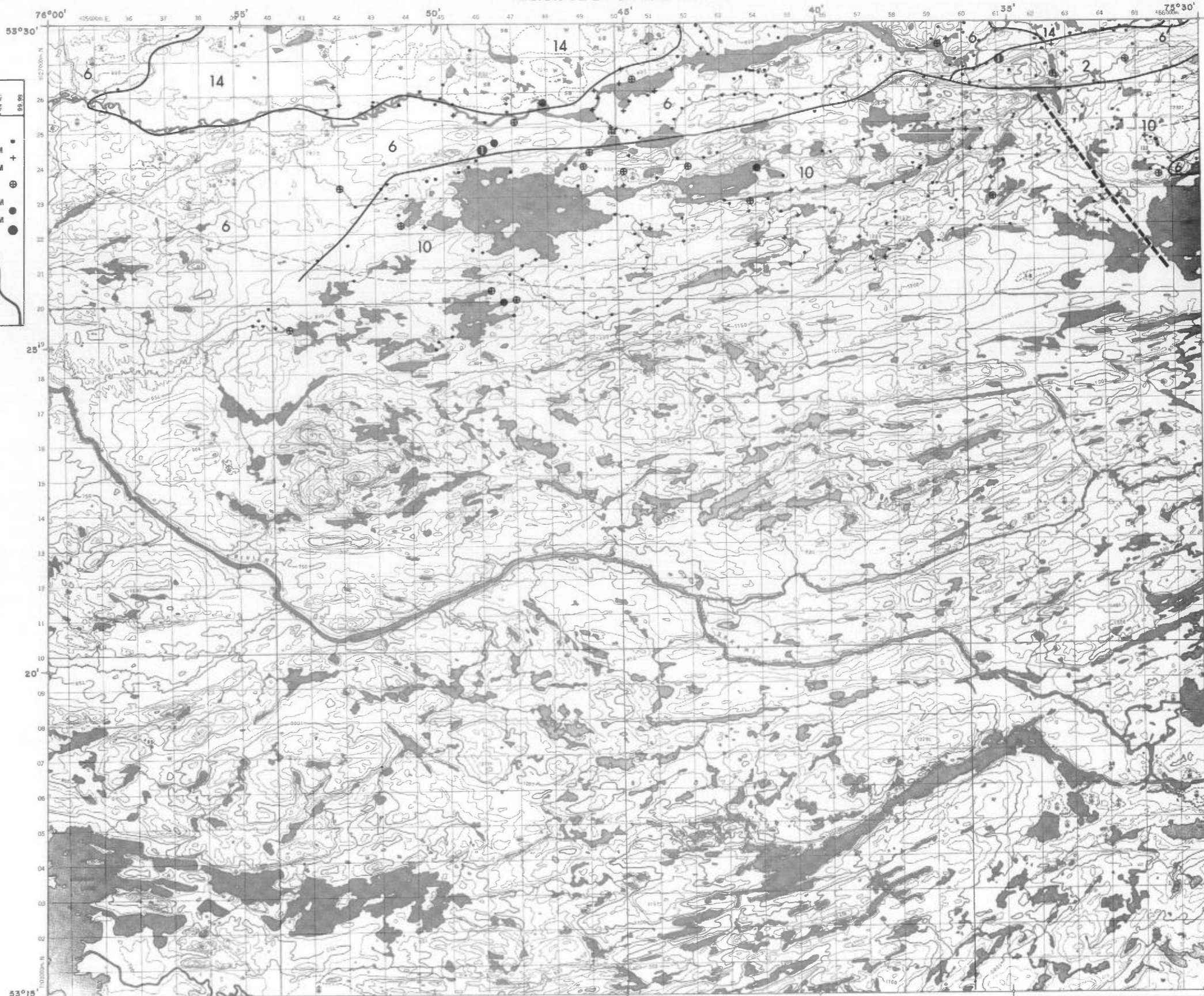
ÉCHELLE 1:125,000



SERVICE DES GÎTES MINÉRAUX

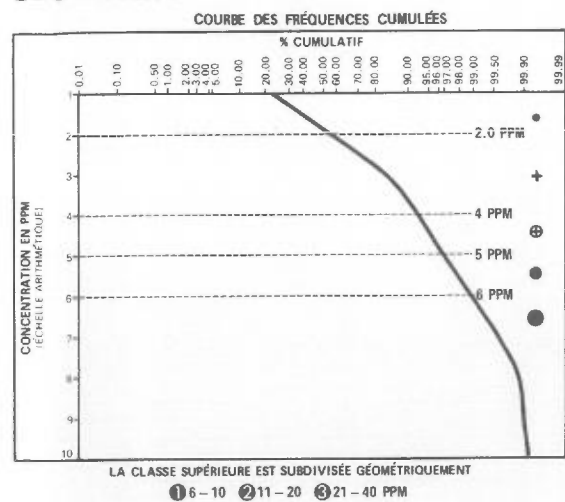
DIVISION DE LA GÉOCHIMIE
G.H. COCKBURN

Carte géochimique No 1829



LÉGENDE

GÉOCHIMIE

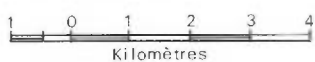


LITHOLOGIE SIMPLIFIÉE

- 14 Sable et gravier
- 9 "Sandstone" FM-Sakami
- 13 Dyke de diabase
- 12 Dyke de pegmatite
- 11 Granite
- 10 Quartz-diorite
- 9 Migmatite
- 8 Granite migmatitique
- 7 Formation de fer
- 6 Roche métasédimentaire
- 5 Tuf rhyolitique
- 4 Lave intermédiaire
- 3 Roche ultrabasique
- 2A Amphibolite
- 2 Lave basique
- 1 Gneiss non différencié

- Contact ———
- Faïlle - - - - -

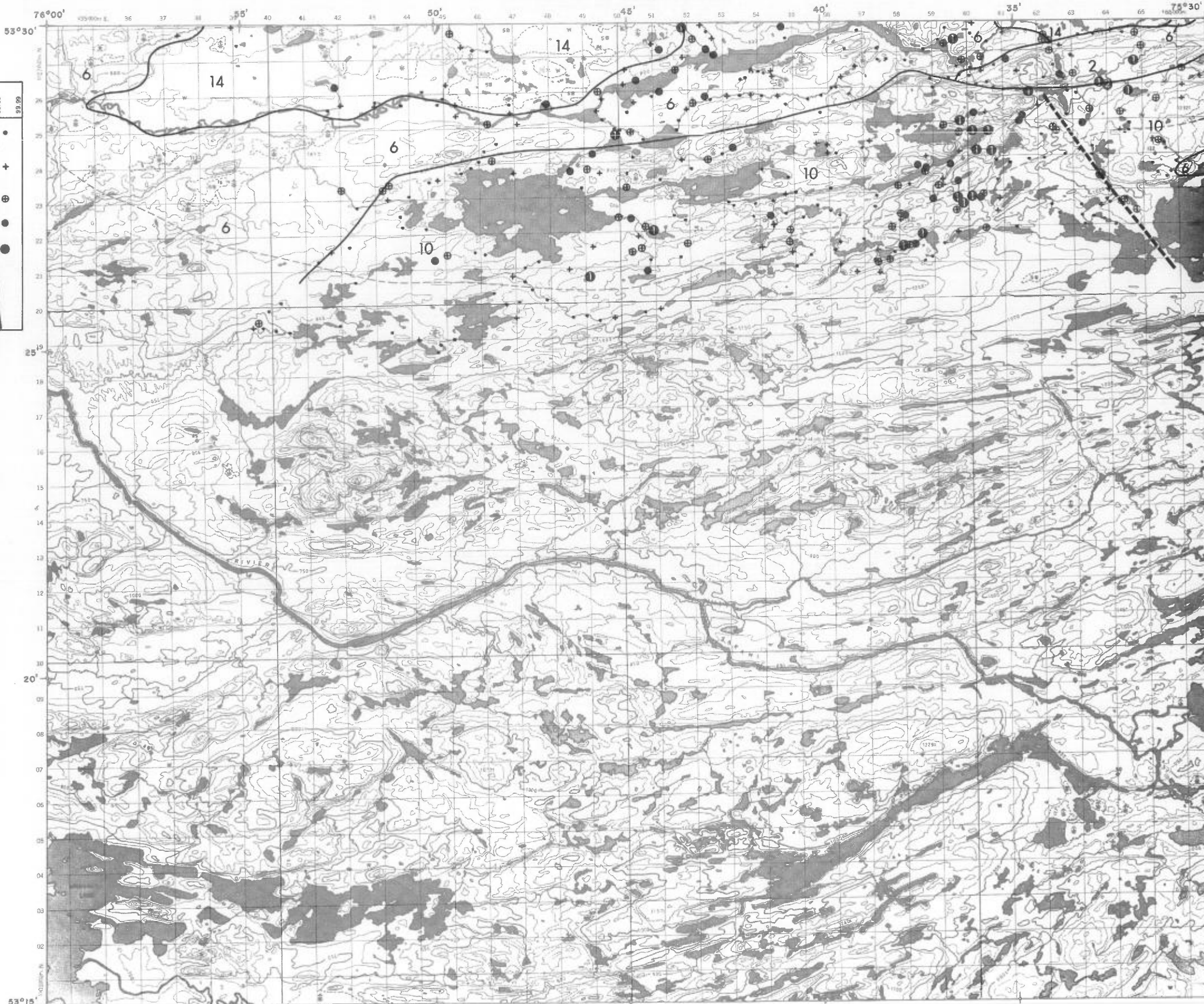
ÉCHELLE 1:125,000



SERVICE DES GÎTES MINÉRAUX

DIVISION DE LA GÉOCHIMIE
G.H. COCKBURN

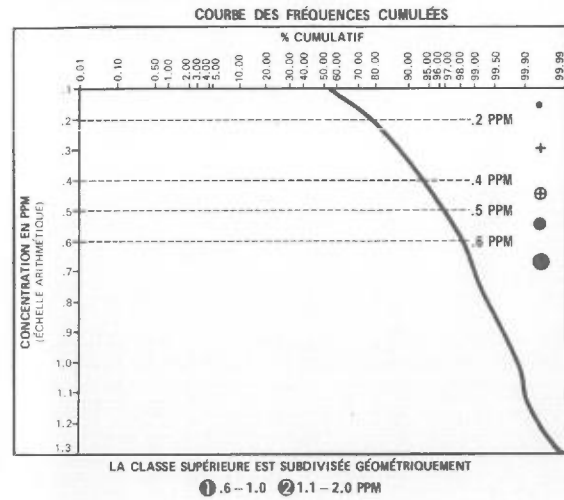
Carte géochimique No 1829



GÉOCHIMIE DES SÉDIMENTS DE RUISSEAU
LAC GOULARD
RÉGION DE LA GRANDE RIVIÈRE

LÉGENDE

GÉOCHIMIE

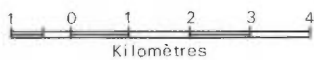


LITHOLOGIE SIMPLIFIÉE

- 14 Sable et gravier
- S "Sandstone" FM-Sakami
- 13 Dyke de diabase
- 12 Dyke de pegmatite
- 11 Granite
- 10 Quartz-diorite
- 9 Migmatite
- 8 Granite migmatitique
- 7 Formation de fer
- 6 Roche métasédimentaire
- 5 Tuf rhyolitique
- 4 Lave intermédiaire
- 3 Roche ultrabasique
- 2A Amphibolite
- 2 Lave basique
- 1 Gneiss non différencié

- Contact ———
- Faillle - - - - -

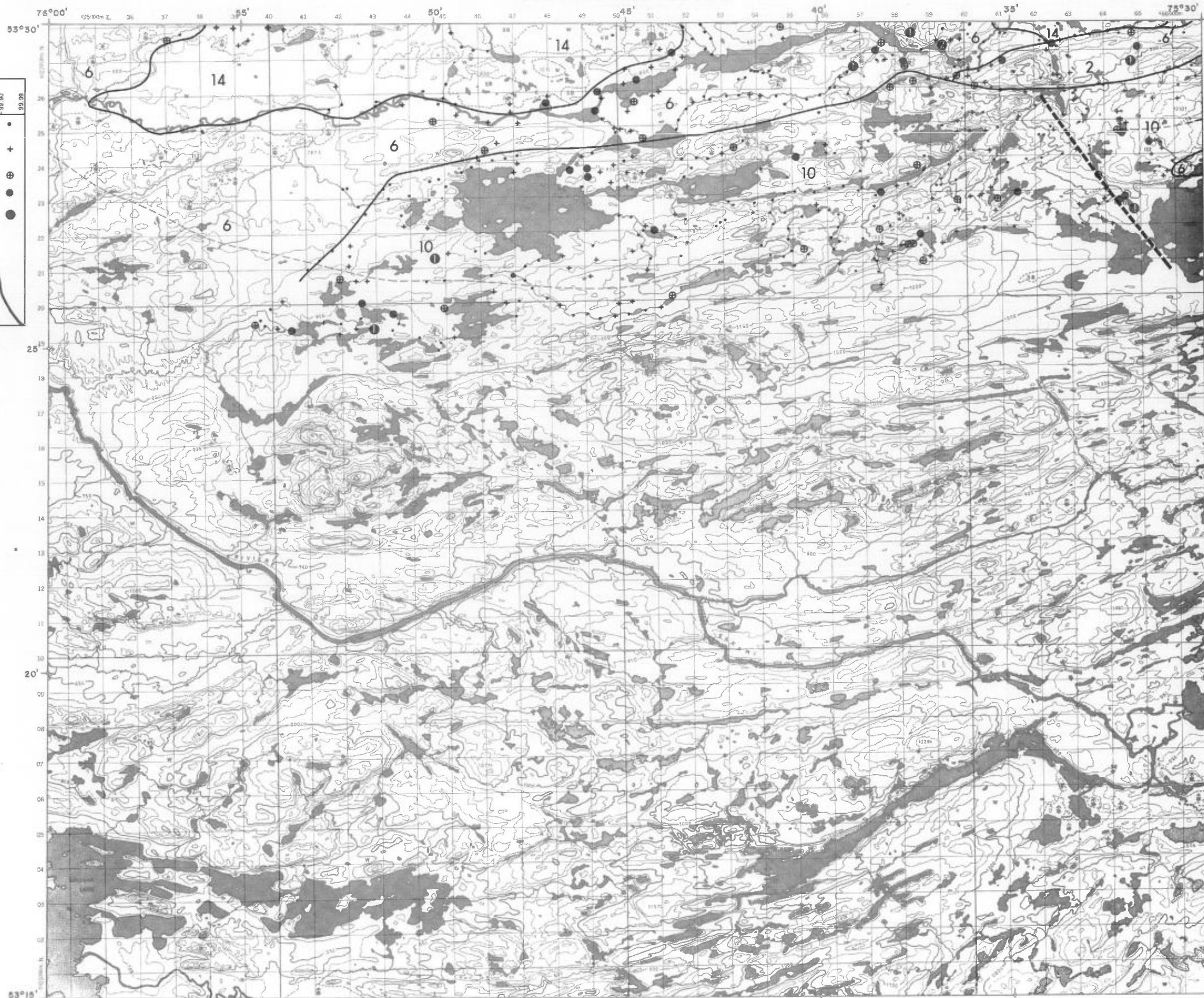
ÉCHELLE 1:125,000

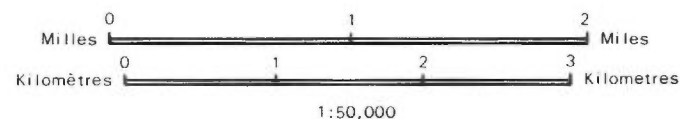
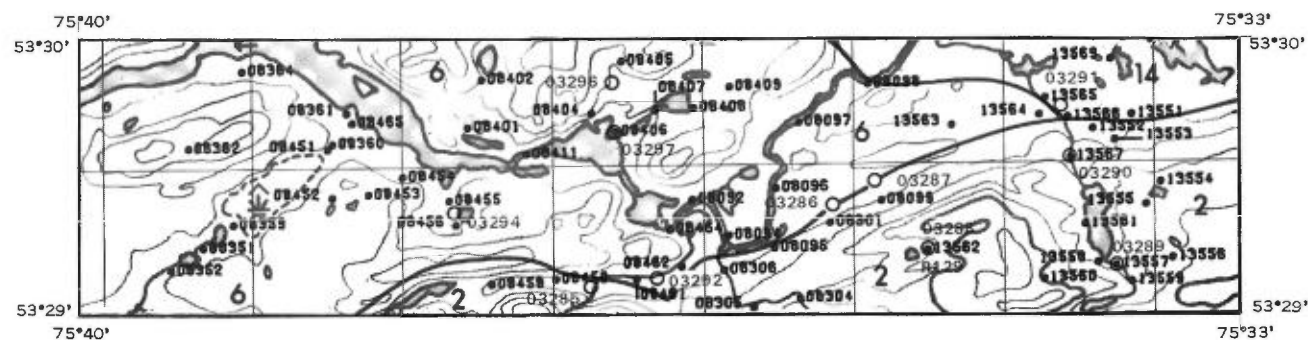


SERVICE DES GÎTES MINÉRAUX

DIVISION DE LA GÉOCHIMIE
G.H. COCKBURN

Carte géochimique No 1829





LAC GOULARD
33 G/5
CU, MO, BA
(Ni, Cr, V, Li et Ag)

L'aire annotée du feuillet 33 G/5 est caractérisée par des teneurs élevées en Cu, Mo et Ba (max. de 400, 40 et 600 ppm respectivement) accompagnées de teneurs moins importantes en Ni, Cr, Li et Ag.

La carte géologique simplifiée indique la présence de roches méta-volcaniques mafiques (unité 2) et métasédimentaires (unité 6). Cette lithologie a été confirmée lors de la campagne de vérification de terrain. Par contre, on note la présence de quartz-diorites interstratifiées avec des metabasaltes.

L'association des éléments Ni, Cr et V suggère une affinité ultramafique, qui reste tout de même à confirmer. Quelques hautes teneurs simultanées en Cu et Ag suggèrent la présence de sulphures (J. Barbier, B.R.G.M., comm. pers.).

Les résultats des analyses de vérification sont présentés au tableau 7.

LÉGENDE LEGEND

- 12607 Prélèvement initial
Original sampling
- 03282 Prélèvement de vérification
Verification sampling
- ⊙ 10031 Échantillon réanalysé
Reanalysed sample
- R140 Échantillon de roche
Rock sample
- Contact géologique
Geological contact
- - - Limite d'échantillonnage
Sampling limit
- Faille
Fault

LAC GOULARD
33 G/5
CU, MO, BA
(Ni, Cr, V, Li and Ag)

The annotated area on sheet 33 G/5 is characterized by high values for Cu, Mo and Ba (max. of 400, 40 and 600 ppm respectively) accompanied by less important values for Ni, Cr, V, Li and Ag.

The simplified geologic map indicates the presence of mafic metavolcanic (unit 2) and metasedimentary (unit 6) rocks. This lithology was verified during the follow-up field campaign. In addition the presence of quartz-diorite interstratified with the metabasalts was also noted.

The association of the Ni, Cr and V suggests an ultramafic affinity which remains however to be confirmed. A few simultaneous high values in Cu and Ag suggests the presence of sulphides (J. Barbier, BRGM, pers. comm.).

The results of the verification analyses are given in table 7.

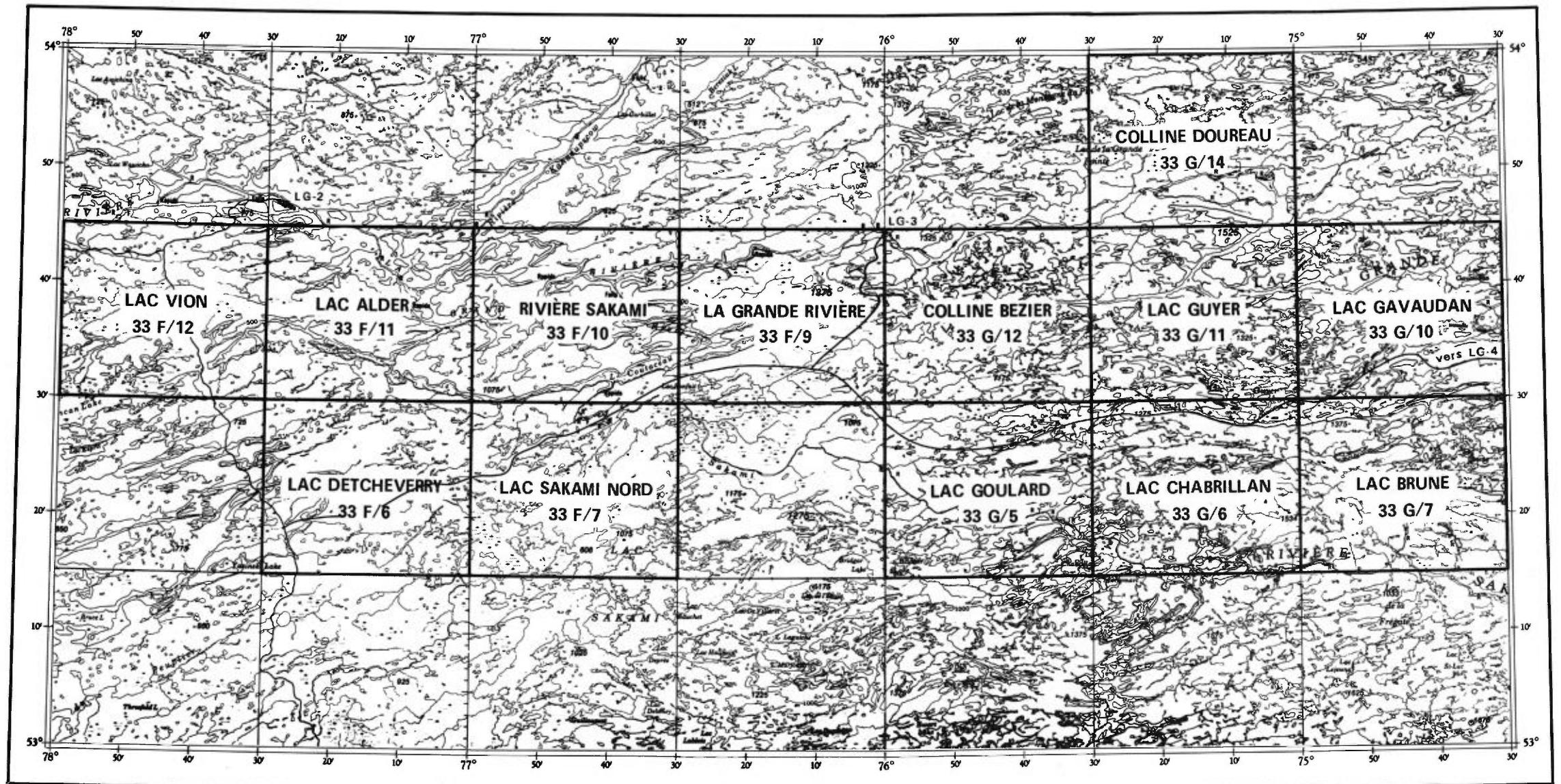
	Cu	Zn	Pb	Ni	Co	Cr	V	Sn	Mo	U	Mn	Ag	Li	Ba	Cs	UTM ZONE 18	
	ppm	ppm	ppm	ppm	ppm	ppm	ppm	ppm	ppm	ppm	ppm	ppm	ppm	ppm	ppm	E	N
74-08459	61	18	13	21	6	30	7	1.0	3.5	4.0	40	0.2	2	200	0.5	458961.6	5926265.0
75-03285 (adjacent)	42	24	6*	20	4	46	9	2.0	2.5	4.0	50	0.1*	1	140	1.0	459202.9	5926222.3
74-08301	64	20	8	18	9	23	13	2.0	10.5	1.0	68	0.2	3	84	1.0	460787.0	5926621.3
75-03286 (adjacent)	70	20	7*	19	8	34	18	2.0	15.0	2.0	80	0.1*	2	100	1.0	460800.4	5926699.5
74-08099	60	48	15	45	27	45	31	5.0	40.0	2.0	268	0.5	17	420	5.5	461122.7	5926767.8
75-03287 (adjacent)	175	30	19*	46	15	58	12	2.0	8.5	6.0	200	0.1*	4	200	1.5	461088.2	5926808.6
74-13562	215	10	5	10	4	11	6	3.0	3.5	2.0	22	0.1	1.0	44	0.5	461429.7	5926437.5
75-03288	320	26	11*	20	18	13	7	2.0	7.5	2.0	176	0.1*	2	82	1.0	461410.8	5926431.3
R:129 qtz diorite	120	19	9*	8	100	13	<2	<2	48	<2	50	0.5*	12	370	—	461410.8	5926431.3
74-13557	27	38	9	20	23	28	16	5.0	6.5	4.0	70	0.3	12	54	2.5	462679.4	5926325.7
75-03289	21	8	2*	8	2	8	3	2.0	0.5	1.0	14	0.1*	1	38	0.5	462690.0	5926299.1
74-13567	60	46	12	64	22	88	290	4.0	7.5	1.0	306	0.3	17	60	1.0	462381.3	5927042.4
75-03290	98	68	68*	24	31	31	51	2.0	25.5	1.0	844	0.1*	5	54	1.5	462438.6	5926965.5
74-13552	150	10	11	18	10	—	—	—	—	—	48	0.5	1	142	—	462531.3	5927228.5
75-03291	97	16	1*	30	15	16	7	2.0	2.5	1.0	160	0.1*	1	118	1.0	462336.9	5927368.3
75-03292	15	22	4*	9	2	16	7	2.0	3.0	1.0	32	0.1*	2	46	1.0	459654.7	5926272.9
74-08456	160	68	22	18	6	—	—	—	—	—	40	0.4	1	64	—	458298.3	5926629.3
75-03294	150	56	37*	21	4	—	—	—	—	1.0	48	0.1*	1	76	—	458281.5	5926702.4
74-08407	70	22	11	36	5	51	8	6.0	1.5	10.0	32	0.2	3	100	1.5	459630.8	5927375.7
75-03296	35	16	19*	34	4	19	6	2.0	1.5	4.0	76	0.1*	2	70	0.5	459622.6	5927365.3
74-08406	440	24	16	88	13	140	20	4.0	1.5	60.0	106	1.8	6	600	2.0	459360.2	5927234.5
75-03297	17	6	1*	16	2	10	5	2.0	1.0	1.0	40	0.1*	1	64	1.0	459413.8	5927204.4

* : corrigé pour absorbance non-spécifique

— : non-analysé

Les échantillons de roches ont été analysés par absorption atomique

TABLEAU 7 – RÉSULTATS D'ANALYSE DE L'AIRE ANNOTÉE (33 G/5)

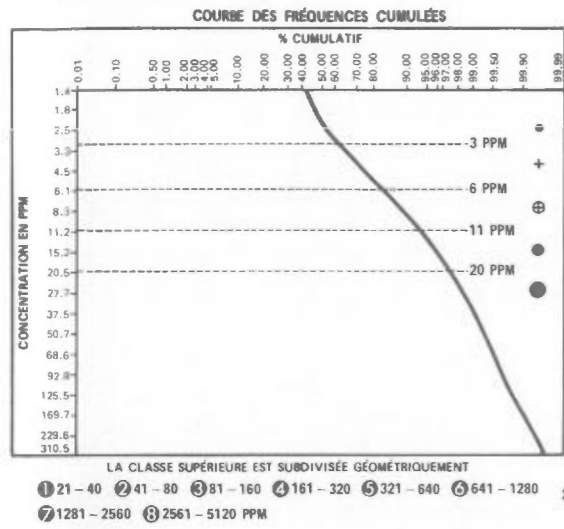


**INDEX DES CARTES GÉOCHIMIQUES
RÉGION DE LA GRANDE RIVIÈRE**



LÉGENDE

GÉOCHIMIE



LITHOLOGIE SIMPLIFIÉE

- 14 Sable et gravier
- S "Sandstone" FM-Sakami
- 13 Dyke de diabase
- 12 Dyke de pegmatite
- 11 Granite
- 10 Quartz-diorite
- 9 Migmatite
- 8 Granite migmatitique
- 7 Formation de fer
- 6 Roche métasédimentaire
- 5 Tuf rhyolitique
- 4 Lave intermédiaire
- 3 Roche ultrabasique
- 2A Amphibolite
- 2 Lave basique
- 1 Gneiss non différencié

Contact ———
Faille - - - - -

ÉCHELLE 1:125,000



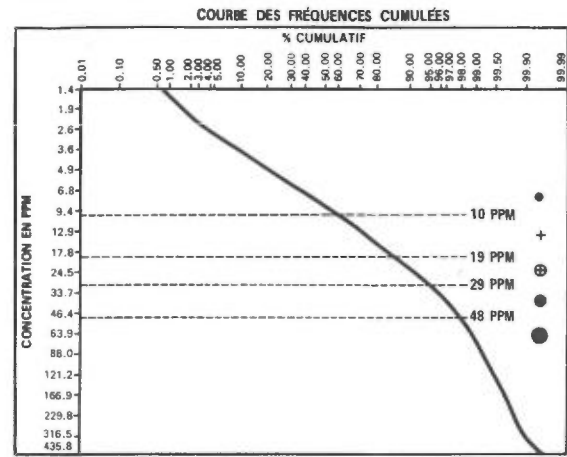
SERVICE DES GÎTES MINÉRAUX
DIVISION DE LA GÉOCHIMIE
G.H. COCKBURN

Carte géochimique No 1830



LÉGENDE

GÉOCHIMIE



- ① 49 - 100
- ② 101 - 200
- ③ 201 - 400
- ④ 401 - 800
- ⑤ 801 - 1600
- ⑥ 1601 - 3200
- ⑦ 3201 - 6400 PPM

LITHOLOGIE SIMPLIFIÉE

- 14 Sable et gravier
- S "Sandstone" FM-Sakami
- 13 Dyke de diabase
- 12 Dyke de pegmatite
- 11 Granite
- 10 Quartz-diorite
- 9 Migmatite
- 8 Granite migmatitique
- 7 Formation de fer
- 6 Roche métasédimentaire
- 5 Tuf rhyolitique
- 4 Lave intermédiaire
- 3 Roche ultrabasiq
- 2A Amphibolite
- 2 Lave basique
- 1 Gneiss non différencié

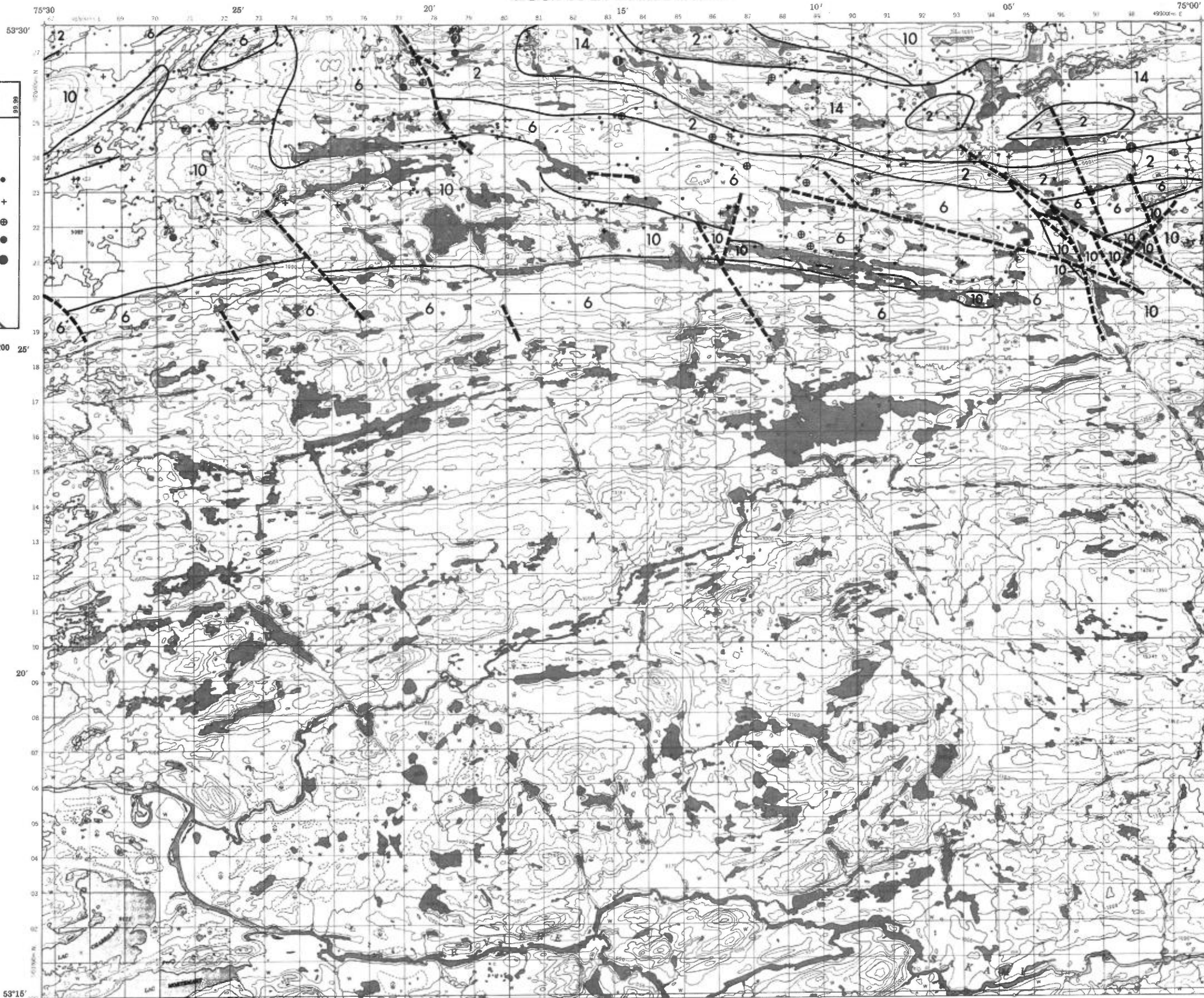
- Contact ———
- Faillle - - - - -

ÉCHELLE 1:125.000



SERVICE DES GÎTES MINÉRAUX
DIVISION DE LA GÉOCHIMIE
G.H. COCKBURN

Carte géochimique No 1830



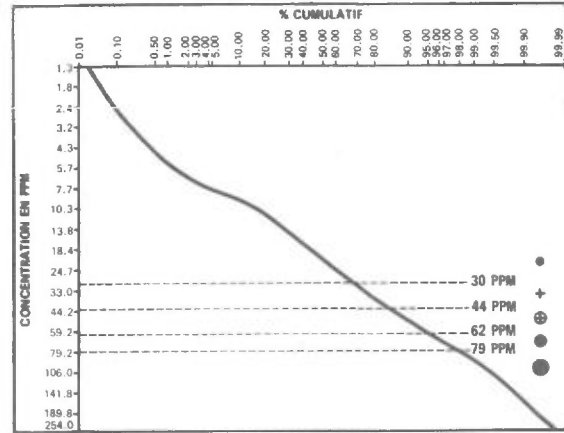
LAC CHABRILLAN

RÉGION DE LA GRANDE RIVIÈRE

LÉGENDE

GÉOCHIMIE

COURBE DES FRÉQUENCES CUMULÉES



LA CLASSE SUPÉRIEURE EST SUBDIVISÉE GÉOMÉTRIQUEMENT

① 80 - 160 ② 161 - 320 ③ 321 - 640 PPM

LITHOLOGIE SIMPLIFIÉE

- 14 Sable et gravier
- S "Sandstone" FM-Sakami
- 13 Dyke de diabase
- 12 Dyke de pegmatite
- 11 Granite
- 10 Quartz-diorite
- 9 Migmatite
- 8 Granite migmatitique
- 7 Formation de fer
- 6 Roche métasédimentaire
- 5 Tuf rhyolitique
- 4 Lave intermédiaire
- 3 Roche ultrabasique
- 2A Amphibolite
- 2 Lave basique
- 1 Gneiss non différencié

Contact ———
Faille - - - - -

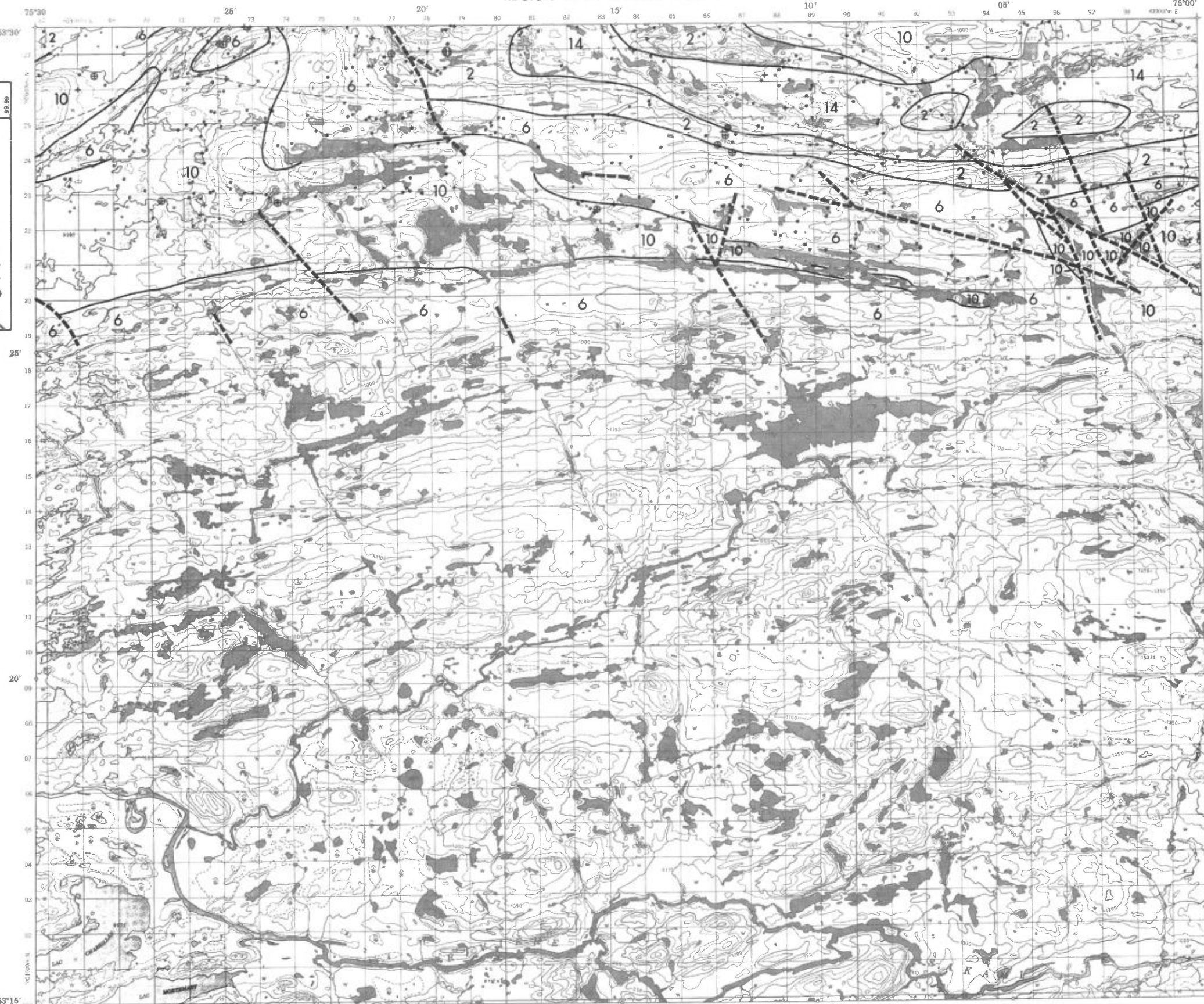
ÉCHELLE 1:125,000



SERVICE DES GÎTES MINÉRAUX

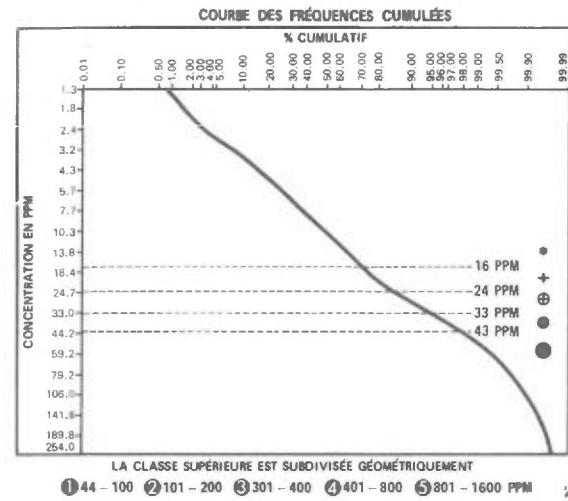
DIVISION DE LA GÉOCHIMIE
G.H. COCKBURN

Carte géochimique No 1830



LÉGENDE

GÉOCHIMIE



LITHOLOGIE SIMPLIFIÉE

- 14 Sable et gravier
- S "Sandstone" FM-Sakami
- 13 Dyke de diabase
- 12 Dyke de pegmatite
- 11 Granite
- 10 Quartz-diorite
- 9 Migmatite
- 8 Granite migmatitique
- 7 Formation de fer
- 6 Roche métasédimentaire
- 5 Tuf rhyolitique
- 4 Lave intermédiaire
- 3 Roche ultrabasique
- 2A Amphibolite
- 2 Lave basique
- 1 Gneiss non différencié

Contact ———
Faille - - - - -

ÉCHELLE 1:125,000



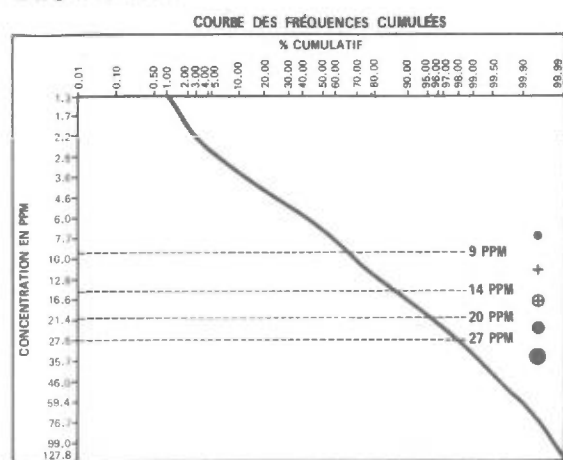
SERVICE DES GÎTES MINÉRAUX
DIVISION DE LA GÉOCHIMIE
G.H. COCKBURN

Carte géochimique No 1830



LÉGENDE

GÉOCHIMIE



LITHOLOGIE SIMPLIFIÉE

- 14 Sable et gravier
- S "Sandstone" FM-Sakami
- 13 Dyke de diabase
- 12 Dyke de pegmatite
- 11 Granite
- 10 Quartz-diorite
- 9 Migmatite
- 8 Granite migmatitique
- 7 Formation de fer
- 6 Roche métasédimentaire
- 5 Tuf rhyolitique
- 4 Lave intermédiaire
- 3 Roche ultrabasique
- 2A Amphibolite
- 2 Lave basique
- 1 Gneiss non différencié

Contact ———
Faille - - - - -

ÉCHELLE 1:125,000



SERVICE DES GÎTES MINÉRAUX

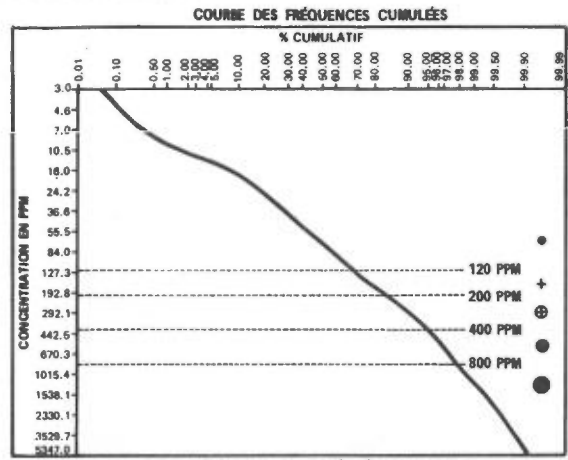
DIVISION DE LA GÉOCHIMIE
G.H. COCKBURN

Carte géochimique No 1830



LÉGENDE

GÉOCHIMIE



1 801 - 1800 2 1601 - 3200 3 3201 - 6400 4 6401 - 12800 5 12801 - 25000 PPM₅

LITHOLOGIE SIMPLIFIÉE

- 14 Sable et gravier
- S "Sandstone" FM-Sakami
- 13 Dyke de diabase
- 12 Dyke de pegmatite
- 11 Granite
- 10 Quartz-diorite
- 9 Migmatite
- 8 Granite migmatitique
- 7 Formation de fer
- 6 Roche métasédimentaire
- 5 Tuf rhyolitique
- 4 Lave intermédiaire
- 3 Roche ultrabasique
- 2A Amphibolite
- 2 Lave basique
- 1 Gneiss non différencié

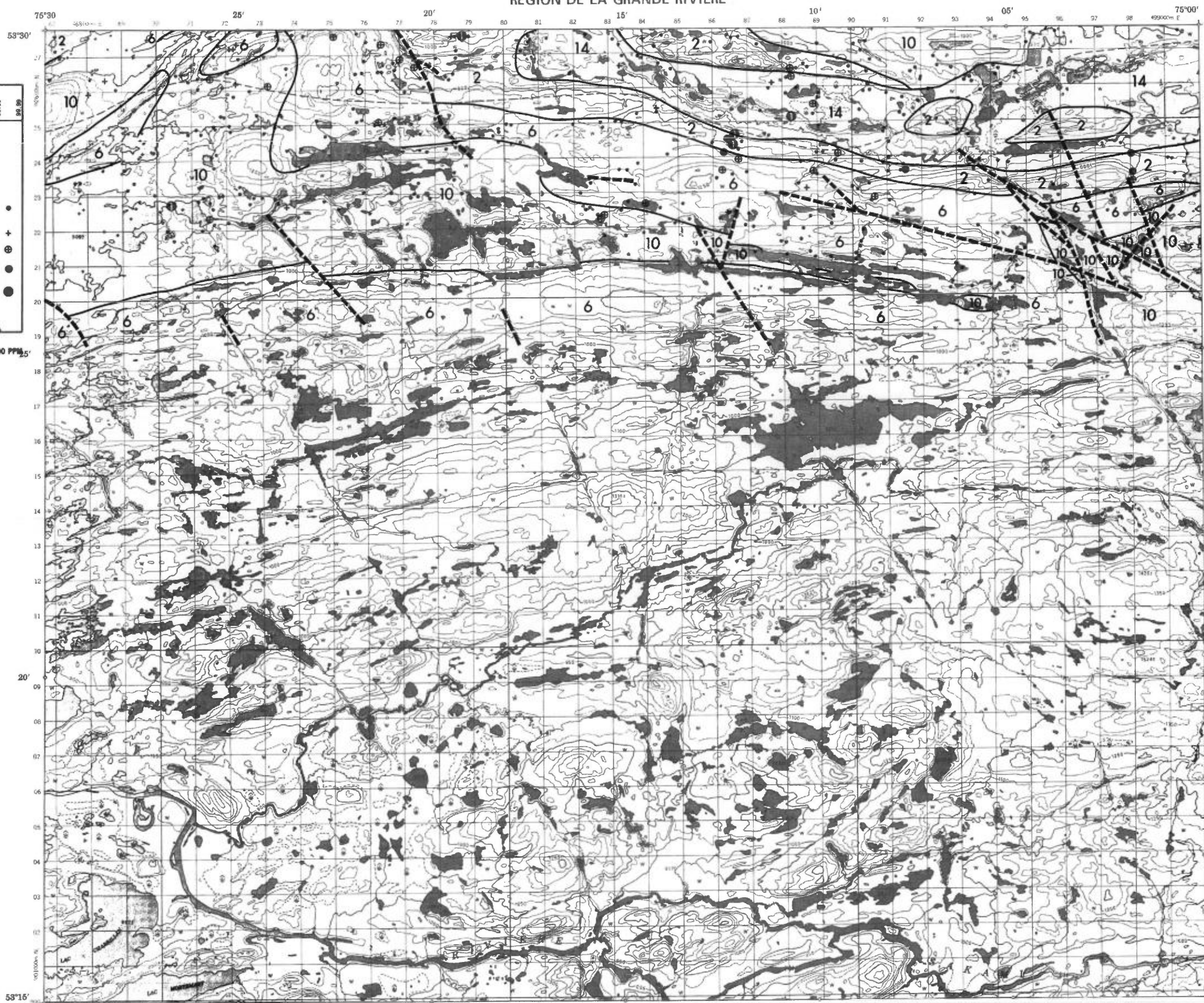
Contact ———
 Faille - - - - -

ÉCHELLE 1:125,000



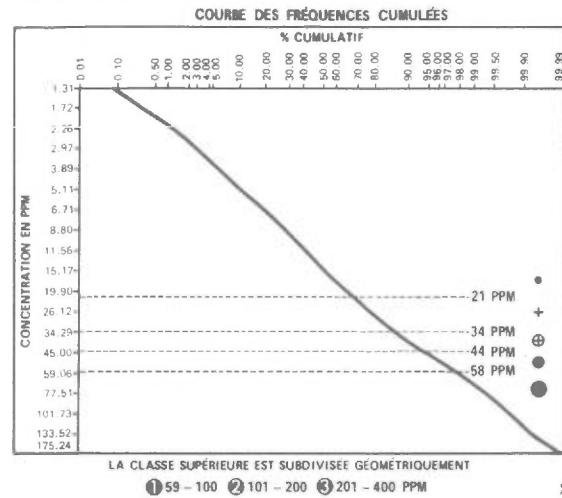
SERVICE DES GÎTES MINÉRAUX
 DIVISION DE LA GÉOCHIMIE
 G.H. COCKBURN

Carte géochimique No 1830



LÉGENDE

GÉOCHIMIE



LITHOLOGIE SIMPLIFIÉE

- 14 Sable et gravier
- S "Sandstone" FM-Sakami
- 13 Dyke de diabase
- 12 Dyke de pegmatite
- 11 Granite
- 10 Quartz-diorite
- 9 Migmatite
- 8 Granite migmatitique
- 7 Formation de fer
- 6 Roche métasédimentaire
- 5 Tuf rhyolitique
- 4 Lave intermédiaire
- 3 Roche ultrabasique
- 2A Amphibolite
- 2 Lave basique
- 1 Gneiss non différencié

Contact ———
Faille - - - - -

ÉCHELLE 1:125,000



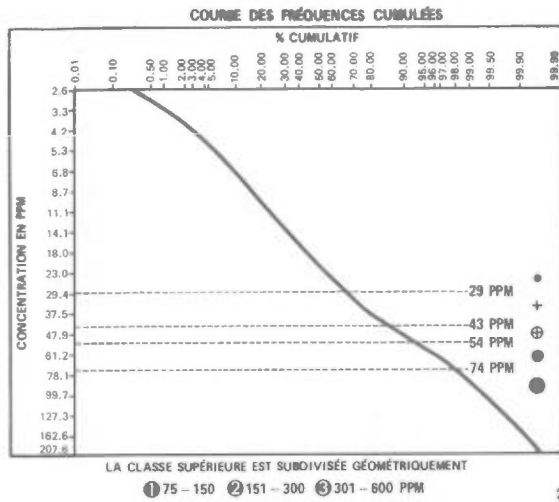
SERVICE DES GÎTES MINÉRAUX
DIVISION DE LA GÉOCHIMIE
G.H. COCKBURN

Carte géochimique No 1830



LÉGENDE

GÉOCHIMIE



LITHOLOGIE SIMPLIFIÉE

- 14 Sable et gravier
- S "Sandstone" FM-Sakami
- 13 Dyke de diabase
- 12 Dyke de pegmatite
- 11 Granite
- 10 Quartz-diorite
- 9 Migmatite
- 8 Granite migmatitique
- 7 Formation de fer
- 6 Roche métasédimentaire
- 5 Tuf rhyolitique
- 4 Lave intermédiaire
- 3 Roche ultrabasique
- 2A Amphibolite
- 2 Lave basique
- 1 Gneiss non différencié

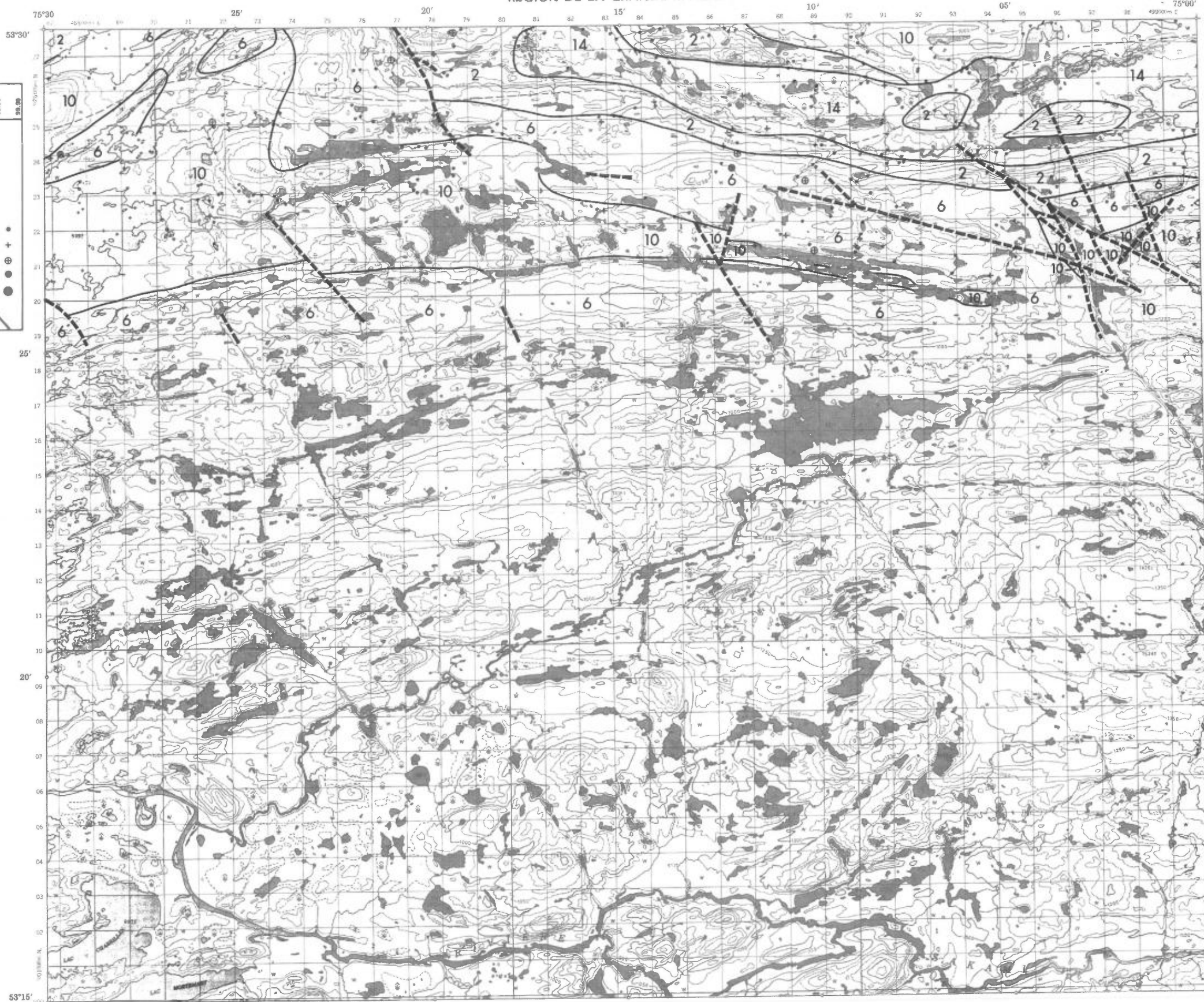
Contact ———
 Faille - - - - -

ÉCHELLE 1:125,000



SERVICE DES GÎTES MINÉRAUX
 DIVISION DE LA GÉOCHIMIE
 G.H. COCKBURN

Carte géochimique No 1830



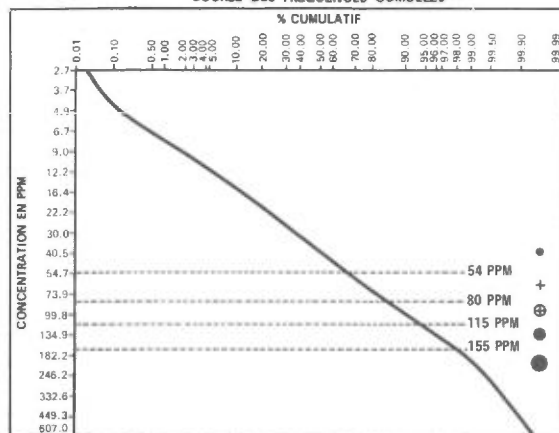
LAC CHABRILLAN

RÉGION DE LA GRANDE RIVIÈRE

LÉGENDE

GÉOCHIMIE

COURBE DES FRÉQUENCES CUMULÉES



LA CLASSE SUPÉRIEURE EST SUBDIVISÉE GÉOMÉTRIQUEMENT

① 156 - 300 ② 301 - 600 ③ 601 - 1200 PPM

LITHOLOGIE SIMPLIFIÉE

- 14 Sable et gravier
- S "Sandstone" FM-Sakami
- 13 Dyke de diabase
- 12 Dyke de pegmatite
- 11 Granite
- 10 Quartz-diorite
- 9 Migmatite
- 8 Granite migmatitique
- 7 Formation de fer
- 6 Roche métasédimentaire
- 5 Tuf rhyolitique
- 4 Lave intermédiaire
- 3 Roche ultrabasique
- 2A Amphibolite
- 2 Lave basique
- 1 Gneiss non différencié

Contact ———
Faille - - - - -

ÉCHELLE 1:125,000



SERVICE DES GÎTES MINÉRAUX

DIVISION DE LA GÉOCHIMIE
G.H. COCKBURN

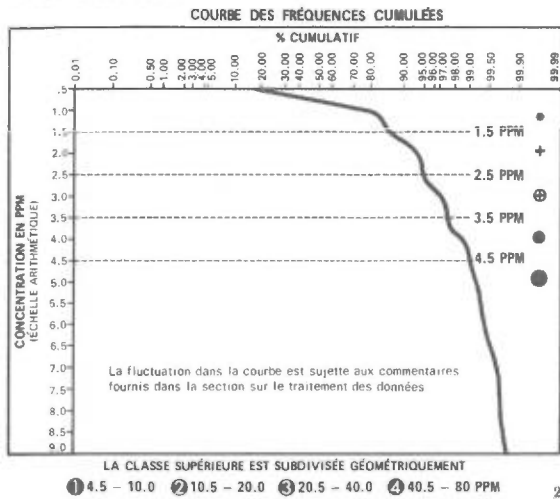
Carte géochimique No 1830



LAC CHABRILLAN
RÉGION DE LA GRANDE RIVIÈRE

LÉGENDE

GÉOCHIMIE



LITHOLOGIE SIMPLIFIÉE

- 14 Sable et gravier
- S "Sandstone" FM-Sakami
- 13 Dyke de diabase
- 12 Dyke de pegmatite
- 11 Granite
- 10 Quartz-diorite
- 9 Migmatite
- 8 Granite migmatitique
- 7 Formation de fer
- 6 Roche métasédimentaire
- 5 Tuf rhyolitique
- 4 Lave intermédiaire
- 3 Roche ultrabasique
- 2A Amphibolite
- 2 Lave basique
- 1 Gneiss non différencié

Contact ———
Faille - - - - -

ÉCHELLE 1:125,000



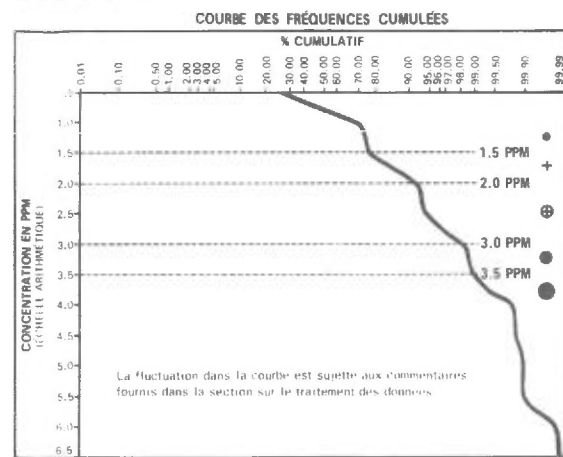
SERVICE DES GÎTES MINÉRAUX
DIVISION DE LA GÉOCHIMIE
G.H. COCKBURN

Carte géochimique No 1830



LÉGENDE

GÉOCHIMIE



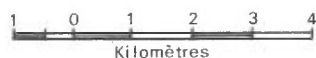
LA CLASSE SUPÉRIEURE EST SUBDIVISÉE GÉOMÉTRIQUEMENT
① 3.5 - 6.0 ② 6.5 - 12.0 ③ 12.5 - 24.0 PPM

LITHOLOGIE SIMPLIFIÉE

- 14 Sable et gravier
- S "Sandstone" FM-Sakami
- 13 Dyke de diabase
- 12 Dyke de pegmatite
- 11 Granite
- 10 Quartz-diorite
- 9 Migmatite
- 8 Granite migmatitique
- 7 Formation de fer
- 6 Roche métasédimentaire
- 5 Tuf rhyolitique
- 4 Lave intermédiaire
- 3 Roche ultrabasique
- 2A Amphibolite
- 2 Lave basique
- 1 Gneiss non différencié

Contact ———
Faille - - - - -

ÉCHELLE 1:125,000



SERVICE DES GÎTES MINÉRAUX

DIVISION DE LA GÉOCHIMIE
G.H. COCKBURN

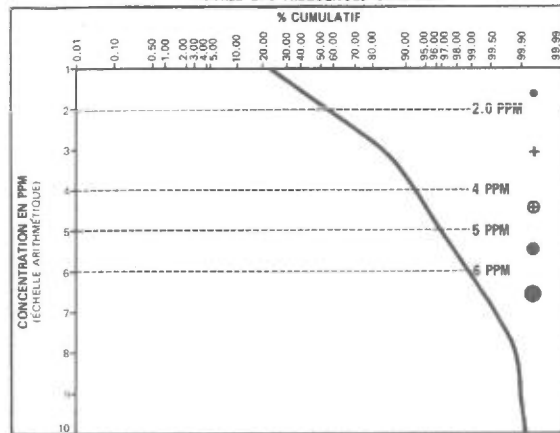
Carte géochimique No 1830



LÉGENDE

GÉOCHIMIE

COURBE DES FRÉQUENCES CUMULÉES



LA CLASSE SUPÉRIEURE EST SUBDIVISÉE GÉOMÉTRIQUEMENT

① 6-10 ② 11-20 ③ 21-40 PPM

LITHOLOGIE SIMPLIFIÉE

- 14 Sabre et gravier
- S "Sandstone" FM-Sakami
- 13 Dyke de diabase
- 12 Dyke de pegmatite
- 11 Granite
- 10 Quartz-diorite
- 9 Migmatite
- 8 Granite migmatitique
- 7 Formation de fer
- 6 Roche métasédimentaire
- 5 Tuf rhyolitique
- 4 Lave intermédiaire
- 3 Roche ultrabasique
- 2A Amphibolite
- 2 Lave basique
- 1 Gneiss non différencié

Contact ———
Faille - - - - -

ÉCHELLE 1:125,000



SERVICE DES GÎTES MINÉRAUX

DIVISION DE LA GÉOCHIMIE
G.H. COCKBURN

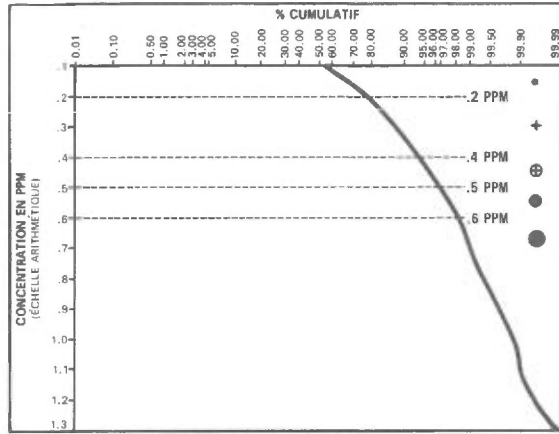
Carte géochimique No 1830



LÉGENDE

GÉOCHIMIE

COURBE DES FRÉQUENCES CUMULÉES



LA CLASSE SUPÉRIEURE EST SUBDIVISÉE GÉOMÉTRIQUEMENT
① 0.6 - 1.0 ② 1.1 - 2.0 PPM

LITHOLOGIE SIMPLIFIÉE

- 14 Sable et gravier
- S "Sandstone" FM-Sakami
- 13 Dyke de diabase
- 12 Dyke de pegmatite
- 11 Granite
- 10 Quartz-diorite
- 9 Migmatite
- 8 Granite migmatitique
- 7 Formation de fer
- 6 Roche métasédimentaire
- 5 Tuf rhyolitique
- 4 Lave intermédiaire
- 3 Roche ultrabasique
- 2A Amphibolite
- 2 Lave basique
- 1 Gneiss non différencié

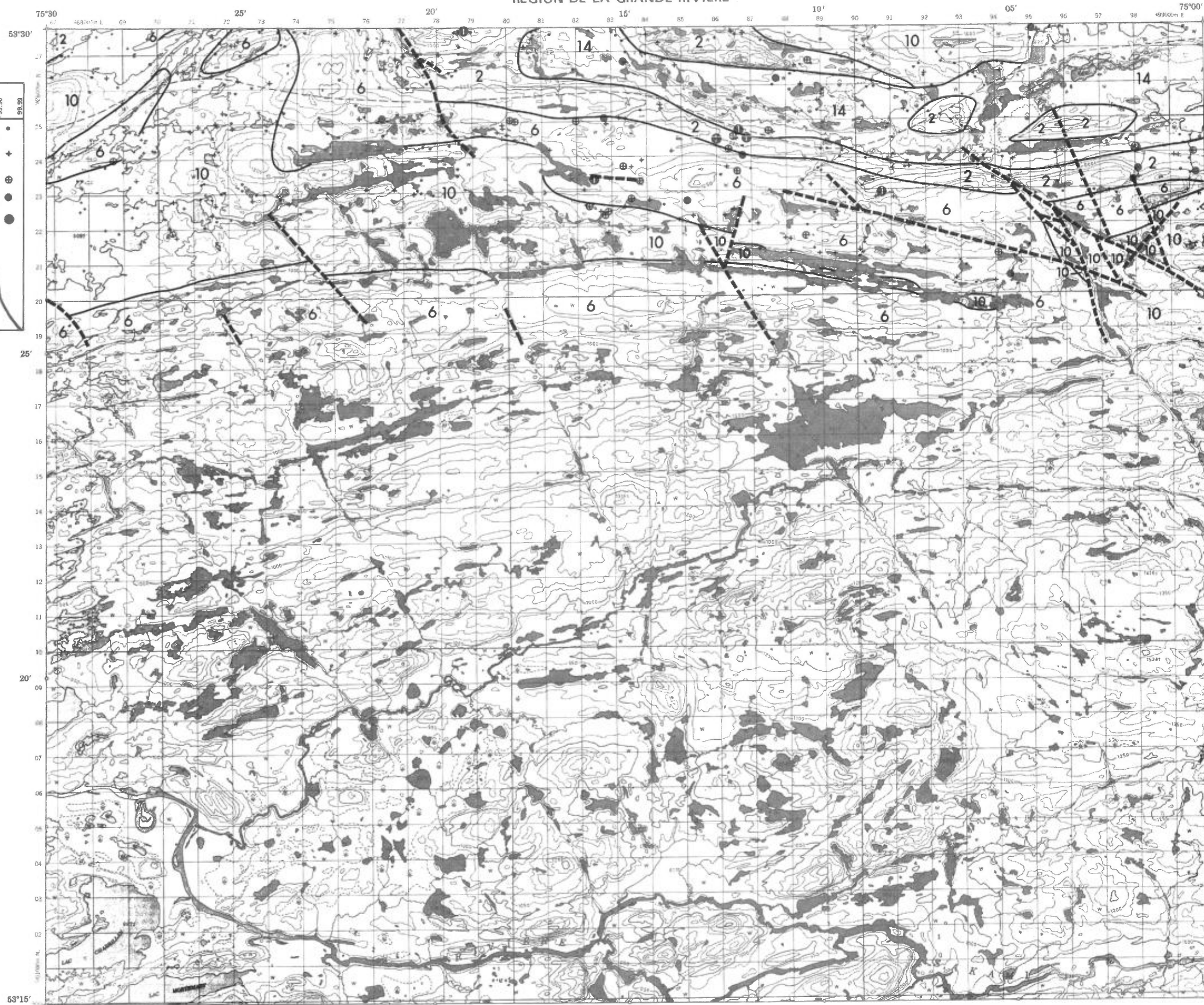
Contact ———
Faille - - - - -

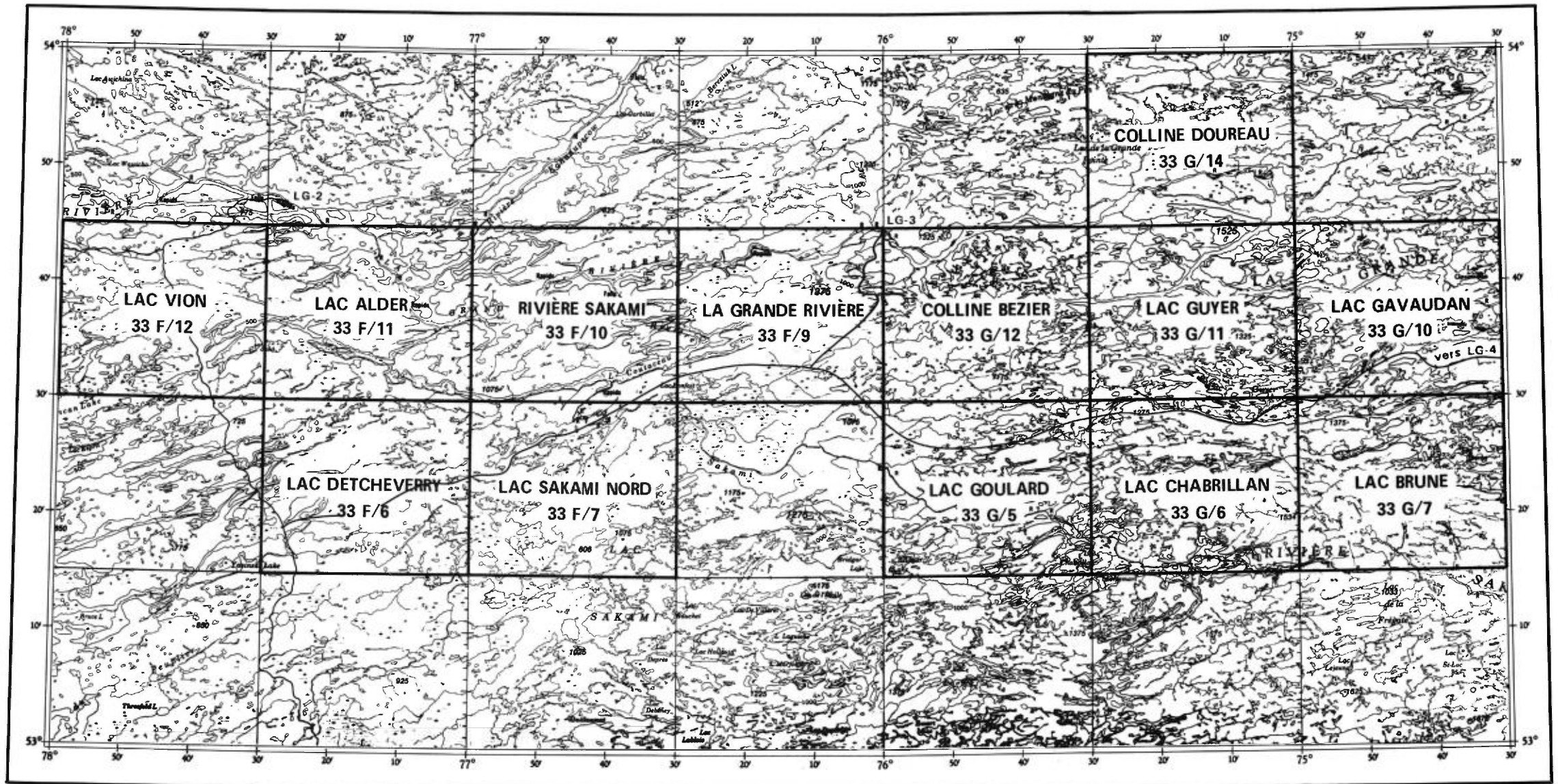
ÉCHELLE 1:125,000



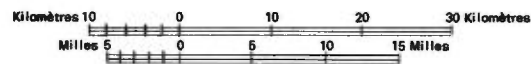
SERVICE DES GÎTES MINÉRAUX
DIVISION DE LA GÉOCHIMIE
G.H. COCKBURN

Carte géochimique No 1830



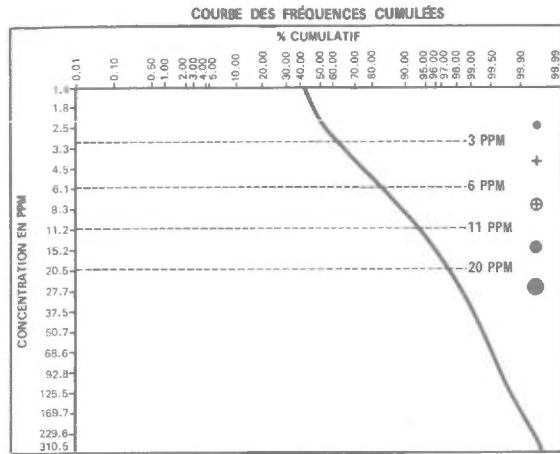


**INDEX DES CARTES GÉOCHIMIQUES
RÉGION DE LA GRANDE RIVIÈRE**



LÉGENDE

GÉOCHIMIE



LA CLASSE SUPÉRIEURE EST SUBDIVISÉE GÉOMÉTRIQUEMENT

① 21-40 ② 41-80 ③ 81-160 ④ 161-320 ⑤ 321-640 ⑥ 641-1280
⑦ 1281-2560 ⑧ 2561-5120 PPM

LITHOLOGIE SIMPLIFIÉE

- 14 Sable et gravier
- S "Sandstone" FM-Sakami
- 13 Dyke de diabase
- 12 Dyke de pegmatite
- 11 Granite
- 10 Quartz-diorite
- 9 Migmatite
- 8 Granite migmatitique
- 7 Formation de fer
- 6 Roche métasédimentaire
- 5 Tuf rhyolitique
- 4 Lave intermédiaire
- 3 Roche ultrabasique
- 2A Amphibolite
- 2 Lave basique
- 1 Gneiss non différencié

Contact ———
Faille - - - - -

ÉCHELLE 1:125,000



SERVICE DES GÎTES MINÉRAUX

DIVISION DE LA GÉOCHIMIE
G.H. COCKBURN

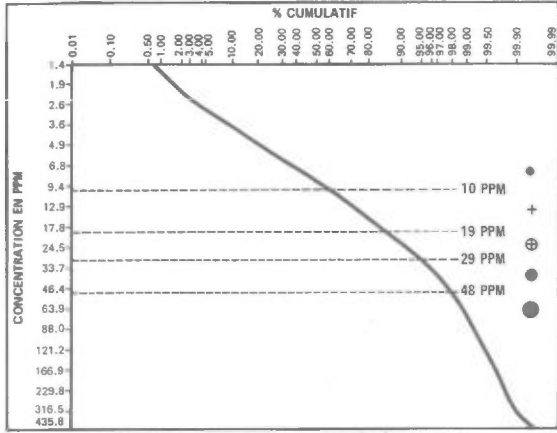
Carte géochimique No 1831



LÉGENDE

GÉOCHIMIE

COURBE DES FRÉQUENCES CUMULÉES



LA CLASSE SUPÉRIEURE EST SUBDIVISÉE GÉOMÉTRIQUEMENT

- ① 49 - 100
- ② 101 - 200
- ③ 201 - 400
- ④ 401 - 800
- ⑤ 801 - 1600
- ⑥ 1601 - 3200
- ⑦ 3201 - 6400 PPM

LITHOLOGIE SIMPLIFIÉE

- 14 Sable et gravier
- S "Sandstone" FM-Sakami
- 13 Dyke de diabase
- 12 Dyke de pegmatite
- 11 Granite
- 10 Quartz-diorite
- 9 Migmatite
- 8 Granite migmatitique
- 7 Formation de fer
- 6 Roche métasédimentaire
- 5 Tuf rhyolitique
- 4 Lave intermédiaire
- 3 Roche ultrabasique
- 2A Amphibolite
- 2 Lave basique
- 1 Gneiss non différencié

- Contact ———
- Faille - - - - -

ÉCHELLE 1:125,000



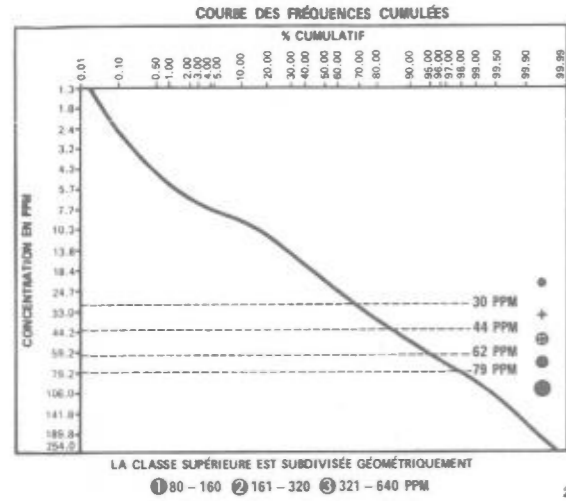
SERVICE DES GÎTES MINÉRAUX
DIVISION DE LA GÉOCHIMIE
G.H. COCKBURN

Carte géochimique No 1831



LÉGENDE

GÉOCHIMIE



LITHOLOGIE SIMPLIFIÉE

- 14 Sable et gravier
- S "Sandstone" FM-Sakami
- 13 Dyke de diabase
- 12 Dyke de pegmatite
- 11 Granite
- 10 Quartz-diorite
- 9 Migmatite
- 8 Granite migmatitique
- 7 Formation de fer
- 6 Roche métasédimentaire
- 5 Tuf rhyolitique
- 4 Lave intermédiaire
- 3 Roche ultrabasique
- 2A Amphibolite
- 2 Lave basique
- 1 Gneiss non différencié

Contact ———
 Faille - - - - -

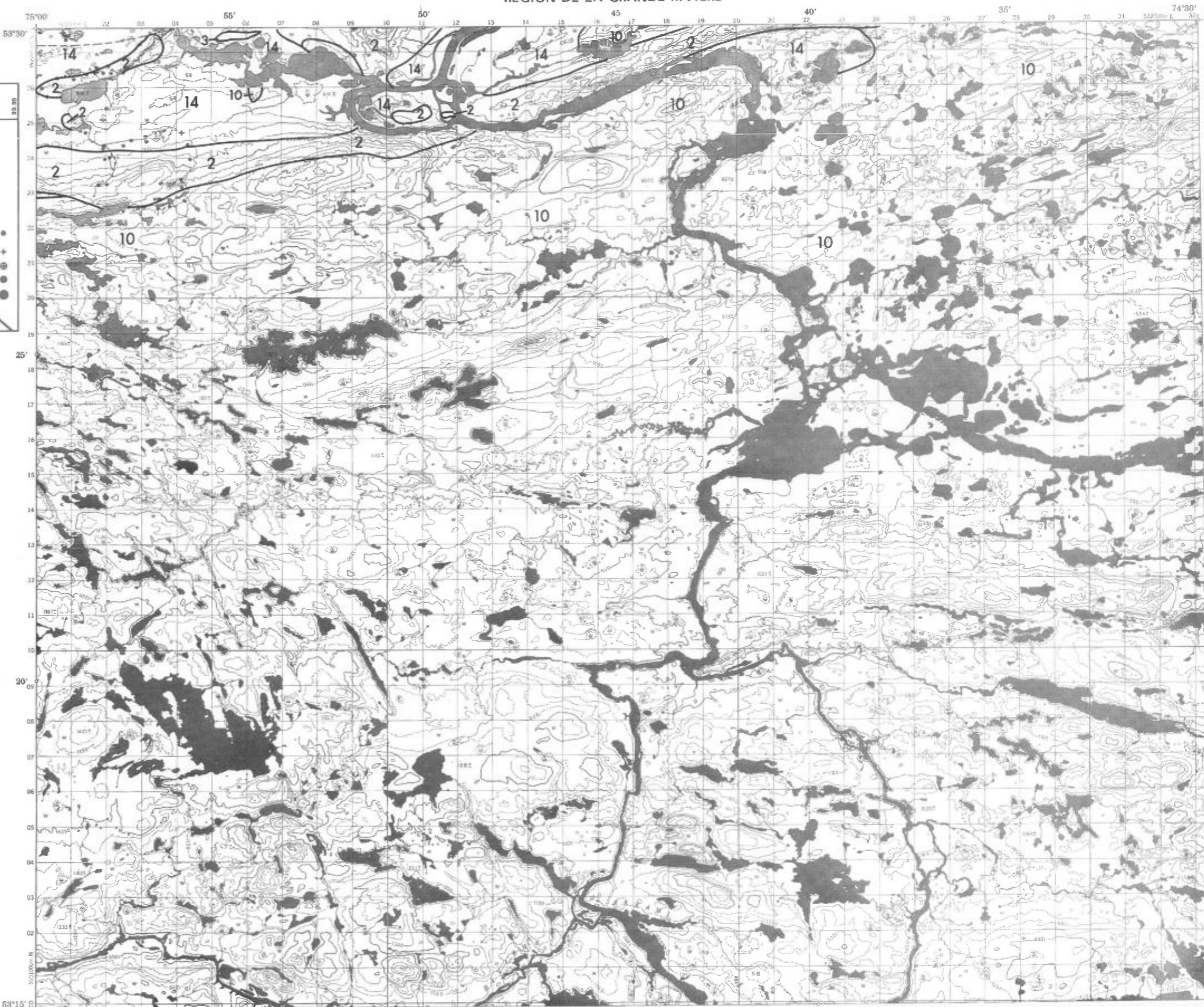
ÉCHELLE 1:125,000



SERVICE DES GÎTES MINÉRAUX

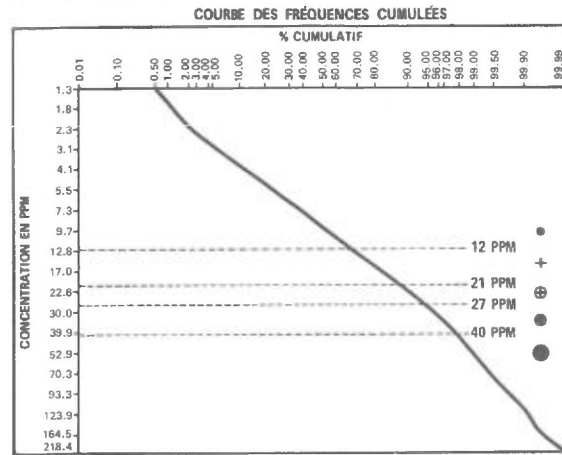
DIVISION DE LA GÉOCHIMIE
 G.H. COCKBURN

Carte géochimique No 1831



LÉGENDE

GÉOCHIMIE



LITHOLOGIE SIMPLIFIÉE

- 14 Sable et gravier
- S "Sandstone" FM-Sakami
- 13 Dyke de diabase
- 12 Dyke de pegmatite
- 11 Granite
- 10 Quartz-diorite
- 9 Migmatite
- 8 Granite migmatitique
- 7 Formation de fer
- 6 Roche métasédimentaire
- 5 Tuf rhyolitique
- 4 Lave intermédiaire
- 3 Roche ultrabasique
- 2A Amphibolite
- 2 Lave basique
- 1 Gneiss non différencié

- Contact ———
- Faillle - - - - -

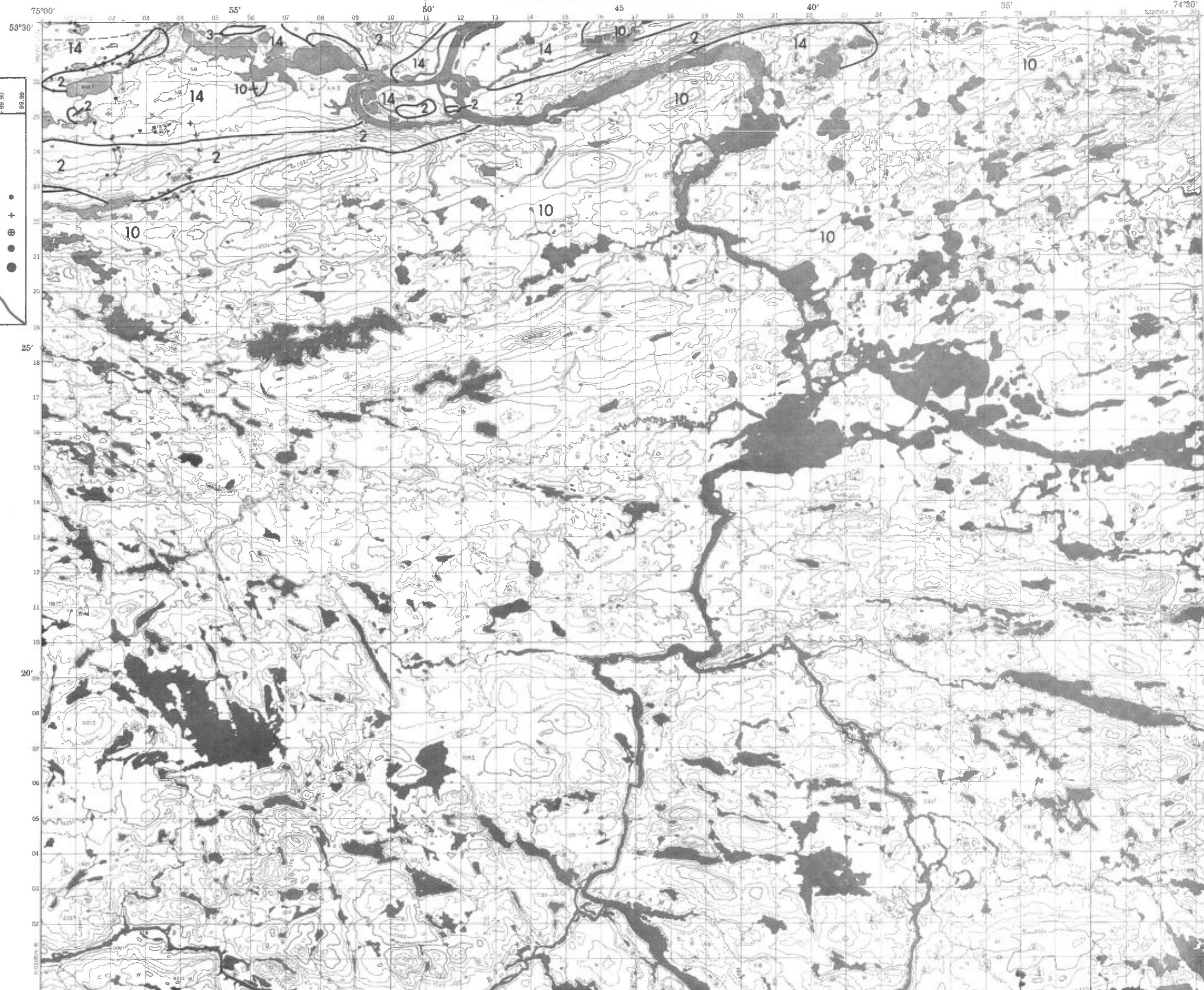
ÉCHELLE 1:125,000



SERVICE DES GÎTES MINÉRAUX

DIVISION DE LA GÉOCHIMIE
G.H. COCKBURN

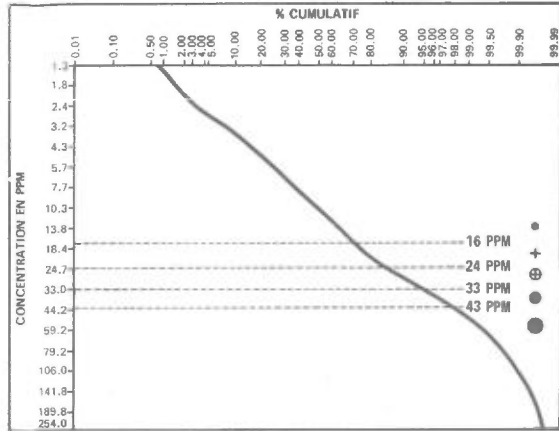
Carte géochimique No 1831



LÉGENDE

GÉOCHIMIE

COURBE DES FRÉQUENCES CUMULÉES



LA CLASSE SUPÉRIEURE EST SUBDIVISÉE GÉOMÉTRIQUEMENT

① 44-100 ② 101-200 ③ 301-400 ④ 401-800 ⑤ 301-1600 PPM

LITHOLOGIE SIMPLIFIÉE

- 14 Sable et gravier
- S "Sandstone" FM-Sakami
- 13 Dyke de diabase
- 12 Dyke de pegmatite
- 11 Granite
- 10 Quartz-diorite
- 9 Migmatite
- 8 Granite migmatitique
- 7 Formation de fer
- 6 Roche métasédimentaire
- 5 Tuf rhyolitique
- 4 Lave intermédiaire
- 3 Roche ultrabasique
- 2A Amphibolite
- 2 Lave basique
- 1 Gneiss non différencié

Contact ———
Faille - - - - -

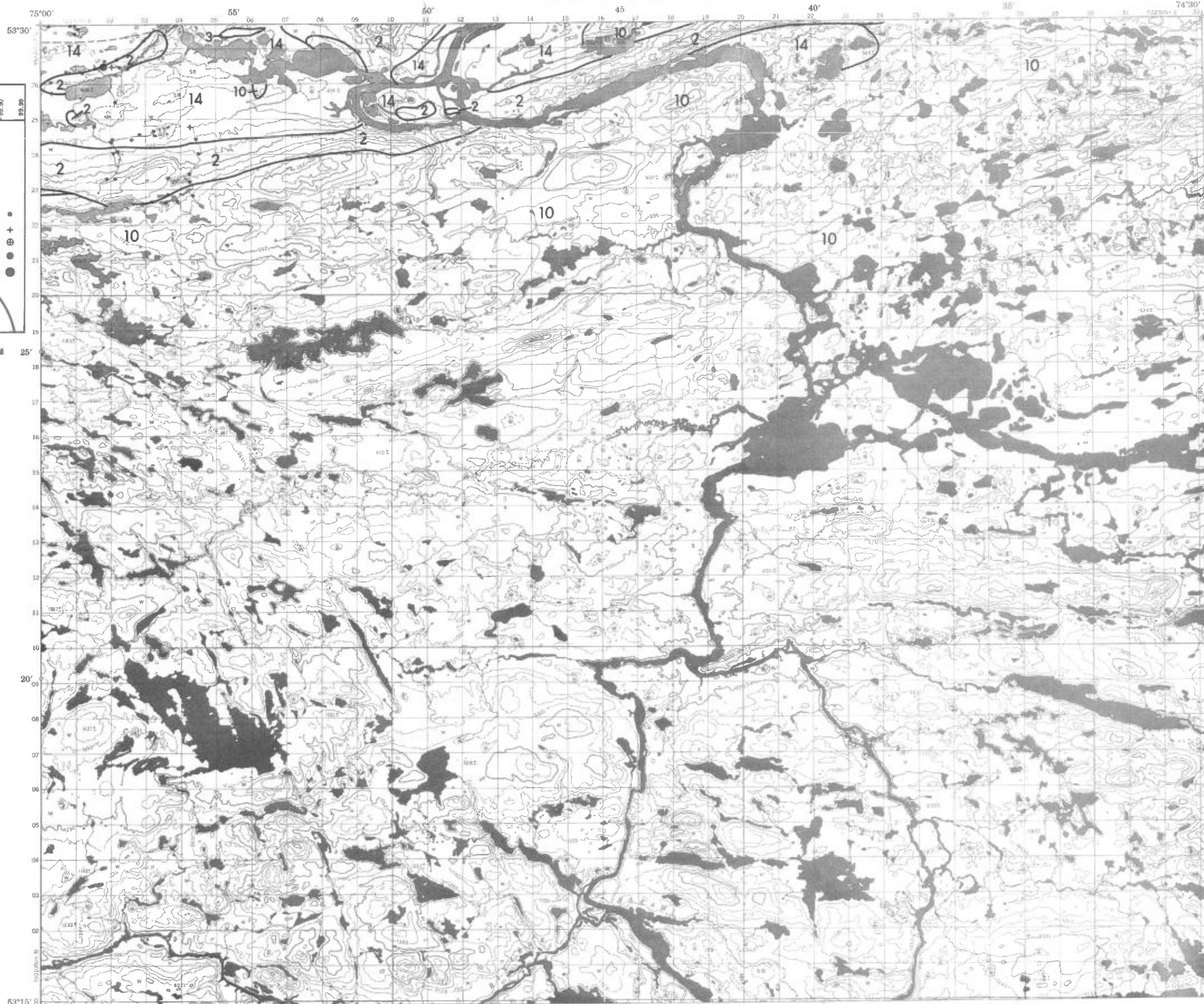
ÉCHELLE 1:125,000



SERVICE DES GÎTES MINÉRAUX

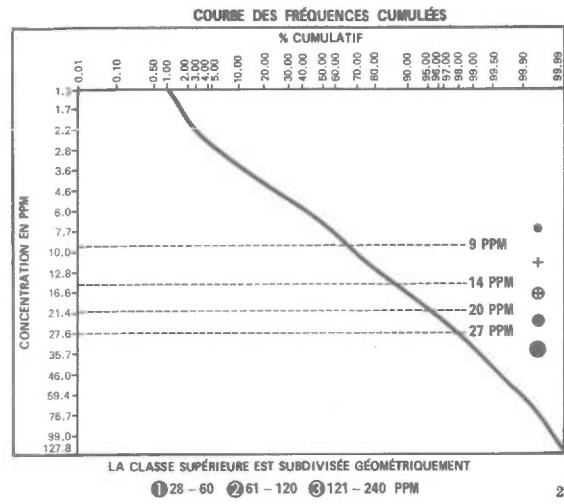
DIVISION DE LA GÉOCHIMIE
G.H. COCKBURN

Carte géochimique No 1831



LÉGENDE

GÉOCHIMIE



LITHOLOGIE SIMPLIFIÉE

- 14 Sable et gravier
- S "Sandstone" FM-Sakami
- 13 Dyke de diabase
- 12 Dyke de pegmatite
- 11 Granite
- 10 Quartz-diorite
- 9 Migmatite
- 8 Granite migmatitique
- 7 Formation de fer
- 6 Roche métasédimentaire
- 5 Tuf rhyolitique
- 4 Lave intermédiaire
- 3 Roche ultrabasique
- 2A Amphibolite
- 2 Lave basique
- 1 Gneiss non différencié

- Contact ———
- Faillle - - - - -

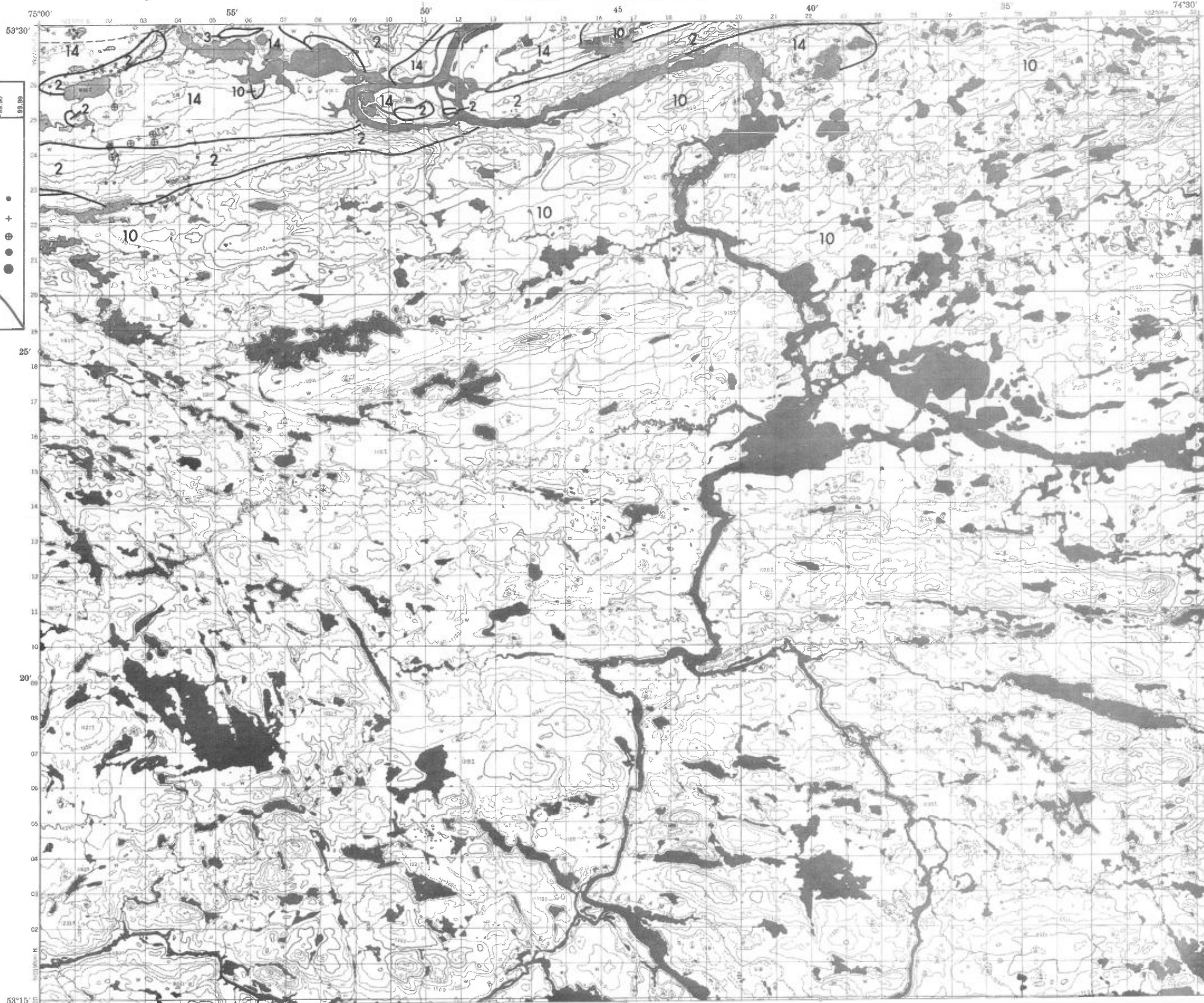
ÉCHELLE 1:125,000



SERVICE DES GÎTES MINÉRAUX

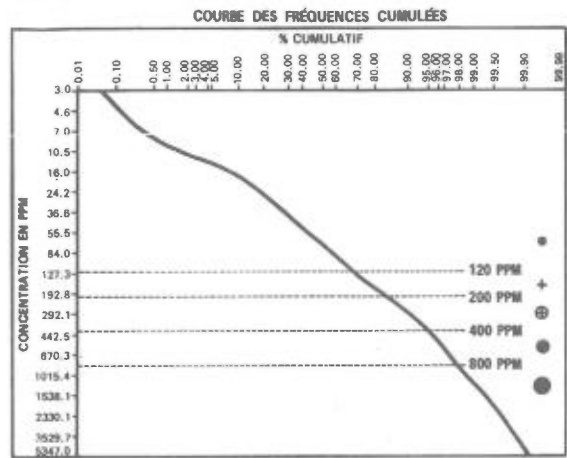
DIVISION DE LA GÉOCHIMIE
 G.H. COCKBURN

Carte géochimique No 1831



LÉGENDE

GÉOCHIMIE



① 801 - 1600 ② 1601 - 3200 ③ 3201 - 6400 ④ 6401 - 12800 ⑤ 12801 - 25000 PPM

LITHOLOGIE SIMPLIFIÉE

- 14 Sable et gravier
- S "Sandstone" FM-Sakami
- 13 Dyke de diabase
- 12 Dyke de pegmatite
- 11 Granite
- 10 Quartz-diorite
- 9 Migmatite
- 8 Granite migmatitique
- 7 Formation de fer
- 6 Roche métasédimentaire
- 5 Tuf rhyolitique
- 4 Lave intermédiaire
- 3 Roche ultrabasique
- 2A Amphibolite
- 2 Lave basique
- 1 Gneiss non différencié

Contact ———
Faille - - - - -

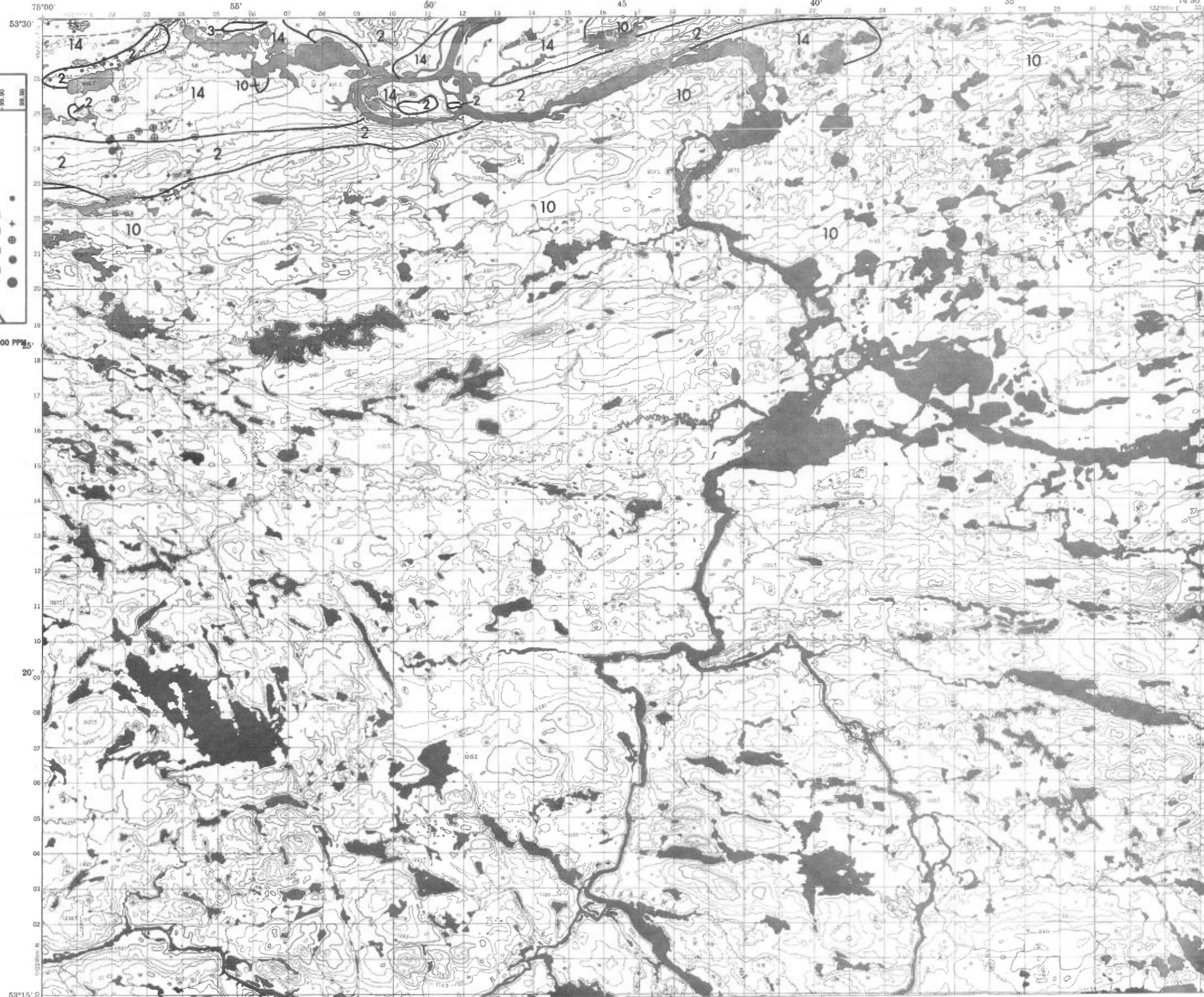
ÉCHELLE 1:125,000



SERVICE DES GÎTES MINÉRAUX

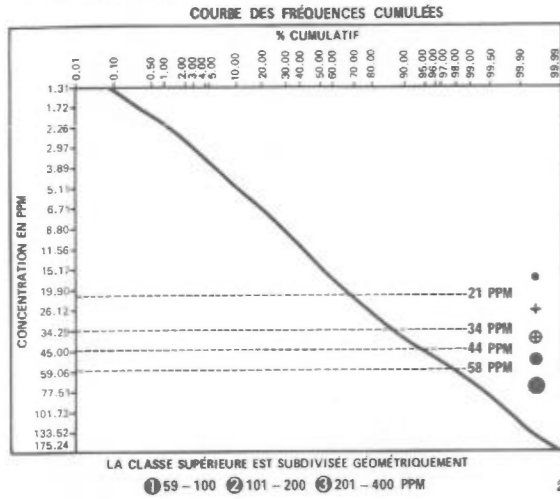
DIVISION DE LA GÉOCHIMIE
G.H. COCKBURN

Carte géochimique No 1831



LÉGENDE

GÉOCHIMIE



LITHOLOGIE SIMPLIFIÉE

- 14 Sable et gravier
- S "Sandstone" FM-Sakami
- 13 Dyke de diabase
- 12 Dyke de pegmatite
- 11 Granite
- 10 Quartz-diorite
- 9 Migmatite
- 8 Granite migmatitique
- 7 Formation de fer
- 6 Roche métasédimentaire
- 5 Tuf rhyolitique
- 4 Lave intermédiaire
- 3 Roche ultrabasique
- 2A Amphibolite
- 2 Lave basique
- 1 Gneiss non différencié

Contact ———
 Faille - - - - -

ÉCHELLE 1:125,000



SERVICE DES GÎTES MINÉRAUX
 DIVISION DE LA GÉOCHIMIE
 G.H. COCKBURN
 Carte géochimique No 1831

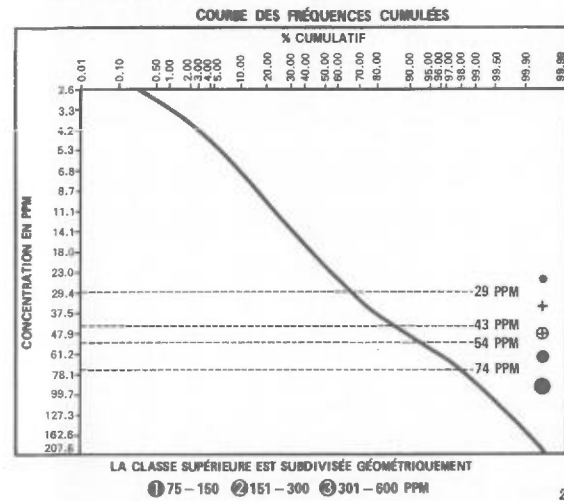


LAC BRUNE

RÉGION DE LA GRANDE RIVIÈRE

LÉGENDE

GÉOCHIMIE



LITHOLOGIE SIMPLIFIÉE

- 14 Sable et gravier
- S "Sandstone" FM-Sakami
- 13 Dyke de diabase
- 12 Dyke de pegmatite
- 11 Granite
- 10 Quartz-diorite
- 9 Migmatite
- 8 Granite migmatitique
- 7 Formation de fer
- 6 Roche métasédimentaire
- 5 Tuf rhyolitique
- 4 Lave intermédiaire
- 3 Roche ultrabasique
- 2A Amphibolite
- 2 Lave basique
- 1 Gneiss non différencié

Contact ———
Faille - - - - -

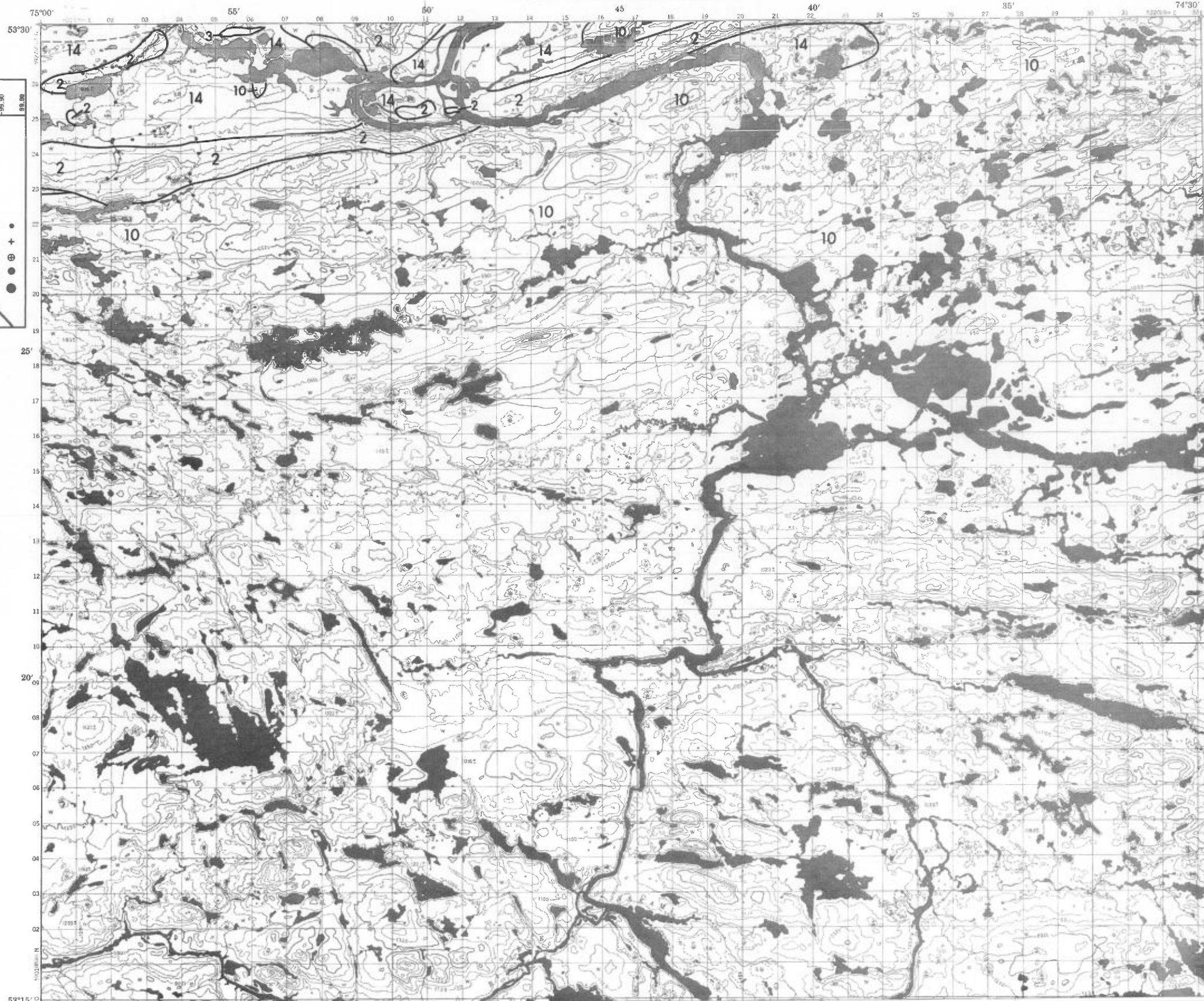
ÉCHELLE 1:125,000



SERVICE DES GÎTES MINÉRAUX

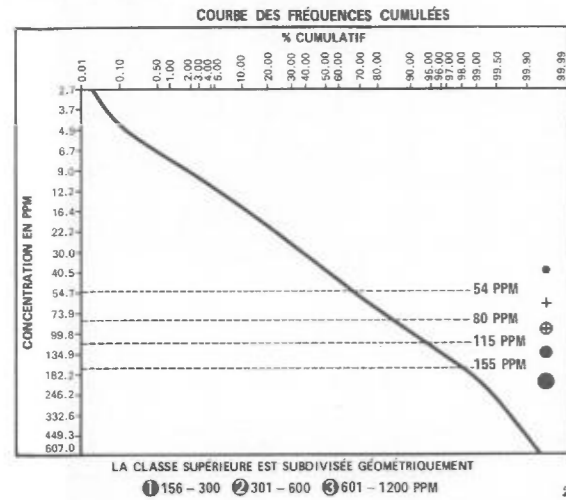
DIVISION DE LA GÉOCHIMIE
G.H. COCKBURN

Carte géochimique No 1831



LÉGENDE

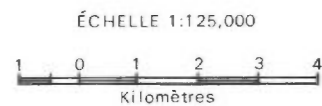
GÉOCHIMIE



LITHOLOGIE SIMPLIFIÉE

- 14 Sable et gravier
- S "Sandstone" FM-Sakami
- 13 Dyke de diabase
- 12 Dyke de pegmatite
- 11 Granite
- 10 Quartz-diorite
- 9 Migmatite
- 8 Granite migmatitique
- 7 Formation de fer
- 6 Roche métasédimentaire
- 5 Tuf rhyolitique
- 4 Lave intermédiaire
- 3 Roche ultrabasique
- 2A Amphibolite
- 2 Lave basique
- 1 Gneiss non différencié

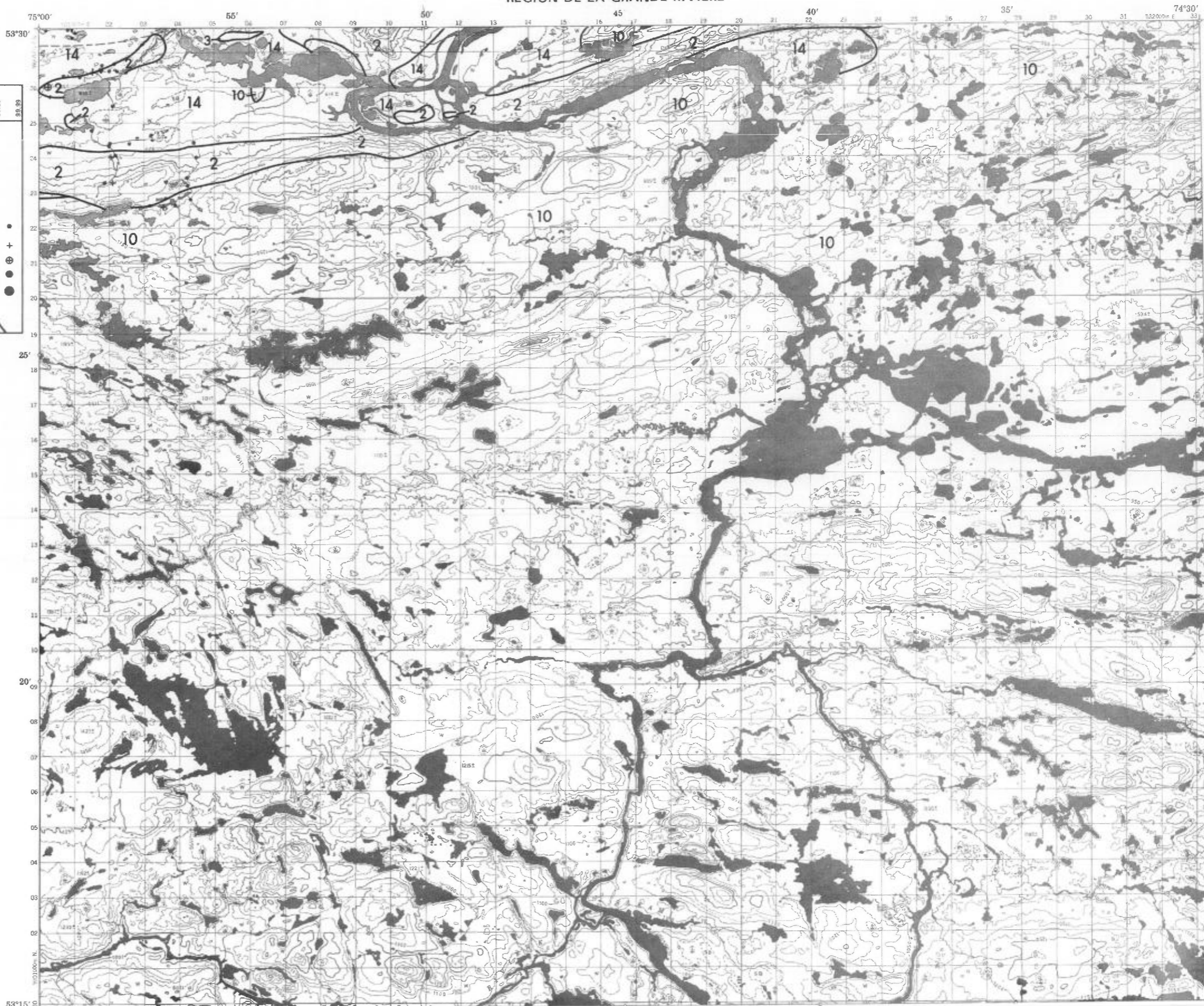
Contact ———
Faille - - - - -



SERVICE DES GÎTES MINÉRAUX

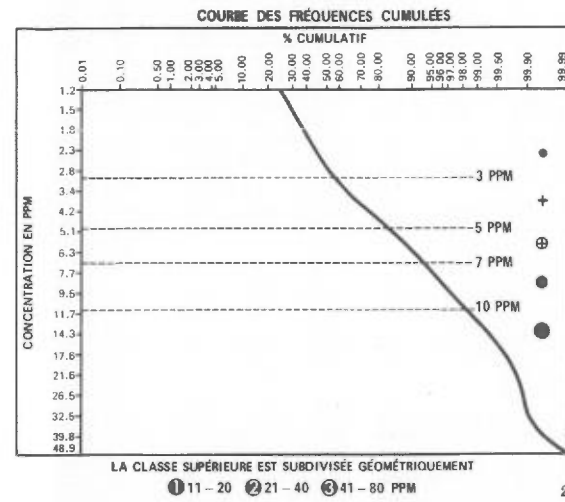
DIVISION DE LA GÉOCHIMIE
G.H. COCKBURN

Carte géochimique No 1831



LÉGENDE

GÉOCHIMIE



LITHOLOGIE SIMPLIFIÉE

- 14 Sable et gravier
- S "Sandstone" FM-Sakami
- 13 Dyke de diabase
- 12 Dyke de pegmatite
- 11 Granite
- 10 Quartz-diorite
- 9 Migmatite
- 8 Granite migmatitique
- 7 Formation de fer
- 6 Roche métasédimentaire
- 5 Tuf rhyolitique
- 4 Lave intermédiaire
- 3 Roche ultrabasique
- 2A Amphibolite
- 2 Lave basique
- 1 Gneiss non différencié

- Contact ———
- Faïlle - - - - -

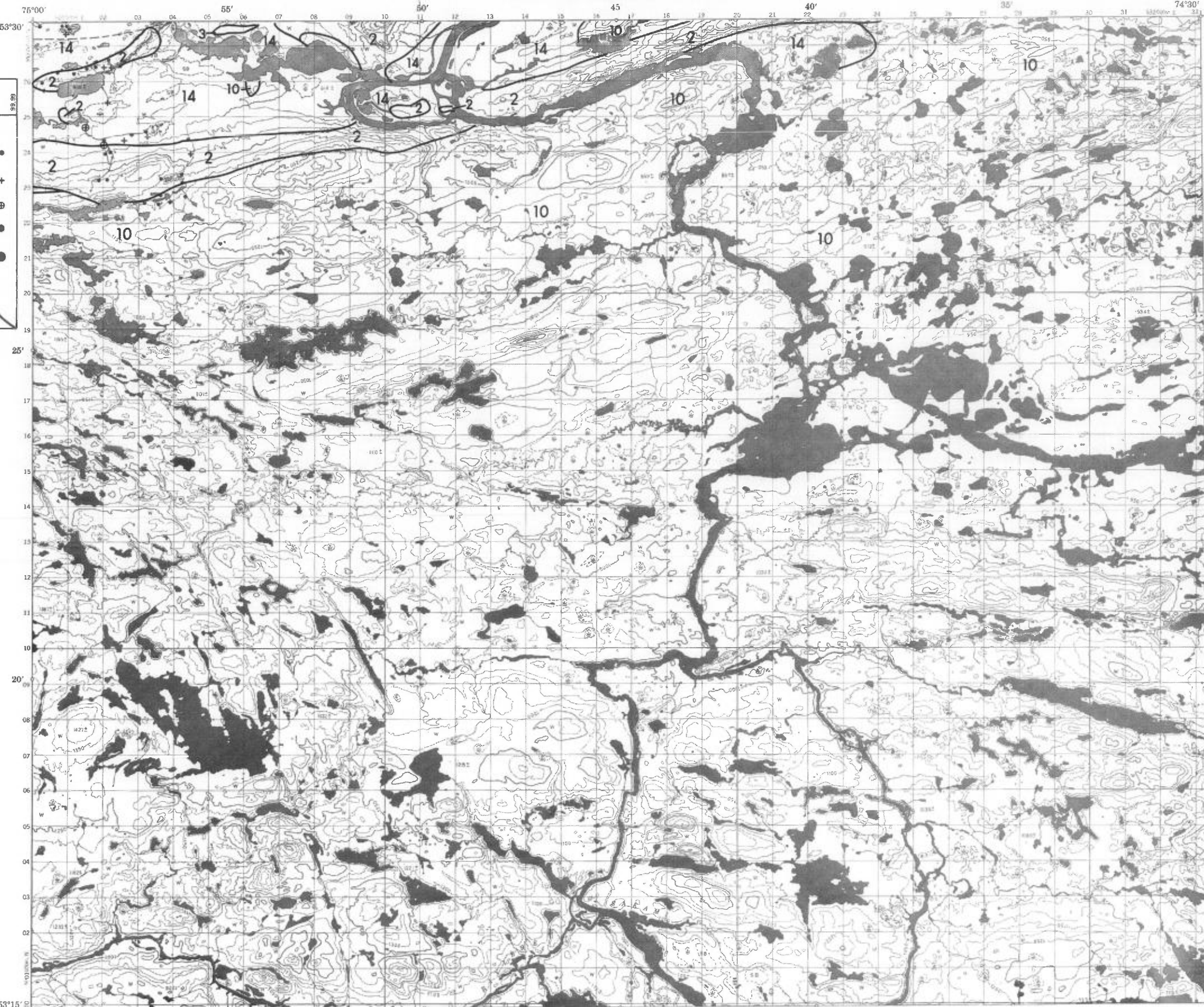
ÉCHELLE 1:125,000



SERVICE DES GÎTES MINÉRAUX

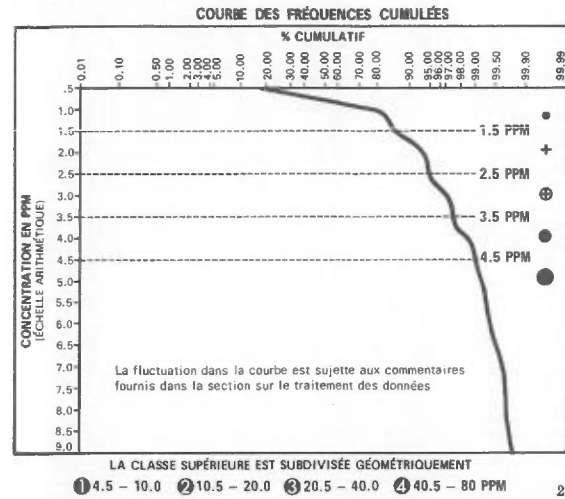
DIVISION DE LA GÉOCHIMIE
 G.H. COCKBURN

Carte géochimique No 1831



LÉGENDE

GÉOCHIMIE



LITHOLOGIE SIMPLIFIÉE

- 14 Sable et gravier
- S "Sandstone" FM-Sakami
- 13 Dyke de diabase
- 12 Dyke de pegmatite
- 11 Granite
- 10 Quartz-diorite
- 9 Migmatite
- 8 Granite migmatitique
- 7 Formation de fer
- 6 Roche métasédimentaire
- 5 Tuf rhyolitique
- 4 Lave intermédiaire
- 3 Roche ultrabasique
- 2A Amphibolite
- 2 Lave basique
- 1 Gneiss non différencié

Contact ———
Faille - - - - -

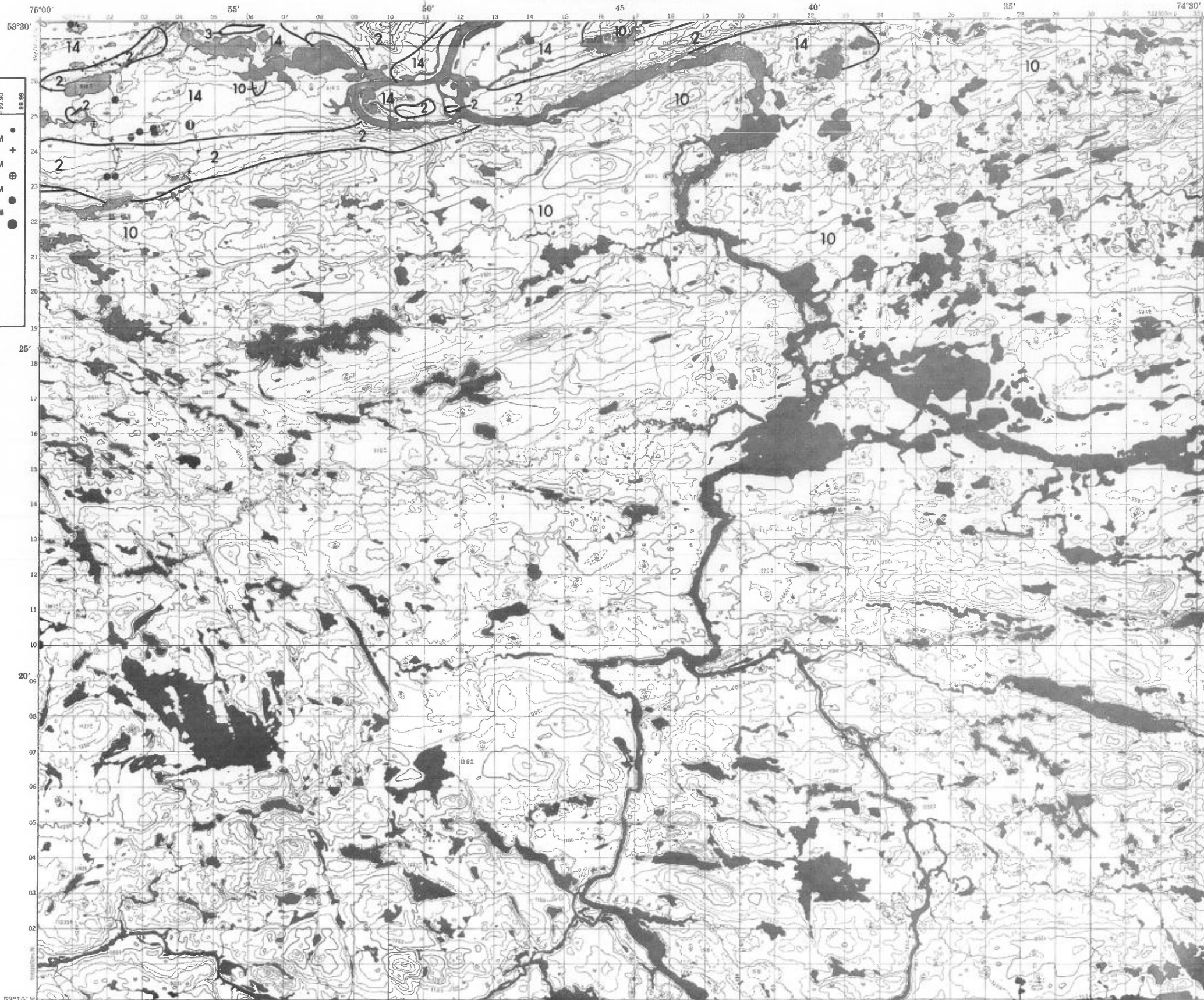
ÉCHELLE 1:125,000



SERVICE DES GÎTES MINÉRAUX

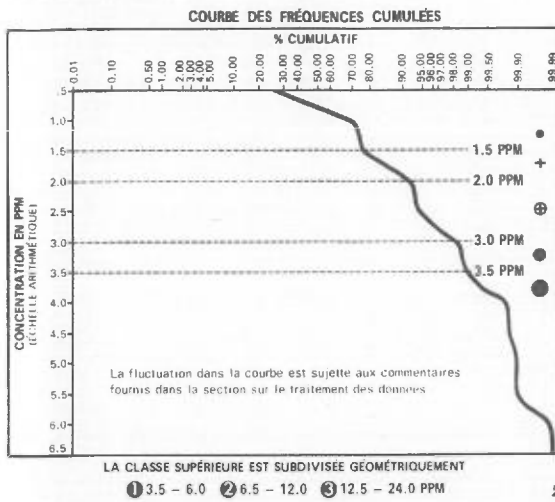
DIVISION DE LA GÉOCHIMIE
G.H. COCKBURN

Carte géochimique No 1831



LÉGENDE

GÉOCHIMIE



LITHOLOGIE SIMPLIFIÉE

- 14 Sable et gravier
- S "Sandstone" FM-Sakami
- 13 Dyke de diabase
- 12 Dyke de pegmatite
- 11 Granite
- 10 Quartz-diorite
- 9 Migmatite
- 8 Granite migmatitique
- 7 Formation de fer
- 6 Roche métasédimentaire
- 5 Tuf rhyolitique
- 4 Lave intermédiaire
- 3 Roche ultrabasique
- 2A Amphibolite
- 2 Lave basique
- 1 Gneiss non différencié

- Contact ———
- Faillle - - - - -

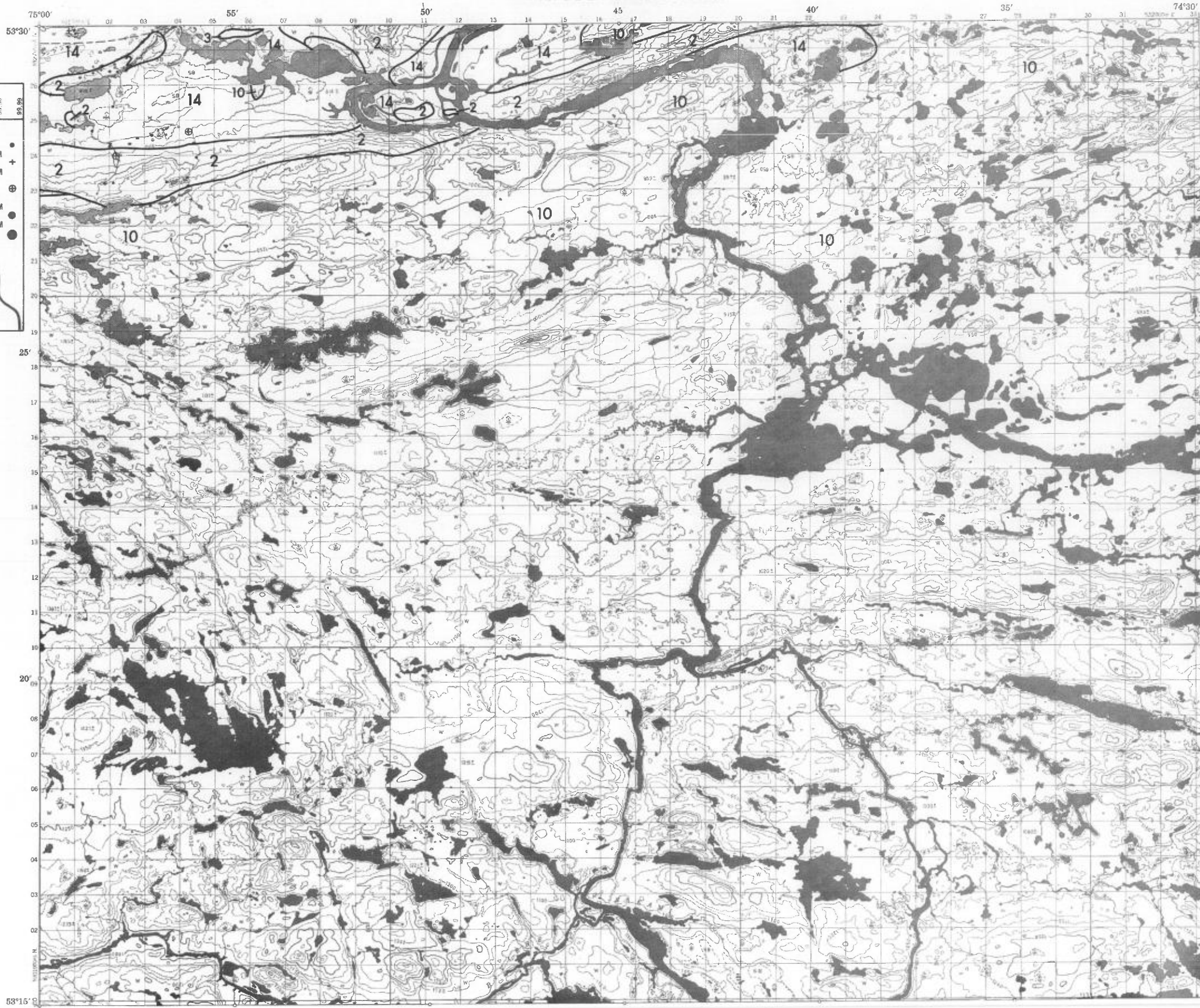
ÉCHELLE 1:125,000



SERVICE DES GÎTES MINÉRAUX

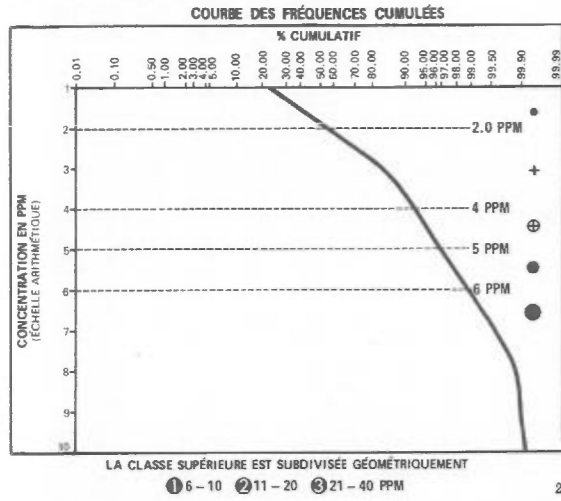
DIVISION DE LA GÉOCHIMIE
G.H. COCKBURN

Carte géochimique No 1831



LÉGENDE

GÉOCHIMIE



LITHOLOGIE SIMPLIFIÉE

- 14 Sable et gravier
- S "Sandstone" FM-Sakami
- 13 Dyke de diabase
- 12 Dyke de pegmatite
- 11 Granite
- 10 Quartz-diorite
- 9 Migmatite
- 8 Granite migmatitique
- 7 Formation de fer
- 6 Roche métasédimentaire
- 5 Tuf rhyolitique
- 4 Lave intermédiaire
- 3 Roche ultrabasique
- 2A Amphibolite
- 2 Lave basique
- 1 Gneiss non différencié

Contact ———
Faille - - - - -

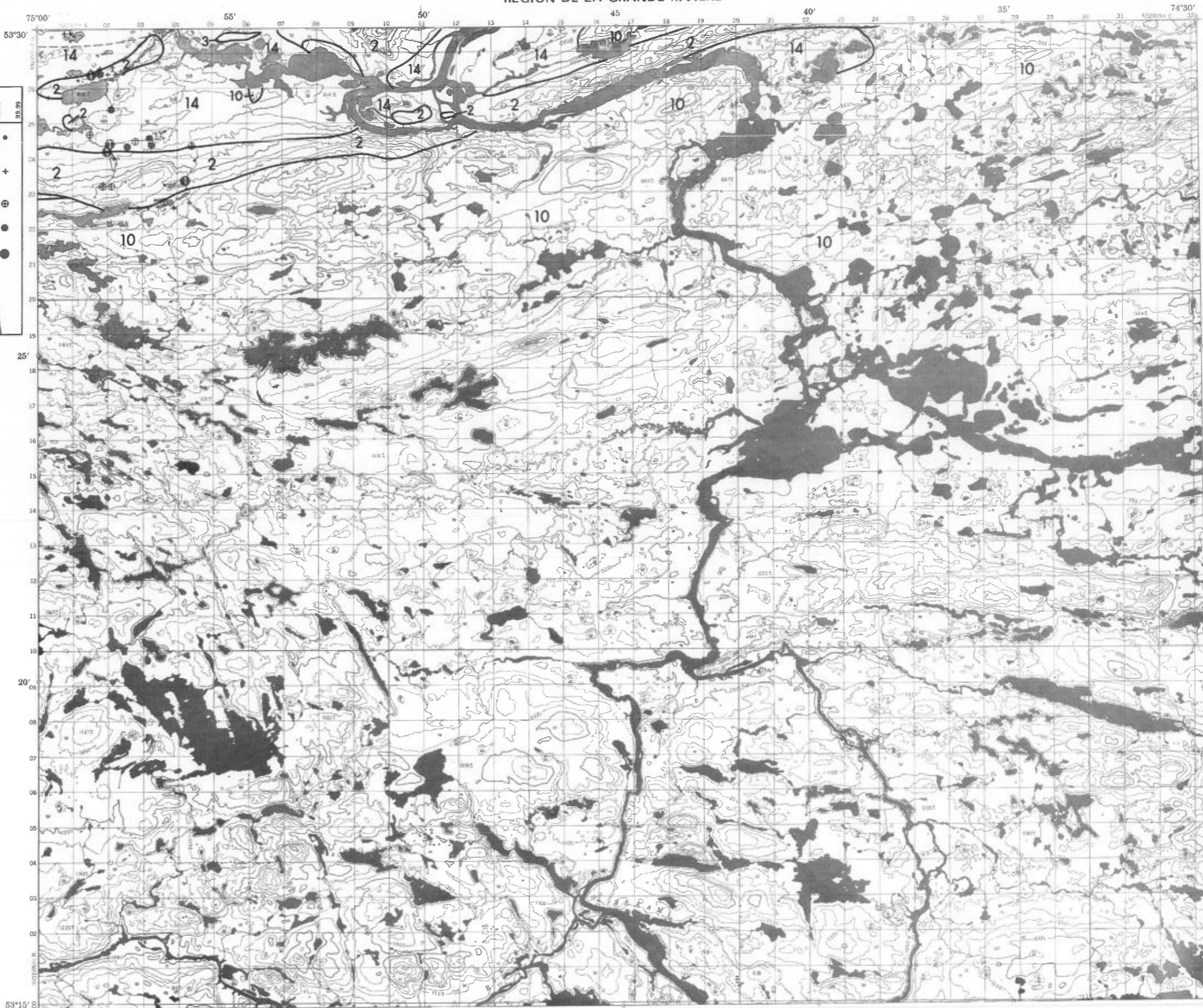
ÉCHELLE 1:125,000



SERVICE DES GÎTES MINÉRAUX

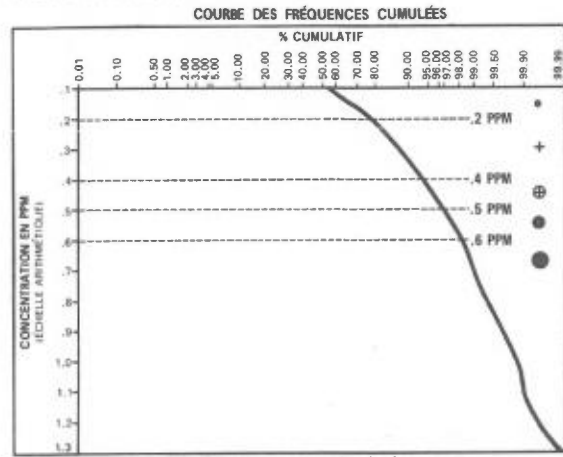
DIVISION DE LA GÉOCHIMIE
G.H. COCKBURN

Carte géochimique No 1831



LÉGENDE

GÉOCHIMIE



LITHOLOGIE SIMPLIFIÉE

- 14 Sable et gravier
- S "Sandstone" FM-Sakami
- 13 Dyke de diabase
- 12 Dyke de pegmatite
- 11 Granite
- 10 Quartz-diorite
- 9 Migmatite
- 8 Granite migmatitique
- 7 Formation de fer
- 6 Roche métasédimentaire
- 5 Tuf rhyolitique
- 4 Lave intermédiaire
- 3 Roche ultrabasique
- 2A Amphibolite
- 2 Lave basique
- 1 Gneiss non différencié

Contact ———
Faille - - - - -

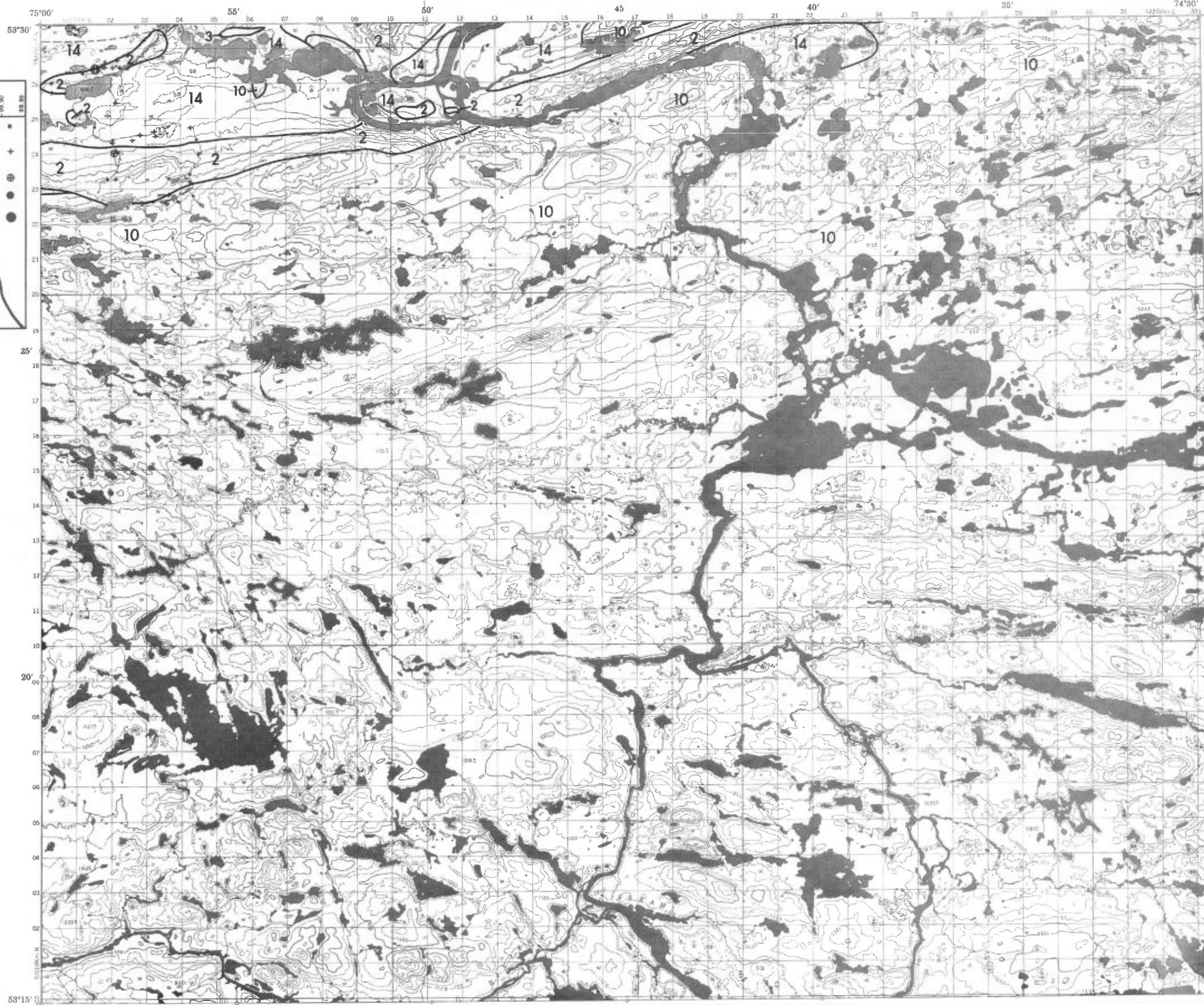
ÉCHELLE 1:125,000

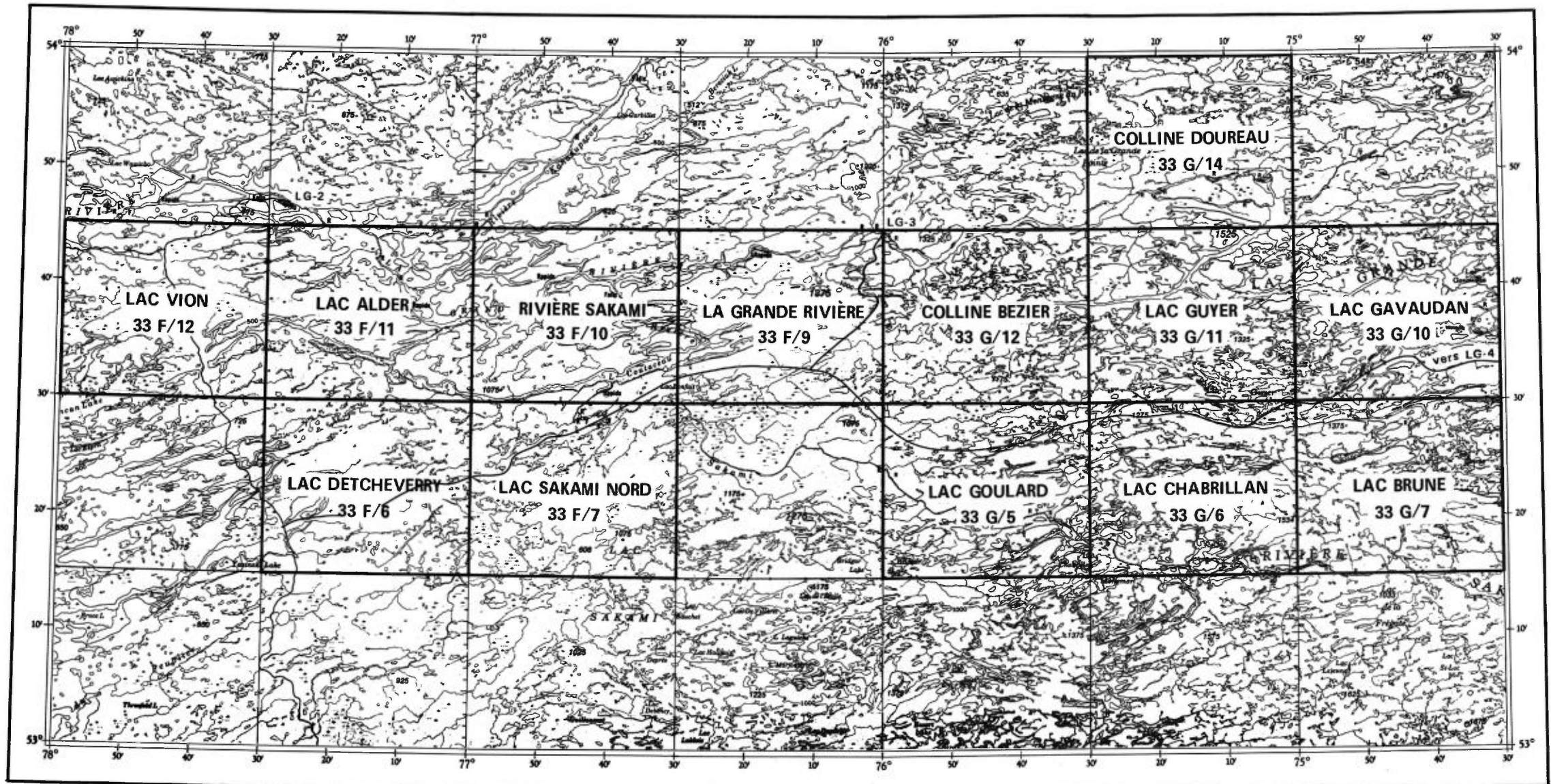


SERVICE DES GÎTES MINÉRAUX

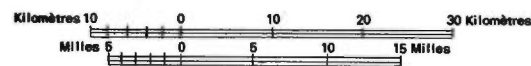
DIVISION DE LA GÉOCHIMIE
G.H. COCKBURN

Carte géochimique No 1831



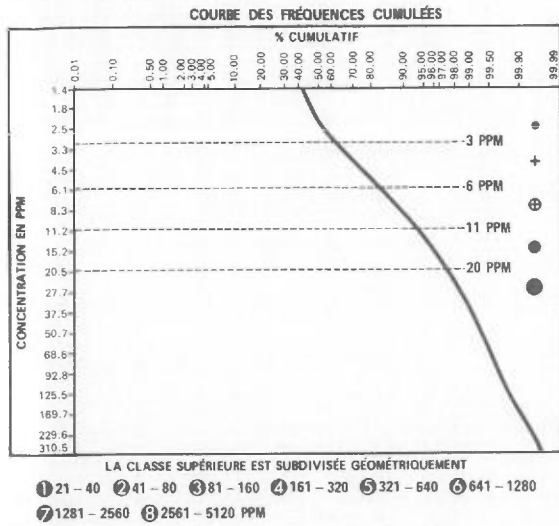


**INDEX DES CARTES GÉOCHIMIQUES
RÉGION DE LA GRANDE RIVIÈRE**



LÉGENDE

GÉOCHIMIE

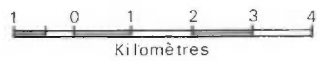


LITHOLOGIE SIMPLIFIÉE

- 14 Sable et gravier
- S "Sandstone" FM-Sakami
- 13 Dyke de diabase
- 12 Dyke de pegmatite
- 11 Granite
- 10 Quartz-diorite
- 9 Migmatite
- 8 Granite migmatitique
- 7 Formation de fer
- 6 Roche métasédimentaire
- 5 Tuf rhyolitique
- 4 Lave intermédiaire
- 3 Roche ultrabasique
- 2A Amphibolite
- 2 Lave basique
- 1 Gneiss non différencié

Contact ———
 Faille - - - - -

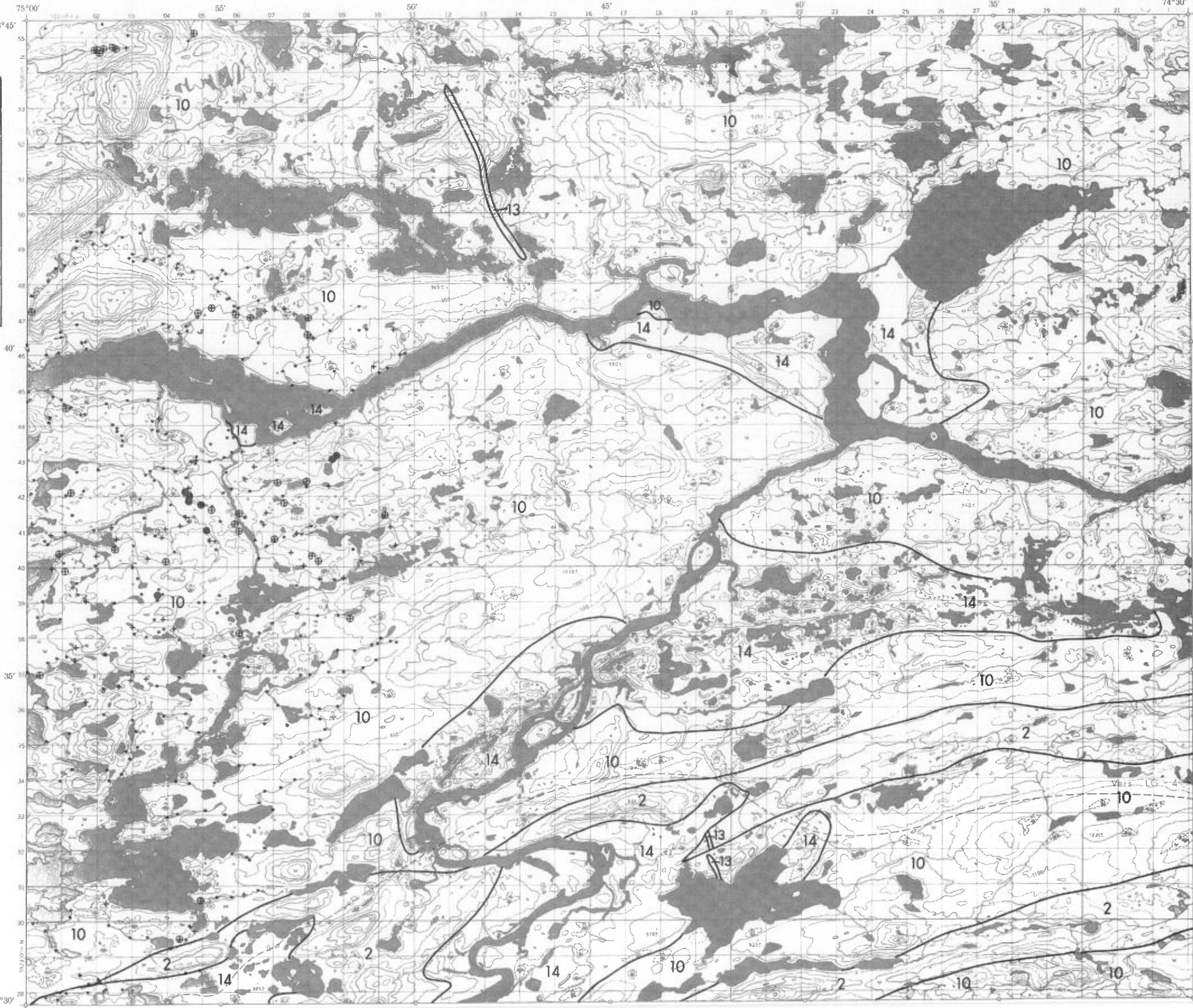
ÉCHELLE 1:125,000



SERVICE DES GÎTES MINÉRAUX

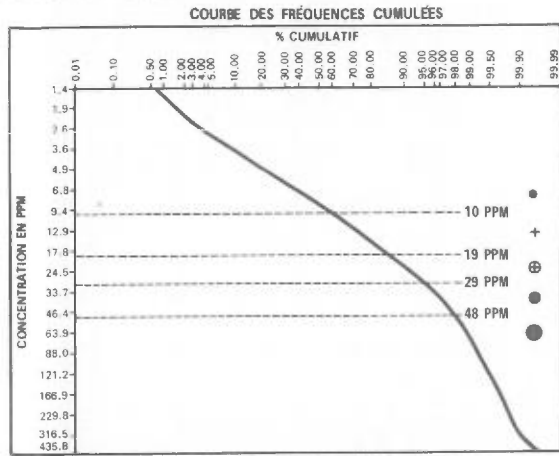
DIVISION DE LA GÉOCHIMIE
 G.H. COCKBURN

Carte géochimique No 1826



LÉGENDE

GÉOCHIMIE



LA CLASSE SUPÉRIEURE EST SUBDIVISÉE GÉOMÉTRIQUEMENT

- ① 49 - 100 ② 101 - 200 ③ 201 - 400 ④ 401 - 800 ⑤ 801 - 1600 ⑥ 1601 - 3200
⑦ 3201 - 6400 PPM

LITHOLOGIE SIMPLIFIÉE

- 14 Sable et gravier
S "Sandstone" FM-Sakami
13 Dyke de diabase
12 Dyke de pegmatite
11 Granite
10 Quartz-diorite
9 Migmatite
8 Granite migmatitique
7 Formation de fer
6 Roche métasédimentaire
5 Tuf rhyolitique
4 Lave intermédiaire
3 Roche ultrabasique
2A Amphibolite
2 Lave basique
1 Gneiss non différencié

Contact ———
Faille - - - - -

ÉCHELLE 1:125.000



SERVICE DES GÎTES MINÉRAUX
DIVISION DE LA GÉOCHIMIE
G.H. COCKBURN

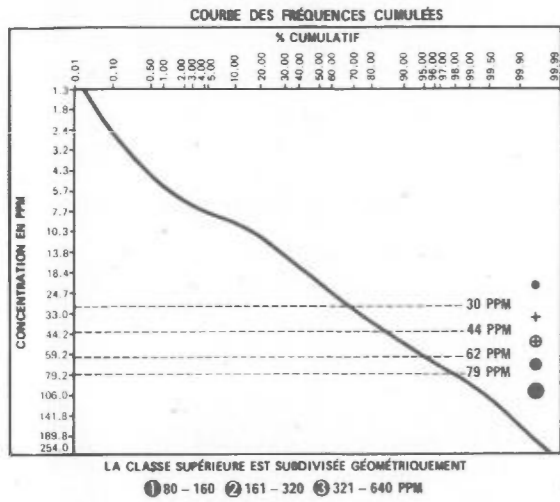
Carte géochimique No 1826



GÉOCHIMIE DES SÉDIMENTS DE RUISSEAU
 LAC GAUDAN
 RÉGION DE LA GRANDE RIVIÈRE

LÉGENDE

GÉOCHIMIE

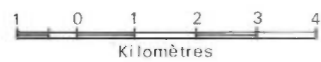


LITHOLOGIE SIMPLIFIÉE

- 14 Sable et gravier
- S "Sandstone" FM-Sakami
- 13 Dyke de diabase
- 12 Dyke de pegmatite
- 11 Granite
- 10 Quartz-diorite
- 9 Migmatite
- 8 Granite migmatitique
- 7 Formation de fer
- 6 Roche métasédimentaire
- 5 Tuf rhyolitique
- 4 Lave intermédiaire
- 3 Roche ultrabasique
- 2A Amphibolite
- 2 Lave basique
- 1 Gneiss non différencié

Contact ———
 Faille - - - - -

ÉCHELLE 1:125,000



SERVICE DES GÎTES MINÉRAUX

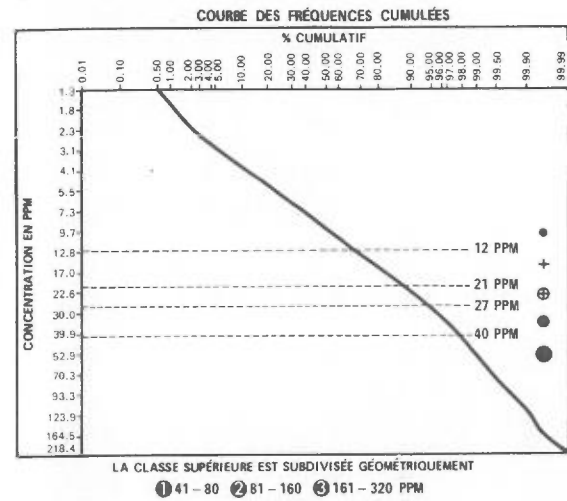
DIVISION DE LA GÉOCHIMIE
 G.H. COCKBURN

Carte géochimique No 1826



LÉGENDE

GÉOCHIMIE



LITHOLOGIE SIMPLIFIÉE

- 14 Sable et gravier
- S "Sandstone" FM-Sakami
- 13 Dyke de diabase
- 12 Dyke de pegmatite
- 11 Granite
- 10 Quartz-diorite
- 9 Migmatite
- 8 Granite migmatitique
- 7 Formation de fer
- 6 Roche métasédimentaire
- 5 Tuf rhyolitique
- 4 Lave intermédiaire
- 3 Roche ultrabasique
- 2A Amphibolite
- 2 Lave basique
- 1 Gneiss non différencié

Contact ———
Faille - - - - -

ÉCHELLE 1:125.000



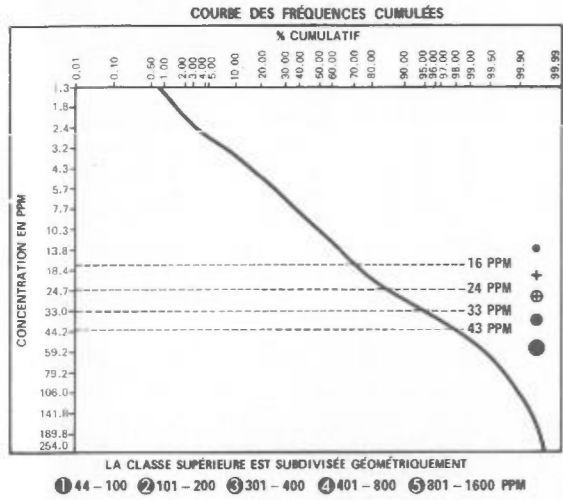
SERVICE DES GÎTES MINÉRAUX
DIVISION DE LA GÉOCHIMIE
G.H. COCKBURN

Carte géochimique No 1826



LÉGENDE

GÉOCHIMIE



LITHOLOGIE SIMPLIFIÉE

- 14 Sable et gravier
- S "Sandstone" FM-Sakami
- 13 Dyke de diabase
- 12 Dyke de pegmatite
- 11 Granite
- 10 Quartz-diorite
- 9 Migmatite
- 8 Granite migmatitique
- 7 Formation de fer
- 6 Roche métasédimentaire
- 5 Tuf rhyolitique
- 4 Lave intermédiaire
- 3 Roche ultrabasique
- 2A Amphibolite
- 2 Lave basique
- 1 Gneiss non différencié

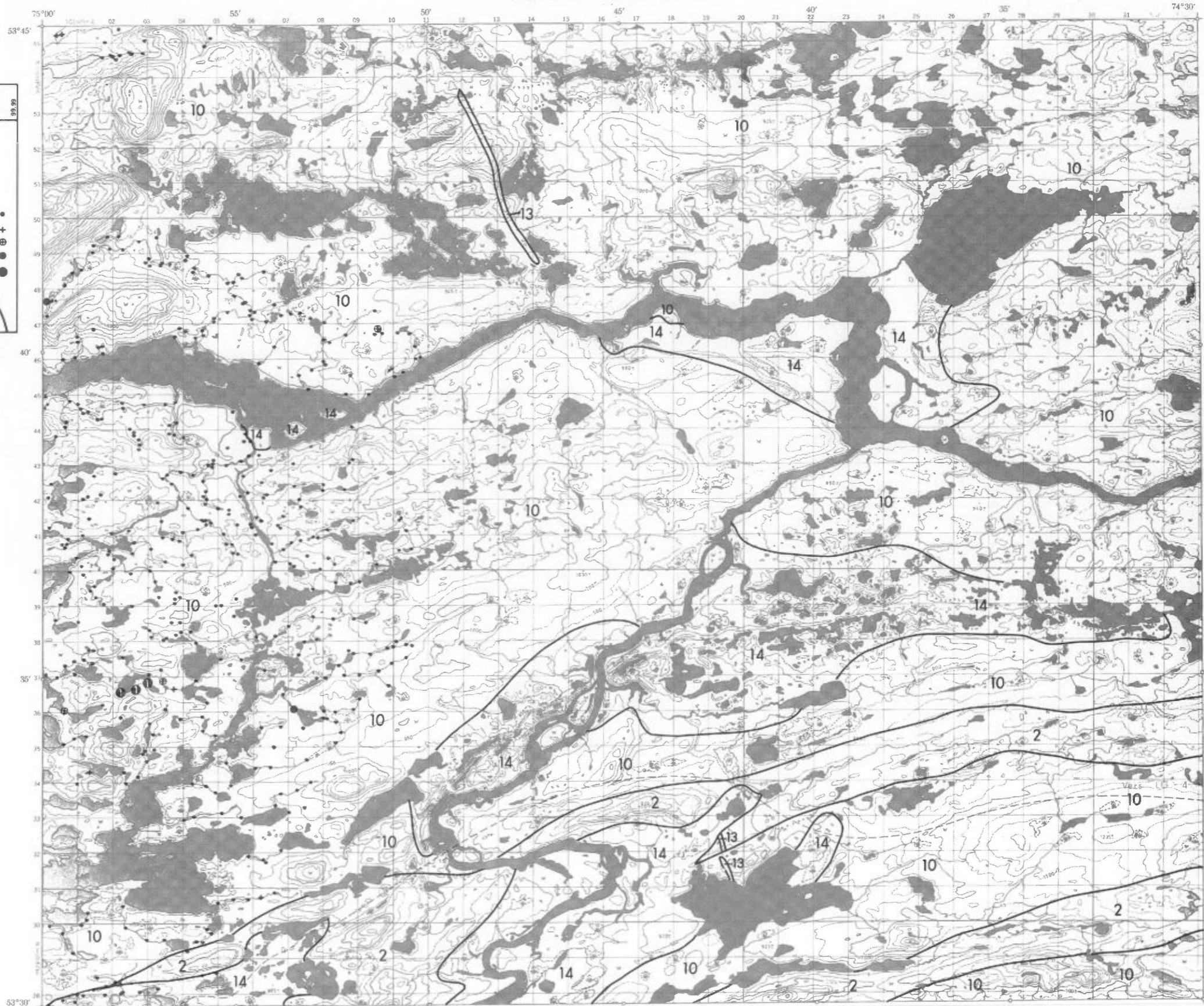
Contact ———
Faille - - - - -

ÉCHELLE 1:125,000



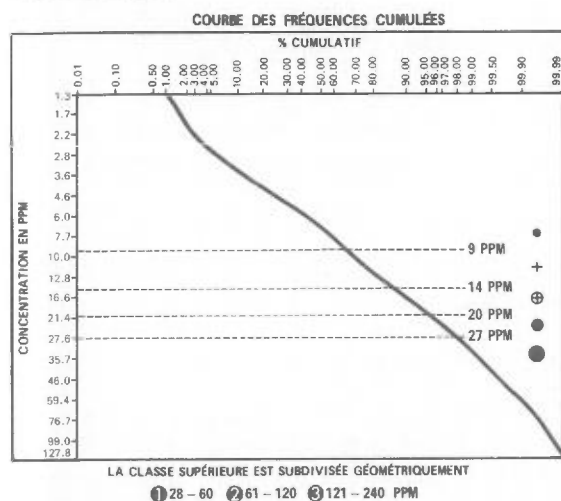
SERVICE DES GÎTES MINÉRAUX
DIVISION DE LA GÉOCHIMIE
G.H. COCKBURN

Carte géochimique No 1826



LÉGENDE

GÉOCHIMIE



LITHOLOGIE SIMPLIFIÉE

- 14 Sable et gravier
- S "Sandstone" FM-Sakami
- 13 Dyke de diabase
- 12 Dyke de pegmatite
- 11 Granite
- 10 Quartz-diorite
- 9 Migmatite
- 8 Granite migmatitique
- 7 Formation de fer
- 6 Roche métasédimentaire
- 5 Tuf rhyolitique
- 4 Lave intermédiaire
- 3 Roche ultrabasique
- 2A Amphibolite
- 2 Lave basique
- 1 Gneiss non différencié

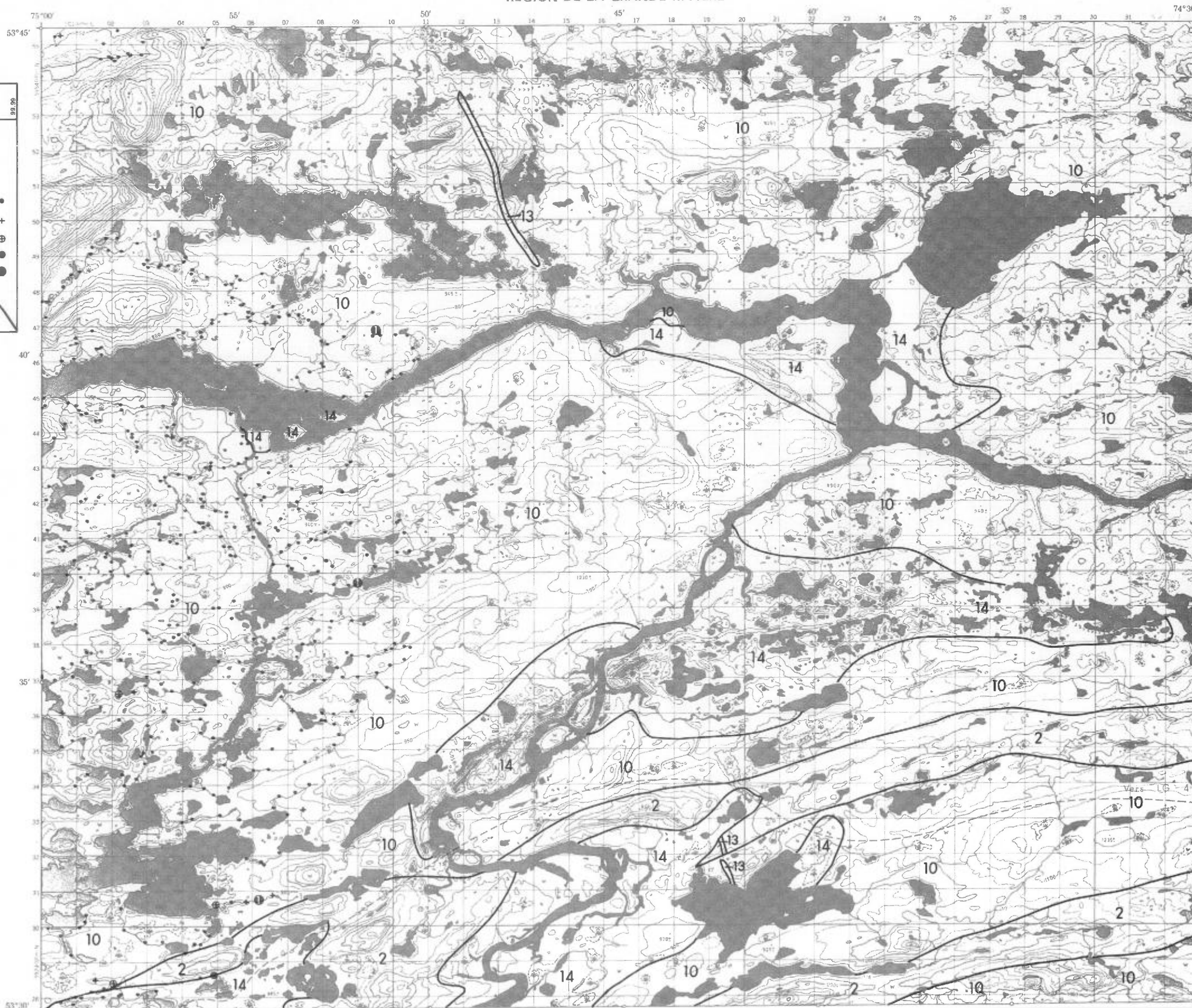
Contact ———
Faille - - - - -

ÉCHELLE 1:125.000



SERVICE DES GÎTES MINÉRAUX
DIVISION DE LA GÉOCHIMIE
G.H. COCKBURN

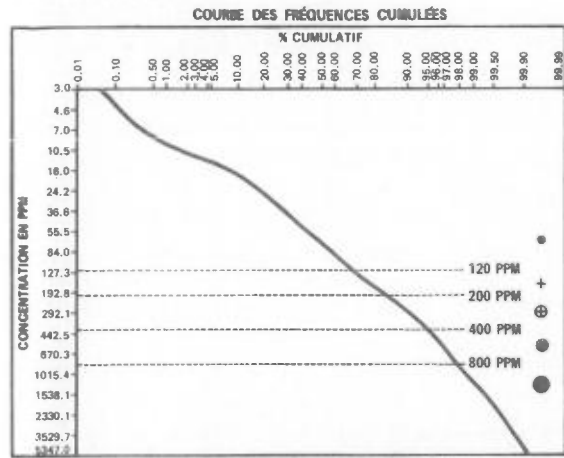
Carte géochimique No 1826





LÉGENDE

GÉOCHIMIE



LITHOLOGIE SIMPLIFIÉE

- 14 Sable et gravier
- S "Sandstone" FM-Sakami
- 13 Dyke de diabase
- 12 Dyke de pegmatite
- 11 Granite
- 10 Quartz-diorite
- 9 Migmatite
- 8 Granite migmatitique
- 7 Formation de fer
- 6 Roche métasédimentaire
- 5 Tuf rhyolitique
- 4 Lave intermédiaire
- 3 Roche ultrabasique
- 2A Amphibolite
- 2 Lave basique
- 1 Gneiss non différencié

- Contact ———
- Faillle - - - - -

ÉCHELLE 1:125,000



SERVICE DES GÎTES MINÉRAUX

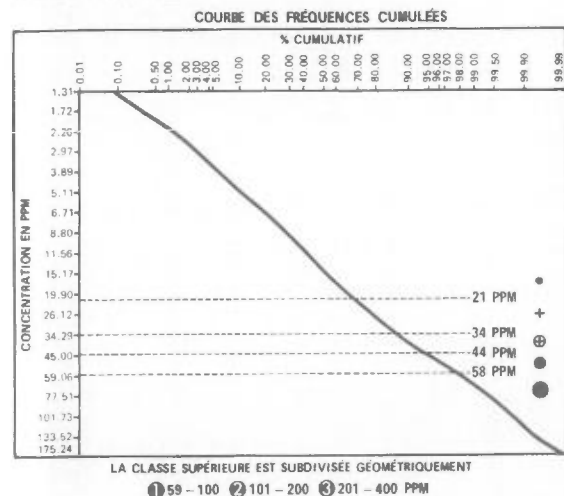
DIVISION DE LA GÉOCHIMIE
G.H. COCKBURN

Carte géochimique No 1826



LÉGENDE

GÉOCHIMIE

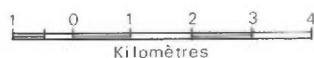


LITHOLOGIE SIMPLIFIÉE

- 14 Sable et gravier
- S "Sandstone" FM-Sakami
- 13 Dyke de diabase
- 12 Dyke de pegmatite
- 11 Granite
- 10 Quartz-diorite
- 9 Migmatite
- 8 Granite migmatitique
- 7 Formation de fer
- 6 Roche métasédimentaire
- 5 Tuf rhyolitique
- 4 Lave intermédiaire
- 3 Roche ultrabasique
- 2A Amphibolite
- 2 Lave basique
- 1 Gneiss non différencié

Contact ———
Faille - - - - -

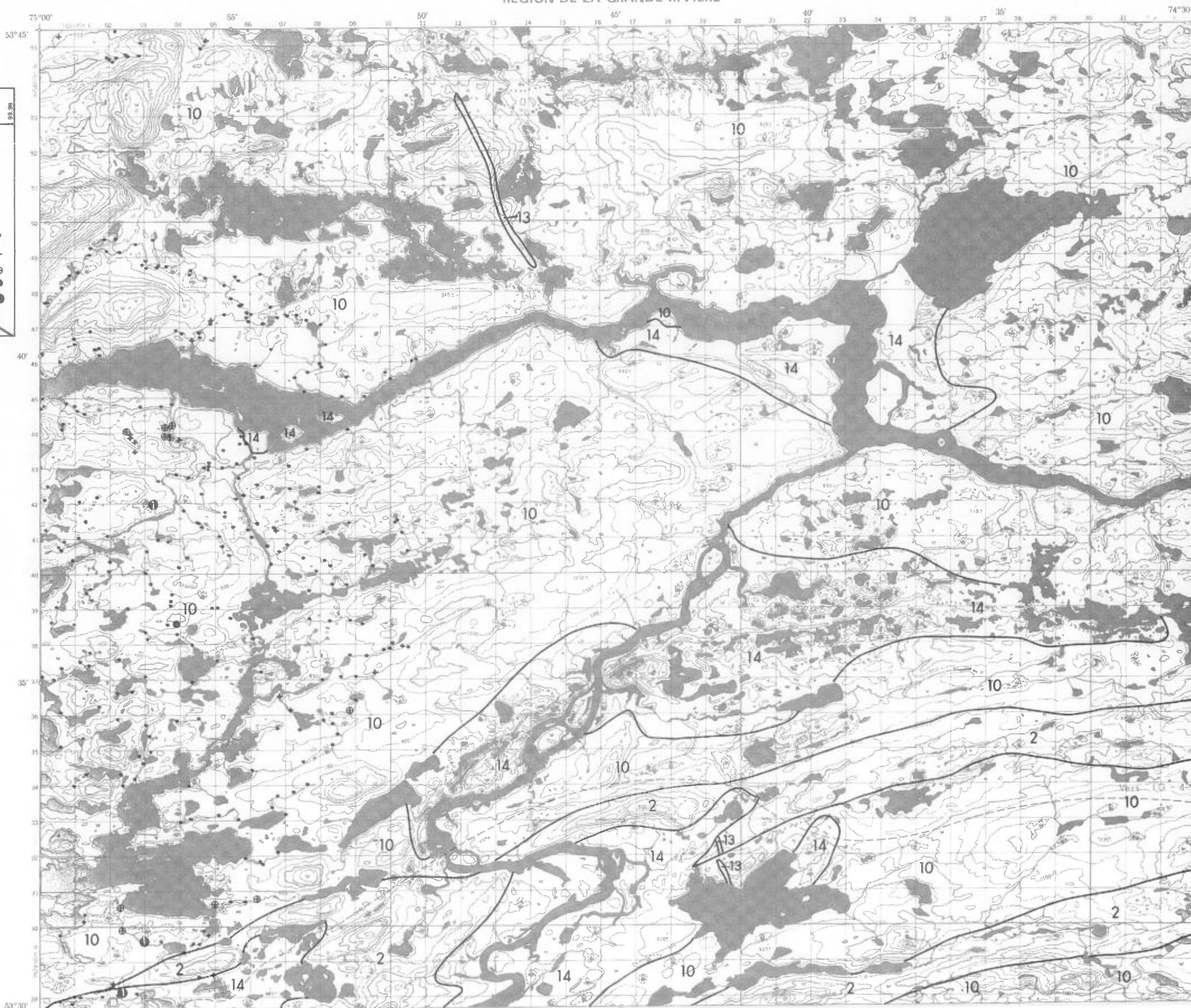
ÉCHELLE 1:125,000



SERVICE DES GÎTES MINÉRAUX

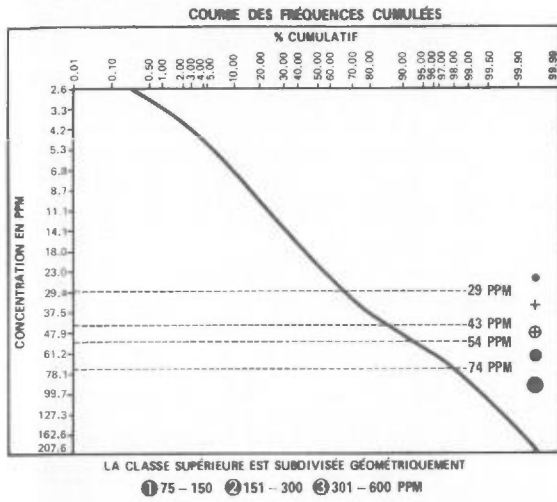
DIVISION DE LA GÉOCHIMIE
G.H. COCKBURN

Carte géochimique No 1826



LÉGENDE

GÉOCHIMIE



LITHOLOGIE SIMPLIFIÉE

- 14 Sable et gravier
- S "Sandstone" FM-Sakami
- 13 Dyke de diabase
- 12 Dyke de pegmatite
- 11 Granite
- 10 Quartz-diorite
- 9 Migmatite
- 8 Granite migmatitique
- 7 Formation de fer
- 6 Roche métasédimentaire
- 5 Tuf rhyolitique
- 4 Lave intermédiaire
- 3 Roche ultrabasique
- 2A Amphibolite
- 2 Lave basique
- 1 Gneiss non différencié

Contact ———
Faille - - - - -

ÉCHELLE 1:125,000



SERVICE DES GÎTES MINÉRAUX

DIVISION DE LA GÉOCHIMIE
G.H. COCKBURN

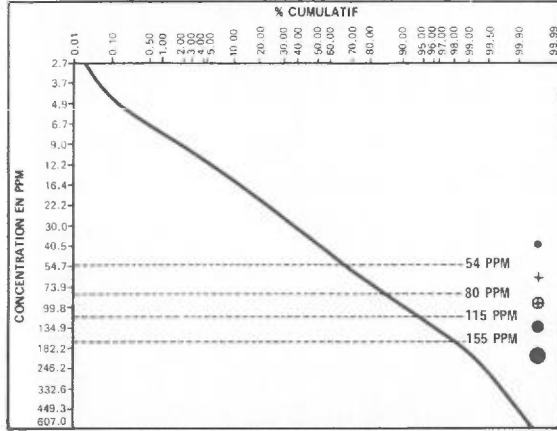
Carte géochimique No 1826



LÉGENDE

GÉOCHIMIE

COURBE DES FRÉQUENCES CUMULÉES



LA CLASSE SUPÉRIEURE EST SUBDIVISÉE GÉOMÉTRIQUEMENT
① 156 - 300 ② 301 - 600 ③ 601 - 1200 PPM

LITHOLOGIE SIMPLIFIÉE

- 14 Sable et gravier
- S "Sandstone" FM-Sakami
- 13 Dyke de diabase
- 12 Dyke de pegmatite
- 11 Granite
- 10 Quartz-diorite
- 9 Migmatite
- 8 Granite migmatitique
- 7 Formation de fer
- 6 Roche métasédimentaire
- 5 Tuf rhyolitique
- 4 Lave intermédiaire
- 3 Roche ultrabasique
- 2A Amphibolite
- 2 Lave basique
- 1 Gneiss non différencié

Contact ———
Faille - - - - -

ÉCHELLE 1:125,000



SERVICE DES GÎTES MINÉRAUX

DIVISION DE LA GÉOCHIMIE
G.H. COCKBURN

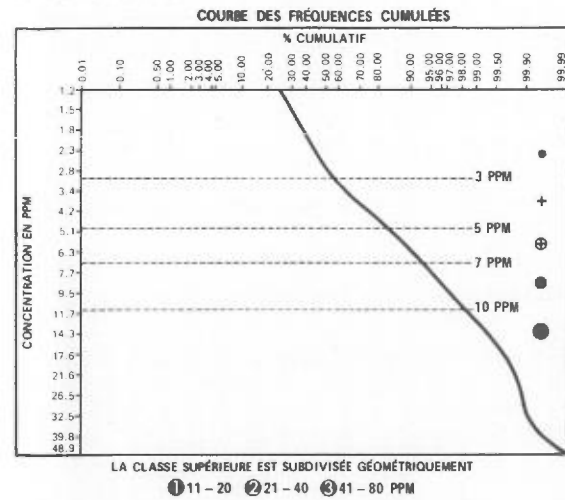
Carte géochimique No 1826





LÉGENDE

GÉOCHIMIE



LITHOLOGIE SIMPLIFIÉE

- 14 Sable et gravier
- S "Sandstone" FM-Sakami
- 13 Dyke de diabase
- 12 Dyke de pegmatite
- 11 Granite
- 10 Quartz-diorite
- 9 Migmatite
- 8 Granite migmatitique
- 7 Formation de fer
- 6 Roche métasédimentaire
- 5 Tuf rhyolitique
- 4 Lave intermédiaire
- 3 Roche ultrabasique
- 2A Amphibolite
- 2 Lave basique
- 1 Gneiss non différencié

Contact ———
Faille - - - - -

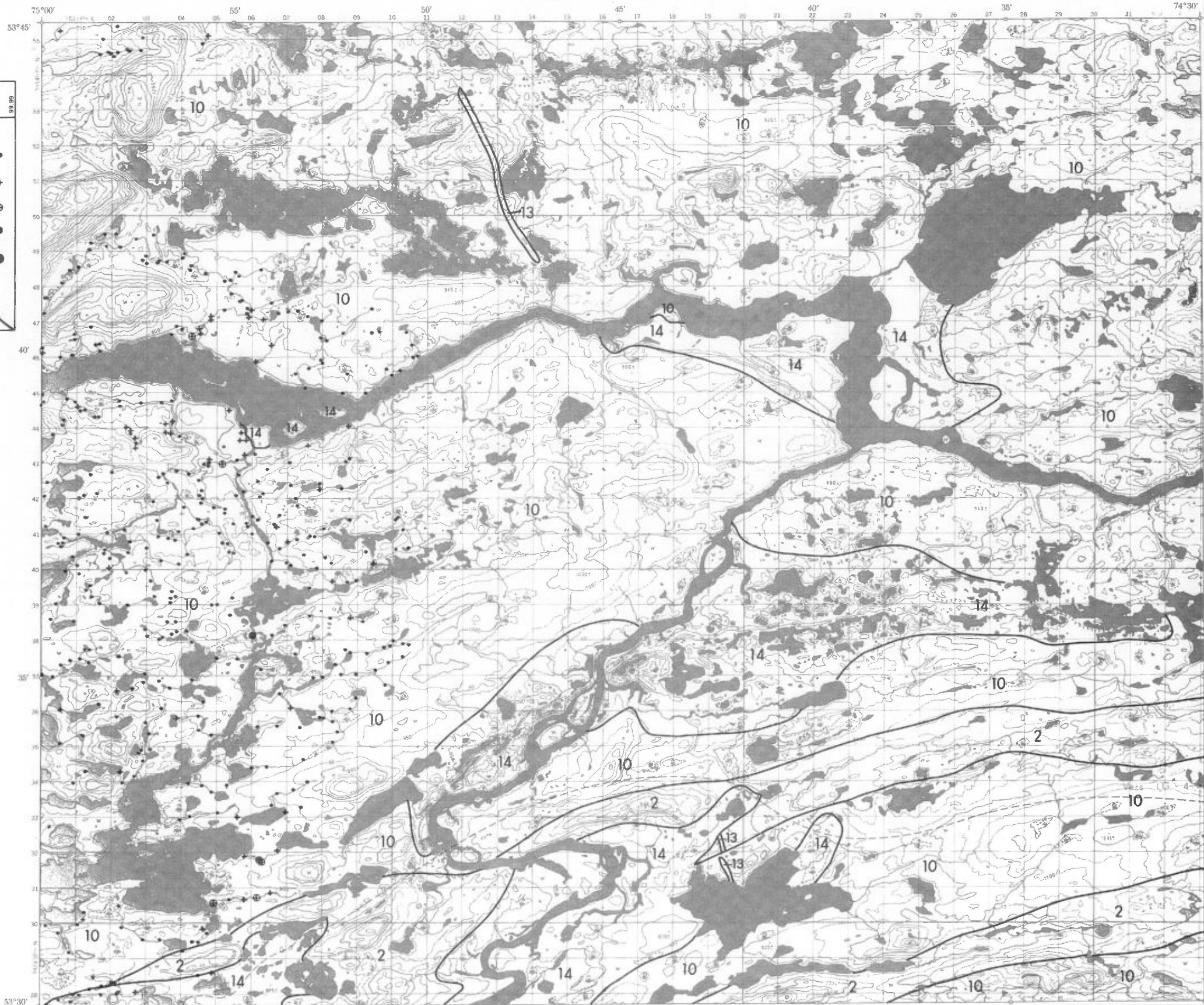
ÉCHELLE 1:125,000



SERVICE DES GÎTES MINÉRAUX

DIVISION DE LA GÉOCHIMIE
G.H. COCKBURN

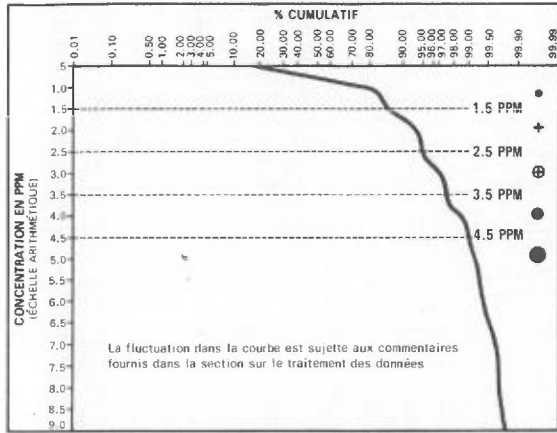
Carte géochimique No 1826



LÉGENDE

GÉOCHIMIE

COURBE DES FRÉQUENCES CUMULÉES



LA CLASSE SUPÉRIEURE EST SUBDIVISÉE GÉOMÉTRIQUEMENT

- ① 4.5 - 10.0 ② 10.5 - 20.0 ③ 20.5 - 40.0 ④ 40.5 - 80 PPM

LITHOLOGIE SIMPLIFIÉE

- 14 Sable et gravier
- S "Sandstone" FM-Sakami
- 13 Dyke de diabase
- 12 Dyke de pegmatite
- 11 Granite
- 10 Quartz-diorite
- 9 Migmatite
- 8 Granite migmatitique
- 7 Formation de fer
- 6 Roche métasédimentaire
- 5 Tuf rhyolitique
- 4 Lave intermédiaire
- 3 Roche ultrabasique
- 2A Amphibolite
- 2 Lave basique
- 1 Gneiss non différencié

- Contact ————
Faille - - - - -

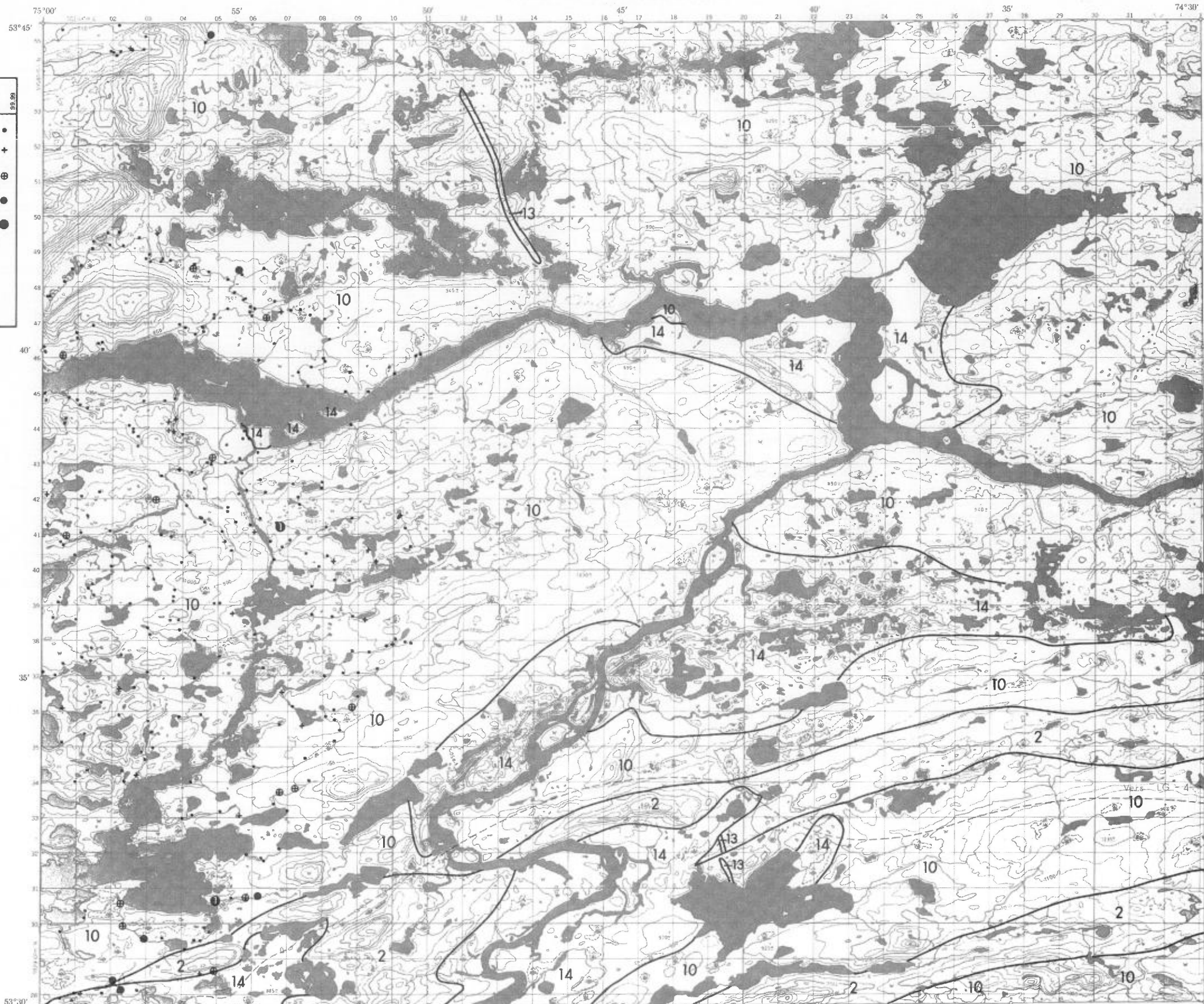
ÉCHELLE 1:125,000



SERVICE DES GÎTES MINÉRAUX

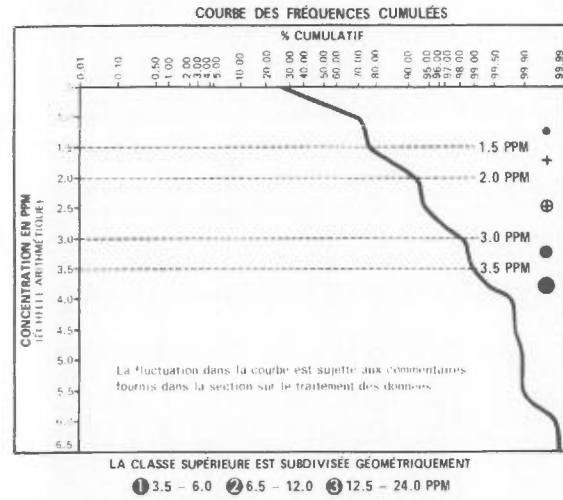
DIVISION DE LA GÉOCHIMIE
G.H. COCKBURN

Carte géochimique No 1826



LÉGENDE

GÉOCHIMIE



LITHOLOGIE SIMPLIFIÉE

- 14 Sable et gravier
- S "Sandstone" FM-Sakami
- 13 Dyke de diabase
- 12 Dyke de pegmatite
- 11 Granite
- 10 Quartz-diorite
- 9 Migmatite
- 8 Granite migmatitique
- 7 Formation de fer
- 6 Roche métasédimentaire
- 5 Tuf rhyolitique
- 4 Lave intermédiaire
- 3 Roche ultrabasique
- 2A Amphibolite
- 2 Lave basique
- 1 Gneiss non différencié

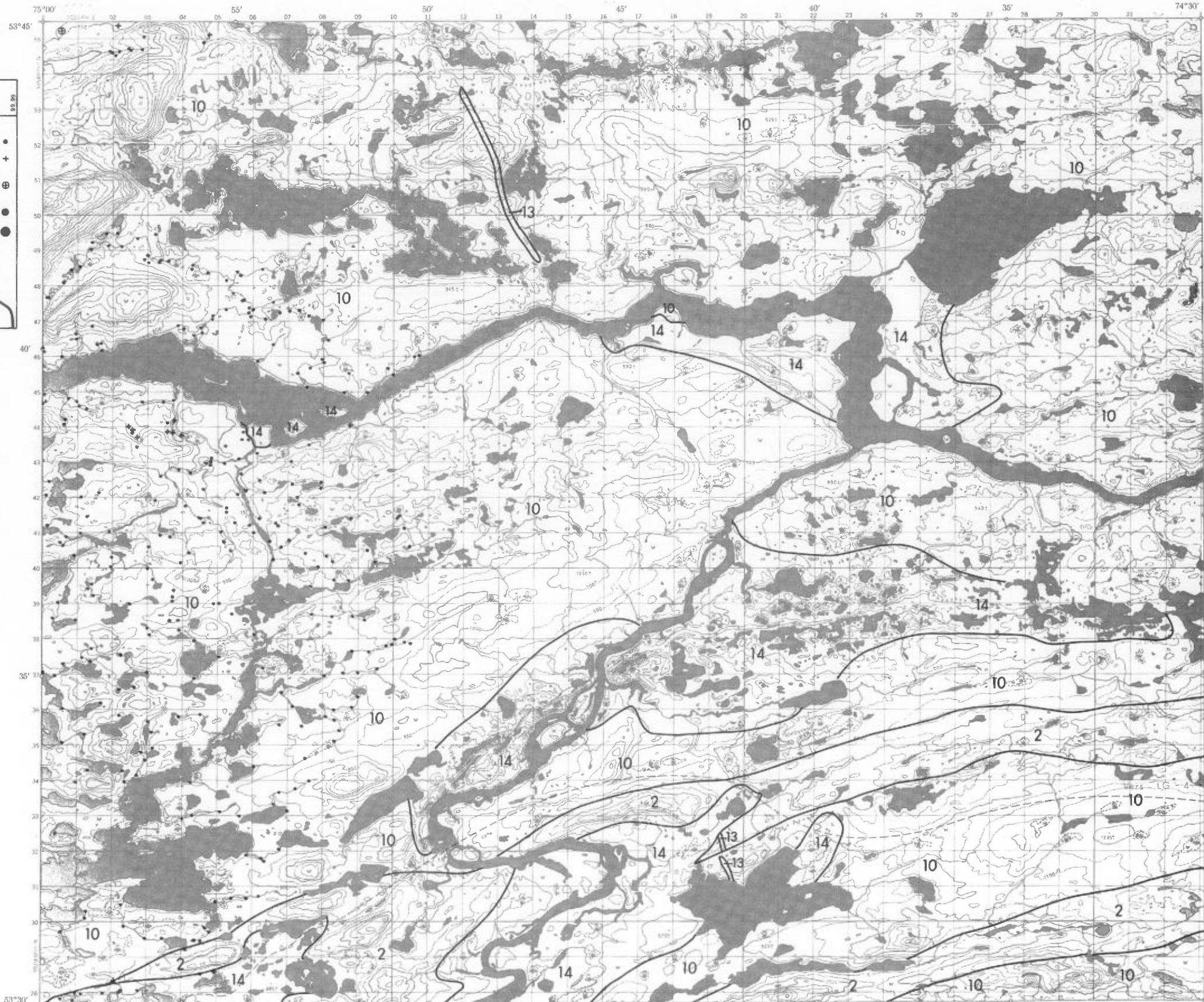
- Contact ———
- Faillle - - - - -

ÉCHELLE 1:125,000



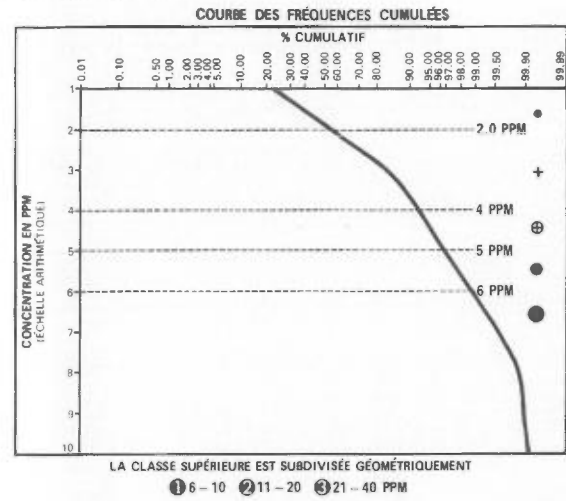
SERVICE DES GÎTES MINÉRAUX
 DIVISION DE LA GÉOCHIMIE
 G.H. COCKBURN

Carte géochimique No 1826



LÉGENDE

GÉOCHIMIE



LITHOLOGIE SIMPLIFIÉE

- 14 Sable et gravier
- S "Sandstone" FM-Sakami
- 13 Dyke de diabase
- 12 Dyke de pegmatite
- 11 Granite
- 10 Quartz-diorite
- 9 Migmatite
- 8 Granite migmatitique
- 7 Formation de fer
- 6 Roche métasédimentaire
- 5 Tuf rhyolitique
- 4 Lave intermédiaire
- 3 Roche ultrabasique
- 2A Amphibolite
- 2 Lave basique
- 1 Gneiss non différencié

Contact ———
 Faille - - - - -

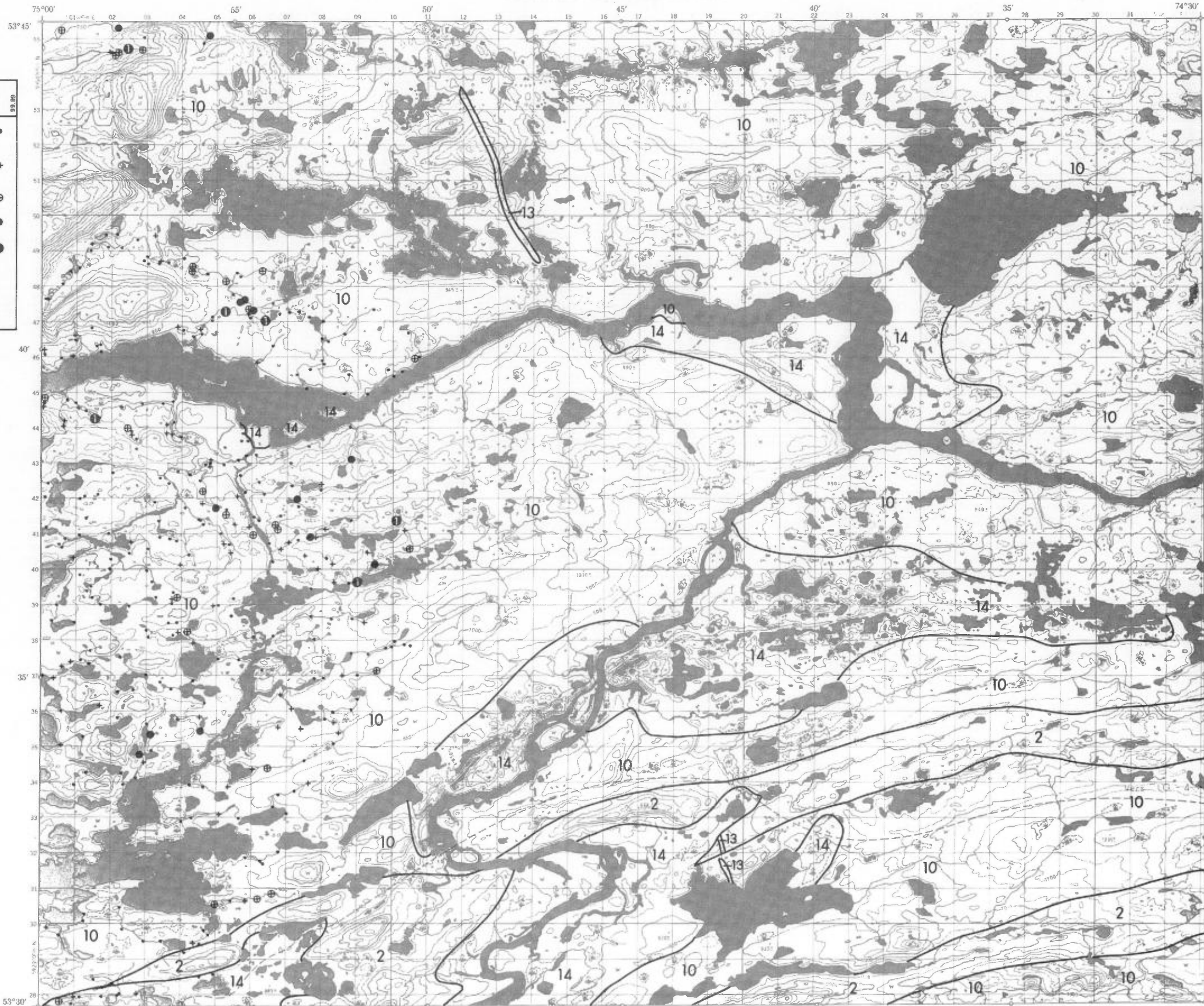
ÉCHELLE 1:125,000



SERVICE DES GÎTES MINÉRAUX

DIVISION DE LA GÉOCHIMIE
 G.H. COCKBURN

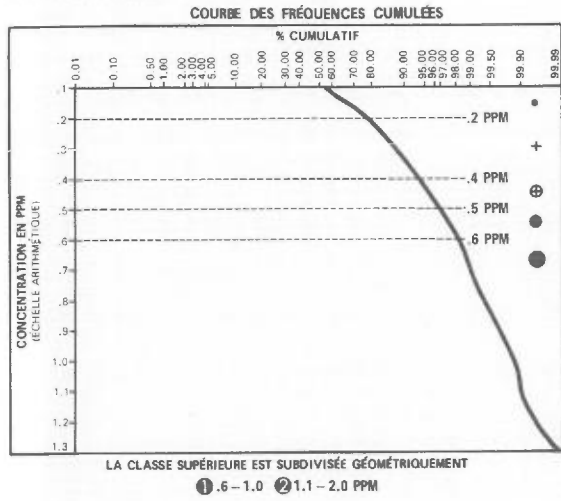
Carte géochimique No 1826



GÉOCHIMIE DES SÉDIMENTS DE RUISSEAU
LAC GAUDAN
RÉGION DE LA GRANDE RIVIÈRE

LÉGENDE

GÉOCHIMIE



LITHOLOGIE SIMPLIFIÉE

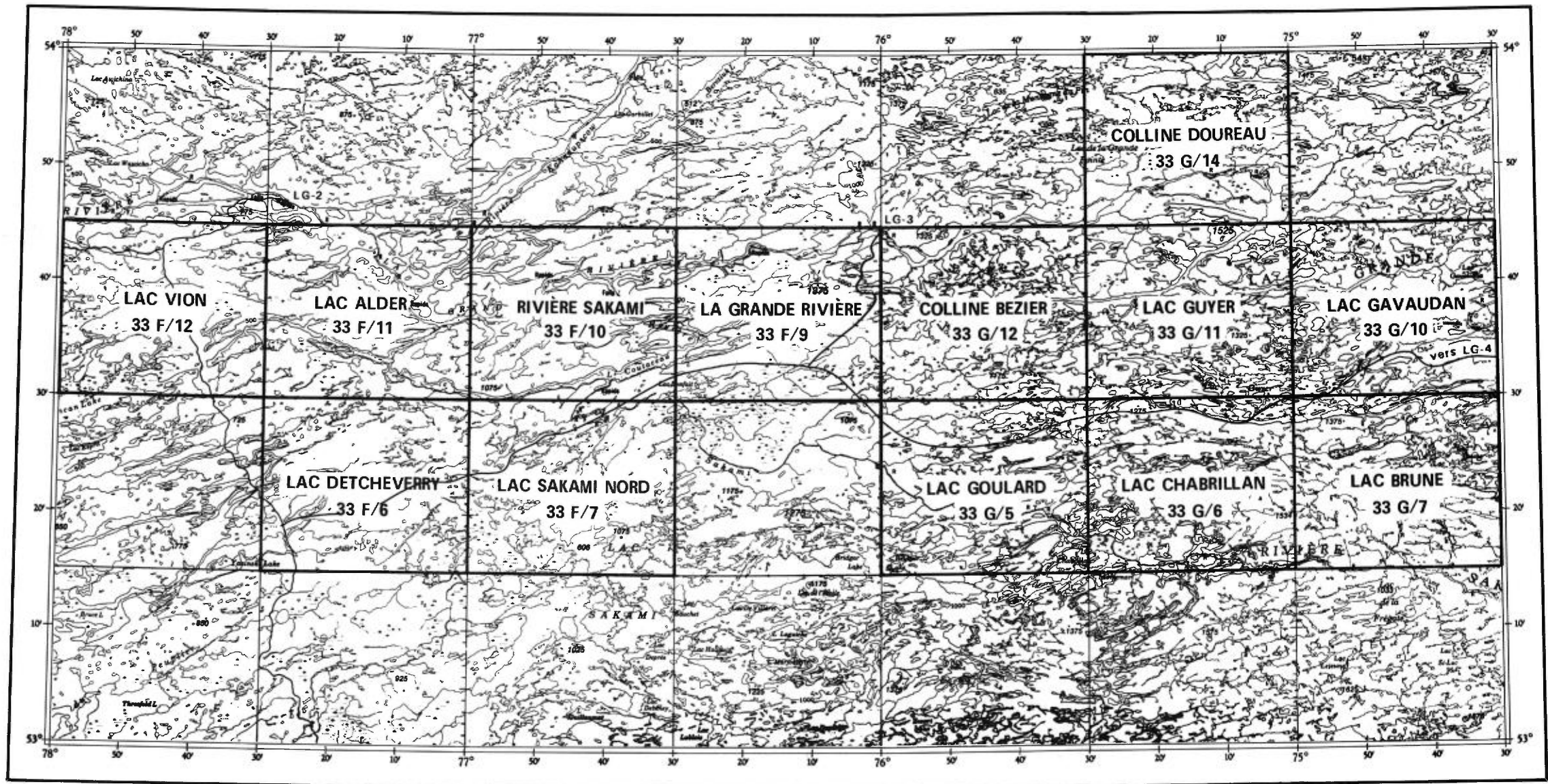
- 14 Sable et gravier
- S "Sandstone" FM-Sakami
- 13 Dyke de diabase
- 12 Dyke de pegmatite
- 11 Granite
- 10 Quartz-diorite
- 9 Migmatite
- 8 Granite migmatitique
- 7 Formation de fer
- 6 Roche métasédimentaire
- 5 Tuf rhyolitique
- 4 Lave intermédiaire
- 3 Roche ultrabasique
- 2A Amphibolite
- 2 Lave basique
- 1 Gneiss non différencié

Contact ———
Faille - - - - -

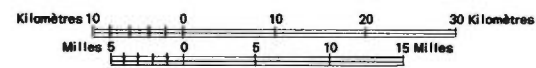


SERVICE DES GÎTES MINÉRAUX
DIVISION DE LA GÉOCHIMIE
G.H. COCKBURN
Carte géochimique No 1826



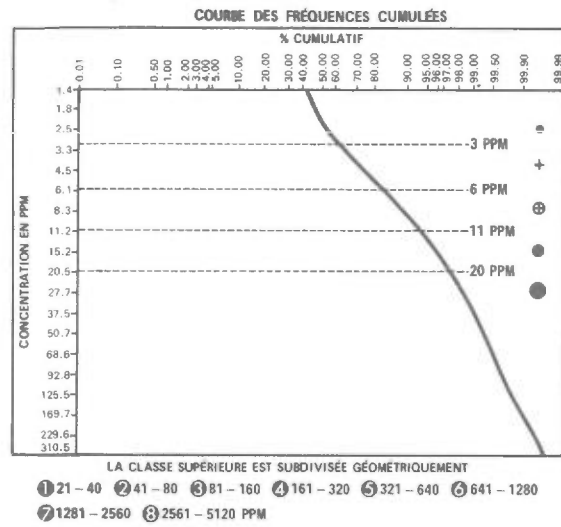


**INDEX DES CARTES GÉOCHIMIQUES
RÉGION DE LA GRANDE RIVIÈRE**



LÉGENDE

GÉOCHIMIE



LITHOLOGIE SIMPLIFIÉE

- 14 Sable et gravier
- S "Sandstone" FM-Sakami
- 13 Dyke de diabase
- 12 Dyke de pegmatite
- 11 Granite
- 10 Quartz-diorite
- 9 Migmatite
- 8 Granite migmatitique
- 7 Formation de fer
- 6 Roche métasédimentaire
- 5 Tuf rhyolitique
- 4 Lave intermédiaire
- 3 Roche ultrabasique
- 2A Amphibolite
- 2 Lave basique
- 1 Gneiss non différencié

Contact ———
Faille - - - - -

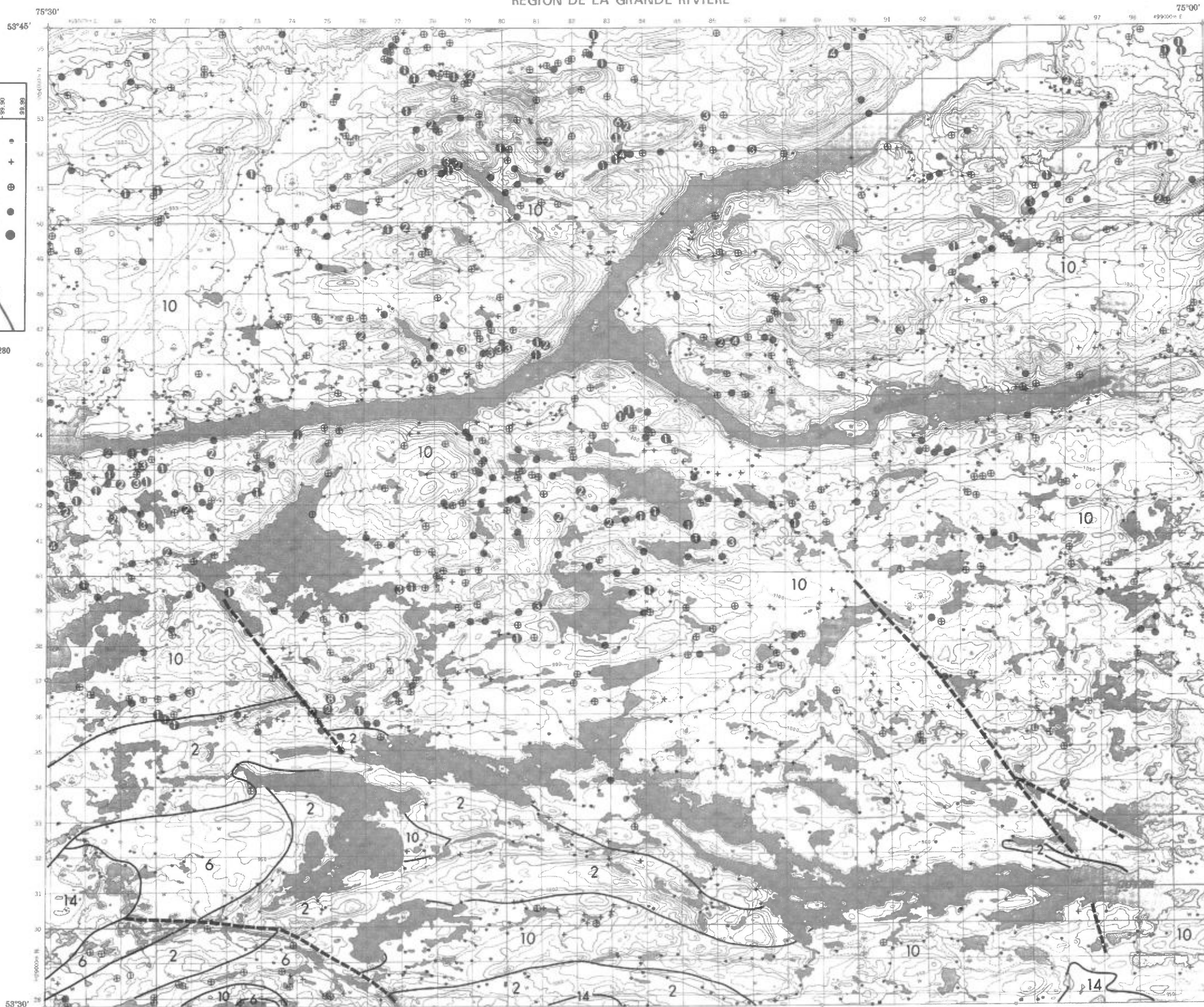
ÉCHELLE 1:125,000



SERVICE DES GÎTES MINÉRAUX

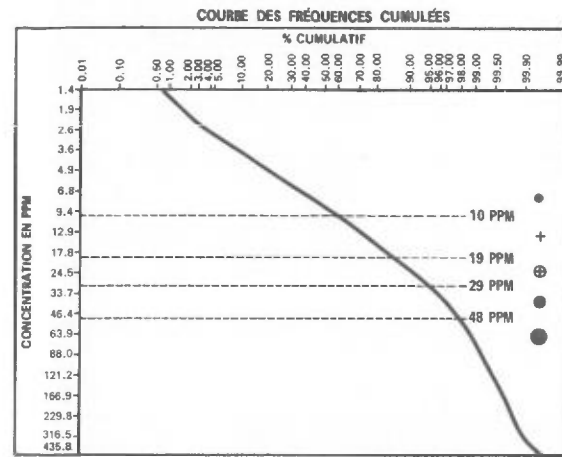
DIVISION DE LA GÉOCHIMIE
G.H. COCKBURN

Carte géochimique No 1825



LÉGENDE

GÉOCHIMIE



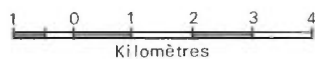
- ① 49 - 100
- ② 101 - 200
- ③ 201 - 400
- ④ 401 - 800
- ⑤ 801 - 1600
- ⑥ 1601 - 3200
- ⑦ 3201 - 6400 PPM

LITHOLOGIE SIMPLIFIÉE

- 14 Sable et gravier
- S "Sandstone" FM-Sakami
- 13 Dyke de diabase
- 12 Dyke de pegmatite
- 11 Granite
- 10 Quartz-diorite
- 9 Migmatite
- 8 Granite migmatitique
- 7 Formation de fer
- 6 Roche métasédimentaire
- 5 Tuf rhyolitique
- 4 Lave intermédiaire
- 3 Roche ultrabasiq
- 2A Amphibolite
- 2 Lave basique
- 1 Gneiss non différencié

Contact ———
Faille - - - - -

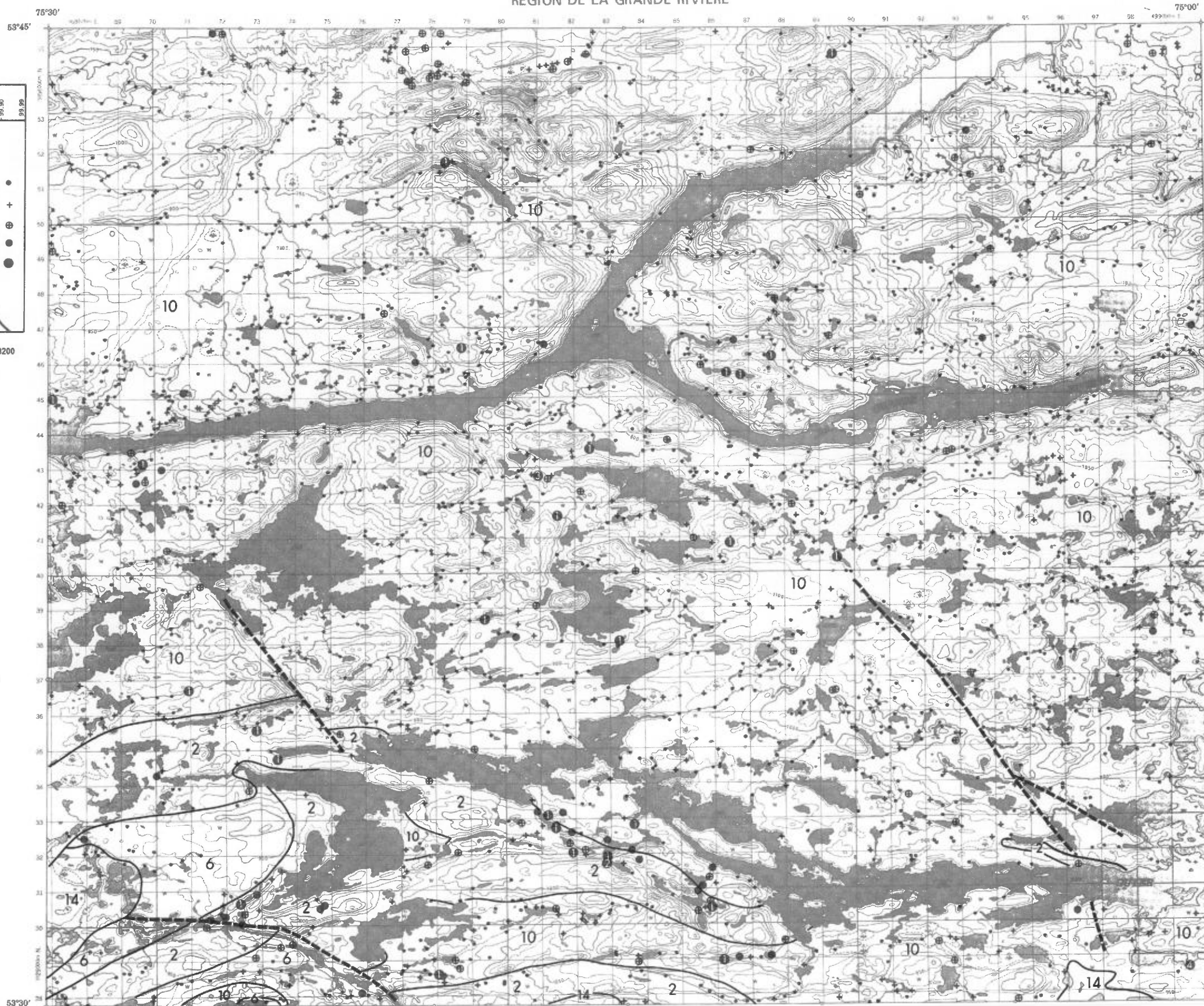
ÉCHELLE 1:125,000



SERVICE DES GÎTES MINÉRAUX

DIVISION DE LA GÉOCHIMIE
G.H. COCKBURN

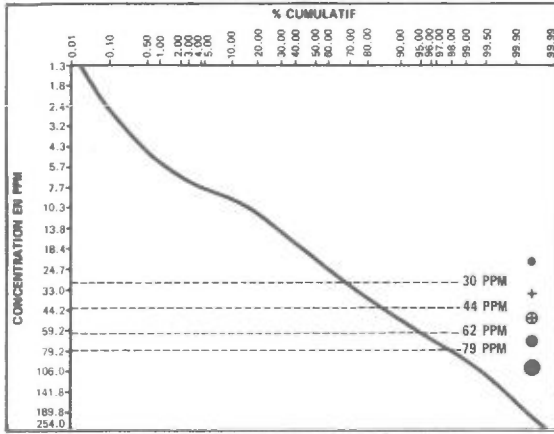
Carte géochimique No 1825



LÉGENDE

GÉOCHIMIE

COURBE DES FRÉQUENCES CUMULÉES



LA CLASSE SUPÉRIEURE EST SUBDIVISÉE GÉOMÉTRIQUEMENT

① 80 - 160 ② 161 - 320 ③ 321 - 640 PPM

LITHOLOGIE SIMPLIFIÉE

- 14 Sable et gravier
- S "Sandstone" FM-Sakami
- 13 Dyke de diabase
- 12 Dyke de pegmatite
- 11 Granite
- 10 Quartz-diorite
- 9 Migmatite
- 8 Granite migmatitique
- 7 Formation de fer
- 6 Roche métasédimentaire
- 5 Tuf rhyolitique
- 4 Lave intermédiaire
- 3 Roche ultrabasique
- 2A Amphibolite
- 2 Lave basique
- 1 Gneiss non différencié

Contact ———
Faille - - - - -

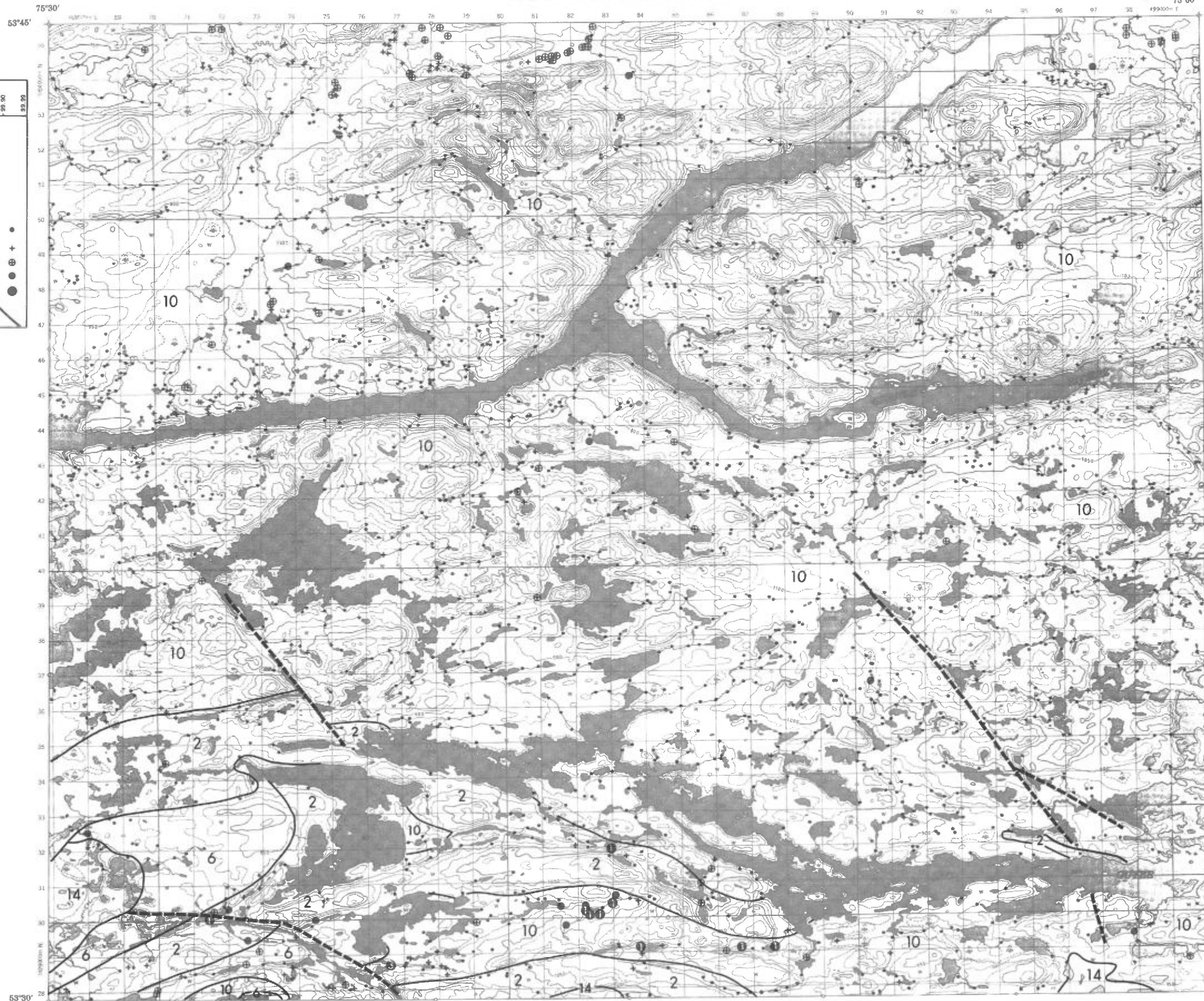
ÉCHELLE 1:125,000



SERVICE DES GÎTES MINÉRAUX

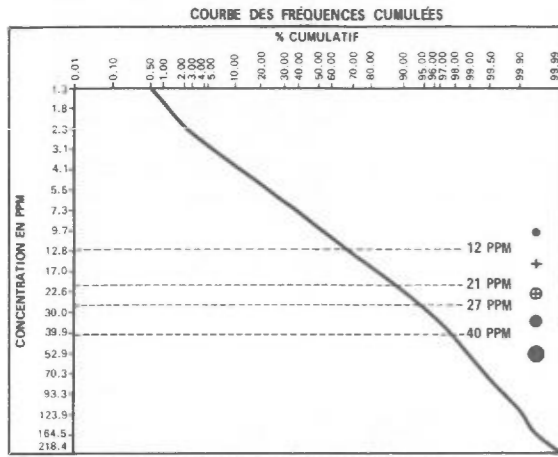
DIVISION DE LA GÉOCHIMIE
G.H. COCKBURN

Carte géochimique No 1825



LÉGENDE

GÉOCHIMIE



LITHOLOGIE SIMPLIFIÉE

- 14 Sable et gravier
- S "Sandstone" FM-Sakami
- 13 Dyke de diabase
- 12 Dyke de pegmatite
- 11 Granite
- 10 Quartz-diorite
- 9 Migmatite
- 8 Granite migmatitique
- 7 Formation de fer
- 6 Roche métasédimentaire
- 5 Tuf rhyolitique
- 4 Lave intermédiaire
- 3 Roche ultrabasique
- 2A Amphibolite
- 2 Lave basique
- 1 Gneiss non différencié

Contact ———
Faille - - - - -

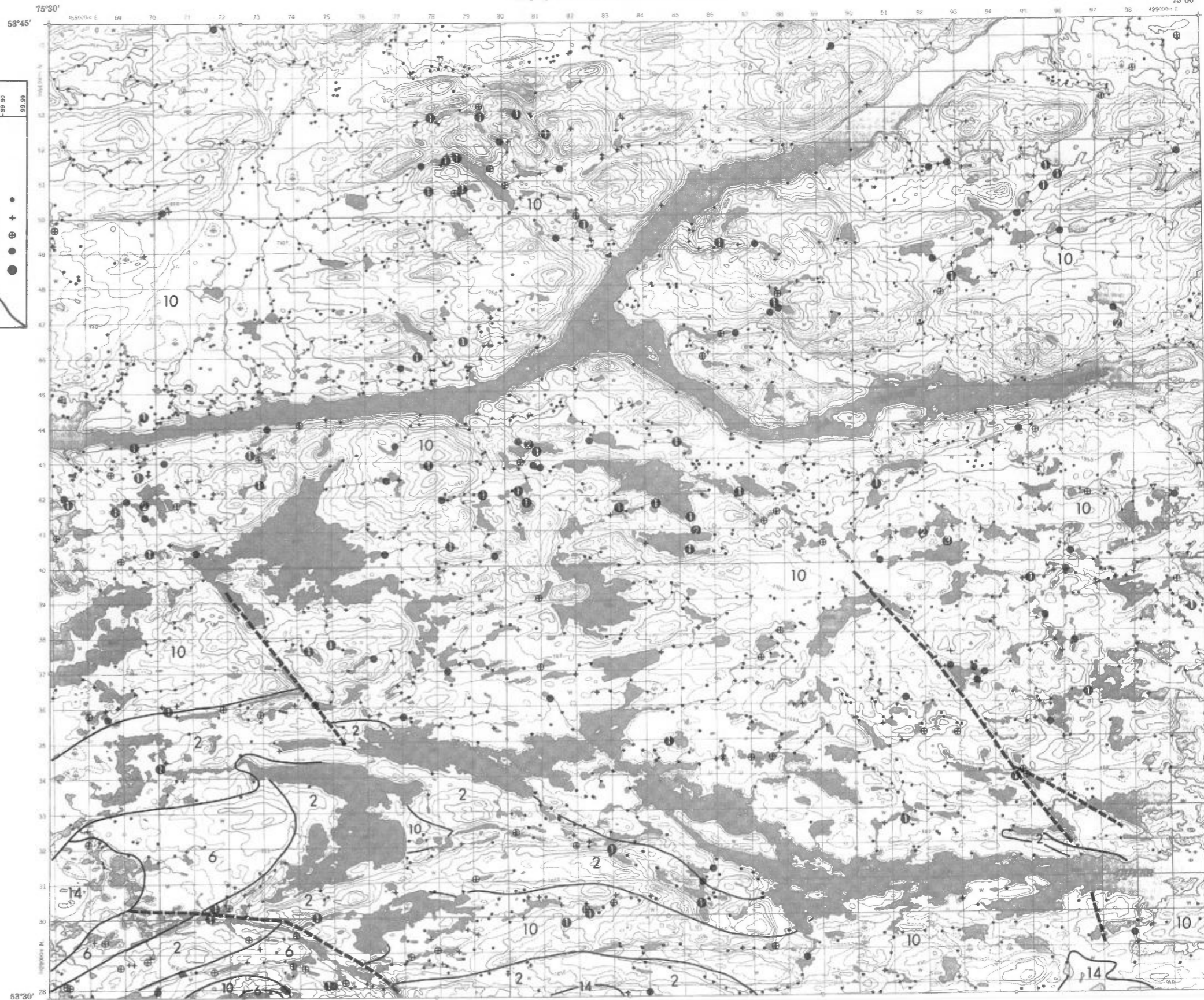
ÉCHELLE 1:125,000



SERVICE DES GÎTES MINÉRAUX

DIVISION DE LA GÉOCHIMIE
G.H. COCKBURN

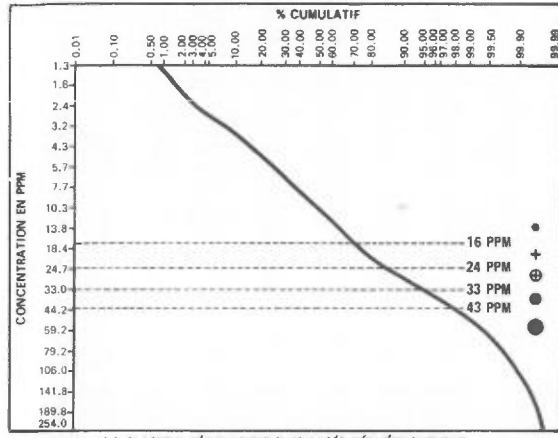
Carte géochimique No 1825



LÉGENDE

GÉOCHIMIE

COURBE DES FRÉQUENCES CUMULÉES



LA CLASSE SUPÉRIEURE EST SUBDIVISÉE GÉOMÉTRIQUEMENT

① 44 - 100 ② 101 - 200 ③ 301 - 400 ④ 401 - 800 ⑤ 801 - 1600 PPM

LITHOLOGIE SIMPLIFIÉE

- 14 Sable et gravier
- S "Sandstone" FM-Sakami
- 13 Dyke de diabase
- 12 Dyke de pegmatite
- 11 Granite
- 10 Quartz-diorite
- 9 Migmatite
- 8 Granite migmatitique
- 7 Formation de fer
- 6 Roche métasédimentaire
- 5 Tuf rhyolitique
- 4 Lave intermédiaire
- 3 Roche ultrabasiq
- 2A Amphibolite
- 2 Lave basique
- 1 Gneiss non différencié

Contact ———
Faille - - - - -

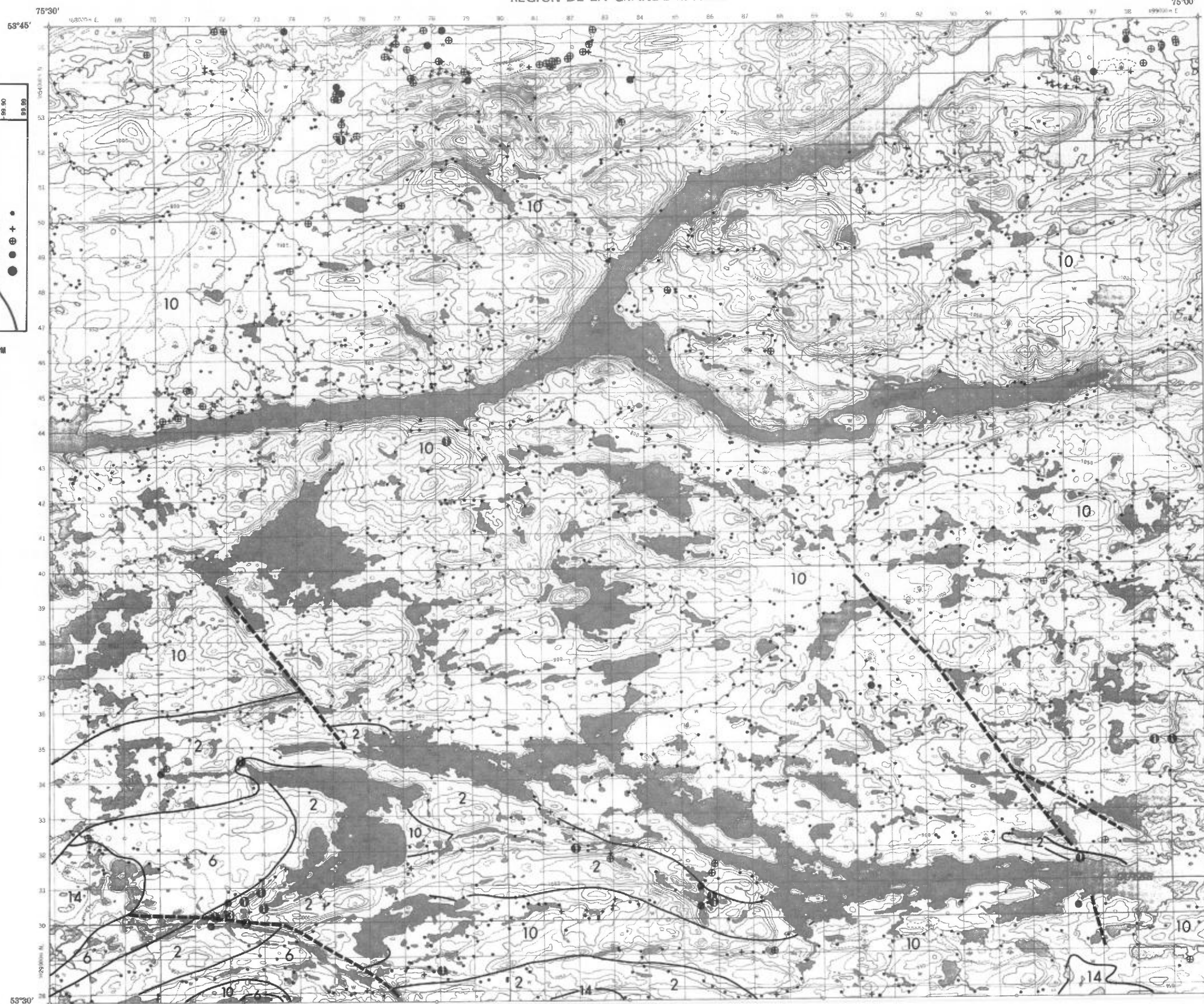
ÉCHELLE 1:125,000



SERVICE DES GÎTES MINÉRAUX

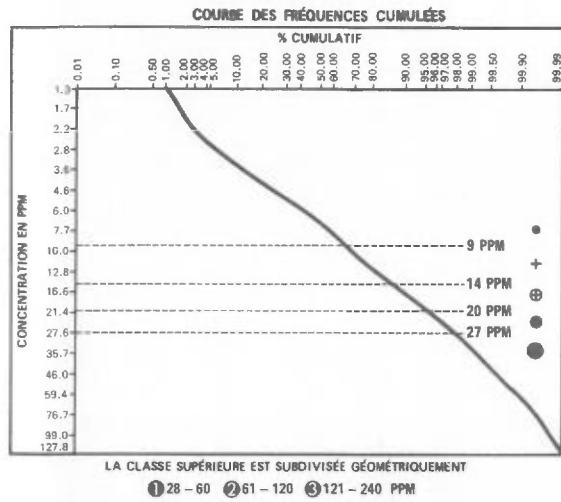
DIVISION DE LA GÉOCHIMIE
G.H. COCKBURN

Carte géochimique No 1825



L É G E N D E

GÉOCHIMIE



LITHOLOGIE SIMPLIFIÉE

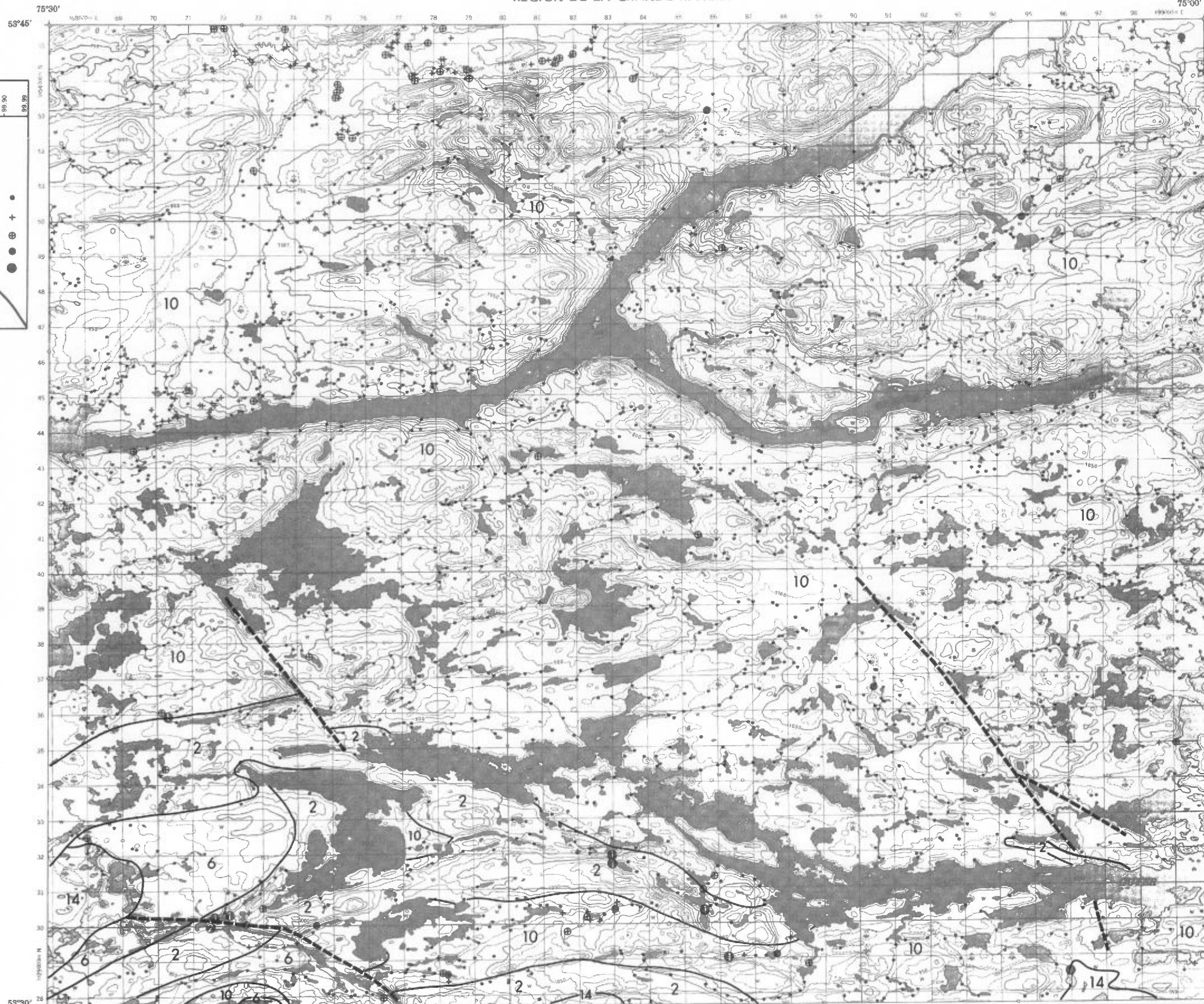
- 14 Sable et gravier
- S "Sandstone" FM-Sakami
- 13 Dyke de diabase
- 12 Dyke de pegmatite
- 11 Granite
- 10 Quartz-diorite
- 9 Migmatite
- 8 Granite migmatitique
- 7 Formation de fer
- 6 Roche métasédimentaire
- 5 Tuf rhyolitique
- 4 Lave intermédiaire
- 3 Roche ultrabasique
- 2A Amphibolite
- 2 Lave basique
- 1 Gneiss non différencié

Contact ———
 Faille - - - - -

ÉCHELLE 1:125,000

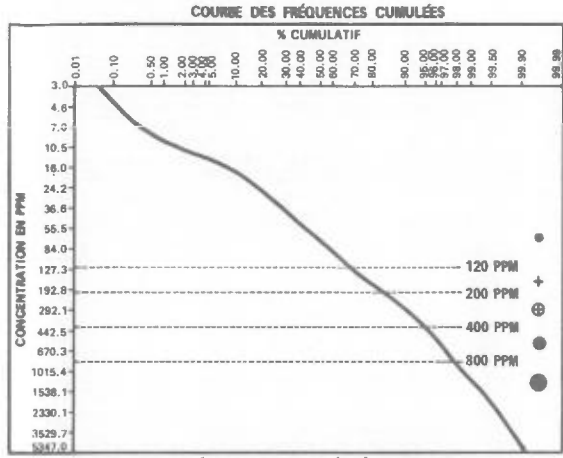


SERVICE DES GÎTES MINÉRAUX
 DIVISION DE LA GÉOCHIMIE
 G.H. COCKBURN
 Carte géochimique No 1825



LÉGENDE

GÉOCHIMIE



LITHOLOGIE SIMPLIFIÉE

- 14 Sable et gravier
- S "Sandstone" FM-Sakami
- 13 Dyke de diabase
- 12 Dyke de pegmatite
- 11 Granite
- 10 Quartz-diorite
- 9 Migmatite
- 8 Granite migmatitique
- 7 Formation de fer
- 6 Roche métasédimentaire
- 5 Tuf rhyolitique
- 4 Lave intermédiaire
- 3 Roche ultrabasique
- 2A Amphibolite
- 2 Lave basique
- 1 Gneiss non différencié

Contact ———
Faille - - - - -

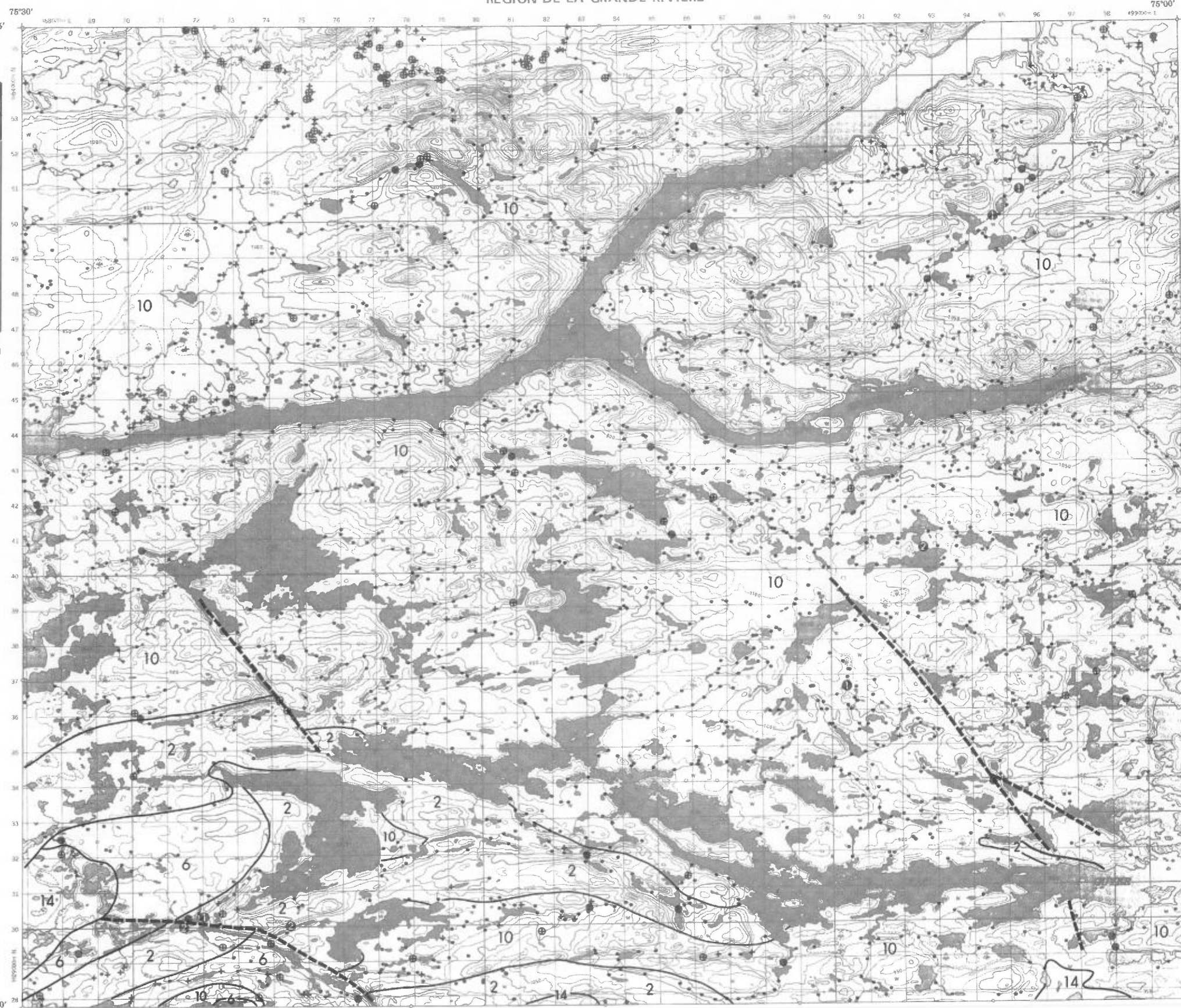
ÉCHELLE 1:125,000



SERVICE DES GÎTES MINÉRAUX

DIVISION DE LA GÉOCHIMIE
G.H. COCKBURN

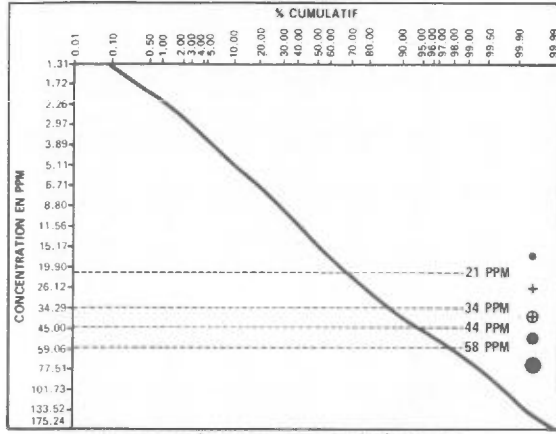
Carte géochimique No 1825



LÉGENDE

GÉOCHIMIE

COURBE DES FRÉQUENCES CUMULÉES



LA CLASSE SUPÉRIEURE EST SUBDIVISÉE GÉOMÉTRIQUEMENT

① 59-100 ② 101-200 ③ 201-400 PPM

LITHOLOGIE SIMPLIFIÉE

- 14 Sable et gravier
- S "Sandstone" FM-Sakami
- 13 Dyke de diabase
- 12 Dyke de pegmatite
- 11 Granite
- 10 Quartz-diorite
- 9 Migmatite
- 8 Granite migmatitique
- 7 Formation de fer
- 6 Roche métasédimentaire
- 5 Tuf rhyolitique
- 4 Lave intermédiaire
- 3 Roche ultrabasique
- 2A Amphibolite
- 2 Lave basique
- 1 Gneiss non différencié

Contact ———
Faille - - - - -

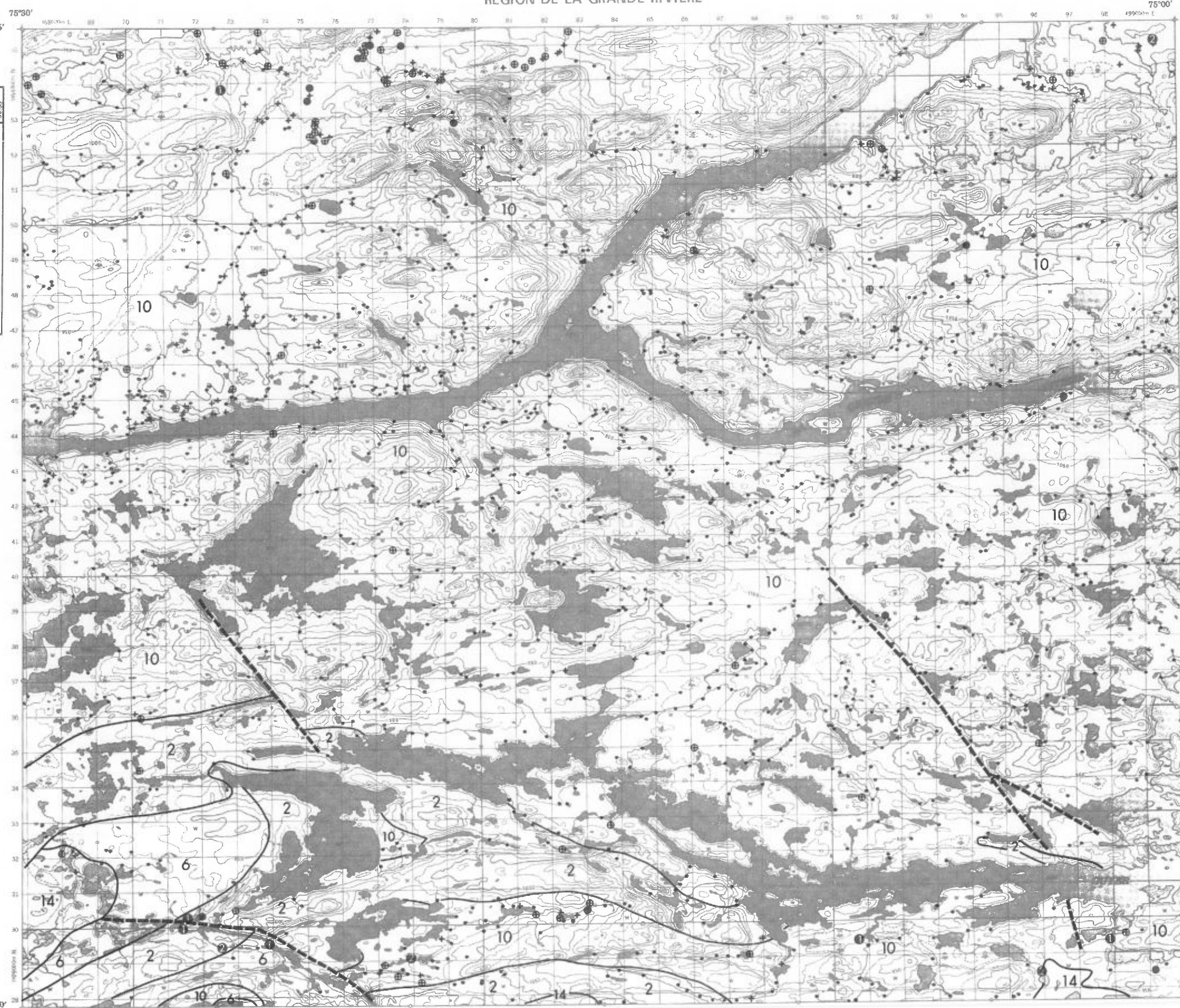
ÉCHELLE 1:125,000



SERVICE DES GÎTES MINÉRAUX

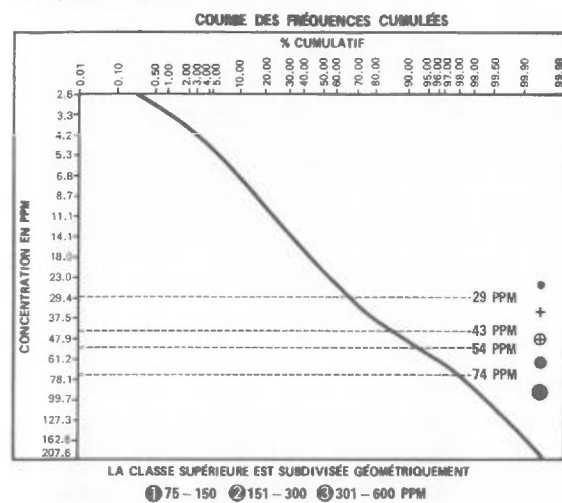
DIVISION DE LA GÉOCHIMIE
G.H. COCKBURN

Carte géochimique No 1825



LÉGENDE

GÉOCHIMIE



LITHOLOGIE SIMPLIFIÉE

- 14 Sable et gravier
- S "Sandstone" FM-Sakami
- 13 Dyke de diabase
- 12 Dyke de pegmatite
- 11 Granite
- 10 Quartz-diorite
- 9 Migmatite
- 8 Granite migmatitique
- 7 Formation de fer
- 6 Roche métasédimentaire
- 5 Tuf rhyolitique
- 4 Lave intermédiaire
- 3 Roche ultrabasique
- 2A Amphibolite
- 2 Lave basique
- 1 Gneiss non différencié

Contact ———
 Faille - - - - -

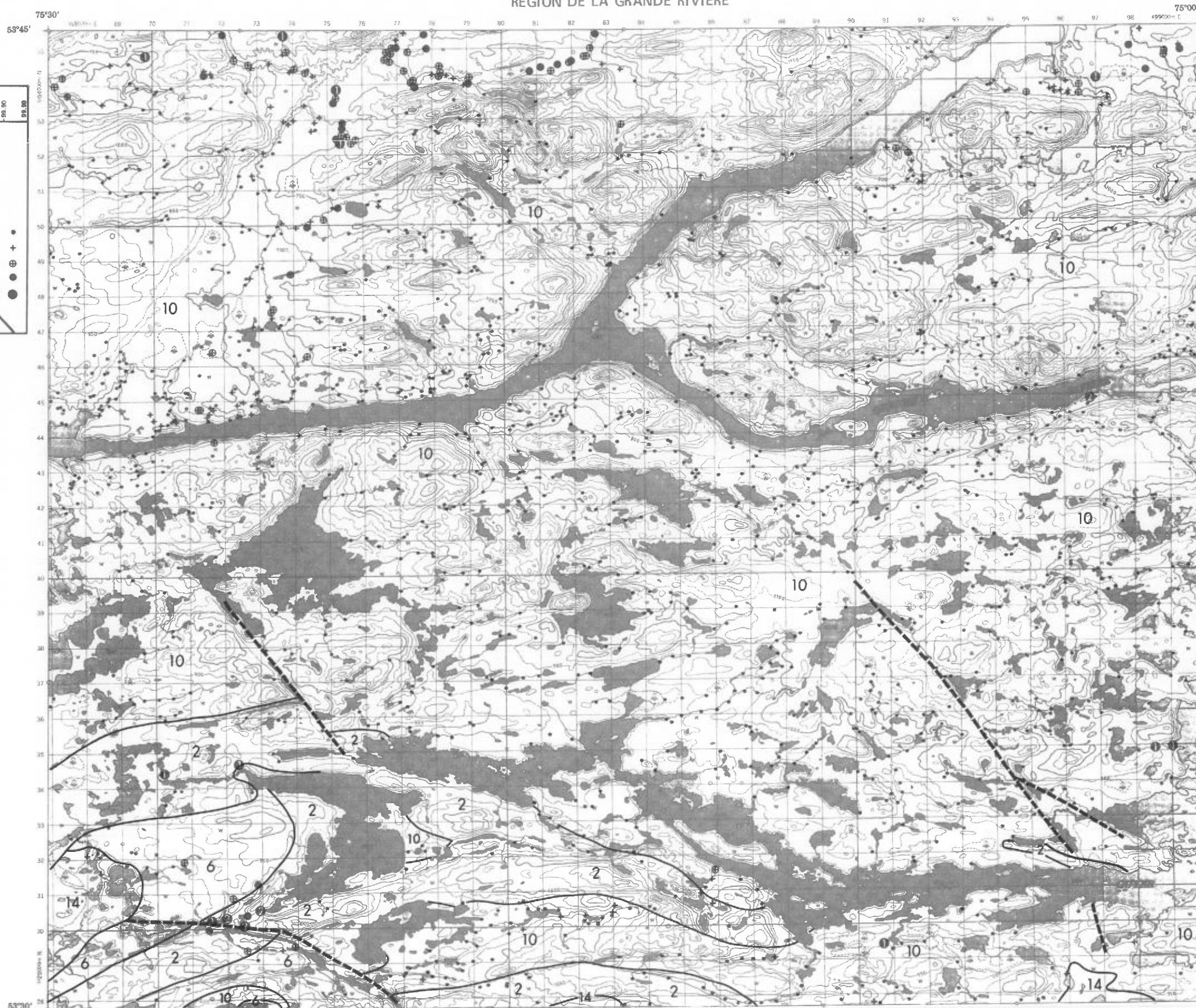
ÉCHELLE 1:125,000



SERVICE DES GÎTES MINÉRAUX

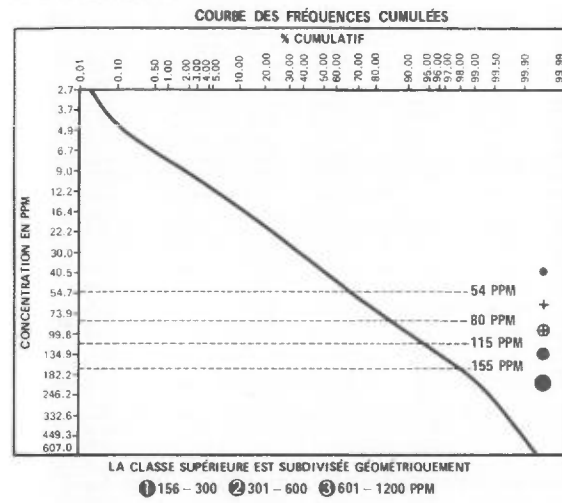
DIVISION DE LA GÉOCHIMIE
 G.H. COCKBURN

Carte géochimique No 1825



LÉGENDE

GÉOCHIMIE



LITHOLOGIE SIMPLIFIÉE

- 14 Sable et gravier
- S "Sandstone" FM-Sakami
- 13 Dyke de diabase
- 12 Dyke de pegmatite
- 11 Granite
- 10 Quartz-diorite
- 9 Migmatite
- 8 Granite migmatitique
- 7 Formation de fer
- 6 Roche métasédimentaire
- 5 Tuf rhyolitique
- 4 Lave intermédiaire
- 3 Roche ultrabasique
- 2A Amphibolite
- 2 Lave basique
- 1 Gneiss non différencié

Contact ———
 Faille - - - - -

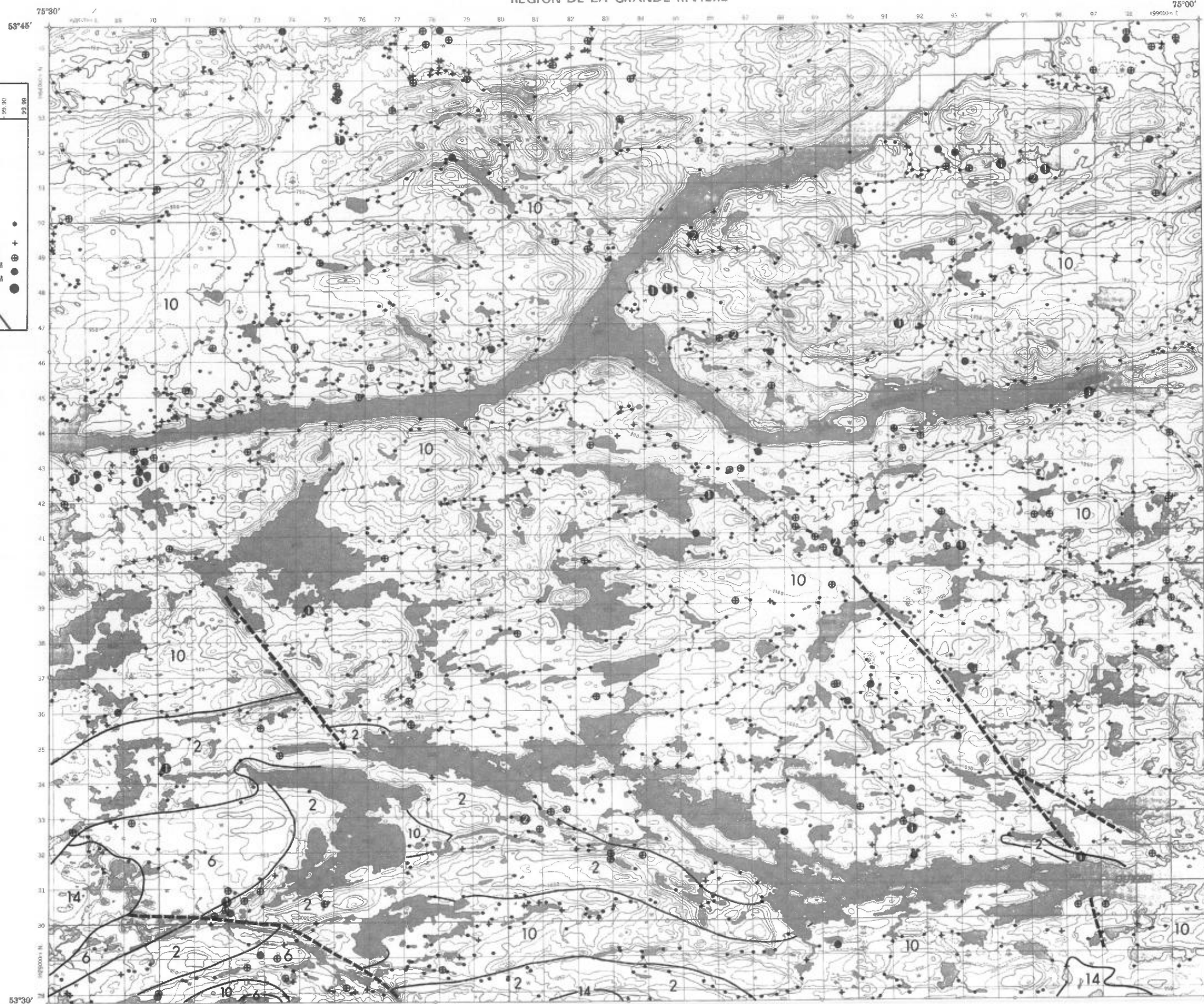
ÉCHELLE 1:125,000



SERVICE DES GÎTES MINÉRAUX

DIVISION DE LA GÉOCHIMIE
 G.H. COCKBURN

Carte géochimique No 1825

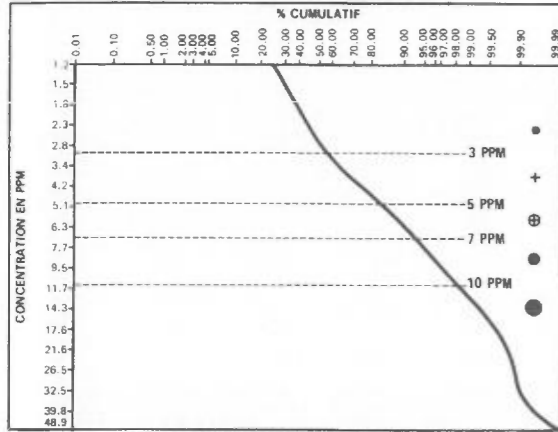




LÉGENDE

GÉOCHIMIE

COURBE DES FRÉQUENCES CUMULÉES



LA CLASSE SUPÉRIEURE EST SUBDIVISÉE GÉOMÉTRIQUEMENT

① 11 - 20 ② 21 - 40 ③ 41 - 80 PPM

LITHOLOGIE SIMPLIFIÉE

- 14 Sable et gravier
- S "Sandstone" FM-Sakami
- 13 Dyke de diabase
- 12 Dyke de pegmatite
- 11 Granite
- 10 Quartz-diorite
- 9 Migmatite
- 8 Granite migmatitique
- 7 Formation de fer
- 6 Roche métasédimentaire
- 5 Tuf rhyolitique
- 4 Lave intermédiaire
- 3 Roche ultrabasique
- 2A Amphibolite
- 2 Lave basique
- 1 Gneiss non différencié

Contact ———
Faille - - - - -

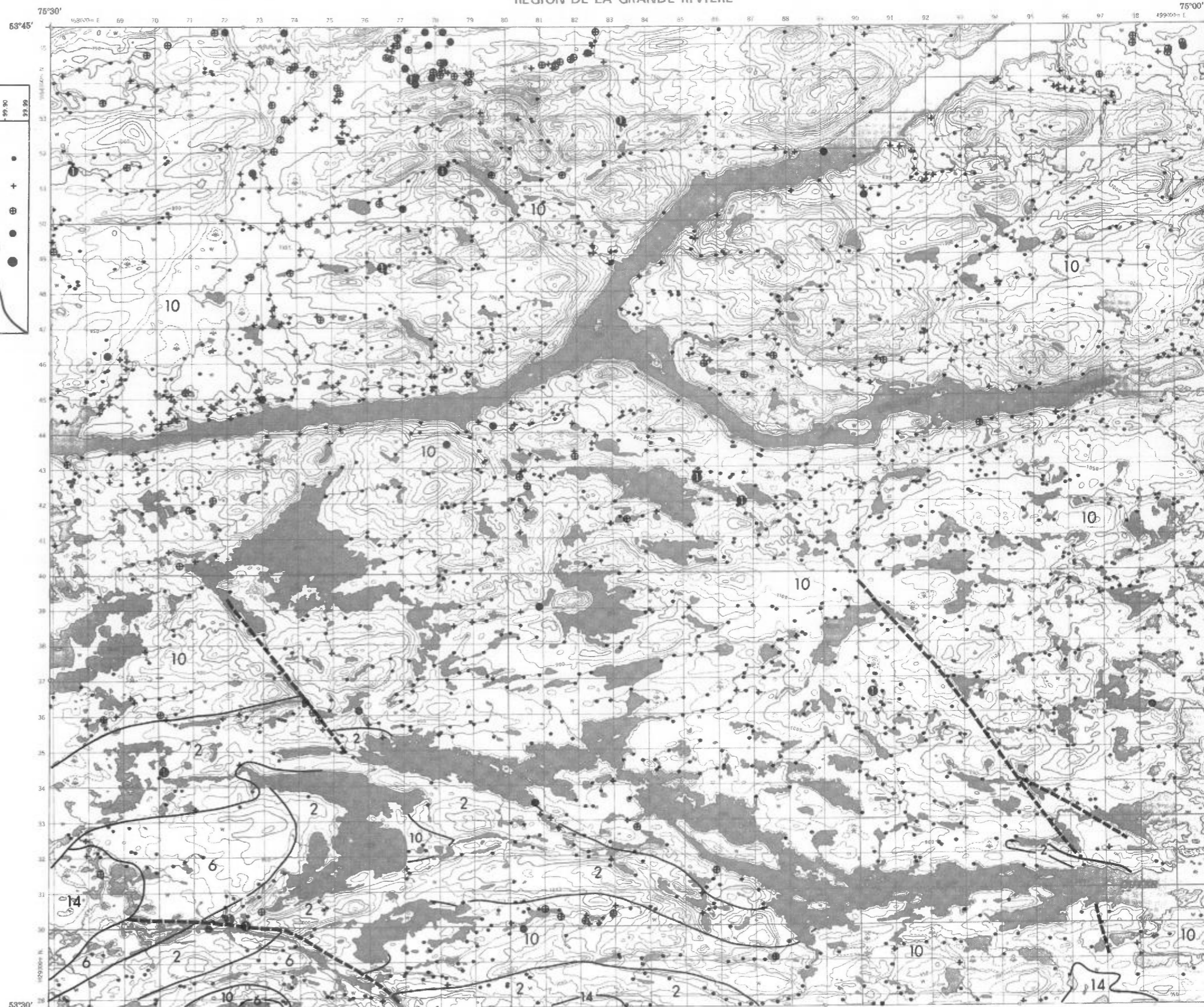
ÉCHELLE 1:125,000



SERVICE DES GÎTES MINÉRAUX

DIVISION DE LA GÉOCHIMIE
G.H. COCKBURN

Carte géochimique No 1825

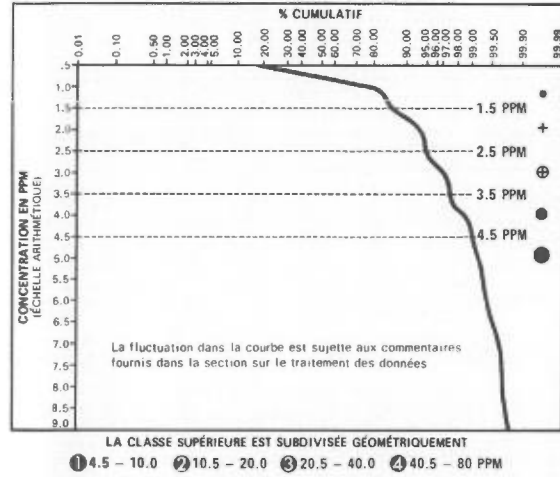




LÉGENDE

GÉOCHIMIE

COURBE DES FRÉQUENCES CUMULÉES



LITHOLOGIE SIMPLIFIÉE

- 14 Sable et gravier
- 9 "Sandstone" FM-Sakami
- 13 Dyke de diabase
- 12 Dyke de pegmatite
- 11 Granite
- 10 Quartz-diorite
- 9 Migmatite
- 8 Granite migmatitique
- 7 Formation de fer
- 6 Roche métasédimentaire
- 5 Tuf rhyolitique
- 4 Lave intermédiaire
- 3 Roche ultrabasique
- 2A Amphibolite
- 2 Lave basique
- 1 Gneiss non différencié

Contact ———
Faille - - - - -

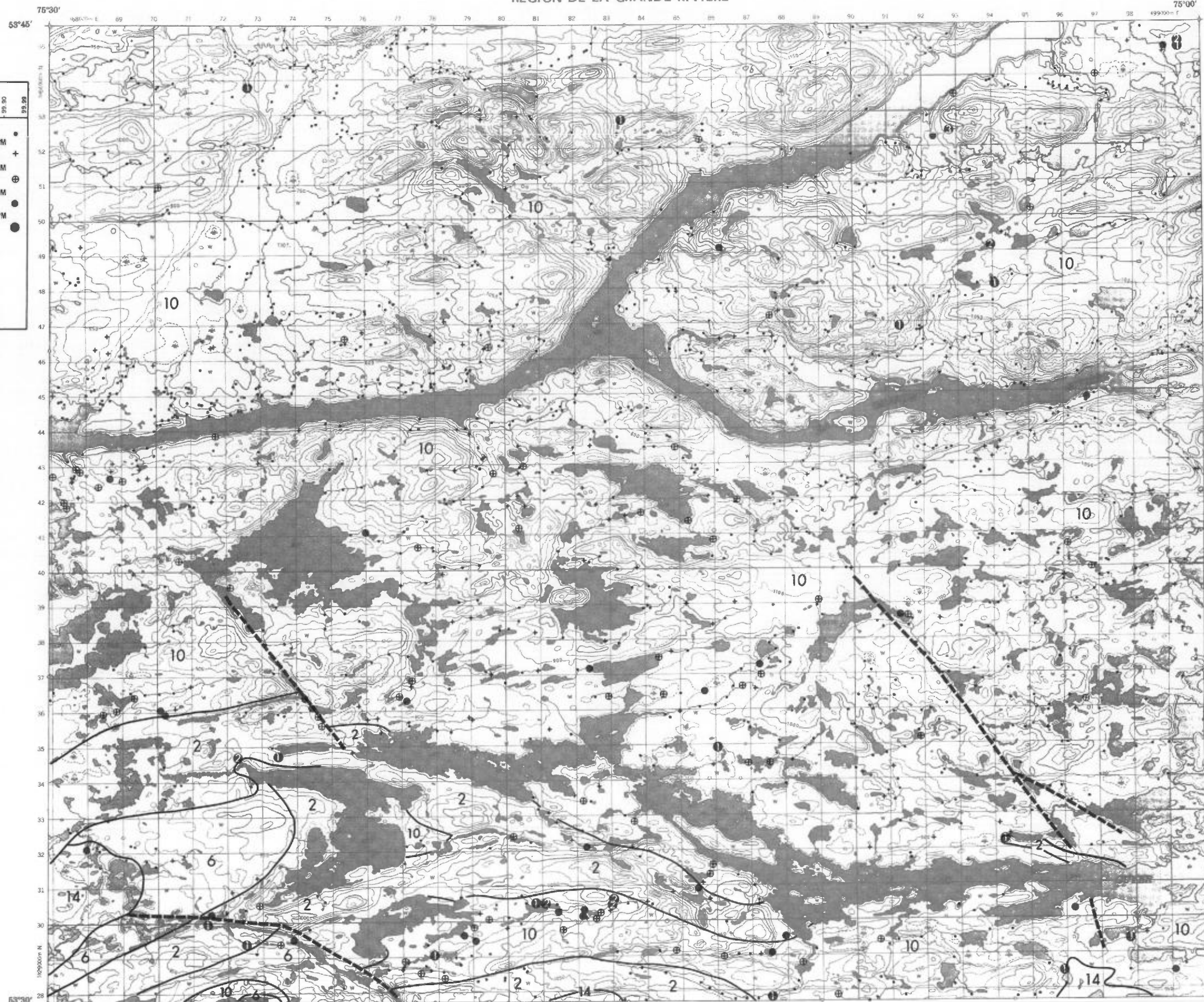
ÉCHELLE 1:125,000



SERVICE DES GÎTES MINÉRAUX

DIVISION DE LA GÉOCHIMIE
G.H. COCKBURN

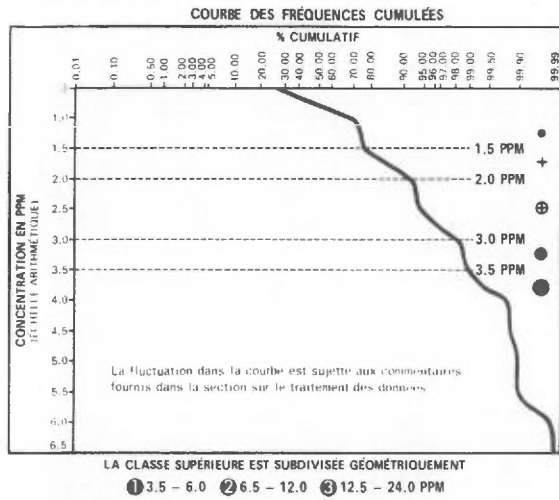
Carte géochimique No 1825





LÉGENDE

GÉOCHIMIE



LITHOLOGIE SIMPLIFIÉE

- 14 Sable et gravier
- S "Sandstone" FM-Sakami
- 13 Dyke de diabase
- 12 Dyke de pegmatite
- 11 Granite
- 10 Quartz-diorite
- 9 Migmatite
- 8 Granite migmatitique
- 7 Formation de fer
- 6 Roche métasédimentaire
- 5 Tuf rhyolitique
- 4 Lave intermédiaire
- 3 Roche ultrabasique
- 2A Amphibolite
- 2 Lave basique
- 1 Gneiss non différencié

Contact ———
Faille - - - - -

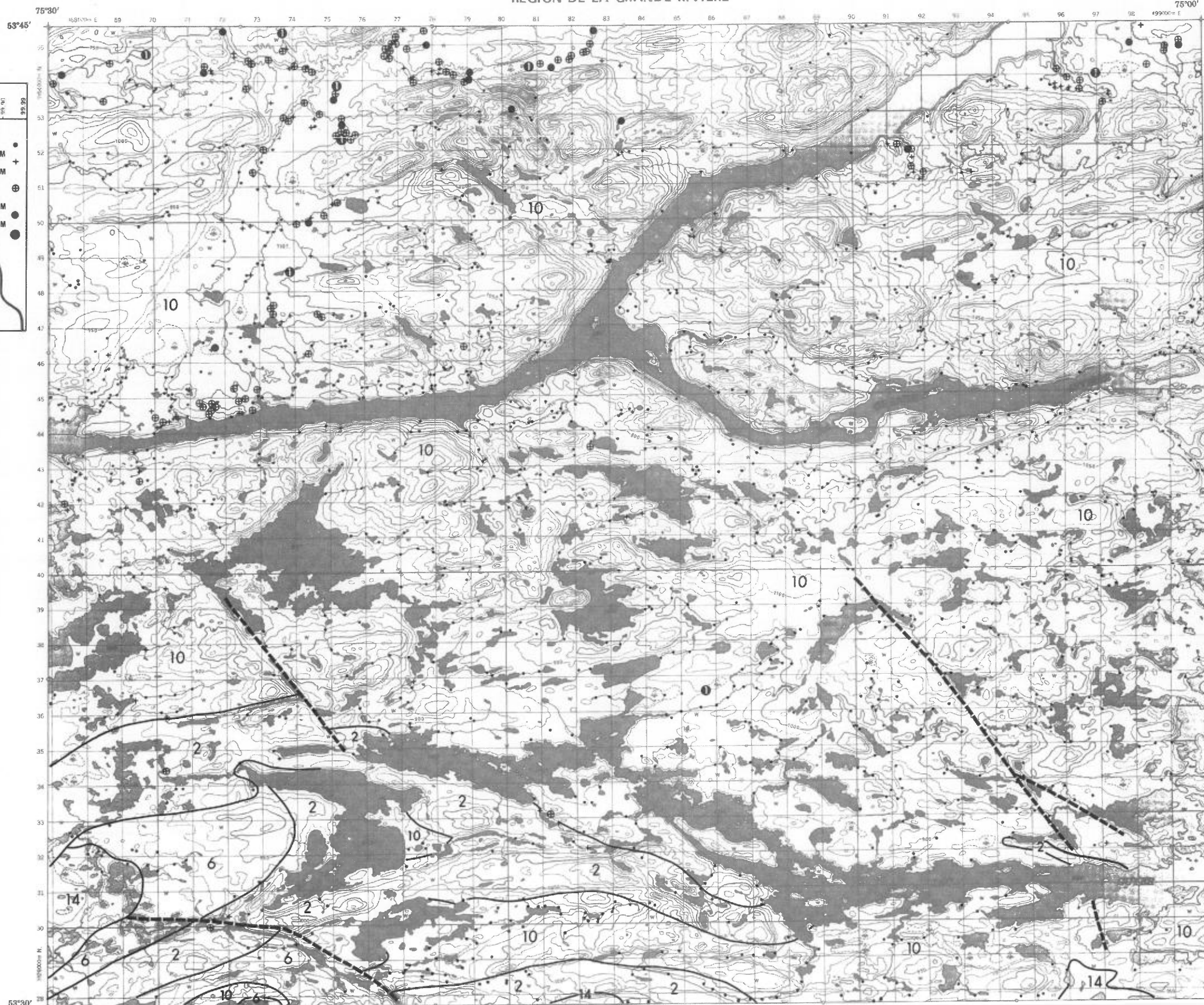
ÉCHELLE 1:125,000



SERVICE DES GÎTES MINÉRAUX

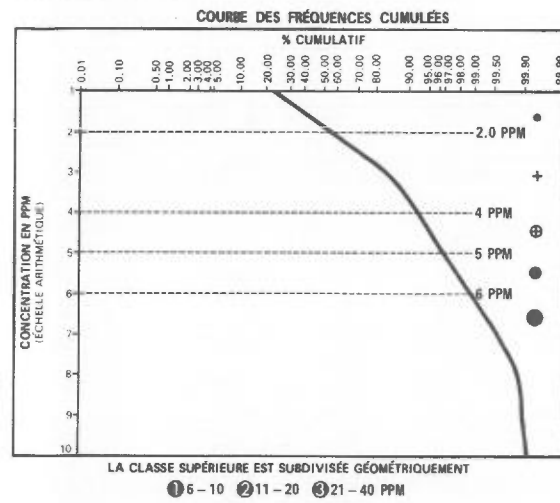
DIVISION DE LA GÉOCHIMIE
G.H. COCKBURN

Carte géochimique No 1825



LÉGENDE

GÉOCHIMIE



LITHOLOGIE SIMPLIFIÉE

- 14 Sable et gravier
- 5 "Sandstone" FM-Sakami
- 13 Dyke de diabase
- 12 Dyke de pegmatite
- 11 Granite
- 10 Quartz-diorite
- 9 Migmatite
- 8 Granite migmatitique
- 7 Formation de fer
- 6 Roche métasédimentaire
- 5 Tuf rhyolitique
- 4 Lave intermédiaire
- 3 Roche ultrabasique
- 2A Amphibolite
- 2 Lave basique
- 1 Gneiss non différencié

Contact ———
 Faille - - - - -

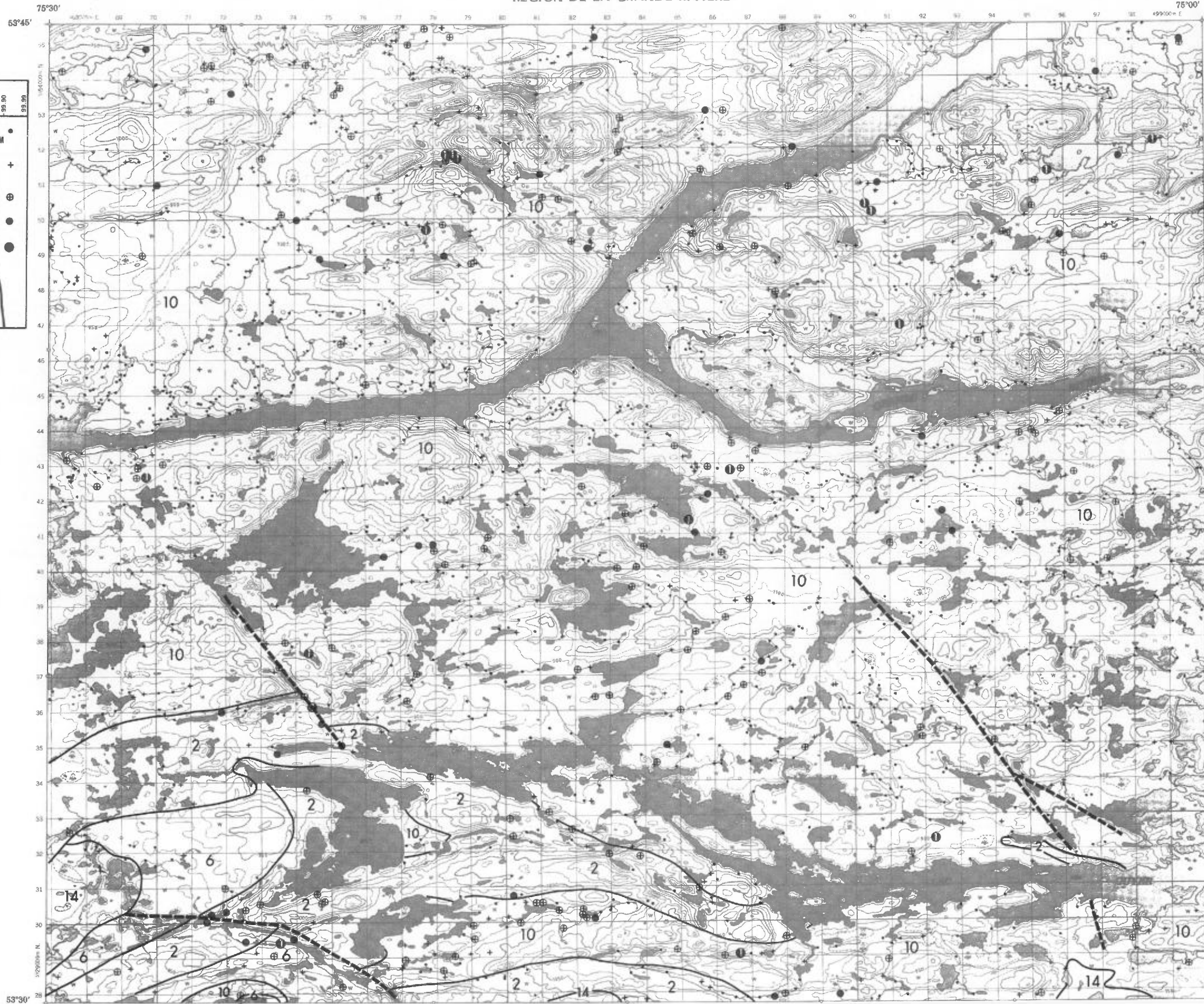
ÉCHELLE 1:125,000



SERVICE DES GÎTES MINÉRAUX

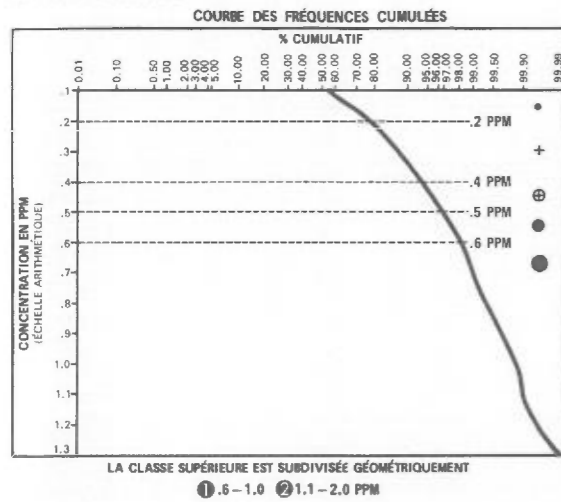
DIVISION DE LA GÉOCHIMIE
 G.H. COCKBURN

Carte géochimique No 1825



LÉGENDE

GÉOCHIMIE



LITHOLOGIE SIMPLIFIÉE

- 14 Sable et gravier
- S "Sandstone" FM-Sakami
- 13 Dyke de diabase
- 12 Dyke de pegmatite
- 11 Granite
- 10 Quartz-diorite
- 9 Migmatite
- 8 Granite migmatitique
- 7 Formation de fer
- 6 Roche métasédimentaire
- 5 Tuf rhyolitique
- 4 Lave intermédiaire
- 3 Roche ultrabasique
- 2A Amphibolite
- 2 Lave basique
- 1 Gneiss non différencié

Contact ———
Faille - - - - -

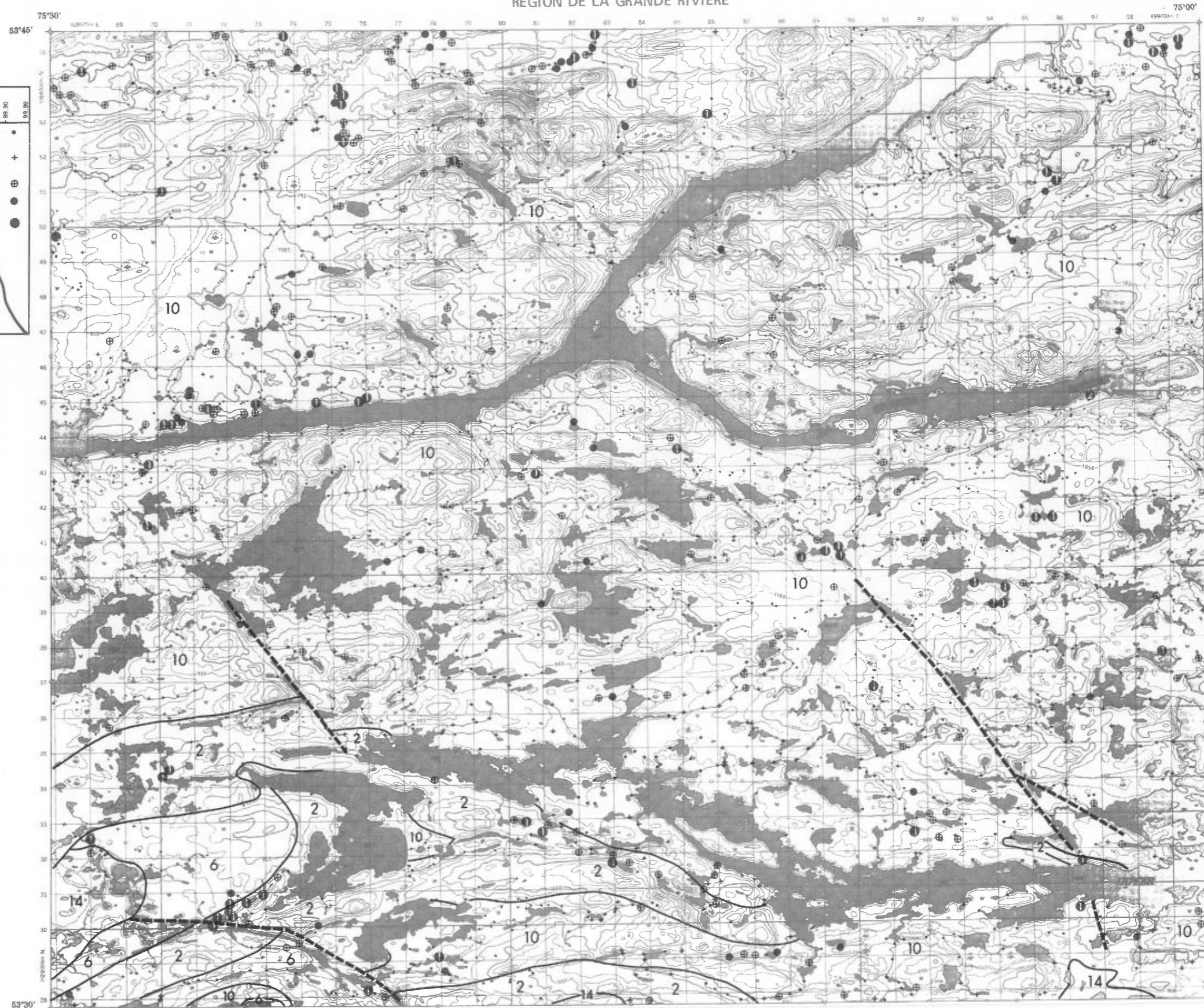
ÉCHELLE 1:125,000

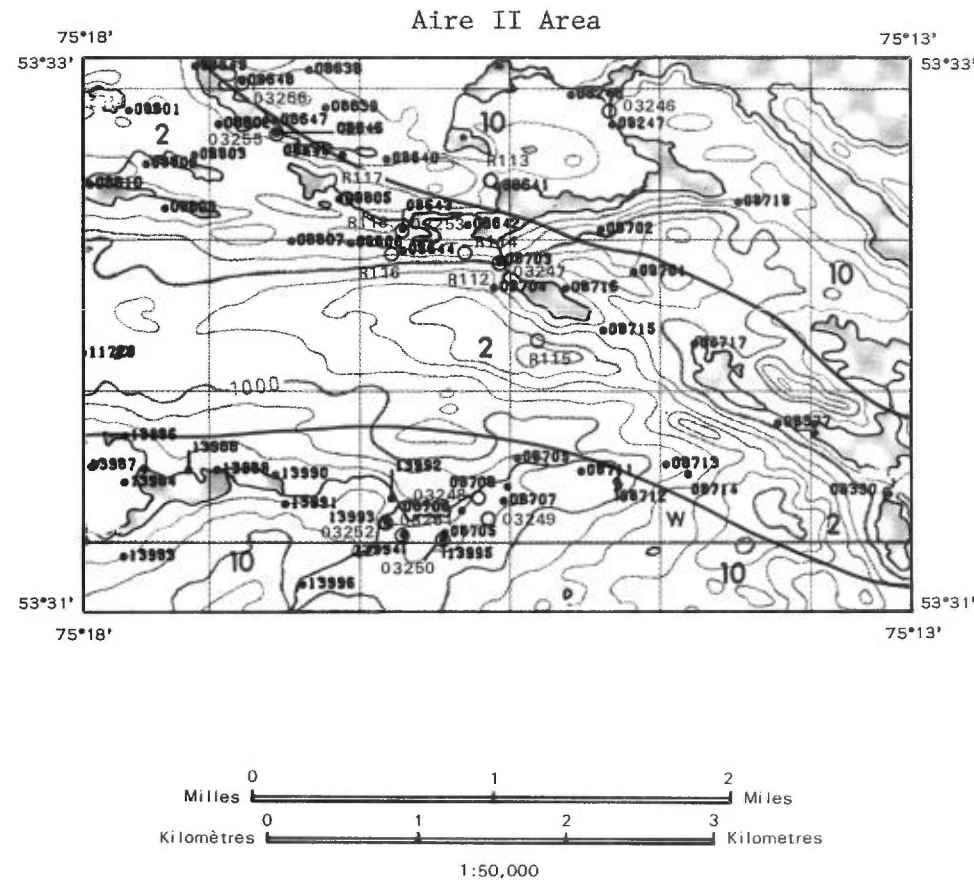


SERVICE DES GÎTES MINÉRAUX

DIVISION DE LA GÉOCHIMIE
G.H. COCKBURN

Carte géochimique No 1825





Deux regroupements d'intérêt sont indiqués à l'intérieur de cette aire. Le premier, à teneurs élevées en cuivre, longe la bande métavolcanique du lac Guyer (unité 2) tandis que le second, plus au sud et à teneurs élevées simultanées en zinc et molybdène, se situe à l'intérieur d'une intrusion granitique (unité 10) d'environ 30 km².

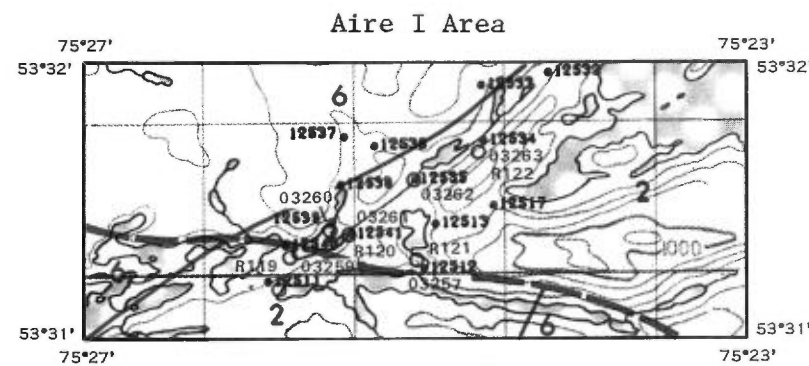
Les deux zones furent confirmées par la campagne de rééchantillonnage effectuée en 1975 par R. Tremblay, de la division de la Géochimie (tableau 9).

D'après une cartographie géologique de reconnaissance effectuée par G. Sergerie à l'intérieur du projet d'inventaire géochimique de 1974, les roches métavolcaniques à l'intérieur de l'aire annotée consistent principalement d'amphibolites foliées en marge d'une masse centrale de granite et de gneiss granitique. Cette interprétation lithologique diffère sensiblement de celle faite par Sharma (1975) et présenté ici sur la carte géologique simplifiée. Par conséquent, on suggère qu'une vérification de terrain soit effectuée avant d'entreprendre des travaux de prospection.

There are two interesting clusters within this annotated area. The first consists of high copper values extending along the Lac Guyer volcanic belt (unit 2) while the second, farther south, consists of simultaneous high values in zinc and molybdenum located over a 30 square km granitic intrusion (unit 10).

The two zones were confirmed by a follow-up re-sampling campaign undertaken in 1975 par R. Tremblay of the Geochemistry Division (Table 9).

According to a brief geologic reconnaissance undertaken by G. Sergerie within the geochemical projet of 1974, the metavolcanic rocks within the annotated area consist primarily of foliated amphibolites marginal to a large central mass of granite and granitic gneiss. This lithologic interpretation differs considerably from that presented by Sharma (1975) and our simplified geologic map; therefore, a field verification of the local geology would be in order prior to undertaking further prospecting.



LAC GUYER 33 G/11 Aire I Area
 NI, Cr, V, (Co, Ag)

Cette petite aire annotée est sise sur un prolongement de la bande volcanique du Lac Guyer (unité 2). Anomale en Ni, Cr et V, elle suggère une affinité ultramafique. Des roches de ce type (pyroxénites et amphibolites) ont été notées par G. Sergerie au cours d'une vérification lithologique en 1974, laquelle observation a récemment été confirmée par Sharma (en préparation). La ceinture volcanique contient en plus des coulées basaltiques sous-marines, agglomérats, microgabbros, formations de fer, tuffs, quartzite et schistes verts.

Le rééchantillonnage effectué en 1975 par R. Tremblay confirme la validité des premiers résultats (tableau 8).

This small annotated area is located on an extension of the Lac Guyer volcanic belt (unit 2) and is anomalous for Ni, Cr and V which suggests an ultramafic affinity. Such rocks (pyroxenites and amphibolites) were noted by G. Sergerie during a lithologic verification in 1974, a fact recently confirmed by Sharma (in preparation). In addition the volcanic belt consists of submarine basaltic flows, agglomerates, microgabbros, iron formations, tuffs, quartzites and greenschists.

The follow-up sampling undertaken by R. Tremblay in 1975 confirmed the validity of the original results obtained (Table 8).

LÉGENDE LEGEND

- | | | | |
|---------|--|-------|--|
| ● 12607 | Prélèvement initial
Original sampling | — | Contact géologique
Geological contact |
| ○ 03282 | Prélèvement de vérification
Verification sampling | - - - | Limite d'échantillonnage
Sampling limit |
| ⊙ 10031 | Échantillon réanalysé
Reanalysed sample | — — — | Faïlle
Fault |
| R140 | Échantillon de roche
Rock sample | | |

	Cu	Zn	Pb	Ni	Co	Cr	V	Sn	Mo	U	Mn	Ag	Li	Ba	Cs	UTM ZONE 18	
	ppm	ppm	ppm	ppm	ppm	ppm	ppm	ppm	ppm	ppm	ppm	ppm	ppm	ppm	ppm	E	N
74-12512	34	34	14	175	18	190	14	3	.5	1.0	98	.4	13	54	1.0	472502.3	5930084.6
(adjacent)	23	46	18*	280	29	245	24	2	1.5	.5	358	.1*	12	70	2.0	472502.3	5930084.6
R:121 volcanique **	220	75	6*	73	42	510	140	<2	<2	<2	1025	.5*	5	160	—	472500.0	5930300.0
74-12511	29	114	68	38	63	65	70	5	10	9.0	2760	.7	9	62	2.0	471467.2	5930000.6
75-03258	34	130	41*	49	77	69	97	2	11	7.0	3320	.1*	7	74	2.5	471467.2	5930000.6
74-12540	44	52	56	60	30	78	72	5	3.5	3.0	612	.8	2	110	1.5	471584.2	5930240.9
75-03259	42	62	86*	69	51	94	105	2	4.5	2.0	1812	.1*	4	124	1.5	471584.2	5930240.9
R:119 qtz diorite **	16	59	11*	10	71	18	22	<2	<2	<2	360	.3*	12	1470	—	471575.0	5930200.0
75-03260	15	30	12*	26	6	82	35	2	3.0	1.0	72	.1*	4	72	1.0	471850.0	5930350.0
74-12541	40	144	23	295	50	260	48	.5	1.5	1.0	1024	.8	19	150	1.5	472016.6	5930313.6
75-03261	34	68	6*	290	34	345	44	2	2.0	2.0	534	.1*	20	134	2.0	472016.6	5930313.6
R:120 qtz diorite	4	32	35*	9	52	13	31	<2	<2	<2	200	.5*	2	140	—	471970.0	5930280.0
74-12535	63	76	21	84	12	—	—	3.0	—	3.0	140	.6	2	98	—	472440.6	5930672.6
75-03262	58	38	21*	78	9	—	—	2.0	—	1.0	112	.2*	1	110	—	472440.6	5930672.6
74-12534	33	32	10	61	9	—	—	—	—	—	46	.6	3	82	—	472899.2	5930925.9
75-03263	41	30	7*	80	11	202	19	2	1.5	1.0	66	.1*	7	46	1.5	472899.2	5930925.9
R:122 volcano gab- broïque "	180	73	3*	45	68	120	270	<2	<2	<2	1310	.3*	5	58	18	472800.0	5930850.0

* : corrigé pour absorbance non-spécifique

— : non-analysé

Les échantillons de roches ont été analysés par absorption atomique

" : à grain grossier

** : roche contenant de la pyrite

TABLEAU 8 – RÉSULTATS D'ANALYSE DE L'AIRE ANNOTÉE I (33 G/11)

	Cu	Zn	Pb	Ni	Co	Cr	V	Sn	Mo	U	Mn	Ag	Li	Ba	Cs	UTM ZONE 18	
	ppm	ppm	ppm	ppm	ppm	ppm	ppm	ppm	ppm	ppm	ppm	ppm	ppm	ppm	ppm	E	N
74-08247	72	18	8	8	8	25	34	1	2	10	72	0.3	6	18	0.5	483693.7	5932823.6
75-03246	29	38	17*	16	5	42	20	2	3.5	2	76	0.1*	3	40	1	483678.0	5932927.4
74-08703	87	90	78	23	33	—	—	4	—	5	772	0.4	4	82	—	482949.9	5931924.1
75-03247	34	46	44*	18	9	35	10	2	2.5	3	152	0.1*	4	50	1	482940.0	5931925.0
R:112 volcanique ***	37	67	14*	87	55	150	170	<2	<2	<2	1120	0.3*	8	300	—	482940.0	5931925.0
74-08708	10	86	27	19	24	34	51	3	16	4	552	0.3	6	36	1	483006.0	5930427.1
75-03249	8	40	9*	7	5	10	10	2	1	7	100	0.1*	5	24	0.5	482915.6	5930225.5
75-03248 (adjacent)	10	46	9*	10	9	22	23	2	6	8	206	0.1*	4	24	1	482850.2	5930375.7
74-13975	9	12	7	3	5	—	—	—	—	—	14	0.1	1	96	—	510174.8	5940593.7
75-03250	14	46	8*	10	18	18	30	2	2.5	1	590	0.1*	5	48	0.5	482625.2	5930099.8
74-13994	19	114	61	9	10	16	13	4	1.5	4	98	0.2	4	48	0.5	482311.0	5930109.9
75-03251	22	136	81*	10	9	18	17	2	2	3	168	0.1*	4	56	1	482344.6	5930099.3
74-13993	19	136	25	13	17	22	37	4	3	2	194	0.3	7	52	1	482201.0	5930196.0
75-03252	24	116	20*	13	20	25	59	2	4.5	2	456	0.1*	6	44	1.5	482234.2	5930189.3
74-08806	100	36	27	70	12	—	—	—	—	3	42	0.4	2	74	—	481956.2	5932040.6
75-03253 (adjacent)	18	18	14*	12	5	38	80	2	3.5	2	38	0.1*	2	76	1	482250.0	5932125.0
R:116 qtz diorite	8	38	12*	6	120	10	9	<2	<2	<2	260	0.3*	8	580	—	482250.0	5932065.0
R:118 volcanique **	220	93	4*	52	85	120	230	<2	<2	3	1425	<0.3*	7	80	—	482250.0	5932125.0
74-08646	68	16	6	7	6	—	—	—	—	4	26	0.3	1	64	—	481463.5	5932771.9
75-03255	74	22	1*	15	4	—	—	—	—	1	36	0.1*	1	94	—	481503.7	5932743.6
74-08648	73	18	8	21	8	22	6	4	1.5	5	36	0.3	5	84	2	481234.5	5933109.8
75-03256	76	22	2*	21	6	23	7	2	1.5	6	42	0.1*	4	86	2	481242.6	5933093.9
R:113 volcanique	13	83	4*	32	53	100	160	<2	<2	<2	1020	0.3*	9	340	—	482950.0	5932400.0
R:114 volcanique**	8	28	<1*	<1	110	9	3	<2	<2	2	700	0.3*	<1	120	—	482750.0	5932025.0
R:115 qtz diorite	15	24	12*	4	76	7	9	<2	<2	2	230	0.3*	8	580	—	482850.0	5932450.0
R:117 formation de fer	6	17	<1*	<1	63	8	<2	<2	<2	2	170	<0.3*	1	90	—	481900.0	5932350.0

* : corrigé pour absorbance non-spécifique

— : non-analysé

Les échantillons de roches ont été analysés par absorption atomique

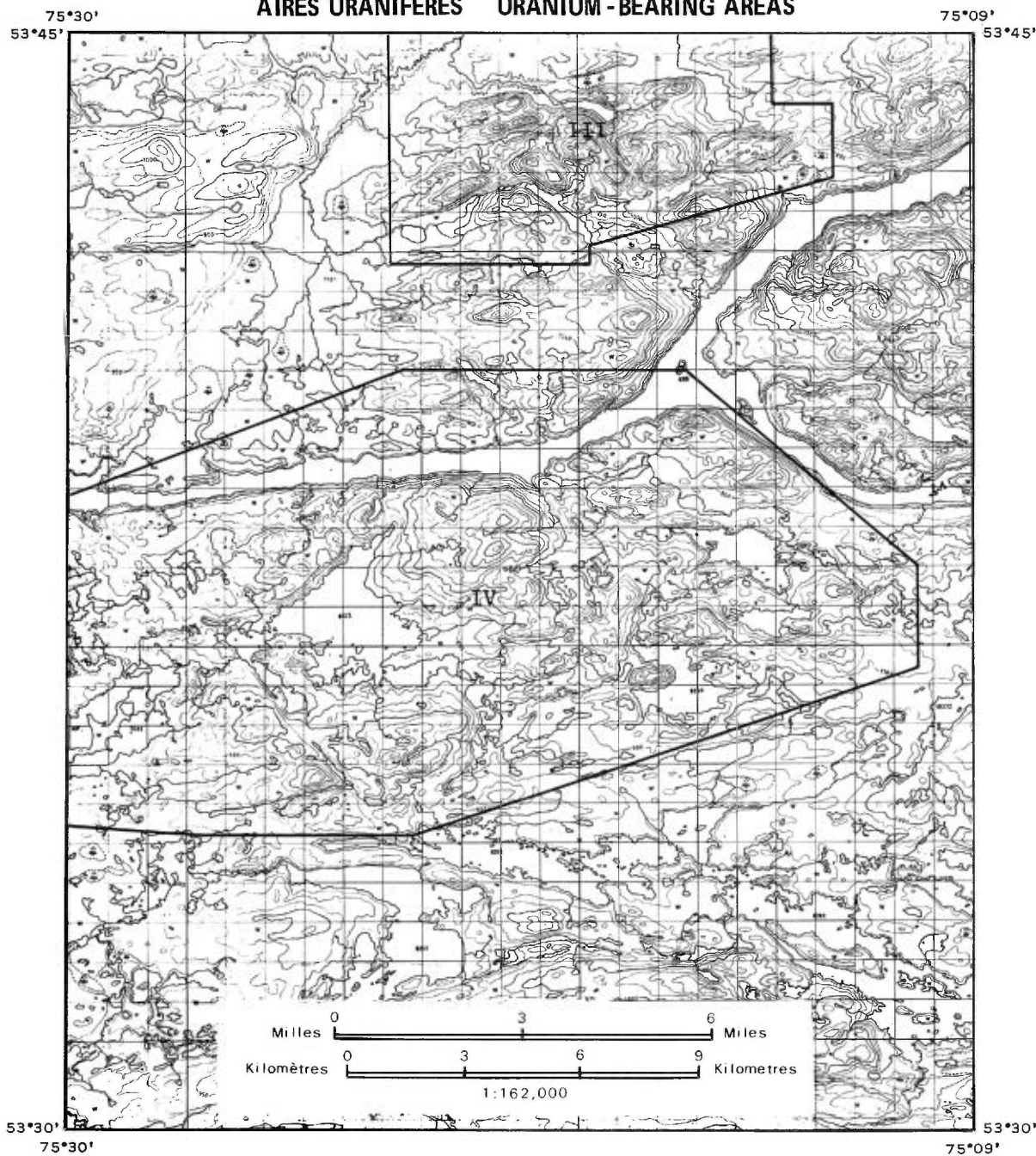
** : roche contenant de la pyrite

*** : oxydé

** : 4% de pyrite

** : 5% de pyrite

TABLEAU 8 – suite



En juin 1975, la division de la géochimie a publié sept cartes géochimiques de l'uranium (DP-307, Cockburn et Sergerie) dans le but de faire connaître l'existence d'importantes anomalies uranifères.

Les anomalies les plus spectaculaires (feuillet 33 G/12, et 33 G/11) ne sont pas encore expliquées. A première vue, elles semblent liées aux vastes étendues de quartz-diorite (unité 10), et possiblement à une de ses phases pegmatitiques. Par contre, une vérification préliminaire sur le terrain utilisant un scintillomètre n'a relevé aucune source de radio-activité anormale dans ces roches.

On peut formuler une hypothèse pour essayer d'expliquer ces anomalies. Si nous sommes uniquement en présence de dispersion glaciaire à partir d'un foyer de minéralisation important, ponctuel ou linéaire, mais caché, l'uranium (type filonien?) pourrait provenir de zones de cisaillement ou de faille majeures génétiquement reliées aux structures d'effondrement, genre "grabben", telles celles qui ont permis la conservation d'une série de blocs protérozoïques comme la formation Sakami (unité S) à l'intérieur de l'Archéen. Or, la partie linéaire de la Grande Rivière au centre des feuillets 33 G/11 et 33 G/12 pourrait être le site d'une zone de cisaillement majeure. Nous ne pouvons cependant savoir s'il en est ainsi que par une connaissance détaillée de la lithologie et de la tectonique.

Il est important de remarquer qu'aucun autre élément n'est généralement associé aux anomalies d'uranium.

Les résultats d'analyses les plus élevés ont été vérifiés par réanalyse par trois laboratoires commerciaux différents suivant leurs méthodes d'analyses courantes (voir DP-307). La confirmation de la validité des résultats d'uranium nous permet de parler d'une province géochimique uranifère.

LAC GUYER 33 G/11 Area III et IV

U

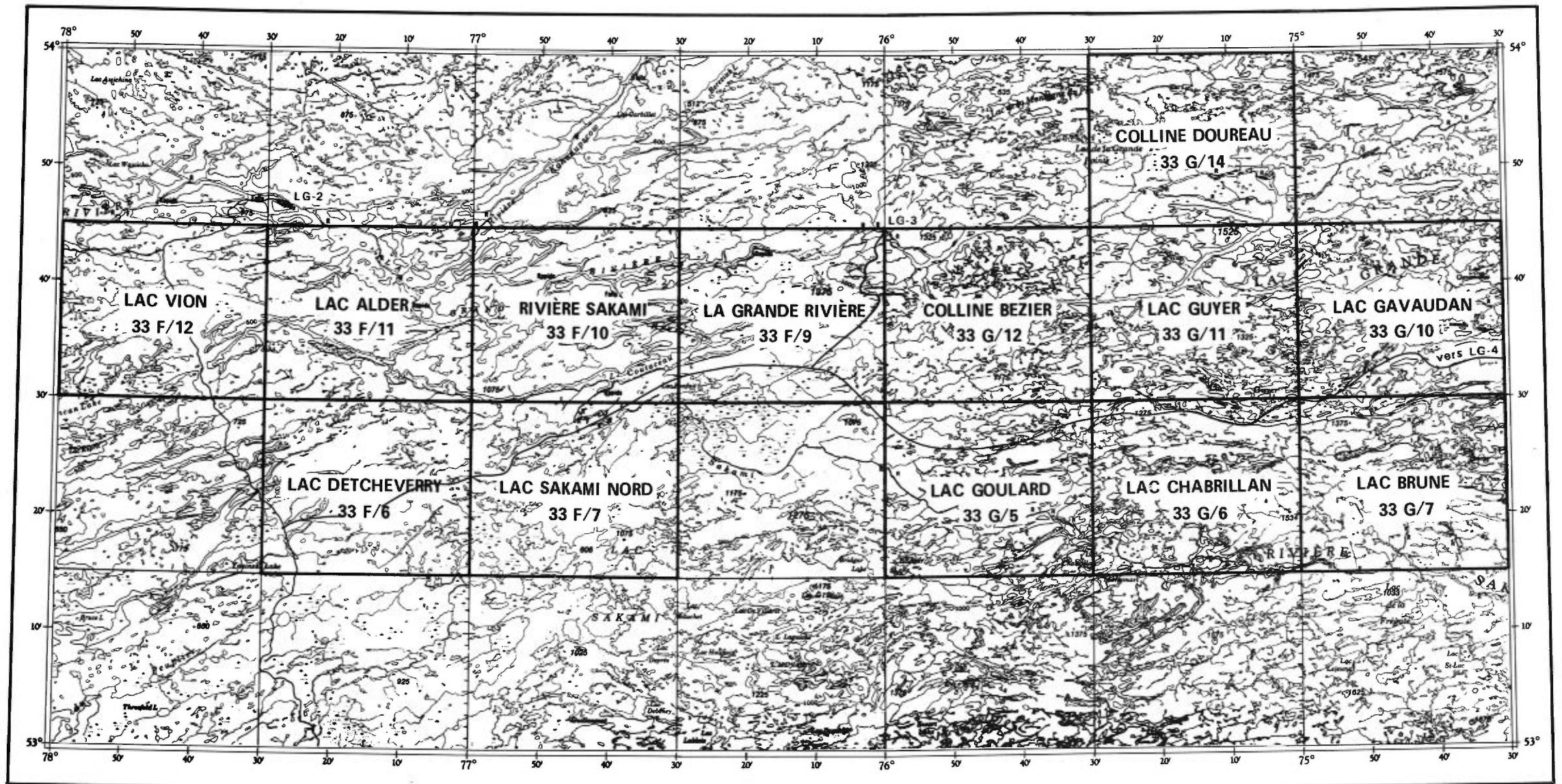
In June of 1975, the Geochemistry Division published seven uranium geochemical maps (DP-307, Cockburn and Sergerie) with the aim of bringing to the public attention the existence of important geochemical anomalies.

The most spectacular anomalies (sheet 33 G/12 and 33 G/11) are not as yet explained. At first glance they seem related to the vast expanses of quartz-diorite (unit 10) and quite possibly to one of its pegmatitic phases. However, a preliminary field verification using a scintillometer did not reveal any unusual radioactivity in these rocks.

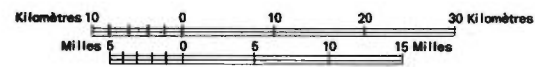
The following hypothesis is formulated in an attempt to explain these anomalies. If we are in fact observing only the effects of glacial dispersion from a hidden point or linear source of mineralization then the uranium (vein-type?) could be derived from major shear or fault zones genetically related to grabben-type down-faulting of a string of Proterozoic blocks, such as the Sakami Formation (unit S), within the Archean. Thus the linear section of the La Grande Rivière at the center of sheets 33 G/11 and 33 G/12 could be the site of a major shear zone. Of course a detailed knowledge of the lithology and local structure is first required to evaluate this hypothesis.

It is important to note that no other element is generally associated with the uranium anomalies.

The highest analytical values obtained were verified by different commercial laboratories each using its own routine method of analysis (please refer to DP-307). The validity of our uranium results were confirmed. We may thus identify the area as a uranium geochemical province.

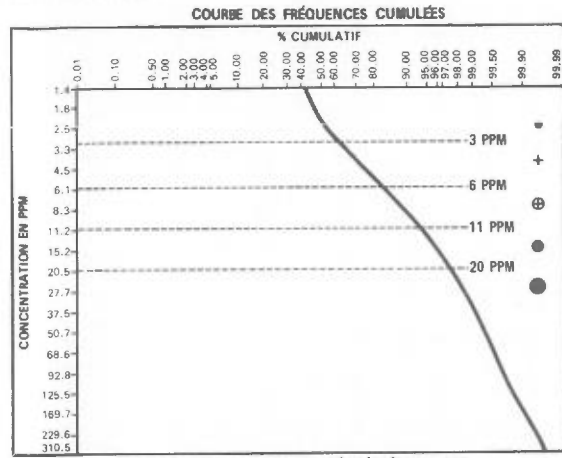


**INDEX DES CARTES GÉOCHIMIQUES
RÉGION DE LA GRANDE RIVIÈRE**



LÉGENDE

GÉOCHIMIE



LA CLASSE SUPÉRIEURE EST SUBDIVISÉE GÉOMÉTRIQUEMENT

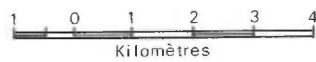
- 1 21 - 40
- 2 41 - 80
- 3 81 - 160
- 4 161 - 320
- 5 321 - 640
- 6 641 - 1280
- 7 1281 - 2560
- 8 2561 - 5120 PPM

LITHOLOGIE SIMPLIFIÉE

- 14 Sable et gravier
- S "Sandstone" FM-Sakami
- 13 Dyke de diabase
- 12 Dyke de pegmatite
- 11 Granite
- 10 Quartz-diorite
- 9 Migmatite
- 8 Granite migmatitique
- 7 Formation de fer
- 6 Roche métasédimentaire
- 5 Tuf rhyolitique
- 4 Lave intermédiaire
- 3 Roche ultrabasique
- 2A Amphibolite
- 2 Lave basique
- 1 Gneiss non différencié

- Contact ———
- Faïlle - - - - -

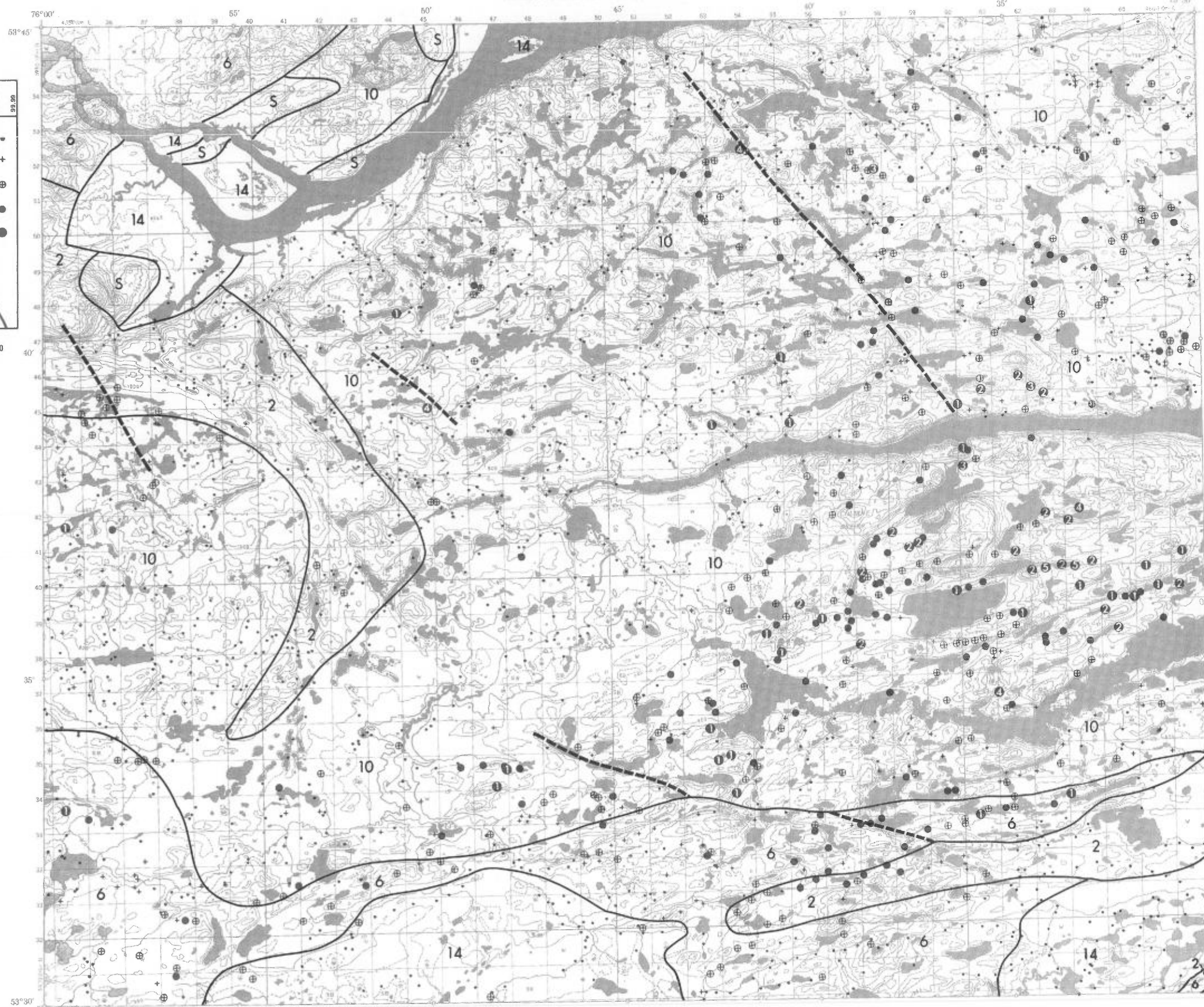
ÉCHELLE 1:125,000



SERVICE DES GÎTES MINÉRAUX

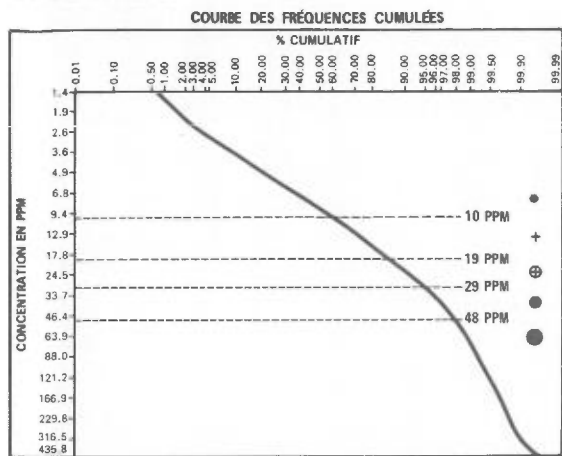
DIVISION DE LA GÉOCHIMIE
 G.H. COCKBURN

Carte géochimique No 1824



LÉGENDE

GÉOCHIMIE



LA CLASSE SUPÉRIEURE EST SUBDIVISÉE GÉOMÉTRIQUEMENT
 ① 49 - 100 ② 101 - 200 ③ 201 - 400 ④ 401 - 800 ⑤ 801 - 1600 ⑥ 1601 - 3200
 ⑦ 3201 - 6400 PPM

LITHOLOGIE SIMPLIFIÉE

- 14 Sable et gravier
- S "Sandstone" FM-Sakami
- 13 Dyke de diabase
- 12 Dyke de pegmatite
- 11 Granite
- 10 Quartz-diorite
- 9 Migmatite
- 8 Granite migmatitique
- 7 Formation de fer
- 6 Roche métasédimentaire
- 5 Tuf rhyolitique
- 4 Lave intermédiaire
- 3 Roche ultrabasique
- 2A Amphibolite
- 2 Lave basique
- 1 Gneiss non différencié

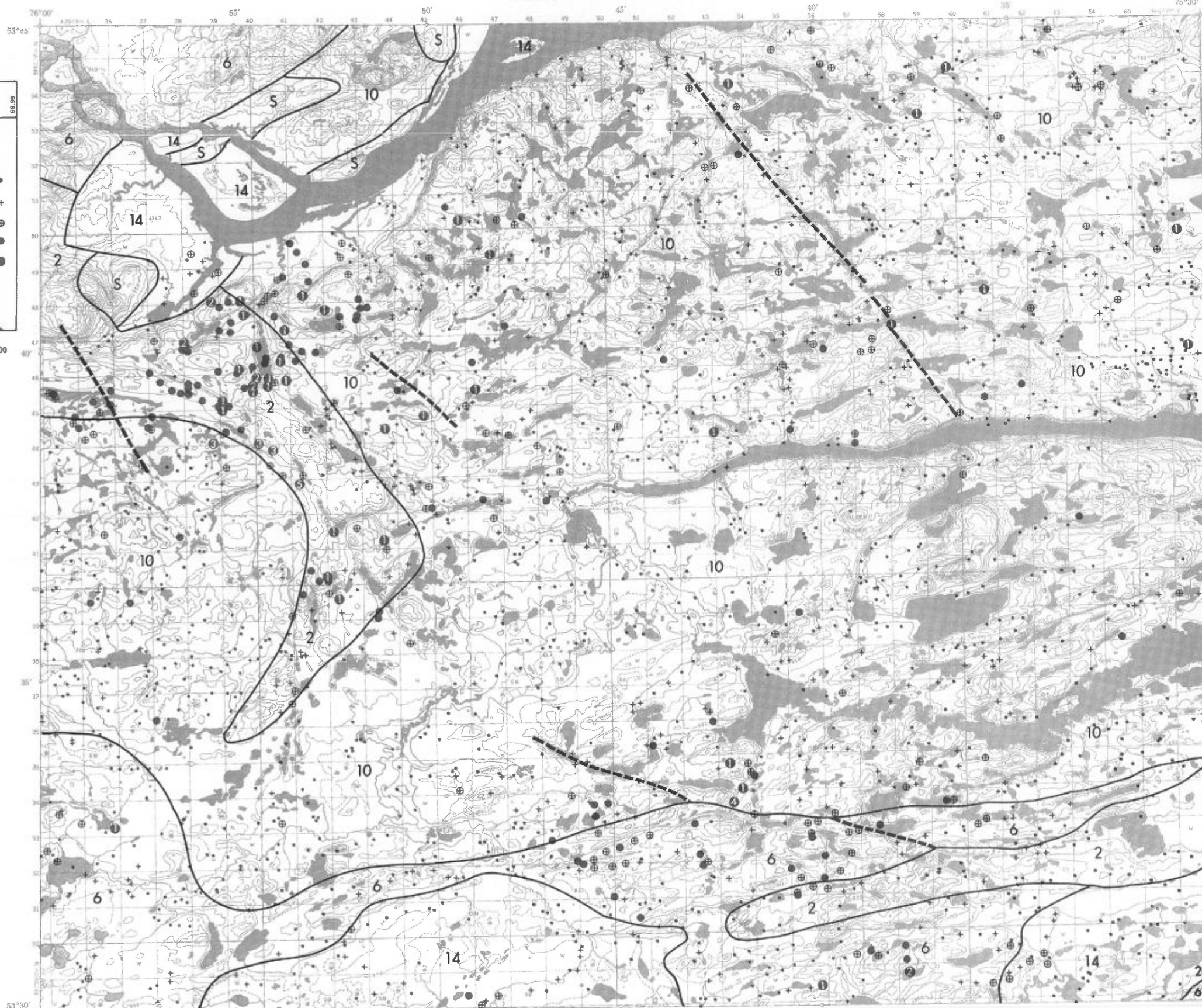
Contact ———
Faille - - - - -

ÉCHELLE 1:125,000



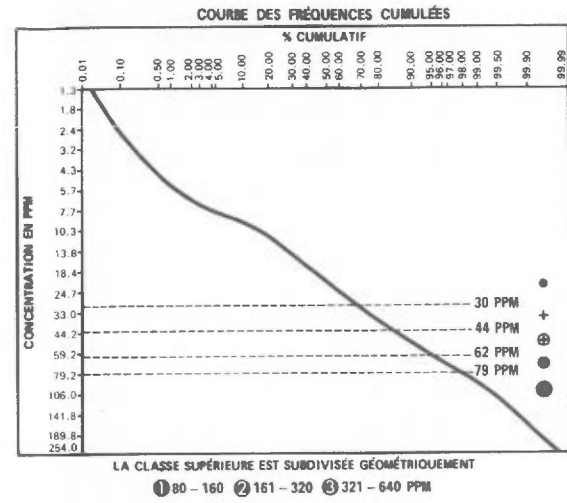
SERVICE DES GÎTES MINÉRAUX
DIVISION DE LA GÉOCHIMIE
G.H. COCKBURN

Carte géochimique No 1824



LÉGENDE

GÉOCHIMIE



LITHOLOGIE SIMPLIFIÉE

- 14 Sable et gravier
- S "Sandstone" FM-Sakami
- 13 Dyke de diabase
- 12 Dyke de pegmatite
- 11 Granite
- 10 Quartz-diorite
- 9 Migmatite
- 8 Granite migmatitique
- 7 Formation de fer
- 6 Roche métasédimentaire
- 5 Tuf rhyolitique
- 4 Lave intermédiaire
- 3 Roche ultrabasique
- 2A Amphibolite
- 2 Lave basique
- 1 Gneiss non différencié

- Contact ———
- Faillle - - - - -

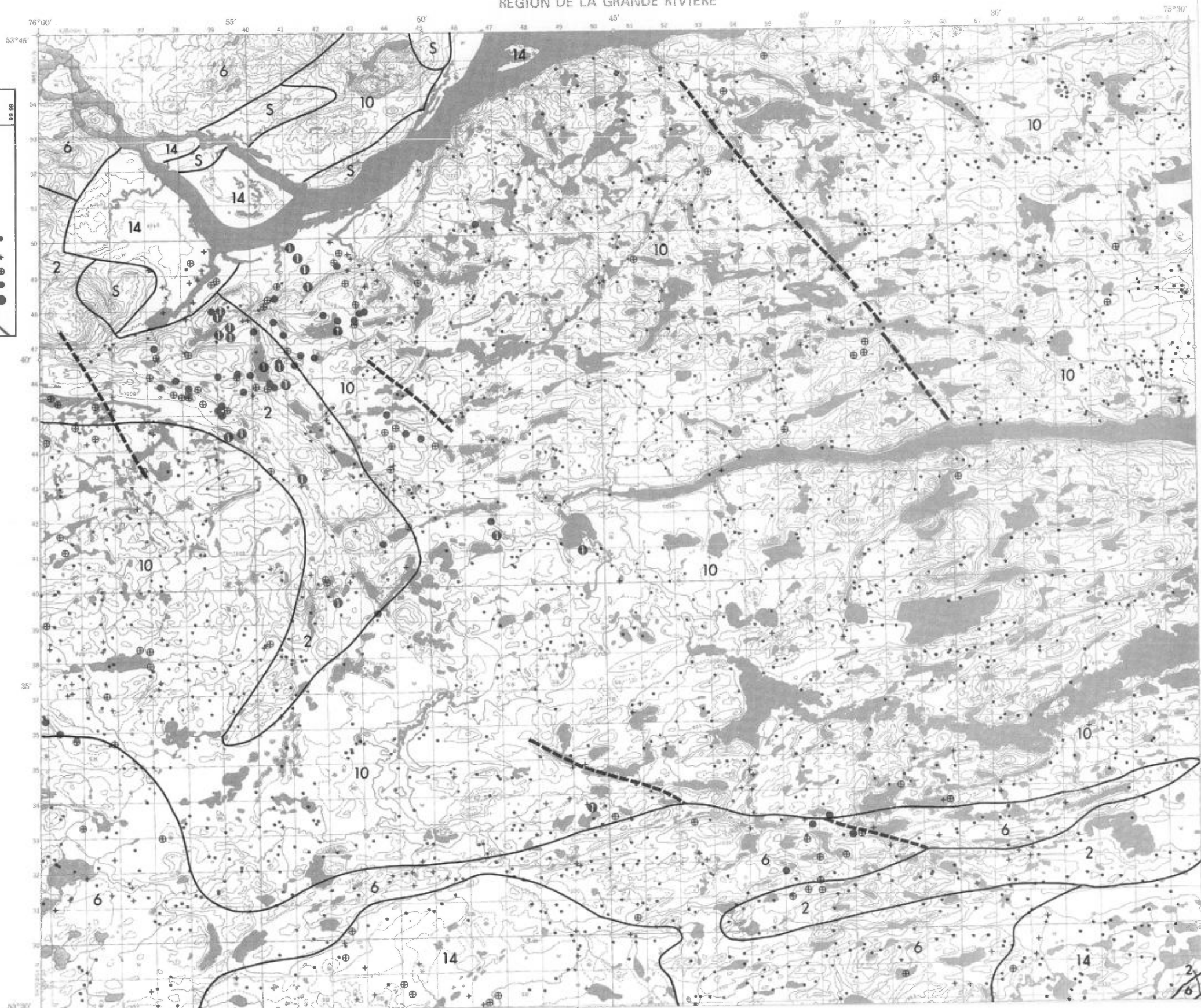
ÉCHELLE 1:125,000



SERVICE DES GÎTES MINÉRAUX

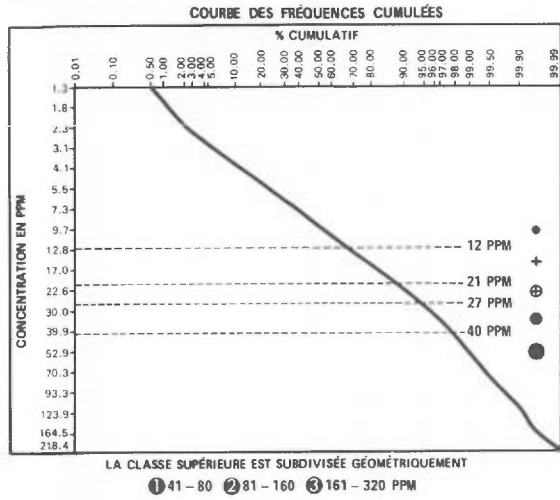
DIVISION DE LA GÉOCHIMIE
G.H. COCKBURN

Carte géochimique No 1824



LÉGENDE

GÉOCHIMIE



LITHOLOGIE SIMPLIFIÉE

- 14 Sable et gravier
- S "Sandstone" FM-Sakami
- 13 Dyke de diabase
- 12 Dyke de pegmatite
- 11 Granite
- 10 Quartz-diorite
- 9 Migmatite
- 8 Granite migmatitique
- 7 Formation de fer
- 6 Roche métasédimentaire
- 5 Tuf rhyolitique
- 4 Lave intermédiaire
- 3 Roche ultrabasique
- 2A Amphibolite
- 2 Lave basique
- 1 Gneiss non différencié

Contact ———
 Faille - - - - -

ÉCHELLE 1:125,000

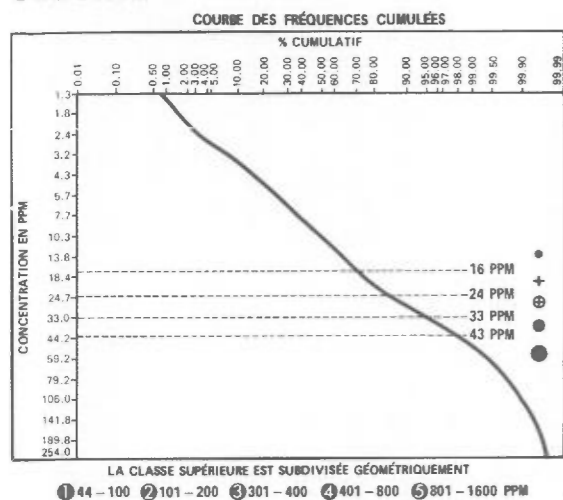


SERVICE DES GÎTES MINÉRAUX
 DIVISION DE LA GÉOCHIMIE
 G.H. COCKBURN
 Carte géochimique No 1824



LÉGENDE

GÉOCHIMIE



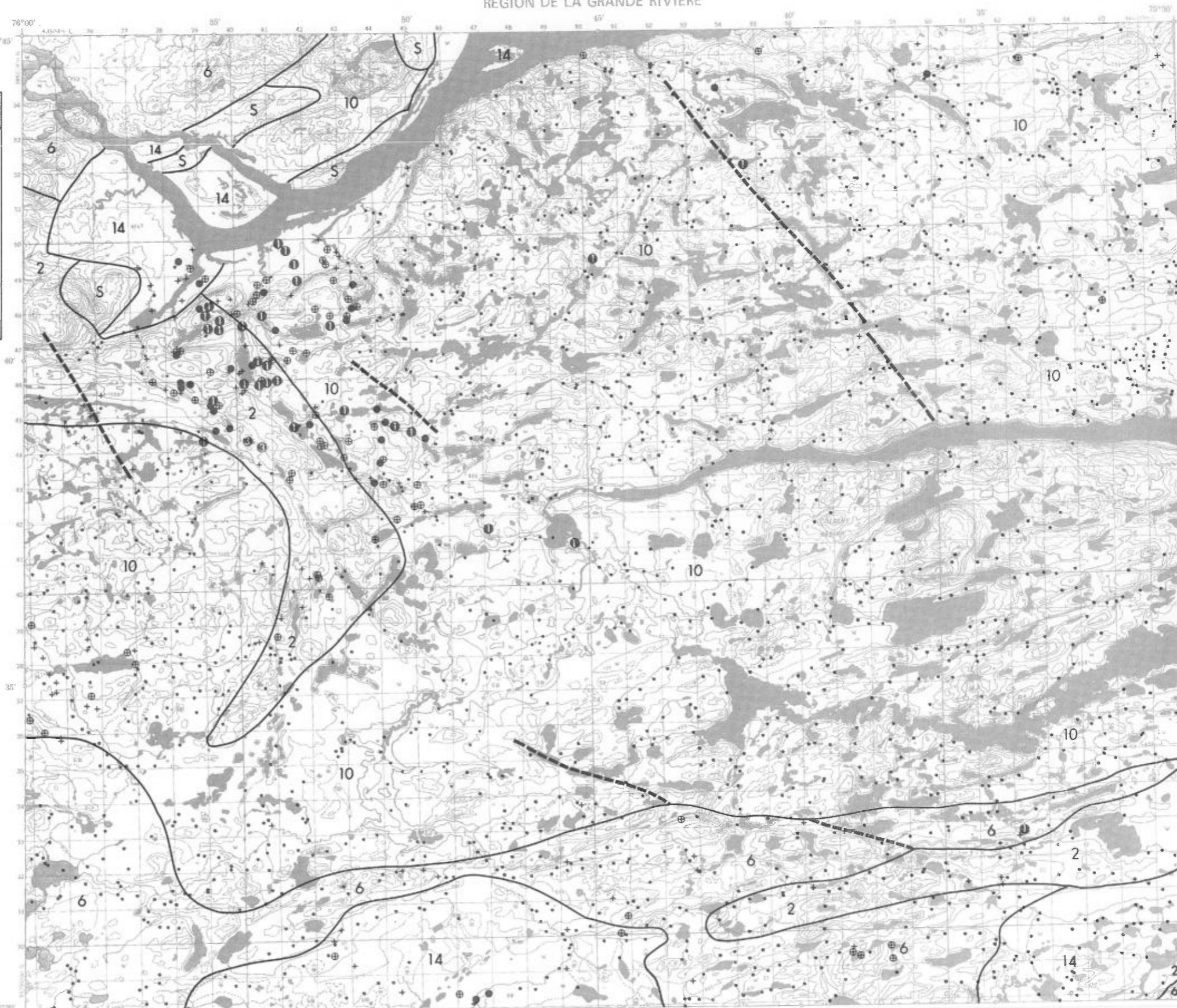
LITHOLOGIE SIMPLIFIÉE

- 14 Sable et gravier
- S "Sandstone" FM-Sakami
- 13 Dyke de diabase
- 12 Dyke de pegmatite
- 11 Granite
- 10 Quartz-diorite
- 9 Migmatite
- 8 Granite migmatitique
- 7 Formation de fer
- 6 Roche métasédimentaire
- 5 Tuf rhyolitique
- 4 Lave intermédiaire
- 3 Roche ultrabasique
- 2A Amphibolite
- 2 Lave basique
- 1 Gneiss non différencié

Contact ———
Faille - - - - -

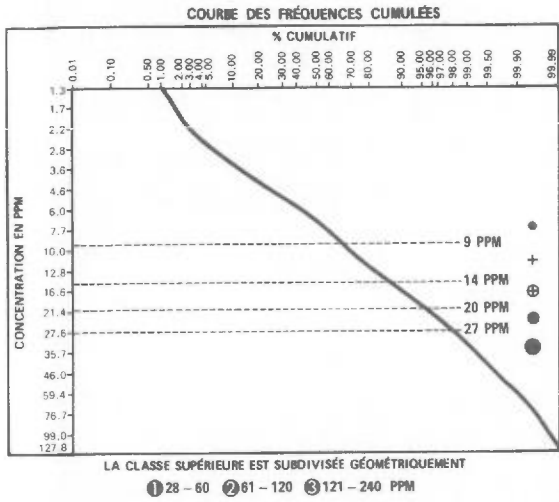


SERVICE DES GÎTES MINÉRAUX
DIVISION DE LA GÉOCHIMIE
G.H. COCKBURN
Carte géochimique No 1824



LÉGENDE

GÉOCHIMIE



LITHOLOGIE SIMPLIFIÉE

- 14 Sable et gravier
- S "Sandstone" FM-Sakami
- 13 Dyke de diabase
- 12 Dyke de pegmatite
- 11 Granite
- 10 Quartz-diorite
- 9 Migmatite
- 8 Granite migmatitique
- 7 Formation de fer
- 6 Roche métasédimentaire
- 5 Tuf rhyolitique
- 4 Lave intermédiaire
- 3 Roche ultrabasique
- 2A Amphibolite
- 2 Lave basique
- 1 Gneiss non différencié

- Contact ———
- Faïlle - - - - -

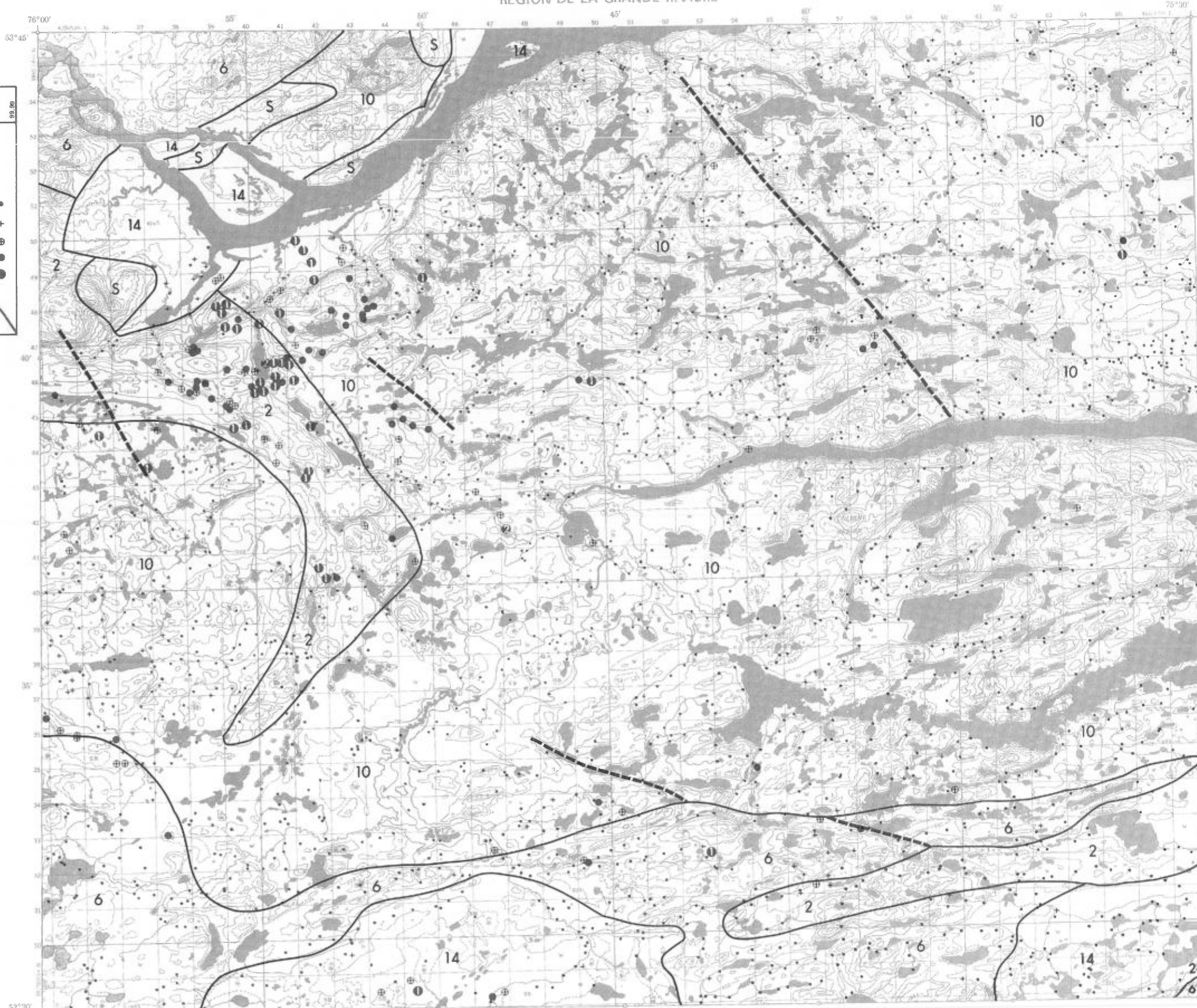
ÉCHELLE 1:125,000



SERVICE DES GÎTES MINÉRAUX

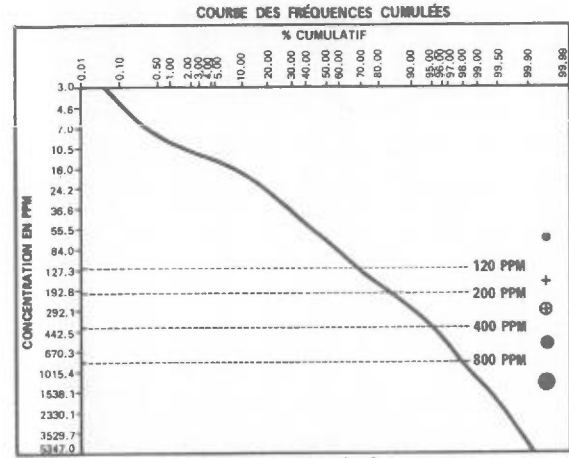
DIVISION DE LA GÉOCHIMIE
G.H. COCKBURN

Carte géochimique No 1824



LÉGENDE

GÉOCHIMIE



LITHOLOGIE SIMPLIFIÉE

- 14 Sable et gravier
- S "Sandstone" FM-Sakami
- 13 Dyke de diabase
- 12 Dyke de pegmatite
- 11 Granite
- 10 Quartz-diorite
- 9 Migmatite
- 8 Granite migmatitique
- 7 Formation de fer
- 6 Roche métasédimentaire
- 5 Tuf rhyolitique
- 4 Lave intermédiaire
- 3 Roche ultrabasique
- 2A Amphibolite
- 2 Lave basique
- 1 Gneiss non différencié

Contact ———
Faille - - - - -

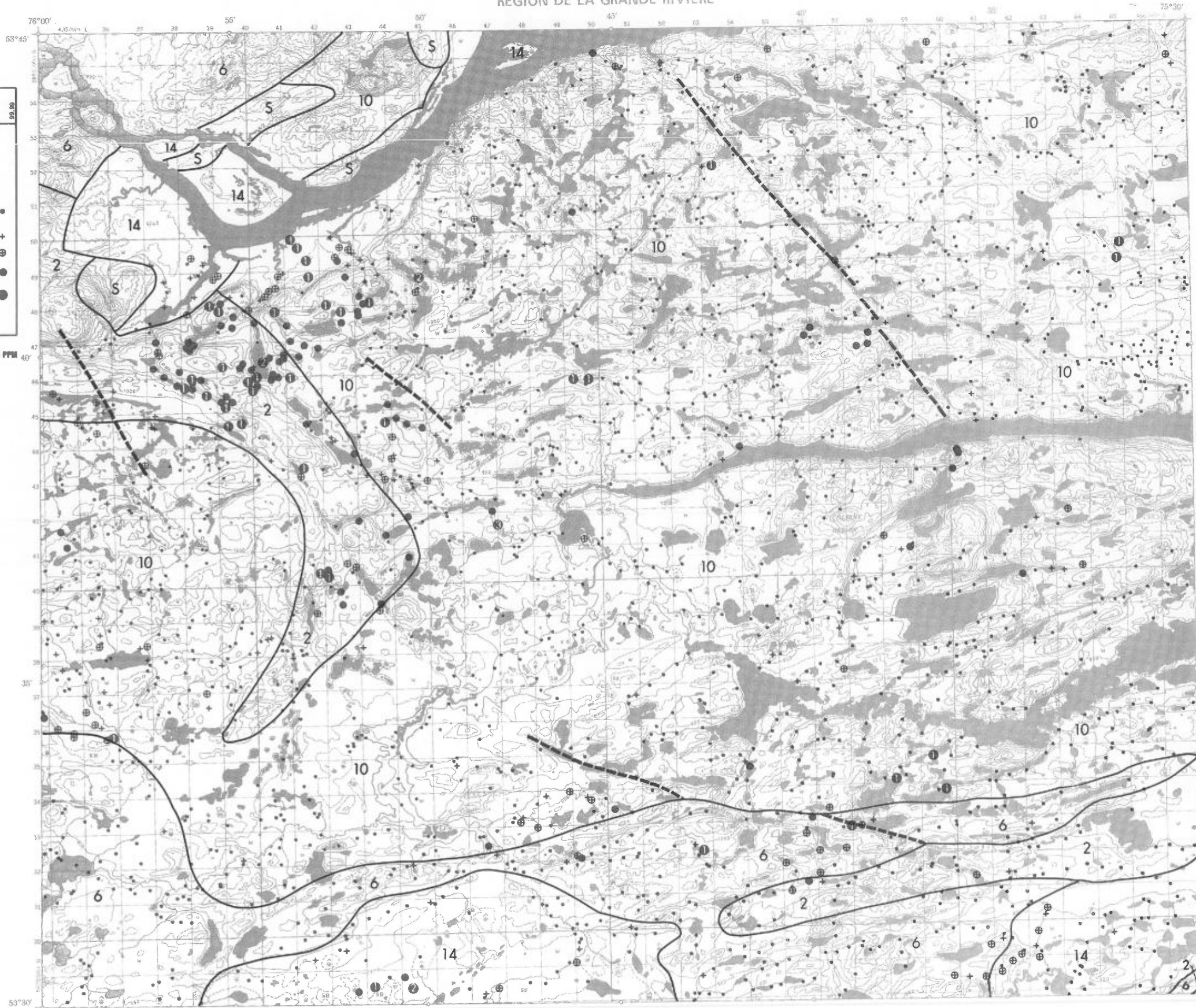
ÉCHELLE 1:125,000



SERVICE DES GÎTES MINÉRAUX

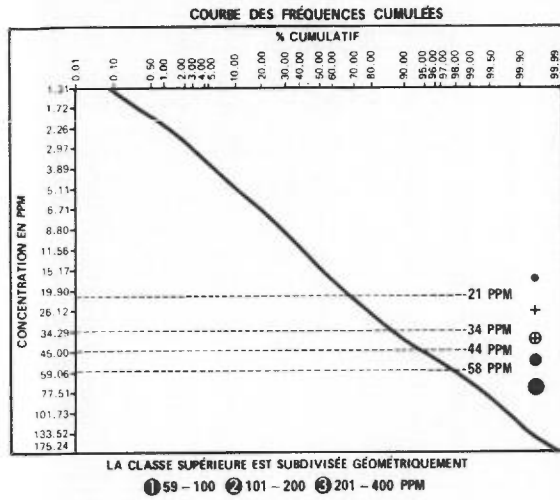
DIVISION DE LA GÉOCHIMIE
G.H. COCKBURN

Carte géochimique No 1824



LÉGENDE

GÉOCHIMIE

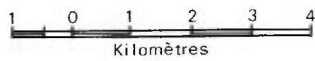


LITHOLOGIE SIMPLIFIÉE

- 14 Sable et gravier
- S "Sandstone" FM-Sakami
- 13 Dyke de diabase
- 12 Dyke de pegmatite
- 11 Granite
- 10 Quartz-diorite
- 9 Migmatite
- 8 Granite migmatitique
- 7 Formation de fer
- 6 Roche métasédimentaire
- 5 Tuf rhyolitique
- 4 Lave intermédiaire
- 3 Roche ultrabasique
- 2A Amphibolite
- 2 Lave basique
- 1 Gneiss non différencié

Contact ———
Faille - - - - -

ÉCHELLE 1:125,000



SERVICE DES GÎTES MINÉRAUX

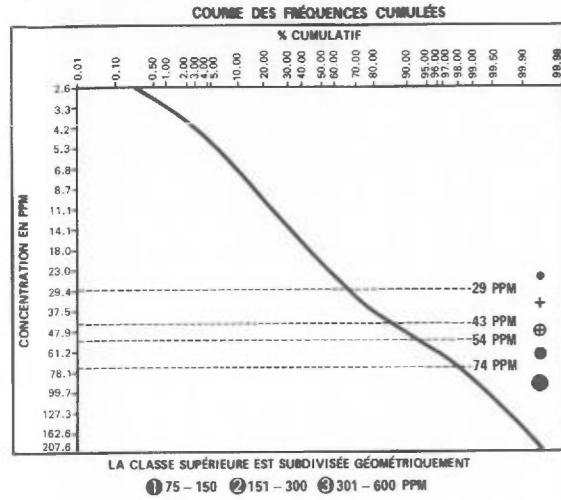
DIVISION DE LA GÉOCHIMIE
G.H. COCKBURN

Carte géochimique No 1824



LÉGENDE

GÉOCHIMIE

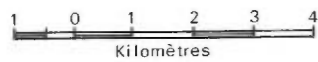


LITHOLOGIE SIMPLIFIÉE

- 14 Sable et gravier
- S "Sandstone" FM-Sakami
- 13 Dyke de diabase
- 12 Dyke de pegmatite
- 11 Granite
- 10 Quartz-diorite
- 9 Migmatite
- 8 Granite migmatitique
- 7 Formation de fer
- 6 Roche métasédimentaire
- 5 Tuf rhyolitique
- 4 Lave intermédiaire
- 3 Roche ultrabasique
- 2A Amphibolite
- 2 Lave basique
- 1 Gneiss non différencié

Contact ———
Faille - - - - -

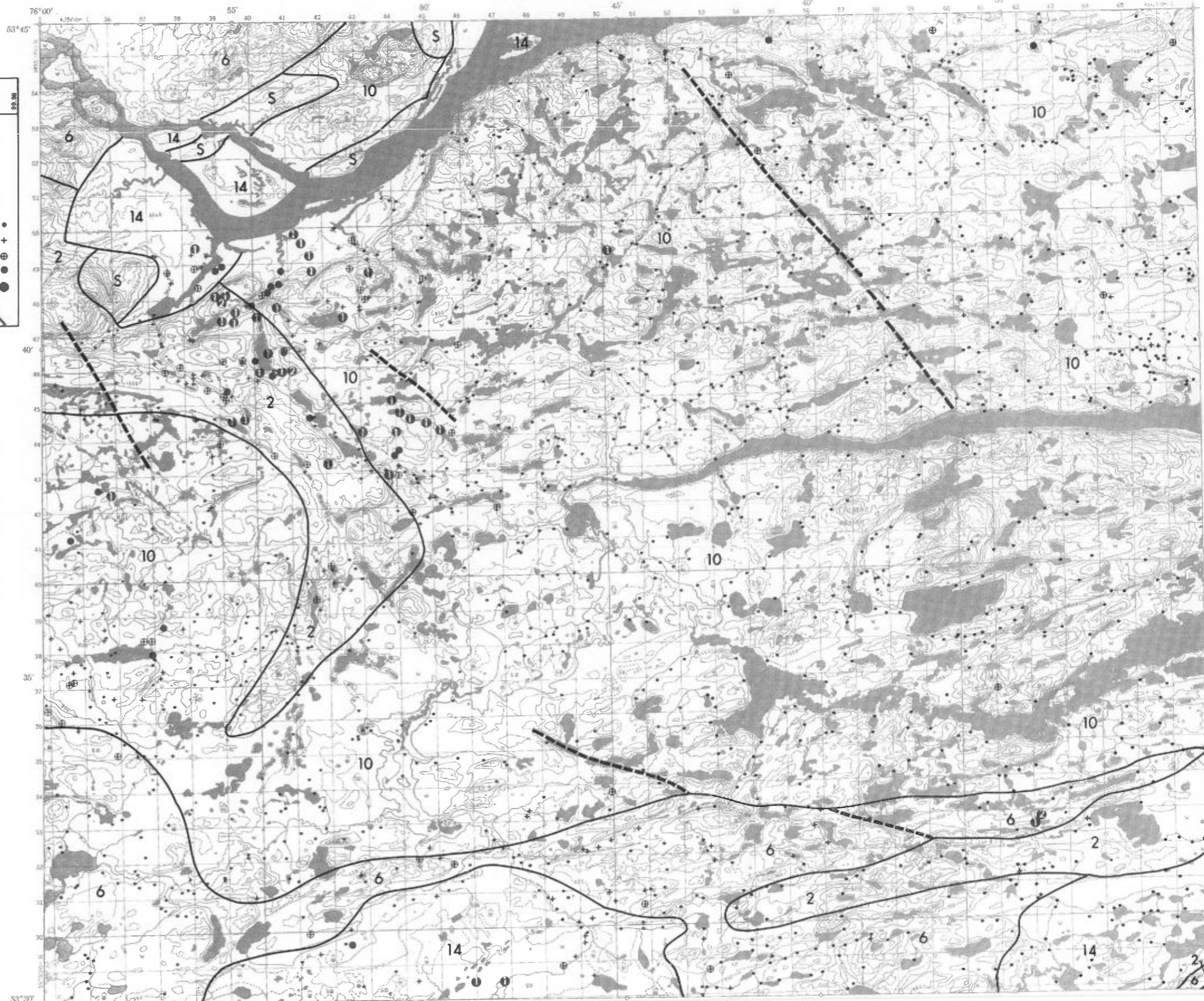
ÉCHELLE 1:125,000



SERVICE DES GÎTES MINÉRAUX

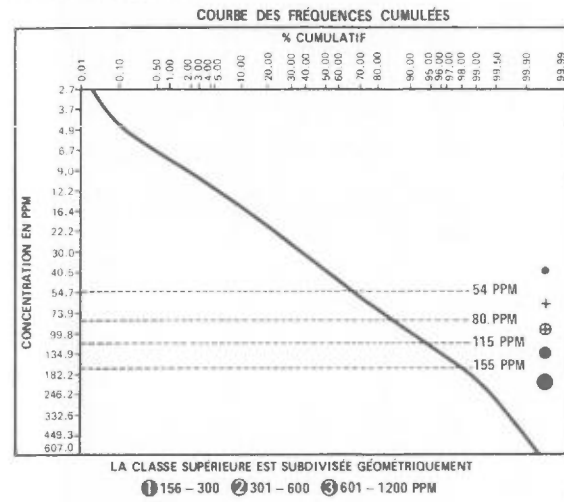
DIVISION DE LA GÉOCHIMIE
G.H. COCKBURN

Carte géochimique No 1824



LÉGENDE

GÉOCHIMIE



LITHOLOGIE SIMPLIFIÉE

- 14 Sable et gravier
- S "Sandstone" FM-Sakami
- 13 Dyke de diabase
- 12 Dyke de pegmatite
- 11 Granite
- 10 Quartz-diorite
- 9 Migmatite
- 8 Granite migmatitique
- 7 Formation de fer
- 6 Roche métasédimentaire
- 5 Tuf rhyolitique
- 4 Lave intermédiaire
- 3 Roche ultrabasique
- 2A Amphibolite
- 2 Lave basique
- 1 Gneiss non différencié

Contact ———
Faille - - - - -

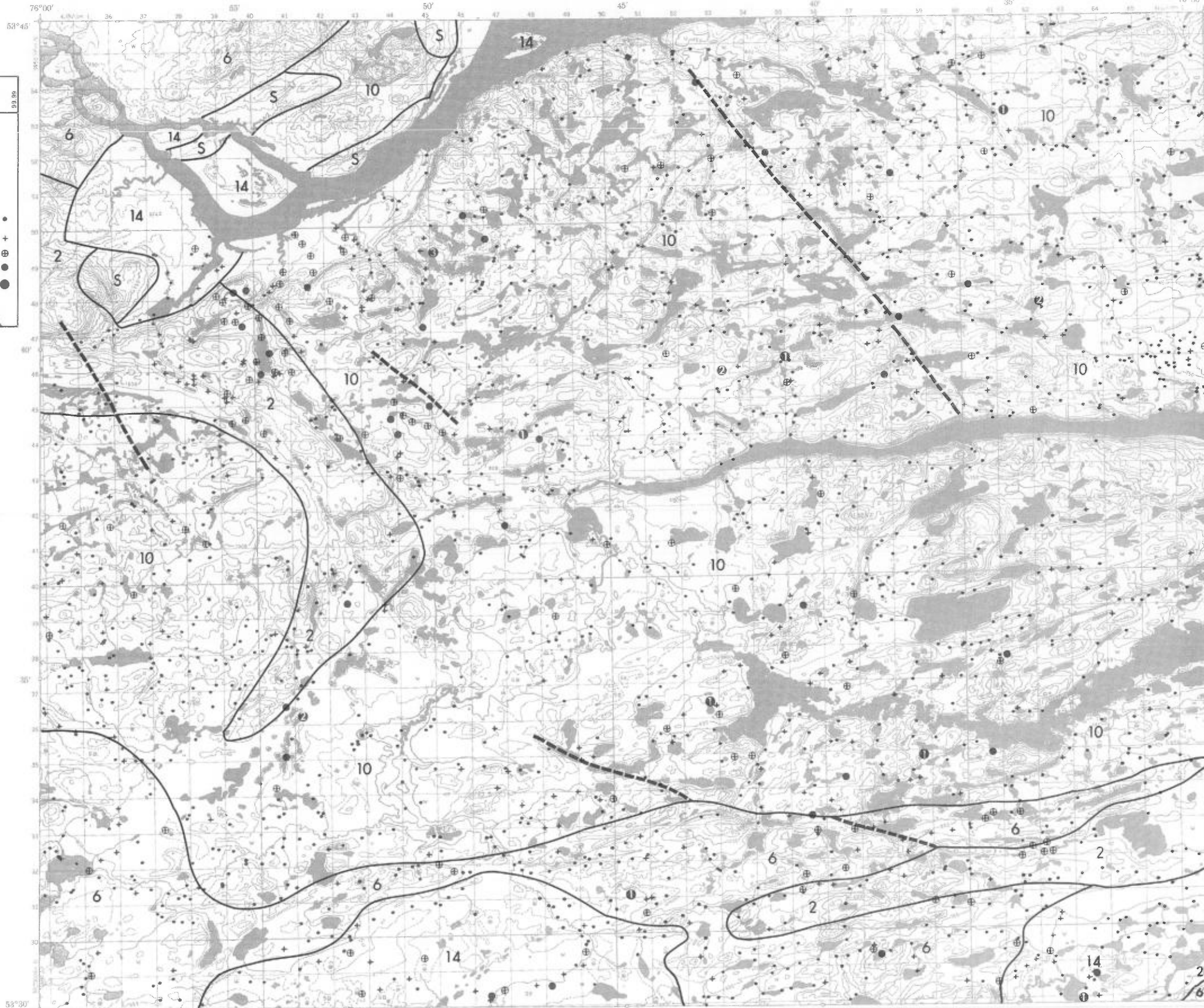
ÉCHELLE 1:125,000



SERVICE DES GÎTES MINÉRAUX

DIVISION DE LA GÉOCHIMIE
G.H. COCKBURN

Carte géochimique No 1824

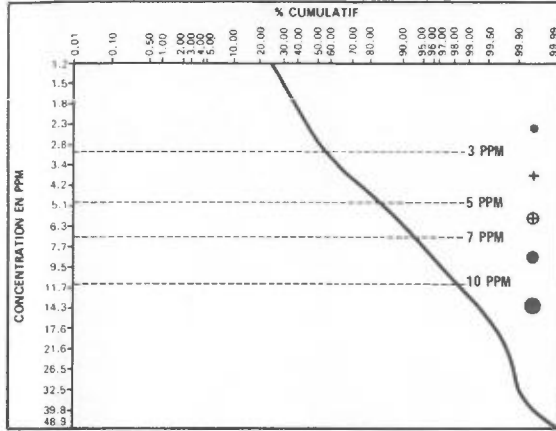




LÉGENDE

GÉOCHIMIE

COURBE DES FRÉQUENCES CUMULÉES



LA CLASSE SUPÉRIEURE EST SUBDIVISÉE GÉOMÉTRIQUEMENT

① 11 - 20 ② 21 - 40 ③ 41 - 80 PPM

LITHOLOGIE SIMPLIFIÉE

- 14 Sable et gravier
- S "Sandstone" FM-Sakami
- 13 Dyke de diabase
- 12 Dyke de pegmatite
- 11 Granite
- 10 Quartz-diorite
- 9 Migmatite
- 8 Granite migmatitique
- 7 Formation de fer
- 6 Roche métasédimentaire
- 5 Tuf rhyolitique
- 4 Lave intermédiaire
- 3 Roche ultrabasique
- 2A Amphibolite
- 2 Lave basique
- 1 Gneiss non différencié

Contact ———
Faille - - - - -

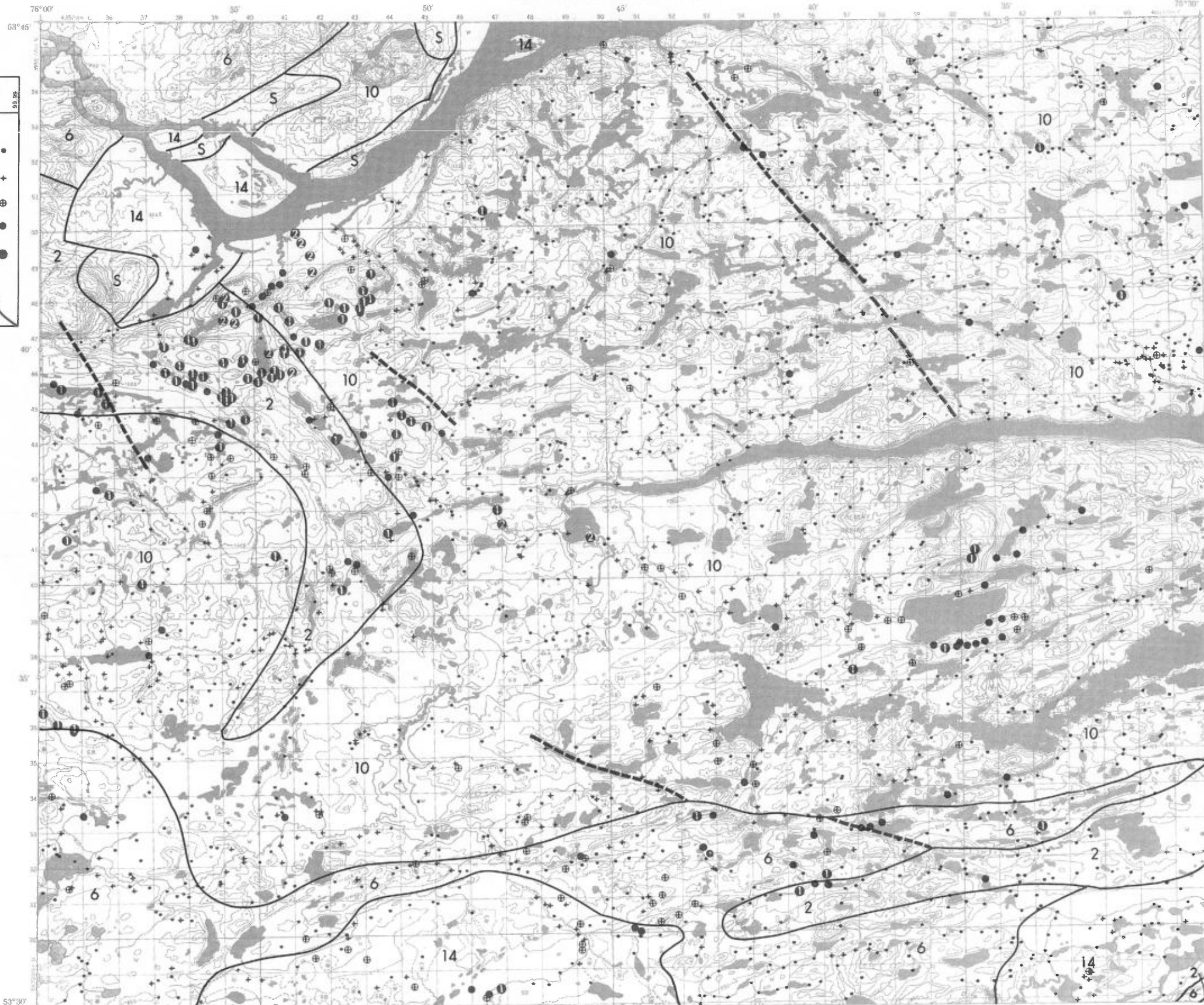
ÉCHELLE 1:125,000



SERVICE DES GÎTES MINÉRAUX

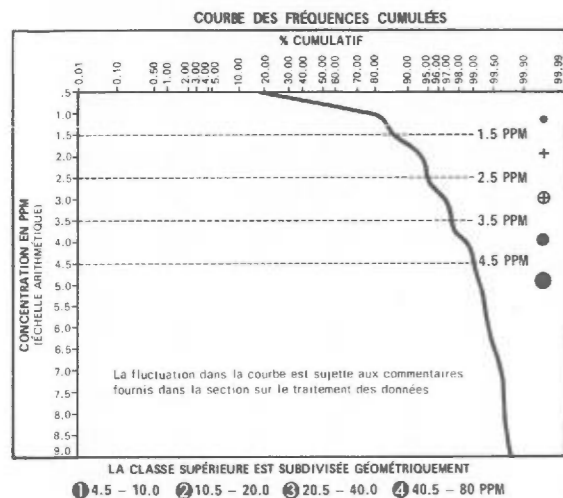
DIVISION DE LA GÉOCHIMIE
G.H. COCKBURN

Carte géochimique No 1824



LÉGENDE

GÉOCHIMIE



LITHOLOGIE SIMPLIFIÉE

- 14 Sable et gravier
- S "Sandstone" FM-Sakami
- 13 Dyke de diabase
- 12 Dyke de pegmatite
- 11 Granite
- 10 Quartz-diorite
- 9 Migmatite
- 8 Granite migmatitique
- 7 Formation de fer
- 6 Roche métasédimentaire
- 5 Tuf rhyolitique
- 4 Lave intermédiaire
- 3 Roche ultrabasique
- 2A Amphibolite
- 2 Lave basique
- 1 Gneiss non différencié

- Contact ———
- Faïlle - - - - -

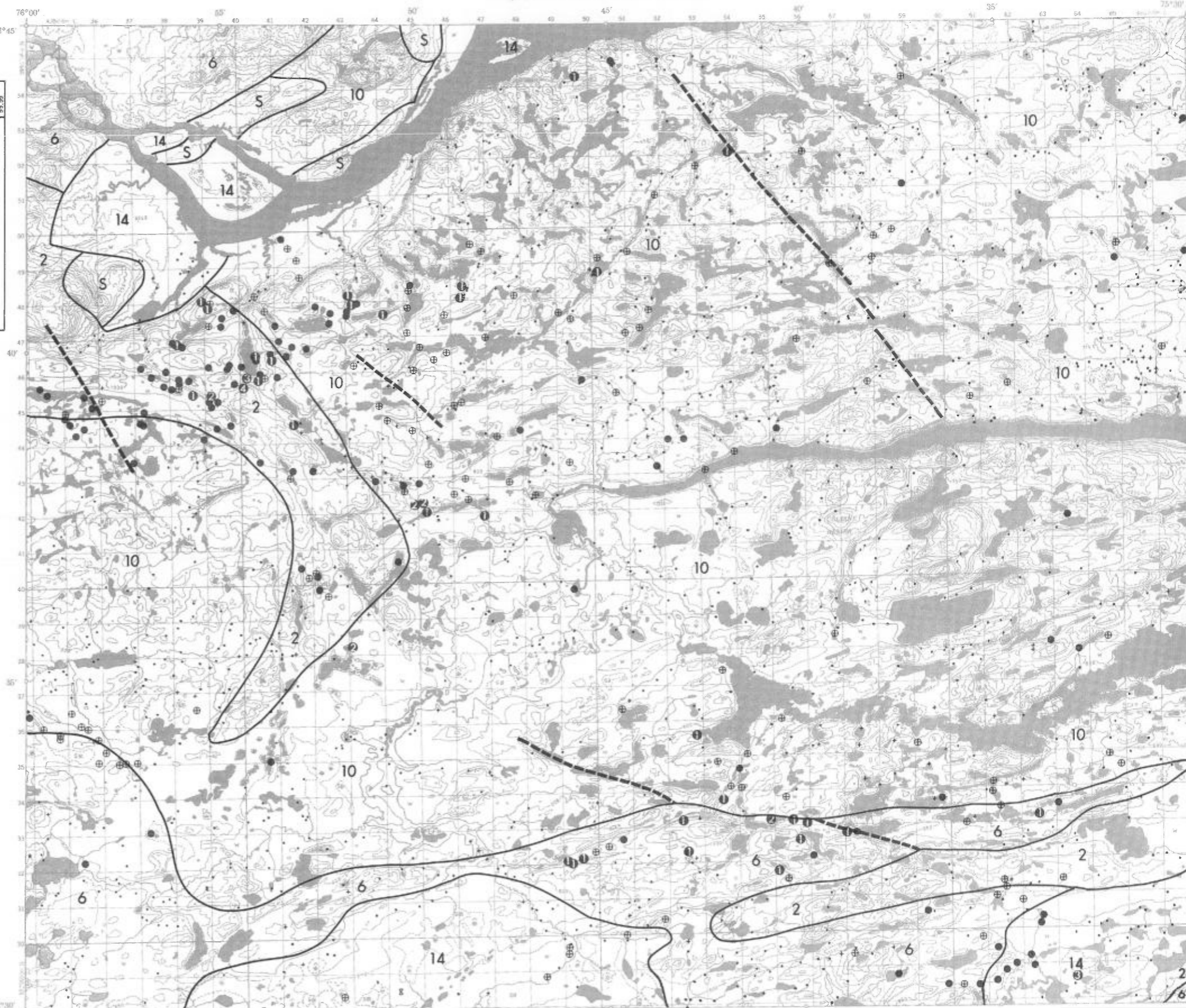
ÉCHELLE 1:125,000



SERVICE DES GÎTES MINÉRAUX

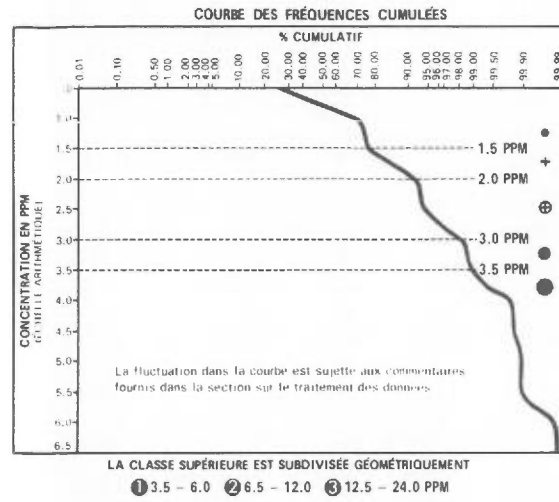
DIVISION DE LA GÉOCHIMIE
G.H. COCKBURN

Carte géochimique No 1824



LÉGENDE

GÉOCHIMIE



LITHOLOGIE SIMPLIFIÉE

- 14 Sable et gravier
- S "Sandstone" FM-Sakami
- 13 Dyke de diabase
- 12 Dyke de pegmatite
- 11 Granite
- 10 Quartz-diorite
- 9 Migmatite
- 8 Granite migmatitique
- 7 Formation de fer
- 6 Roche métasédimentaire
- 5 Tuf rhyolitique
- 4 Lave intermédiaire
- 3 Roche ultrabasique
- 2A Amphibolite
- 2 Lave basique
- 1 Gneiss non différencié

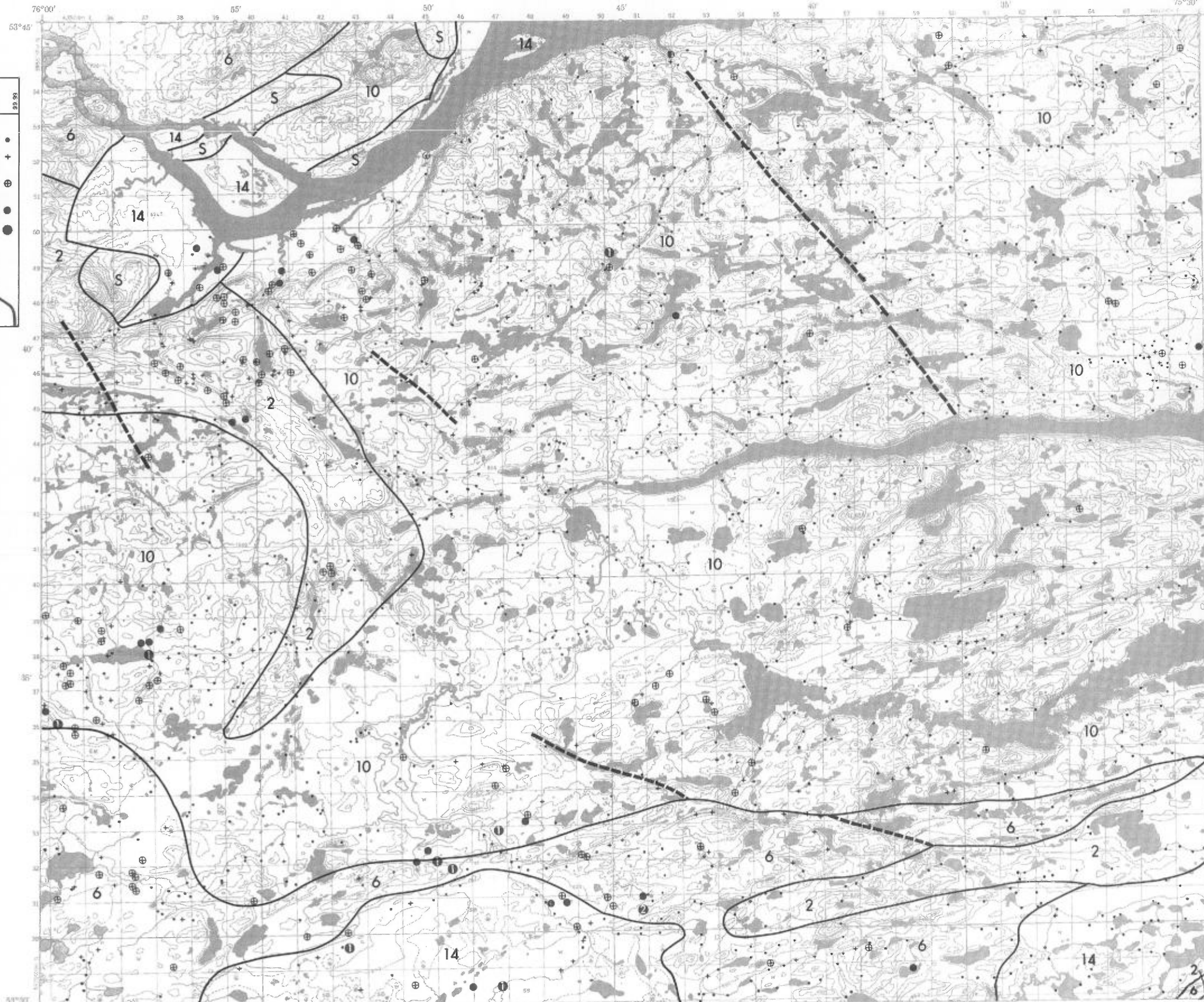
Contact ———
Faille - - - - -

ÉCHELLE 1:125,000



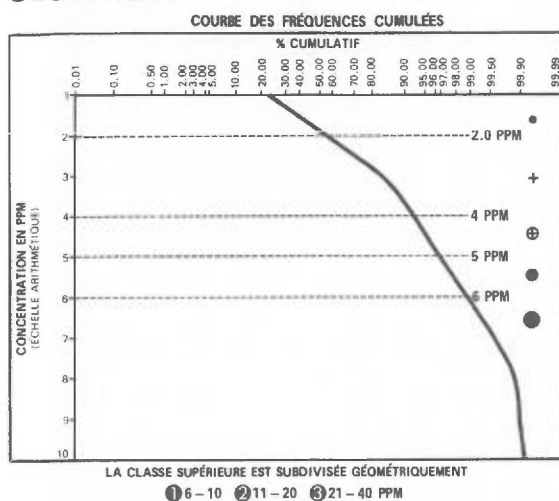
SERVICE DES GÎTES MINÉRAUX
DIVISION DE LA GÉOCHIMIE
G.H. COCKBURN

Carte géochimique No 1824



LÉGENDE

GÉOCHIMIE

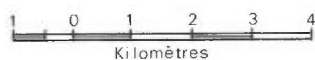


LITHOLOGIE SIMPLIFIÉE

- 14 Sable et gravier
- S "Sandstone" FM-Sakami
- 13 Dyke de diabase
- 12 Dyke de pegmatite
- 11 Granite
- 10 Quartz-diorite
- 9 Migmatite
- 8 Granite migmatitique
- 7 Formation de fer
- 6 Roche métasédimentaire
- 5 Tuf rhyolitique
- 4 Lave intermédiaire
- 3 Roche ultrabasique
- 2A Amphibolite
- 2 Lave basique
- 1 Gneiss non différencié

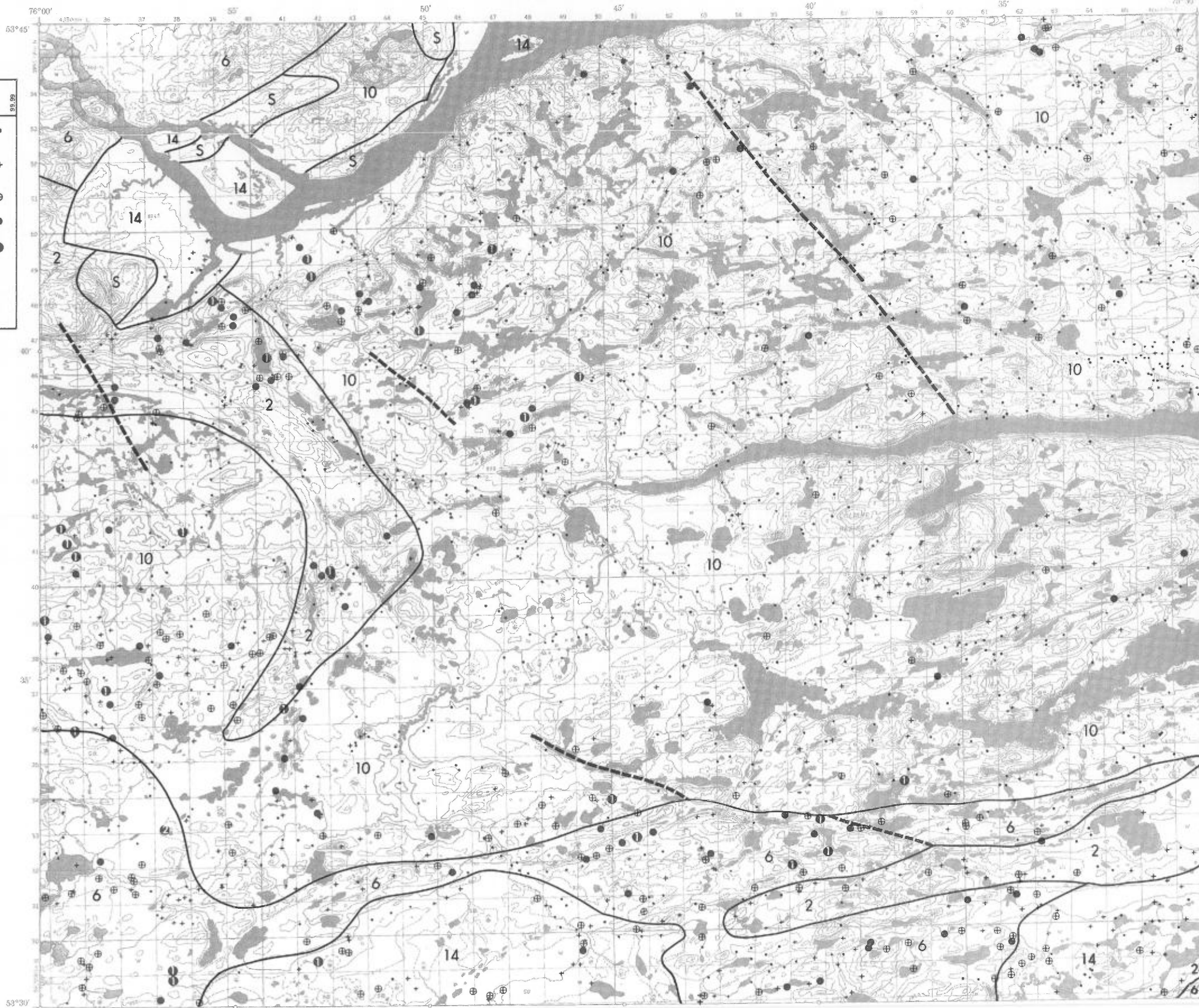
Contact ———
Faille - - - - -

ÉCHELLE 1:125,000



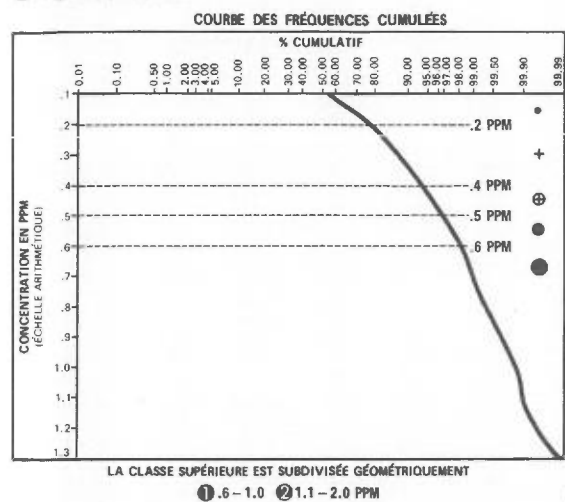
SERVICE DES GÎTES MINÉRAUX
DIVISION DE LA GÉOCHIMIE
G.H. COCKBURN

Carte géochimique No 1824



LÉGENDE

GÉOCHIMIE



LITHOLOGIE SIMPLIFIÉE

- 14 Sable et gravier
- S "Sandstone" FM-Sakami
- 13 Dyke de diabase
- 12 Dyke de pegmatite
- 11 Granite
- 10 Quartz-diorite
- 9 Migmatite
- 8 Granite migmatitique
- 7 Formation de fer
- 6 Roche métasédimentaire
- 5 Tuf rhyolitique
- 4 Lave intermédiaire
- 3 Roche ultrabasique
- 2A Amphibolite
- 2 Lave basique
- 1 Gneiss non différencié

- Contact ———
- Faillle - - - - -

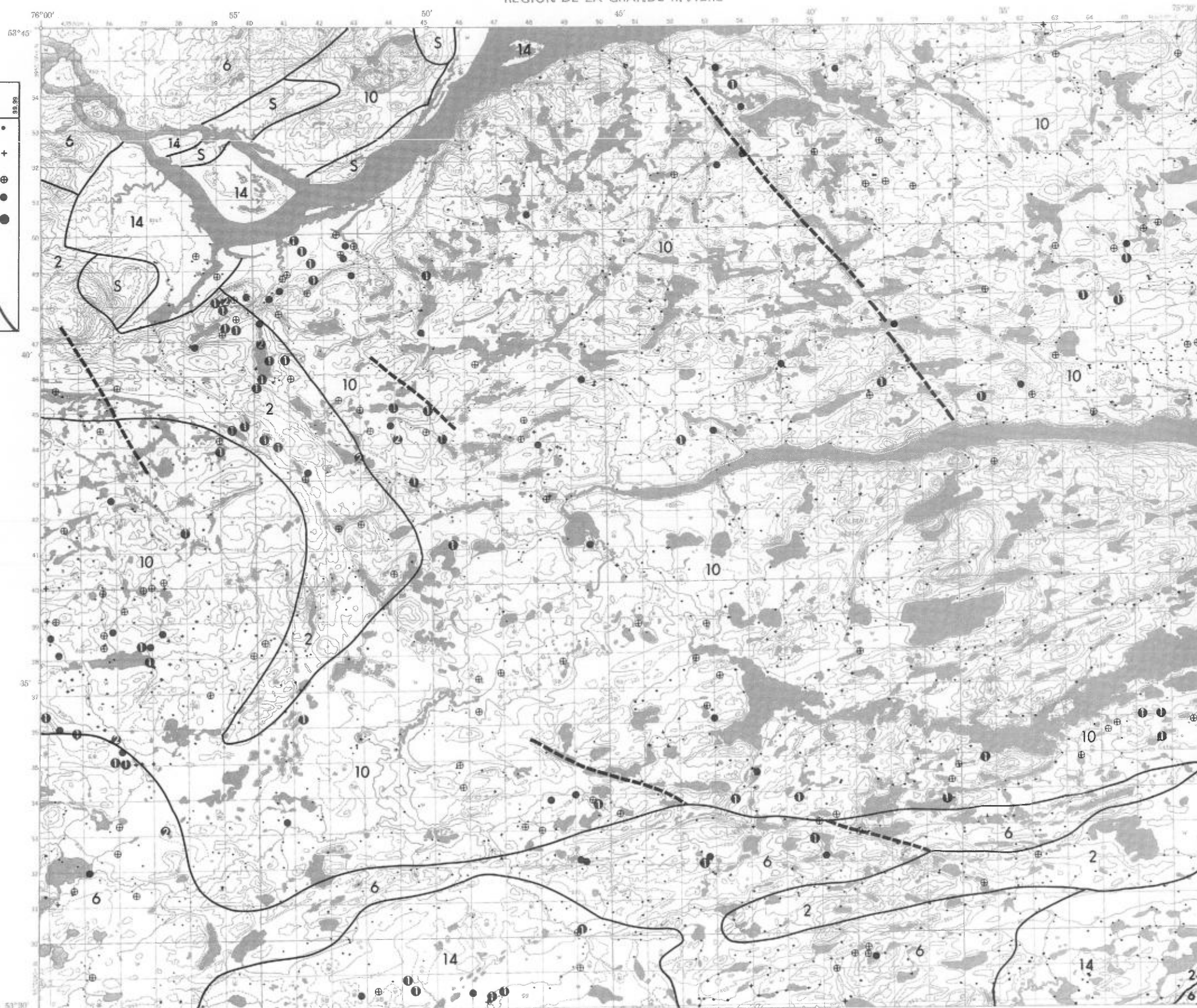
ÉCHELLE 1:125,000



SERVICE DES GÎTES MINÉRAUX

DIVISION DE LA GÉOCHIMIE
G.H. COCKBURN

Carte géochimique No 1824



Cette aire annotée d'une cinquantaine de kilomètres carrés est une des plus importantes du territoire étudié.

La présence d'indices de sulfures en cuivre, molybdène et argent y est connue depuis les travaux d'exploration entrepris par Tyrone Mines Ltd. durant les années 1959 et 1960 (figure 8, indices no 56 et 58).

Selon la cartographie récente de Sharma (en préparation) l'aire fait partie d'une vaste étendue de quartz-diorites (unité 10) renfermant une bande volcanique 2 à 3 km de large orientée NW-SE (unité 2). Il s'agit de la même bande volcanique déjà signalée à l'intérieur des aires annotées I et II du feuillet 33 F/9.

Les anomalies géochimiques se superposent partiellement à la géologie telle que présentement cartographiée. Ainsi les regroupements des plus fortes teneurs multi-éléments (Cu, Zn, Ag, Ni, Co, Cr, V, Li et Mo) coïncident avec la bande de volcanites basiques connue. Par contre, à l'est de cette bande, les anomalies multi-élément persistent. Ceci pourrait être expliqué par une dispersion géochimique ou au fait que la ceinture volcanique est plus large qu'indiquée sur les cartes. Les données aéromagnétiques (carte 5664G) et les quelques échantillons de roche prélevés durant la campagne de vérification (R-131 et R-132 tableau 10) suggèrent en effet que le contact volcanique devrait être localisé 2 à 3 km plus à l'est doublant ainsi la largeur de la bande volcanique à cet endroit.

La vérification géochimique comprenant ré-analyses et un nouvel échantillonnage effectué en 1975 sous la direction de R.L. Tremblay, a généralement confirmé l'existence des anomalies multi-élément dans cette aire (tableau 10).

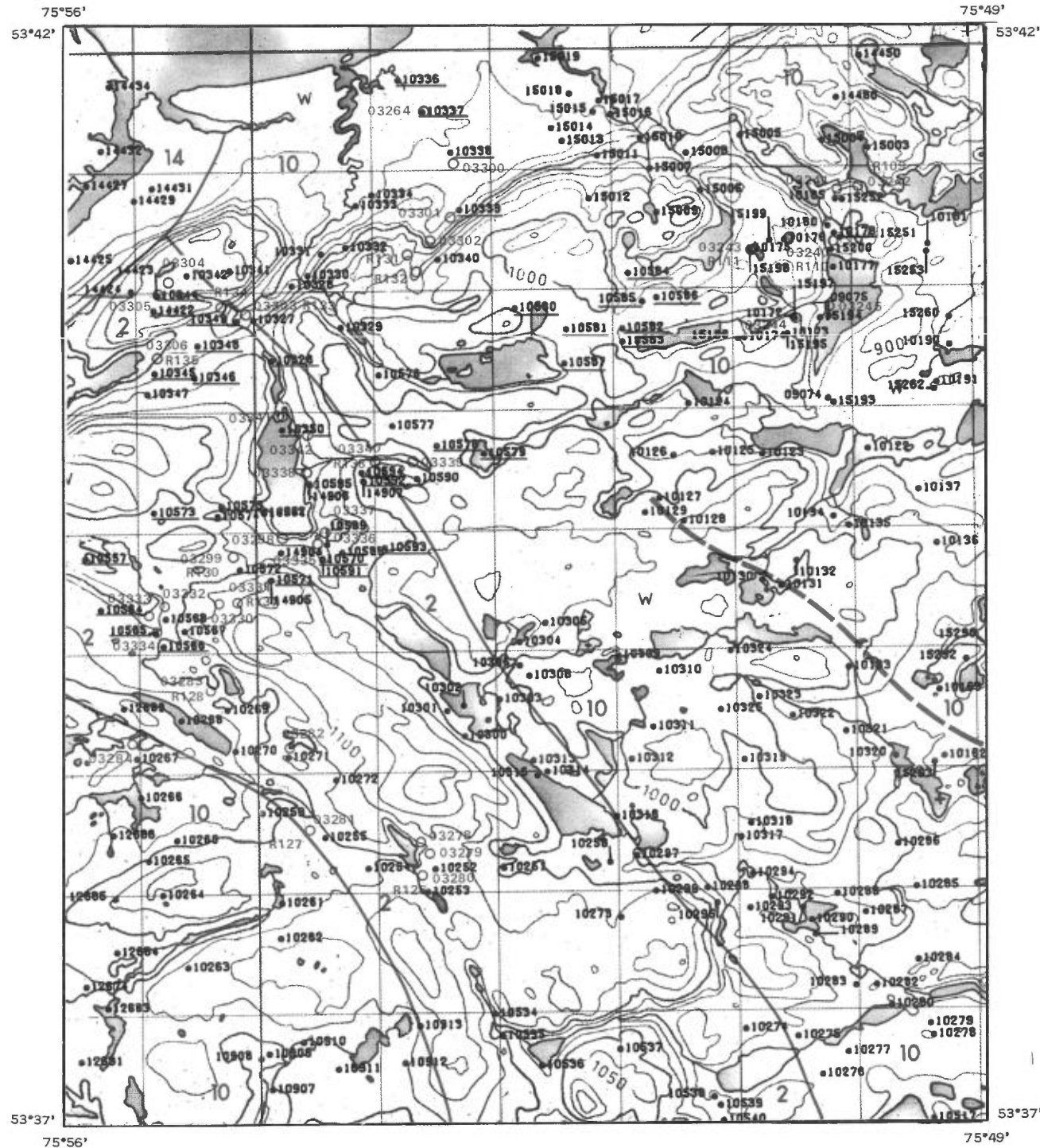
This fifty square kilometers annotated area is one of the most important within the area studied.

Showings with copper, molybdenum and silver sulphides have been known since the exploration work undertaken by Tyrone Mines Ltd. during 1959 and 1960 (figure 8, showing no 56 and 58).

According to the recent geologic mapping undertaken by Sharma (in preparation) the annotated area forms part of a vast expanse of quartz-diorites (unit 10) which encloses a 2 to 3 km wide volcanic belt (unit 2) oriented NW-SE. This is the same volcanic belt which extends across annotated areas I and II of sheet 33 F/9.

The geochemical anomalies can be partially superimposed on the geology as presently mapped. Thus the multi-element clusters with high values (Cu, Zn, Ag, Ni, Co, Cr, V, Li and Mo) coincide with the belt of basic volcanics as presently defined. The multi-element anomalies however persist east of the volcanic belt. This may be attributed either to a geochemical dispersion or to possibility that the volcanic belt is much wider than indicated. Aeromagnetic data (map 5664 G) and rock samples collected during the verification campaign (R-131 and R-132, table 10) suggest that the geologic contact should be located 2 to 3 km further east, effectively doubling the width of the volcanic belt at this point.

The geochemical verification, consisting of re-analyses and resampling undertaken in 1975 by R.L. Tremblay generally confirms the existence of the multi-element anomalies in this annotated area (table 10).



LÈGENDE LEGEND

- | | | | |
|---------|--|---------|--|
| ● 12607 | Prélèvement initial
Original sampling | — | Contact géologique
Geological contact |
| ○ 03282 | Prélèvement de vérification
Verification sampling | - - - | Limite d'échantillonnage
Sampling limit |
| ● 10031 | Échantillon réanalysé
Reanalysed sample | - - - - | Faille
Fault |
| R140 | Échantillon de roche
Rock sample | | |

Milles 0 1 2 Miles
Kilomètres 0 1 2 3 Kilomètres

1:50,000

	Cu	Zn	Pb	Ni	Co	Cr	V	Sn	Mo	U	Mn	Ag	Li	Ba	Cs	UTM ZONE 18	
	ppm	ppm	ppm	ppm	ppm	ppm	ppm	ppm	ppm	ppm	ppm	ppm	ppm	ppm	ppm	E	N
74-10550	1	12	4	1	3	6	3	1	0.5	1	30	0.1	3	16	0.5	447068.1	5938921.0
75-03341 (adjacent)	62	32	1*	18	5	35	12	2	5.5	4	76	0.1*	5	80	1	440130.2	5946994.0
75-03342	37	36	1*	16	16	28	26	2	2	2	476	0.1*	7	104	1	440352.1	5946829.1
74-10326	8	68	39	48	30	90	34	1	1.5	1	770	0.5	14	86	1	440108.8	5947460.9
Réanalyse	6	40	25*	28	24	—	—	—	—	—	666	0.1*	—	—	—	—	—
74-10336	40	146	14	79	42	130	65	3	3	2	1064	0.9	35	92	2.5	411188.7	5949792.8
Réanalyse	37	126	2*	75	41	—	—	—	—	—	1206	0.1*	—	—	—	—	—
74-10346	33	140	11	80	40	125	56	5	3	1	732	0.8	40	88	2.5	439456.3	5947324.8
Réanalyse	26	104	2*	63	33	—	—	—	—	—	686	0.1*	—	—	—	—	—
74-10348	36	96	10	53	27	110	58	5	3	2	706	0.4	20	80	2.5	439486.8	5947591.2
Réanalyse	41	58	2*	27	27	—	—	—	—	—	748	0.1*	—	—	—	—	—
74-10350	89	30	9	19	5	—	—	4	—	3	88	1.3	2	108	—	440191.4	5946882.6
Réanalyse	83	26	3*	20	7	—	—	—	—	—	82	0.1*	—	—	—	—	—
74-10551	45	62	9	25	21	43	34	2	4	1	592	0.1	13	68	1.5	438249.2	5946822.8
Réanalyse	43	60	2*	27	23	—	—	—	—	—	658	0.1*	—	—	—	—	—
74-10552	38	56	9	24	21	43	38	5	4	1	770	0.1	11	70	1.5	438147.9	5946867.7
Réanalyse	42	62	2*	28	25	—	—	—	—	—	852	0.1*	—	—	—	—	—
74-10553	41	54	8	24	20	41	34	3	3.5	2	558	0.1	10	60	2	437135.4	5946193.9
Réanalyse	39	54	2*	25	24	—	—	—	—	—	672	0.1*	—	—	—	—	—
74-10554	48	70	10	28	23	45	37	2	3.5	2	684	0.1	14	72	2	437444.9	5945919.4
Réanalyse	45	74	2*	30	27	—	—	—	—	—	892	0.1*	—	—	—	—	—
74-10556	38	66	12	35	21	38	33	1	3.5	1	812	0.2	13	72	1.5	438250.6	5945858.1
Réanalyse	42	64	2*	28	25	—	—	—	—	—	962	0.1*	—	—	—	—	—
74-10557	42	62	9	37	25	35	30	1	3	1	684	0.2	14	62	1.5	438517.0	5945825.0
Réanalyse	40	60	2*	26	26	—	—	—	—	—	782	0.1*	—	—	—	—	—
74-10558	35	56	7	35	21	33	29	2	3	1	592	0.1	10	60	1.5	438243.7	5945744.0
Réanalyse	39	56	2*	25	25	—	—	—	—	—	694	0.1*	—	—	—	—	—
74-10562	37	60	9	29	22	41	34	2	3.5	1	902	0.1	10	74	1.5	438039.9	5945611.7
Réanalyse	42	70	4*	30	28	—	—	—	—	—	1182	0.1*	—	—	—	—	—
74-10564	38	58	10	28	22	44	39	1	4.5	2	920	0.1	10	78	2	438648.1	5945399.2
Réanalyse	42	68	3*	31	28	—	—	—	—	—	1122	0.1*	—	—	—	—	—

TABLEAU 9 – RÉSULTATS D'ANALYSE DE L'AIRE ANNOTÉE I (33 G/12)

	Cu	Zn	Pb	Ni	Co	Cr	V	Sn	Mo	U	Mn	Ag	Li	Ba	Cs	UTM ZONE 18	
	ppm	ppm	ppm	ppm	ppm	ppm	ppm	ppm	ppm	ppm	ppm	ppm	ppm	ppm	ppm	E	N
<u>74-10570</u>	97	56	10	57	18	65	28	3	10	1	442	0.1	14	72	1.5	440515.9	5945802.1
<u>Réanalyse</u>	86	50	2*	42	20	—	—	—	—	—	396	0.1*	—	—	—	—	—
<u>75-03298</u> (adjacent)	80	34	1*	27	15	69	43	2	20	1	290	0.1*	10	54	1	440134.3	5945977.1
75-03299	72	32	1*	50	22	108	34	2	8.5	1	588	0.1*	15	134	1	439720.0	5945850.0
R:130 volcanique **	960	23	4*	47	220	42	230	<2	<2	<2	640	<0.3*	2	40	—	439720.0	5945850.0
<u>74-10338</u>	38	142	14	78	41	100	44	6	2.5	1	840	0.8	35	96	2	441622.6	5949186.1
<u>Réanalyse</u>	33	108	2*	64	34	—	—	—	—	—	852	0.1*	—	—	—	—	—
<u>75-03301</u> (adjacent)	20	38	2*	21	11	37	21	2	0.5	2	260	0.1*	4	92	1.5	441591.8	5948666.8
<u>74-10339</u>	40	148	14	82	42	80	35	7	2	2	982	0.9	40	86	2	441688.2	5948704.6
<u>Réanalyse</u>	37	134	3*	76	40	—	—	—	—	—	1024	0.1*	—	—	—	—	—
<u>75-03302</u> (adjacent)	13	18	2*	13	5	20	13	2	0.5	1	84	0.1*	3	48	0.5	441392.5	5948470.6
R:131 aplite ** (adjacent)	7	35	10*	12	90	18	<2	<2	<2	<2	220	<0.3*	3	—	—	441350.0	5948400.0
R:132 volcanique ** (adjacent)	72	83	10*	95	54	100	160	<2	<2	<2	100	0.5*	7	170	—	441400.0	5948250.0
<u>74-10349</u>	51	36	18	19	6	37	15	4	4	2	100	0.1	5	90	1.5	439815.6	5947789.3
<u>Réanalyse</u>	52	40	10*	20	14	—	—	—	—	—	100	0.2*	—	—	—	—	—
<u>75-03303</u> (adjacent)	310	38	1*	25	32	51	18	2	1.5	2	940	0.1*	5	46	1	439820.0	5947875.0
R:133 volcanique **	4	52	2*	69	46	93	220	<2	<2	<2	1520	<0.3*	5	150	—	439820.0	5947875.0
R:134 volcanique ** (adjacent)	11	76	<1*	49	48	91	270	<2	<2	<2	1300	<0.3*	9	70	—	439700.0	5947950.0
<u>74-10344</u>	31	136	11	74	37	105	44	4	2	2	578	2.3	35	66	2.5	439148.8	5948008.1
<u>Réanalyse</u>	30	120	2*	69	35	—	—	—	—	—	620	0.1*	—	—	—	—	—
<u>75-03304</u> (adjacent)	180	70	94*	22	68	—	—	2	—	1	3210	0.1*	4	98	—	439171.1	5948095.4

TABLEAU 9 – suite

	Cu	Zn	Pb	Ni	Co	Cr	V	Sn	Mo	U	Mn	Ag	Li	Ba	Cs	UTM ZONE 18	
	ppm	ppm	ppm	ppm	ppm	ppm	ppm	ppm	ppm	ppm	ppm	ppm	ppm	ppm	ppm	E	N
<u>74-10571</u>	92	58	11	18	32	38	28	3	4	1	590	0.1	11	88	1.5	440089.8	5945633.0
Réanalyse	92	62	2*	26	38	—	—	—	—	—	658	0.1*	—	—	—	—	—
<u>74-10573</u>	44	72	12	25	22	45	37	3	4	2	886	0.1	14	78	1.5	439102.8	5946202.8
Réanalyse	44	72	3*	29	27	—	—	—	—	—	1024	0.1*	—	—	—	—	—
<u>74-10575</u>	49	68	10	35	22	44	36	2	4	3	728	0.1	15	80	2	439674.2	5946250.6
Réanalyse	50	76	5*	32	29	—	—	—	—	—	1026	0.1*	—	—	—	—	—
<u>74-10578</u>	47	70	9	31	21	33	23	1	3	2	582	0.1	16	54	1.5	441479.0	5946742.8
Réanalyse	39	62	2*	27	23	—	—	—	—	—	612	0.1*	—	—	—	—	—
<u>74-10579</u>	44	68	7	32	22	34	25	2	3	2	612	0.1	17	36	1.5	441872.1	5946671.0
Réanalyse	46	72	2*	32	26	—	—	—	—	—	680	0.1*	—	—	—	—	—
<u>74-10580</u>	56	74	8	32	27	37	32	4	4	3	1048	0.1	16	112	1.5	442142.2	5947882.3
Réanalyse	48	66	2*	30	29	—	—	—	—	—	1148	0.1*	—	—	—	—	—
<u>74-10581</u>	47	70	7	33	24	42	35	5	4	2	810	0.1	18	70	1.5	442567.8	5947700.4
Réanalyse	44	68	4*	30	28	—	—	—	—	—	960	0.1*	—	—	—	—	—
<u>74-10582</u>	46	68	7	30	24	42	35	4	4	1	724	0.1	17	70	1.5	443037.0	5947702.6
Réanalyse	43	64	2*	28	27	—	—	—	—	—	836	0.1*	—	—	—	—	—
<u>74-10583</u>	41	54	6	34	21	41	32	3	4	1	634	0.1	10	74	1.5	443037.5	5947594.8
Réanalyse	47	64	2*	30	28	—	—	—	—	—	942	0.1*	—	—	—	—	—
<u>74-10584</u>	40	60	8	33	21	45	36	5	4.5	1	704	0.1	12	66	2	443092.0	5948165.6
Réanalyse	43	62	2*	29	27	—	—	—	—	—	956	0.1*	—	—	—	—	—
<u>74-10585</u>	42	66	8	34	22	47	38	3	4.5	1	734	0.1	15	66	2	443207.2	5947925.3
Réanalyse	41	64	2*	27	25	—	—	—	—	—	878	0.1*	—	—	—	—	—
<u>74-10586</u>	41	70	11	33	22	41	35	5	4	2	848	0.1	15	84	1.5	443327.5	5947957.5
Réanalyse	42	70	5*	30	28	—	—	—	—	—	1128	0.1*	—	—	—	—	—
<u>74-10587</u>	26	92	9	63	26	130	51	4	3	1	510	0.1	19	72	2.5	442548.6	5947416.3
Réanalyse	35	106	3*	69	35	—	—	—	—	—	666	0.1*	—	—	—	—	—
<u>74-10594</u>	45	68	9	31	23	49	38	4	3.5	2	728	0.4	17	68	2	440849.6	5946523.9
Réanalyse	40	56	2*	26	21	—	—	—	—	—	638	0.1*	—	—	—	—	—
<u>74-14422</u>	120	96	12	78	39	180	52	5	5	3	1850	0.7	16	112	2.5	439117.7	5947887.5
Réanalyse	100	88	2*	67	37	—	—	—	—	—	1254	0.1*	—	—	—	—	—

TABLEAU 9 – suite

	Cu	Zn	Pb	Ni	Co	Cr	V	Sn	Mo	U	Mn	Ag	Li	Ba	Cs	UTM ZONE 18	
	ppm	ppm	ppm	ppm	ppm	ppm	ppm	ppm	ppm	ppm	ppm	ppm	ppm	ppm	ppm	E	N
75-03240	10	38	56*	9	7	19	10	2	1.5	1	160	0.1*	4	54	0.5	444850.0	5948300.0
R:110 qtz diorite **--	79	51	15*	12	38	13	44	<2	37	<2	270	0.3*	18	740	—	444850.0	5948300.0
74-15252	17	60	170	12	42	—	—	—	—	3	2260	0.6	4	66	—	444890.0	5948757.3
75-03241 (adjacent)	18	48	115*	12	13	29	48	2	5.5	2	458	0.1*	3	54	1.5	444790.8	5948846.5
75-03242 (adjacent)	14	42	18*	9	7	18	14	2	2.5	3	120	0.1*	2	110	1	444975.0	5948880.0
R:109 qtz diorite ** _*	25	42	10*	8	96	13	25	<2	<2	<2	200	<0.3*	2	250	—	444975.0	5948880.0
74-15198	13	30	92	7	5	—	—	—	—	—	42	0.2	1	46	—	444112.0	5948347.9
75-03243	16	32	71*	9	4	11	5	2	3	1	24	0.1*	1	72	1	444250.0	5948100.0
R:111 qtz diorite	15	54	10*	8	85	12	50	<2	<2	<2	370	<0.3*	12	460	—	444250.0	5948100.0
74-15195	8	22	36	5	6	—	—	3	—	3	72	0.2	2	36	—	444419.5	5947645.5
75-03244	10	20	26*	5	4	9	5	2	1.5	2	76	0.1*	2	38	0.5	444419.5	5947645.5
75-03245 (adjacent)	9	20	24*	6	5	9	7	2	1	1	78	0.1*	2	38	0.5	444720.5	5947861.3
74-10337	36	144	14	79	41	115	52	5	2.5	1	924	0.8	35	100	2	441392.8	5949527.5
Réanalyse	28	98	2*	58	32	—	—	—	—	—	824	0.1*	—	—	—	—	—
75-03264	20	52	2*	27	13	51	30	2	1	2	250	0.1*	4	90	2	441392.8	5949527.5
75-03278	29	76	1*	46	18	82	31	2	1.5	2	520	0.1*	15	90	1.5	441269.4	5943449.8
74-10252	20	80	14	25	29	53	36	1	4	1	856	0.5	7	66	1.5	441435.6	5943220.8
75-03279	21	62	10*	21	18	45	28	2	5	1	152	0.1*	3	52	1.5	441343.0	5943373.1
74-10253	1250	44	9	33	50	38	18	1	2.5	6	294	0.4	7	36	1	441371.2	5943030.8
75-03280 (adjacent)	2000	30	6*	76	130	21	12	2	2	2	624	0.1*	1	76	1.5	441300.0	5943170.0
R:126 volcanique **	66	69	2*	98	44	95	200	<2	<2	<2	1150	0.5*	5	22	—	441300.0	5943170.0
75-03281	10	30	5*	13	12	33	18	2	1.5	1	396	0.1*	5	30	0.5	440350.0	5943575.0
R:127 méta-sédimen- taire **	6	38	8*	14	39	20	47	<2	<2	<2	400	0.3*	2	270	—	440350.0	5943575.0
75-03284'	10	24	16*	10	4	—	—	—	—	—	100	0.1*	2	42	—	438863.1	5944310.5

* : corrigé pour absorbance non-spécifique

— : non-analysé

Les échantillons de roches ont été analysés par absorption atomique

** : 5% de pyrite

** : roche contenant de la pyrite

**-- : trace de pyrite et molybdène

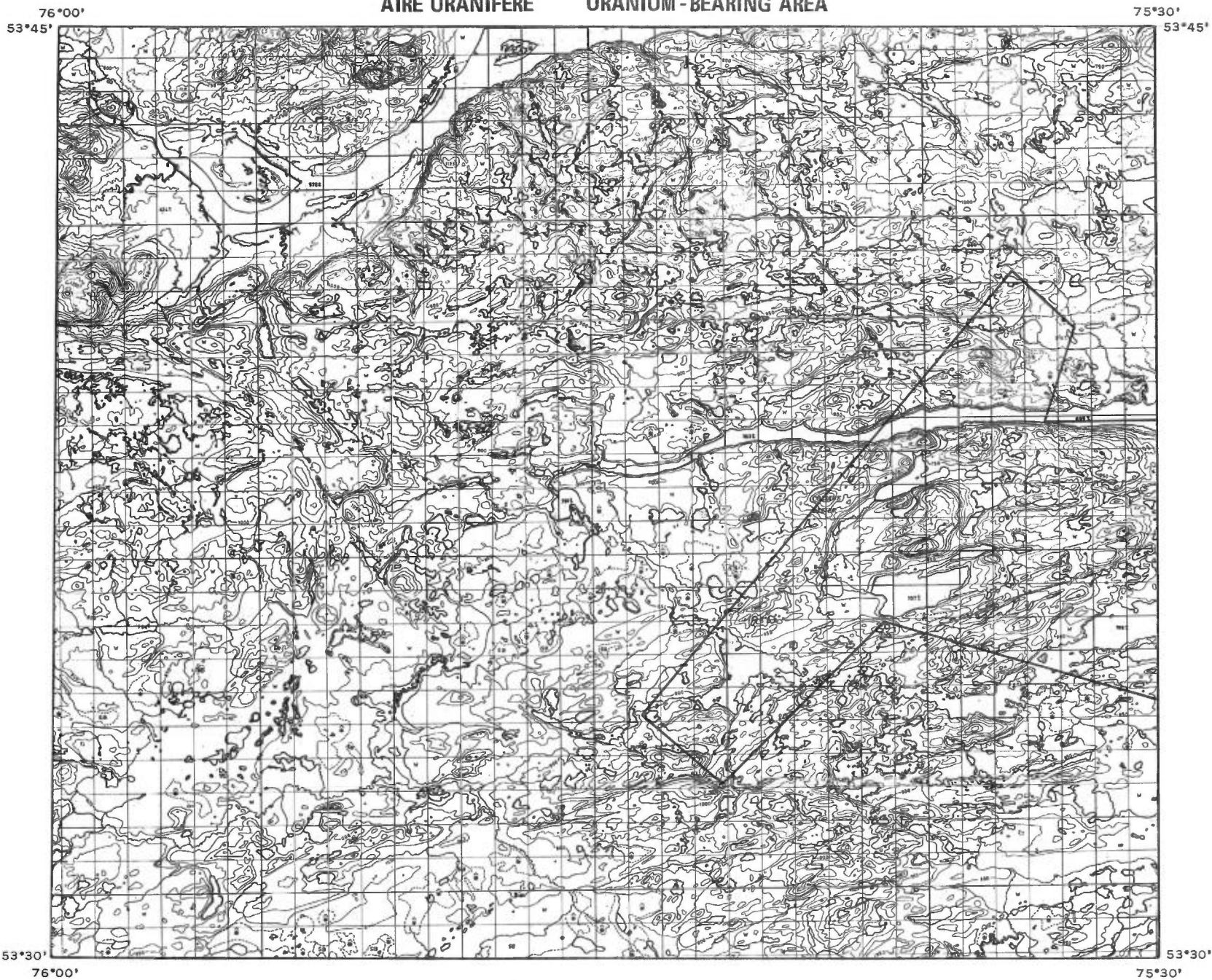
**_{*} : 4% de pyrite

' : tourmaline observée à proximité

TABLEAU 9 – suite

	Cu	Zn	Pb	Ni	Co	Cr	V	Sn	Mo	U	Mn	Ag	Li	Ba	Cs	UTM ZONE 18	
	ppm	ppm	ppm	ppm	ppm	ppm	ppm	ppm	ppm	ppm	ppm	ppm	ppm	ppm	ppm	E	N
74-14424	160	76	16	38	28	90	50	9	7	3	2544	0.8	7	112	2.5	438926.7	5948051.5
Réanalyse	150	72	2*	34	29	—	—	—	—	—	1868	0.1*	—	—	—	—	—
75-03305	205	26	1*	15	9	21	7	2	1.5	1	704	0.1*	1	82	1	438926.7	5948051.5
74-10345	35	134	11	78	39	105	46	4	2.5	1	760	0.9	35	94	2	439120.1	5947361.3
Réanalyse	29	96	2*	59	31	—	—	—	—	—	718	0.1*	—	—	—	—	—
75-03306 (adjacent)	21	40	1*	26	20	52	20	2	2	2	1184	0.1*	6	184	1	439100.0	5947500.0
R:135 volcanique **	7	79	10*	33	48	39	280	<2	<2	<2	1440	<0.3*	11	80	—	439100.0	5947500.0
75-03330	56	14	1*	17	5	19	6	2	3	1	130	0.1*	1	136	0.5	439613.2	5945477.1
75-03331	34	44	1*	19	24	19	41	2	6.5	1	2590	0.1*	7	120	0.5	439775.0	5945475.0
R:137 volcanique	59	40	2*	74	55	160	180	<2	<2	<2	800	<0.3*	14	110	—	439775.0	5945475.0
74-10568	89	68	11	50	19	70	33	1	12.5	1	538	0.1	13	92	1.5	439193.4	5945320.2
75-03332	14	42	1*	6	20	20	—	—	—	1	880	0.1*	1	108	—	439200.0	5945400.0
74-10565	38	64	9	34	23	46	40	1	4	2	794	0.1	13	60	2	439110.3	5945206.4
Réanalyse	44	76	2*	31	30	—	—	—	—	—	1156	0.1*	—	—	—	—	—
75-03333	72	8	1*	12	5	17	17	2	4	1	36	0.1*	1	48	0.5	439110.3	5945206.4
74-10566	50	66	10	34	24	45	37	3	4	3	884	0.1	13	80	2	439173.2	5945091.9
Réanalyse	47	68	2*	30	28	—	—	—	—	—	1018	0.1*	—	—	—	—	—
75-03334	24	50	1*	14	17	26	19	2	1.5	1	624	0.1*	4	28	0.5	439173.2	5945091.9
74-10591	89	54	10	21	31	45	33	5	4.5	1	618	0.1	10	96	1.5	440516.0	5945808.5
Réanalyse	95	66	4*	27	39	—	—	—	—	—	680	0.1*	—	—	—	—	—
75-03335	78	60	1*	22	35	45	32	2	4	2	782	0.1*	10	96	1.5	440516.0	5945808.5
74-10593	49	124	14	88	38	155	58	4	3	2	924	0.4	30	110	2	441036.8	5945894.6
Réanalyse	34	78	2*	50	27	—	—	—	—	—	706	0.1*	—	—	—	—	—
75-03336	34	60	1*	23	23	43	32	2	3.5	2	1252	0.1*	13	68	0.5	441036.8	5945894.6
74-10589	91	66	11	27	32	37	27	2	3.5	1	564	0.1	13	110	1.5	440554.6	5945928.8
75-03337	43	52	1*	22	21	41	33	2	3	4	1008	0.1*	10	80	1.5	440554.6	5945928.8
74-10592	100	64	13	27	33	46	34	5	4.5	1	640	0.3	13	100	1.5	440868.3	5946447.6
Réanalyse	105	68	4*	29	39	—	—	—	—	—	724	0.1*	—	—	—	—	—
75-03340 (adjacent)	45	74	1*	38	37	42	40	2	5.5	3	1290	0.1*	8	108	1.5	440925.0	5946625.0
R:138 volcanique	36	58	3*	100	60	150	190	<2	<2	<2	1175	<0.3*	16	76	—	440925.0	5946625.0

TABLEAU 9 – suite



COLLINE BEZIER

33 G/12

Aire II

U

Cette aire annotée est une continuation de l'aire IV du feuillet 33 G/11 et fait partie d'une vaste anomalie en uranium à teneurs très élevées.

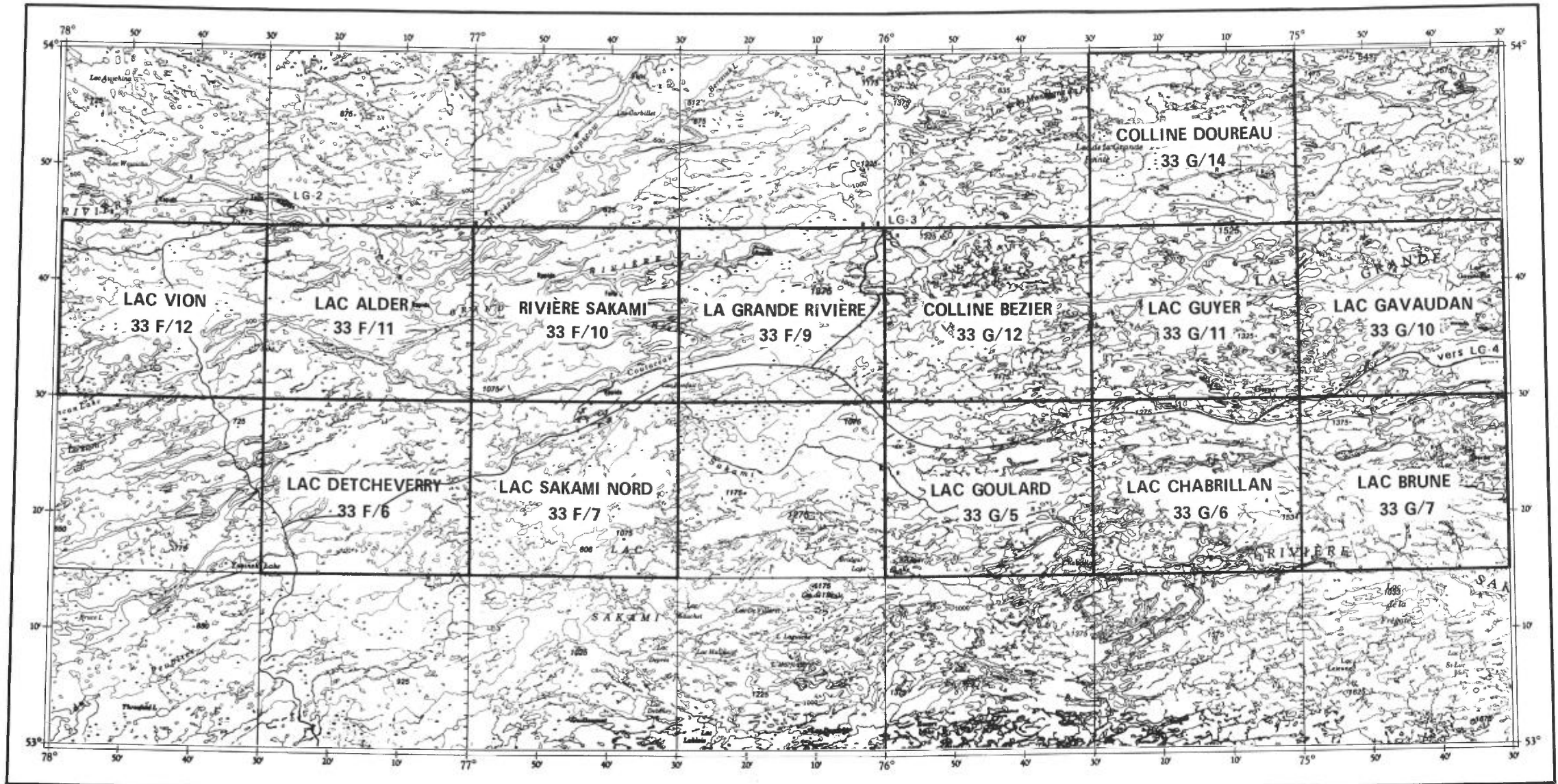
COLLINE BEZIER

33 G/12

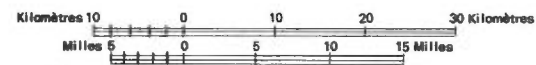
Area II

U

This annotated area is a continuation of annotation IV of sheet 33 G/11 and forms part of a vast uranium geochemical anomaly with extremely high values.

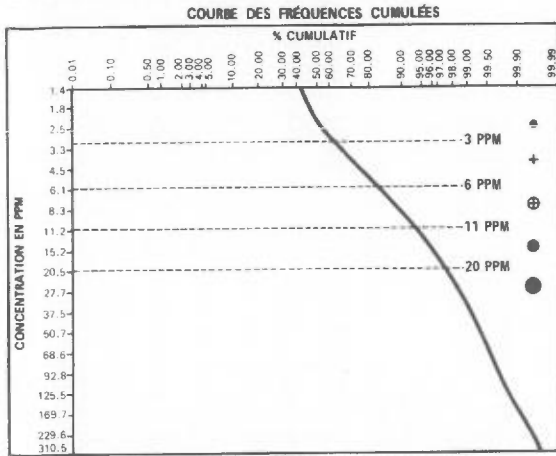


**INDEX DES CARTES GÉOCHIMIQUES
RÉGION DE LA GRANDE RIVIÈRE**



LÉGENDE

GÉOCHIMIE



LA CLASSE SUPÉRIEURE EST SUBDIVISÉE GÉOMÉTRIQUEMENT

- ① 21 - 40 ② 41 - 80 ③ 81 - 160 ④ 161 - 320 ⑤ 321 - 640 ⑥ 641 - 1280
⑦ 1281 - 2560 ⑧ 2561 - 5120 PPM

LITHOLOGIE SIMPLIFIÉE

- 14 Sable et gravier
- S "Sandstone" FM-Sakami
- 13 Dyke de diabase
- 12 Dyke de pegmatite
- 11 Granite
- 10 Quartz-diorite
- 9 Migmatite
- 8 Granite migmatitique
- 7 Formation de fer
- 6 Roche métasédimentaire
- 5 Tuf rhyolitique
- 4 Lave intermédiaire
- 3 Roche ultrabasique
- 2A Amphibolite
- 2 Lave basique
- 1 Gneiss non différencié

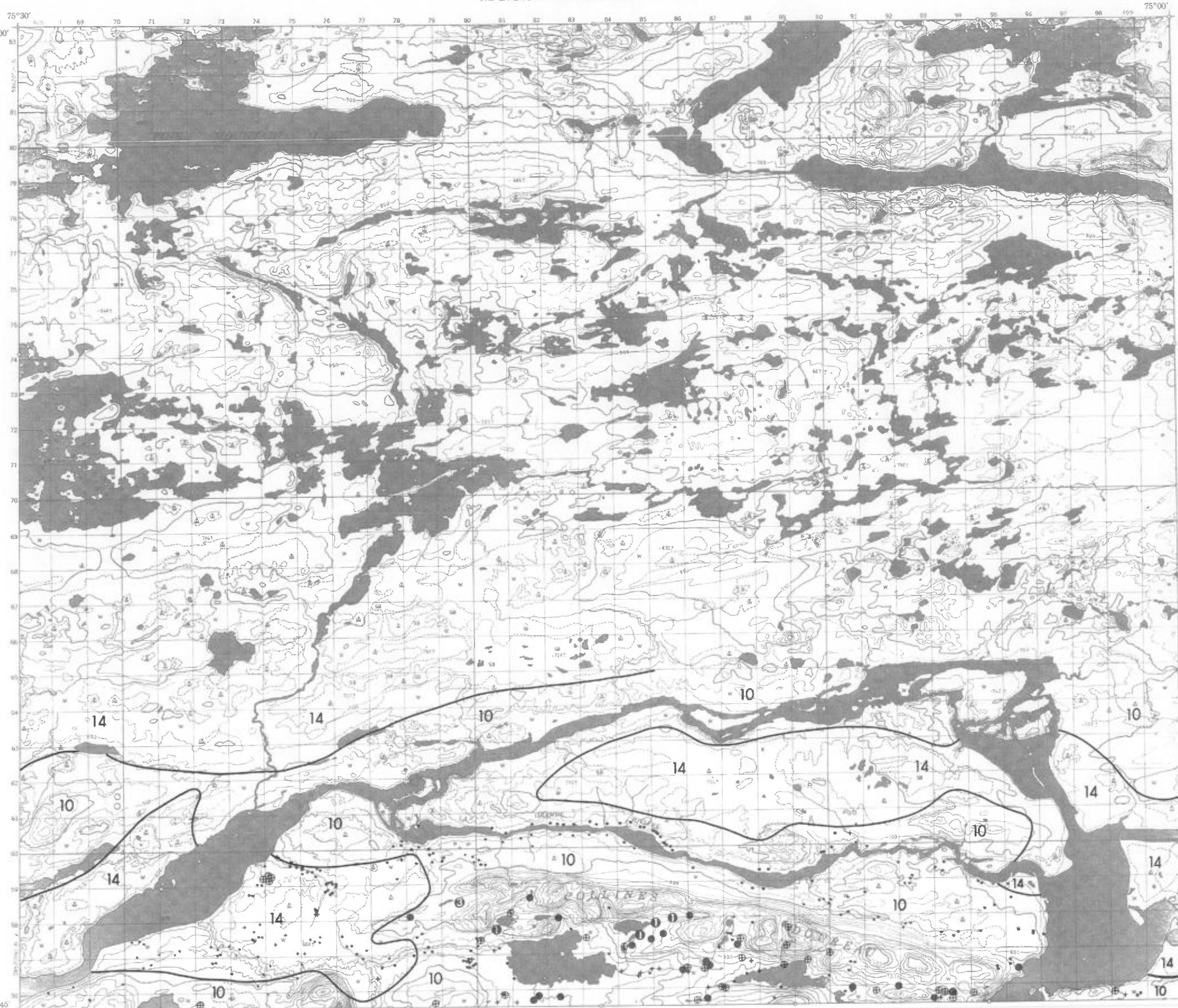
Contact ———
Faille - - - - -

ÉCHELLE 1:125,000



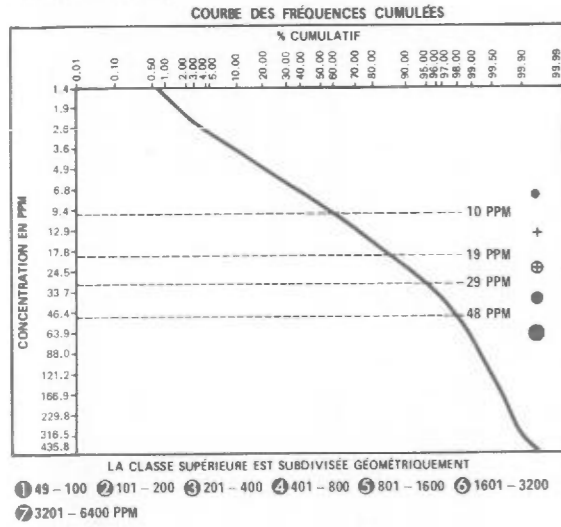
SERVICE DES GÎTES MINÉRAUX
DIVISION DE LA GÉOCHIMIE
G.H. COCKBURN

Carte géochimique No 1819



LÉGENDE

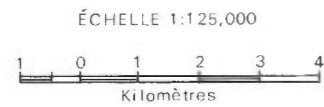
GÉOCHIMIE



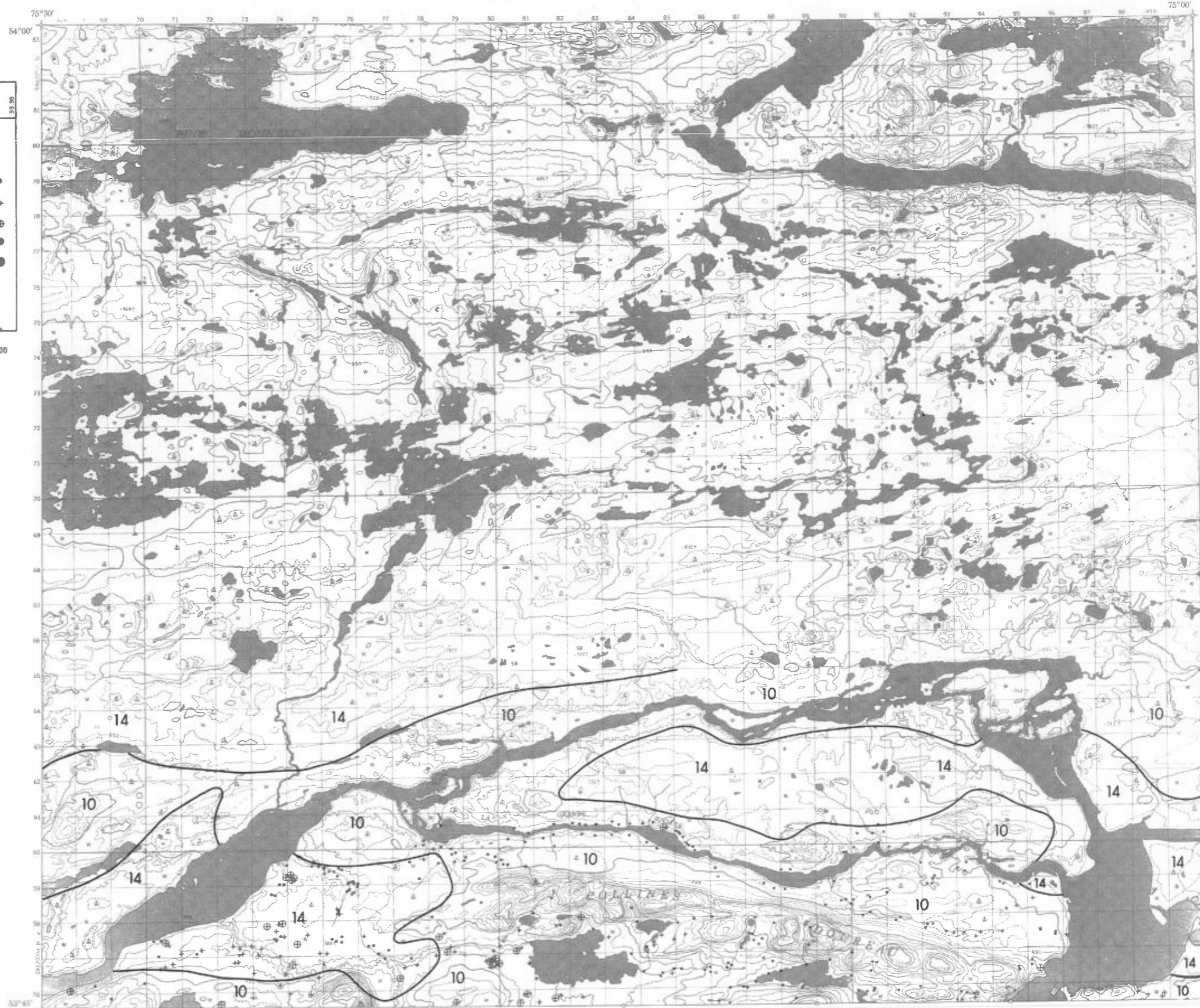
LITHOLOGIE SIMPLIFIÉE

- 14 Sabre et gravier
- S "Sandstone" FM-Sakami
- 13 Dyke de diabase
- 12 Dyke de pegmatite
- 11 Granite
- 10 Quartz-diorite
- 9 Migmatite
- 8 Granite migmatitique
- 7 Formation de fer
- 6 Roche métasédimentaire
- 5 Tuf rhyolitique
- 4 Lave intermédiaire
- 3 Roche ultrabasique
- 2A Amphibolite
- 2 Lave basique
- 1 Gneiss non différencié

Contact ———
Faille - - - - -

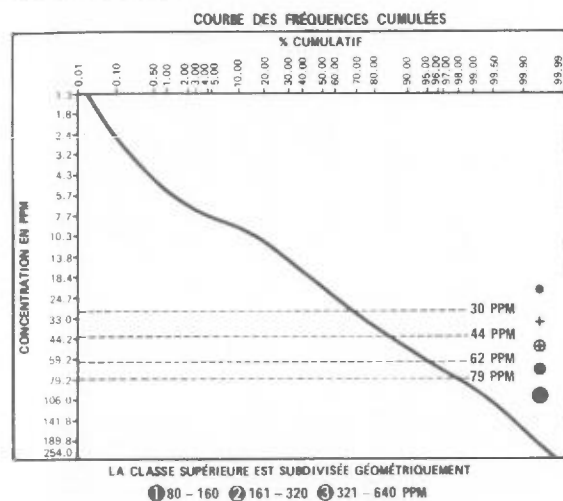


SERVICE DES GÎTES MINÉRAUX
DIVISION DE LA GÉOCHIMIE
G.H. COCKBURN
Carte géochimique No 1819



LÉGENDE

GÉOCHIMIE



LITHOLOGIE SIMPLIFIÉE

- 14 Sable et gravier
- S "Sandstone" FM-Sakami
- 13 Dyke de diabase
- 12 Dyke de pegmatite
- 11 Granite
- 10 Quartz-diorite
- 9 Migmatite
- 8 Granite migmatitique
- 7 Formation de fer
- 6 Roche métasédimentaire
- 5 Tuf rhyolitique
- 4 Lave intermédiaire
- 3 Roche ultrabasique
- 2A Amphibolite
- 2 Lave basique
- 1 Gneiss non différencié

Contact ———
Faille - - - - -

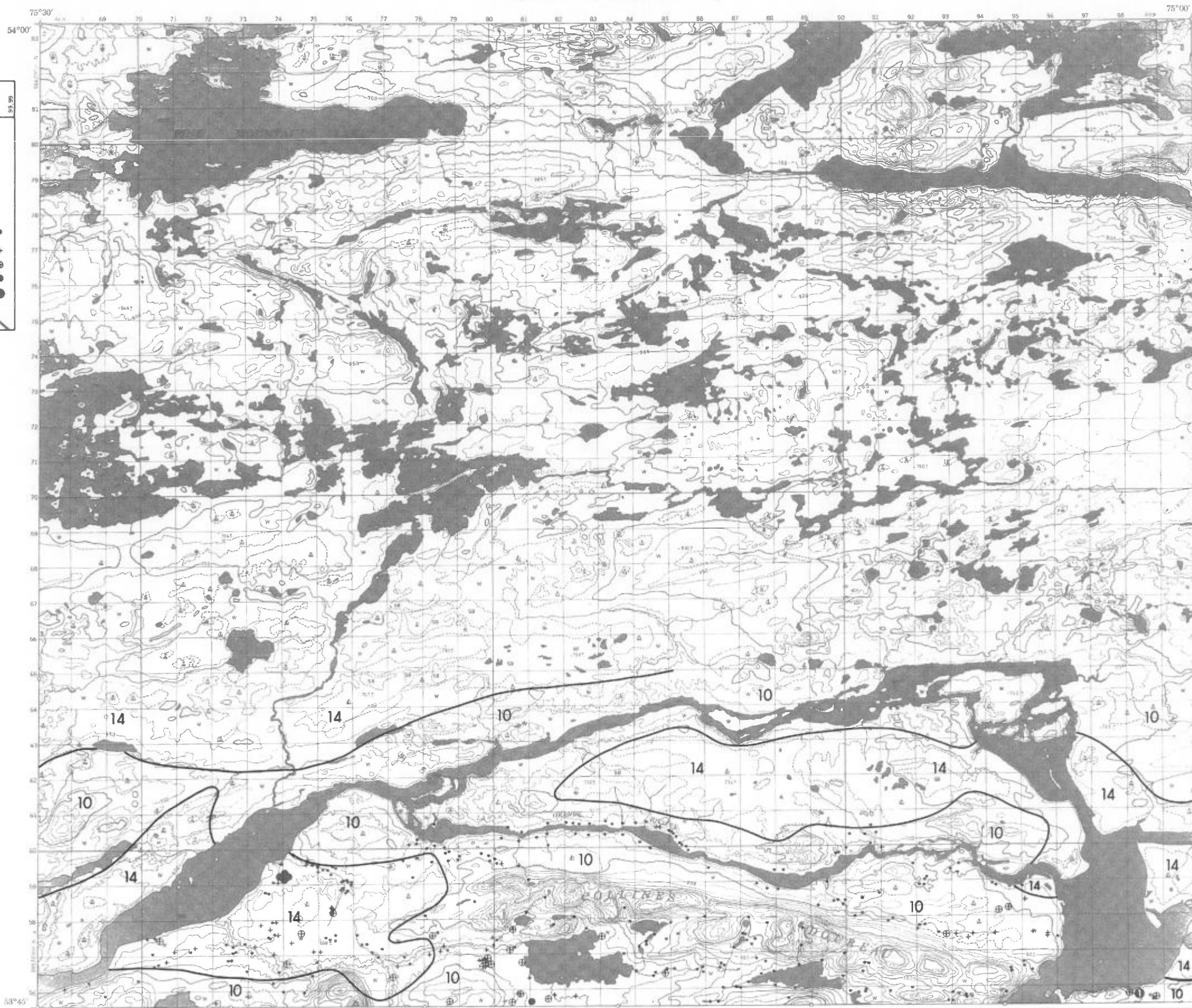
ÉCHELLE 1:125,000



SERVICE DES GÎTES MINÉRAUX

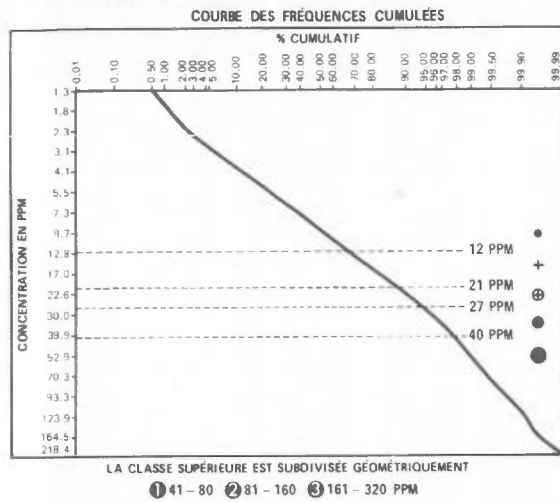
DIVISION DE LA GÉOCHIMIE
G.H. COCKBURN

Carte géochimique No 1819



LÉGENDE

GÉOCHIMIE



LITHOLOGIE SIMPLIFIÉE

- 14 Sable et gravier
- S "Sandstone" FM-Sakami
- 13 Dyke de diabase
- 12 Dyke de pegmatite
- 11 Granite
- 10 Quartz-diorite
- 9 Migmatite
- 8 Granite migmatitique
- 7 Formation de fer
- 6 Roche métasédimentaire
- 5 Tuf rhyolitique
- 4 Lave intermédiaire
- 3 Roche ultrabasique
- 2A Amphibolite
- 2 Lave basique
- 1 Gneiss non différencié

Contact ———
Faille - - - - -

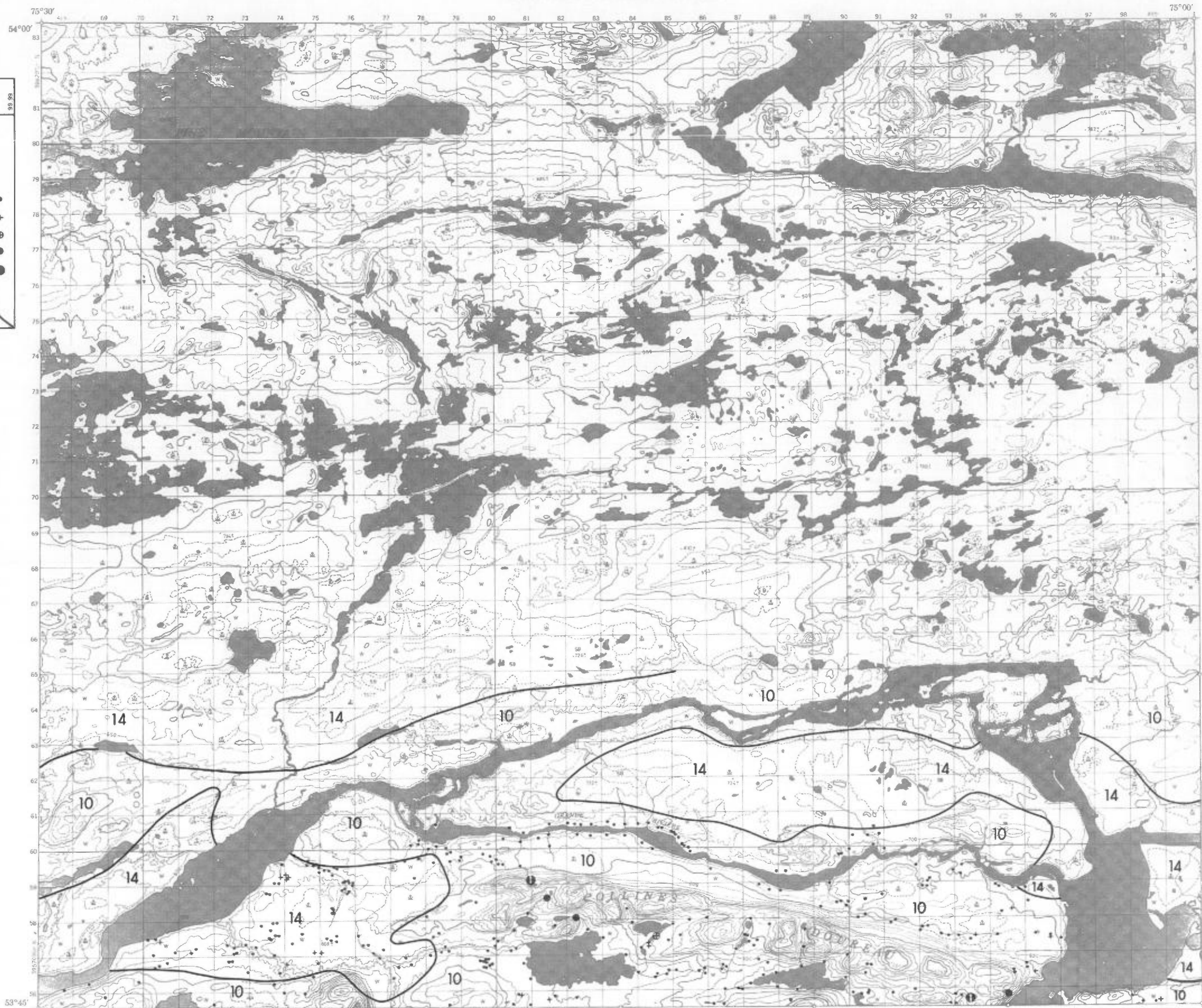
ÉCHELLE 1:125,000



SERVICE DES GÎTES MINÉRAUX

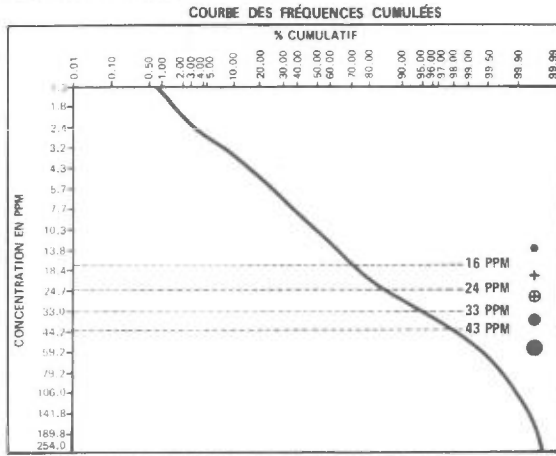
DIVISION DE LA GÉOCHIMIE
G.H. COCKBURN

Carte géochimique No 1819



LÉGENDE

GÉOCHIMIE



LA CLASSE SUPÉRIEURE EST SUBDIVISÉE GÉOMÉTRIQUEMENT
① 44 - 100 ② 101 - 200 ③ 301 - 400 ④ 401 - 800 ⑤ 801 - 1600 PPM

LITHOLOGIE SIMPLIFIÉE

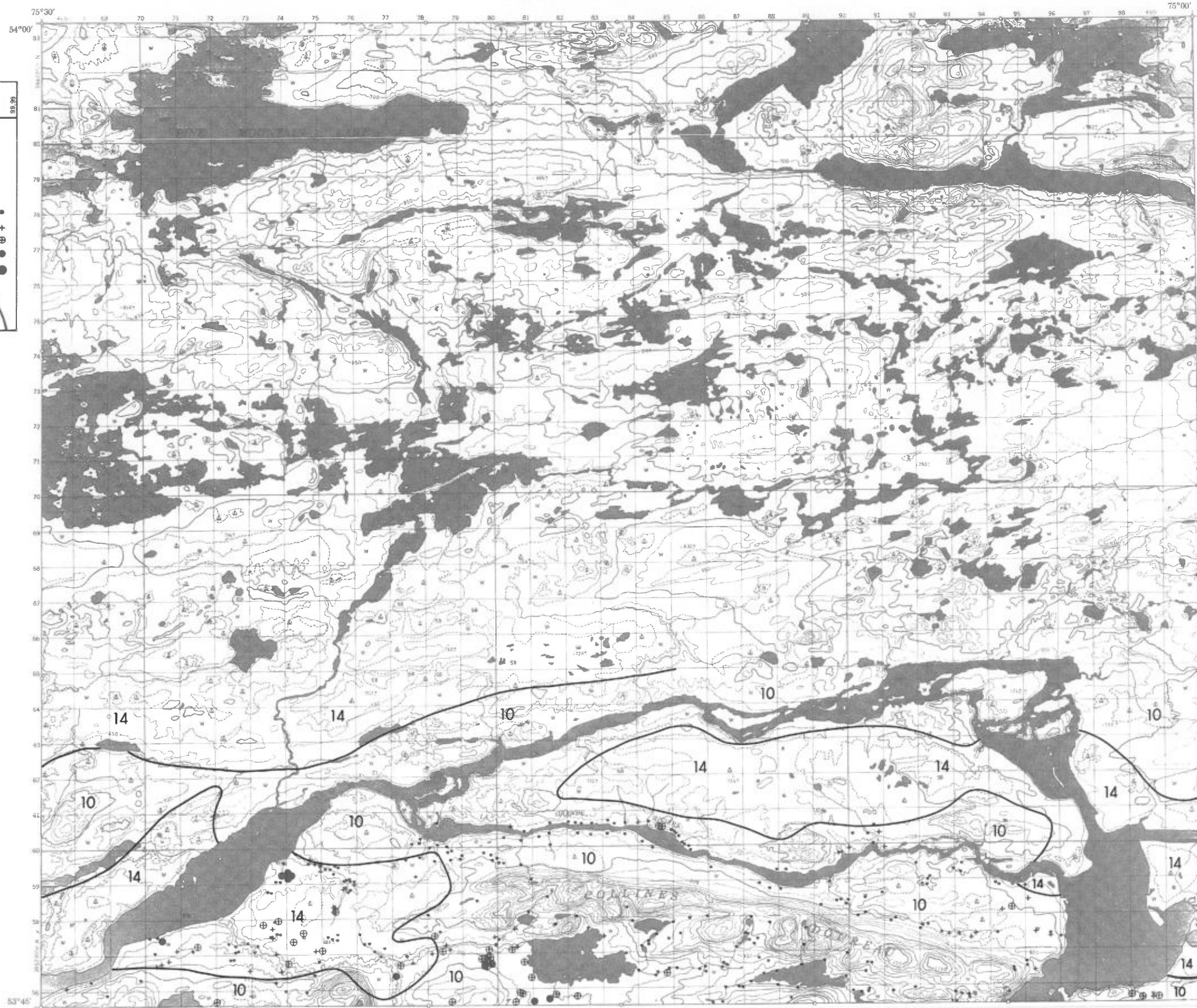
- 14 Sable et gravier
- S "Sandstone" FM-Sakami
- 13 Dyke de diabase
- 12 Dyke de pegmatite
- 11 Granite
- 10 Quartz-diorite
- 9 Migmatite
- 8 Granite migmatitique
- 7 Formation de fer
- 6 Roche métasédimentaire
- 5 Tuf rhyolitique
- 4 Lave intermédiaire
- 3 Roche ultrabasique
- 2A Amphibolite
- 2 Lave basique
- 1 Gneiss non différencié

Contact ———
Faille - - - - -

ÉCHELLE 1:125,000



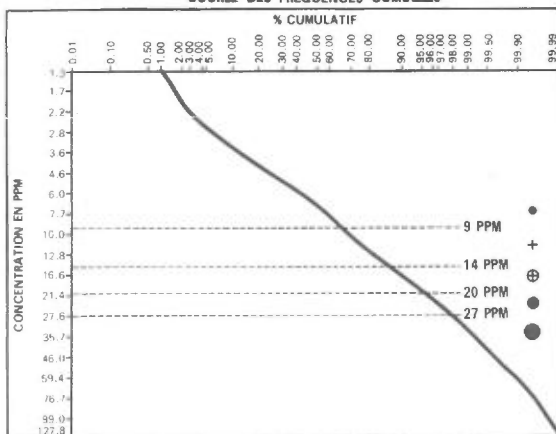
SERVICE DES GÎTES MINÉRAUX
DIVISION DE LA GÉOCHIMIE
G.H. COCKBURN
Carte géochimique No 1819



LÉGENDE

GÉOCHIMIE

COURBE DES FRÉQUENCES CUMULÉES



LA CLASSE SUPÉRIEURE EST SUBDIVISÉE GÉOMÉTRIQUEMENT

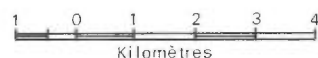
① 28 - 60 ② 61 - 120 ③ 121 - 240 PPM

LITHOLOGIE SIMPLIFIÉE

- 14 Sable et gravier
- S "Sandstone" FM-Sakami
- 13 Dyke de diabase
- 12 Dyke de pegmatite
- 11 Granite
- 10 Quartz-diorite
- 9 Migmatite
- 8 Granite migmatitique
- 7 Formation de fer
- 6 Roche métasédimentaire
- 5 Tuf rhyolitique
- 4 Lave intermédiaire
- 3 Roche ultrabasique
- 2A Amphibolite
- 2 Lave basique
- 1 Gneiss non différencié

Contact ———
 Faille - - - - -

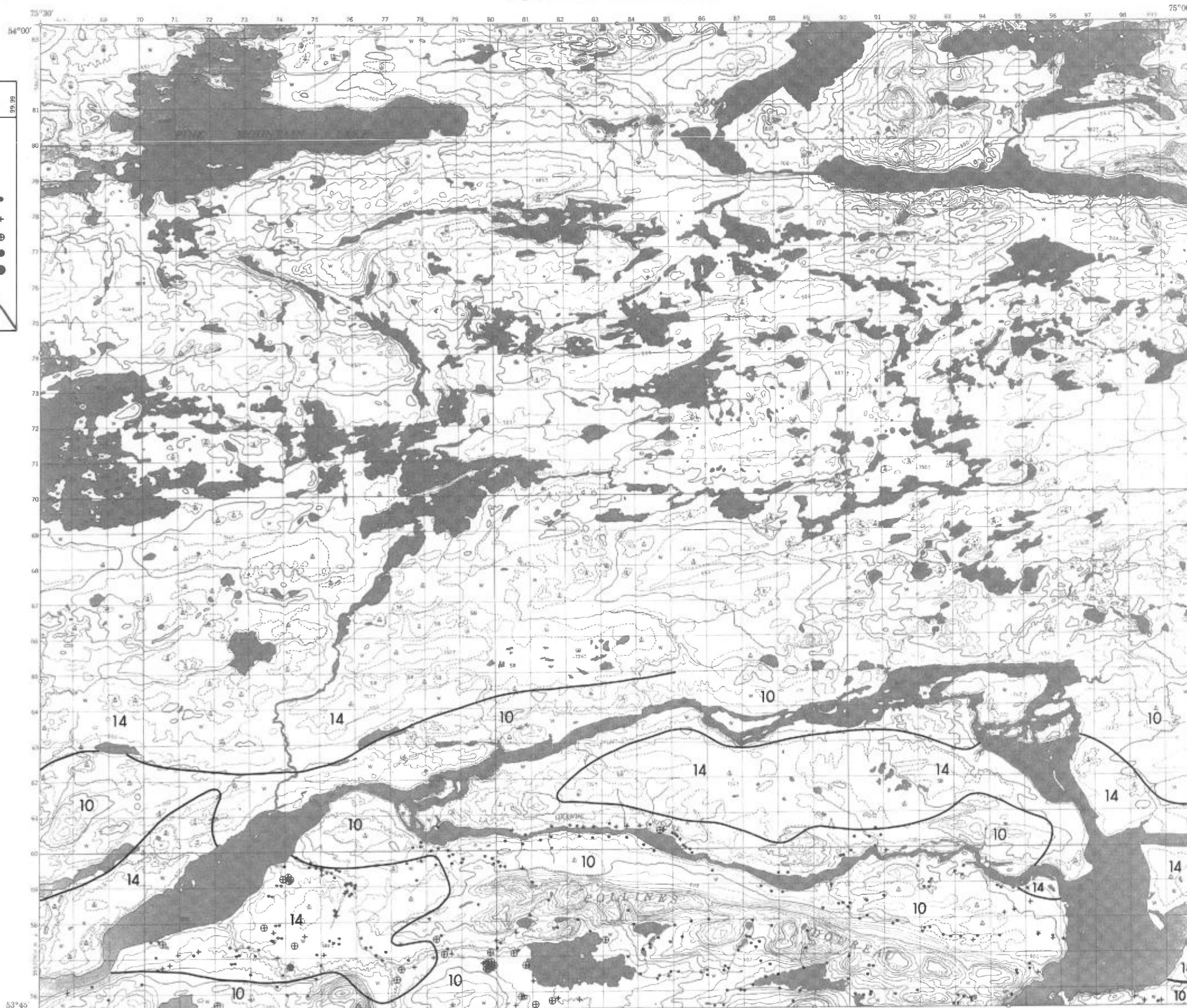
ÉCHELLE 1:125,000



SERVICE DES GÎTES MINÉRAUX

DIVISION DE LA GÉOCHIMIE
 G.H. COCKBURN

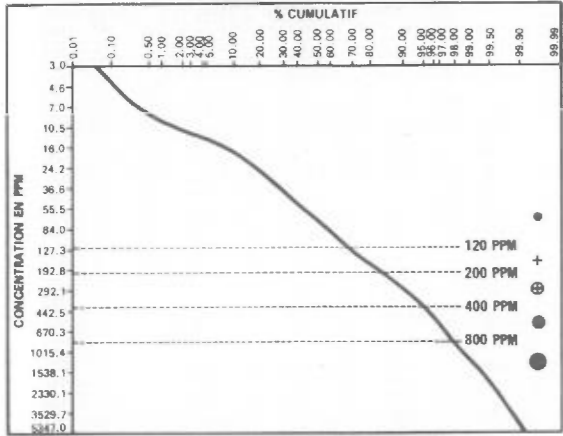
Carte géochimique No 1819



LÉGENDE

GÉOCHIMIE

COURBE DES FRÉQUENCES CUMULÉES



LA CLASSE SUPÉRIEURE EST SUBDIVISÉE GÉOMETRIQUEMENT

1 801 - 1600 2 1601 - 3200 3 3201 - 6400 4 6401 - 12800 5 12801 - 25000 PPM

LITHOLOGIE SIMPLIFIÉE

- 14 Sable et gravier
- S "Sandstone" FM-Sakami
- 13 Dyke de diabase
- 12 Dyke de pegmatite
- 11 Granite
- 10 Quartz-diorite
- 9 Migmatite
- 8 Granite migmatitique
- 7 Formation de fer
- 6 Roche métasédimentaire
- 5 Tuf rhyolitique
- 4 Lave intermédiaire
- 3 Roche ultrabasique
- 2A Amphibolite
- 2 Lave basique
- 1 Gneiss non différencié

Contact ———
Faille - - - - -

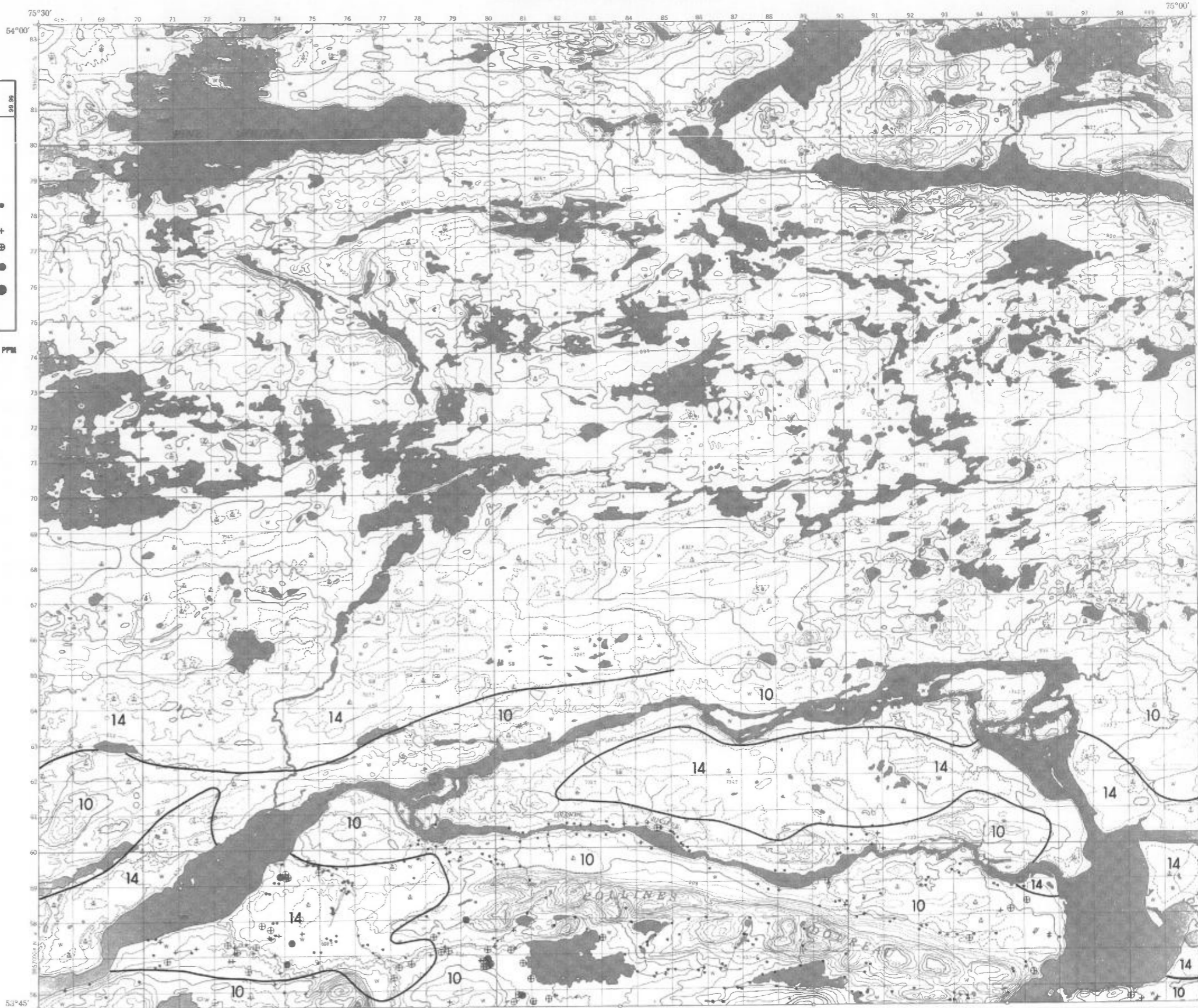
ÉCHELLE 1:125,000



SERVICE DES GÎTES MINÉRAUX

DIVISION DE LA GÉOCHIMIE
G.H. COCKBURN

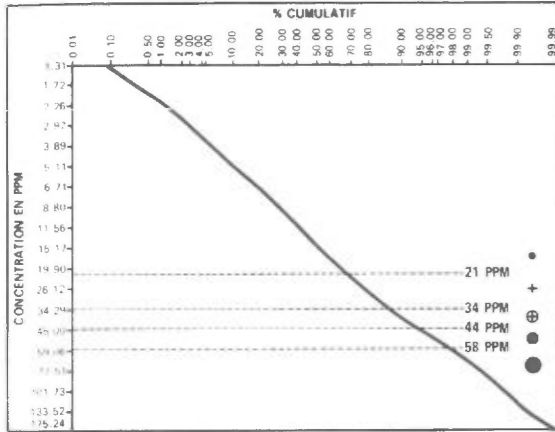
Carte géochimique No 1819



LÉGENDE

GÉOCHIMIE

COURBE DES FRÉQUENCES CUMULÉES



LA CLASSE SUPÉRIEURE EST SUBDIVISÉE GÉOMÉTRIQUEMENT
 ① 59 - 100 ② 101 - 200 ③ 201 - 400 PPM

LITHOLOGIE SIMPLIFIÉE

- 14 Sable et gravier
- S "Sandstone" FM-Sakami
- 13 Dyke de diabase
- 12 Dyke de pegmatite
- 11 Granite
- 10 Quartz-diorite
- 9 Migmatite
- 8 Granite migmatitique
- 7 Formation de fer
- 6 Roche métasédimentaire
- 5 Tuf rhyolitique
- 4 Lave intermédiaire
- 3 Roche ultrabasique
- 2A Amphibolite
- 2 Lave basique
- 1 Gneiss non différencié

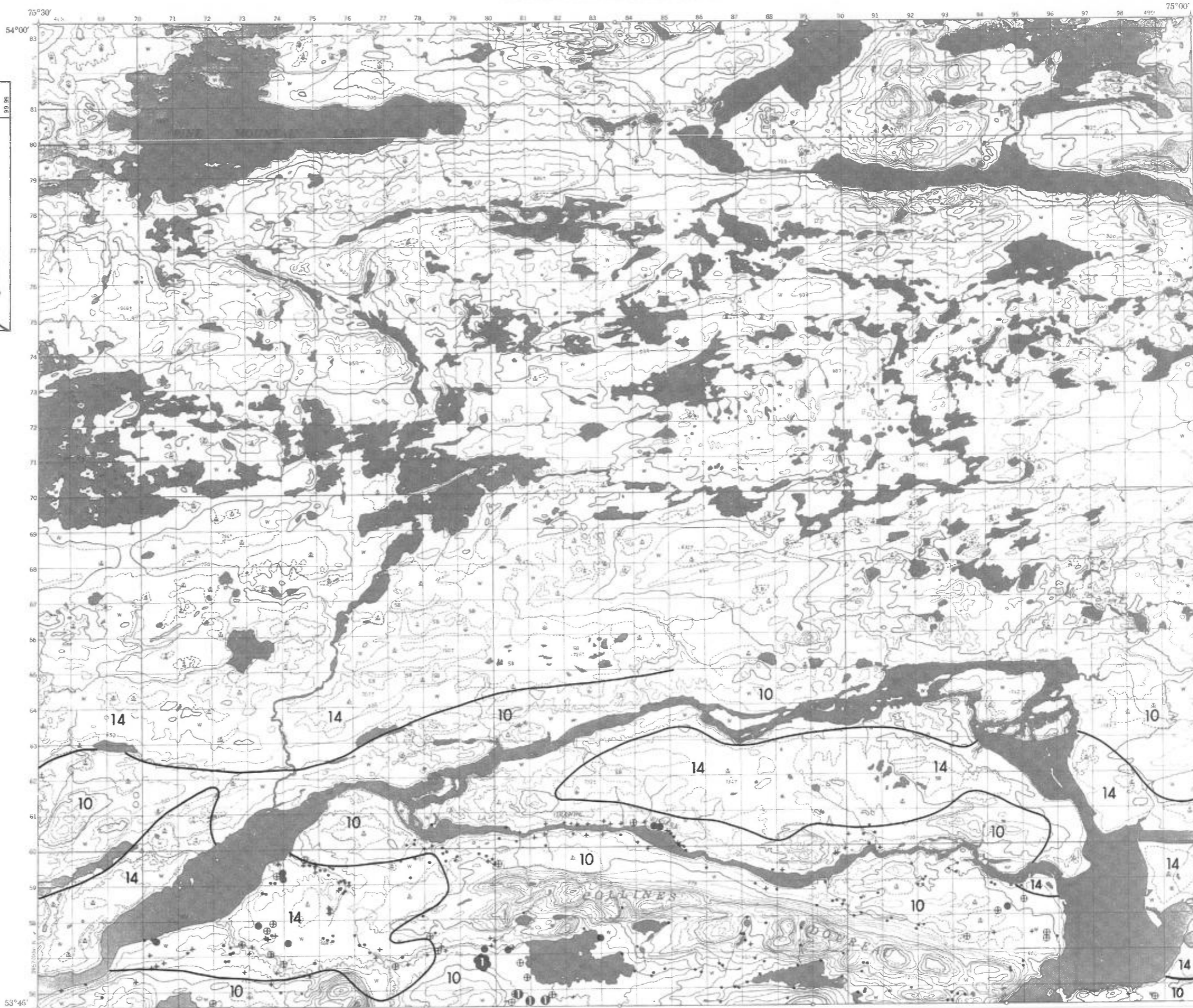
Contact ———
 Faille - - - - -

ÉCHELLE 1:125,000



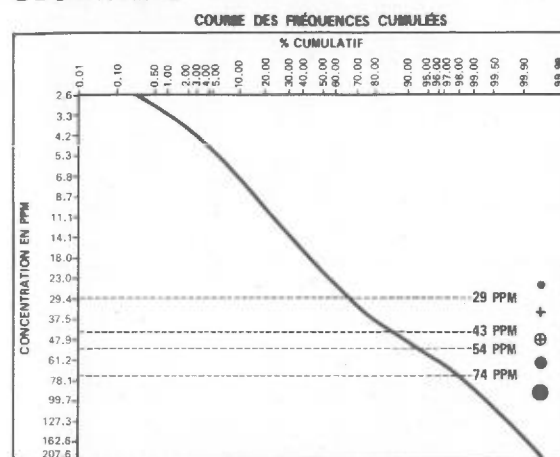
SERVICE DES GÎTES MINÉRAUX
 DIVISION DE LA GÉOCHIMIE
 G.H. COCKBURN

Carte géochimique No 1819



LÉGENDE

GÉOCHIMIE



LA CLASSE SUPÉRIEURE EST SUBDIVISÉE GÉOMÉTRIQUEMENT
① 75 - 150 ② 151 - 300 ③ 301 - 600 PPM

LITHOLOGIE SIMPLIFIÉE

- 14 Sable et gravier
- S "Sandstone" FM-Sakami
- 13 Dyke de diabase
- 12 Dyke de pegmatite
- 11 Granite
- 10 Quartz-diorite
- 9 Migmatite
- 8 Granite migmatitique
- 7 Formation de fer
- 6 Roche métasédimentaire
- 5 Tuf rhyolitique
- 4 Lave intermédiaire
- 3 Roche ultrabasique
- 2A Amphibolite
- 2 Lave basique
- 1 Gneiss non différencié

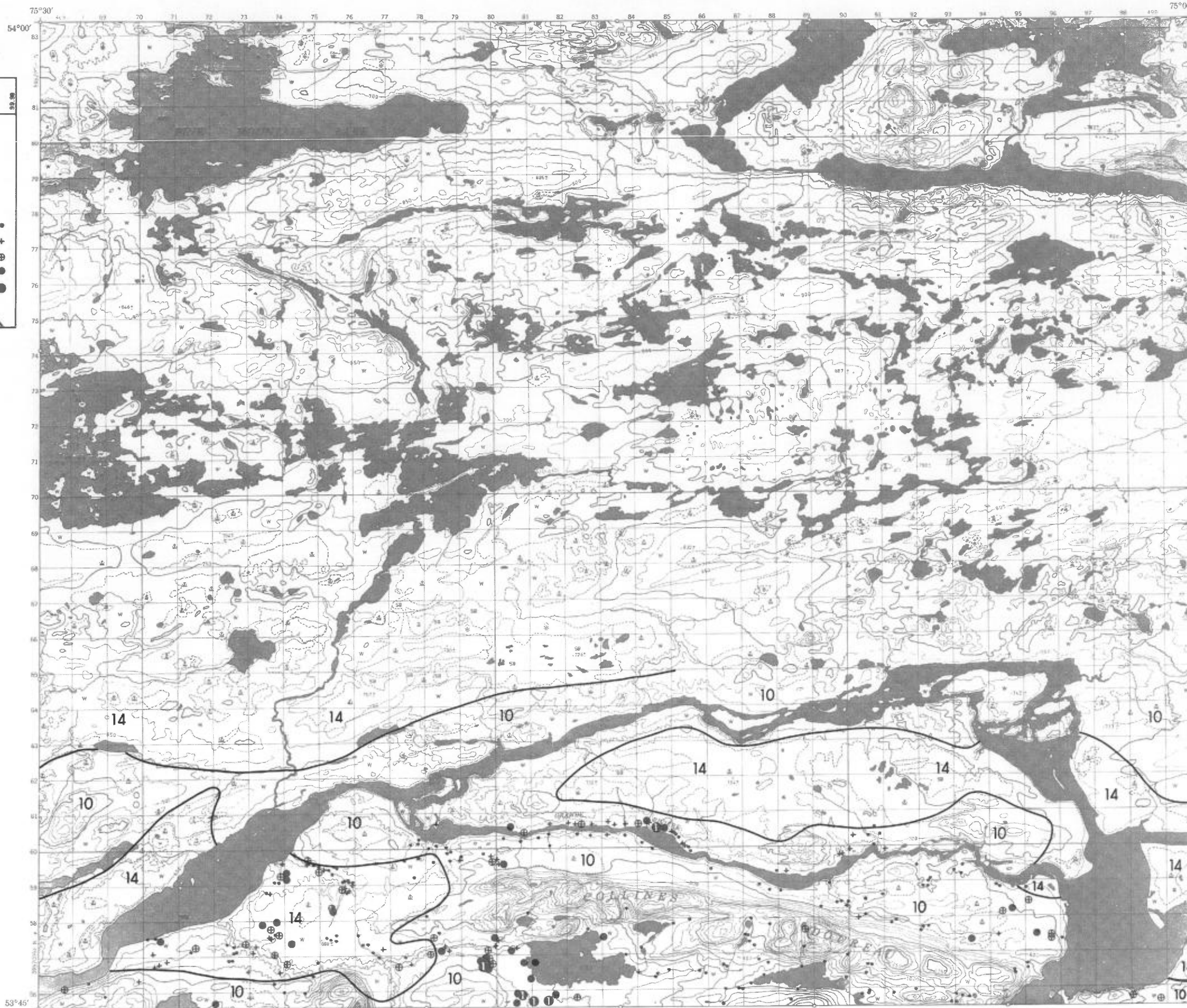
Contact ———
Faille - - - - -

ÉCHELLE 1:125,000



SERVICE DES GÎTES MINÉRAUX
DIVISION DE LA GÉOCHIMIE
G.H. COCKBURN

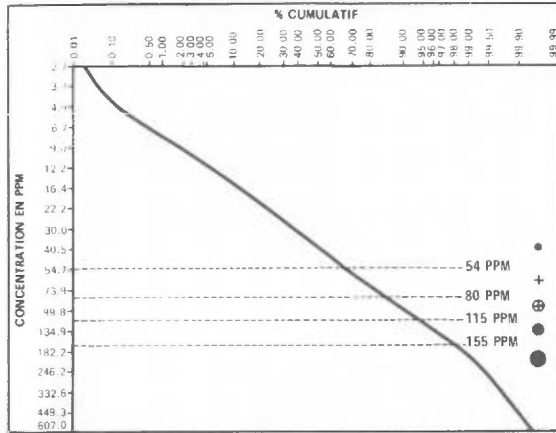
Carte géochimique No 1819



LÉGENDE

GÉOCHIMIE

COURBE DES FRÉQUENCES CUMULÉES



LA CLASSE SUPÉRIEURE EST SUBDIVISÉE GÉOMÉTRIQUEMENT
 ① 156 - 300 ② 301 - 600 ③ 601 - 1200 PPM

LITHOLOGIE SIMPLIFIÉE

- 14 Sable et gravier
- S "Sandstone" FM-Sakami
- 13 Dyke de diabase
- 12 Dyke de pegmatite
- 11 Granite
- 10 Quartz-diorite
- 9 Migmatite
- 8 Granite migmatitique
- 7 Formation de fer
- 6 Roche métasédimentaire
- 5 Tuf rhyolitique
- 4 Lave intermédiaire
- 3 Roche ultrabasique
- 2A Amphibolite
- 2 Lave basique
- 1 Gneiss non différencié

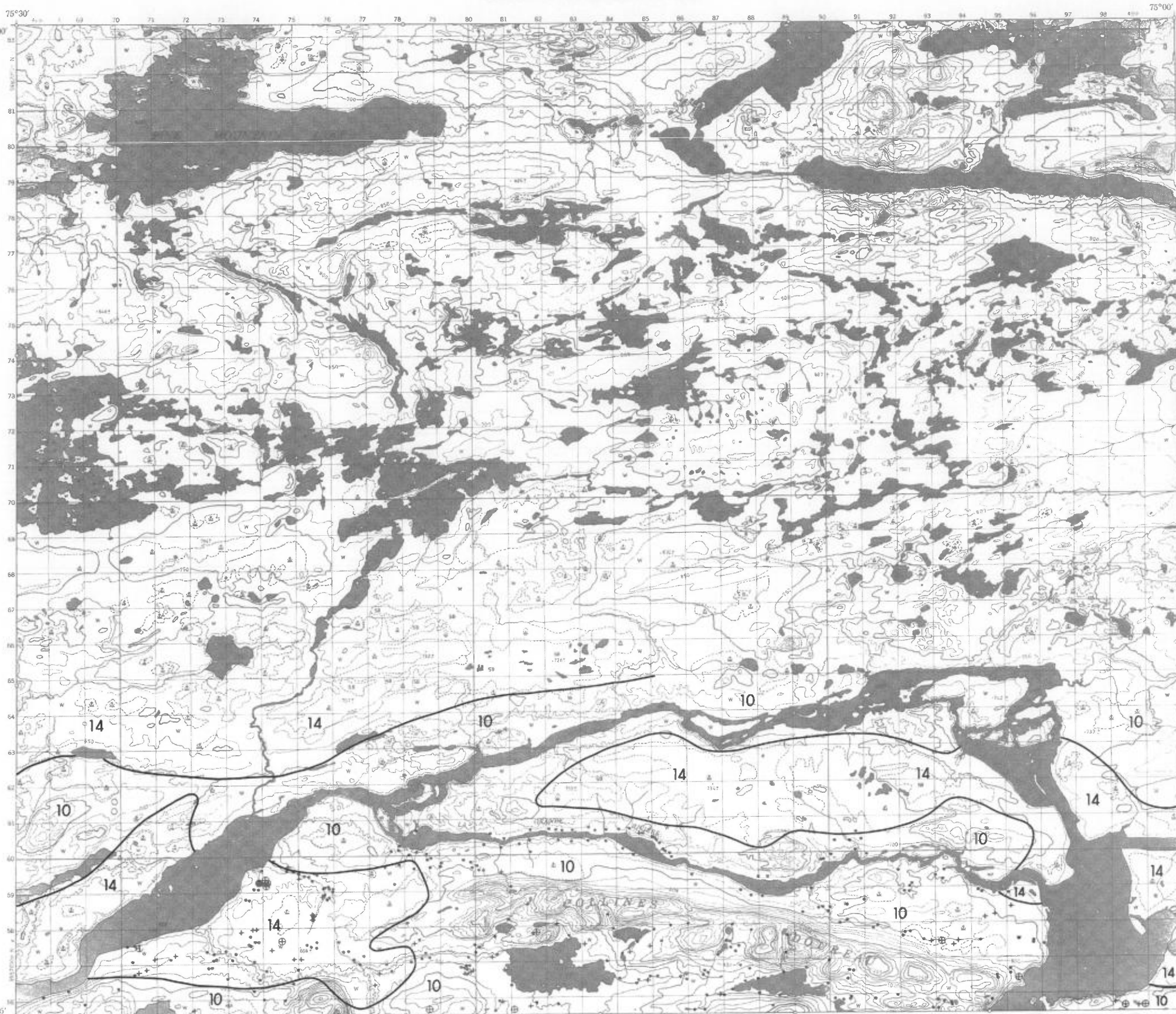
Contact ———
 Faille - - - - -

ÉCHELLE 1:125,000



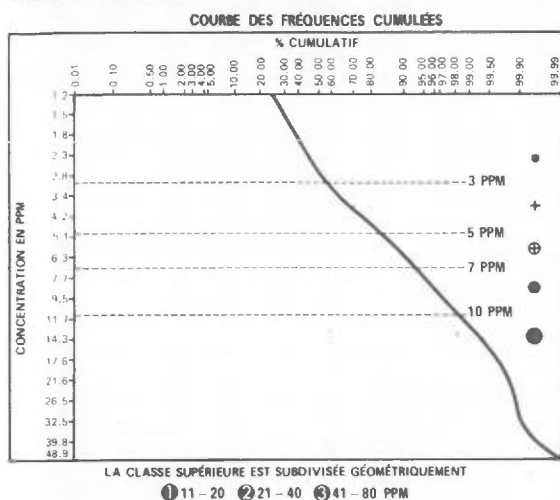
SERVICE DES GÎTES MINÉRAUX
 DIVISION DE LA GÉOCHIMIE
 G.H. COCKBURN

Carte géochimique No 1819



LÉGENDE

GÉOCHIMIE



LITHOLOGIE SIMPLIFIÉE

- 14 Sable et gravier
- S "Sandstone" FM-Sakami
- 13 Dyke de diabase
- 12 Dyke de pegmatite
- 11 Granite
- 10 Quartz-diorite
- 9 Migmatite
- 8 Granite migmatitique
- 7 Formation de fer
- 6 Roche métasédimentaire
- 5 Tuf rhyolitique
- 4 Lave intermédiaire
- 3 Roche ultrabasique
- 2A Amphibolite
- 2 Lave basique
- 1 Gneiss non différencié

Contact ———
Faille - - - - -

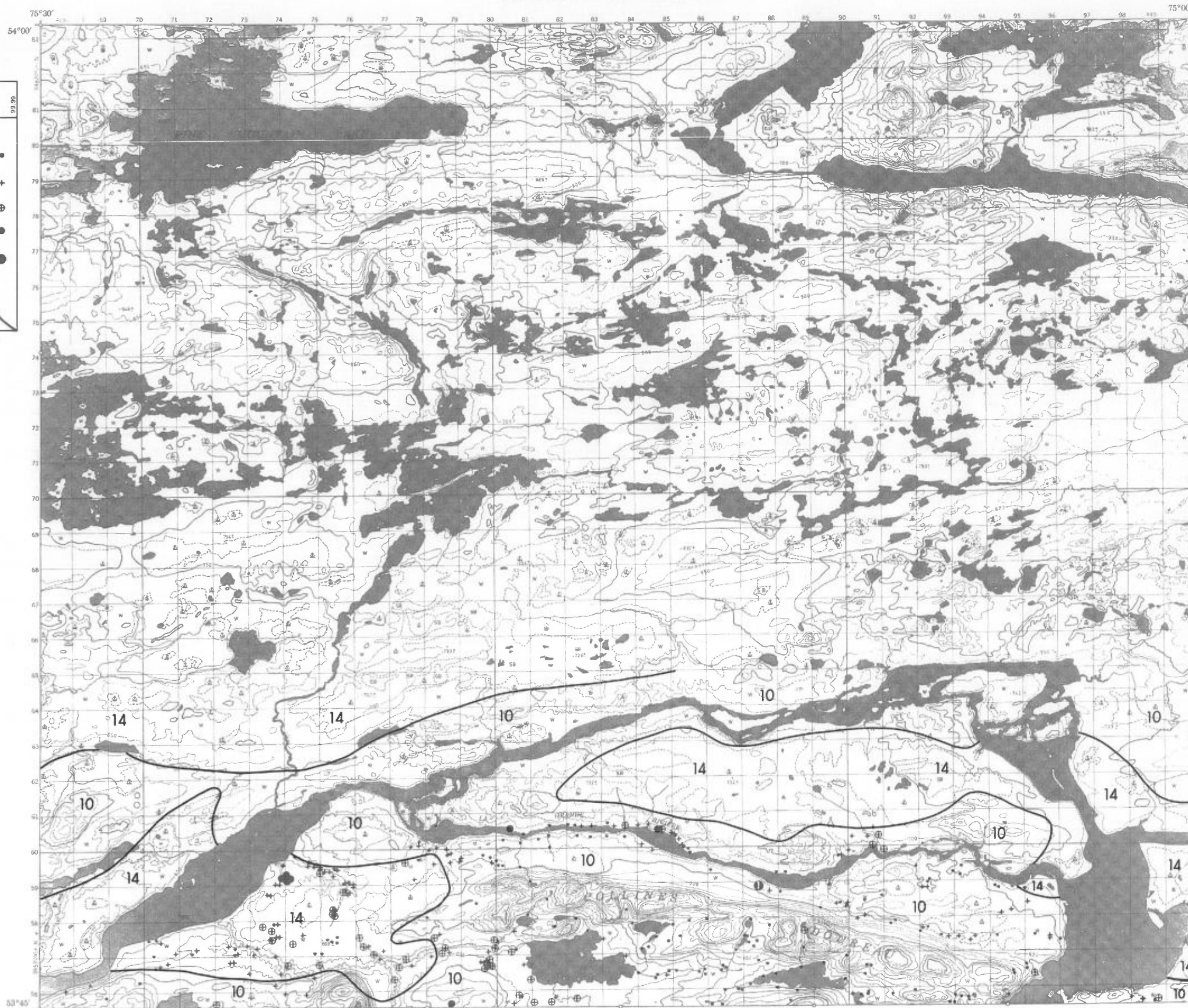
ÉCHELLE 1:125,000



SERVICE DES GÎTES MINÉRAUX

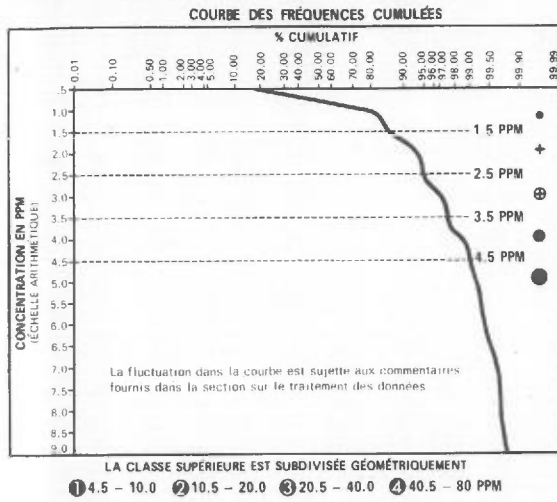
DIVISION DE LA GÉOCHIMIE
G.H. COCKBURN

Carte géochimique No 1819



LÉGENDE

GÉOCHIMIE

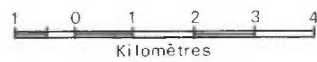


LITHOLOGIE SIMPLIFIÉE

- 14 Sable et gravier
- S "Sandstone" FM-Sakami
- 13 Dyke de diabase
- 12 Dyke de pegmatite
- 11 Granite
- 10 Quartz-diorite
- 9 Migmatite
- 8 Granite migmatitique
- 7 Formation de fer
- 6 Roche métasédimentaire
- 5 Tuf rhyolitique
- 4 Lave intermédiaire
- 3 Roche ultrabasique
- 2A Amphibolite
- 2 Lave basique
- 1 Gneiss non différencié

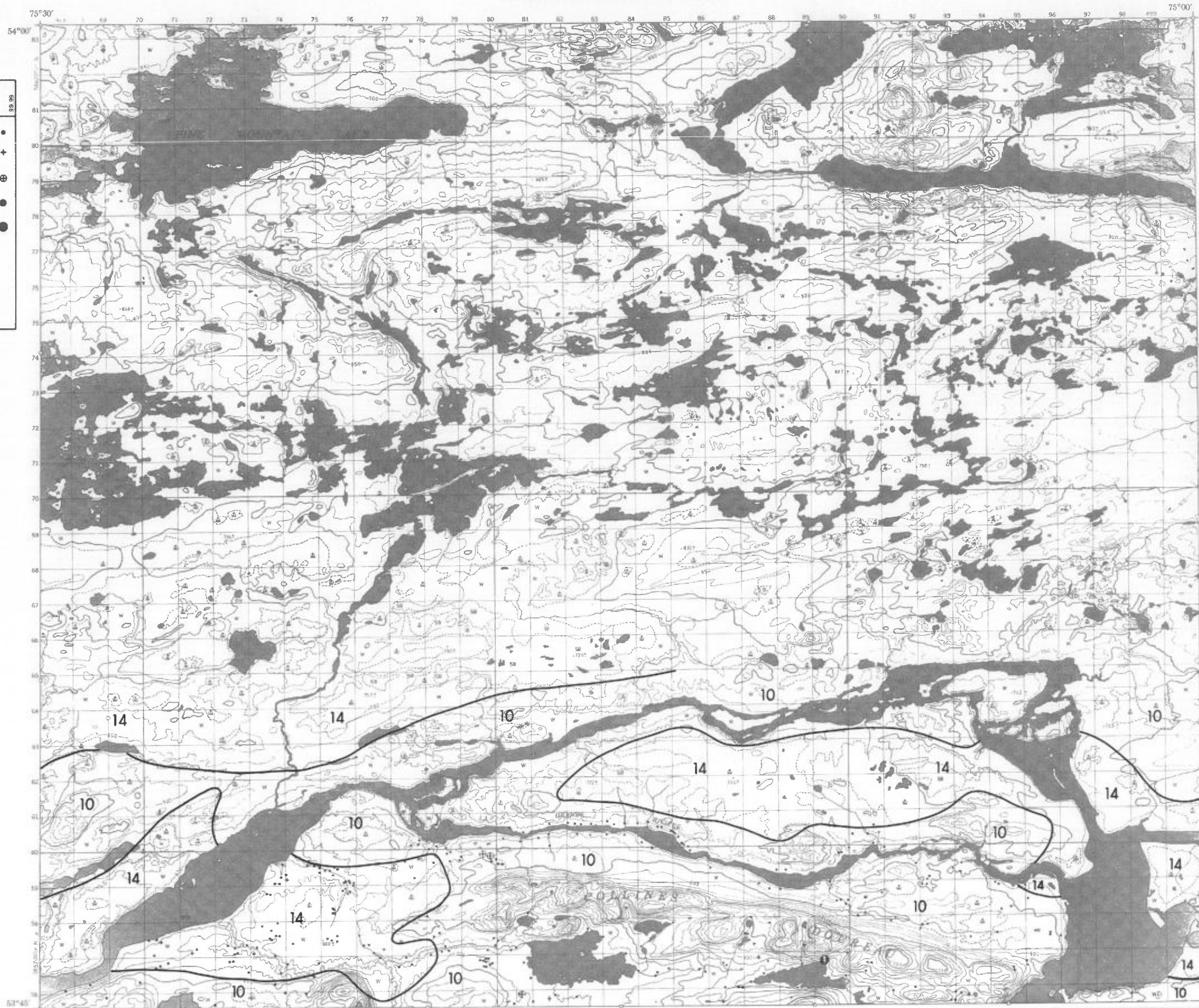
Contact ———
Faille - - - - -

ÉCHELLE 1:125,000



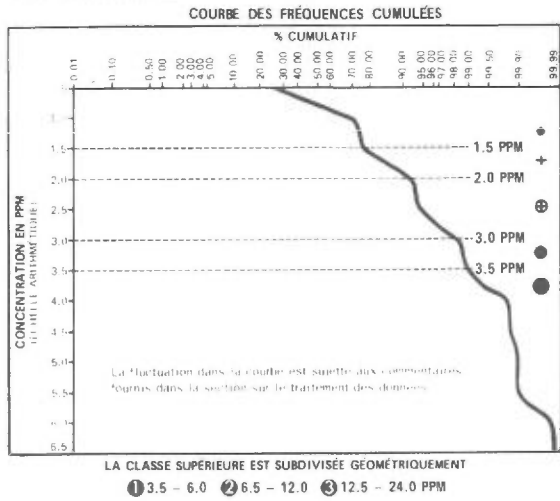
SERVICE DES GÎTES MINÉRAUX
DIVISION DE LA GÉOCHIMIE
G.H. COCKBURN

Carte géochimique No 1819



LÉGENDE

GÉOCHIMIE

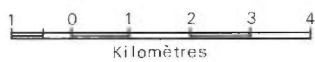


LITHOLOGIE SIMPLIFIÉE

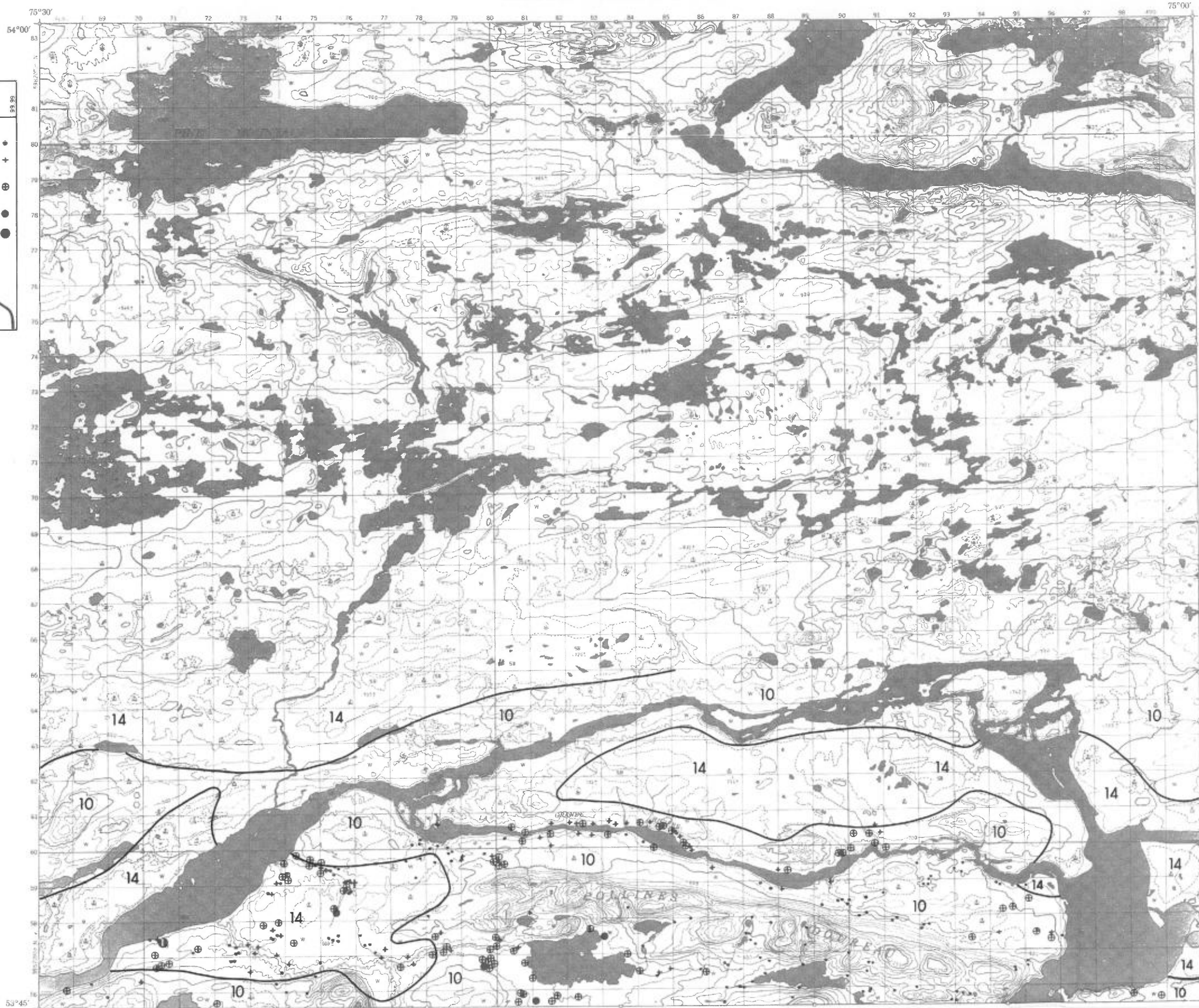
- 14 Sable et gravier
- S "Sandstone" FM-Sakami
- 13 Dyke de diabase
- 12 Dyke de pegmatite
- 11 Granite
- 10 Quartz-diorite
- 9 Migmatite
- 8 Granite migmatitique
- 7 Formation de fer
- 6 Roche métasédimentaire
- 5 Tuf rhyolitique
- 4 Lave intermédiaire
- 3 Roche ultrabasique
- 2A Amphibolite
- 2 Lave basique
- 1 Gneiss non différencié

Contact ———
Faille - - - - -

ÉCHELLE 1:125,000

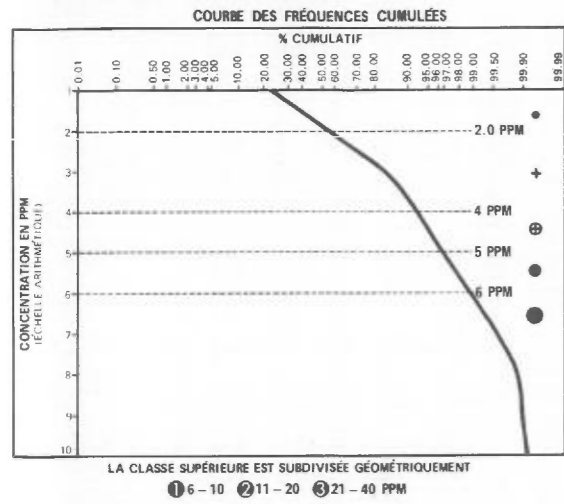


SERVICE DES GÎTES MINÉRAUX
DIVISION DE LA GÉOCHIMIE
G.H. COCKBURN
Carte géochimique No 1819



LÉGENDE

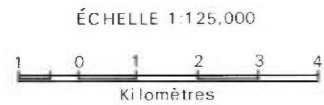
GÉOCHIMIE



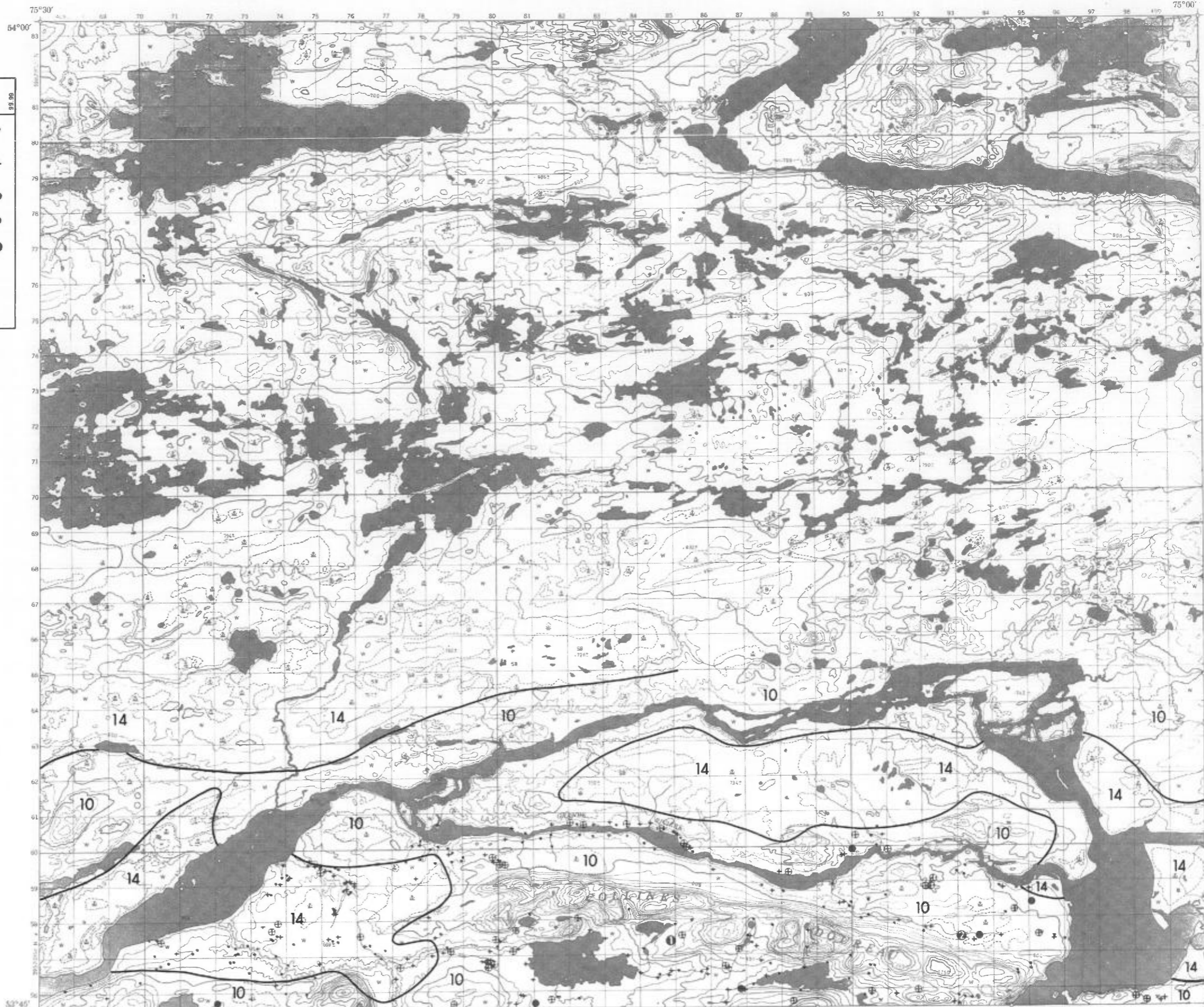
LITHOLOGIE SIMPLIFIÉE

- 14 Sable et gravier
- S "Sandstone" FM-Sakami
- 13 Dyke de diabase
- 12 Dyke de pegmatite
- 11 Granite
- 10 Quartz-diorite
- 9 Migmatite
- 8 Granite migmatitique
- 7 Formation de fer
- 6 Roche métasédimentaire
- 5 Tuf rhyolitique
- 4 Lave intermédiaire
- 3 Roche ultrabasique
- 2A Amphibolite
- 2 Lave basique
- 1 Gneiss non différencié

- Contact ———
- Faillle - - - - -



SERVICE DES GÎTES MINÉRAUX
DIVISION DE LA GÉOCHIMIE
G.H. COCKBURN
Carte géochimique No 1819

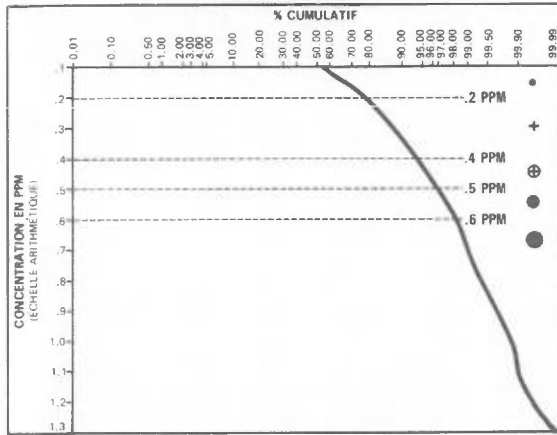




LÉGENDE

GÉOCHIMIE

COURBE DES FRÉQUENCES CUMULÉES



LA CLASSE SUPÉRIEURE EST SUBDIVISÉE GÉOMÉTRIQUEMENT

① 0.6-1.0 ② 1.1-2.0 PPM

LITHOLOGIE SIMPLIFIÉE

- 14 Sable et gravier
- S "Sandstone" FM-Sakami
- 13 Dyke de diabase
- 12 Dyke de pegmatite
- 11 Granite
- 10 Quartz-diorite
- 9 Migmatite
- 8 Granite migmatitique
- 7 Formation de fer
- 6 Roche métasédimentaire
- 5 Tuf rhyolitique
- 4 Lave intermédiaire
- 3 Roche ultrabasique
- 2A Amphibolite
- 2 Lave basique
- 1 Gneiss non différencié

Contact ———
Faille - - - - -

ÉCHELLE 1:125,000



SERVICE DES GÎTES MINÉRAUX

DIVISION DE LA GÉOCHIMIE
G.H. COCKBURN

Carte géochimique No 1819

